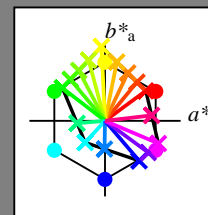


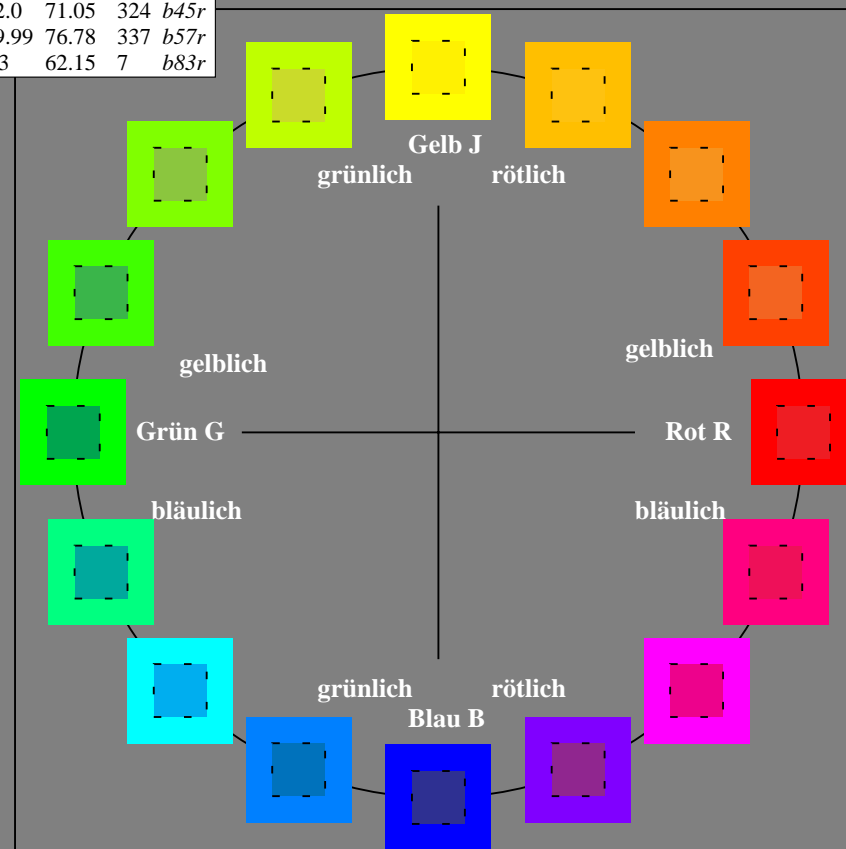
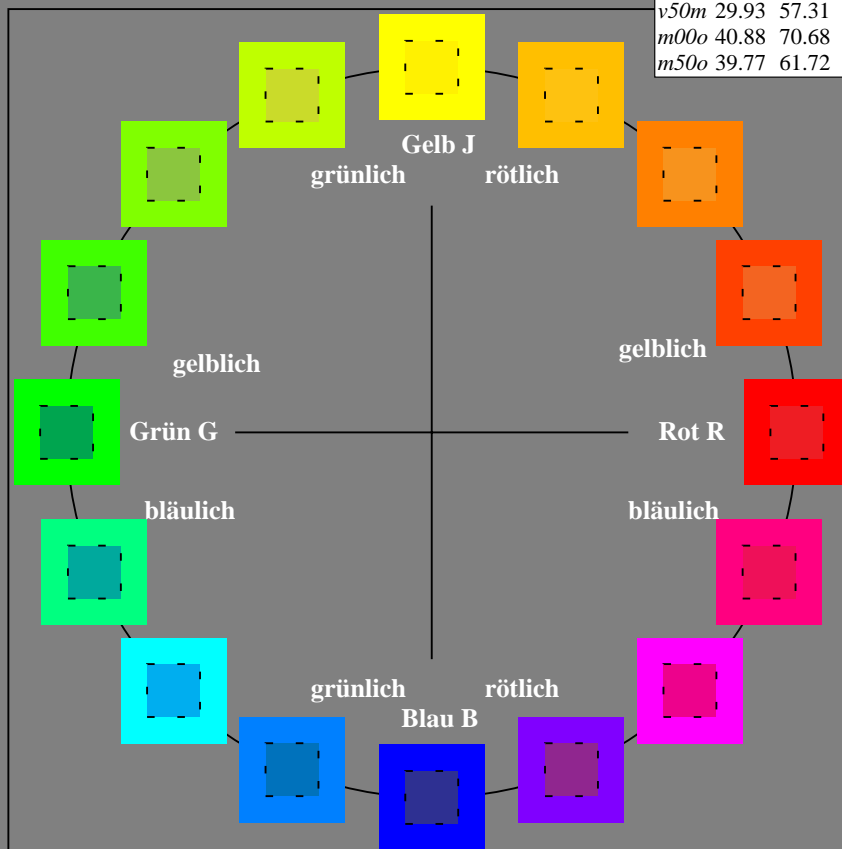
Ein und Ausgabe:
Farbmetrisches Drucker-Reflektiv-System FRS15_90a
Daten für jede Farbe:
 u^*_d und Nummer $Nr.$ = 00 .. 15
Geräte-Bunttontext:
 u^*_d = 16 Bunttoene $o00y$, $o25y$, ..., $m50o$
Kontrastreduzierungsfaktor:
 $c_R = 0.9$

FRS15_90a; adaptierte CIELAB-Daten							
u^*_d	$L^*=L^*_a$	a^*_a	b^*_a	$C^*_{ab,a}$	$h^*_{ab,a}$	u^*_e	
$o00y$	38.8	53.92	39.68	66.95	36	$r16j$	
$o25y$	47.46	42.34	51.25	66.48	50	$r37j$	
$o50y$	56.54	30.2	63.39	70.22	65	$r58j$	
$o75y$	67.39	15.68	77.9	79.47	79	$r79j$	
$y00l$	82.58	-4.64	98.22	98.33	93	$j01g$	
$y25l$	70.85	-21.66	80.19	83.07	105	$j18g$	
$y50l$	61.91	-34.63	66.45	74.93	118	$j36g$	
$y75l$	54.24	-45.77	54.66	71.29	130	$j53g$	
$l00c$	46.95	-56.34	43.46	71.15	142	$j71g$	
$l50c$	51.91	-36.84	-3.21	36.98	185	$g21b$	
$c00v$	54.62	-26.2	-28.68	38.85	228	$g60b$	
$c50v$	42.22	-0.61	-37.35	37.36	269	$g97b$	
$v00m$	20.01	45.2	-52.87	69.56	311	$b34r$	
$v50m$	29.93	57.31	-42.0	71.05	324	$b45r$	
$m00o$	40.88	70.68	-29.99	76.78	337	$b57r$	
$m50o$	39.77	61.72	7.23	62.15	7	$b83r$	



%Umfang
 $u^*_{rel} = 88$
%Regularität
 $g^*_{H,rel} = 31$
 $g^*_{C,rel} = 40$

FRS15_90a; adaptierte CIELAB-Daten					
Name	$L^*=L^*_a$	a^*_a	b^*_a	$C^*_{ab,a}$	$h^*_{ab,a}$
O_{Ma}	38.8	53.92	39.68	66.95	36
Y_{Ma}	82.58	-4.64	98.22	98.33	93
L_{Ma}	46.95	-56.34	43.46	71.15	142
C_{Ma}	54.62	-26.2	-28.68	38.85	228
V_{Ma}	20.01	45.2	-52.87	69.56	311
M_{Ma}	40.88	70.68	-29.99	76.78	337
N_{Ma}	15.0	0.0	0.0	0.0	0
W_{Ma}	90.0	0.0	0.0	0.0	0
O_{CIE}	39.92	58.74	27.99	65.07	92
Y_{CIE}	81.26	-2.89	71.56	71.62	25
L_{CIE}	52.23	-42.42	13.6	44.55	162
V_{CIE}	30.57	1.41	-46.47	46.49	272



Ein und Ausgabe: Farbmetrisches Drucker-Reflektiv-System FRS15_90a für relativen CIELAB-Buntton $h^* = lab^*h^* = h_{ab}/360 = 0.101$

Daten für jede Farbe:

lab^*ch^* und lab^*icu^*

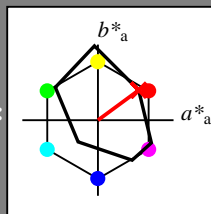
Bunttontexte:

$u^*_d = o00y$ $u^*_e = r16j$

Kontrastreduzierungsfaktor:

$c_R = 0.9$

Dreiecks-Helligkeit i^*



FRS15_90a; adaptierte CIELAB-Daten

u^*_d	$L^*=L^*_a$	a^*_a	b^*_a	$C^*_{ab,a}$	$h^*_{ab,a}$
O _{Ma}	38.8	53.92	39.68	66.95	36
Y _{Ma}	82.58	-4.64	98.22	98.33	93
L _{Ma}	46.95	-56.34	43.46	71.15	142
C _{Ma}	54.62	-26.2	-28.68	38.85	228
V _{Ma}	20.01	45.2	-52.87	69.56	311
M _{Ma}	40.88	70.68	-29.99	76.78	337
N _{Ma}	15.0	0.0	0.0	0.0	0
W _{Ma}	90.0	0.0	0.0	0.0	0
O _{Ma}	39.92	58.74	27.99	65.07	25
Y _{Ma}	81.26	-2.89	71.56	71.62	92
L _{Ma}	52.23	-42.42	13.6	44.55	162
V _{Ma}	30.57	1.41	-46.47	46.49	272

Daten für Maximalfarbe (Ma):

LAB^*LAB^*Ma : 39 54 40

LAB^*LCH^*Ma : 39 67 36

lab^*olv^*Ma : 1.0 0.0 0.0

lab^*rgb^*Ma : 1.0 0.16 0.0

Dreiecks-Helligkeit i^*

%Umfang

$u^*_{rel} = 88$

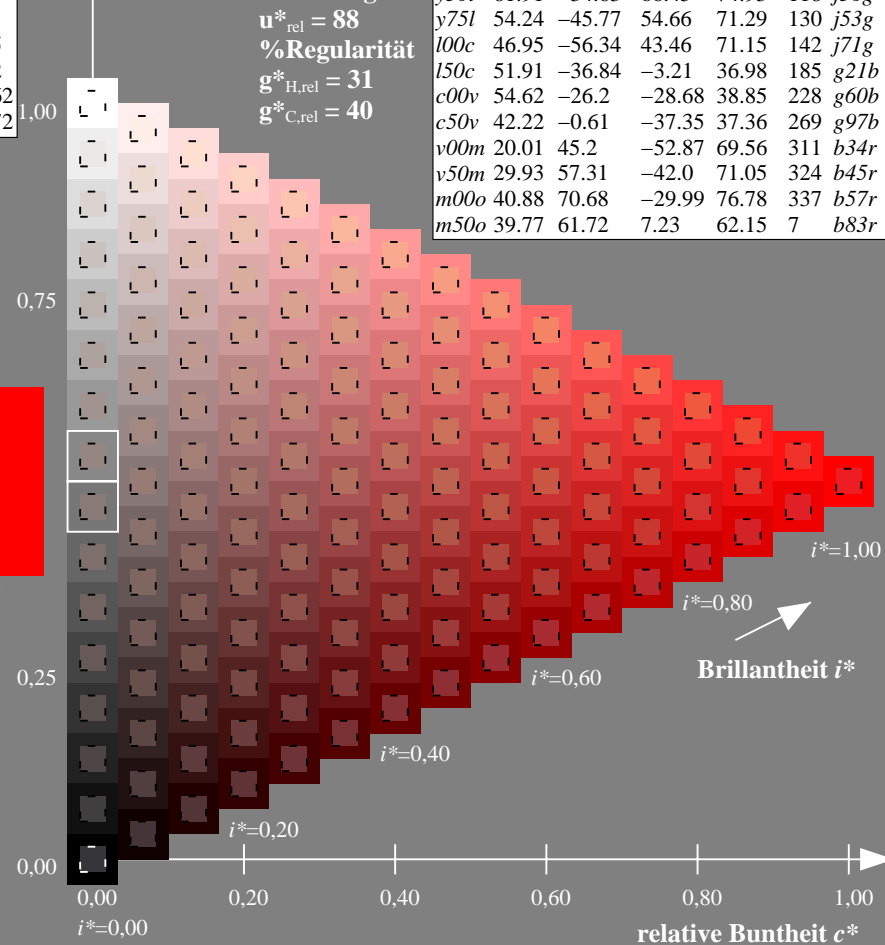
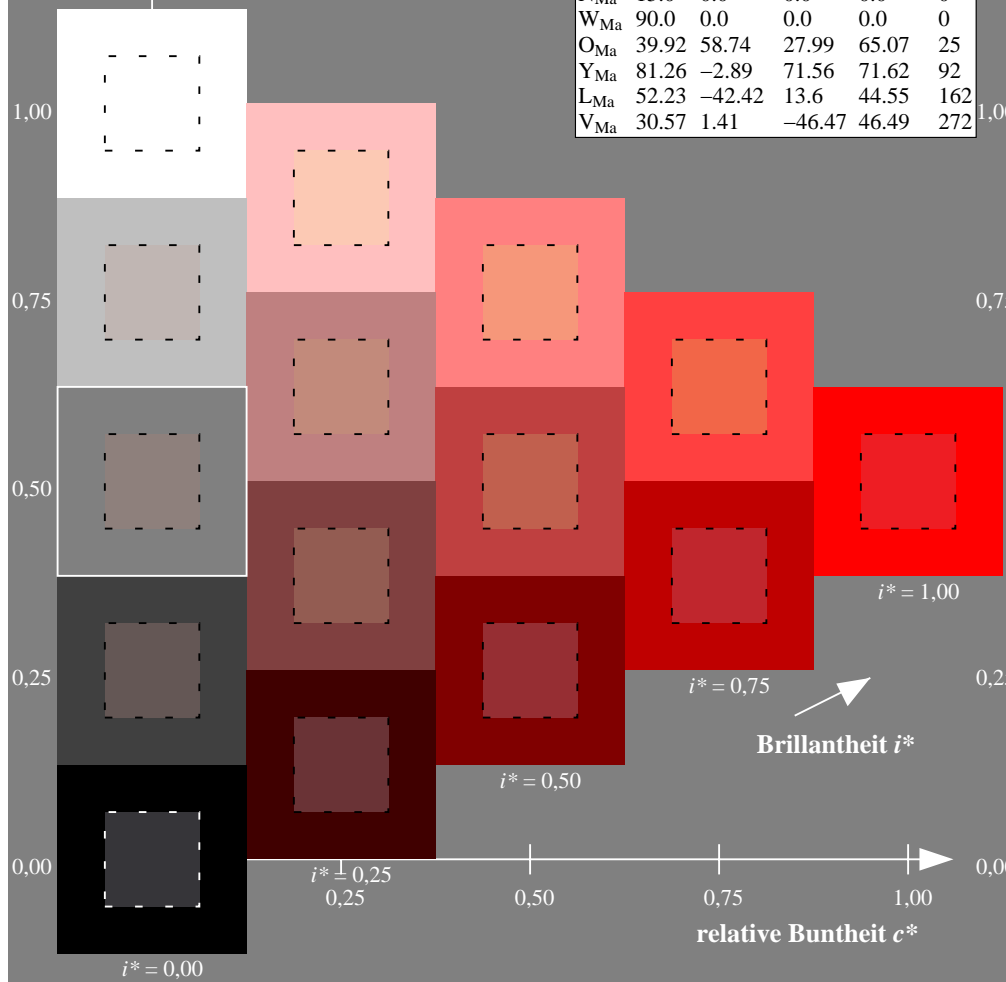
%Regularität

$g^*_{H,rel} = 31$

$g^*_{C,rel} = 40$

FRS15_90a; adaptierte CIELAB-Daten

u^*_d	$L^*=L^*_a$	a^*_a	b^*_a	$C^*_{ab,a}$	$h^*_{ab,a}$	u^*_e
<i>o00y</i>	38.8	53.92	39.68	66.95	36	<i>r16j</i>
<i>o25y</i>	47.46	42.34	51.25	66.48	50	<i>r37j</i>
<i>o50y</i>	56.54	30.2	63.39	70.22	65	<i>r58j</i>
<i>o75y</i>	67.39	15.68	77.9	79.47	79	<i>r79j</i>
<i>y00l</i>	82.58	-4.64	98.22	98.33	93	<i>j01g</i>
<i>y25l</i>	70.85	-21.66	80.19	83.07	105	<i>j18g</i>
<i>y50l</i>	61.91	-34.63	66.45	74.93	118	<i>j36g</i>
<i>y75l</i>	54.24	-45.77	54.66	71.29	130	<i>j53g</i>
<i>l00c</i>	46.95	-56.34	43.46	71.15	142	<i>j71g</i>
<i>l50c</i>	51.91	-36.84	-3.21	36.98	185	<i>g21b</i>
<i>c00v</i>	54.62	-26.2	-28.68	38.85	228	<i>g60b</i>
<i>c50v</i>	42.22	-0.61	-37.35	37.36	269	<i>g97b</i>
<i>v00m</i>	20.01	45.2	-52.87	69.56	311	<i>b34r</i>
<i>v50m</i>	29.93	57.31	-42.0	71.05	324	<i>b45r</i>
<i>m00o</i>	40.88	70.68	-29.99	76.78	337	<i>b57r</i>
<i>m50o</i>	39.77	61.72	7.23	62.15	7	<i>b83r</i>



Ein und Ausgabe: Farbmetrisches Drucker-Reflektiv-System FRS15_90a für relativen CIELAB-Buntton $h^* = lab^*h^* = h_{ab}/360 = 0.14$

Daten für jede Farbe:

lab^*ch^* und lab^*icu^*

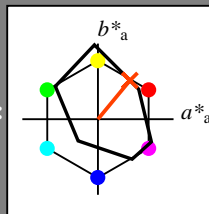
Bunttontexte:

$u^*_d = o25y$ $u^*_e = r37j$

Kontrastreduzierungsfaktor:

$c_R = 0.9$

Dreiecks-Helligkeit i^*



FRS15_90a; adaptierte CIELAB-Daten

u^*_d	$L^*=L^*_a$	a^*_a	b^*_a	$C^*_{ab,a}$	$h^*_{ab,a}$
O _{Ma}	38.8	53.92	39.68	66.95	36
Y _{Ma}	82.58	-4.64	98.22	98.33	93
L _{Ma}	46.95	-56.34	43.46	71.15	142
C _{Ma}	54.62	-26.2	-28.68	38.85	228
V _{Ma}	20.01	45.2	-52.87	69.56	311
M _{Ma}	40.88	70.68	-29.99	76.78	337
N _{Ma}	15.0	0.0	0.0	0.0	0
W _{Ma}	90.0	0.0	0.0	0.0	0
O _{Ma}	39.92	58.74	27.99	65.07	25
Y _{Ma}	81.26	-2.89	71.56	71.62	92
L _{Ma}	52.23	-42.42	13.6	44.55	162
V _{Ma}	30.57	1.41	-46.47	46.49	272

Daten für Maximalfarbe (Ma):

$LAB^*LAB^*_{Ma}$: 47 42 51

$LAB^*LCH^*_{Ma}$: 47 66 50

$lab^*olv^*_{Ma}$: 1.0 0.25 0.0

$lab^*rgb^*_{Ma}$: 1.0 0.37 0.0

Dreiecks-Helligkeit i^*

%Umfang

$u^*_{rel} = 88$

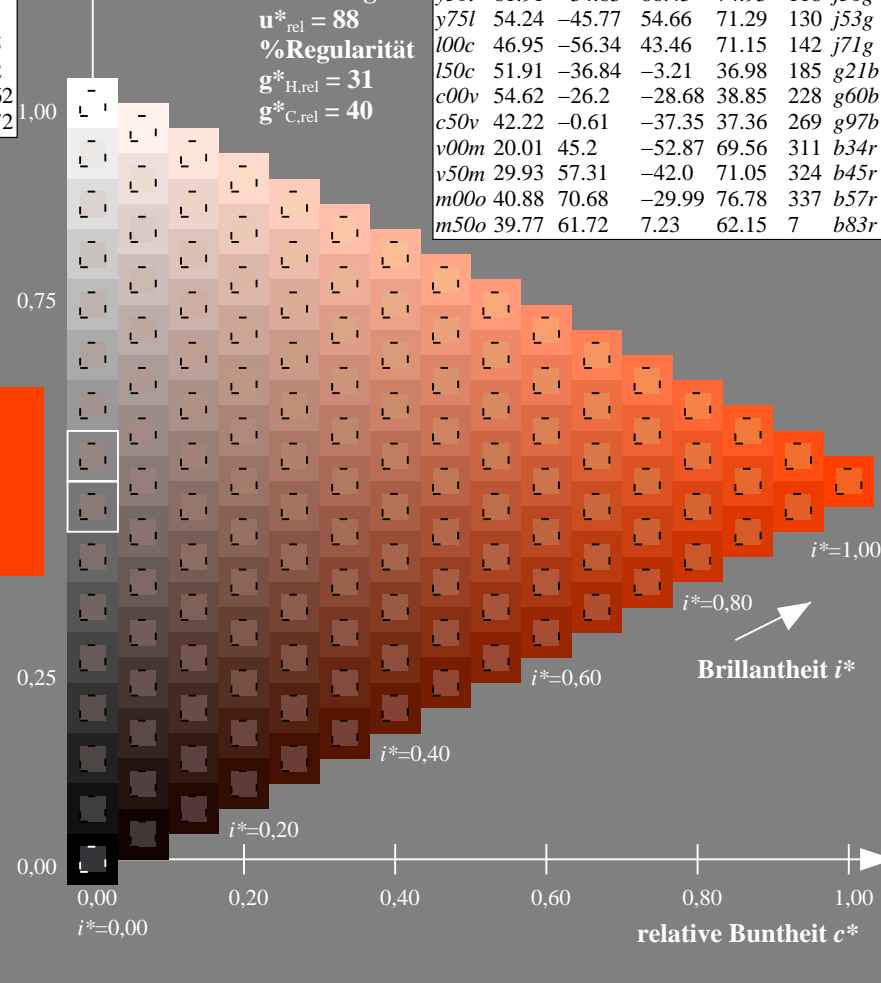
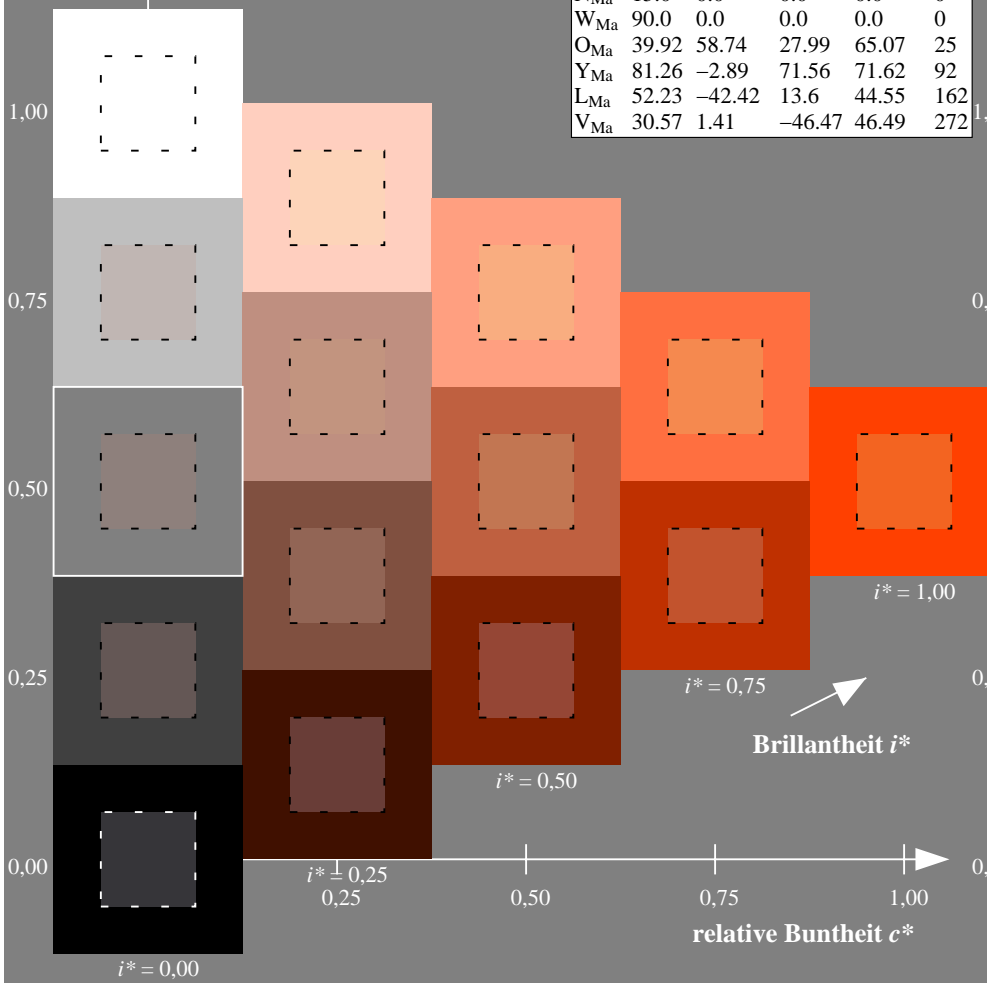
%Regularität

$g^*_{H,rel} = 31$

$g^*_{C,rel} = 40$

FRS15_90a; adaptierte CIELAB-Daten

u^*_d	$L^*=L^*_a$	a^*_a	b^*_a	$C^*_{ab,a}$	$h^*_{ab,a}$	u^*_e
<i>o00y</i>	38.8	53.92	39.68	66.95	36	<i>r16j</i>
<i>o25y</i>	47.46	42.34	51.25	66.48	50	<i>r37j</i>
<i>o50y</i>	56.54	30.2	63.39	70.22	65	<i>r58j</i>
<i>o75y</i>	67.39	15.68	77.9	79.47	79	<i>r79j</i>
<i>y00l</i>	82.58	-4.64	98.22	98.33	93	<i>j01g</i>
<i>y25l</i>	70.85	-21.66	80.19	83.07	105	<i>j18g</i>
<i>y50l</i>	61.91	-34.63	66.45	74.93	118	<i>j36g</i>
<i>y75l</i>	54.24	-45.77	54.66	71.29	130	<i>j53g</i>
<i>l00c</i>	46.95	-56.34	43.46	71.15	142	<i>j71g</i>
<i>l50c</i>	51.91	-36.84	-3.21	36.98	185	<i>g21b</i>
<i>c00v</i>	54.62	-26.2	-28.68	38.85	228	<i>g60b</i>
<i>c50v</i>	42.22	-0.61	-37.35	37.36	269	<i>g97b</i>
<i>v00m</i>	20.01	45.2	-52.87	69.56	311	<i>b34r</i>
<i>v50m</i>	29.93	57.31	-42.0	71.05	324	<i>b45r</i>
<i>m00o</i>	40.88	70.68	-29.99	76.78	337	<i>b57r</i>
<i>m50o</i>	39.77	61.72	7.23	62.15	7	<i>b83r</i>



Ein und Ausgabe: Farbmetrisches Drucker-Reflektiv-System FRS15_90a für relativen CIELAB-Buntton $h^* = lab^*h^* = h_{ab}/360 = 0.179$

Daten für jede Farbe:

lab^*ch^* und lab^*icu^*

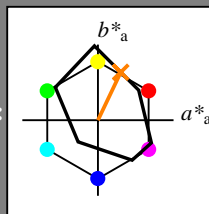
Bunttontexte:

$u^*_d = o50y$ $u^*_e = r58j$

Kontrastreduzierungsfaktor:

$c_R = 0.9$

Dreiecks-Helligkeit i^*



FRS15_90a; adaptierte CIELAB-Daten

u^*_d	$L^*=L^*_a$	a^*_a	b^*_a	$C^*_{ab,a}$	$h^*_{ab,a}$
O _{Ma}	38.8	53.92	39.68	66.95	36
Y _{Ma}	82.58	-4.64	98.22	98.33	93
L _{Ma}	46.95	-56.34	43.46	71.15	142
C _{Ma}	54.62	-26.2	-28.68	38.85	228
V _{Ma}	20.01	45.2	-52.87	69.56	311
M _{Ma}	40.88	70.68	-29.99	76.78	337
N _{Ma}	15.0	0.0	0.0	0.0	0
W _{Ma}	90.0	0.0	0.0	0.0	0
O _{Ma}	39.92	58.74	27.99	65.07	25
Y _{Ma}	81.26	-2.89	71.56	71.62	92
L _{Ma}	52.23	-42.42	13.6	44.55	162
V _{Ma}	30.57	1.41	-46.47	46.49	272

Daten für Maximalfarbe (Ma):

$LAB^*LAB^*_{Ma}$: 57 30 63

$LAB^*LCH^*_{Ma}$: 57 70 64

$lab^*olv^*_{Ma}$: 1.0 0.5 0.0

$lab^*rgb^*_{Ma}$: 1.0 0.58 0.0

Dreiecks-Helligkeit i^*

%Umfang

$u^*_{rel} = 88$

%Regularität

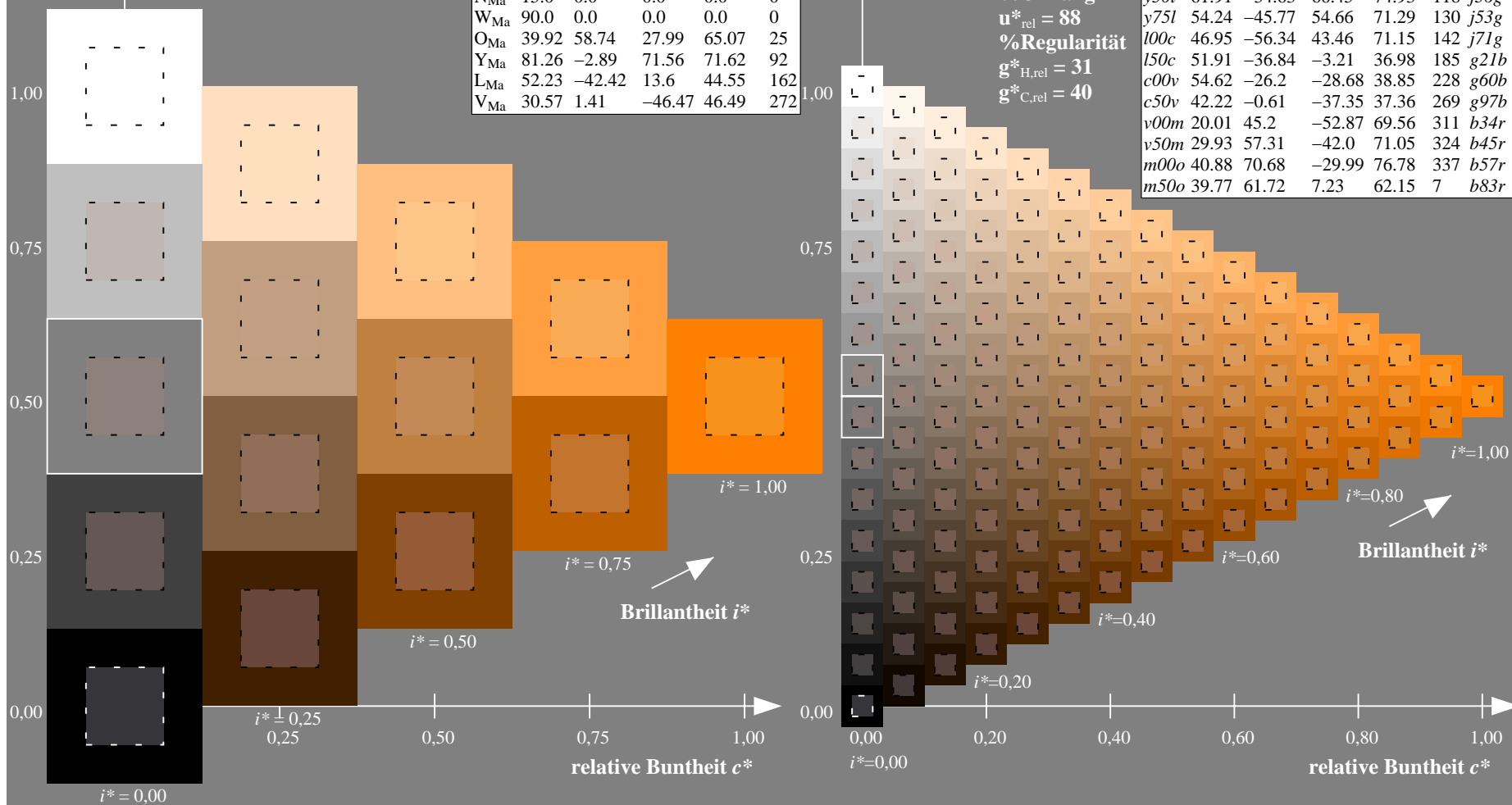
$g^*_{H,rel} = 31$

$g^*_{C,rel} = 40$

FRS15_90a; adaptierte CIELAB-Daten

u^*_d	$L^*=L^*_a$	a^*_a	b^*_a	$C^*_{ab,a}$	$h^*_{ab,a}$	u^*_e
o00y	38.8	53.92	39.68	66.95	36	r16j
o25y	47.46	42.34	51.25	66.48	50	r37j
o50y	56.54	30.2	63.39	70.22	65	r58j
o75y	67.39	15.68	77.9	79.47	79	r79j
y00l	82.58	-4.64	98.22	98.33	93	j01g
y25l	70.85	-21.66	80.19	83.07	105	j18g
y50l	61.91	-34.63	66.45	74.93	118	j36g
y75l	54.24	-45.77	54.66	71.29	130	j53g
l00c	46.95	-56.34	43.46	71.15	142	j71g
l50c	51.91	-36.84	-3.21	36.98	185	g21b
c00v	54.62	-26.2	-28.68	38.85	228	g60b
c50v	42.22	-0.61	-37.35	37.36	269	g97b
v00m	20.01	45.2	-52.87	69.56	311	b34r
v50m	29.93	57.31	-42.0	71.05	324	b45r
m00o	40.88	70.68	-29.99	76.78	337	b57r
m50o	39.77	61.72	7.23	62.15	7	b83r

$u^*_d = o50y$



Ein und Ausgabe: Farbmetrisches Drucker-Reflektiv-System FRS15_90a für relativen CIELAB-Buntton $h^* = lab^*h^* = h_{ab}/360 = 0.218$

Daten für jede Farbe:

lab^*ch^* und lab^*icu^*

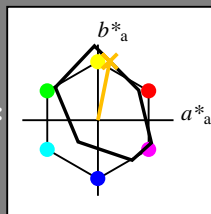
Bunttontexte:

$u^*_d = o75y$ $u^*_e = r79j$

Kontrastreduzierungsfaktor:

$c_R = 0.9$

Dreiecks-Helligkeit i^*



FRS15_90a; adaptierte CIELAB-Daten

u^*_d	$L^*=L^*_a$	a^*_a	b^*_a	$C^*_{ab,a}$	$h^*_{ab,a}$
O _{Ma}	38.8	53.92	39.68	66.95	36
Y _{Ma}	82.58	-4.64	98.22	98.33	93
L _{Ma}	46.95	-56.34	43.46	71.15	142
C _{Ma}	54.62	-26.2	-28.68	38.85	228
V _{Ma}	20.01	45.2	-52.87	69.56	311
M _{Ma}	40.88	70.68	-29.99	76.78	337
N _{Ma}	15.0	0.0	0.0	0.0	0
W _{Ma}	90.0	0.0	0.0	0.0	0
O _{Ma}	39.92	58.74	27.99	65.07	25
Y _{Ma}	81.26	-2.89	71.56	71.62	92
L _{Ma}	52.23	-42.42	13.6	44.55	162
V _{Ma}	30.57	1.41	-46.47	46.49	272

Daten für Maximalfarbe (Ma):

$LAB^*LAB^*_{Ma}$: 67 16 78

$LAB^*LCH^*_{Ma}$: 67 79 78

$lab^*olv^*_{Ma}$: 1.0 0.75 0.0

$lab^*rgb^*_{Ma}$: 1.0 0.8 0.0

Dreiecks-Helligkeit i^*

%Umfang

$u^*_{rel} = 88$

%Regularität

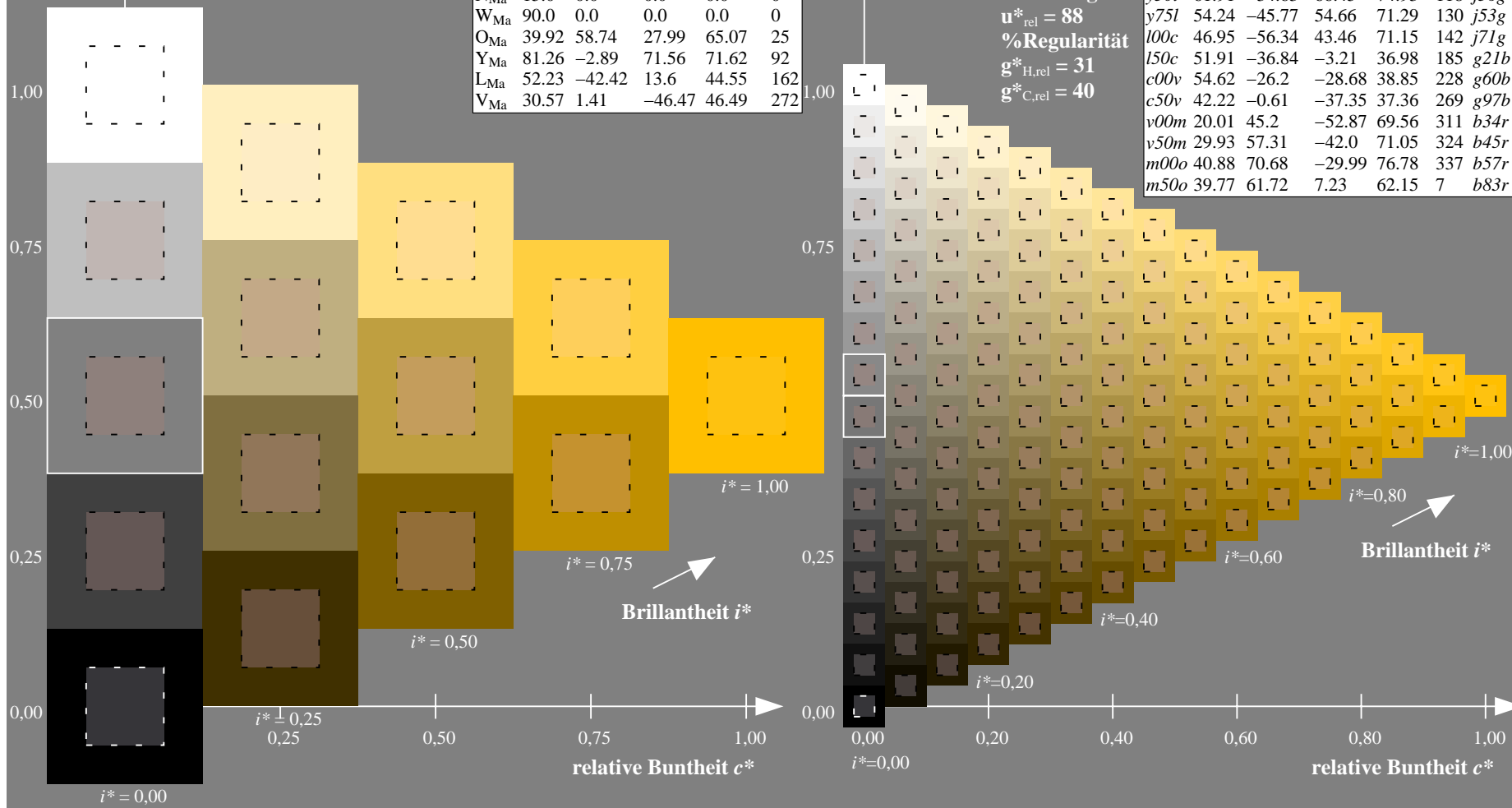
$g^*_{H,rel} = 31$

$g^*_{C,rel} = 40$

FRS15_90a; adaptierte CIELAB-Daten

u^*_d	$L^*=L^*_a$	a^*_a	b^*_a	$C^*_{ab,a}$	$h^*_{ab,a}$	u^*_e
<i>o00y</i>	38.8	53.92	39.68	66.95	36	<i>r16j</i>
<i>o25y</i>	47.46	42.34	51.25	66.48	50	<i>r37j</i>
<i>o50y</i>	56.54	30.2	63.39	70.22	65	<i>r58j</i>
<i>o75y</i>	67.39	15.68	77.9	79.47	79	<i>r79j</i>
<i>y00l</i>	82.58	-4.64	98.22	98.33	93	<i>j01g</i>
<i>y25l</i>	70.85	-21.66	80.19	83.07	105	<i>j18g</i>
<i>y50l</i>	61.91	-34.63	66.45	74.93	118	<i>j36g</i>
<i>y75l</i>	54.24	-45.77	54.66	71.29	130	<i>j53g</i>
<i>l00c</i>	46.95	-56.34	43.46	71.15	142	<i>j71g</i>
<i>l50c</i>	51.91	-36.84	-3.21	36.98	185	<i>g21b</i>
<i>c00v</i>	54.62	-26.2	-28.68	38.85	228	<i>g60b</i>
<i>c50v</i>	42.22	-0.61	-37.35	37.36	269	<i>g97b</i>
<i>v00m</i>	20.01	45.2	-52.87	69.56	311	<i>b34r</i>
<i>v50m</i>	29.93	57.31	-42.0	71.05	324	<i>b45r</i>
<i>m00o</i>	40.88	70.68	-29.99	76.78	337	<i>b57r</i>
<i>m50o</i>	39.77	61.72	7.23	62.15	7	<i>b83r</i>

$u^*_d = o75y$



Ein und Ausgabe: Farbmetrisches Drucker-Reflektiv-System FRS15_90a für relativen CIELAB-Buntton $h^* = lab^*h^* = h_{ab}/360 = 0.258$

Daten für jede Farbe:

lab^*ch^* und lab^*icu^*

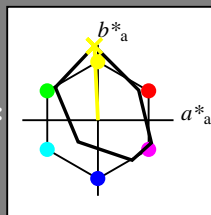
Bunttontexte:

$u^*_d = y00l$ $u^*_e = j01g$

Kontrastreduzierungsfaktor:

$c_R = 0.9$

Dreiecks-Helligkeit i^*



FRS15_90a; adaptierte CIELAB-Daten

u^*_d	$L^*=L^*_a$	a^*_a	b^*_a	$C^*_{ab,a}$	$h^*_{ab,a}$
O _{Ma}	38.8	53.92	39.68	66.95	36
Y _{Ma}	82.58	-4.64	98.22	98.33	93
L _{Ma}	46.95	-56.34	43.46	71.15	142
C _{Ma}	54.62	-26.2	-28.68	38.85	228
V _{Ma}	20.01	45.2	-52.87	69.56	311
M _{Ma}	40.88	70.68	-29.99	76.78	337
N _{Ma}	15.0	0.0	0.0	0.0	0
W _{Ma}	90.0	0.0	0.0	0.0	0
O _{Ma}	39.92	58.74	27.99	65.07	25
Y _{Ma}	81.26	-2.89	71.56	71.62	92
L _{Ma}	52.23	-42.42	13.6	44.55	162
V _{Ma}	30.57	1.41	-46.47	46.49	272

Daten für Maximalfarbe (Ma):

$LAB^*LAB^*_{Ma}$: 83 -5 98

$LAB^*LCH^*_{Ma}$: 83 98 92

$lab^*olv^*_{Ma}$: 1.0 1.0 0.0

$lab^*rgb^*_{Ma}$: 0.99 1.0 0.0

Dreiecks-Helligkeit i^*

%Umfang

$u^*_{rel} = 88$

%Regularität

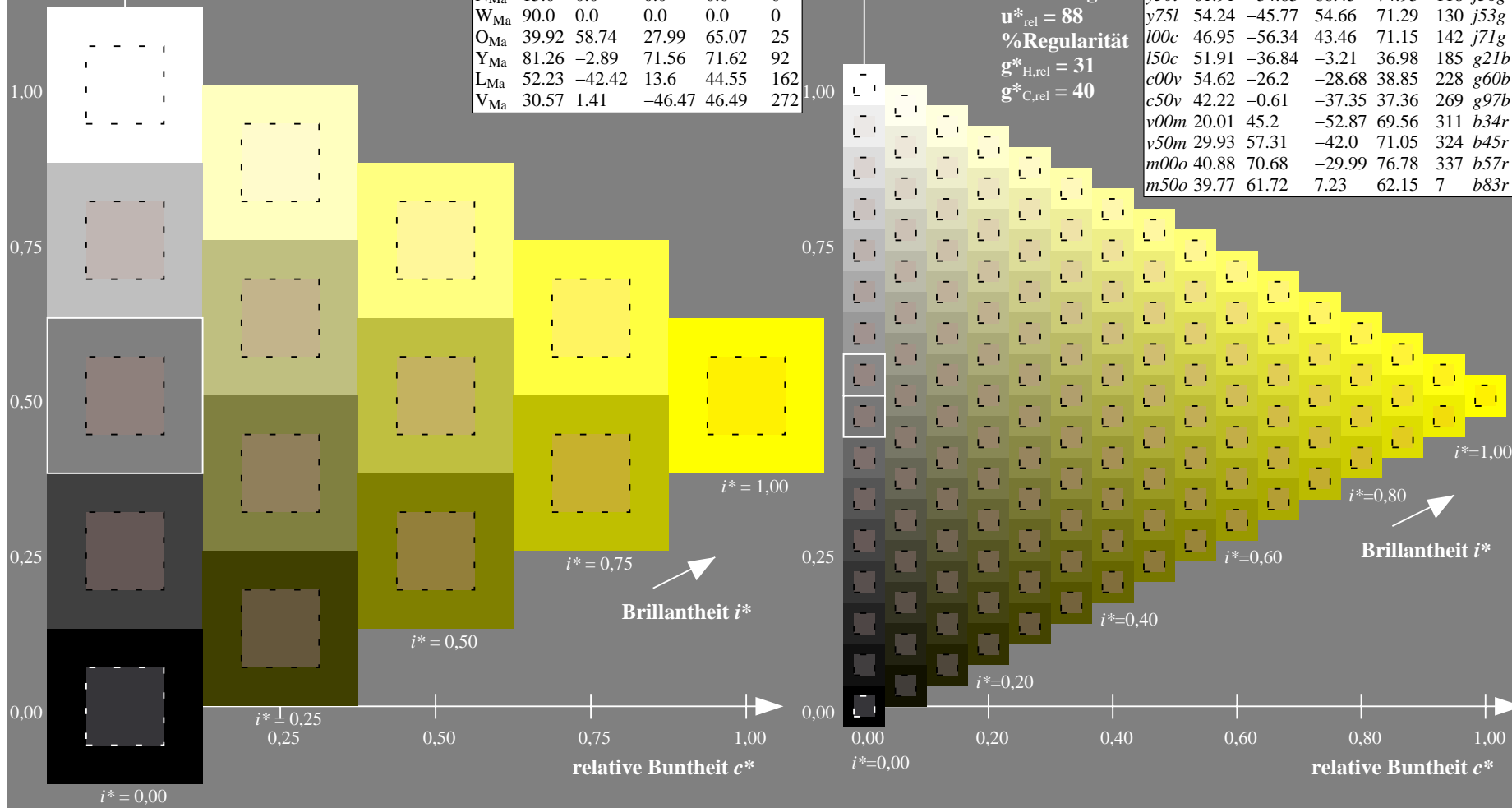
$g^*_{H,rel} = 31$

$g^*_{C,rel} = 40$

FRS15_90a; adaptierte CIELAB-Daten

u^*_d	$L^*=L^*_a$	a^*_a	b^*_a	$C^*_{ab,a}$	$h^*_{ab,a}$	u^*_e
o00y	38.8	53.92	39.68	66.95	36	r16j
o25y	47.46	42.34	51.25	66.48	50	r37j
o50y	56.54	30.2	63.39	70.22	65	r58j
o75y	67.39	15.68	77.9	79.47	79	r79j
y00l	82.58	-4.64	98.22	98.33	93	j01g
y25l	70.85	-21.66	80.19	83.07	105	j18g
y50l	61.91	-34.63	66.45	74.93	118	j36g
y75l	54.24	-45.77	54.66	71.29	130	j53g
l00c	46.95	-56.34	43.46	71.15	142	j71g
l50c	51.91	-36.84	-3.21	36.98	185	g21b
c00v	54.62	-26.2	-28.68	38.85	228	g60b
c50v	42.22	-0.61	-37.35	37.36	269	g97b
v00m	20.01	45.2	-52.87	69.56	311	b34r
v50m	29.93	57.31	-42.0	71.05	324	b45r
m00o	40.88	70.68	-29.99	76.78	337	b57r
m50o	39.77	61.72	7.23	62.15	7	b83r

$u^*_d = y00l$



Ein und Ausgabe: Farbmetrisches Drucker-Reflektiv-System FRS15_90a für relativen CIELAB-Buntton $h^* = lab^*h^* = h_{ab}/360 = 0.292$

Daten für jede Farbe:

lab^*ch^* und lab^*icu^*

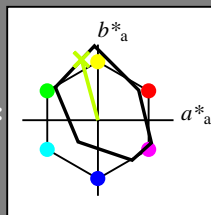
Bunttontexte:

$u^*_d = y25l$ $u^*_e = j18g$

Kontrastreduzierungsfaktor:

$c_R = 0.9$

Dreiecks-Helligkeit i^*



FRS15_90a; adaptierte CIELAB-Daten

u^*_d	$L^*=L^*_a$	a^*_a	b^*_a	$C^*_{ab,a}$	$h^*_{ab,a}$
O _{Ma}	38.8	53.92	39.68	66.95	36
Y _{Ma}	82.58	-4.64	98.22	98.33	93
L _{Ma}	46.95	-56.34	43.46	71.15	142
C _{Ma}	54.62	-26.2	-28.68	38.85	228
V _{Ma}	20.01	45.2	-52.87	69.56	311
M _{Ma}	40.88	70.68	-29.99	76.78	337
N _{Ma}	15.0	0.0	0.0	0.0	0
W _{Ma}	90.0	0.0	0.0	0.0	0
O _{Ma}	39.92	58.74	27.99	65.07	25
Y _{Ma}	81.26	-2.89	71.56	71.62	92
L _{Ma}	52.23	-42.42	13.6	44.55	162
V _{Ma}	30.57	1.41	-46.47	46.49	272

Daten für Maximalfarbe (Ma):

$LAB^*LAB^*_{Ma}$: 71 -22 80

$LAB^*LCH^*_{Ma}$: 71 83 105

$lab^*olv^*_{Ma}$: 0.75 1.0 0.0

$lab^*rgb^*_{Ma}$: 0.82 1.0 0.0

Dreiecks-Helligkeit i^*

%Umfang

$u^*_{rel} = 88$

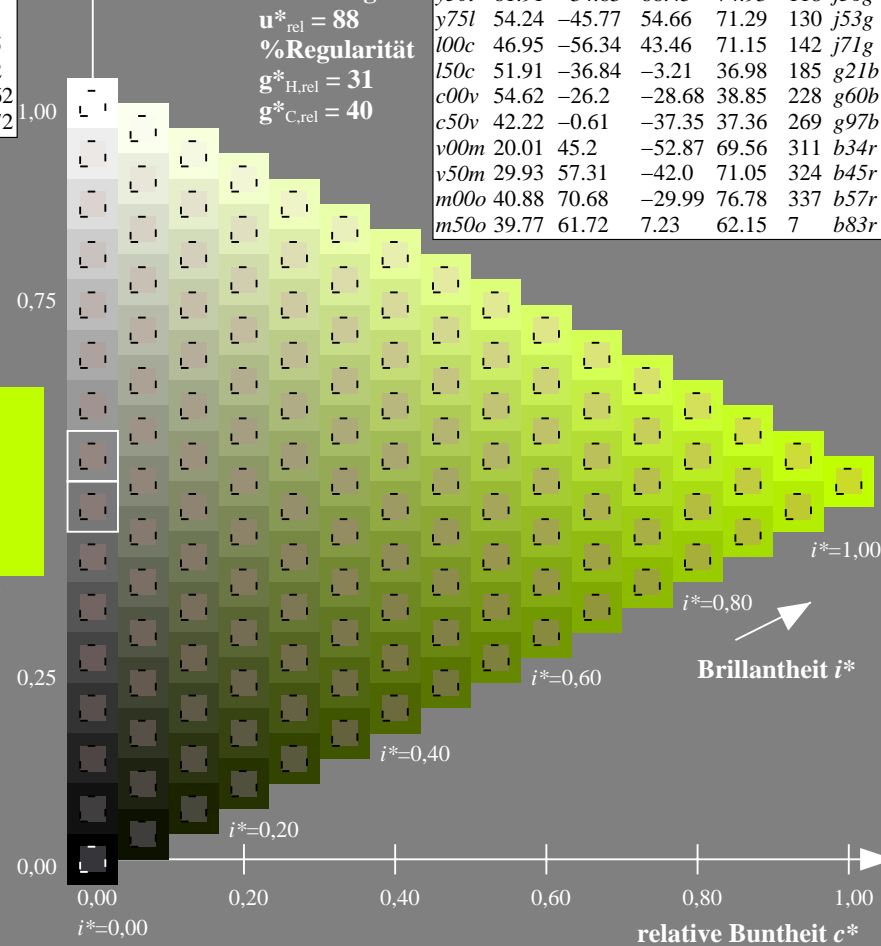
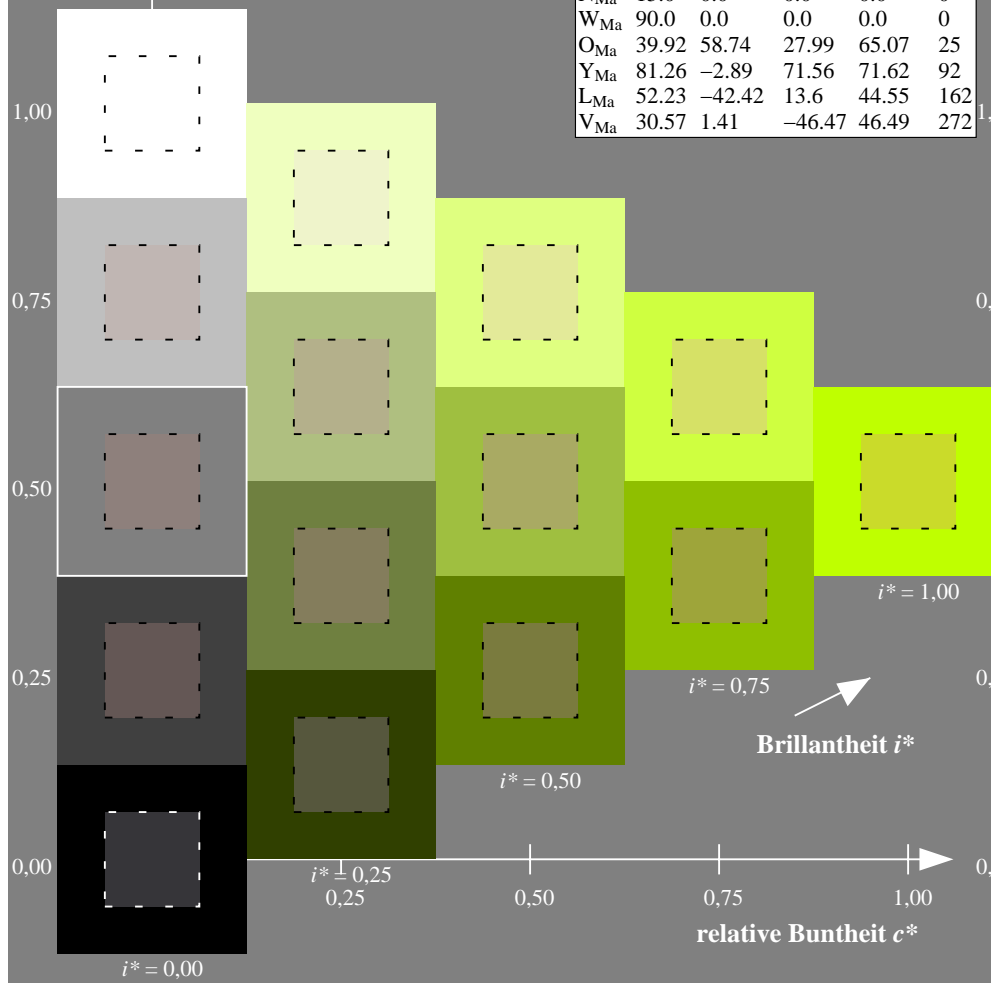
%Regularität

$g^*_{H,rel} = 31$

$g^*_{C,rel} = 40$

FRS15_90a; adaptierte CIELAB-Daten

u^*_d	$L^*=L^*_a$	a^*_a	b^*_a	$C^*_{ab,a}$	$h^*_{ab,a}$	u^*_e
<i>o00y</i>	38.8	53.92	39.68	66.95	36	<i>r16j</i>
<i>o25y</i>	47.46	42.34	51.25	66.48	50	<i>r37j</i>
<i>o50y</i>	56.54	30.2	63.39	70.22	65	<i>r58j</i>
<i>o75y</i>	67.39	15.68	77.9	79.47	79	<i>r79j</i>
<i>y00l</i>	82.58	-4.64	98.22	98.33	93	<i>j01g</i>
<i>y25l</i>	70.85	-21.66	80.19	83.07	105	<i>j18g</i>
<i>y50l</i>	61.91	-34.63	66.45	74.93	118	<i>j36g</i>
<i>y75l</i>	54.24	-45.77	54.66	71.29	130	<i>j53g</i>
<i>l00c</i>	46.95	-56.34	43.46	71.15	142	<i>j71g</i>
<i>l50c</i>	51.91	-36.84	-3.21	36.98	185	<i>g21b</i>
<i>c00v</i>	54.62	-26.2	-28.68	38.85	228	<i>g60b</i>
<i>c50v</i>	42.22	-0.61	-37.35	37.36	269	<i>g97b</i>
<i>v00m</i>	20.01	45.2	-52.87	69.56	311	<i>b34r</i>
<i>v50m</i>	29.93	57.31	-42.0	71.05	324	<i>b45r</i>
<i>m00o</i>	40.88	70.68	-29.99	76.78	337	<i>b57r</i>
<i>m50o</i>	39.77	61.72	7.23	62.15	7	<i>b83r</i>



Ein und Ausgabe: Farbmetrisches Drucker-Reflektiv-System FRS15_90a für relativen CIELAB-Buntton $h^* = lab^*h^* = h_{ab}/360 = 0.326$

Daten für jede Farbe:

lab^*ch^* und lab^*icu^*

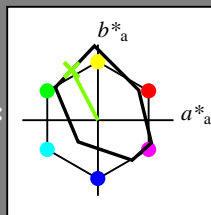
Bunttontexte:

$u^*_d = y50l$ $u^*_e = j36g$

Kontrastreduzierungsfaktor:

$c_R = 0.9$

Dreiecks-Helligkeit i^*



FRS15_90a; adaptierte CIELAB-Daten

u^*_d	$L^*=L^*_a$	a^*_a	b^*_a	$C^*_{ab,a}$	$h^*_{ab,a}$
O _{Ma}	38.8	53.92	39.68	66.95	36
Y _{Ma}	82.58	-4.64	98.22	98.33	93
L _{Ma}	46.95	-56.34	43.46	71.15	142
C _{Ma}	54.62	-26.2	-28.68	38.85	228
V _{Ma}	20.01	45.2	-52.87	69.56	311
M _{Ma}	40.88	70.68	-29.99	76.78	337
N _{Ma}	15.0	0.0	0.0	0.0	0
W _{Ma}	90.0	0.0	0.0	0.0	0
O _{Ma}	39.92	58.74	27.99	65.07	25
Y _{Ma}	81.26	-2.89	71.56	71.62	92
L _{Ma}	52.23	-42.42	13.6	44.55	162
V _{Ma}	30.57	1.41	-46.47	46.49	272

Daten für Maximalfarbe (Ma):

$LAB^*LAB^*_{Ma}$: 62 -35 66

$LAB^*LCH^*_{Ma}$: 62 75 117

$lab^*olv^*_{Ma}$: 0.5 1.0 0.0

$lab^*rgb^*_{Ma}$: 0.64 1.0 0.0

Dreiecks-Helligkeit i^*

%Umfang

$u^*_{rel} = 88$

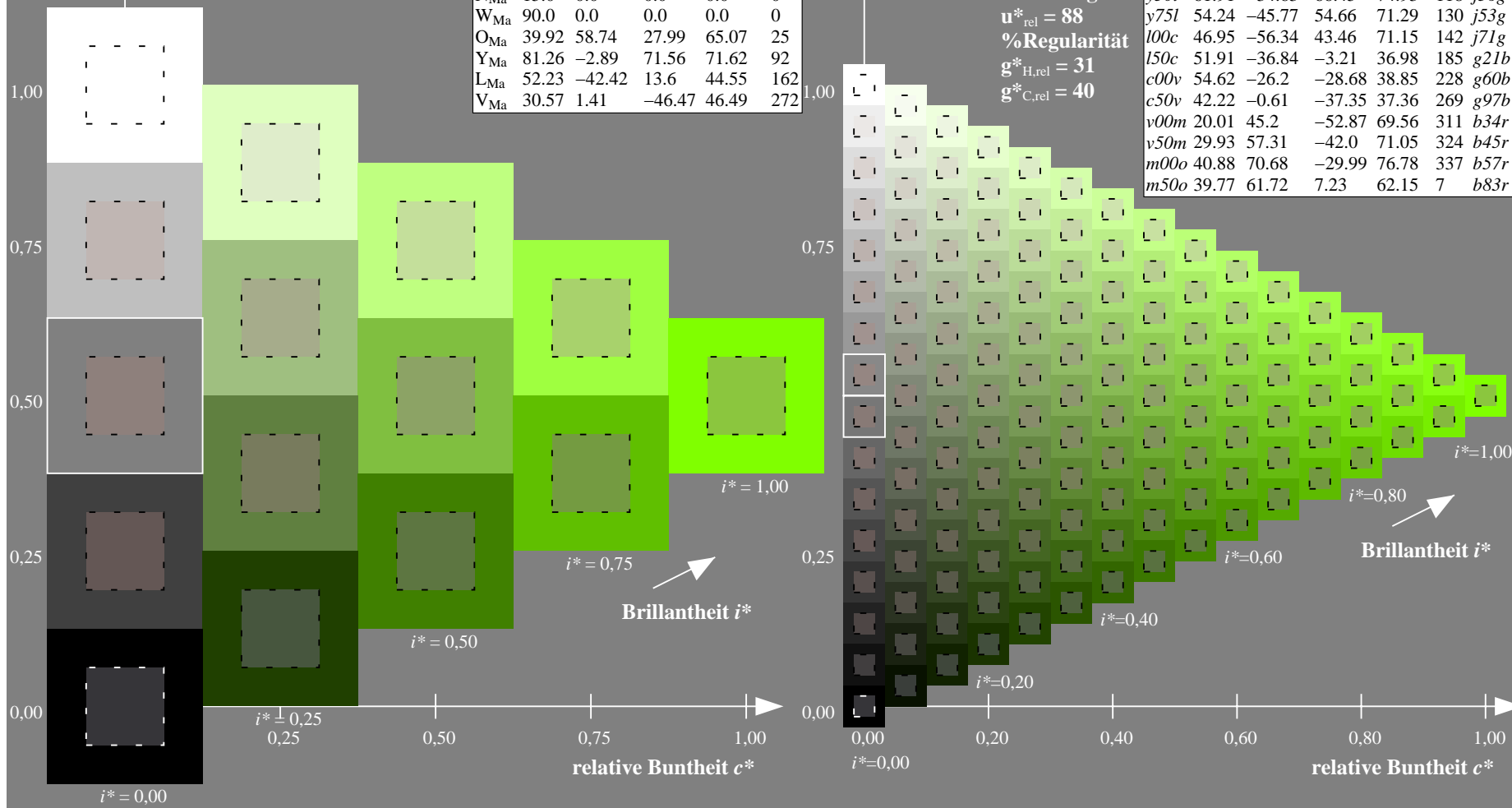
%Regularität

$g^*_{H,rel} = 31$

$g^*_{C,rel} = 40$

FRS15_90a; adaptierte CIELAB-Daten

u^*_d	$L^*=L^*_a$	a^*_a	b^*_a	$C^*_{ab,a}$	$h^*_{ab,a}$	u^*_e
<i>o00y</i>	38.8	53.92	39.68	66.95	36	<i>r16j</i>
<i>o25y</i>	47.46	42.34	51.25	66.48	50	<i>r37j</i>
<i>o50y</i>	56.54	30.2	63.39	70.22	65	<i>r58j</i>
<i>o75y</i>	67.39	15.68	77.9	79.47	79	<i>r79j</i>
<i>y00l</i>	82.58	-4.64	98.22	98.33	93	<i>j01g</i>
<i>y25l</i>	70.85	-21.66	80.19	83.07	105	<i>j18g</i>
<i>y50l</i>	61.91	-34.63	66.45	74.93	118	<i>j36g</i>
<i>y75l</i>	54.24	-45.77	54.66	71.29	130	<i>j53g</i>
<i>l00c</i>	46.95	-56.34	43.46	71.15	142	<i>j71g</i>
<i>l50c</i>	51.91	-36.84	-3.21	36.98	185	<i>g21b</i>
<i>c00v</i>	54.62	-26.2	-28.68	38.85	228	<i>g60b</i>
<i>c50v</i>	42.22	-0.61	-37.35	37.36	269	<i>g97b</i>
<i>v00m</i>	20.01	45.2	-52.87	69.56	311	<i>b34r</i>
<i>v50m</i>	29.93	57.31	-42.0	71.05	324	<i>b45r</i>
<i>m00o</i>	40.88	70.68	-29.99	76.78	337	<i>b57r</i>
<i>m50o</i>	39.77	61.72	7.23	62.15	7	<i>b83r</i>



Ein und Ausgabe: Farbmetrisches Drucker-Reflektiv-System FRS15_90a für relativen CIELAB-Buntton $h^* = lab^*h^* = h_{ab}/360 = 0.361$

Daten für jede Farbe:

lab^*ch^* und lab^*icu^*

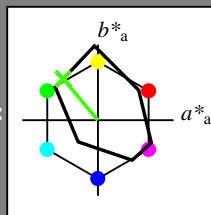
Bunttontexte:

$u^*_d = y75l$ $u^*_e = j53g$

Kontrastreduzierungsfaktor:

$c_R = 0.9$

Dreiecks-Helligkeit i^*



FRS15_90a; adaptierte CIELAB-Daten

u^*_d	$L^*=L^*_a$	a^*_a	b^*_a	$C^*_{ab,a}$	$h^*_{ab,a}$
O _{Ma}	38.8	53.92	39.68	66.95	36
Y _{Ma}	82.58	-4.64	98.22	98.33	93
L _{Ma}	46.95	-56.34	43.46	71.15	142
C _{Ma}	54.62	-26.2	-28.68	38.85	228
V _{Ma}	20.01	45.2	-52.87	69.56	311
M _{Ma}	40.88	70.68	-29.99	76.78	337
N _{Ma}	15.0	0.0	0.0	0.0	0
W _{Ma}	90.0	0.0	0.0	0.0	0
O _{Ma}	39.92	58.74	27.99	65.07	25
Y _{Ma}	81.26	-2.89	71.56	71.62	92
L _{Ma}	52.23	-42.42	13.6	44.55	162
V _{Ma}	30.57	1.41	-46.47	46.49	272

Daten für Maximalfarbe (Ma):

$LAB^*LAB^*_{Ma}$: 54 -46 55

$LAB^*LCH^*_{Ma}$: 54 71 129

$lab^*olv^*_{Ma}$: 0.25 1.0 0.0

$lab^*rgb^*_{Ma}$: 0.46 1.0 0.0

Dreiecks-Helligkeit i^*

%Umfang

$u^*_{rel} = 88$

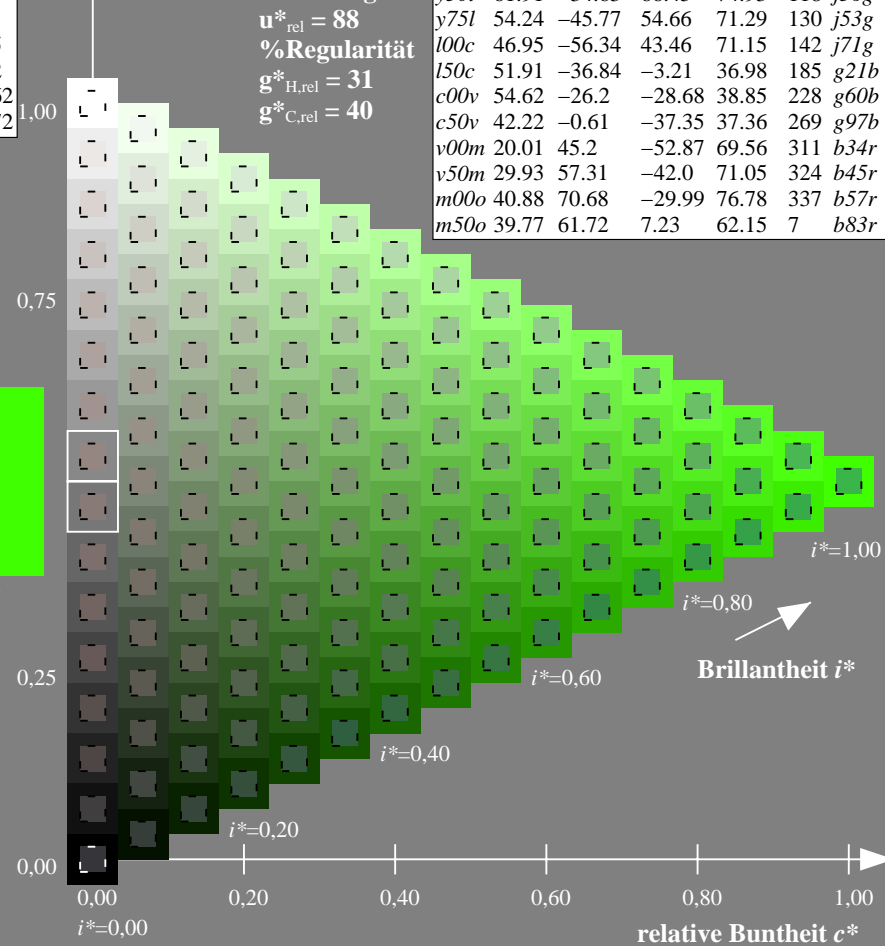
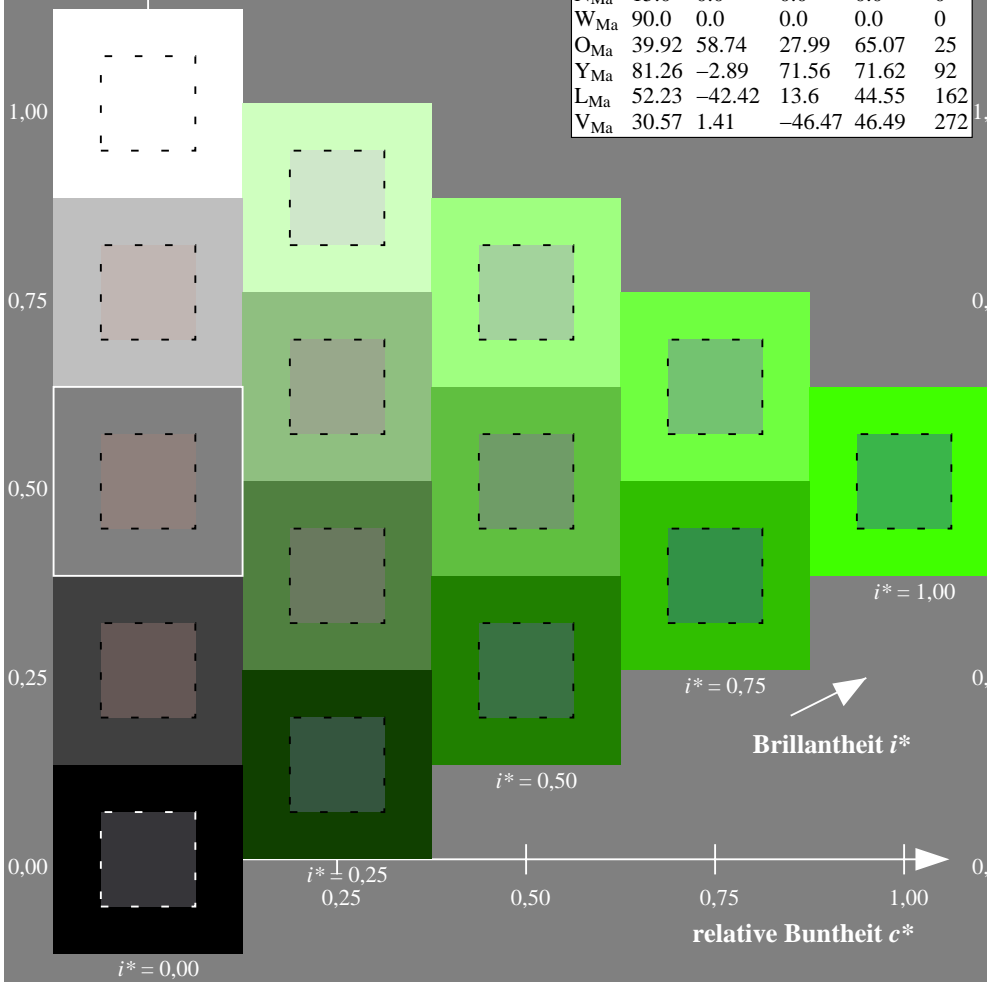
%Regularität

$g^*_{H,rel} = 31$

$g^*_{C,rel} = 40$

FRS15_90a; adaptierte CIELAB-Daten

u^*_d	$L^*=L^*_a$	a^*_a	b^*_a	$C^*_{ab,a}$	$h^*_{ab,a}$	u^*_e
o00y	38.8	53.92	39.68	66.95	36	r16j
o25y	47.46	42.34	51.25	66.48	50	r37j
o50y	56.54	30.2	63.39	70.22	65	r58j
o75y	67.39	15.68	77.9	79.47	79	r79j
y00l	82.58	-4.64	98.22	98.33	93	j01g
y25l	70.85	-21.66	80.19	83.07	105	j18g
y50l	61.91	-34.63	66.45	74.93	118	j36g
y75l	54.24	-45.77	54.66	71.29	130	j53g
l00c	46.95	-56.34	43.46	71.15	142	j71g
l50c	51.91	-36.84	-3.21	36.98	185	g21b
c00v	54.62	-26.2	-28.68	38.85	228	g60b
c50v	42.22	-0.61	-37.35	37.36	269	g97b
v00m	20.01	45.2	-52.87	69.56	311	b34r
v50m	29.93	57.31	-42.0	71.05	324	b45r
m00o	40.88	70.68	-29.99	76.78	337	b57r
m50o	39.77	61.72	7.23	62.15	7	b83r



Ein und Ausgabe: Farbmetrisches Drucker-Reflektiv-System FRS15_90a für relativen CIELAB-Buntton $h^* = lab^*h^* = h_{ab}/360 = 0.395$

Daten für jede Farbe:

lab^*ch^* und lab^*icu^*

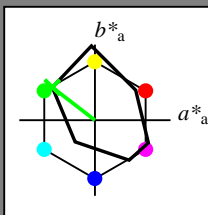
Bunttontexte:

$u^*_d = 100c$ $u^*_e = j71g$

Kontrastreduzierungsfaktor:

$c_R = 0.9$

Dreiecks-Helligkeit i^*



FRS15_90a; adaptierte CIELAB-Daten

u^*_d	$L^*=L^*_a$	a^*_a	b^*_a	$C^*_{ab,a}$	$h^*_{ab,a}$
O _{Ma}	38.8	53.92	39.68	66.95	36
Y _{Ma}	82.58	-4.64	98.22	98.33	93
L _{Ma}	46.95	-56.34	43.46	71.15	142
C _{Ma}	54.62	-26.2	-28.68	38.85	228
V _{Ma}	20.01	45.2	-52.87	69.56	311
M _{Ma}	40.88	70.68	-29.99	76.78	337
N _{Ma}	15.0	0.0	0.0	0.0	0
W _{Ma}	90.0	0.0	0.0	0.0	0
O _{Ma}	39.92	58.74	27.99	65.07	25
Y _{Ma}	81.26	-2.89	71.56	71.62	92
L _{Ma}	52.23	-42.42	13.6	44.55	162
V _{Ma}	30.57	1.41	-46.47	46.49	272

Daten für Maximalfarbe (Ma):

$LAB^*LAB^*_{Ma}$: 47 -56 43

$LAB^*LCH^*_{Ma}$: 47 71 142

$lab^*olv^*_{Ma}$: 0.0 1.0 0.0

$lab^*rgb^*_{Ma}$: 0.28 1.0 0.0

Dreiecks-Helligkeit i^*

%Umfang

$u^*_{rel} = 88$

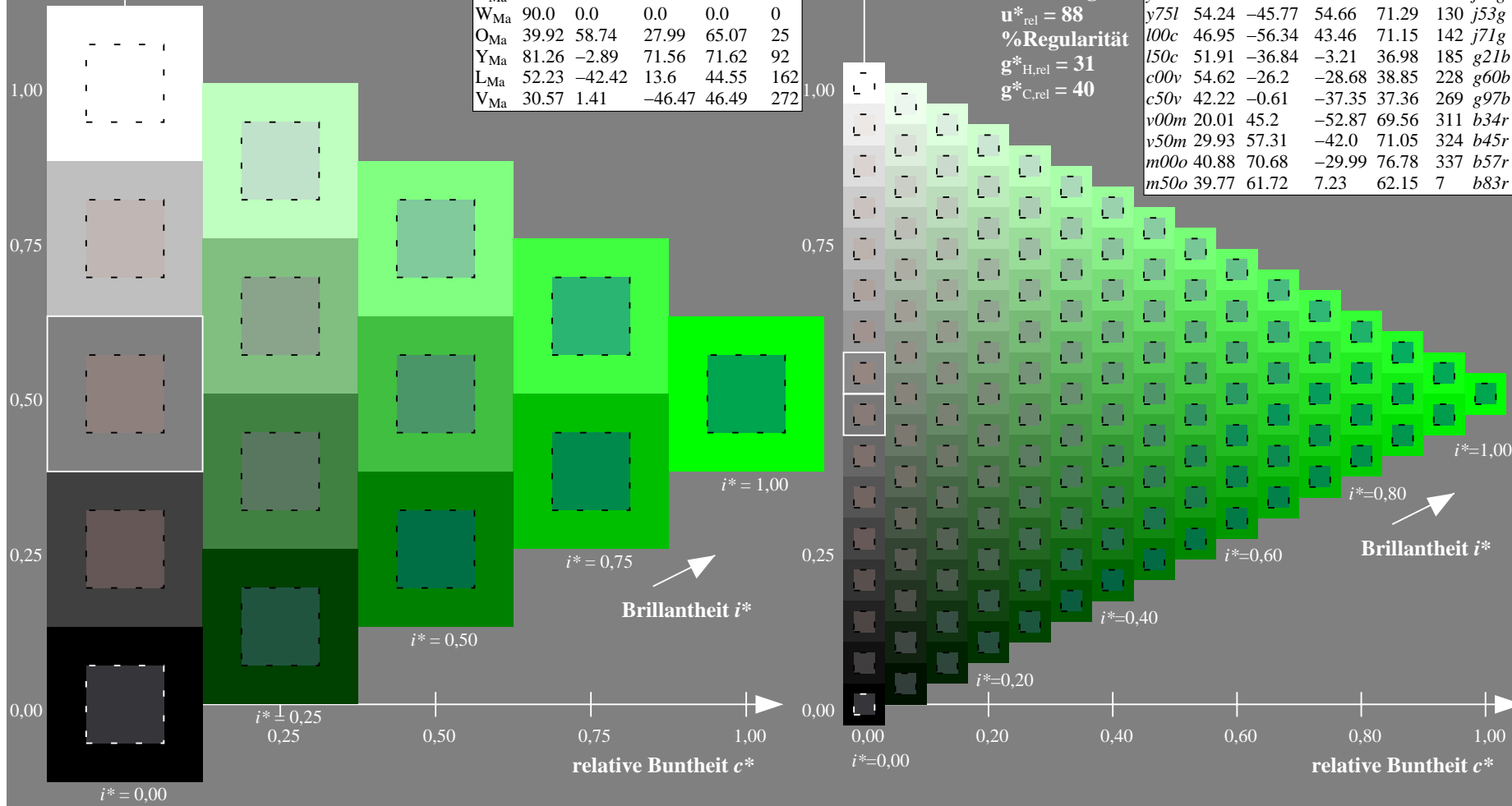
%Regularität

$g^*_{H,rel} = 31$

$g^*_{C,rel} = 40$

FRS15_90a; adaptierte CIELAB-Daten

u^*_d	$L^*=L^*_a$	a^*_a	b^*_a	$C^*_{ab,a}$	$h^*_{ab,a}$	u^*_e
o00y	38.8	53.92	39.68	66.95	36	r16j
o25y	47.46	42.34	51.25	66.48	50	r37j
o50y	56.54	30.2	63.39	70.22	65	r58j
o75y	67.39	15.68	77.9	79.47	79	r79j
y00l	82.58	-4.64	98.22	98.33	93	j01g
y25l	70.85	-21.66	80.19	83.07	105	j18g
y50l	61.91	-34.63	66.45	74.93	118	j36g
y75l	54.24	-45.77	54.66	71.29	130	j53g
l00c	46.95	-56.34	43.46	71.15	142	j71g
l50c	51.91	-36.84	-3.21	36.98	185	g21b
c00v	54.62	-26.2	-28.68	38.85	228	g60b
c50v	42.22	-0.61	-37.35	37.36	269	g97b
v00m	20.01	45.2	-52.87	69.56	311	b34r
v50m	29.93	57.31	-42.0	71.05	324	b45r
m00o	40.88	70.68	-29.99	76.78	337	b57r
m50o	39.77	61.72	7.23	62.15	7	b83r



Ein und Ausgabe: Farbmetrisches Drucker-Reflektiv-System FRS15_90a für relativen CIELAB-Buntton $h^* = lab^*h^* = h_{ab}/360 = 0.514$

Daten für jede Farbe:

lab^*ch^* und lab^*icu^*

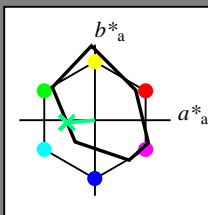
Bunttontexte:

$u^*_d = l50c$ $u^*_e = g21b$

Kontrastreduzierungsfaktor:

$c_R = 0.9$

Dreiecks-Helligkeit i^*



FRS15_90a; adaptierte CIELAB-Daten

u^*_d	$L^*=L^*_a$	a^*_a	b^*_a	$C^*_{ab,a}$	$h^*_{ab,a}$
O _{Ma}	38.8	53.92	39.68	66.95	36
Y _{Ma}	82.58	-4.64	98.22	98.33	93
L _{Ma}	46.95	-56.34	43.46	71.15	142
C _{Ma}	54.62	-26.2	-28.68	38.85	228
V _{Ma}	20.01	45.2	-52.87	69.56	311
M _{Ma}	40.88	70.68	-29.99	76.78	337
N _{Ma}	15.0	0.0	0.0	0.0	0
W _{Ma}	90.0	0.0	0.0	0.0	0
O _{Ma}	39.92	58.74	27.99	65.07	25
Y _{Ma}	81.26	-2.89	71.56	71.62	92
L _{Ma}	52.23	-42.42	13.6	44.55	162
V _{Ma}	30.57	1.41	-46.47	46.49	272

Daten für Maximalfarbe (Ma):

$LAB^*LAB^*_{Ma}$: 52 -37 -3

$LAB^*LCH^*_{Ma}$: 52 37 184

$lab^*olv^*_{Ma}$: 0.0 1.0 0.5

$lab^*rgb^*_{Ma}$: 0.0 1.0 0.42

Dreiecks-Helligkeit i^*

%Umfang

$u^*_{rel} = 88$

%Regularität

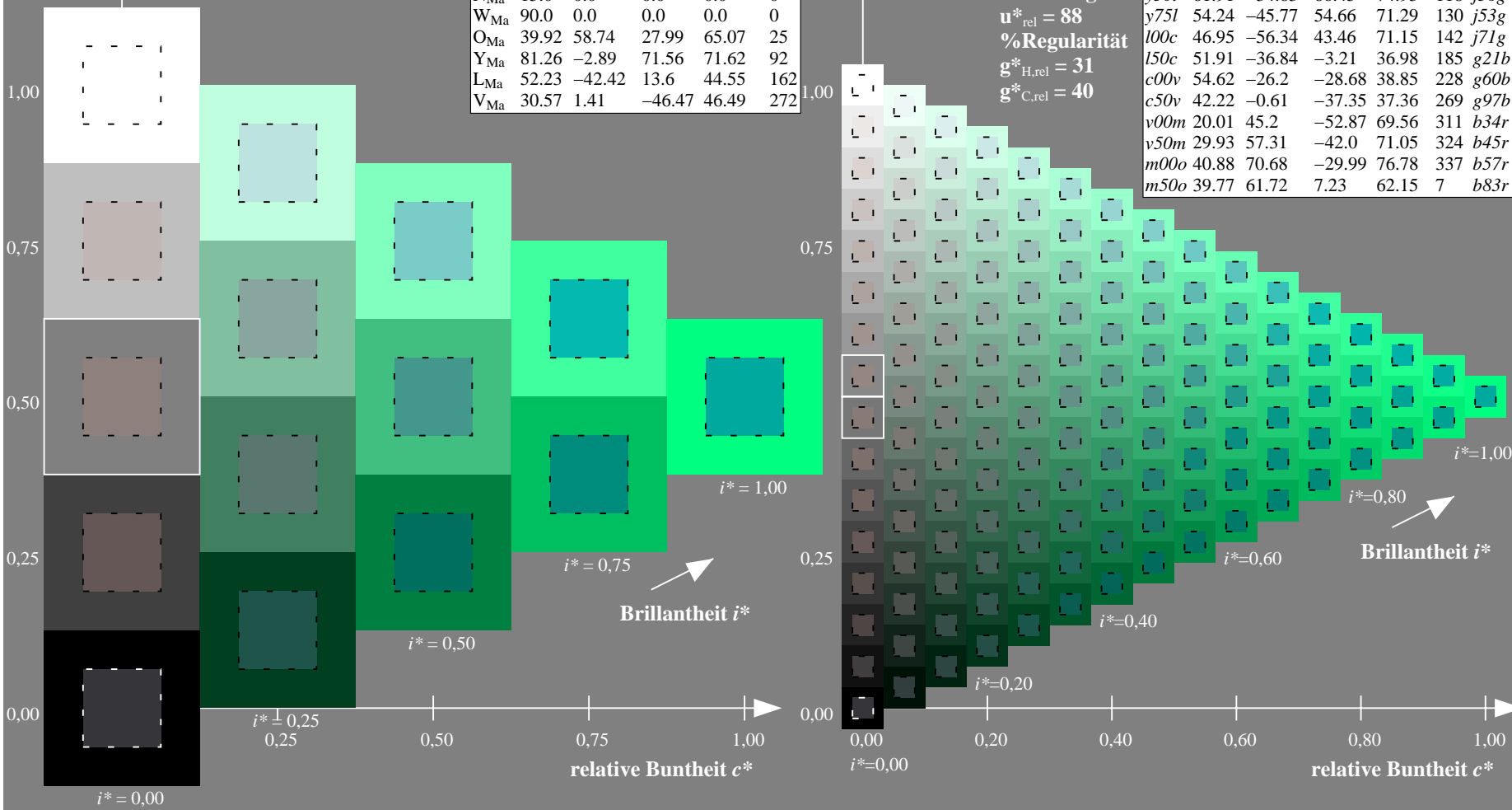
$g^*_{H,rel} = 31$

$g^*_{C,rel} = 40$

FRS15_90a; adaptierte CIELAB-Daten

u^*_d	$L^*=L^*_a$	a^*_a	b^*_a	$C^*_{ab,a}$	$h^*_{ab,a}$	u^*_e
o00y	38.8	53.92	39.68	66.95	36	r16j
o25y	47.46	42.34	51.25	66.48	50	r37j
o50y	56.54	30.2	63.39	70.22	65	r58j
o75y	67.39	15.68	77.9	79.47	79	r79j
y00l	82.58	-4.64	98.22	98.33	93	j01g
y25l	70.85	-21.66	80.19	83.07	105	j18g
y50l	61.91	-34.63	66.45	74.93	118	j36g
y75l	54.24	-45.77	54.66	71.29	130	j53g
l00c	46.95	-56.34	43.46	71.15	142	j71g
l50c	51.91	-36.84	-3.21	36.98	185	g21b
c00v	54.62	-26.2	-28.68	38.85	228	g60b
c50v	42.22	-0.61	-37.35	37.36	269	g97b
v00m	20.01	45.2	-52.87	69.56	311	b34r
v50m	29.93	57.31	-42.0	71.05	324	b45r
m00o	40.88	70.68	-29.99	76.78	337	b57r
m50o	39.77	61.72	7.23	62.15	7	b83r

$u^*_d = l50c$



Ein und Ausgabe: Farbmetrisches Drucker-Reflektiv-System FRS15_90a für relativen CIELAB-Buntton $h^* = lab^*h^* = h_{ab}/360 = 0.632$

Daten für jede Farbe:

lab^*ch^* und lab^*icu^*

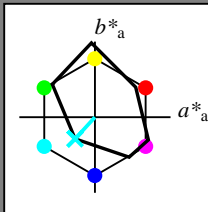
Bunttontexte:

$u^*_d = c00v$ $u^*_e = g60b$

Kontrastreduzierungsfaktor:

$c_R = 0.9$

Dreiecks-Helligkeit i^*



FRS15_90a; adaptierte CIELAB-Daten

u^*_d	$L^*=L^*_a$	a^*_a	b^*_a	$C^*_{ab,a}$	$h^*_{ab,a}$
O _{Ma}	38.8	53.92	39.68	66.95	36
Y _{Ma}	82.58	-4.64	98.22	98.33	93
L _{Ma}	46.95	-56.34	43.46	71.15	142
C _{Ma}	54.62	-26.2	-28.68	38.85	228
V _{Ma}	20.01	45.2	-52.87	69.56	311
M _{Ma}	40.88	70.68	-29.99	76.78	337
N _{Ma}	15.0	0.0	0.0	0.0	0
W _{Ma}	90.0	0.0	0.0	0.0	0
O _{Ma}	39.92	58.74	27.99	65.07	25
Y _{Ma}	81.26	-2.89	71.56	71.62	92
L _{Ma}	52.23	-42.42	13.6	44.55	162
V _{Ma}	30.57	1.41	-46.47	46.49	272

Daten für Maximalfarbe (Ma):

$LAB^*LAB^*_{Ma}$: 55 -26 -29

$LAB^*LCH^*_{Ma}$: 55 39 227

$lab^*olv^*_{Ma}$: 0.0 1.0 1.0

$lab^*rgb^*_{Ma}$: 0.0 0.81 1.0

Dreiecks-Helligkeit i^*

%Umfang

$u^*_{rel} = 88$

%Regularität

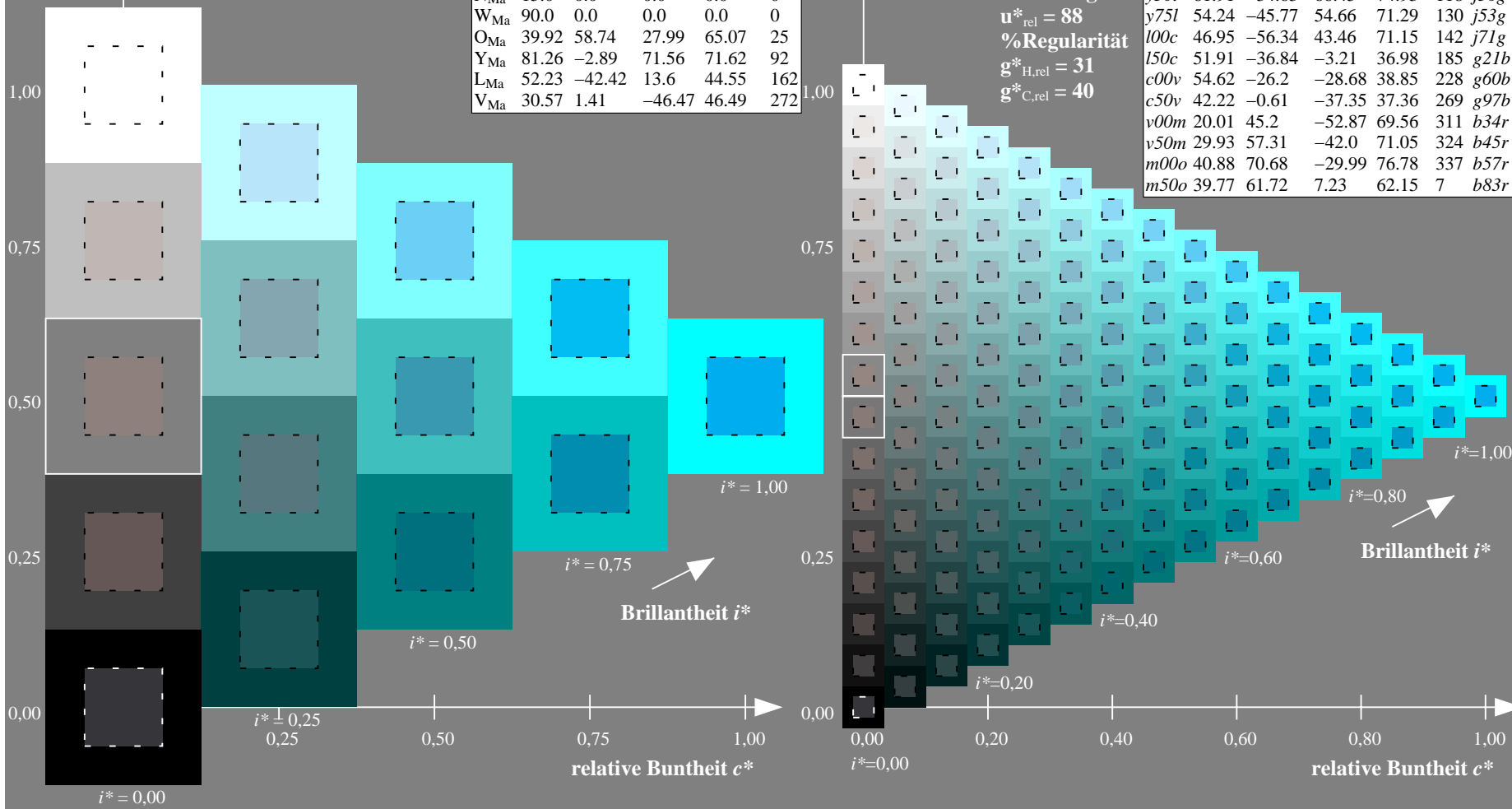
$g^*_{H,rel} = 31$

$g^*_{C,rel} = 40$

FRS15_90a; adaptierte CIELAB-Daten

u^*_d	$L^*=L^*_a$	a^*_a	b^*_a	$C^*_{ab,a}$	$h^*_{ab,a}$	u^*_e
<i>o00y</i>	38.8	53.92	39.68	66.95	36	<i>r16j</i>
<i>o25y</i>	47.46	42.34	51.25	66.48	50	<i>r37j</i>
<i>o50y</i>	56.54	30.2	63.39	70.22	65	<i>r58j</i>
<i>o75y</i>	67.39	15.68	77.9	79.47	79	<i>r79j</i>
<i>y00l</i>	82.58	-4.64	98.22	98.33	93	<i>j01g</i>
<i>y25l</i>	70.85	-21.66	80.19	83.07	105	<i>j18g</i>
<i>y50l</i>	61.91	-34.63	66.45	74.93	118	<i>j36g</i>
<i>y75l</i>	54.24	-45.77	54.66	71.29	130	<i>j53g</i>
<i>l00c</i>	46.95	-56.34	43.46	71.15	142	<i>j71g</i>
<i>l50c</i>	51.91	-36.84	-3.21	36.98	185	<i>g21b</i>
<i>c00v</i>	54.62	-26.2	-28.68	38.85	228	<i>g60b</i>
<i>c50v</i>	42.22	-0.61	-37.35	37.36	269	<i>g97b</i>
<i>v00m</i>	20.01	45.2	-52.87	69.56	311	<i>b34r</i>
<i>v50m</i>	29.93	57.31	-42.0	71.05	324	<i>b45r</i>
<i>m00o</i>	40.88	70.68	-29.99	76.78	337	<i>b57r</i>
<i>m50o</i>	39.77	61.72	7.23	62.15	7	<i>b83r</i>

$u^*_d = c00v$



Ein und Ausgabe: Farbmetrisches Drucker-Reflektiv-System FRS15_90a für relativen CIELAB-Buntton $h^* = lab^*h^* = h_{ab}/360 = 0.747$

Daten für jede Farbe:

lab^*ch^* und lab^*icu^*

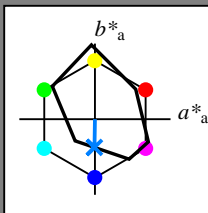
Bunttontexte:

$u^*_d = c50v$ $u^*_e = g97b$

Kontrastreduzierungsfaktor:

$c_R = 0.9$

Dreiecks-Helligkeit i^*



FRS15_90a; adaptierte CIELAB-Daten

u^*_d	$L^*=L^*_a$	a^*_a	b^*_a	$C^*_{ab,a}$	$h^*_{ab,a}$
O _{Ma}	38.8	53.92	39.68	66.95	36
Y _{Ma}	82.58	-4.64	98.22	98.33	93
L _{Ma}	46.95	-56.34	43.46	71.15	142
C _{Ma}	54.62	-26.2	-28.68	38.85	228
V _{Ma}	20.01	45.2	-52.87	69.56	311
M _{Ma}	40.88	70.68	-29.99	76.78	337
N _{Ma}	15.0	0.0	0.0	0.0	0
W _{Ma}	90.0	0.0	0.0	0.0	0
O _{Ma}	39.92	58.74	27.99	65.07	25
Y _{Ma}	81.26	-2.89	71.56	71.62	92
L _{Ma}	52.23	-42.42	13.6	44.55	162
V _{Ma}	30.57	1.41	-46.47	46.49	272

Daten für Maximalfarbe (Ma):

$LAB^*LAB^*_{Ma}$: 42 -1 -37

$LAB^*LCH^*_{Ma}$: 42 37 269

$lab^*olv^*_{Ma}$: 0.0 0.5 1.0

$lab^*rgb^*_{Ma}$: 0.0 0.05 1.0

Dreiecks-Helligkeit i^*

%Umfang

$u^*_{rel} = 88$

%Regularität

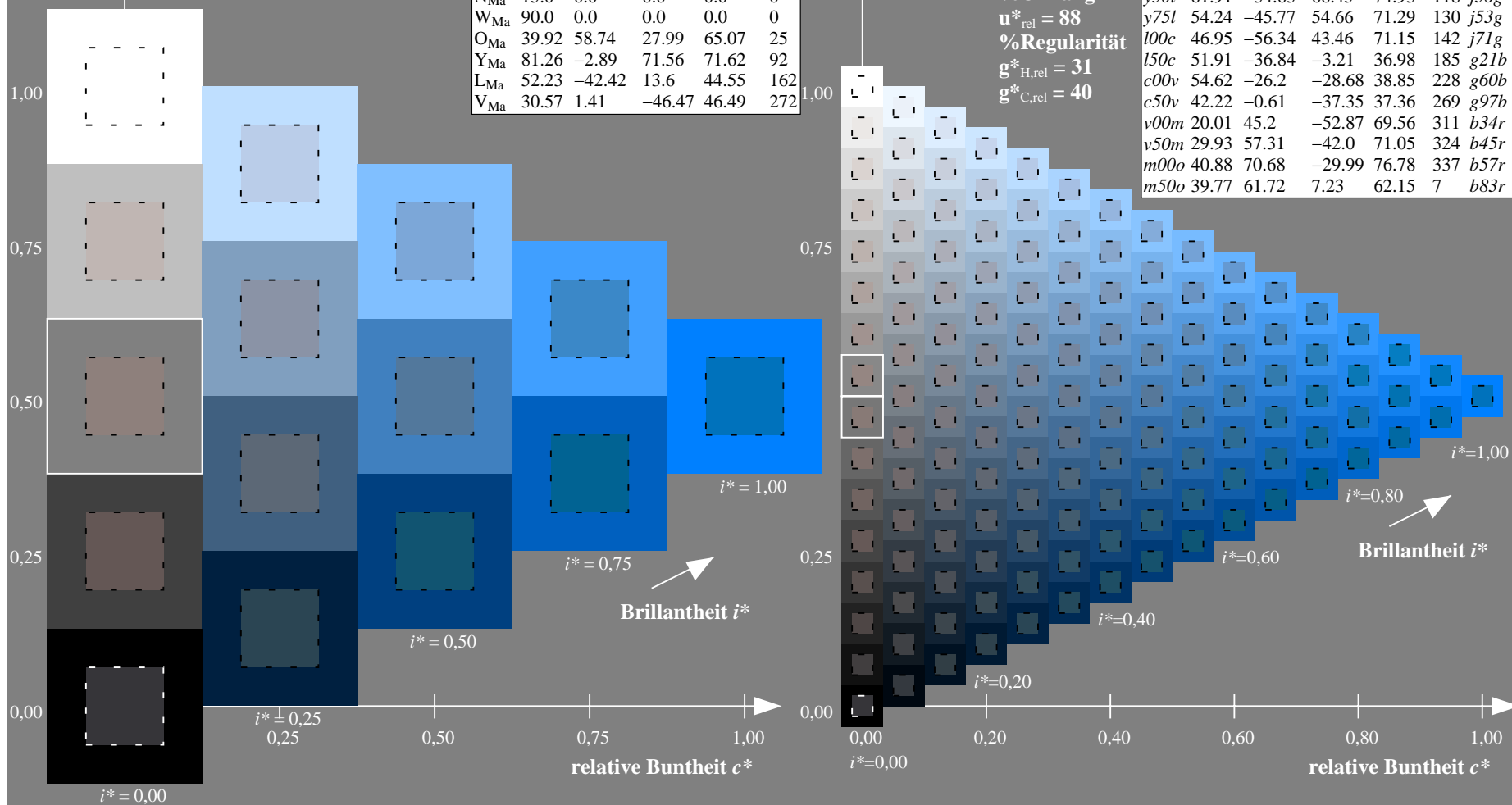
$g^*_{H,rel} = 31$

$g^*_{C,rel} = 40$

FRS15_90a; adaptierte CIELAB-Daten

u^*_d	$L^*=L^*_a$	a^*_a	b^*_a	$C^*_{ab,a}$	$h^*_{ab,a}$	u^*_e
o00y	38.8	53.92	39.68	66.95	36	r16j
o25y	47.46	42.34	51.25	66.48	50	r37j
o50y	56.54	30.2	63.39	70.22	65	r58j
o75y	67.39	15.68	77.9	79.47	79	r79j
y00l	82.58	-4.64	98.22	98.33	93	j01g
y25l	70.85	-21.66	80.19	83.07	105	j18g
y50l	61.91	-34.63	66.45	74.93	118	j36g
y75l	54.24	-45.77	54.66	71.29	130	j53g
l00c	46.95	-56.34	43.46	71.15	142	j71g
l50c	51.91	-36.84	-3.21	36.98	185	g21b
c00v	54.62	-26.2	-28.68	38.85	228	g60b
c50v	42.22	-0.61	-37.35	37.36	269	g97b
v00m	20.01	45.2	-52.87	69.56	311	b34r
v50m	29.93	57.31	-42.0	71.05	324	b45r
m00o	40.88	70.68	-29.99	76.78	337	b57r
m50o	39.77	61.72	7.23	62.15	7	b83r

$u^*_d = c50v$



Ein und Ausgabe: Farbmetrisches Drucker-Reflektiv-System FRS15_90a für relativen CIELAB-Buntton $h^* = lab^*h^* = h_{ab}/360 = 0.863$

Daten für jede Farbe:

lab^*ch^* und lab^*icu^*

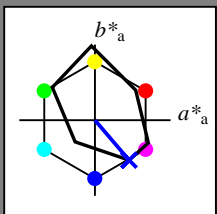
Bunttontexte:

$u^*_d = v00m$ $u^*_e = b34r$

Kontrastreduzierungsfaktor:

$c_R = 0.9$

Dreiecks-Helligkeit i^*



FRS15_90a; adaptierte CIELAB-Daten

u^*_d	$L^*=L^*_a$	a^*_a	b^*_a	$C^*_{ab,a}$	$h^*_{ab,a}$
O _{Ma}	38.8	53.92	39.68	66.95	36
Y _{Ma}	82.58	-4.64	98.22	98.33	93
L _{Ma}	46.95	-56.34	43.46	71.15	142
C _{Ma}	54.62	-26.2	-28.68	38.85	228
V _{Ma}	20.01	45.2	-52.87	69.56	311
M _{Ma}	40.88	70.68	-29.99	76.78	337
N _{Ma}	15.0	0.0	0.0	0.0	0
W _{Ma}	90.0	0.0	0.0	0.0	0
O _{Ma}	39.92	58.74	27.99	65.07	25
Y _{Ma}	81.26	-2.89	71.56	71.62	92
L _{Ma}	52.23	-42.42	13.6	44.55	162
V _{Ma}	30.57	1.41	-46.47	46.49	272

Daten für Maximalfarbe (Ma):

$LAB^*LAB^*_{Ma}$: 20 45 -53

$LAB^*LCH^*_{Ma}$: 20 70 310

$lab^*olv^*_{Ma}$: 0.0 0.0 1.0

$lab^*rgb^*_{Ma}$: 0.68 0.0 1.0

Dreiecks-Helligkeit i^*

%Umfang

$u^*_{rel} = 88$

%Regularität

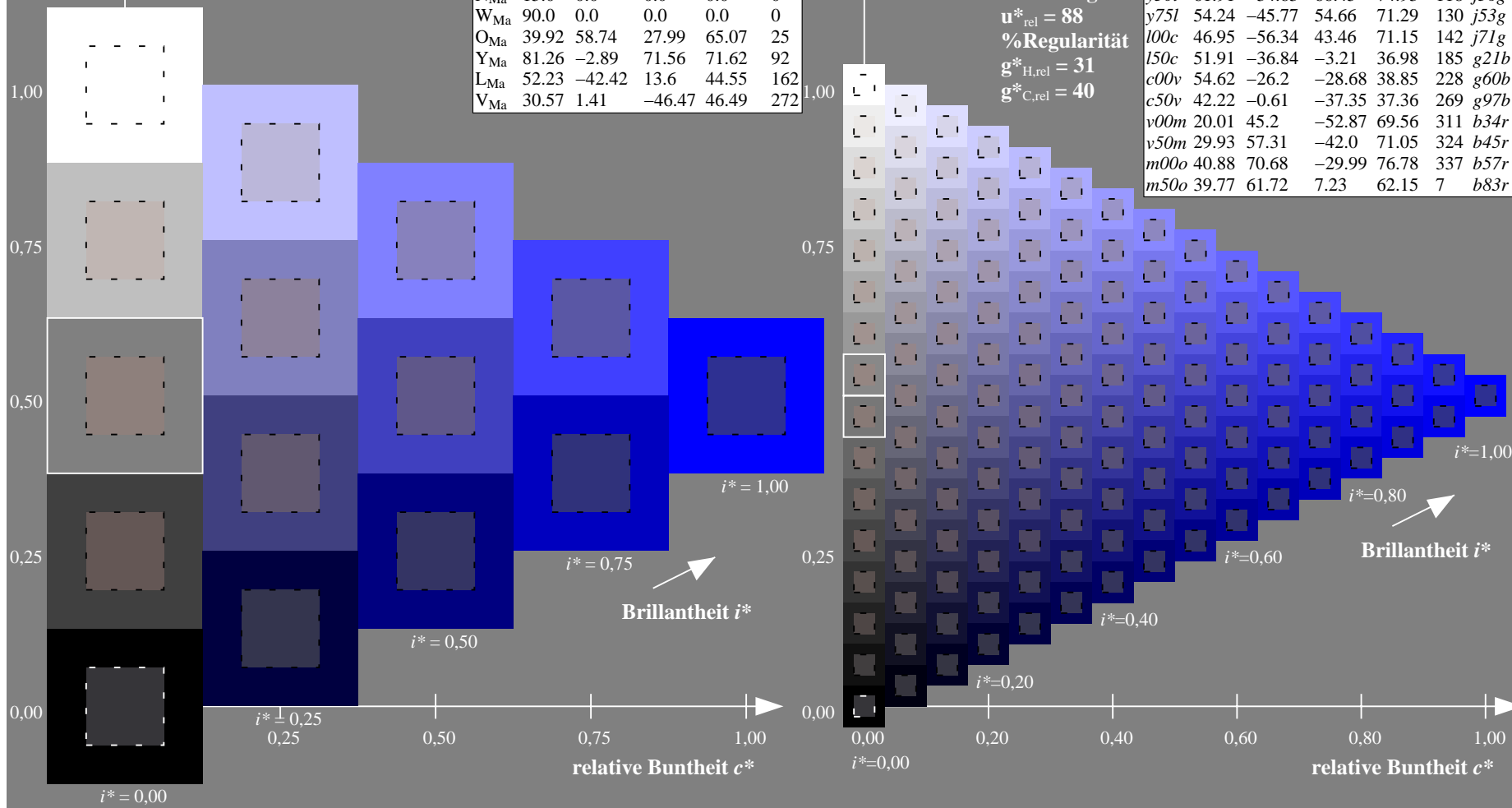
$g^*_{H,rel} = 31$

$g^*_{C,rel} = 40$

FRS15_90a; adaptierte CIELAB-Daten

u^*_d	$L^*=L^*_a$	a^*_a	b^*_a	$C^*_{ab,a}$	$h^*_{ab,a}$	u^*_e
o00y	38.8	53.92	39.68	66.95	36	r16j
o25y	47.46	42.34	51.25	66.48	50	r37j
o50y	56.54	30.2	63.39	70.22	65	r58j
o75y	67.39	15.68	77.9	79.47	79	r79j
y00l	82.58	-4.64	98.22	98.33	93	j01g
y25l	70.85	-21.66	80.19	83.07	105	j18g
y50l	61.91	-34.63	66.45	74.93	118	j36g
y75l	54.24	-45.77	54.66	71.29	130	j53g
l00c	46.95	-56.34	43.46	71.15	142	j71g
l50c	51.91	-36.84	-3.21	36.98	185	g21b
c00v	54.62	-26.2	-28.68	38.85	228	g60b
c50v	42.22	-0.61	-37.35	37.36	269	g97b
v00m	20.01	45.2	-52.87	69.56	311	b34r
v50m	29.93	57.31	-42.0	71.05	324	b45r
m00o	40.88	70.68	-29.99	76.78	337	b57r
m50o	39.77	61.72	7.23	62.15	7	b83r

$u^*_d = v00m$



Ein und Ausgabe: Farbmetrisches Drucker-Reflektiv-System FRS15_90a für relativen CIELAB-Buntton $h^* = lab^*h^* = h_{ab}/360 = 0.899$

Daten für jede Farbe:

lab^*ch^* und lab^*icu^*

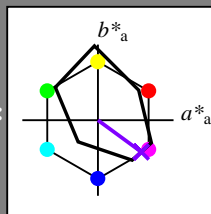
Bunttontexte:

$u^*_d = v50m$ $u^*_e = b45r$

Kontrastreduzierungsfaktor:

$c_R = 0.9$

Dreiecks-Helligkeit i^*



FRS15_90a; adaptierte CIELAB-Daten

u^*_d	$L^*=L^*_a$	a^*_a	b^*_a	$C^*_{ab,a}$	$h^*_{ab,a}$
O _{Ma}	38.8	53.92	39.68	66.95	36
Y _{Ma}	82.58	-4.64	98.22	98.33	93
L _{Ma}	46.95	-56.34	43.46	71.15	142
C _{Ma}	54.62	-26.2	-28.68	38.85	228
V _{Ma}	20.01	45.2	-52.87	69.56	311
M _{Ma}	40.88	70.68	-29.99	76.78	337
N _{Ma}	15.0	0.0	0.0	0.0	0
W _{Ma}	90.0	0.0	0.0	0.0	0
O _{Ma}	39.92	58.74	27.99	65.07	25
Y _{Ma}	81.26	-2.89	71.56	71.62	92
L _{Ma}	52.23	-42.42	13.6	44.55	162
V _{Ma}	30.57	1.41	-46.47	46.49	272

Daten für Maximalfarbe (Ma):

$LAB^*LAB^*_{Ma}$: 30 57 -42

$LAB^*LCH^*_{Ma}$: 30 71 323

$lab^*olv^*_{Ma}$: 0.5 0.0 1.0

$lab^*rgb^*_{Ma}$: 0.91 0.0 1.0

Dreiecks-Helligkeit i^*

%Umfang

$u^*_{rel} = 88$

%Regularität

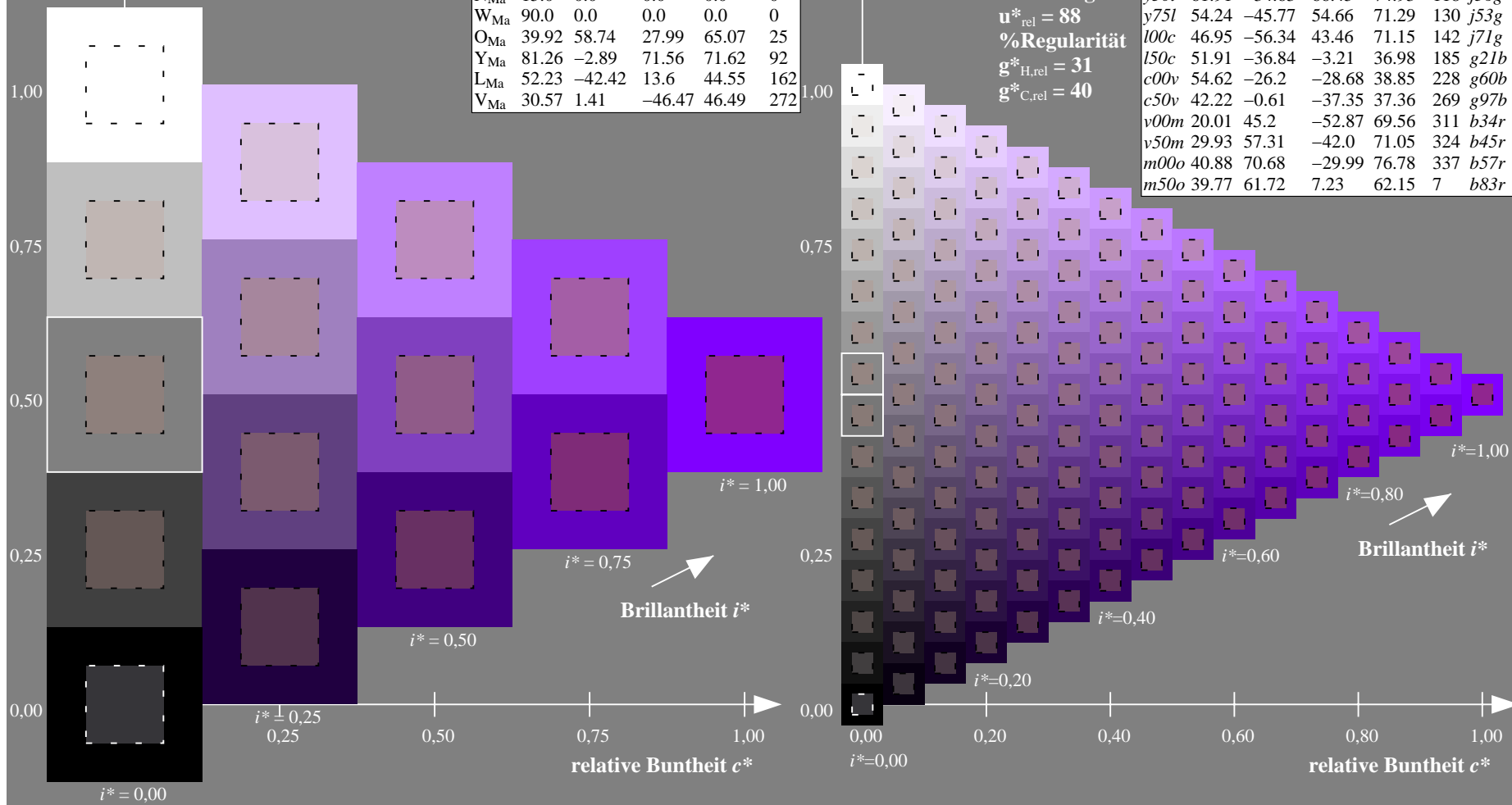
$g^*_{H,rel} = 31$

$g^*_{C,rel} = 40$

FRS15_90a; adaptierte CIELAB-Daten

u^*_d	$L^*=L^*_a$	a^*_a	b^*_a	$C^*_{ab,a}$	$h^*_{ab,a}$	u^*_e
o00y	38.8	53.92	39.68	66.95	36	r16j
o25y	47.46	42.34	51.25	66.48	50	r37j
o50y	56.54	30.2	63.39	70.22	65	r58j
o75y	67.39	15.68	77.9	79.47	79	r79j
y00l	82.58	-4.64	98.22	98.33	93	j01g
y25l	70.85	-21.66	80.19	83.07	105	j18g
y50l	61.91	-34.63	66.45	74.93	118	j36g
y75l	54.24	-45.77	54.66	71.29	130	j53g
l00c	46.95	-56.34	43.46	71.15	142	j71g
l50c	51.91	-36.84	-3.21	36.98	185	g21b
c00v	54.62	-26.2	-28.68	38.85	228	g60b
c50v	42.22	-0.61	-37.35	37.36	269	g97b
v00m	20.01	45.2	-52.87	69.56	311	b34r
v50m	29.93	57.31	-42.0	71.05	324	b45r
m00o	40.88	70.68	-29.99	76.78	337	b57r
m50o	39.77	61.72	7.23	62.15	7	b83r

$u^*_d = v50m$



Ein und Ausgabe: Farbmetrisches Drucker-Reflektiv-System FRS15_90a für relativen CIELAB-Buntton $h^* = lab^*h^* = h_{ab}/360 = 0.936$

Daten für jede Farbe:

lab^*ch^* und lab^*icu^*

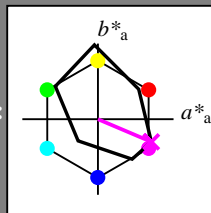
Bunttontexte:

$u^*_d = m00o$ $u^*_e = b57r$

Kontrastreduzierungsfaktor:

$c_R = 0.9$

Dreiecks-Helligkeit i^*



FRS15_90a; adaptierte CIELAB-Daten

u^*_d	$L^*=L^*_a$	a^*_a	b^*_a	$C^*_{ab,a}$	$h^*_{ab,a}$
O _{Ma}	38.8	53.92	39.68	66.95	36
Y _{Ma}	82.58	-4.64	98.22	98.33	93
L _{Ma}	46.95	-56.34	43.46	71.15	142
C _{Ma}	54.62	-26.2	-28.68	38.85	228
V _{Ma}	20.01	45.2	-52.87	69.56	311
M _{Ma}	40.88	70.68	-29.99	76.78	337
N _{Ma}	15.0	0.0	0.0	0.0	0
W _{Ma}	90.0	0.0	0.0	0.0	0
O _{Ma}	39.92	58.74	27.99	65.07	25
Y _{Ma}	81.26	-2.89	71.56	71.62	92
L _{Ma}	52.23	-42.42	13.6	44.55	162
V _{Ma}	30.57	1.41	-46.47	46.49	272

Daten für Maximalfarbe (Ma):

$LAB^*LAB^*_{Ma}$: 41 71 -30

$LAB^*LCH^*_{Ma}$: 41 77 337

$lab^*olv^*_{Ma}$: 1.0 0.0 1.0

$lab^*rgb^*_{Ma}$: 1.0 0.0 0.85

Dreiecks-Helligkeit i^*

%Umfang

$u^*_{rel} = 88$

%Regularität

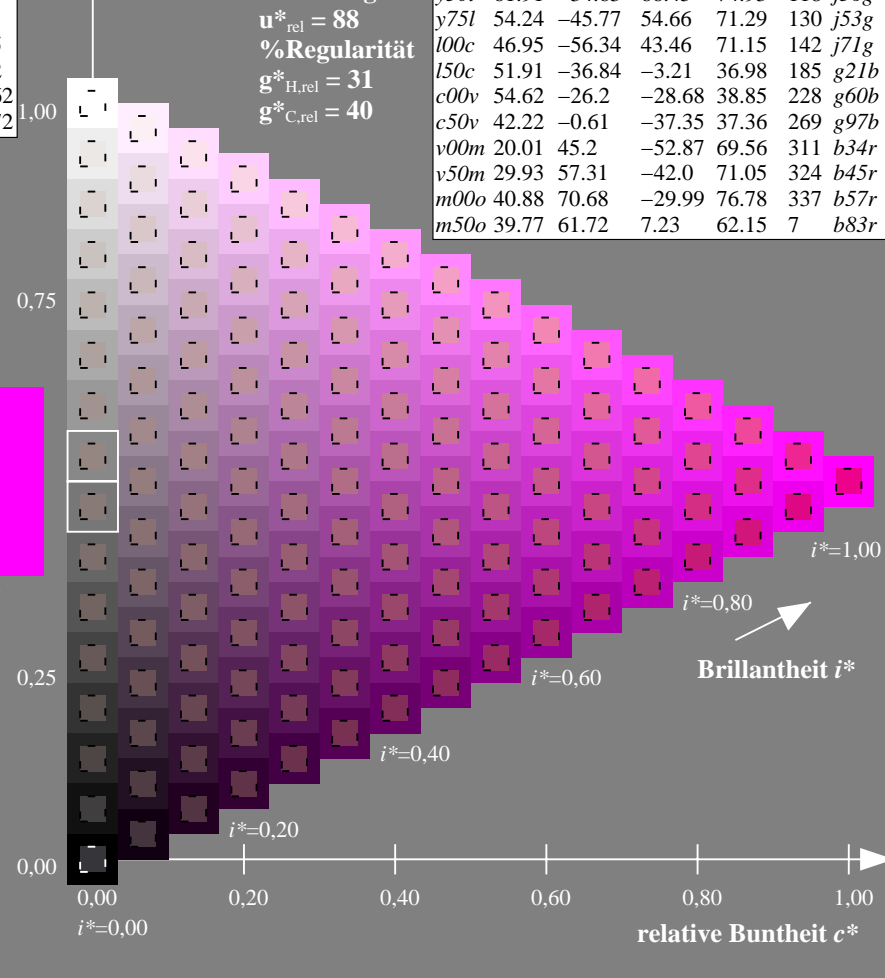
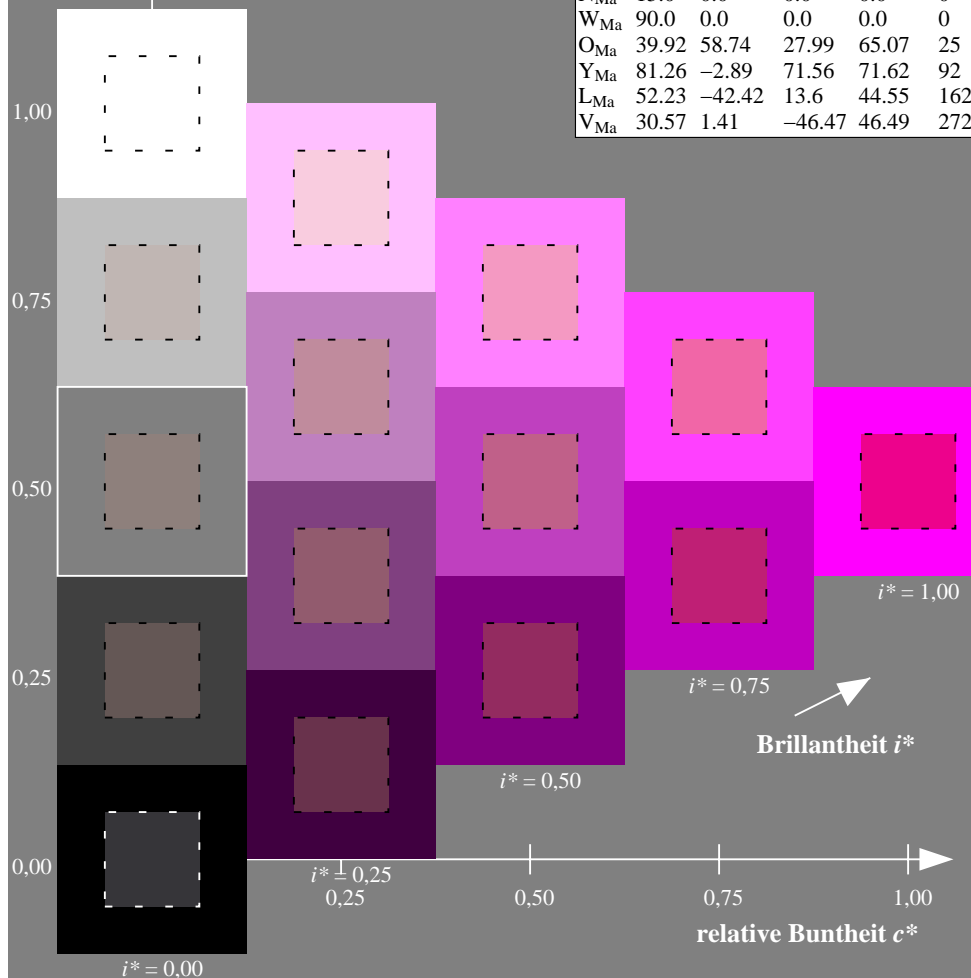
$g^*_{H,rel} = 31$

$g^*_{C,rel} = 40$

FRS15_90a; adaptierte CIELAB-Daten

u^*_d	$L^*=L^*_a$	a^*_a	b^*_a	$C^*_{ab,a}$	$h^*_{ab,a}$	u^*_e
o00y	38.8	53.92	39.68	66.95	36	r16j
o25y	47.46	42.34	51.25	66.48	50	r37j
o50y	56.54	30.2	63.39	70.22	65	r58j
o75y	67.39	15.68	77.9	79.47	79	r79j
y00l	82.58	-4.64	98.22	98.33	93	j01g
y25l	70.85	-21.66	80.19	83.07	105	j18g
y50l	61.91	-34.63	66.45	74.93	118	j36g
y75l	54.24	-45.77	54.66	71.29	130	j53g
l00c	46.95	-56.34	43.46	71.15	142	j71g
l50c	51.91	-36.84	-3.21	36.98	185	g21b
c00v	54.62	-26.2	-28.68	38.85	228	g60b
c50v	42.22	-0.61	-37.35	37.36	269	g97b
v00m	20.01	45.2	-52.87	69.56	311	b34r
v50m	29.93	57.31	-42.0	71.05	324	b45r
m00o	40.88	70.68	-29.99	76.78	337	b57r
m50o	39.77	61.72	7.23	62.15	7	b83r

$u^*_d = m00o$



Ein und Ausgabe: Farbmetrisches Drucker-Reflektiv-System FRS15_90a für relativen CIELAB-Buntton $h^* = lab^*h^* = h_{ab}/360 = 0.019$

Daten für jede Farbe:

lab^*ch^* und lab^*icu^*

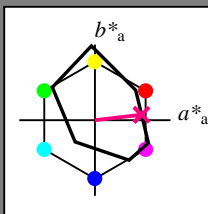
Bunttontexte:

$u^*_d = m50o$ $u^*_e = b83r$

Kontrastreduzierungsfaktor:

$c_R = 0.9$

Dreiecks-Helligkeit i^*



FRS15_90a; adaptierte CIELAB-Daten

u^*_d	$L^*=L^*_a$	a^*_a	b^*_a	$C^*_{ab,a}$	$h^*_{ab,a}$
O _{Ma}	38.8	53.92	39.68	66.95	36
Y _{Ma}	82.58	-4.64	98.22	98.33	93
L _{Ma}	46.95	-56.34	43.46	71.15	142
C _{Ma}	54.62	-26.2	-28.68	38.85	228
V _{Ma}	20.01	45.2	-52.87	69.56	311
M _{Ma}	40.88	70.68	-29.99	76.78	337
N _{Ma}	15.0	0.0	0.0	0.0	0
W _{Ma}	90.0	0.0	0.0	0.0	0
O _{Ma}	39.92	58.74	27.99	65.07	25
Y _{Ma}	81.26	-2.89	71.56	71.62	92
L _{Ma}	52.23	-42.42	13.6	44.55	162
V _{Ma}	30.57	1.41	-46.47	46.49	272

Daten für Maximalfarbe (Ma):

$LAB^*LAB^*_{Ma}$: 40 62 7

$LAB^*LCH^*_{Ma}$: 40 62 6

$lab^*olv^*_{Ma}$: 1.0 0.0 0.5

$lab^*rgb^*_{Ma}$: 1.0 0.0 0.33

Dreiecks-Helligkeit i^*

%Umfang

$u^*_{rel} = 88$

%Regularität

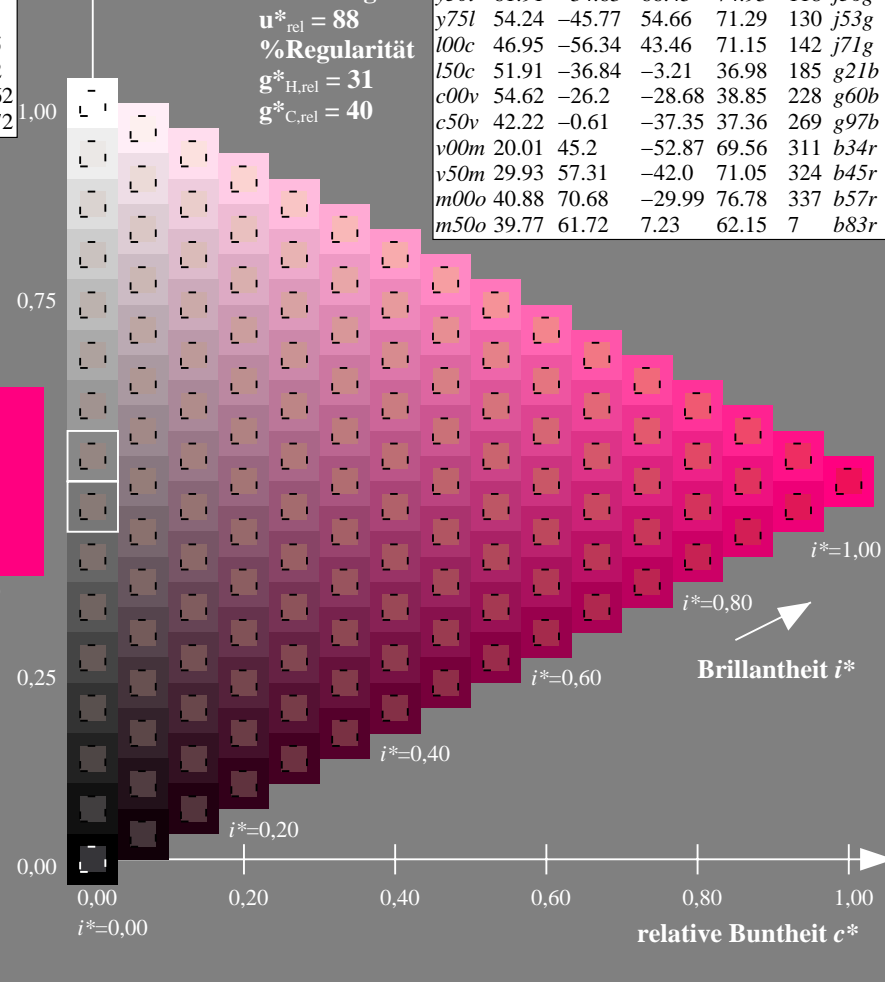
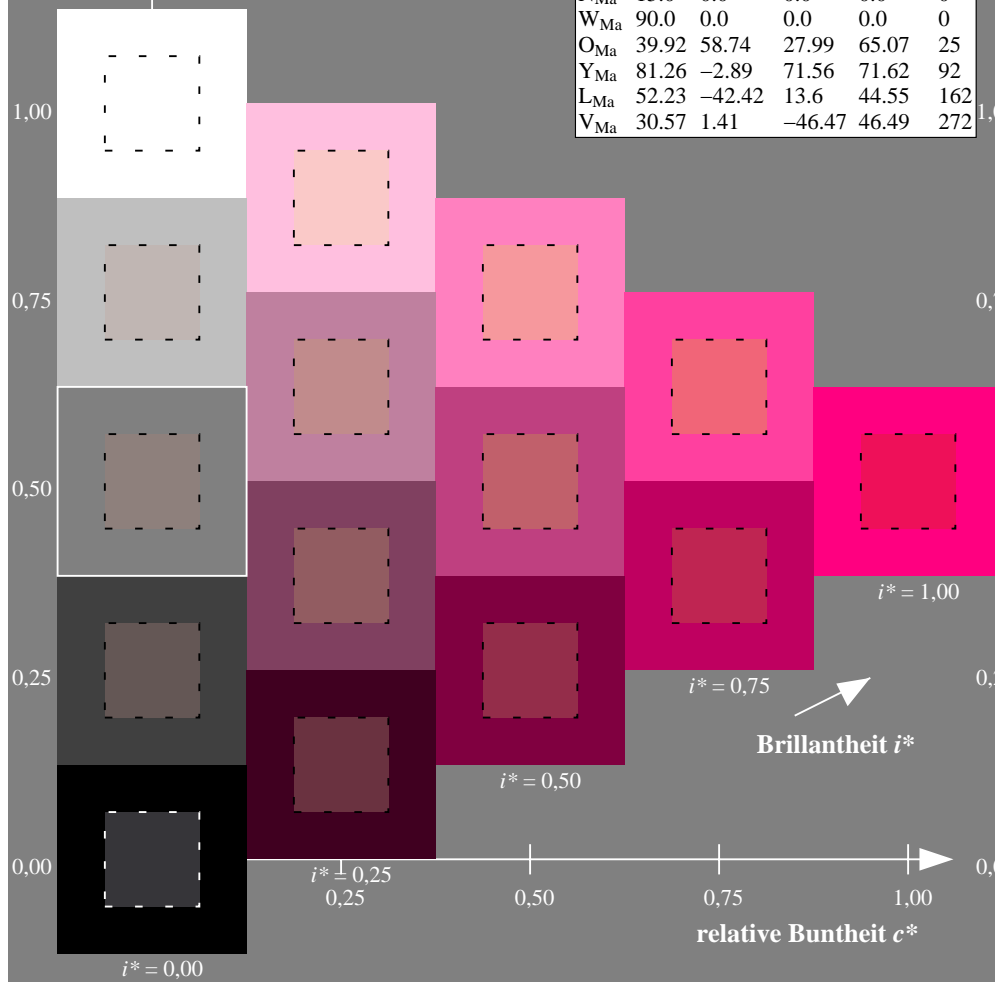
$g^*_{H,rel} = 31$

$g^*_{C,rel} = 40$

FRS15_90a; adaptierte CIELAB-Daten

u^*_d	$L^*=L^*_a$	a^*_a	b^*_a	$C^*_{ab,a}$	$h^*_{ab,a}$	u^*_e
o00y	38.8	53.92	39.68	66.95	36	r16j
o25y	47.46	42.34	51.25	66.48	50	r37j
o50y	56.54	30.2	63.39	70.22	65	r58j
o75y	67.39	15.68	77.9	79.47	79	r79j
y00l	82.58	-4.64	98.22	98.33	93	j01g
y25l	70.85	-21.66	80.19	83.07	105	j18g
y50l	61.91	-34.63	66.45	74.93	118	j36g
y75l	54.24	-45.77	54.66	71.29	130	j53g
l00c	46.95	-56.34	43.46	71.15	142	j71g
l50c	51.91	-36.84	-3.21	36.98	185	g21b
c00v	54.62	-26.2	-28.68	38.85	228	g60b
c50v	42.22	-0.61	-37.35	37.36	269	g97b
v00m	20.01	45.2	-52.87	69.56	311	b34r
v50m	29.93	57.31	-42.0	71.05	324	b45r
m00o	40.88	70.68	-29.99	76.78	337	b57r
m50o	39.77	61.72	7.23	62.15	7	b83r

$u^*_d = m50o$



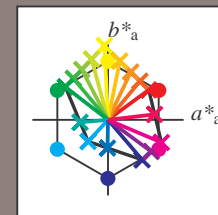
Siehe ähnliche Dateien: <http://www.ps.bam.de/Eg41/>; www.ps.bam.de/Eg.HTM
Technische Information: <http://www.ps.bam.de> Version 2.1, io=1,1, ColSp=0



BAM-Registrierung: 20081001-Eg41/10L/L41G00NA.PS/.TXT BAM-Material: Code=rh4ta
Anwendung für Beurteilung und Messung von Drucker- oder Monitorsystemen

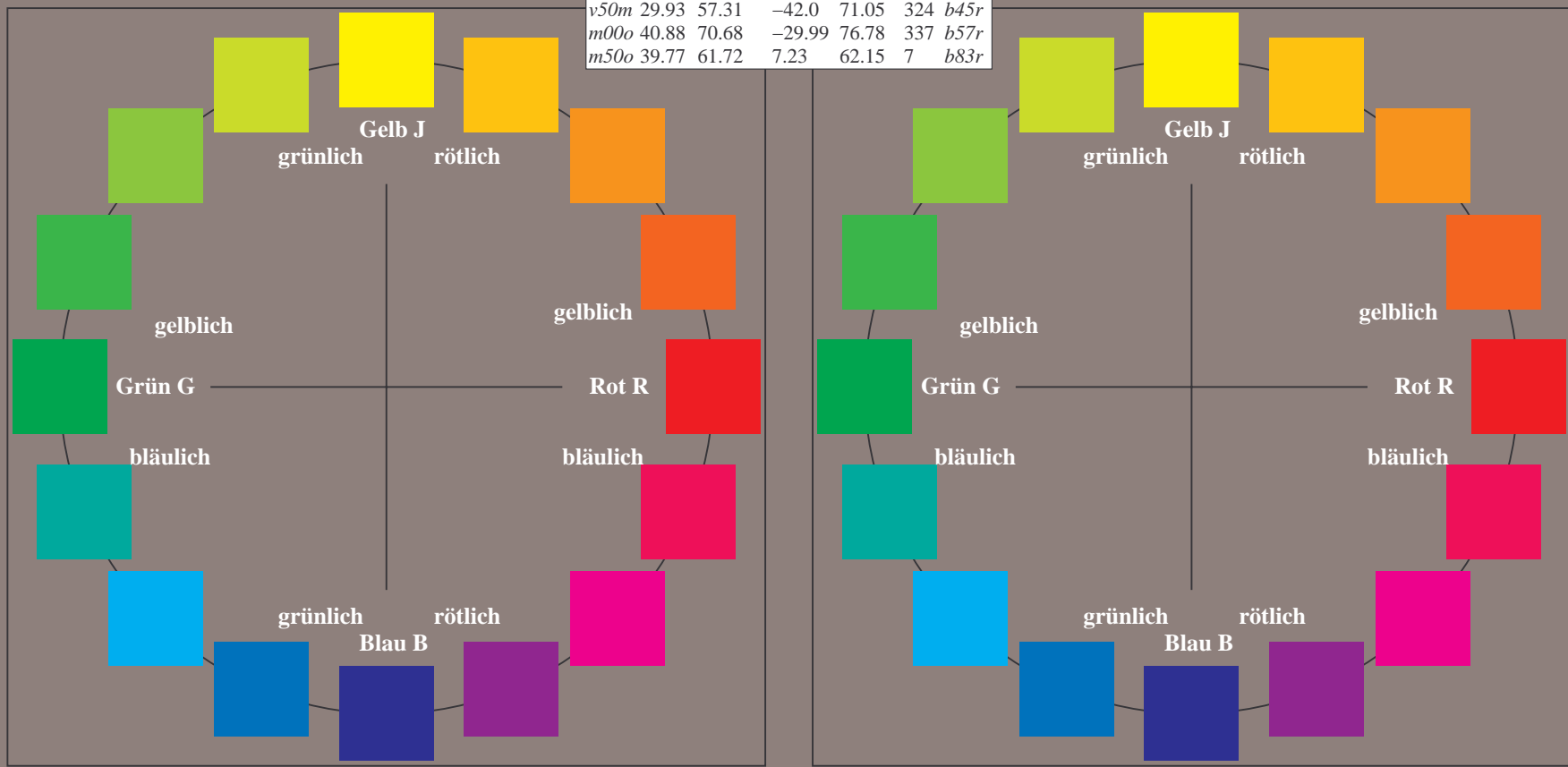
Ein und Ausgabe:
Farbmetrisches Drucker-Reflektiv-System FRS15_90a
Daten für jede Farbe:
 u^*_d und Nummer $Nr.$ = 00 .. 15
Geräte-Bunttontext:
 u^*_d = 16 Bunttoene $o00y$, $o25y$, ..., $m50o$
Kontrastreduzierungsfaktor:
 $c_R = 0.9$

FRS15_90a; adaptierte CIELAB-Daten						
u^*_d	$L^*=L^*_a$	a^*_a	b^*_a	$C^*_{ab,a}$	$h^*_{ab,a}$	u^*_e
$o00y$	38.8	53.92	39.68	66.95	36	$r16j$
$o25y$	47.46	42.34	51.25	66.48	50	$r37j$
$o50y$	56.54	30.2	63.39	70.22	65	$r58j$
$o75y$	67.39	15.68	77.9	79.47	79	$r79j$
$y00l$	82.58	-4.64	98.22	98.33	93	$j01g$
$y25l$	70.85	-21.66	80.19	83.07	105	$j18g$
$y50l$	61.91	-34.63	66.45	74.93	118	$j36g$
$y75l$	54.24	-45.77	54.66	71.29	130	$j53g$
$l00c$	46.95	-56.34	43.46	71.15	142	$j71g$
$l50c$	51.91	-36.84	-3.21	36.98	185	$g21b$
$c00v$	54.62	-26.2	-28.68	38.85	228	$g60b$
$c50v$	42.22	-0.61	-37.35	37.36	269	$g97b$
$v00m$	20.01	45.2	-52.87	69.56	311	$b34r$
$v50m$	29.93	57.31	-42.0	71.05	324	$b45r$
$m00o$	40.88	70.68	-29.99	76.78	337	$b57r$
$m50o$	39.77	61.72	7.23	62.15	7	$b83r$



%Umfang
 $u^*_{rel} = 88$
%Regularität
 $g^*_{H,rel} = 31$
 $g^*_{C,rel} = 40$

FRS15_90a; adaptierte CIELAB-Daten					
Name	$L^*=L^*_a$	a^*_a	b^*_a	$C^*_{ab,a}$	$h^*_{ab,a}$
O_{Ma}	38.8	53.92	39.68	66.95	36
Y_{Ma}	82.58	-4.64	98.22	98.33	93
L_{Ma}	46.95	-56.34	43.46	71.15	142
C_{Ma}	54.62	-26.2	-28.68	38.85	228
V_{Ma}	20.01	45.2	-52.87	69.56	311
M_{Ma}	40.88	70.68	-29.99	76.78	337
N_{Ma}	15.0	0.0	0.0	0.0	0
W_{Ma}	90.0	0.0	0.0	0.0	0
O_{CIE}	39.92	58.74	27.99	65.07	25
Y_{CIE}	81.26	-2.89	71.56	71.62	92
L_{CIE}	52.23	-42.42	13.6	44.55	162
V_{CIE}	30.57	1.41	-46.47	46.49	272



Ein und Ausgabe: Farbmetrisches Drucker-Reflektiv-System FRS15_90a für relativen CIELAB-Buntton $h^* = lab^*h^* = h_{ab}/360 = 0.101$

Daten für jede Farbe:

lab^*tch^* und lab^*icu^*

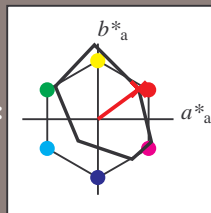
Bunttontexte:

$u^*_d = o00y$ $u^*_e = r16j$

Kontrastreduzierungsfaktor:

$c_R = 0.9$

Dreiecks-Helligkeit i^*



FRS15_90a; adaptierte CIELAB-Daten

u^*_d	$L^*=L^*_a$	a^*_a	b^*_a	$C^*_{ab,a}$	$h^*_{ab,a}$
O _{Ma}	38.8	53.92	39.68	66.95	36
Y _{Ma}	82.58	-4.64	98.22	98.33	93
L _{Ma}	46.95	-56.34	43.46	71.15	142
C _{Ma}	54.62	-26.2	-28.68	38.85	228
V _{Ma}	20.01	45.2	-52.87	69.56	311
M _{Ma}	40.88	70.68	-29.99	76.78	337
N _{Ma}	15.0	0.0	0.0	0.0	0
W _{Ma}	90.0	0.0	0.0	0.0	0
O _{Ma}	39.92	58.74	27.99	65.07	25
Y _{Ma}	81.26	-2.89	71.56	71.62	92
L _{Ma}	52.23	-42.42	13.6	44.55	162
V _{Ma}	30.57	1.41	-46.47	46.49	272

Daten für Maximalfarbe (Ma):

$LAB^*LAB^*_{Ma}$: 39 54 40

$LAB^*LCH^*_{Ma}$: 39 67 36

$lab^*olv^*_{Ma}$: 1.0 0.0 0.0

$lab^*rgb^*_{Ma}$: 1.0 0.16 0.0

Dreiecks-Helligkeit i^*

%Umfang

$u^*_{rel} = 88$

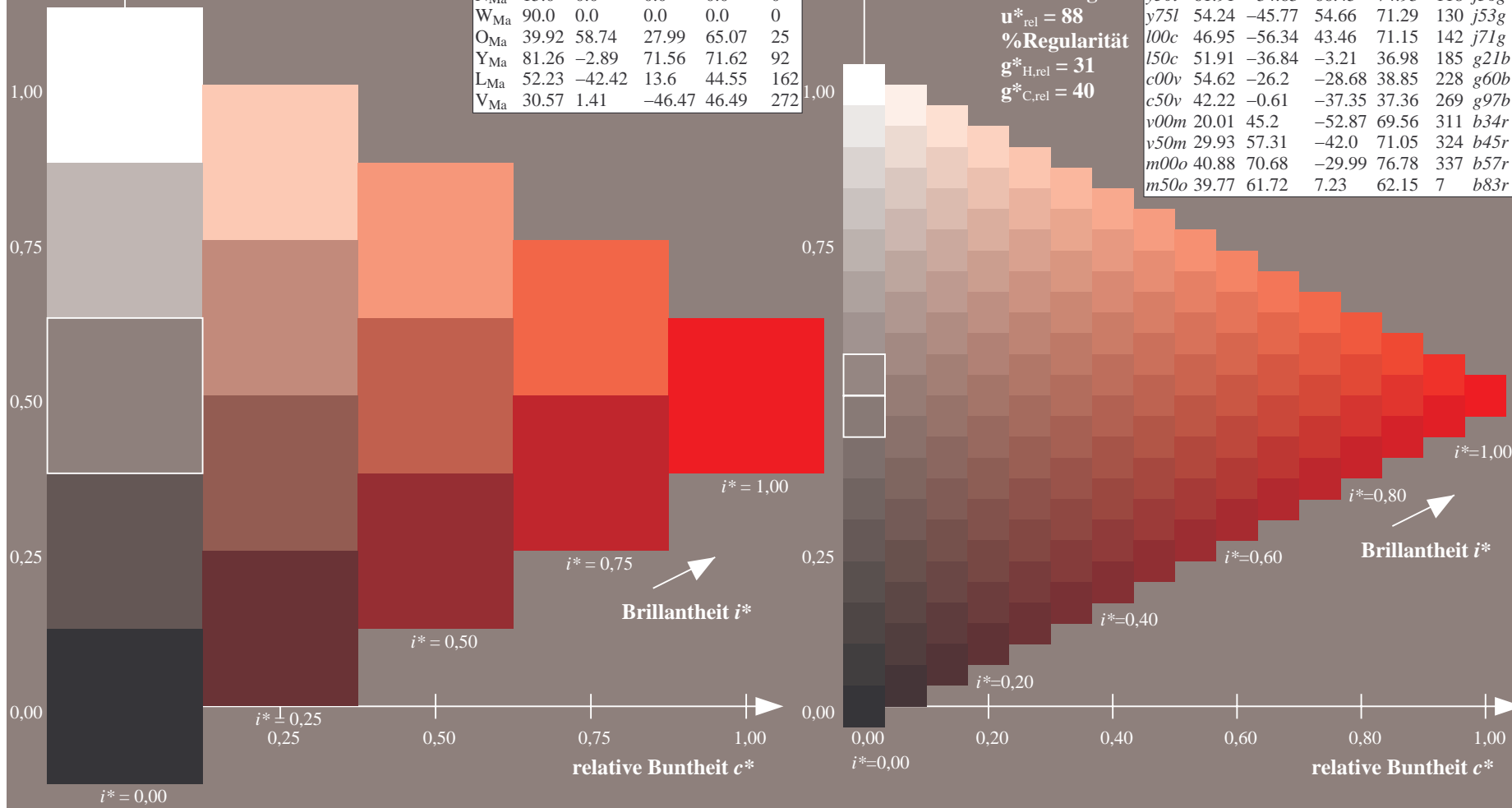
%Regularität

$g^*_{H,rel} = 31$

$g^*_{C,rel} = 40$

FRS15_90a; adaptierte CIELAB-Daten

u^*_d	$L^*=L^*_a$	a^*_a	b^*_a	$C^*_{ab,a}$	$h^*_{ab,a}$	u^*_e
$o00y$	38.8	53.92	39.68	66.95	36	$r16j$
$o25y$	47.46	42.34	51.25	66.48	50	$r37j$
$o50y$	56.54	30.2	63.39	70.22	65	$r58j$
$o75y$	67.39	15.68	77.9	79.47	79	$r79j$
$y00l$	82.58	-4.64	98.22	98.33	93	$j01g$
$y25l$	70.85	-21.66	80.19	83.07	105	$j18g$
$y50l$	61.91	-34.63	66.45	74.93	118	$j36g$
$y75l$	54.24	-45.77	54.66	71.29	130	$j53g$
$l00c$	46.95	-56.34	43.46	71.15	142	$j71g$
$l50c$	51.91	-36.84	-3.21	36.98	185	$g21b$
$c00v$	54.62	-26.2	-28.68	38.85	228	$g60b$
$c50v$	42.22	-0.61	-37.35	37.36	269	$g97b$
$v00m$	20.01	45.2	-52.87	69.56	311	$b34r$
$v50m$	29.93	57.31	-42.0	71.05	324	$b45r$
$m00o$	40.88	70.68	-29.99	76.78	337	$b57r$
$m50o$	39.77	61.72	7.23	62.15	7	$b83r$



Ein und Ausgabe: Farbmetrisches Drucker-Reflektiv-System FRS15_90a für relativen CIELAB-Buntton $h^* = lab^*h^* = h_{ab}/360 = 0.14$

Daten für jede Farbe:

lab^*tch^* und lab^*icu^*

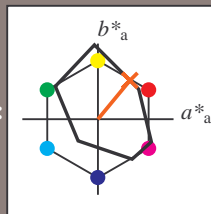
Bunttontexte:

$u^*_d = o25y$ $u^*_e = r37j$

Kontrastreduzierungsfaktor:

$c_R = 0.9$

Dreiecks-Helligkeit i^*



FRS15_90a; adaptierte CIELAB-Daten

u^*_d	$L^*=L^*_a$	a^*_a	b^*_a	$C^*_{ab,a}$	$h^*_{ab,a}$
O _{Ma}	38.8	53.92	39.68	66.95	36
Y _{Ma}	82.58	-4.64	98.22	98.33	93
L _{Ma}	46.95	-56.34	43.46	71.15	142
C _{Ma}	54.62	-26.2	-28.68	38.85	228
V _{Ma}	20.01	45.2	-52.87	69.56	311
M _{Ma}	40.88	70.68	-29.99	76.78	337
N _{Ma}	15.0	0.0	0.0	0.0	0
W _{Ma}	90.0	0.0	0.0	0.0	0
O _{Ma}	39.92	58.74	27.99	65.07	25
Y _{Ma}	81.26	-2.89	71.56	71.62	92
L _{Ma}	52.23	-42.42	13.6	44.55	162
V _{Ma}	30.57	1.41	-46.47	46.49	272

Daten für Maximalfarbe (Ma):

$LAB^*LAB^*_{Ma}$: 47 42 51

$LAB^*LCH^*_{Ma}$: 47 66 50

$lab^*olv^*_{Ma}$: 1.0 0.25 0.0

$lab^*rgb^*_{Ma}$: 1.0 0.37 0.0

Dreiecks-Helligkeit i^*

%Umfang

$u^*_{rel} = 88$

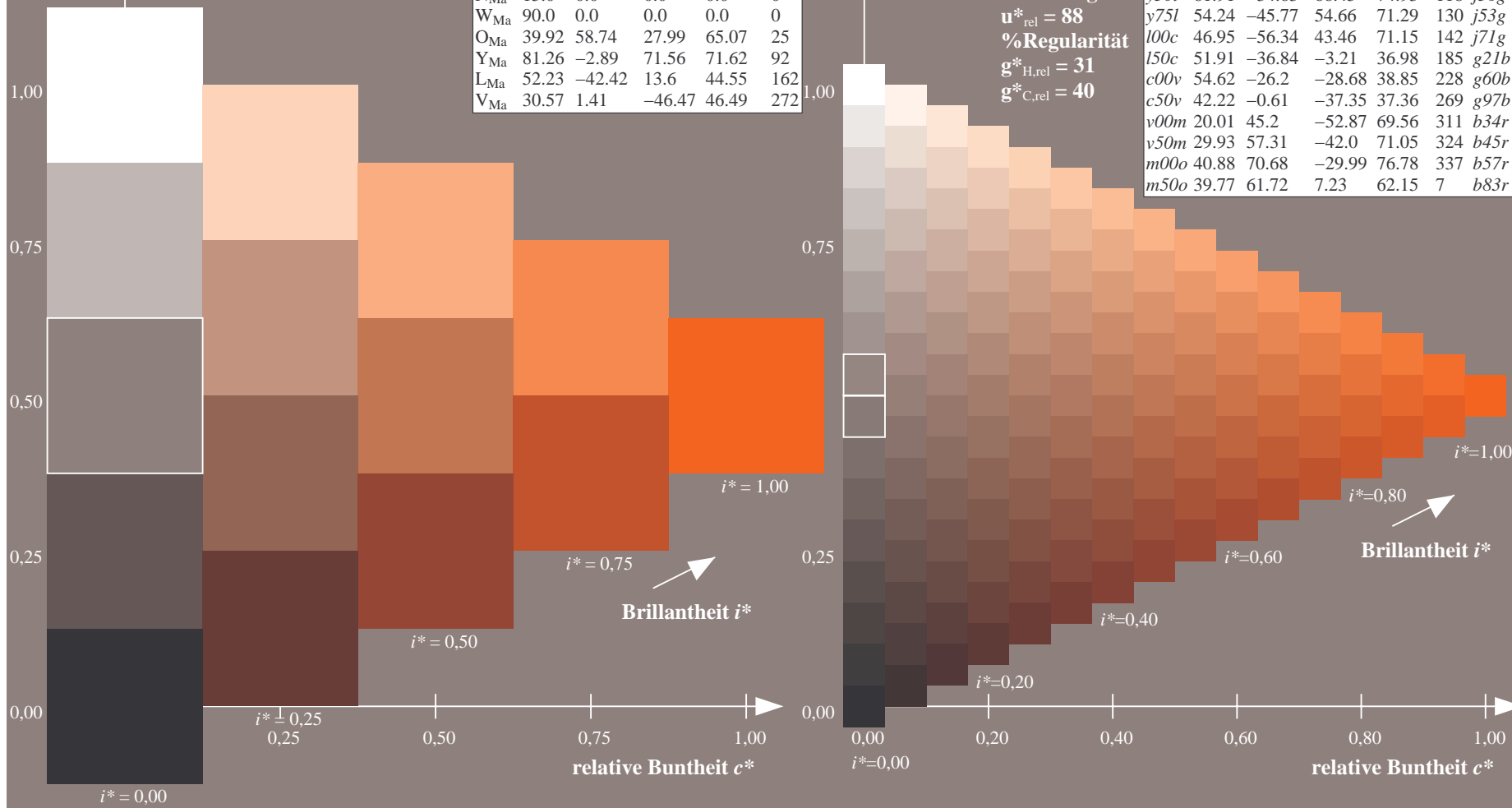
%Regularität

$g^*_{H,rel} = 31$

$g^*_{C,rel} = 40$

FRS15_90a; adaptierte CIELAB-Daten

u^*_d	$L^*=L^*_a$	a^*_a	b^*_a	$C^*_{ab,a}$	$h^*_{ab,a}$	u^*_e
<i>o00y</i>	38.8	53.92	39.68	66.95	36	<i>r16j</i>
<i>o25y</i>	47.46	42.34	51.25	66.48	50	<i>r37j</i>
<i>o50y</i>	56.54	30.2	63.39	70.22	65	<i>r58j</i>
<i>o75y</i>	67.39	15.68	77.9	79.47	79	<i>r79j</i>
<i>y00l</i>	82.58	-4.64	98.22	98.33	93	<i>j01g</i>
<i>y25l</i>	70.85	-21.66	80.19	83.07	105	<i>j18g</i>
<i>y50l</i>	61.91	-34.63	66.45	74.93	118	<i>j36g</i>
<i>y75l</i>	54.24	-45.77	54.66	71.29	130	<i>j53g</i>
<i>l00c</i>	46.95	-56.34	43.46	71.15	142	<i>j71g</i>
<i>l50c</i>	51.91	-36.84	-3.21	36.98	185	<i>g21b</i>
<i>c00v</i>	54.62	-26.2	-28.68	38.85	228	<i>g60b</i>
<i>c50v</i>	42.22	-0.61	-37.35	37.36	269	<i>g97b</i>
<i>v00m</i>	20.01	45.2	-52.87	69.56	311	<i>b34r</i>
<i>v50m</i>	29.93	57.31	-42.0	71.05	324	<i>b45r</i>
<i>m00o</i>	40.88	70.68	-29.99	76.78	337	<i>b57r</i>
<i>m50o</i>	39.77	61.72	7.23	62.15	7	<i>b83r</i>



Ein und Ausgabe: Farbmetrisches Drucker-Reflektiv-System FRS15_90a für relativen CIELAB-Buntton $h^* = lab^*h^* = h_{ab}/360 = 0.179$

Daten für jede Farbe:

lab^*tch^* und lab^*icu^*

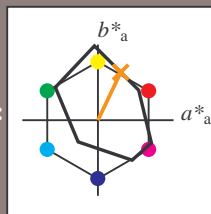
Bunttontexte:

$u^*_d = o50y$ $u^*_e = r58j$

Kontrastreduzierungsfaktor:

$c_R = 0.9$

Dreiecks-Helligkeit i^*



FRS15_90a; adaptierte CIELAB-Daten

u^*_d	$L^*=L^*_a$	a^*_a	b^*_a	$C^*_{ab,a}$	$h^*_{ab,a}$
O _{Ma}	38.8	53.92	39.68	66.95	36
Y _{Ma}	82.58	-4.64	98.22	98.33	93
L _{Ma}	46.95	-56.34	43.46	71.15	142
C _{Ma}	54.62	-26.2	-28.68	38.85	228
V _{Ma}	20.01	45.2	-52.87	69.56	311
M _{Ma}	40.88	70.68	-29.99	76.78	337
N _{Ma}	15.0	0.0	0.0	0.0	0
W _{Ma}	90.0	0.0	0.0	0.0	0
O _{Ma}	39.92	58.74	27.99	65.07	25
Y _{Ma}	81.26	-2.89	71.56	71.62	92
L _{Ma}	52.23	-42.42	13.6	44.55	162
V _{Ma}	30.57	1.41	-46.47	46.49	272

Daten für Maximalfarbe (Ma):

$LAB^*LAB^*_{Ma}$: 57 30 63

$LAB^*LCH^*_{Ma}$: 57 70 64

$lab^*olv^*_{Ma}$: 1.0 0.5 0.0

$lab^*rgb^*_{Ma}$: 1.0 0.58 0.0

Dreiecks-Helligkeit i^*

%Umfang

$u^*_{rel} = 88$

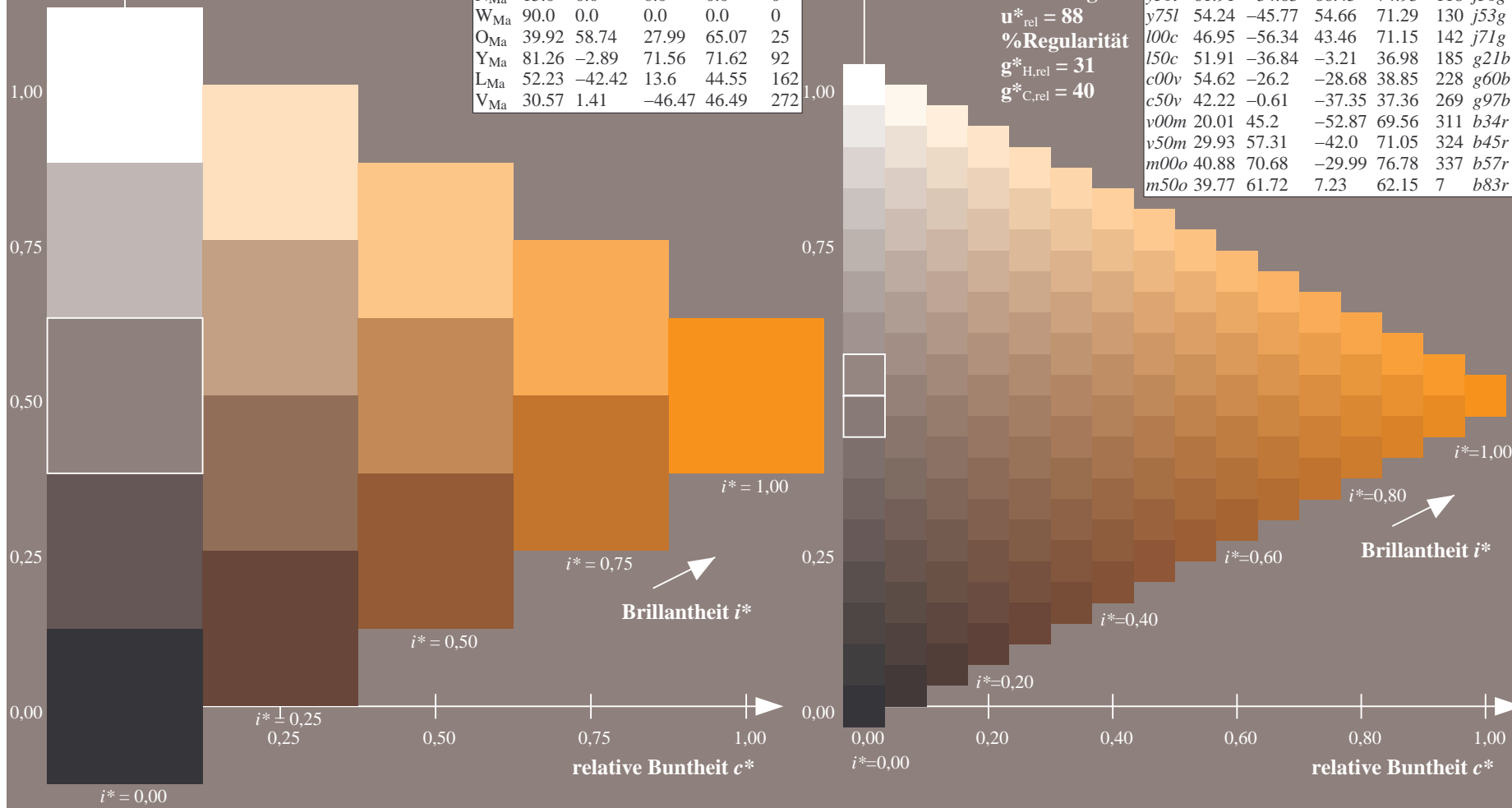
%Regularität

$g^*_{H,rel} = 31$

$g^*_{C,rel} = 40$

FRS15_90a; adaptierte CIELAB-Daten

u^*_d	$L^*=L^*_a$	a^*_a	b^*_a	$C^*_{ab,a}$	$h^*_{ab,a}$	u^*_e
o00y	38.8	53.92	39.68	66.95	36	r16j
o25y	47.46	42.34	51.25	66.48	50	r37j
o50y	56.54	30.2	63.39	70.22	65	r58j
o75y	67.39	15.68	77.9	79.47	79	r79j
y00l	82.58	-4.64	98.22	98.33	93	j01g
y25l	70.85	-21.66	80.19	83.07	105	j18g
y50l	61.91	-34.63	66.45	74.93	118	j36g
y75l	54.24	-45.77	54.66	71.29	130	j53g
l00c	46.95	-56.34	43.46	71.15	142	j71g
l50c	51.91	-36.84	-3.21	36.98	185	g21b
c00v	54.62	-26.2	-28.68	38.85	228	g60b
c50v	42.22	-0.61	-37.35	37.36	269	g97b
v00m	20.01	45.2	-52.87	69.56	311	b34r
v50m	29.93	57.31	-42.0	71.05	324	b45r
m00o	40.88	70.68	-29.99	76.78	337	b57r
m50o	39.77	61.72	7.23	62.15	7	b83r



Ein und Ausgabe: Farbmetrisches Drucker-Reflektiv-System FRS15_90a für relativen CIELAB-Buntton $h^* = lab^*h^* = h_{ab}/360 = 0.218$

Daten für jede Farbe:

lab^*tch^* und lab^*icu^*

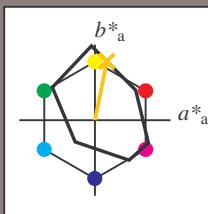
Bunttontexte:

$u^*_d = o75y$ $u^*_e = r79j$

Kontrastreduzierungsfaktor:

$c_R = 0.9$

Dreiecks-Helligkeit i^*



FRS15_90a; adaptierte CIELAB-Daten

u^*_d	$L^*=L^*_a$	a^*_a	b^*_a	$C^*_{ab,a}$	$h^*_{ab,a}$
O _{Ma}	38.8	53.92	39.68	66.95	36
Y _{Ma}	82.58	-4.64	98.22	98.33	93
L _{Ma}	46.95	-56.34	43.46	71.15	142
C _{Ma}	54.62	-26.2	-28.68	38.85	228
V _{Ma}	20.01	45.2	-52.87	69.56	311
M _{Ma}	40.88	70.68	-29.99	76.78	337
N _{Ma}	15.0	0.0	0.0	0.0	0
W _{Ma}	90.0	0.0	0.0	0.0	0
O _{Ma}	39.92	58.74	27.99	65.07	25
Y _{Ma}	81.26	-2.89	71.56	71.62	92
L _{Ma}	52.23	-42.42	13.6	44.55	162
V _{Ma}	30.57	1.41	-46.47	46.49	272

Daten für Maximalfarbe (Ma):

$LAB^*LAB^*_{Ma}$: 67 16 78

$LAB^*LCH^*_{Ma}$: 67 79 78

$lab^*olv^*_{Ma}$: 1.0 0.75 0.0

$lab^*rgb^*_{Ma}$: 1.0 0.8 0.0

Dreiecks-Helligkeit i^*

%Umfang

$u^*_{rel} = 88$

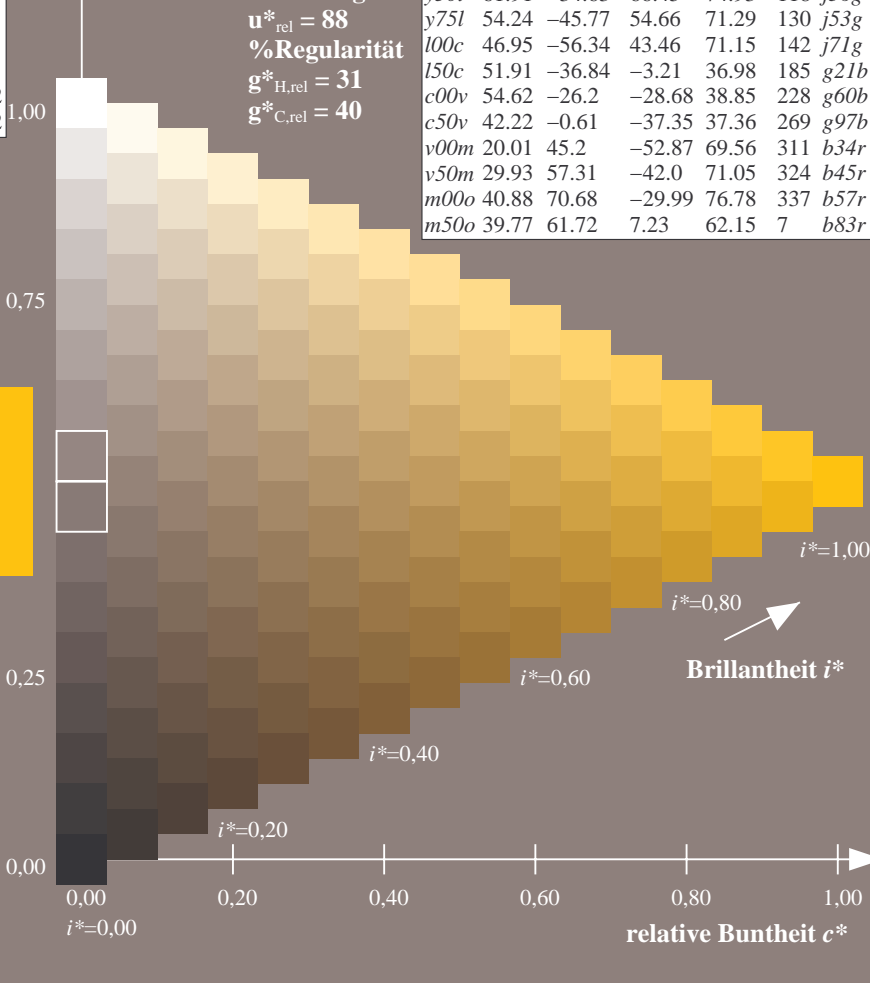
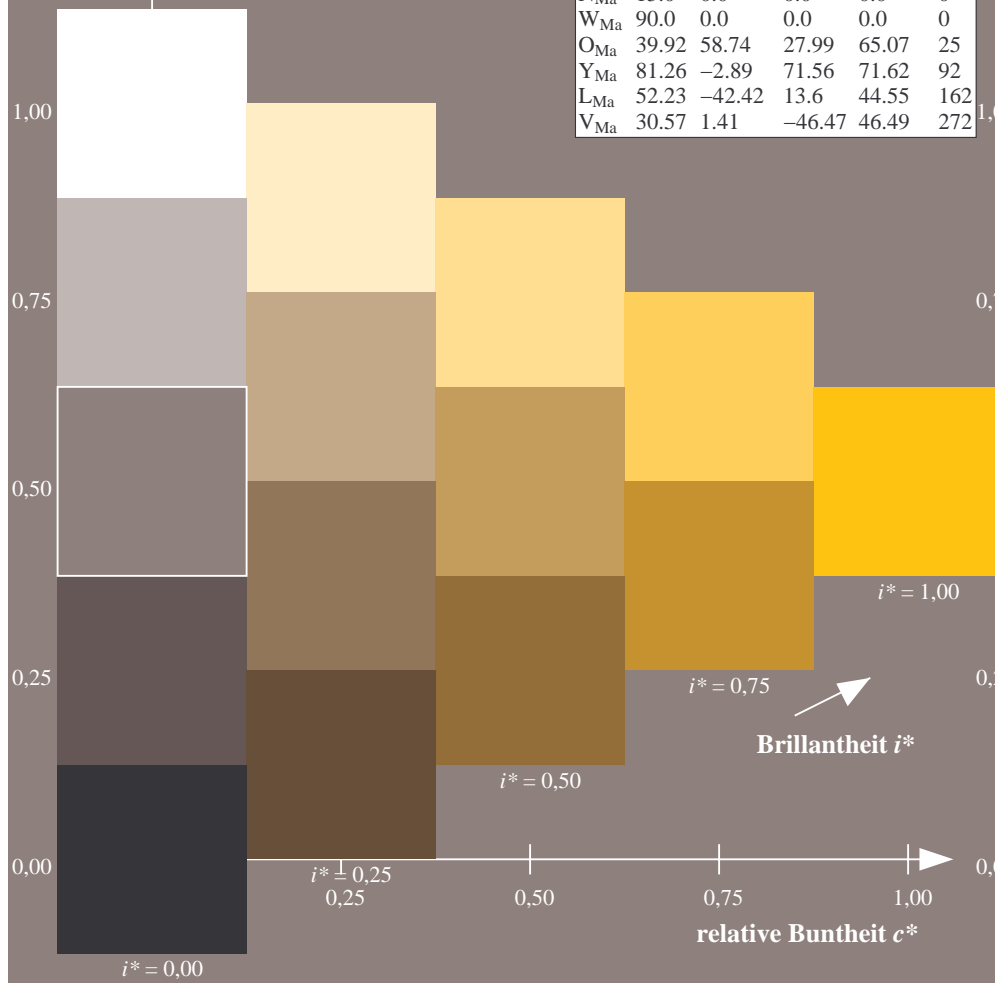
%Regularität

$g^*_{H,rel} = 31$

$g^*_{C,rel} = 40$

FRS15_90a; adaptierte CIELAB-Daten

u^*_d	$L^*=L^*_a$	a^*_a	b^*_a	$C^*_{ab,a}$	$h^*_{ab,a}$	u^*_e
o00y	38.8	53.92	39.68	66.95	36	r16j
o25y	47.46	42.34	51.25	66.48	50	r37j
o50y	56.54	30.2	63.39	70.22	65	r58j
o75y	67.39	15.68	77.9	79.47	79	r79j
y00l	82.58	-4.64	98.22	98.33	93	j01g
y25l	70.85	-21.66	80.19	83.07	105	j18g
y50l	61.91	-34.63	66.45	74.93	118	j36g
y75l	54.24	-45.77	54.66	71.29	130	j53g
l00c	46.95	-56.34	43.46	71.15	142	j71g
l50c	51.91	-36.84	-3.21	36.98	185	g21b
c00v	54.62	-26.2	-28.68	38.85	228	g60b
c50v	42.22	-0.61	-37.35	37.36	269	g97b
v00m	20.01	45.2	-52.87	69.56	311	b34r
v50m	29.93	57.31	-42.0	71.05	324	b45r
m00o	40.88	70.68	-29.99	76.78	337	b57r
m50o	39.77	61.72	7.23	62.15	7	b83r



Ein und Ausgabe: Farbmetrisches Drucker-Reflektiv-System FRS15_90a für relativen CIELAB-Buntton $h^* = lab^*h^* = h_{ab}/360 = 0.258$

Daten für jede Farbe:

lab^*tch^* und lab^*icu^*

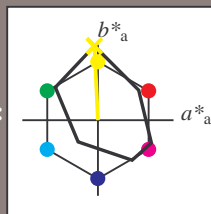
Bunttontexte:

$u^*_d = y00l$ $u^*_e = j0l g$

Kontrastreduzierungsfaktor:

$c_R = 0.9$

Dreiecks-Helligkeit i^*



FRS15_90a; adaptierte CIELAB-Daten

u^*_d	$L^*=L^*_a$	a^*_a	b^*_a	$C^*_{ab,a}$	$h^*_{ab,a}$
O _{Ma}	38.8	53.92	39.68	66.95	36
Y _{Ma}	82.58	-4.64	98.22	98.33	93
L _{Ma}	46.95	-56.34	43.46	71.15	142
C _{Ma}	54.62	-26.2	-28.68	38.85	228
V _{Ma}	20.01	45.2	-52.87	69.56	311
M _{Ma}	40.88	70.68	-29.99	76.78	337
N _{Ma}	15.0	0.0	0.0	0.0	0
W _{Ma}	90.0	0.0	0.0	0.0	0
O _{Ma}	39.92	58.74	27.99	65.07	25
Y _{Ma}	81.26	-2.89	71.56	71.62	92
L _{Ma}	52.23	-42.42	13.6	44.55	162
V _{Ma}	30.57	1.41	-46.47	46.49	272

Daten für Maximalfarbe (Ma):

$LAB^*LAB^*_{Ma}$: 83 -5 98

$LAB^*LCH^*_{Ma}$: 83 98 92

$lab^*olv^*_{Ma}$: 1.0 1.0 0.0

$lab^*rgb^*_{Ma}$: 0.99 1.0 0.0

Dreiecks-Helligkeit i^*

%Umfang

$u^*_{rel} = 88$

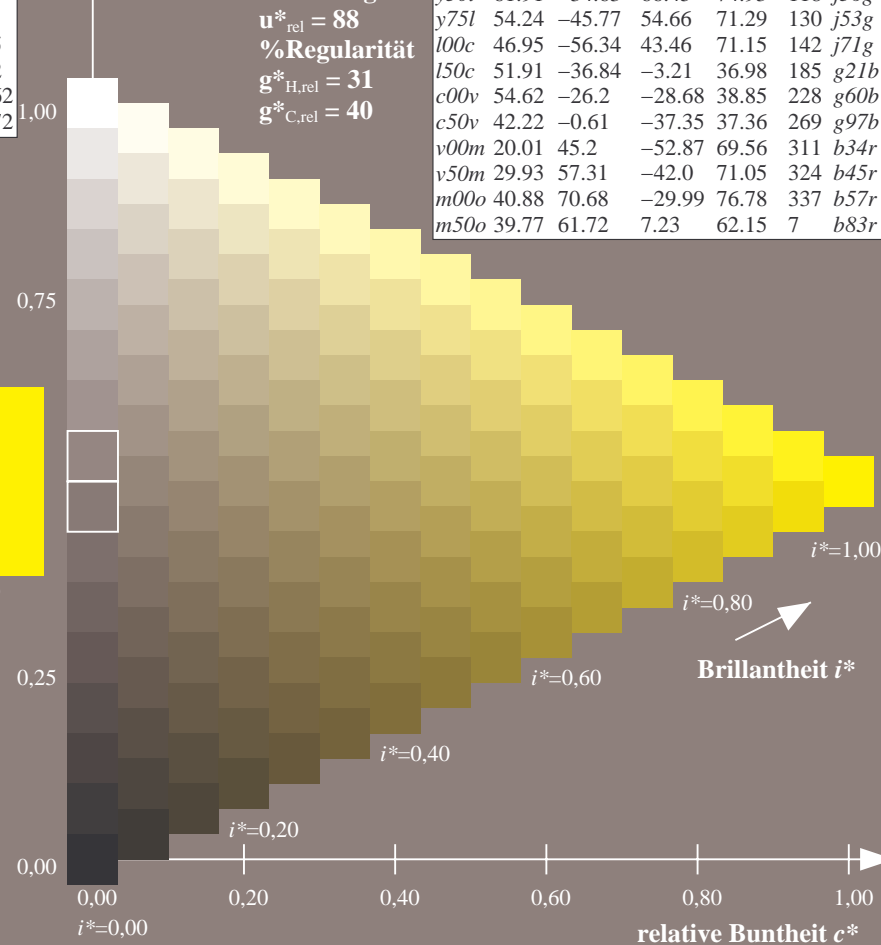
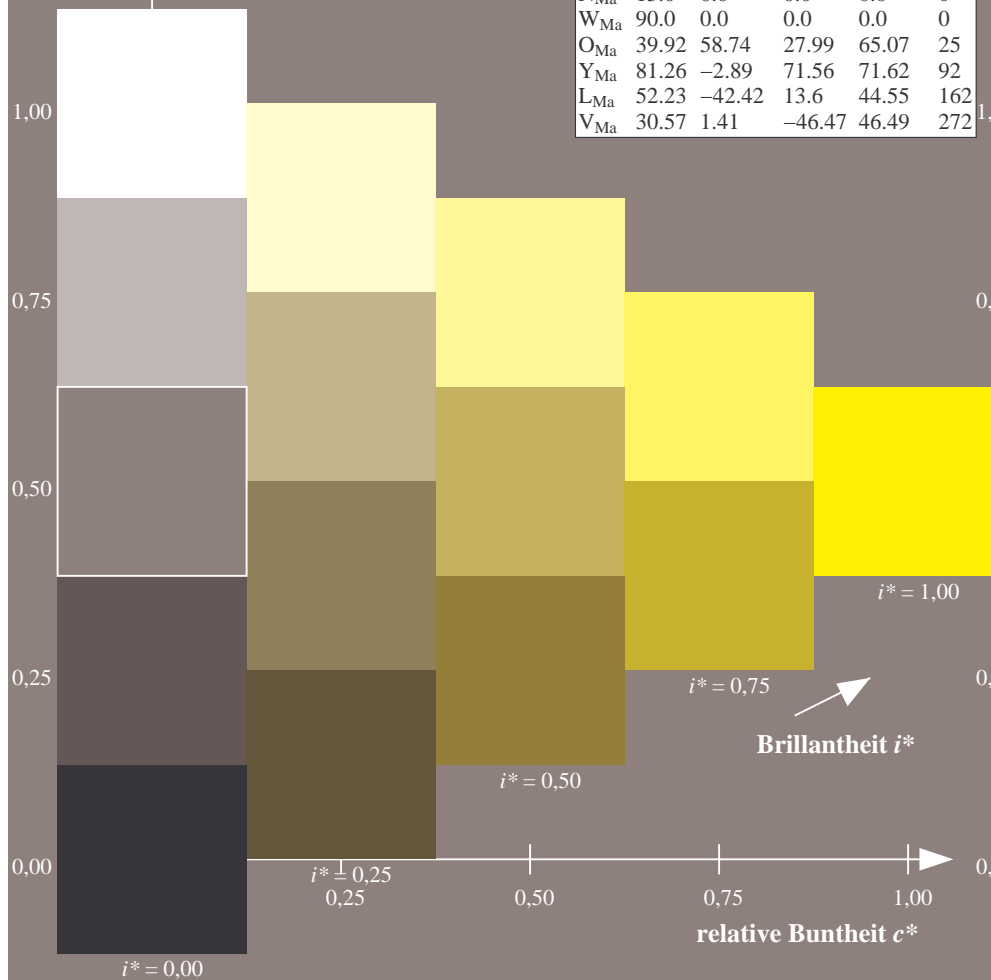
%Regularität

$g^*_{H,rel} = 31$

$g^*_{C,rel} = 40$

FRS15_90a; adaptierte CIELAB-Daten

u^*_d	$L^*=L^*_a$	a^*_a	b^*_a	$C^*_{ab,a}$	$h^*_{ab,a}$	u^*_e
o00y	38.8	53.92	39.68	66.95	36	r16j
o25y	47.46	42.34	51.25	66.48	50	r37j
o50y	56.54	30.2	63.39	70.22	65	r58j
o75y	67.39	15.68	77.9	79.47	79	r79j
y00l	82.58	-4.64	98.22	98.33	93	j0lg
y25l	70.85	-21.66	80.19	83.07	105	j18g
y50l	61.91	-34.63	66.45	74.93	118	j36g
y75l	54.24	-45.77	54.66	71.29	130	j53g
l00c	46.95	-56.34	43.46	71.15	142	j71g
l50c	51.91	-36.84	-3.21	36.98	185	g21b
c00v	54.62	-26.2	-28.68	38.85	228	g60b
c50v	42.22	-0.61	-37.35	37.36	269	g97b
v00m	20.01	45.2	-52.87	69.56	311	b34r
v50m	29.93	57.31	-42.0	71.05	324	b45r
m00o	40.88	70.68	-29.99	76.78	337	b57r
m50o	39.77	61.72	7.23	62.15	7	b83r



Ein und Ausgabe: Farbmetrisches Drucker-Reflektiv-System FRS15_90a für relativen CIELAB-Buntton $h^* = lab^*h^* = h_{ab}/360 = 0.292$

Daten für jede Farbe:

lab^*tch^* und lab^*icu^*

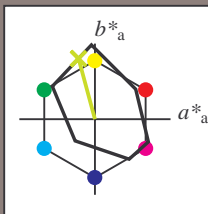
Bunttontexte:

$u^*_d = y25l$ $u^*_e = j18g$

Kontrastreduzierungsfaktor:

$c_R = 0.9$

Dreiecks-Helligkeit i^*



FRS15_90a; adaptierte CIELAB-Daten

u^*_d	$L^*=L^*_a$	a^*_a	b^*_a	$C^*_{ab,a}$	$h^*_{ab,a}$
O _{Ma}	38.8	53.92	39.68	66.95	36
Y _{Ma}	82.58	-4.64	98.22	98.33	93
L _{Ma}	46.95	-56.34	43.46	71.15	142
C _{Ma}	54.62	-26.2	-28.68	38.85	228
V _{Ma}	20.01	45.2	-52.87	69.56	311
M _{Ma}	40.88	70.68	-29.99	76.78	337
N _{Ma}	15.0	0.0	0.0	0.0	0
W _{Ma}	90.0	0.0	0.0	0.0	0
O _{Ma}	39.92	58.74	27.99	65.07	25
Y _{Ma}	81.26	-2.89	71.56	71.62	92
L _{Ma}	52.23	-42.42	13.6	44.55	162
V _{Ma}	30.57	1.41	-46.47	46.49	272

Daten für Maximalfarbe (Ma):

$LAB^*LAB^*_{Ma}$: 71 -22 80

$LAB^*LCH^*_{Ma}$: 71 83 105

$lab^*olv^*_{Ma}$: 0.75 1.0 0.0

$lab^*rgb^*_{Ma}$: 0.82 1.0 0.0

Dreiecks-Helligkeit i^*

%Umfang

$u^*_{rel} = 88$

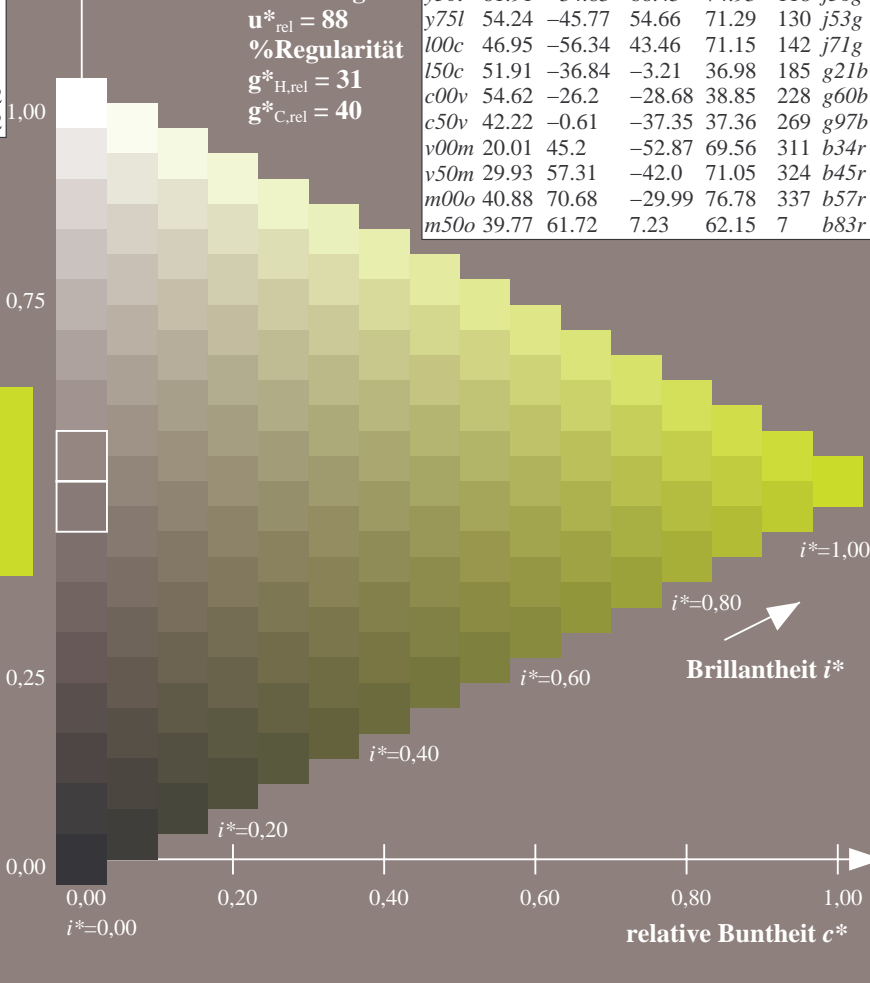
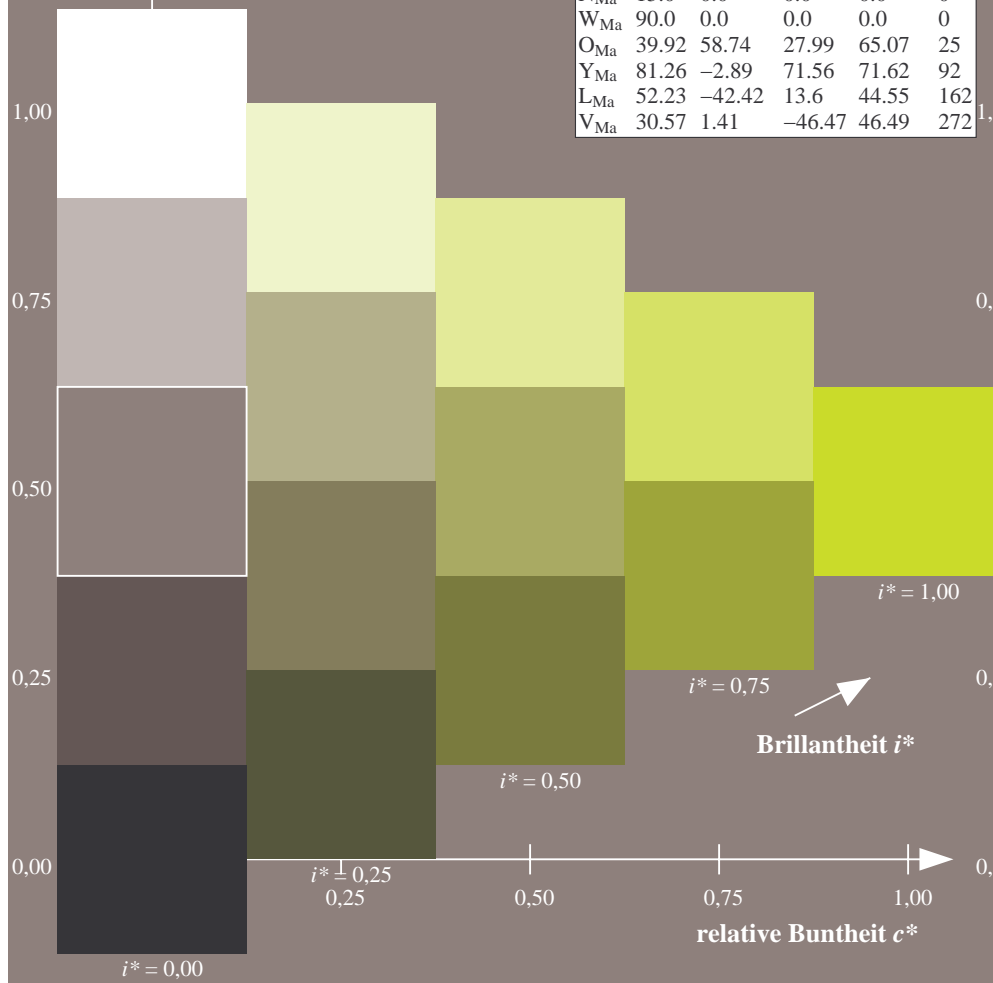
%Regularität

$g^*_{H,rel} = 31$

$g^*_{C,rel} = 40$

FRS15_90a; adaptierte CIELAB-Daten

u^*_d	$L^*=L^*_a$	a^*_a	b^*_a	$C^*_{ab,a}$	$h^*_{ab,a}$	u^*_e
o00y	38.8	53.92	39.68	66.95	36	r16j
o25y	47.46	42.34	51.25	66.48	50	r37j
o50y	56.54	30.2	63.39	70.22	65	r58j
o75y	67.39	15.68	77.9	79.47	79	r79j
y00l	82.58	-4.64	98.22	98.33	93	j01g
y25l	70.85	-21.66	80.19	83.07	105	j18g
y50l	61.91	-34.63	66.45	74.93	118	j36g
y75l	54.24	-45.77	54.66	71.29	130	j53g
l00c	46.95	-56.34	43.46	71.15	142	j71g
l50c	51.91	-36.84	-3.21	36.98	185	g21b
c00v	54.62	-26.2	-28.68	38.85	228	g60b
c50v	42.22	-0.61	-37.35	37.36	269	g97b
v00m	20.01	45.2	-52.87	69.56	311	b34r
v50m	29.93	57.31	-42.0	71.05	324	b45r
m00o	40.88	70.68	-29.99	76.78	337	b57r
m50o	39.77	61.72	7.23	62.15	7	b83r



Ein und Ausgabe: Farbmetrisches Drucker-Reflektiv-System FRS15_90a für relativen CIELAB-Buntton $h^* = lab^*h^* = h_{ab}/360 = 0.326$

Daten für jede Farbe:

lab^*ch^* und lab^*icu^*

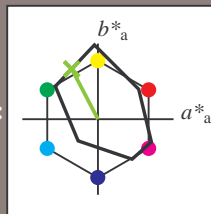
Bunttontexte:

$u^*_d = y50l$ $u^*_e = j36g$

Kontrastreduzierungsfaktor:

$c_R = 0.9$

Dreiecks-Helligkeit i^*



FRS15_90a; adaptierte CIELAB-Daten

u^*_d	$L^*=L^*_a$	a^*_a	b^*_a	$C^*_{ab,a}$	$h^*_{ab,a}$
O _{Ma}	38.8	53.92	39.68	66.95	36
Y _{Ma}	82.58	-4.64	98.22	98.33	93
L _{Ma}	46.95	-56.34	43.46	71.15	142
C _{Ma}	54.62	-26.2	-28.68	38.85	228
V _{Ma}	20.01	45.2	-52.87	69.56	311
M _{Ma}	40.88	70.68	-29.99	76.78	337
N _{Ma}	15.0	0.0	0.0	0.0	0
W _{Ma}	90.0	0.0	0.0	0.0	0
O _{Ma}	39.92	58.74	27.99	65.07	25
Y _{Ma}	81.26	-2.89	71.56	71.62	92
L _{Ma}	52.23	-42.42	13.6	44.55	162
V _{Ma}	30.57	1.41	-46.47	46.49	272

Daten für Maximalfarbe (Ma):

$LAB^*LAB^*_{Ma}$: 62 -35 66

$LAB^*LCH^*_{Ma}$: 62 75 117

$lab^*olv^*_{Ma}$: 0.5 1.0 0.0

$lab^*rgb^*_{Ma}$: 0.64 1.0 0.0

Dreiecks-Helligkeit i^*

%Umfang

$u^*_{rel} = 88$

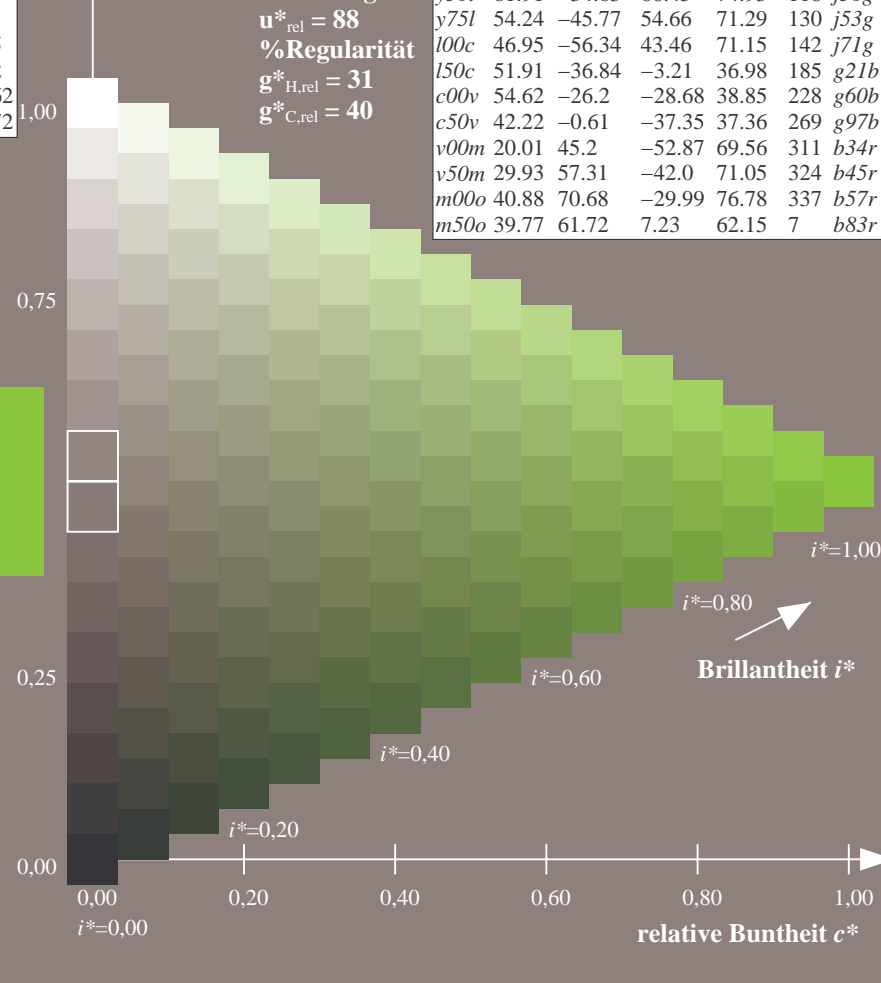
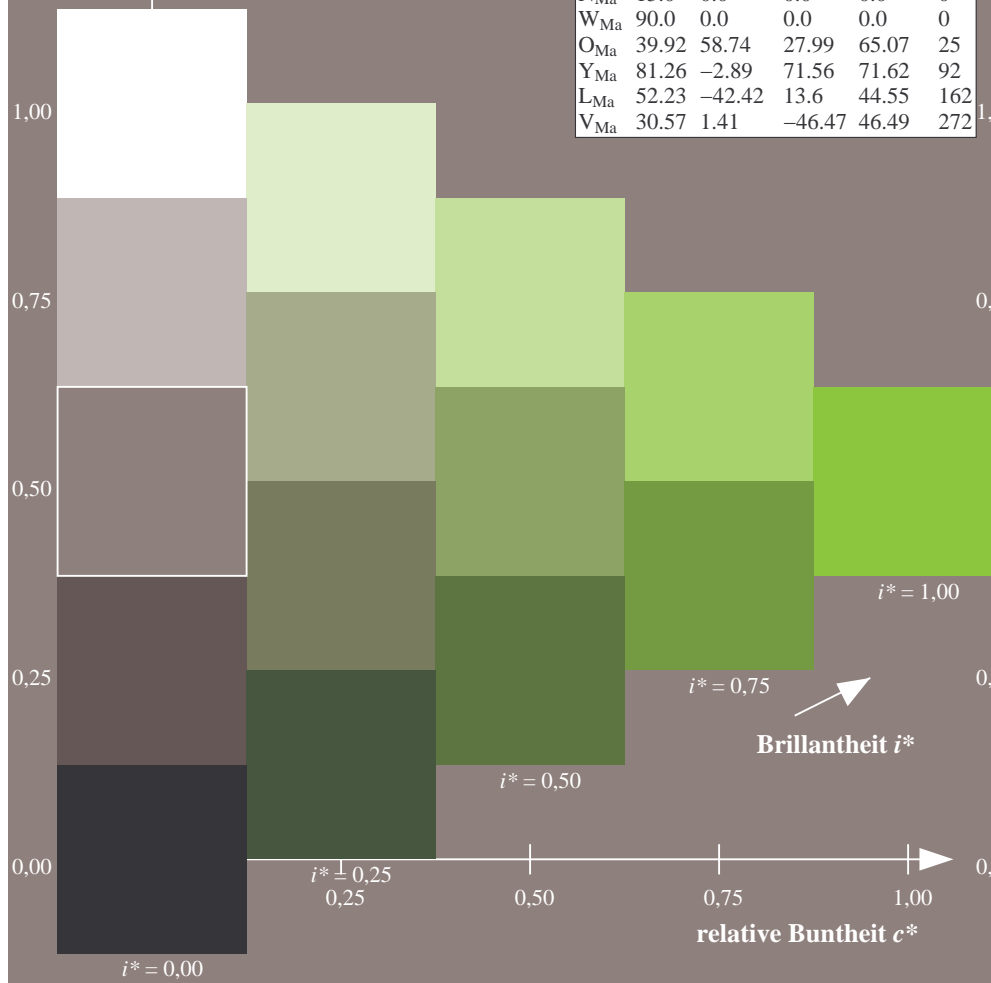
%Regularität

$g^*_{H,rel} = 31$

$g^*_{C,rel} = 40$

FRS15_90a; adaptierte CIELAB-Daten

u^*_d	$L^*=L^*_a$	a^*_a	b^*_a	$C^*_{ab,a}$	$h^*_{ab,a}$	u^*_e
o00y	38.8	53.92	39.68	66.95	36	r16j
o25y	47.46	42.34	51.25	66.48	50	r37j
o50y	56.54	30.2	63.39	70.22	65	r58j
o75y	67.39	15.68	77.9	79.47	79	r79j
y00l	82.58	-4.64	98.22	98.33	93	j01g
y25l	70.85	-21.66	80.19	83.07	105	j18g
y50l	61.91	-34.63	66.45	74.93	118	j36g
y75l	54.24	-45.77	54.66	71.29	130	j53g
l00c	46.95	-56.34	43.46	71.15	142	j71g
l50c	51.91	-36.84	-3.21	36.98	185	g21b
c00v	54.62	-26.2	-28.68	38.85	228	g60b
c50v	42.22	-0.61	-37.35	37.36	269	g97b
v00m	20.01	45.2	-52.87	69.56	311	b34r
v50m	29.93	57.31	-42.0	71.05	324	b45r
m00o	40.88	70.68	-29.99	76.78	337	b57r
m50o	39.77	61.72	7.23	62.15	7	b83r



Ein und Ausgabe: Farbmetrisches Drucker-Reflektiv-System FRS15_90a für relativen CIELAB-Buntton $h^* = lab^*h^* = h_{ab}/360 = 0.361$

Daten für jede Farbe:

lab^*tch^* und lab^*icu^*

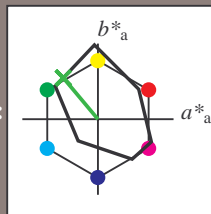
Bunttontexte:

$u^*_d = y75l$ $u^*_e = j53g$

Kontrastreduzierungsfaktor:

$c_R = 0.9$

Dreiecks-Helligkeit i^*



FRS15_90a; adaptierte CIELAB-Daten

u^*_d	$L^*=L^*_a$	a^*_a	b^*_a	$C^*_{ab,a}$	$h^*_{ab,a}$
O _{Ma}	38.8	53.92	39.68	66.95	36
Y _{Ma}	82.58	-4.64	98.22	98.33	93
L _{Ma}	46.95	-56.34	43.46	71.15	142
C _{Ma}	54.62	-26.2	-28.68	38.85	228
V _{Ma}	20.01	45.2	-52.87	69.56	311
M _{Ma}	40.88	70.68	-29.99	76.78	337
N _{Ma}	15.0	0.0	0.0	0.0	0
W _{Ma}	90.0	0.0	0.0	0.0	0
O _{Ma}	39.92	58.74	27.99	65.07	25
Y _{Ma}	81.26	-2.89	71.56	71.62	92
L _{Ma}	52.23	-42.42	13.6	44.55	162
V _{Ma}	30.57	1.41	-46.47	46.49	272

Daten für Maximalfarbe (Ma):

$LAB^*LAB^*_{Ma}$: 54 -46 55

$LAB^*LCH^*_{Ma}$: 54 71 129

$lab^*olv^*_{Ma}$: 0.25 1.0 0.0

$lab^*rgb^*_{Ma}$: 0.46 1.0 0.0

Dreiecks-Helligkeit i^*

%Umfang

$u^*_{rel} = 88$

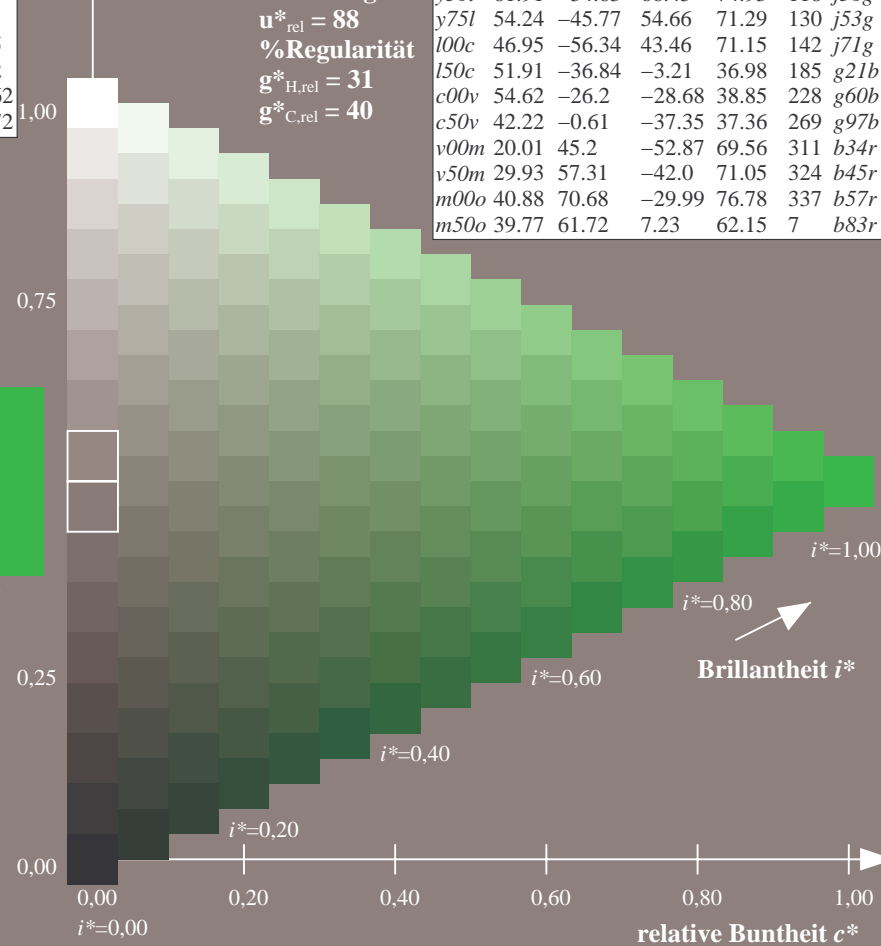
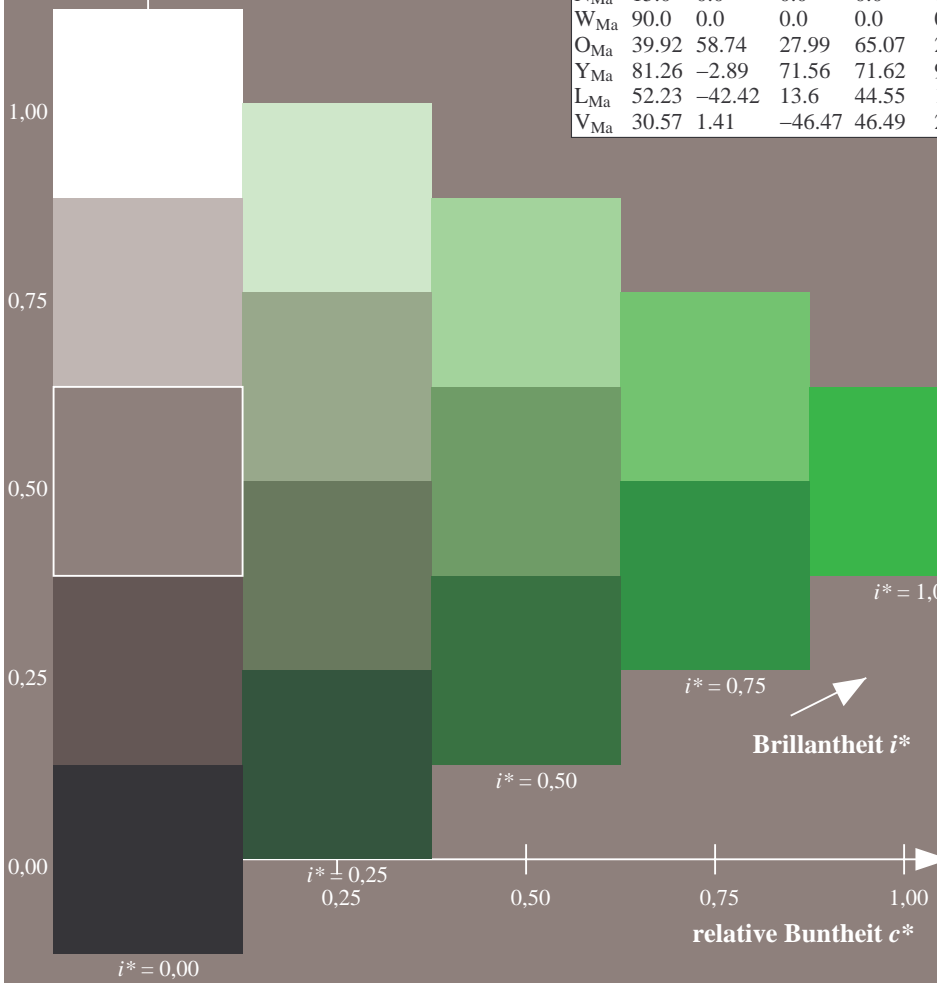
%Regularität

$g^*_{H,rel} = 31$

$g^*_{C,rel} = 40$

FRS15_90a; adaptierte CIELAB-Daten

u^*_d	$L^*=L^*_a$	a^*_a	b^*_a	$C^*_{ab,a}$	$h^*_{ab,a}$	u^*_e
o00y	38.8	53.92	39.68	66.95	36	r16j
o25y	47.46	42.34	51.25	66.48	50	r37j
o50y	56.54	30.2	63.39	70.22	65	r58j
o75y	67.39	15.68	77.9	79.47	79	r79j
y00l	82.58	-4.64	98.22	98.33	93	j01g
y25l	70.85	-21.66	80.19	83.07	105	j18g
y50l	61.91	-34.63	66.45	74.93	118	j36g
y75l	54.24	-45.77	54.66	71.29	130	j53g
l00c	46.95	-56.34	43.46	71.15	142	j71g
l50c	51.91	-36.84	-3.21	36.98	185	g21b
c00v	54.62	-26.2	-28.68	38.85	228	g60b
c50v	42.22	-0.61	-37.35	37.36	269	g97b
v00m	20.01	45.2	-52.87	69.56	311	b34r
v50m	29.93	57.31	-42.0	71.05	324	b45r
m00o	40.88	70.68	-29.99	76.78	337	b57r
m50o	39.77	61.72	7.23	62.15	7	b83r



Ein und Ausgabe: Farbmetrisches Drucker-Reflektiv-System FRS15_90a für relativen CIELAB-Buntton $h^* = lab^*h^* = h_{ab}/360 = 0.395$

Daten für jede Farbe:

lab^*tch^* und lab^*icu^*

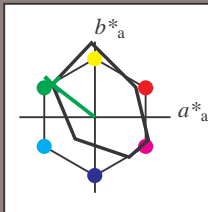
Bunttontexte:

$u^*_d = 100c$ $u^*_e = j71g$

Kontrastreduzierungsfaktor:

$c_R = 0.9$

Dreiecks-Helligkeit i^*



FRS15_90a; adaptierte CIELAB-Daten

u^*_d	$L^*=L^*_a$	a^*_a	b^*_a	$C^*_{ab,a}$	$h^*_{ab,a}$
O _{Ma}	38.8	53.92	39.68	66.95	36
Y _{Ma}	82.58	-4.64	98.22	98.33	93
L _{Ma}	46.95	-56.34	43.46	71.15	142
C _{Ma}	54.62	-26.2	-28.68	38.85	228
V _{Ma}	20.01	45.2	-52.87	69.56	311
M _{Ma}	40.88	70.68	-29.99	76.78	337
N _{Ma}	15.0	0.0	0.0	0.0	0
W _{Ma}	90.0	0.0	0.0	0.0	0
O _{Ma}	39.92	58.74	27.99	65.07	25
Y _{Ma}	81.26	-2.89	71.56	71.62	92
L _{Ma}	52.23	-42.42	13.6	44.55	162
V _{Ma}	30.57	1.41	-46.47	46.49	272

Daten für Maximalfarbe (Ma):

$LAB^*LAB^*_{Ma}$: 47 -56 43

$LAB^*LCH^*_{Ma}$: 47 71 142

$lab^*olv^*_{Ma}$: 0.0 1.0 0.0

$lab^*rgb^*_{Ma}$: 0.28 1.0 0.0

Dreiecks-Helligkeit i^*

%Umfang

$u^*_{rel} = 88$

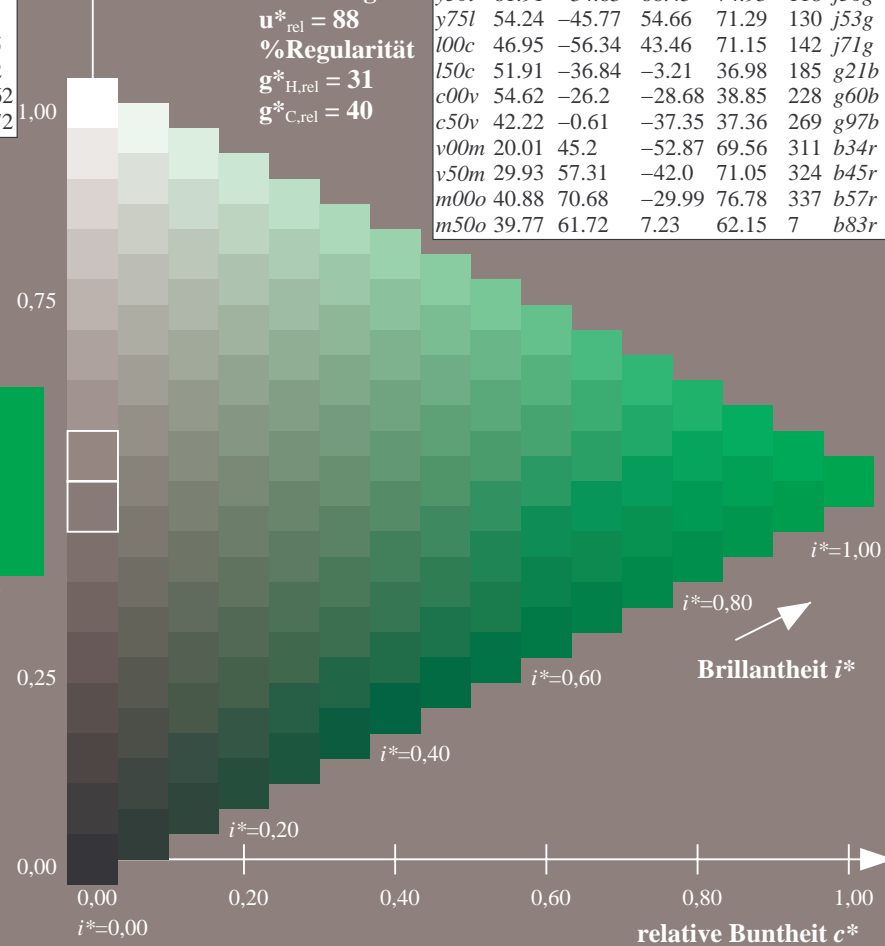
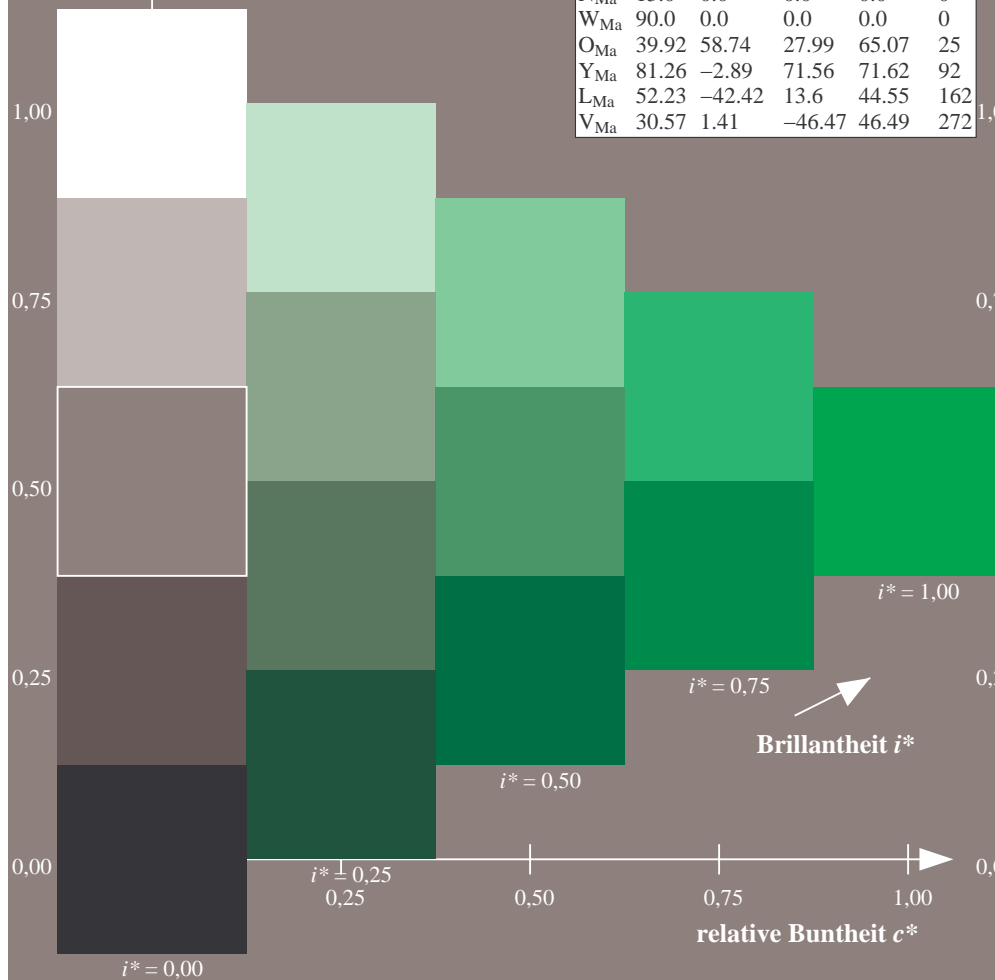
%Regularität

$g^*_{H,rel} = 31$

$g^*_{C,rel} = 40$

FRS15_90a; adaptierte CIELAB-Daten

u^*_d	$L^*=L^*_a$	a^*_a	b^*_a	$C^*_{ab,a}$	$h^*_{ab,a}$	u^*_e
o00y	38.8	53.92	39.68	66.95	36	r16j
o25y	47.46	42.34	51.25	66.48	50	r37j
o50y	56.54	30.2	63.39	70.22	65	r58j
o75y	67.39	15.68	77.9	79.47	79	r79j
y00l	82.58	-4.64	98.22	98.33	93	j01g
y25l	70.85	-21.66	80.19	83.07	105	j18g
y50l	61.91	-34.63	66.45	74.93	118	j36g
y75l	54.24	-45.77	54.66	71.29	130	j53g
l00c	46.95	-56.34	43.46	71.15	142	j71g
l50c	51.91	-36.84	-3.21	36.98	185	g21b
c00v	54.62	-26.2	-28.68	38.85	228	g60b
c50v	42.22	-0.61	-37.35	37.36	269	g97b
v00m	20.01	45.2	-52.87	69.56	311	b34r
v50m	29.93	57.31	-42.0	71.05	324	b45r
m00o	40.88	70.68	-29.99	76.78	337	b57r
m50o	39.77	61.72	7.23	62.15	7	b83r



Ein und Ausgabe: Farbmimetrisches Drucker-Reflektiv-System FRS15_90a für relativen CIELAB-Buntton $h^* = lab^*h^* = h_{ab}/360 = 0.514$

Daten für jede Farbe:

lab^*tch^* und lab^*icu^*

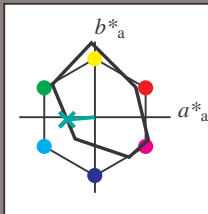
Bunttontexte:

$u^*_d = l50c$ $u^*_e = g21b$

Kontrastreduzierungsfaktor:

$c_R = 0.9$

Dreiecks-Helligkeit i^*



FRS15_90a; adaptierte CIELAB-Daten

u^*_d	$L^*=L^*_a$	a^*_a	b^*_a	$C^*_{ab,a}$	$h^*_{ab,a}$
O _{Ma}	38.8	53.92	39.68	66.95	36
Y _{Ma}	82.58	-4.64	98.22	98.33	93
L _{Ma}	46.95	-56.34	43.46	71.15	142
C _{Ma}	54.62	-26.2	-28.68	38.85	228
V _{Ma}	20.01	45.2	-52.87	69.56	311
M _{Ma}	40.88	70.68	-29.99	76.78	337
N _{Ma}	15.0	0.0	0.0	0.0	0
W _{Ma}	90.0	0.0	0.0	0.0	0
O _{Ma}	39.92	58.74	27.99	65.07	25
Y _{Ma}	81.26	-2.89	71.56	71.62	92
L _{Ma}	52.23	-42.42	13.6	44.55	162
V _{Ma}	30.57	1.41	-46.47	46.49	272

Daten für Maximalfarbe (Ma):

$LAB^*LAB^*_{Ma}$: 52 -37 -3

$LAB^*LCH^*_{Ma}$: 52 37 184

$lab^*olv^*_{Ma}$: 0.0 1.0 0.5

$lab^*rgb^*_{Ma}$: 0.0 1.0 0.42

Dreiecks-Helligkeit i^*

%Umfang

$u^*_{rel} = 88$

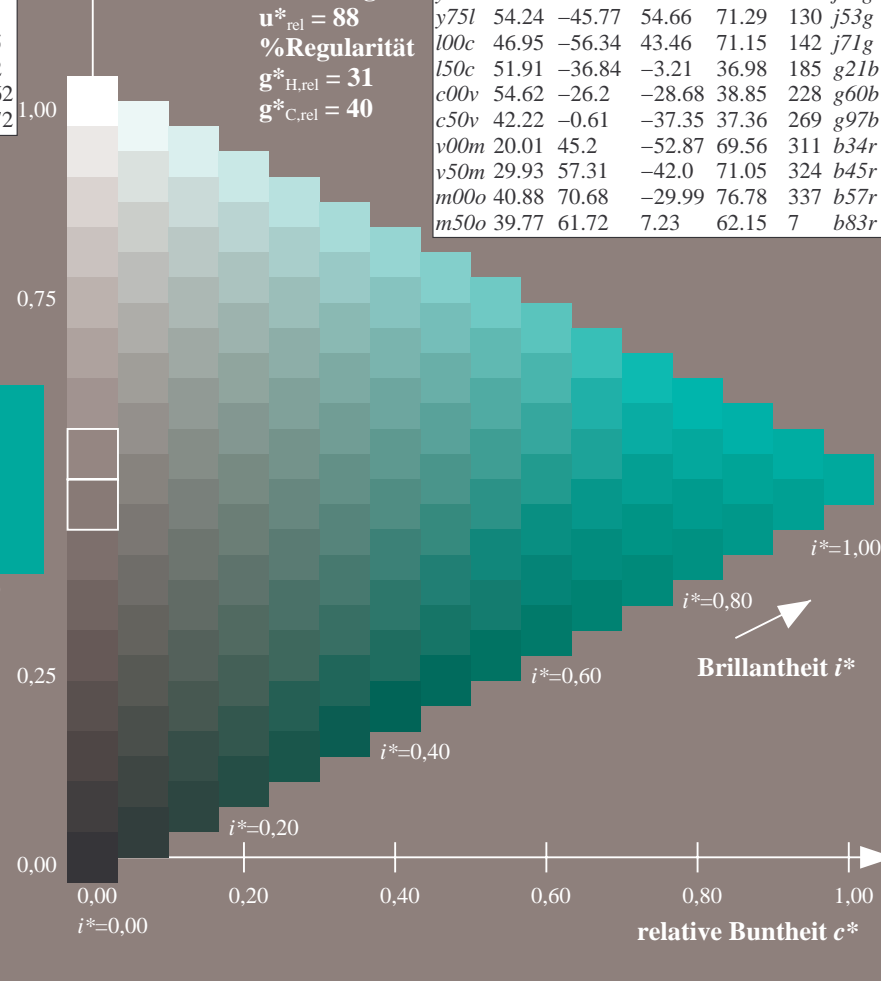
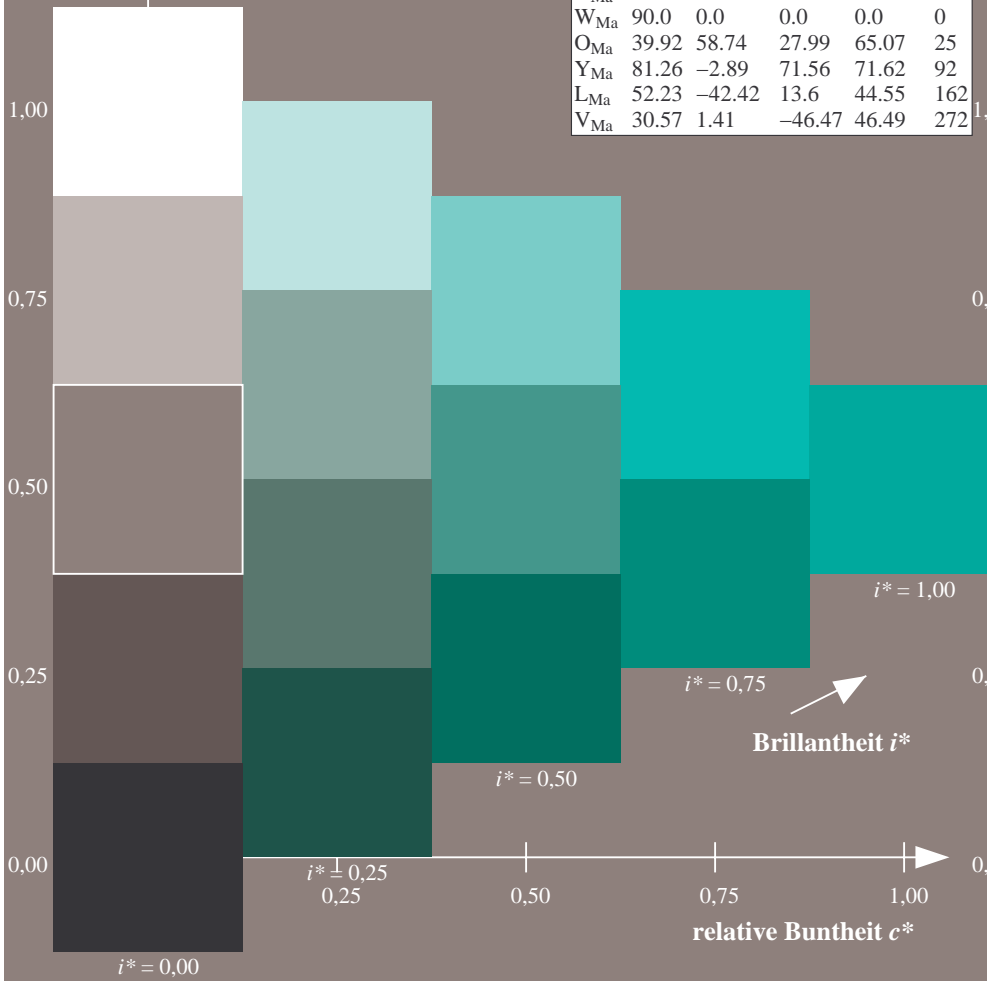
%Regularität

$g^*_{H,rel} = 31$

$g^*_{C,rel} = 40$

FRS15_90a; adaptierte CIELAB-Daten

u^*_d	$L^*=L^*_a$	a^*_a	b^*_a	$C^*_{ab,a}$	$h^*_{ab,a}$	u^*_e
o00y	38.8	53.92	39.68	66.95	36	r16j
o25y	47.46	42.34	51.25	66.48	50	r37j
o50y	56.54	30.2	63.39	70.22	65	r58j
o75y	67.39	15.68	77.9	79.47	79	r79j
y00l	82.58	-4.64	98.22	98.33	93	j01g
y25l	70.85	-21.66	80.19	83.07	105	j18g
y50l	61.91	-34.63	66.45	74.93	118	j36g
y75l	54.24	-45.77	54.66	71.29	130	j53g
l00c	46.95	-56.34	43.46	71.15	142	j71g
l50c	51.91	-36.84	-3.21	36.98	185	g21b
c00v	54.62	-26.2	-28.68	38.85	228	g60b
c50v	42.22	-0.61	-37.35	37.36	269	g97b
v00m	20.01	45.2	-52.87	69.56	311	b34r
v50m	29.93	57.31	-42.0	71.05	324	b45r
m00o	40.88	70.68	-29.99	76.78	337	b57r
m50o	39.77	61.72	7.23	62.15	7	b83r



Ein und Ausgabe: Farbmetrisches Drucker-Reflektiv-System FRS15_90a für relativen CIELAB-Buntton $h^* = lab^*h^* = h_{ab}/360 = 0.632$

Daten für jede Farbe:

lab^*tch^* und lab^*icu^*

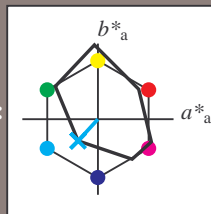
Bunttontexte:

$u^*_d = c00v$ $u^*_e = g60b$

Kontrastreduzierungsfaktor:

$c_R = 0.9$

Dreiecks-Helligkeit i^*



FRS15_90a; adaptierte CIELAB-Daten

u^*_d	$L^*=L^*_a$	a^*_a	b^*_a	$C^*_{ab,a}$	$h^*_{ab,a}$
O _{Ma}	38.8	53.92	39.68	66.95	36
Y _{Ma}	82.58	-4.64	98.22	98.33	93
L _{Ma}	46.95	-56.34	43.46	71.15	142
C _{Ma}	54.62	-26.2	-28.68	38.85	228
V _{Ma}	20.01	45.2	-52.87	69.56	311
M _{Ma}	40.88	70.68	-29.99	76.78	337
N _{Ma}	15.0	0.0	0.0	0.0	0
W _{Ma}	90.0	0.0	0.0	0.0	0
O _{Ma}	39.92	58.74	27.99	65.07	25
Y _{Ma}	81.26	-2.89	71.56	71.62	92
L _{Ma}	52.23	-42.42	13.6	44.55	162
V _{Ma}	30.57	1.41	-46.47	46.49	272

Daten für Maximalfarbe (Ma):

LAB^*LAB^*Ma : 55 -26 -29

LAB^*LCH^*Ma : 55 39 227

lab^*olv^*Ma : 0.0 1.0 1.0

lab^*rgb^*Ma : 0.0 0.81 1.0

Dreiecks-Helligkeit i^*

%Umfang

$u^*_{rel} = 88$

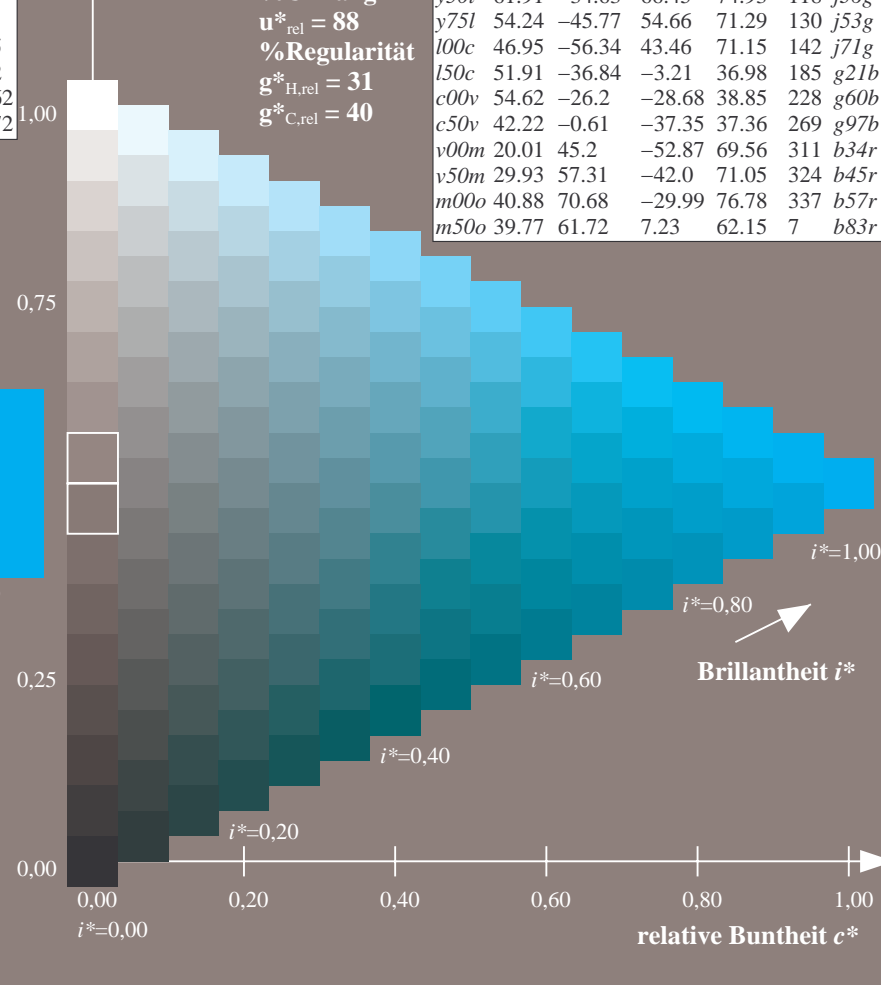
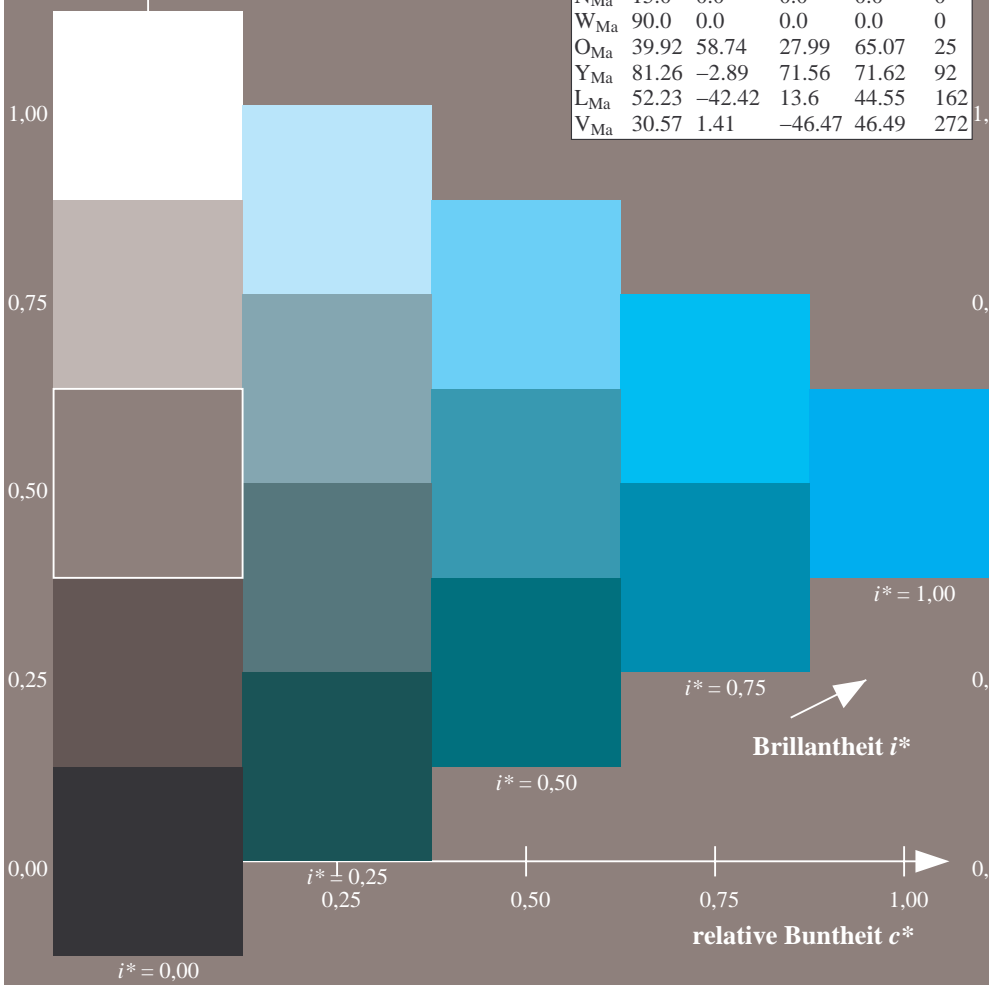
%Regularität

$g^*_{H,rel} = 31$

$g^*_{C,rel} = 40$

FRS15_90a; adaptierte CIELAB-Daten

u^*_d	$L^*=L^*_a$	a^*_a	b^*_a	$C^*_{ab,a}$	$h^*_{ab,a}$	u^*_e
o00y	38.8	53.92	39.68	66.95	36	r16j
o25y	47.46	42.34	51.25	66.48	50	r37j
o50y	56.54	30.2	63.39	70.22	65	r58j
o75y	67.39	15.68	77.9	79.47	79	r79j
y00l	82.58	-4.64	98.22	98.33	93	j01g
y25l	70.85	-21.66	80.19	83.07	105	j18g
y50l	61.91	-34.63	66.45	74.93	118	j36g
y75l	54.24	-45.77	54.66	71.29	130	j53g
l00c	46.95	-56.34	43.46	71.15	142	j71g
l50c	51.91	-36.84	-3.21	36.98	185	g21b
c00v	54.62	-26.2	-28.68	38.85	228	g60b
c50v	42.22	-0.61	-37.35	37.36	269	g97b
v00m	20.01	45.2	-52.87	69.56	311	b34r
v50m	29.93	57.31	-42.0	71.05	324	b45r
m00o	40.88	70.68	-29.99	76.78	337	b57r
m50o	39.77	61.72	7.23	62.15	7	b83r



Ein und Ausgabe: Farbmetrisches Drucker-Reflektiv-System FRS15_90a für relativen CIELAB-Buntton $h^* = lab^*h^* = h_{ab}/360 = 0.747$

Daten für jede Farbe:

lab^*tch^* und lab^*icu^*

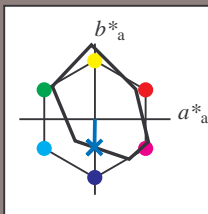
Bunttontexte:

$u^*_d = c50v$ $u^*_e = g97b$

Kontrastreduzierungsfaktor:

$c_R = 0.9$

Dreiecks-Helligkeit i^*



FRS15_90a; adaptierte CIELAB-Daten

u^*_d	$L^*=L^*_a$	a^*_a	b^*_a	$C^*_{ab,a}$	$h^*_{ab,a}$
O _{Ma}	38.8	53.92	39.68	66.95	36
Y _{Ma}	82.58	-4.64	98.22	98.33	93
L _{Ma}	46.95	-56.34	43.46	71.15	142
C _{Ma}	54.62	-26.2	-28.68	38.85	228
V _{Ma}	20.01	45.2	-52.87	69.56	311
M _{Ma}	40.88	70.68	-29.99	76.78	337
N _{Ma}	15.0	0.0	0.0	0.0	0
W _{Ma}	90.0	0.0	0.0	0.0	0
O _{Ma}	39.92	58.74	27.99	65.07	25
Y _{Ma}	81.26	-2.89	71.56	71.62	92
L _{Ma}	52.23	-42.42	13.6	44.55	162
V _{Ma}	30.57	1.41	-46.47	46.49	272

Daten für Maximalfarbe (Ma):

LAB^*LAB^*Ma : 42 -1 -37

LAB^*LCH^*Ma : 42 37 269

lab^*olv^*Ma : 0.0 0.5 1.0

lab^*rgb^*Ma : 0.0 0.05 1.0

Dreiecks-Helligkeit i^*

%Umfang

$u^*_{rel} = 88$

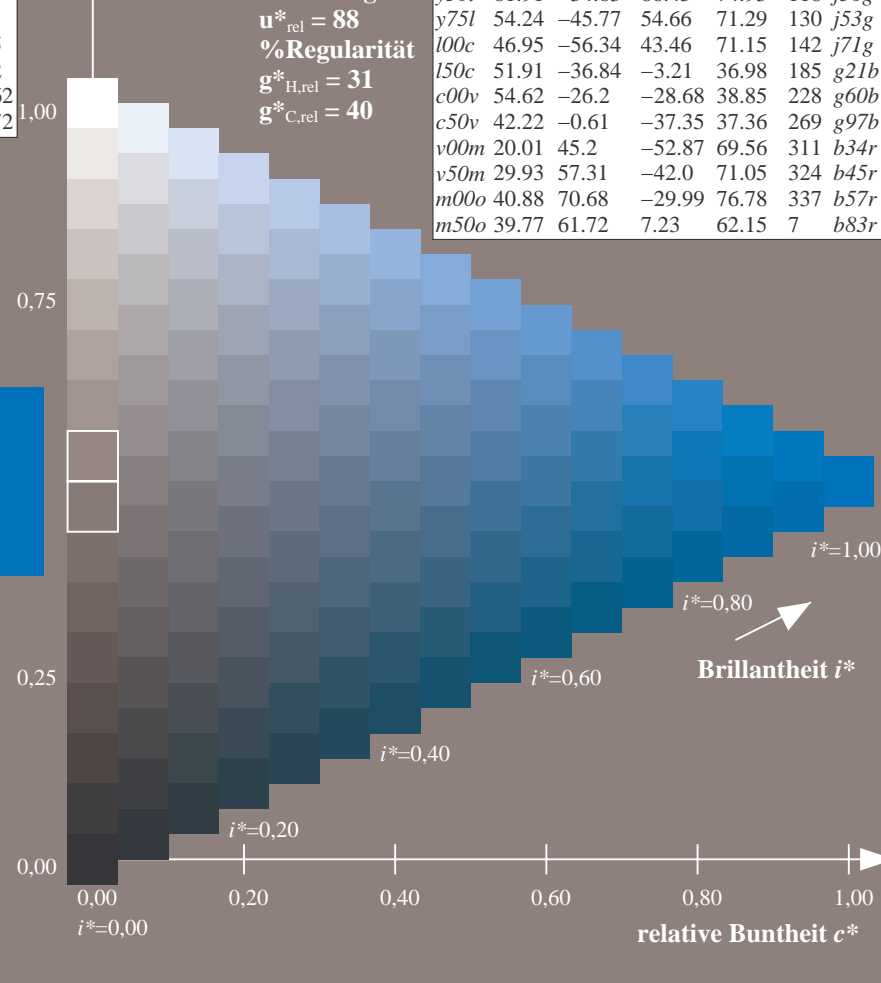
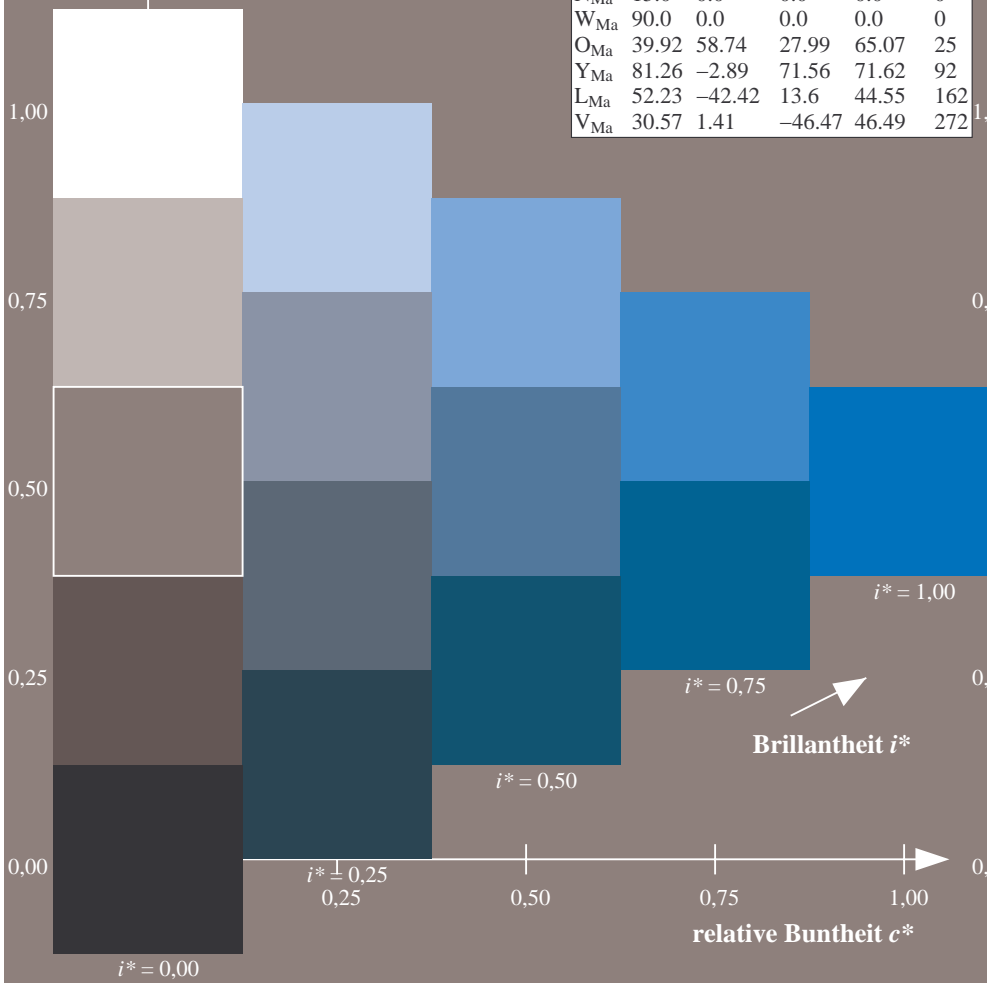
%Regularität

$g^*_{H,rel} = 31$

$g^*_{C,rel} = 40$

FRS15_90a; adaptierte CIELAB-Daten

u^*_d	$L^*=L^*_a$	a^*_a	b^*_a	$C^*_{ab,a}$	$h^*_{ab,a}$	u^*_e
o00y	38.8	53.92	39.68	66.95	36	r16j
o25y	47.46	42.34	51.25	66.48	50	r37j
o50y	56.54	30.2	63.39	70.22	65	r58j
o75y	67.39	15.68	77.9	79.47	79	r79j
y00l	82.58	-4.64	98.22	98.33	93	j01g
y25l	70.85	-21.66	80.19	83.07	105	j18g
y50l	61.91	-34.63	66.45	74.93	118	j36g
y75l	54.24	-45.77	54.66	71.29	130	j53g
l00c	46.95	-56.34	43.46	71.15	142	j71g
l50c	51.91	-36.84	-3.21	36.98	185	g21b
c00v	54.62	-26.2	-28.68	38.85	228	g60b
c50v	42.22	-0.61	-37.35	37.36	269	g97b
v00m	20.01	45.2	-52.87	69.56	311	b34r
v50m	29.93	57.31	-42.0	71.05	324	b45r
m00o	40.88	70.68	-29.99	76.78	337	b57r
m50o	39.77	61.72	7.23	62.15	7	b83r



Ein und Ausgabe: Farbmetrisches Drucker-Reflektiv-System FRS15_90a für relativen CIELAB-Buntton $h^* = lab^*h^* = h_{ab}/360 = 0.863$

Daten für jede Farbe:

lab^*tch^* und lab^*icu^*

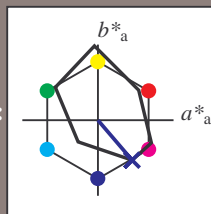
Bunttontexte:

$u^*_d = v00m$ $u^*_e = b34r$

Kontrastreduzierungsfaktor:

$c_R = 0.9$

Dreiecks-Helligkeit i^*



FRS15_90a; adaptierte CIELAB-Daten

u^*_d	$L^*=L^*_a$	a^*_a	b^*_a	$C^*_{ab,a}$	$h^*_{ab,a}$
O _{Ma}	38.8	53.92	39.68	66.95	36
Y _{Ma}	82.58	-4.64	98.22	98.33	93
L _{Ma}	46.95	-56.34	43.46	71.15	142
C _{Ma}	54.62	-26.2	-28.68	38.85	228
V _{Ma}	20.01	45.2	-52.87	69.56	311
M _{Ma}	40.88	70.68	-29.99	76.78	337
N _{Ma}	15.0	0.0	0.0	0.0	0
W _{Ma}	90.0	0.0	0.0	0.0	0
O _{Ma}	39.92	58.74	27.99	65.07	25
Y _{Ma}	81.26	-2.89	71.56	71.62	92
L _{Ma}	52.23	-42.42	13.6	44.55	162
V _{Ma}	30.57	1.41	-46.47	46.49	272

Daten für Maximalfarbe (Ma):

LAB^*LAB^*Ma : 20 45 -53

LAB^*LCH^*Ma : 20 70 310

lab^*olv^*Ma : 0.0 0.0 1.0

lab^*rgb^*Ma : 0.68 0.0 1.0

Dreiecks-Helligkeit i^*

%Umfang

$u^*_{rel} = 88$

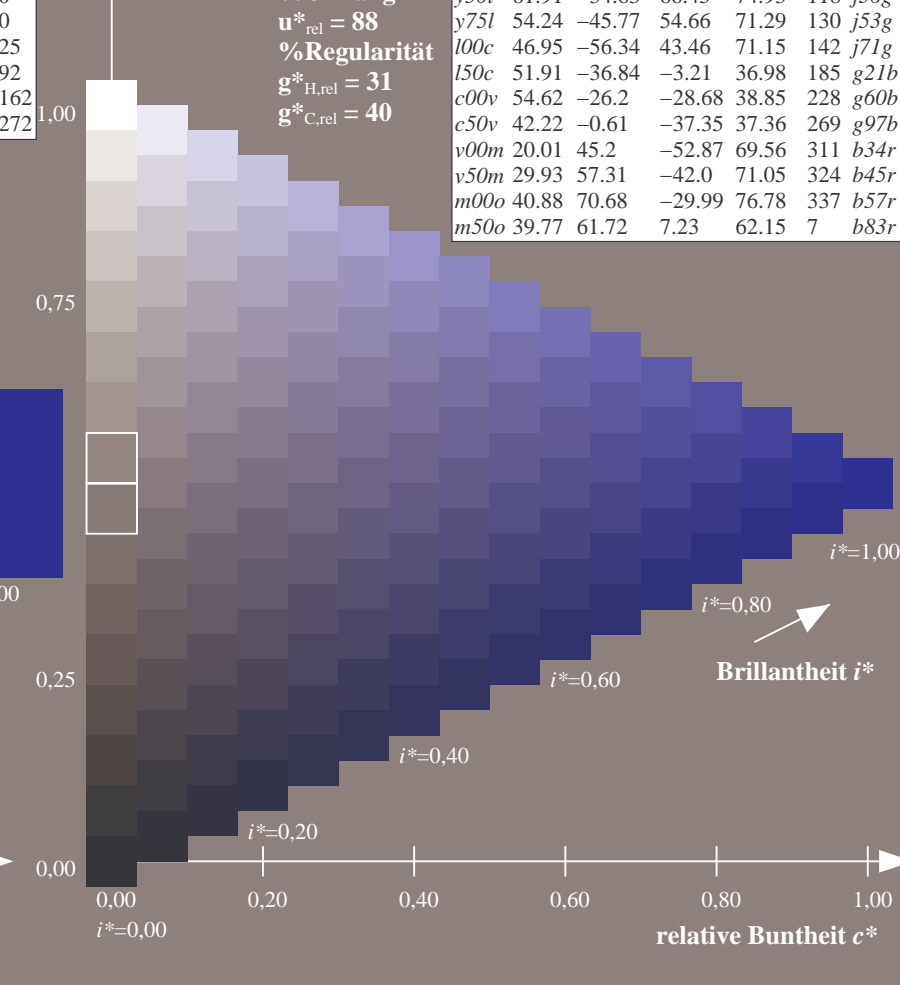
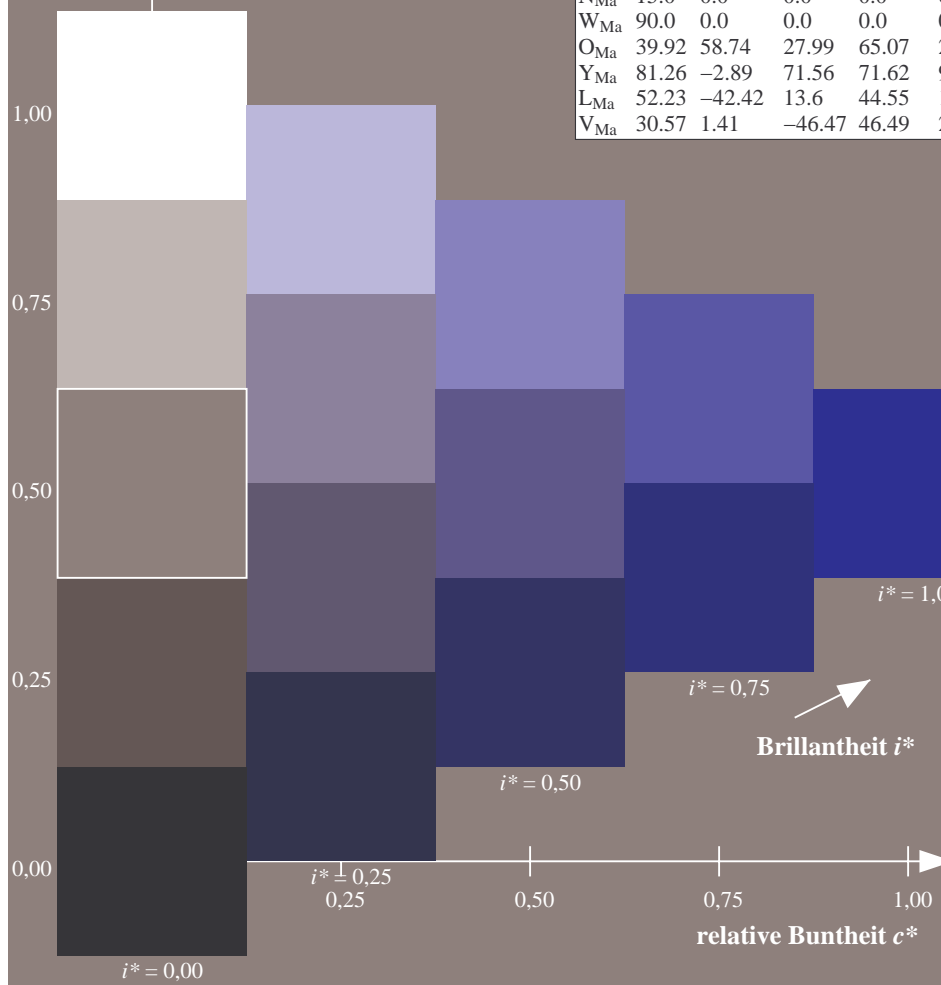
%Regularität

$g^*_{H,rel} = 31$

$g^*_{C,rel} = 40$

FRS15_90a; adaptierte CIELAB-Daten

u^*_d	$L^*=L^*_a$	a^*_a	b^*_a	$C^*_{ab,a}$	$h^*_{ab,a}$	u^*_e
o00y	38.8	53.92	39.68	66.95	36	r16j
o25y	47.46	42.34	51.25	66.48	50	r37j
o50y	56.54	30.2	63.39	70.22	65	r58j
o75y	67.39	15.68	77.9	79.47	79	r79j
y00l	82.58	-4.64	98.22	98.33	93	j01g
y25l	70.85	-21.66	80.19	83.07	105	j18g
y50l	61.91	-34.63	66.45	74.93	118	j36g
y75l	54.24	-45.77	54.66	71.29	130	j53g
l00c	46.95	-56.34	43.46	71.15	142	j71g
l50c	51.91	-36.84	-3.21	36.98	185	g21b
c00v	54.62	-26.2	-28.68	38.85	228	g60b
c50v	42.22	-0.61	-37.35	37.36	269	g97b
v00m	20.01	45.2	-52.87	69.56	311	b34r
v50m	29.93	57.31	-42.0	71.05	324	b45r
m00o	40.88	70.68	-29.99	76.78	337	b57r
m50o	39.77	61.72	7.23	62.15	7	b83r



Ein und Ausgabe: Farbmetrisches Drucker-Reflektiv-System FRS15_90a für relativen CIELAB-Buntton $h^* = lab^*h^* = h_{ab}/360 = 0.899$

Daten für jede Farbe:

lab^*ch^* und lab^*icu^*

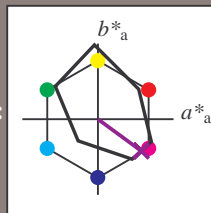
Bunttontexte:

$u^*_d = v50m$ $u^*_e = b45r$

Kontrastreduzierungsfaktor:

$c_R = 0.9$

Dreiecks-Helligkeit i^*



FRS15_90a; adaptierte CIELAB-Daten

u^*_d	$L^*=L^*_a$	a^*_a	b^*_a	$C^*_{ab,a}$	$h^*_{ab,a}$
O _{Ma}	38.8	53.92	39.68	66.95	36
Y _{Ma}	82.58	-4.64	98.22	98.33	93
L _{Ma}	46.95	-56.34	43.46	71.15	142
C _{Ma}	54.62	-26.2	-28.68	38.85	228
V _{Ma}	20.01	45.2	-52.87	69.56	311
M _{Ma}	40.88	70.68	-29.99	76.78	337
N _{Ma}	15.0	0.0	0.0	0.0	0
W _{Ma}	90.0	0.0	0.0	0.0	0
O _{Ma}	39.92	58.74	27.99	65.07	25
Y _{Ma}	81.26	-2.89	71.56	71.62	92
L _{Ma}	52.23	-42.42	13.6	44.55	162
V _{Ma}	30.57	1.41	-46.47	46.49	272

Daten für Maximalfarbe (Ma):

LAB^*LAB^*Ma : 30 57 -42

LAB^*LCH^*Ma : 30 71 323

lab^*olv^*Ma : 0.5 0.0 1.0

lab^*rgb^*Ma : 0.91 0.0 1.0

Dreiecks-Helligkeit i^*

%Umfang

$u^*_{rel} = 88$

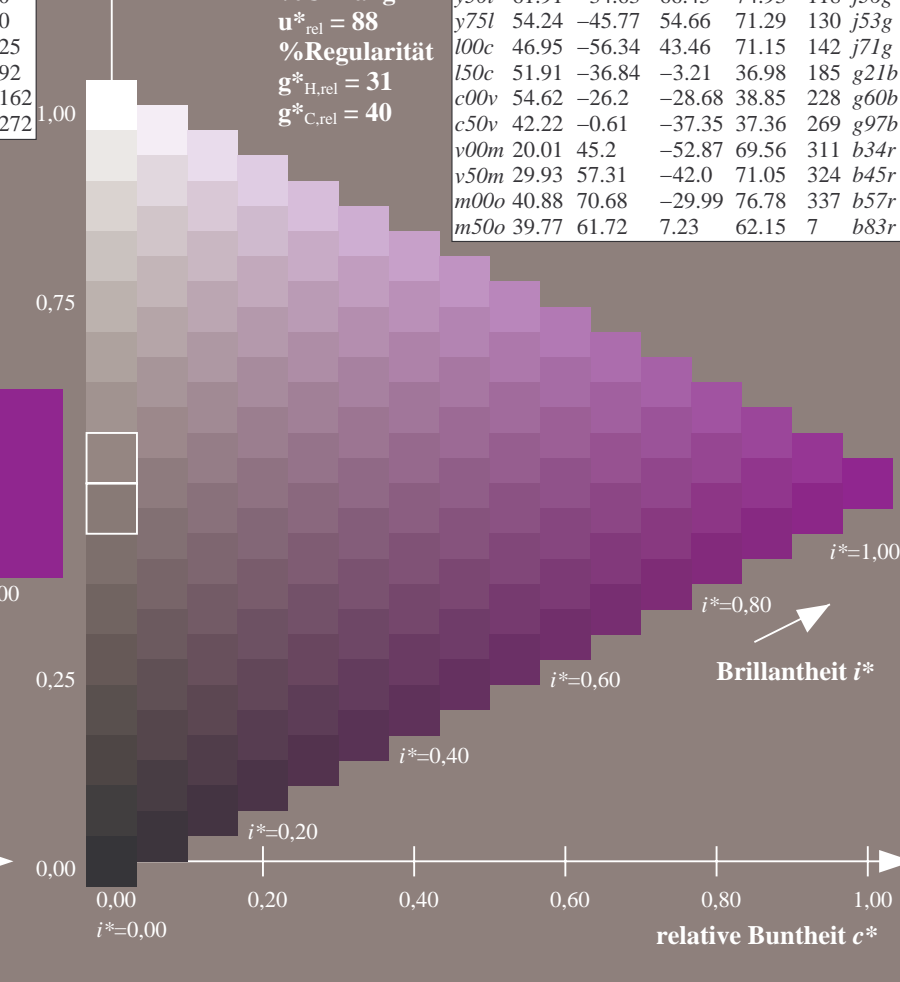
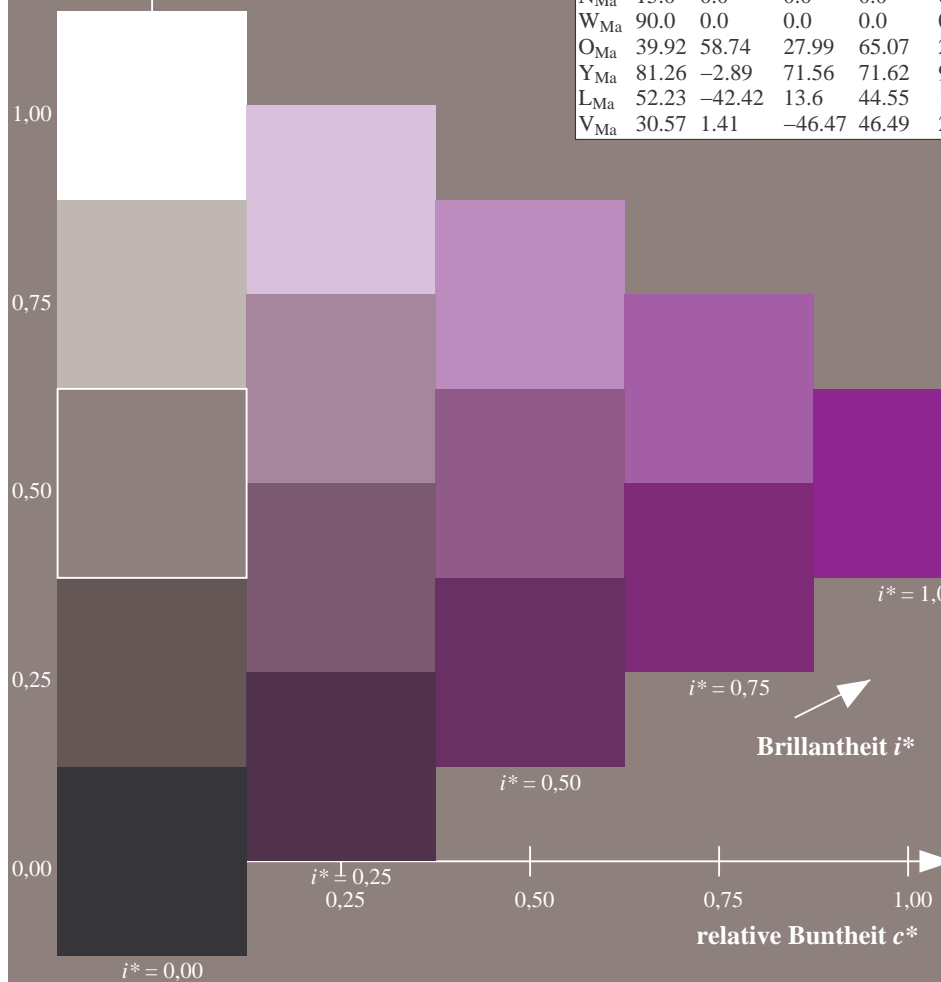
%Regularität

$g^*_{H,rel} = 31$

$g^*_{C,rel} = 40$

FRS15_90a; adaptierte CIELAB-Daten

u^*_d	$L^*=L^*_a$	a^*_a	b^*_a	$C^*_{ab,a}$	$h^*_{ab,a}$	u^*_e
o00y	38.8	53.92	39.68	66.95	36	r16j
o25y	47.46	42.34	51.25	66.48	50	r37j
o50y	56.54	30.2	63.39	70.22	65	r58j
o75y	67.39	15.68	77.9	79.47	79	r79j
y00l	82.58	-4.64	98.22	98.33	93	j01g
y25l	70.85	-21.66	80.19	83.07	105	j18g
y50l	61.91	-34.63	66.45	74.93	118	j36g
y75l	54.24	-45.77	54.66	71.29	130	j53g
l00c	46.95	-56.34	43.46	71.15	142	j71g
l50c	51.91	-36.84	-3.21	36.98	185	g21b
c00v	54.62	-26.2	-28.68	38.85	228	g60b
c50v	42.22	-0.61	-37.35	37.36	269	g97b
v00m	20.01	45.2	-52.87	69.56	311	b34r
v50m	29.93	57.31	-42.0	71.05	324	b45r
m00o	40.88	70.68	-29.99	76.78	337	b57r
m50o	39.77	61.72	7.23	62.15	7	b83r



Ein und Ausgabe: Farbmetrisches Drucker-Reflektiv-System FRS15_90a für relativen CIELAB-Buntton $h^* = lab^*h^* = h_{ab}/360 = 0.936$

Daten für jede Farbe:

lab^*tch^* und lab^*icu^*

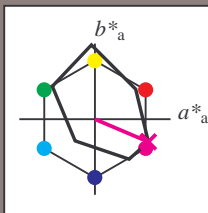
Bunttontexte:

$u^*_d = m00o$ $u^*_e = b57r$

Kontrastreduzierungsfaktor:

$c_R = 0.9$

Dreiecks-Helligkeit i^*



FRS15_90a; adaptierte CIELAB-Daten

u^*_d	$L^*=L^*_a$	a^*_a	b^*_a	$C^*_{ab,a}$	$h^*_{ab,a}$
O _{Ma}	38.8	53.92	39.68	66.95	36
Y _{Ma}	82.58	-4.64	98.22	98.33	93
L _{Ma}	46.95	-56.34	43.46	71.15	142
C _{Ma}	54.62	-26.2	-28.68	38.85	228
V _{Ma}	20.01	45.2	-52.87	69.56	311
M _{Ma}	40.88	70.68	-29.99	76.78	337
N _{Ma}	15.0	0.0	0.0	0.0	0
W _{Ma}	90.0	0.0	0.0	0.0	0
O _{Ma}	39.92	58.74	27.99	65.07	25
Y _{Ma}	81.26	-2.89	71.56	71.62	92
L _{Ma}	52.23	-42.42	13.6	44.55	162
V _{Ma}	30.57	1.41	-46.47	46.49	272

Daten für Maximalfarbe (Ma):

$LAB^*LAB^*_{Ma}$: 41 71 -30

$LAB^*LCH^*_{Ma}$: 41 77 337

$lab^*olv^*_{Ma}$: 1.0 0.0 1.0

$lab^*rgb^*_{Ma}$: 1.0 0.0 0.85

Dreiecks-Helligkeit i^*

%Umfang

$u^*_{rel} = 88$

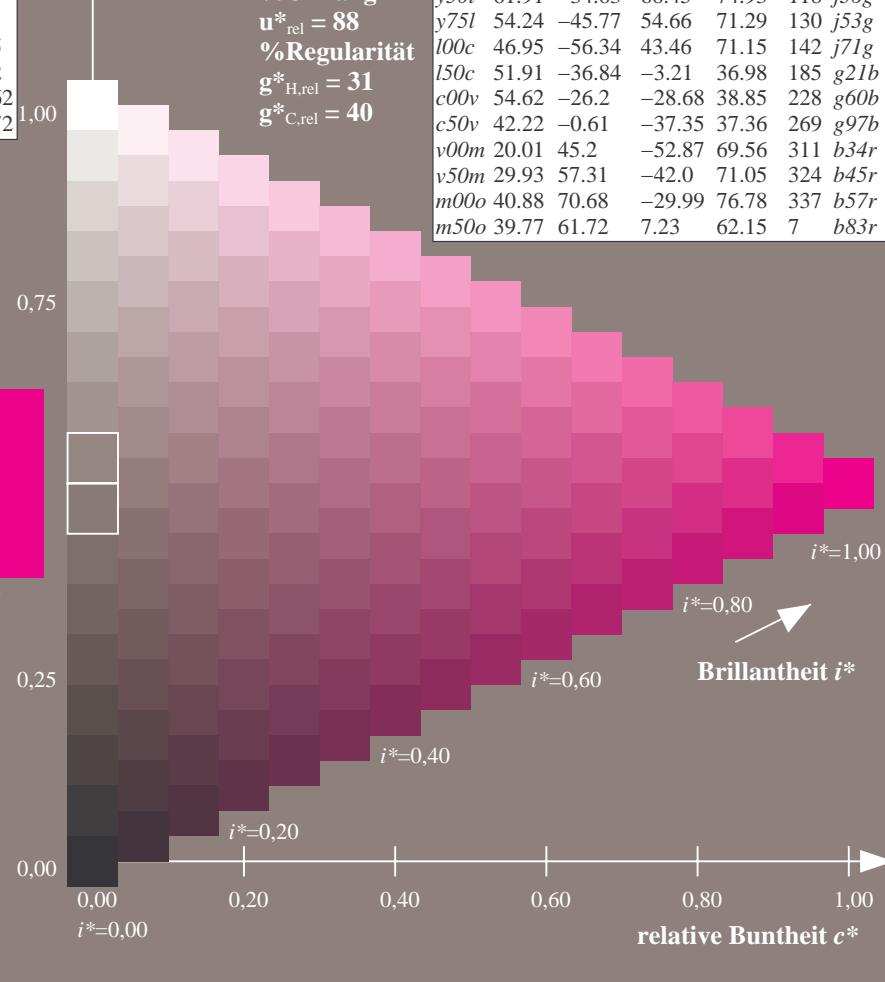
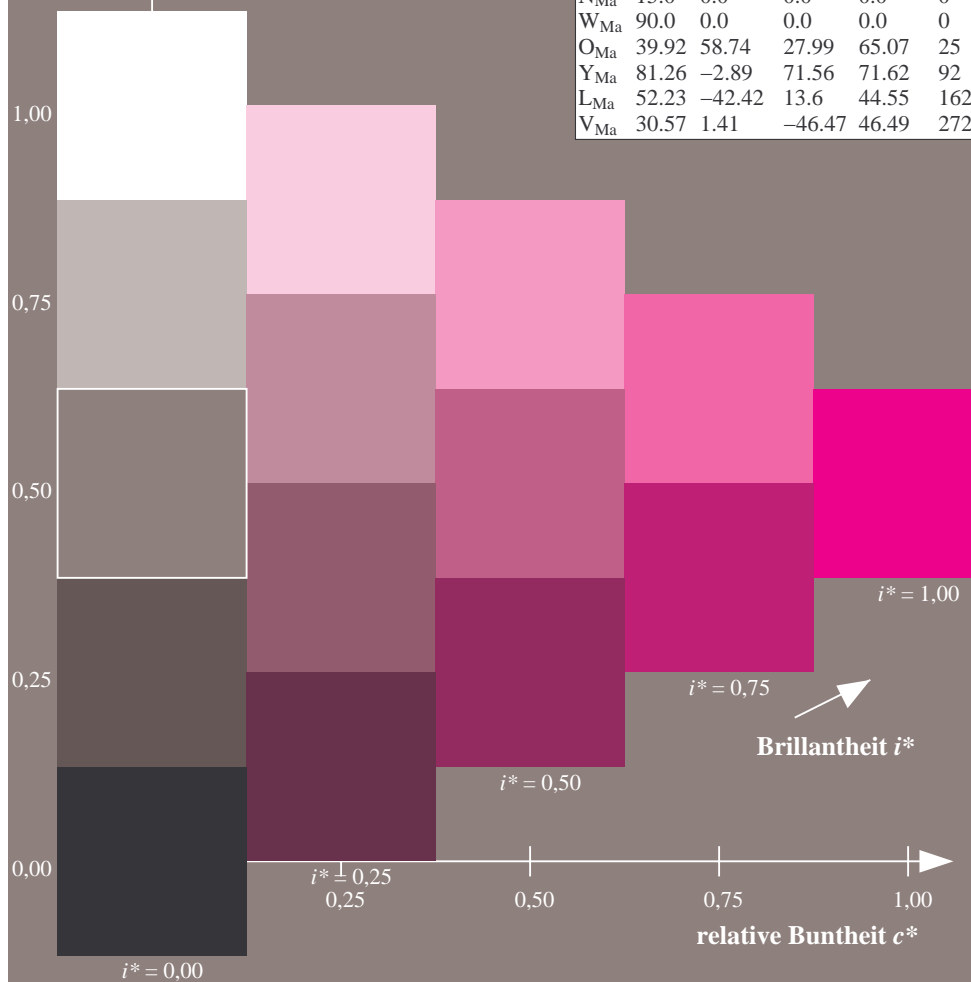
%Regularität

$g^*_{H,rel} = 31$

$g^*_{C,rel} = 40$

FRS15_90a; adaptierte CIELAB-Daten

u^*_d	$L^*=L^*_a$	a^*_a	b^*_a	$C^*_{ab,a}$	$h^*_{ab,a}$	u^*_e
o00y	38.8	53.92	39.68	66.95	36	r16j
o25y	47.46	42.34	51.25	66.48	50	r37j
o50y	56.54	30.2	63.39	70.22	65	r58j
o75y	67.39	15.68	77.9	79.47	79	r79j
y00l	82.58	-4.64	98.22	98.33	93	j01g
y25l	70.85	-21.66	80.19	83.07	105	j18g
y50l	61.91	-34.63	66.45	74.93	118	j36g
y75l	54.24	-45.77	54.66	71.29	130	j53g
l00c	46.95	-56.34	43.46	71.15	142	j71g
l50c	51.91	-36.84	-3.21	36.98	185	g21b
c00v	54.62	-26.2	-28.68	38.85	228	g60b
c50v	42.22	-0.61	-37.35	37.36	269	g97b
v00m	20.01	45.2	-52.87	69.56	311	b34r
v50m	29.93	57.31	-42.0	71.05	324	b45r
m00o	40.88	70.68	-29.99	76.78	337	b57r
m50o	39.77	61.72	7.23	62.15	7	b83r



Ein und Ausgabe: Farbmimetrisches Drucker-Reflektiv-System FRS15_90a für relativen CIELAB-Buntton $h^* = lab^*h^* = h_{ab}/360 = 0.019$

Daten für jede Farbe:

lab^*tch^* und lab^*icu^*

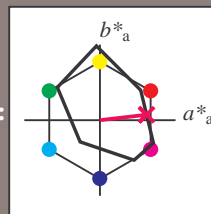
Bunttonexte:

$u^*_d = m50o$ $u^*_e = b83r$

Kontrastreduzierungsfaktor:

$c_R = 0.9$

Dreiecks-Helligkeit i^*



FRS15_90a; adaptierte CIELAB-Daten						
u^*_d	$L^*=L^*_a$	a^*_a	b^*_a	$C^*_{ab,a}$	$h^*_{ab,a}$	
O _{Ma}	38.8	53.92	39.68	66.95	36	
Y _{Ma}	82.58	-4.64	98.22	98.33	93	
L _{Ma}	46.95	-56.34	43.46	71.15	142	
C _{Ma}	54.62	-26.2	-28.68	38.85	228	
V _{Ma}	20.01	45.2	-52.87	69.56	311	
M _{Ma}	40.88	70.68	-29.99	76.78	337	
N _{Ma}	15.0	0.0	0.0	0.0	0	
W _{Ma}	90.0	0.0	0.0	0.0	0	
O _{Ma}	39.92	58.74	27.99	65.07	25	
Y _{Ma}	81.26	-2.89	71.56	71.62	92	
L _{Ma}	52.23	-42.42	13.6	44.55	162	
V _{Ma}	30.57	1.41	-46.47	46.49	272	

Daten für Maximalfarbe (Ma):

LAB^*LAB^*Ma : 40 62 7

LAB^*LCH^*Ma : 40 62 6

lab^*olv^*Ma : 1.0 0.0 0.5

lab^*rgb^*Ma : 1.0 0.0 0.33

Dreiecks-Helligkeit i^*

%Umfang

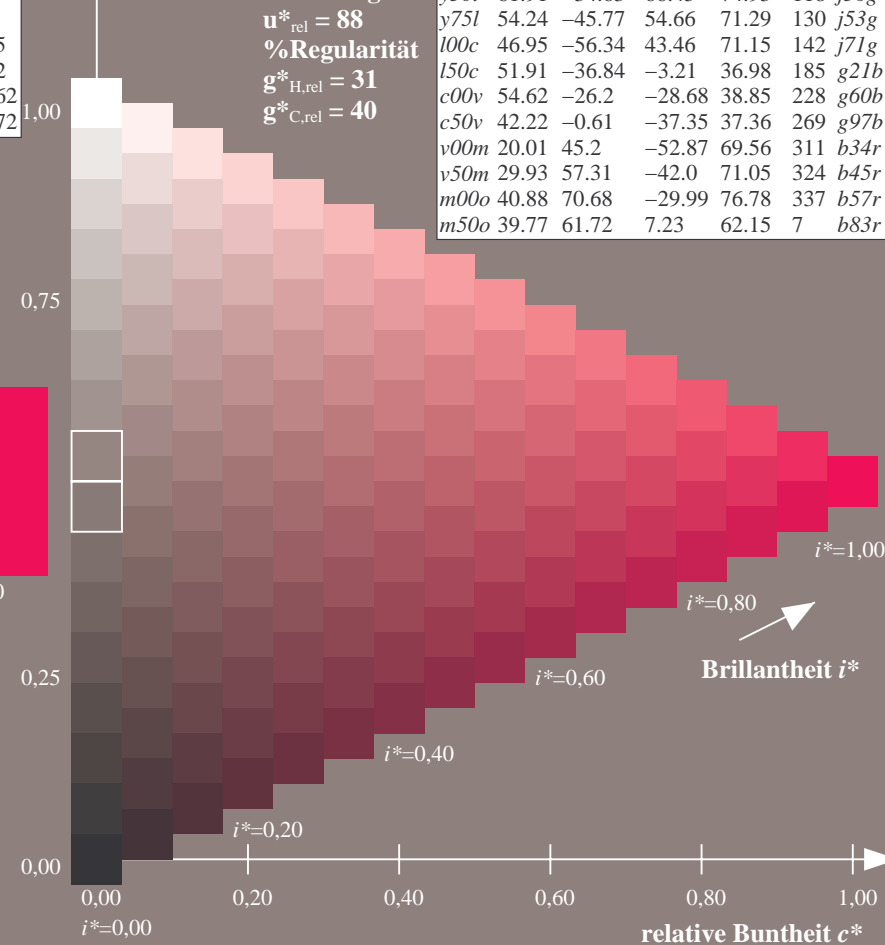
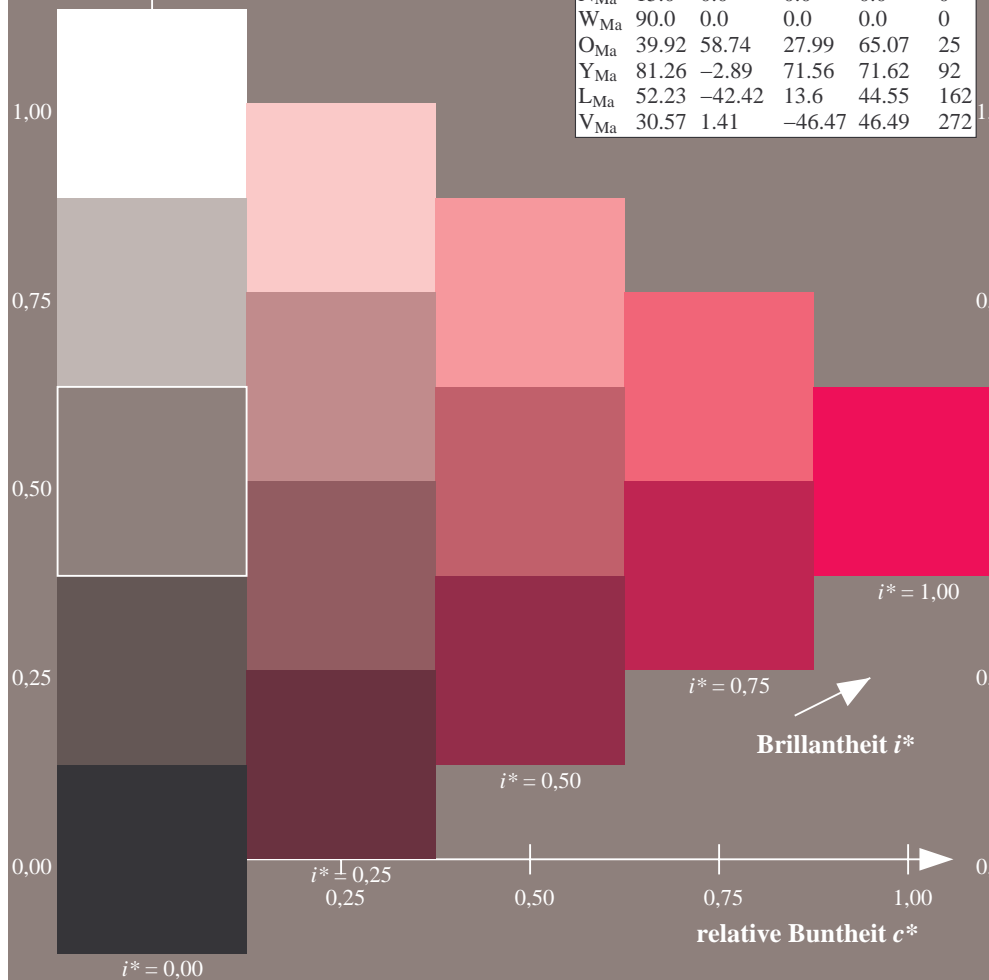
$u^*_{rel} = 88$

%Regularität

$g^*_{H,rel} = 31$

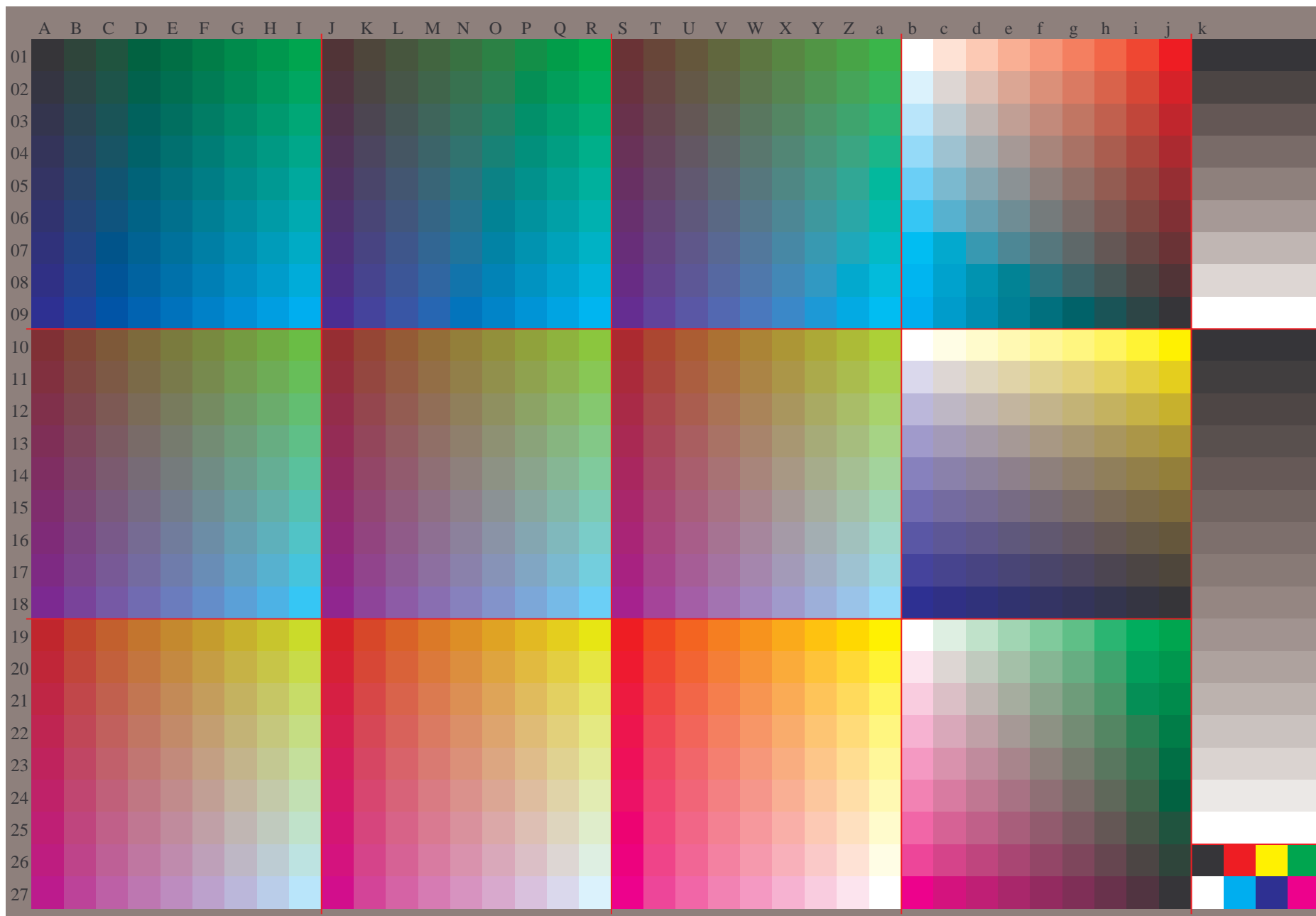
$g^*_{C,rel} = 40$

FRS15_90a; adaptierte CIELAB-Daten						
u^*_d	$L^*=L^*_a$	a^*_a	b^*_a	$C^*_{ab,a}$	$h^*_{ab,a}$	u^*_e
o00y	38.8	53.92	39.68	66.95	36	r16j
o25y	47.46	42.34	51.25	66.48	50	r37j
o50y	56.54	30.2	63.39	70.22	65	r58j
o75y	67.39	15.68	77.9	79.47	79	r79j
y00l	82.58	-4.64	98.22	98.33	93	j01g
y25l	70.85	-21.66	80.19	83.07	105	j18g
y50l	61.91	-34.63	66.45	74.93	118	j36g
y75l	54.24	-45.77	54.66	71.29	130	j53g
l00c	46.95	-56.34	43.46	71.15	142	j71g
l50c	51.91	-36.84	-3.21	36.98	185	g21b
c00v	54.62	-26.2	-28.68	38.85	228	g60b
c50v	42.22	-0.61	-37.35	37.36	269	g97b
v00m	20.01	45.2	-52.87	69.56	311	b34r
v50m	29.93	57.31	-42.0	71.05	324	b45r
m00o	40.88	70.68	-29.99	76.78	337	b57r
m50o	39.77	61.72	7.23	62.15	7	b83r



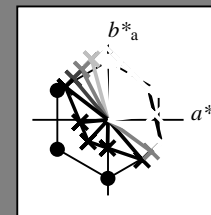
Siehe ähnliche Dateien: <http://www.ps.bam.de/Eg41/>; www.ps.bam.de/Eg.HTM
Technische Information: [http://www.ps.bam.de/Version 2.1, io=1,1, Col5px=0](http://www.ps.bam.de/Version%202.1,io=1,1,Col5px=0)

BAM-Registrierung: 20081001-Eg41/10L/L41G00NA.PS/.TXT BAM-Material: Code=rh4ta
Anwendung für Beurteilung und Messung von Drucker- oder Monitorsystemen



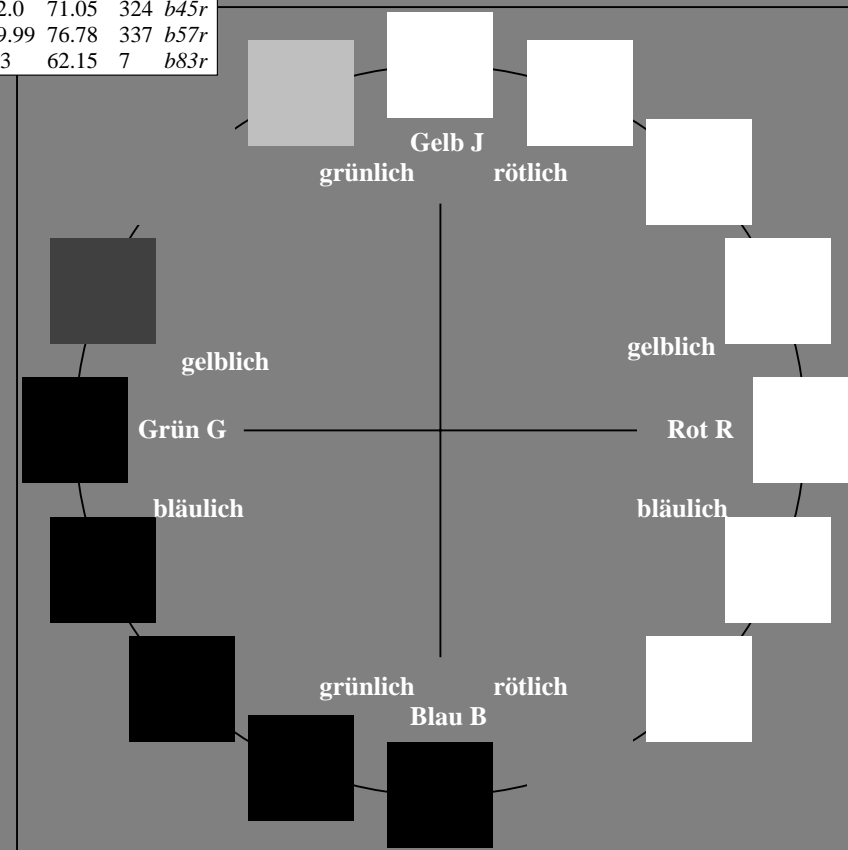
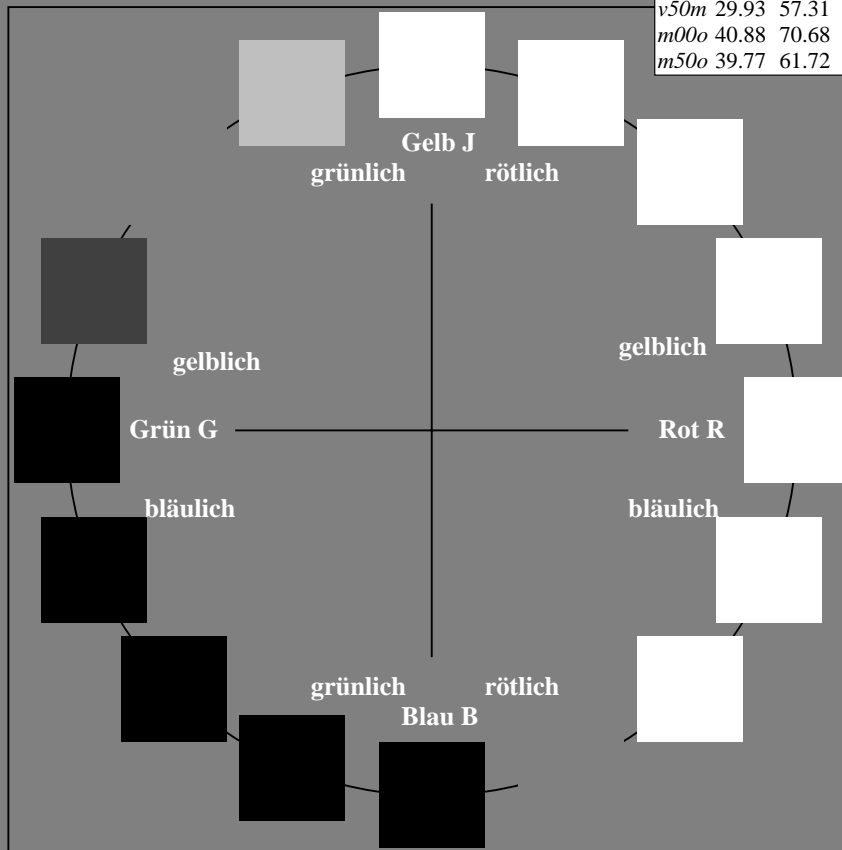
Ein und Ausgabe:
Farbmetrisches Drucker-Reflektiv-System FRS15_90a
Daten für jede Farbe:
 u^*_d und Nummer $Nr.$ = 00 .. 15
Geräte-Bunttontext:
 u^*_d = 16 Bunttoene *o00y*, *o25y*, ..., *m50o*
Kontrastreduzierungsfaktor:
 $c_R = 0.9$

FRS15_90a; adaptierte CIELAB-Daten							
u^*_d	$L^*=L^*_a$	a^*_a	b^*_a	$C^*_{ab,a}$	$h^*_{ab,a}$	u^*_e	
<i>o00y</i>	38.8	53.92	39.68	66.95	36	<i>r16j</i>	
<i>o25y</i>	47.46	42.34	51.25	66.48	50	<i>r37j</i>	
<i>o50y</i>	56.54	30.2	63.39	70.22	65	<i>r58j</i>	
<i>o75y</i>	67.39	15.68	77.9	79.47	79	<i>r79j</i>	
<i>y00l</i>	82.58	-4.64	98.22	98.33	93	<i>j01g</i>	
<i>y25l</i>	70.85	-21.66	80.19	83.07	105	<i>j18g</i>	
<i>y50l</i>	61.91	-34.63	66.45	74.93	118	<i>j36g</i>	
<i>y75l</i>	54.24	-45.77	54.66	71.29	130	<i>j53g</i>	
<i>l00c</i>	46.95	-56.34	43.46	71.15	142	<i>j71g</i>	
<i>l50c</i>	51.91	-36.84	-3.21	36.98	185	<i>g21b</i>	
<i>c00v</i>	54.62	-26.2	-28.68	38.85	228	<i>g60b</i>	
<i>c50v</i>	42.22	-0.61	-37.35	37.36	269	<i>g97b</i>	
<i>v00m</i>	20.01	45.2	-52.87	69.56	311	<i>b34r</i>	
<i>v50m</i>	29.93	57.31	-42.0	71.05	324	<i>b45r</i>	
<i>m00o</i>	40.88	70.68	-29.99	76.78	337	<i>b57r</i>	
<i>m50o</i>	39.77	61.72	7.23	62.15	7	<i>b83r</i>	



%Umfang
 $u^*_{rel} = 88$
%Regularität
 $g^*_{H,rel} = 31$
 $g^*_{C,rel} = 40$

FRS15_90a; adaptierte CIELAB-Daten					
Name	$L^*=L^*_a$	a^*_a	b^*_a	$C^*_{ab,a}$	$h^*_{ab,a}$
O _{Ma}	38.8	53.92	39.68	66.95	36
Y _{Ma}	82.58	-4.64	98.22	98.33	93
L _{Ma}	46.95	-56.34	43.46	71.15	142
C _{Ma}	54.62	-26.2	-28.68	38.85	228
V _{Ma}	20.01	45.2	-52.87	69.56	311
M _{Ma}	40.88	70.68	-29.99	76.78	337
N _{Ma}	15.0	0.0	0.0	0.0	0
W _{Ma}	90.0	0.0	0.0	0.0	0
O _{CIE}	39.92	58.74	27.99	65.07	25
Y _{CIE}	81.26	-2.89	71.56	71.62	92
L _{CIE}	52.23	-42.42	13.6	44.55	162
V _{CIE}	30.57	1.41	-46.47	46.49	272



Ein und Ausgabe: Farbmetrisches Drucker-Reflektiv-System FRS15_90a für relativen CIELAB-Buntton $h^* = lab^*h^* = h_{ab}/360 = 0.101$

Daten für jede Farbe:

lab^*ch^* und lab^*icu^*

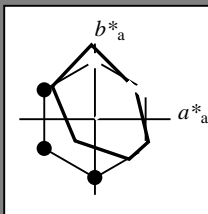
Bunttontexte:

$u^*_d = o00y$ $u^*_e = r16j$

Kontrastreduzierungsfaktor:

$c_R = 0.9$

Dreiecks-Helligkeit i^*



FRS15_90a; adaptierte CIELAB-Daten

u^*_d	$L^*=L^*_a$	a^*_a	b^*_a	$C^*_{ab,a}$	$h^*_{ab,a}$
O _{Ma}	38.8	53.92	39.68	66.95	36
Y _{Ma}	82.58	-4.64	98.22	98.33	93
L _{Ma}	46.95	-56.34	43.46	71.15	142
C _{Ma}	54.62	-26.2	-28.68	38.85	228
V _{Ma}	20.01	45.2	-52.87	69.56	311
M _{Ma}	40.88	70.68	-29.99	76.78	337
N _{Ma}	15.0	0.0	0.0	0.0	0
W _{Ma}	90.0	0.0	0.0	0.0	0
O _{Ma}	39.92	58.74	27.99	65.07	25
Y _{Ma}	81.26	-2.89	71.56	71.62	92
L _{Ma}	52.23	-42.42	13.6	44.55	162
V _{Ma}	30.57	1.41	-46.47	46.49	272

Daten für Maximalfarbe (Ma):

LAB^*LAB^*Ma : 39 54 40

LAB^*LCH^*Ma : 39 67 36

lab^*olv^*Ma : 1.0 0.0 0.0

lab^*rgb^*Ma : 1.0 0.16 0.0

Dreiecks-Helligkeit i^*

%Umfang

$u^*_{rel} = 88$

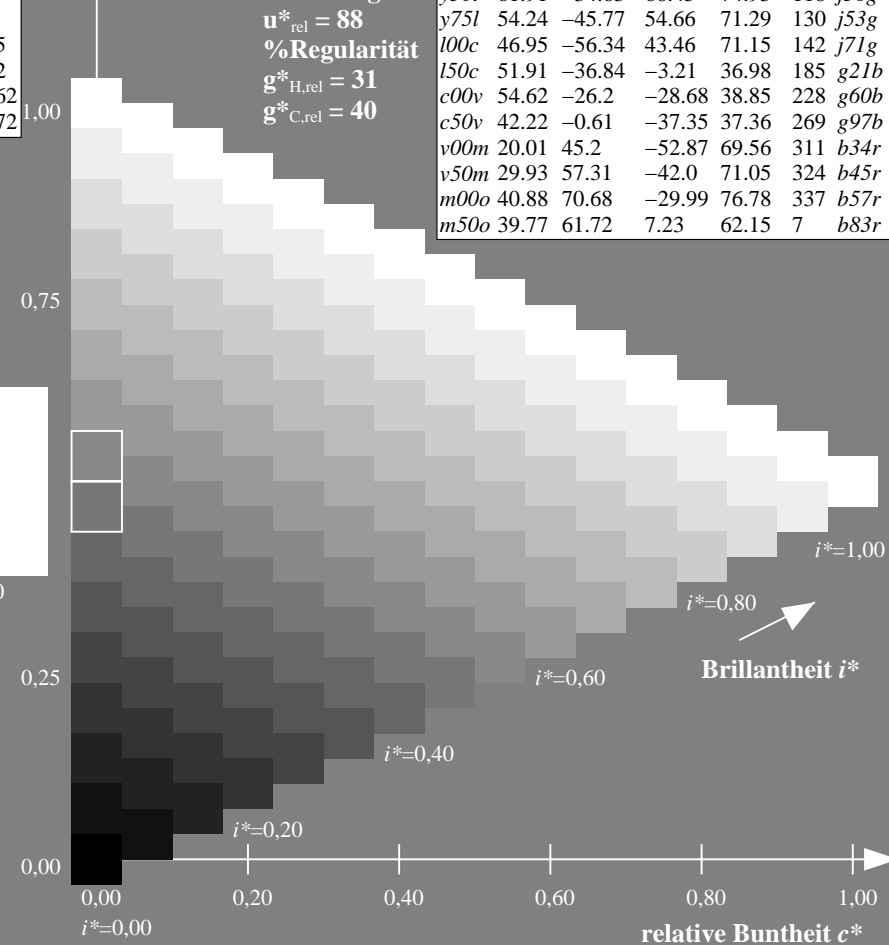
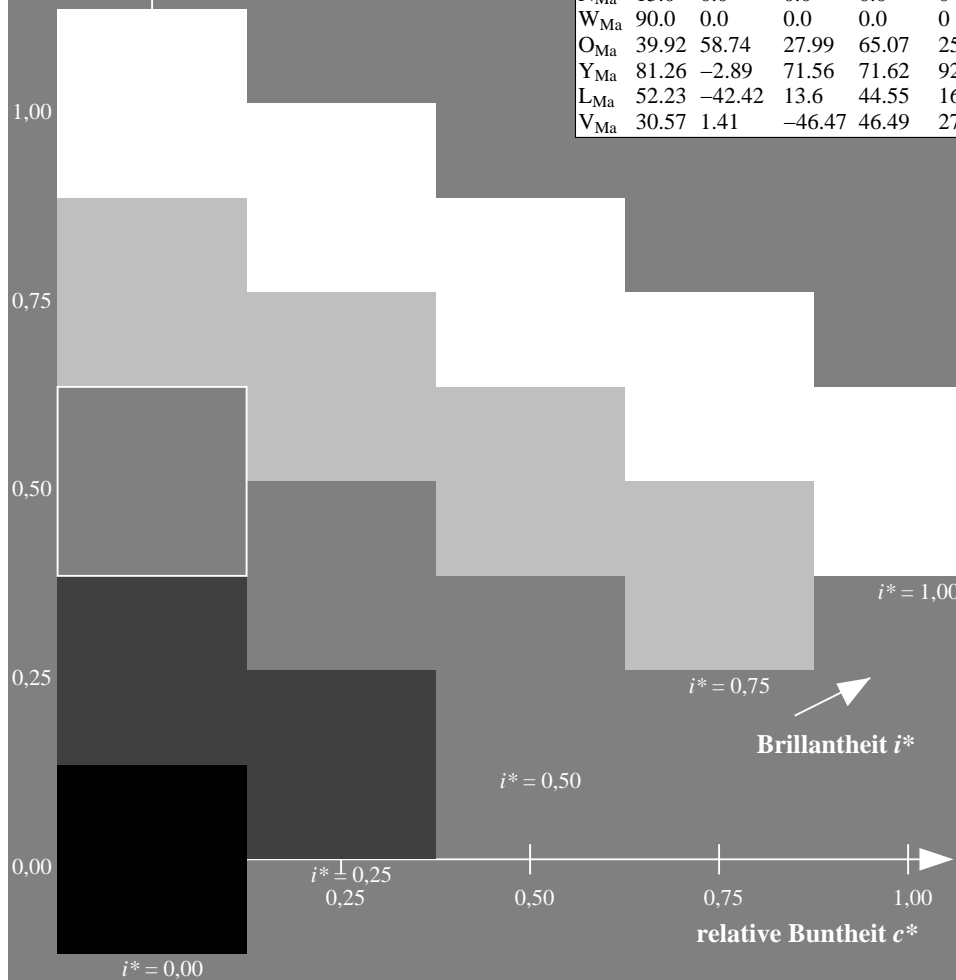
%Regularität

$g^*_{H,rel} = 31$

$g^*_{C,rel} = 40$

FRS15_90a; adaptierte CIELAB-Daten

u^*_d	$L^*=L^*_a$	a^*_a	b^*_a	$C^*_{ab,a}$	$h^*_{ab,a}$	u^*_e
<i>o00y</i>	38.8	53.92	39.68	66.95	36	<i>r16j</i>
<i>o25y</i>	47.46	42.34	51.25	66.48	50	<i>r37j</i>
<i>o50y</i>	56.54	30.2	63.39	70.22	65	<i>r58j</i>
<i>o75y</i>	67.39	15.68	77.9	79.47	79	<i>r79j</i>
<i>y00l</i>	82.58	-4.64	98.22	98.33	93	<i>j01g</i>
<i>y25l</i>	70.85	-21.66	80.19	83.07	105	<i>j18g</i>
<i>y50l</i>	61.91	-34.63	66.45	74.93	118	<i>j36g</i>
<i>y75l</i>	54.24	-45.77	54.66	71.29	130	<i>j53g</i>
<i>l00c</i>	46.95	-56.34	43.46	71.15	142	<i>j71g</i>
<i>l50c</i>	51.91	-36.84	-3.21	36.98	185	<i>g21b</i>
<i>c00v</i>	54.62	-26.2	-28.68	38.85	228	<i>g60b</i>
<i>c50v</i>	42.22	-0.61	-37.35	37.36	269	<i>g97b</i>
<i>v00m</i>	20.01	45.2	-52.87	69.56	311	<i>b34r</i>
<i>v50m</i>	29.93	57.31	-42.0	71.05	324	<i>b45r</i>
<i>m00o</i>	40.88	70.68	-29.99	76.78	337	<i>b57r</i>
<i>m50o</i>	39.77	61.72	7.23	62.15	7	<i>b83r</i>



Ein und Ausgabe: Farbmetrisches Drucker-Reflektiv-System FRS15_90a für relativen CIELAB-Buntton $h^* = lab^*h^* = h_{ab}/360 = 0.14$

Daten für jede Farbe:

lab^*ch^* und lab^*icu^*

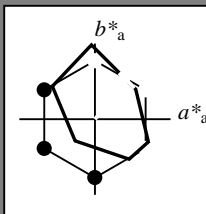
Bunttontexte:

$u^*_d = o25y$ $u^*_e = r37j$

Kontrastreduzierungsfaktor:

$c_R = 0.9$

Dreiecks-Helligkeit i^*



FRS15_90a; adaptierte CIELAB-Daten

u^*_d	$L^*=L^*_a$	a^*_a	b^*_a	$C^*_{ab,a}$	$h^*_{ab,a}$
O _{Ma}	38.8	53.92	39.68	66.95	36
Y _{Ma}	82.58	-4.64	98.22	98.33	93
L _{Ma}	46.95	-56.34	43.46	71.15	142
C _{Ma}	54.62	-26.2	-28.68	38.85	228
V _{Ma}	20.01	45.2	-52.87	69.56	311
M _{Ma}	40.88	70.68	-29.99	76.78	337
N _{Ma}	15.0	0.0	0.0	0.0	0
W _{Ma}	90.0	0.0	0.0	0.0	0
O _{Ma}	39.92	58.74	27.99	65.07	25
Y _{Ma}	81.26	-2.89	71.56	71.62	92
L _{Ma}	52.23	-42.42	13.6	44.55	162
V _{Ma}	30.57	1.41	-46.47	46.49	272

Daten für Maximalfarbe (Ma):

LAB^*LAB^*Ma : 47 42 51

LAB^*LCH^*Ma : 47 66 50

lab^*olv^*Ma : 1.0 0.25 0.0

lab^*rgb^*Ma : 1.0 0.37 0.0

Dreiecks-Helligkeit i^*

%Umfang

$u^*_{rel} = 88$

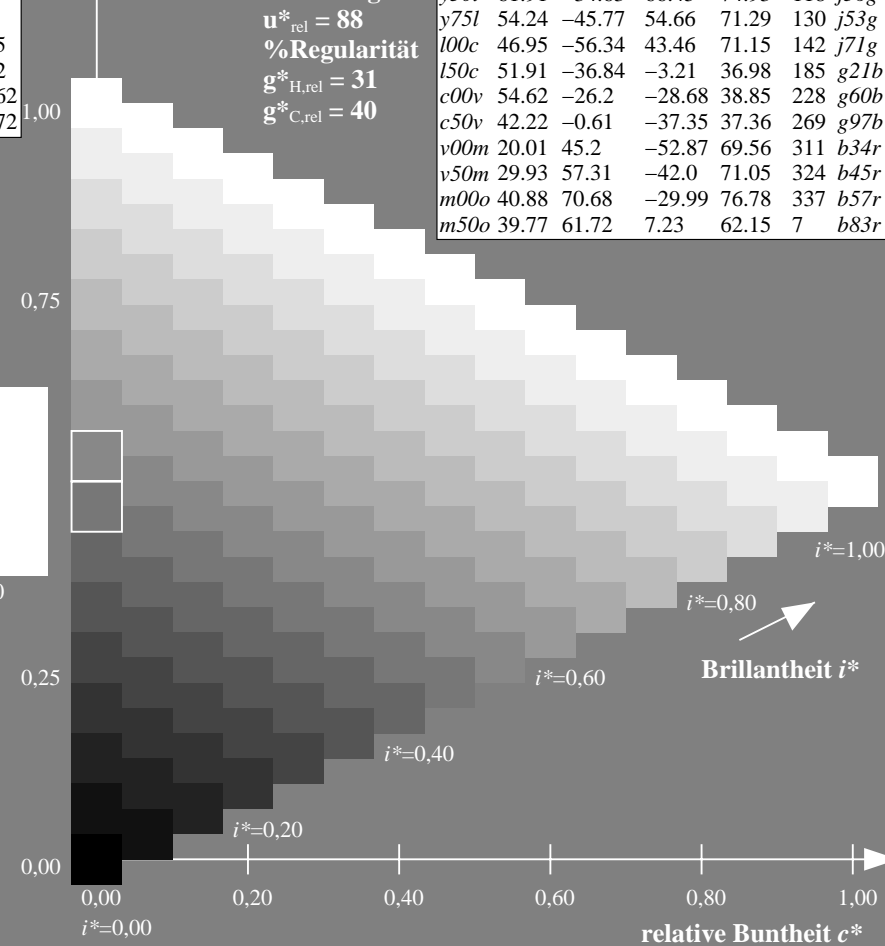
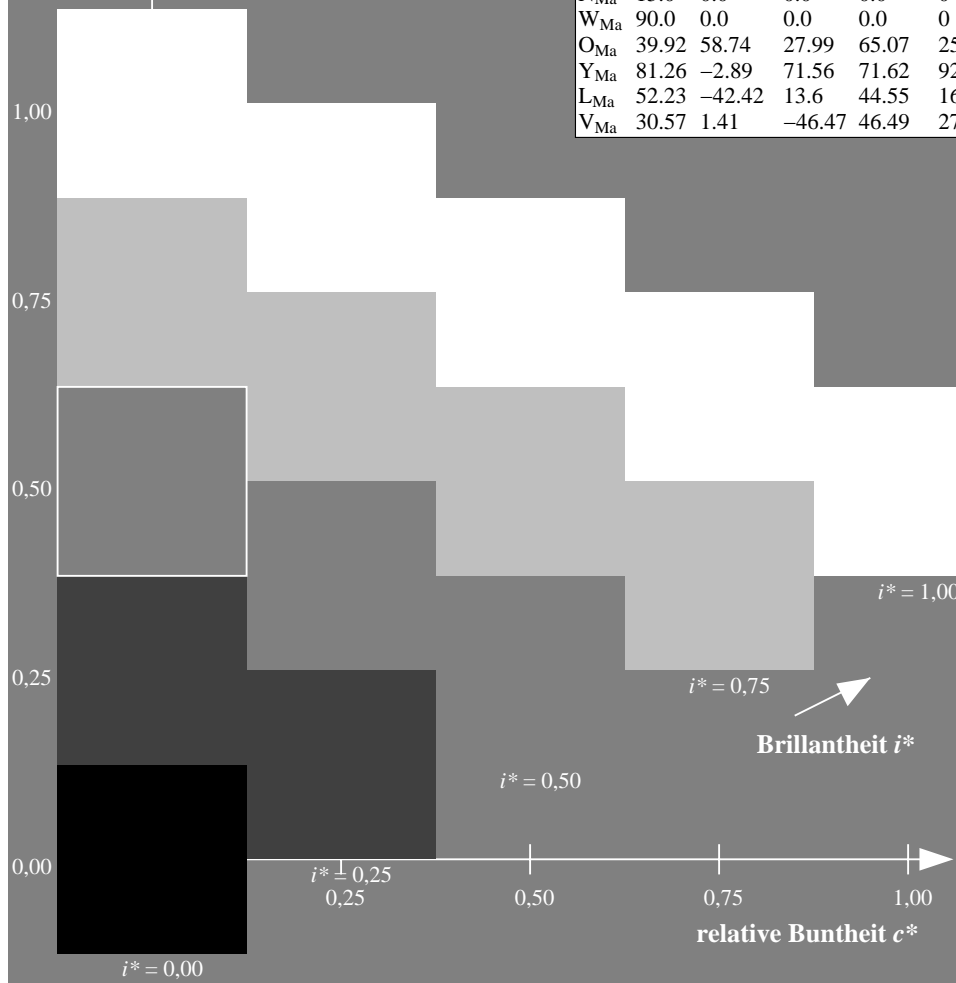
%Regularität

$g^*_{H,rel} = 31$

$g^*_{C,rel} = 40$

FRS15_90a; adaptierte CIELAB-Daten

u^*_d	$L^*=L^*_a$	a^*_a	b^*_a	$C^*_{ab,a}$	$h^*_{ab,a}$	u^*_e
o00y	38.8	53.92	39.68	66.95	36	r16j
o25y	47.46	42.34	51.25	66.48	50	r37j
o50y	56.54	30.2	63.39	70.22	65	r58j
o75y	67.39	15.68	77.9	79.47	79	r79j
y00l	82.58	-4.64	98.22	98.33	93	j01g
y25l	70.85	-21.66	80.19	83.07	105	j18g
y50l	61.91	-34.63	66.45	74.93	118	j36g
y75l	54.24	-45.77	54.66	71.29	130	j53g
l00c	46.95	-56.34	43.46	71.15	142	j71g
l50c	51.91	-36.84	-3.21	36.98	185	g21b
c00v	54.62	-26.2	-28.68	38.85	228	g60b
c50v	42.22	-0.61	-37.35	37.36	269	g97b
v00m	20.01	45.2	-52.87	69.56	311	b34r
v50m	29.93	57.31	-42.0	71.05	324	b45r
m00o	40.88	70.68	-29.99	76.78	337	b57r
m50o	39.77	61.72	7.23	62.15	7	b83r



Ein und Ausgabe: Farbmetrisches Drucker-Reflektiv-System FRS15_90a für relativen CIELAB-Buntton $h^* = lab^*h^* = h_{ab}/360 = 0.179$

Daten für jede Farbe:

lab^*tch^* und lab^*icu^*

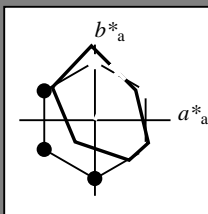
Bunttontexte:

$u^*_d = o50y$ $u^*_e = r58j$

Kontrastreduzierungsfaktor:

$c_R = 0.9$

Dreiecks-Helligkeit i^*



FRS15_90a; adaptierte CIELAB-Daten

u^*_d	$L^*=L^*_a$	a^*_a	b^*_a	$C^*_{ab,a}$	$h^*_{ab,a}$
O _{Ma}	38.8	53.92	39.68	66.95	36
Y _{Ma}	82.58	-4.64	98.22	98.33	93
L _{Ma}	46.95	-56.34	43.46	71.15	142
C _{Ma}	54.62	-26.2	-28.68	38.85	228
V _{Ma}	20.01	45.2	-52.87	69.56	311
M _{Ma}	40.88	70.68	-29.99	76.78	337
N _{Ma}	15.0	0.0	0.0	0.0	0
W _{Ma}	90.0	0.0	0.0	0.0	0
O _{Ma}	39.92	58.74	27.99	65.07	25
Y _{Ma}	81.26	-2.89	71.56	71.62	92
L _{Ma}	52.23	-42.42	13.6	44.55	162
V _{Ma}	30.57	1.41	-46.47	46.49	272

Daten für Maximalfarbe (Ma):

LAB^*LAB^*Ma : 57 30 63

LAB^*LCH^*Ma : 57 70 64

lab^*olv^*Ma : 1.0 0.5 0.0

lab^*rgb^*Ma : 1.0 0.58 0.0

Dreiecks-Helligkeit i^*

%Umfang

$u^*_{rel} = 88$

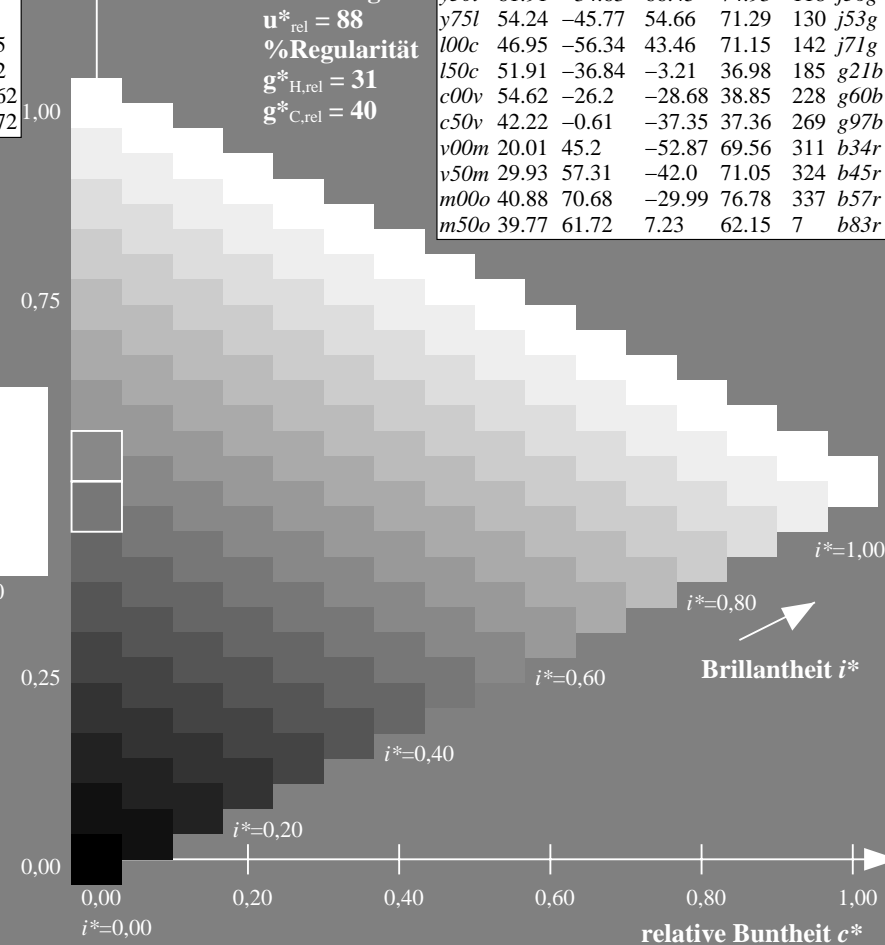
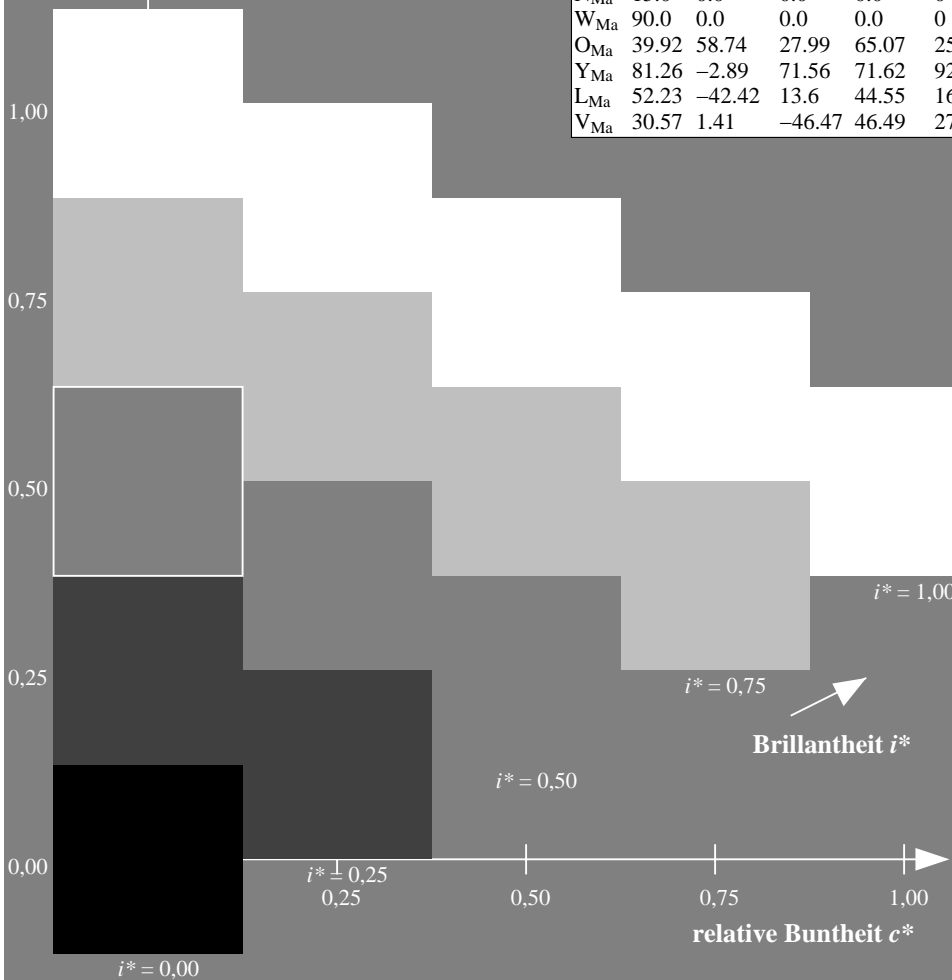
%Regularität

$g^*_{H,rel} = 31$

$g^*_{C,rel} = 40$

FRS15_90a; adaptierte CIELAB-Daten

u^*_d	$L^*=L^*_a$	a^*_a	b^*_a	$C^*_{ab,a}$	$h^*_{ab,a}$	u^*_e
o00y	38.8	53.92	39.68	66.95	36	r16j
o25y	47.46	42.34	51.25	66.48	50	r37j
o50y	56.54	30.2	63.39	70.22	65	r58j
o75y	67.39	15.68	77.9	79.47	79	r79j
y00l	82.58	-4.64	98.22	98.33	93	j01g
y25l	70.85	-21.66	80.19	83.07	105	j18g
y50l	61.91	-34.63	66.45	74.93	118	j36g
y75l	54.24	-45.77	54.66	71.29	130	j53g
l00c	46.95	-56.34	43.46	71.15	142	j71g
l50c	51.91	-36.84	-3.21	36.98	185	g21b
c00v	54.62	-26.2	-28.68	38.85	228	g60b
c50v	42.22	-0.61	-37.35	37.36	269	g97b
v00m	20.01	45.2	-52.87	69.56	311	b34r
v50m	29.93	57.31	-42.0	71.05	324	b45r
m00o	40.88	70.68	-29.99	76.78	337	b57r
m50o	39.77	61.72	7.23	62.15	7	b83r



Ein und Ausgabe: Farbmetrisches Drucker-Reflektiv-System FRS15_90a für relativen CIELAB-Buntton $h^* = lab^*h^* = h_{ab}/360 = 0.218$

Daten für jede Farbe:

lab^*ch^* und lab^*icu^*

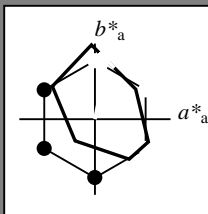
Bunttontexte:

$u^*_d = o75y$ $u^*_e = r79j$

Kontrastreduzierungsfaktor:

$c_R = 0.9$

Dreiecks-Helligkeit i^*



FRS15_90a; adaptierte CIELAB-Daten

u^*_d	$L^*=L^*_a$	a^*_a	b^*_a	$C^*_{ab,a}$	$h^*_{ab,a}$
O _{Ma}	38.8	53.92	39.68	66.95	36
Y _{Ma}	82.58	-4.64	98.22	98.33	93
L _{Ma}	46.95	-56.34	43.46	71.15	142
C _{Ma}	54.62	-26.2	-28.68	38.85	228
V _{Ma}	20.01	45.2	-52.87	69.56	311
M _{Ma}	40.88	70.68	-29.99	76.78	337
N _{Ma}	15.0	0.0	0.0	0.0	0
W _{Ma}	90.0	0.0	0.0	0.0	0
O _{Ma}	39.92	58.74	27.99	65.07	25
Y _{Ma}	81.26	-2.89	71.56	71.62	92
L _{Ma}	52.23	-42.42	13.6	44.55	162
V _{Ma}	30.57	1.41	-46.47	46.49	272

Daten für Maximalfarbe (Ma):

LAB^*LAB^*Ma : 67 16 78

LAB^*LCH^*Ma : 67 79 78

lab^*olv^*Ma : 1.0 0.75 0.0

lab^*rgb^*Ma : 1.0 0.8 0.0

Dreiecks-Helligkeit i^*

%Umfang

$u^*_{rel} = 88$

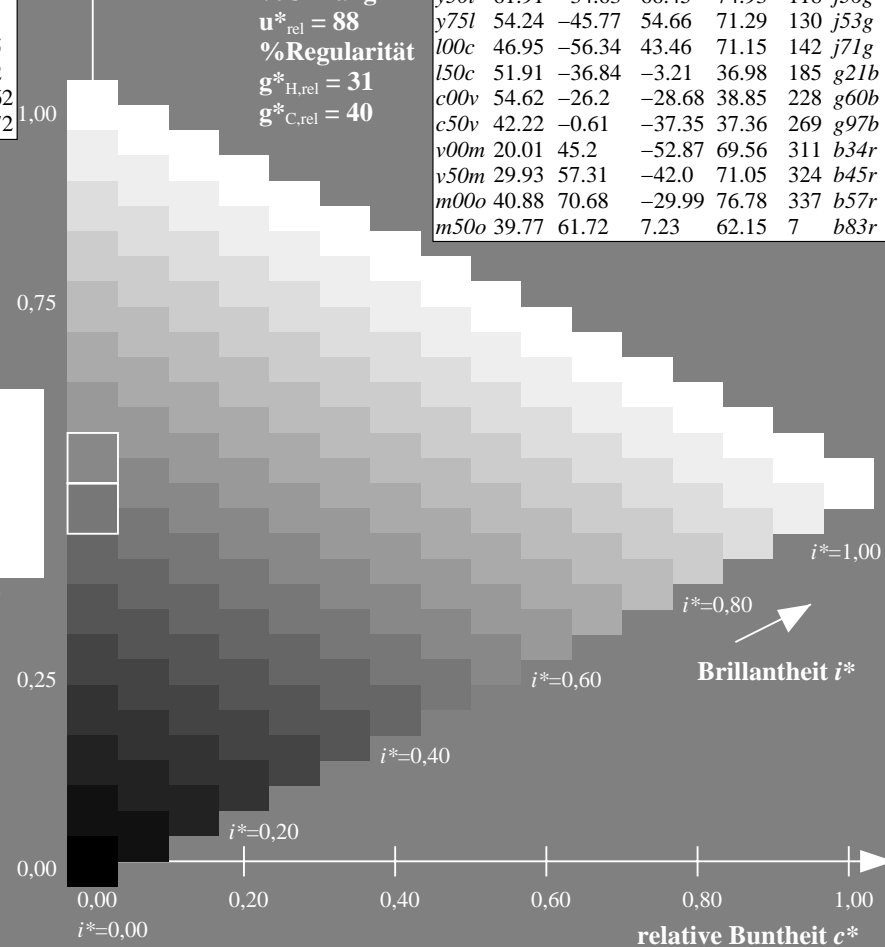
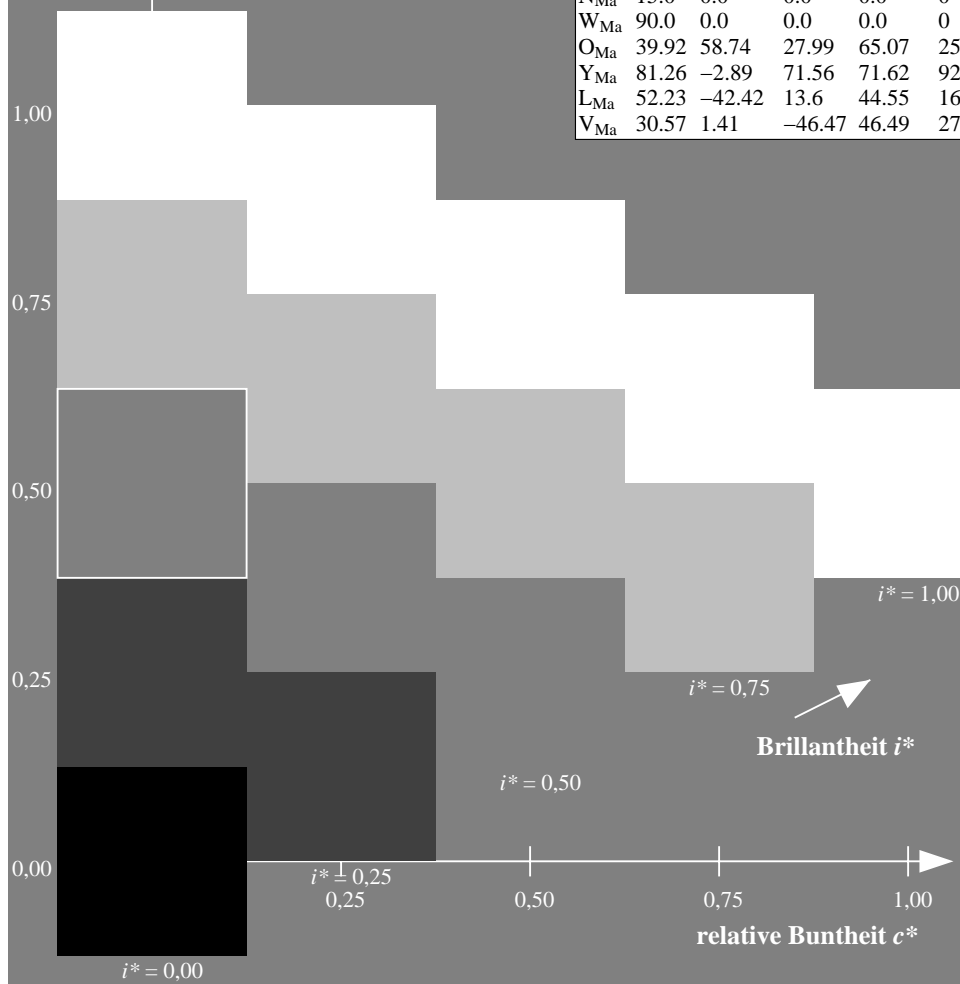
%Regularität

$g^*_{H,rel} = 31$

$g^*_{C,rel} = 40$

FRS15_90a; adaptierte CIELAB-Daten

u^*_d	$L^*=L^*_a$	a^*_a	b^*_a	$C^*_{ab,a}$	$h^*_{ab,a}$	u^*_e
o00y	38.8	53.92	39.68	66.95	36	r16j
o25y	47.46	42.34	51.25	66.48	50	r37j
o50y	56.54	30.2	63.39	70.22	65	r58j
o75y	67.39	15.68	77.9	79.47	79	r79j
y00l	82.58	-4.64	98.22	98.33	93	j01g
y25l	70.85	-21.66	80.19	83.07	105	j18g
y50l	61.91	-34.63	66.45	74.93	118	j36g
y75l	54.24	-45.77	54.66	71.29	130	j53g
l00c	46.95	-56.34	43.46	71.15	142	j71g
l50c	51.91	-36.84	-3.21	36.98	185	g21b
c00v	54.62	-26.2	-28.68	38.85	228	g60b
c50v	42.22	-0.61	-37.35	37.36	269	g97b
v00m	20.01	45.2	-52.87	69.56	311	b34r
v50m	29.93	57.31	-42.0	71.05	324	b45r
m00o	40.88	70.68	-29.99	76.78	337	b57r
m50o	39.77	61.72	7.23	62.15	7	b83r



Ein und Ausgabe: Farbmetrisches Drucker-Reflektiv-System FRS15_90a für relativen CIELAB-Buntton $h^* = lab^*h^* = h_{ab}/360 = 0.258$

Daten für jede Farbe:

lab^*ch^* und lab^*icu^*

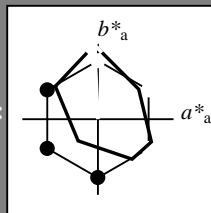
Bunttontexte:

$u^*_d = y00l$ $u^*_e = j01g$

Kontrastreduzierungsfaktor:

$c_R = 0.9$

Dreiecks-Helligkeit i^*



FRS15_90a; adaptierte CIELAB-Daten

u^*_d	$L^*=L^*_a$	a^*_a	b^*_a	$C^*_{ab,a}$	$h^*_{ab,a}$
O _{Ma}	38.8	53.92	39.68	66.95	36
Y _{Ma}	82.58	-4.64	98.22	98.33	93
L _{Ma}	46.95	-56.34	43.46	71.15	142
C _{Ma}	54.62	-26.2	-28.68	38.85	228
V _{Ma}	20.01	45.2	-52.87	69.56	311
M _{Ma}	40.88	70.68	-29.99	76.78	337
N _{Ma}	15.0	0.0	0.0	0.0	0
W _{Ma}	90.0	0.0	0.0	0.0	0
O _{Ma}	39.92	58.74	27.99	65.07	25
Y _{Ma}	81.26	-2.89	71.56	71.62	92
L _{Ma}	52.23	-42.42	13.6	44.55	162
V _{Ma}	30.57	1.41	-46.47	46.49	272

Daten für Maximalfarbe (Ma):

LAB^*LAB^*Ma : 83 -5 98

LAB^*LCH^*Ma : 83 98 92

lab^*olv^*Ma : 1.0 1.0 0.0

lab^*rgb^*Ma : 0.99 1.0 0.0

Dreiecks-Helligkeit i^*

%Umfang

$u^*_{rel} = 88$

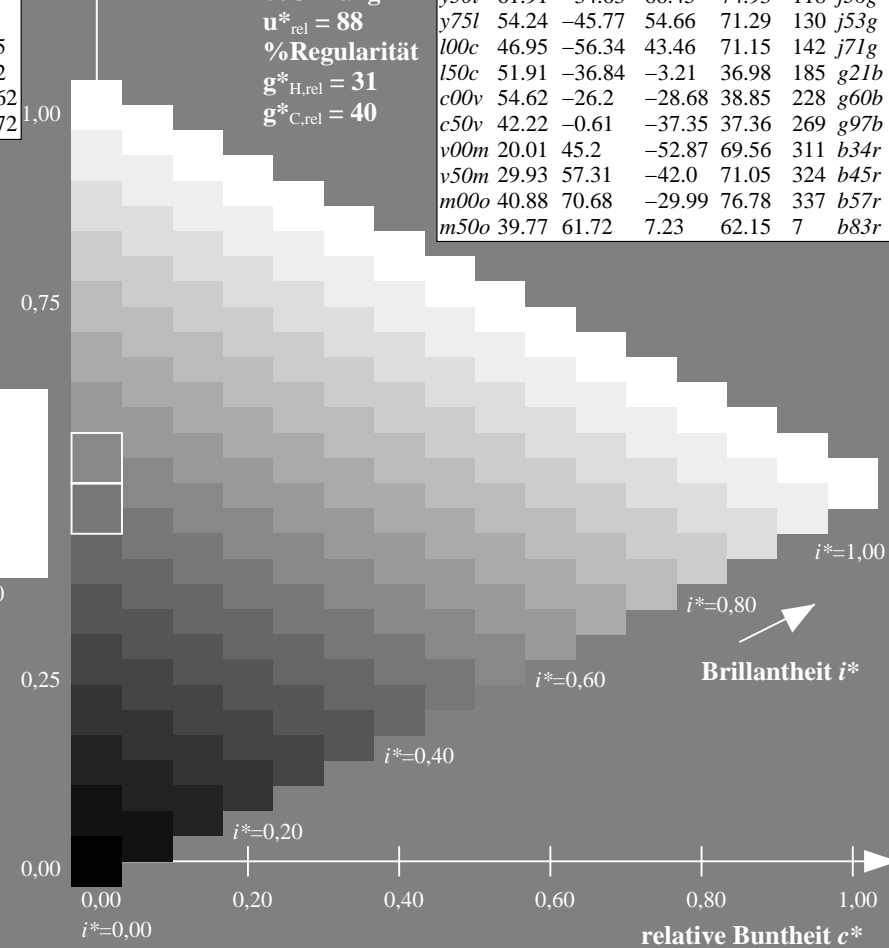
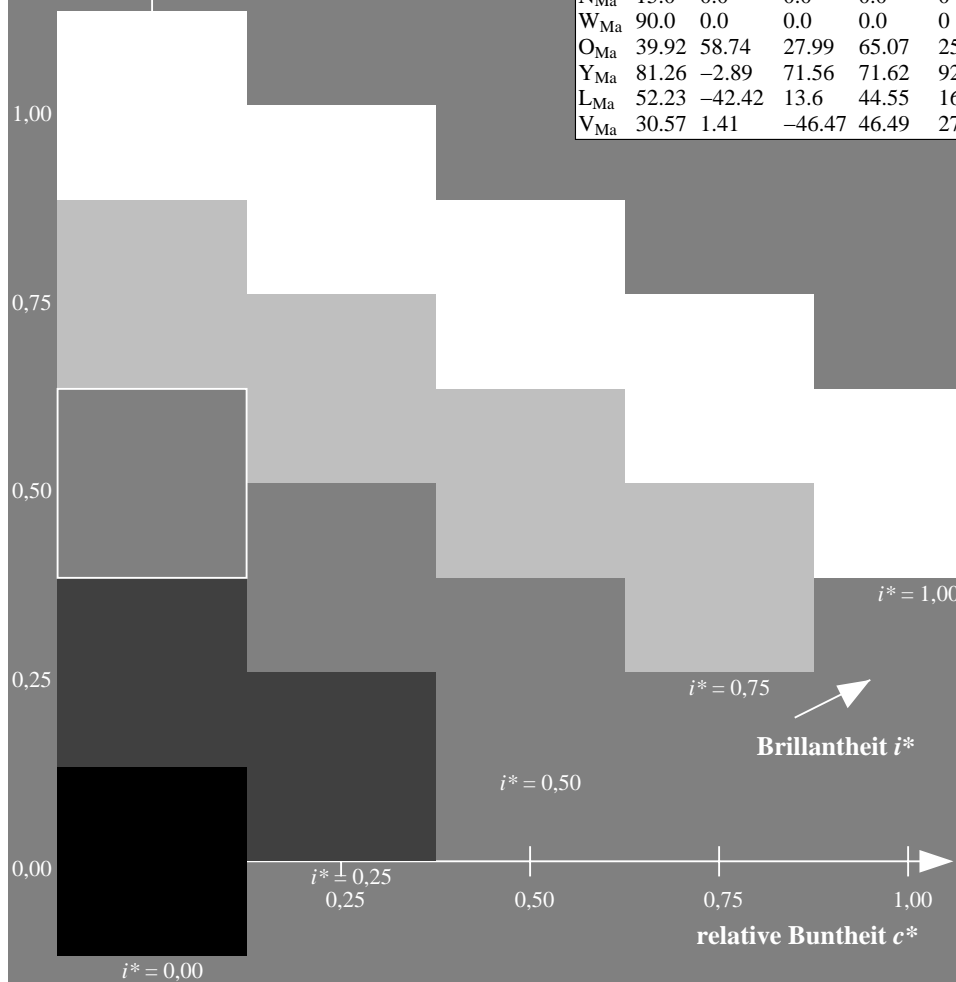
%Regularität

$g^*_{H,rel} = 31$

$g^*_{C,rel} = 40$

FRS15_90a; adaptierte CIELAB-Daten

u^*_d	$L^*=L^*_a$	a^*_a	b^*_a	$C^*_{ab,a}$	$h^*_{ab,a}$	u^*_e
o00y	38.8	53.92	39.68	66.95	36	r16j
o25y	47.46	42.34	51.25	66.48	50	r37j
o50y	56.54	30.2	63.39	70.22	65	r58j
o75y	67.39	15.68	77.9	79.47	79	r79j
y00l	82.58	-4.64	98.22	98.33	93	j01g
y25l	70.85	-21.66	80.19	83.07	105	j18g
y50l	61.91	-34.63	66.45	74.93	118	j36g
y75l	54.24	-45.77	54.66	71.29	130	j53g
l00c	46.95	-56.34	43.46	71.15	142	j71g
l50c	51.91	-36.84	-3.21	36.98	185	g21b
c00v	54.62	-26.2	-28.68	38.85	228	g60b
c50v	42.22	-0.61	-37.35	37.36	269	g97b
v00m	20.01	45.2	-52.87	69.56	311	b34r
v50m	29.93	57.31	-42.0	71.05	324	b45r
m00o	40.88	70.68	-29.99	76.78	337	b57r
m50o	39.77	61.72	7.23	62.15	7	b83r



Ein und Ausgabe: Farbmetrisches Drucker-Reflektiv-System FRS15_90a für relativen CIELAB-Buntton $h^* = lab^*h^* = h_{ab}/360 = 0.292$

Daten für jede Farbe:

lab^*tch^* und lab^*icu^*

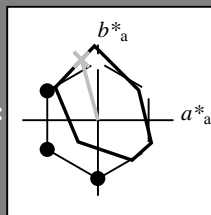
Bunttontexte:

$u^*_d = y25l$ $u^*_e = j18g$

Kontrastreduzierungsfaktor:

$c_R = 0.9$

Dreiecks-Helligkeit t^*



FRS15_90a; adaptierte CIELAB-Daten

u^*_d	$L^*=L^*_a$	a^*_a	b^*_a	$C^*_{ab,a}$	$h^*_{ab,a}$
O _{Ma}	38.8	53.92	39.68	66.95	36
Y _{Ma}	82.58	-4.64	98.22	98.33	93
L _{Ma}	46.95	-56.34	43.46	71.15	142
C _{Ma}	54.62	-26.2	-28.68	38.85	228
V _{Ma}	20.01	45.2	-52.87	69.56	311
M _{Ma}	40.88	70.68	-29.99	76.78	337
N _{Ma}	15.0	0.0	0.0	0.0	0
W _{Ma}	90.0	0.0	0.0	0.0	0
O _{Ma}	39.92	58.74	27.99	65.07	25
Y _{Ma}	81.26	-2.89	71.56	71.62	92
L _{Ma}	52.23	-42.42	13.6	44.55	162
V _{Ma}	30.57	1.41	-46.47	46.49	272

Daten für Maximalfarbe (Ma):

$LAB^*LAB^*_{Ma}$: 71 -22 80

$LAB^*LCH^*_{Ma}$: 71 83 105

$lab^*olv^*_{Ma}$: 0.75 1.0 0.0

$lab^*rgb^*_{Ma}$: 0.82 1.0 0.0

Dreiecks-Helligkeit t^*

%Umfang

$u^*_{rel} = 88$

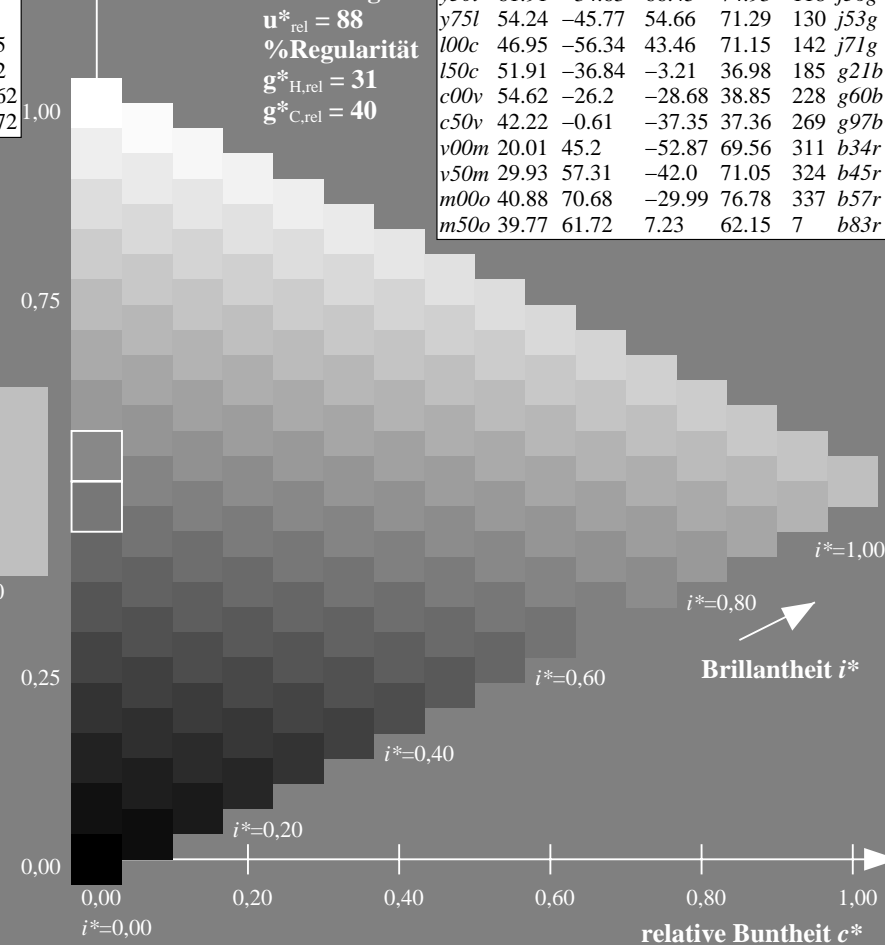
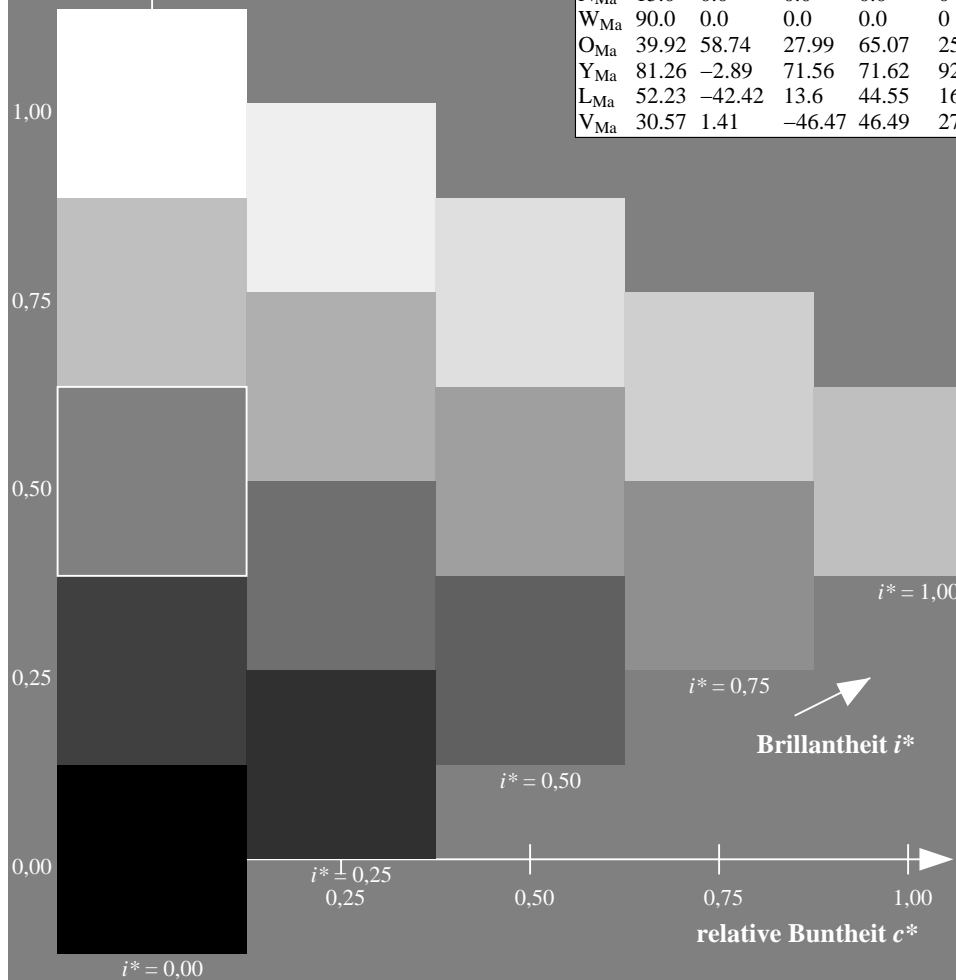
%Regularität

$g^*_{H,rel} = 31$

$g^*_{C,rel} = 40$

FRS15_90a; adaptierte CIELAB-Daten

u^*_d	$L^*=L^*_a$	a^*_a	b^*_a	$C^*_{ab,a}$	$h^*_{ab,a}$	u^*_e
o00y	38.8	53.92	39.68	66.95	36	r16j
o25y	47.46	42.34	51.25	66.48	50	r37j
o50y	56.54	30.2	63.39	70.22	65	r58j
o75y	67.39	15.68	77.9	79.47	79	r79j
y00l	82.58	-4.64	98.22	98.33	93	j01g
y25l	70.85	-21.66	80.19	83.07	105	j18g
y50l	61.91	-34.63	66.45	74.93	118	j36g
y75l	54.24	-45.77	54.66	71.29	130	j53g
l00c	46.95	-56.34	43.46	71.15	142	j71g
l50c	51.91	-36.84	-3.21	36.98	185	g21b
c00v	54.62	-26.2	-28.68	38.85	228	g60b
c50v	42.22	-0.61	-37.35	37.36	269	g97b
v00m	20.01	45.2	-52.87	69.56	311	b34r
v50m	29.93	57.31	-42.0	71.05	324	b45r
m00o	40.88	70.68	-29.99	76.78	337	b57r
m50o	39.77	61.72	7.23	62.15	7	b83r



Ein und Ausgabe: Farbmetrisches Drucker-Reflektiv-System FRS15_90a für relativen CIELAB-Buntton $h^* = lab^*h^* = h_{ab}/360 = 0.326$

Daten für jede Farbe:

lab^*tch^* und lab^*icu^*

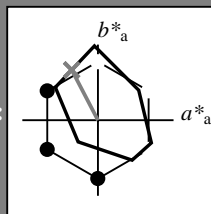
Bunttontexte:

$u^*_d = y50l$ $u^*_e = j36g$

Kontrastreduzierungsfaktor:

$c_R = 0.9$

Dreiecks-Helligkeit i^*



FRS15_90a; adaptierte CIELAB-Daten

u^*_d	$L^*=L^*_a$	a^*_a	b^*_a	$C^*_{ab,a}$	$h^*_{ab,a}$
O _{Ma}	38.8	53.92	39.68	66.95	36
Y _{Ma}	82.58	-4.64	98.22	98.33	93
L _{Ma}	46.95	-56.34	43.46	71.15	142
C _{Ma}	54.62	-26.2	-28.68	38.85	228
V _{Ma}	20.01	45.2	-52.87	69.56	311
M _{Ma}	40.88	70.68	-29.99	76.78	337
N _{Ma}	15.0	0.0	0.0	0.0	0
W _{Ma}	90.0	0.0	0.0	0.0	0
O _{Ma}	39.92	58.74	27.99	65.07	25
Y _{Ma}	81.26	-2.89	71.56	71.62	92
L _{Ma}	52.23	-42.42	13.6	44.55	162
V _{Ma}	30.57	1.41	-46.47	46.49	272

Daten für Maximalfarbe (Ma):

LAB^*LAB^*Ma : 62 -35 66

LAB^*LCH^*Ma : 62 75 117

lab^*olv^*Ma : 0.5 1.0 0.0

lab^*rgb^*Ma : 0.64 1.0 0.0

Dreiecks-Helligkeit i^*

%Umfang

$u^*_{rel} = 88$

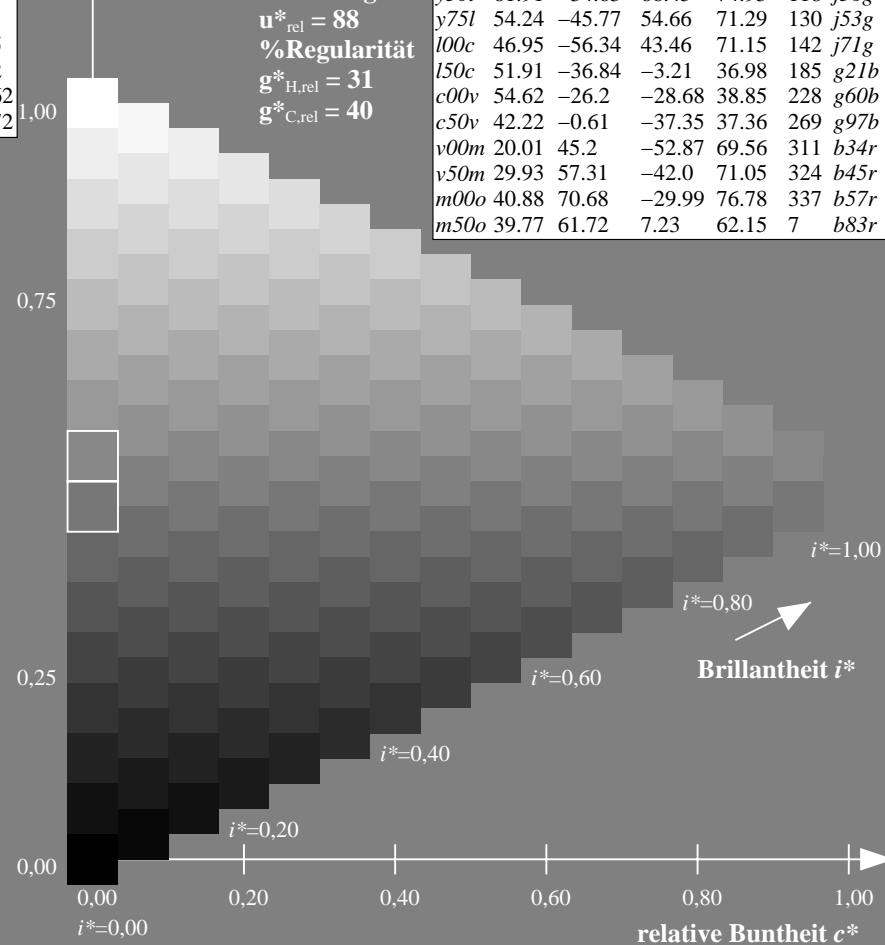
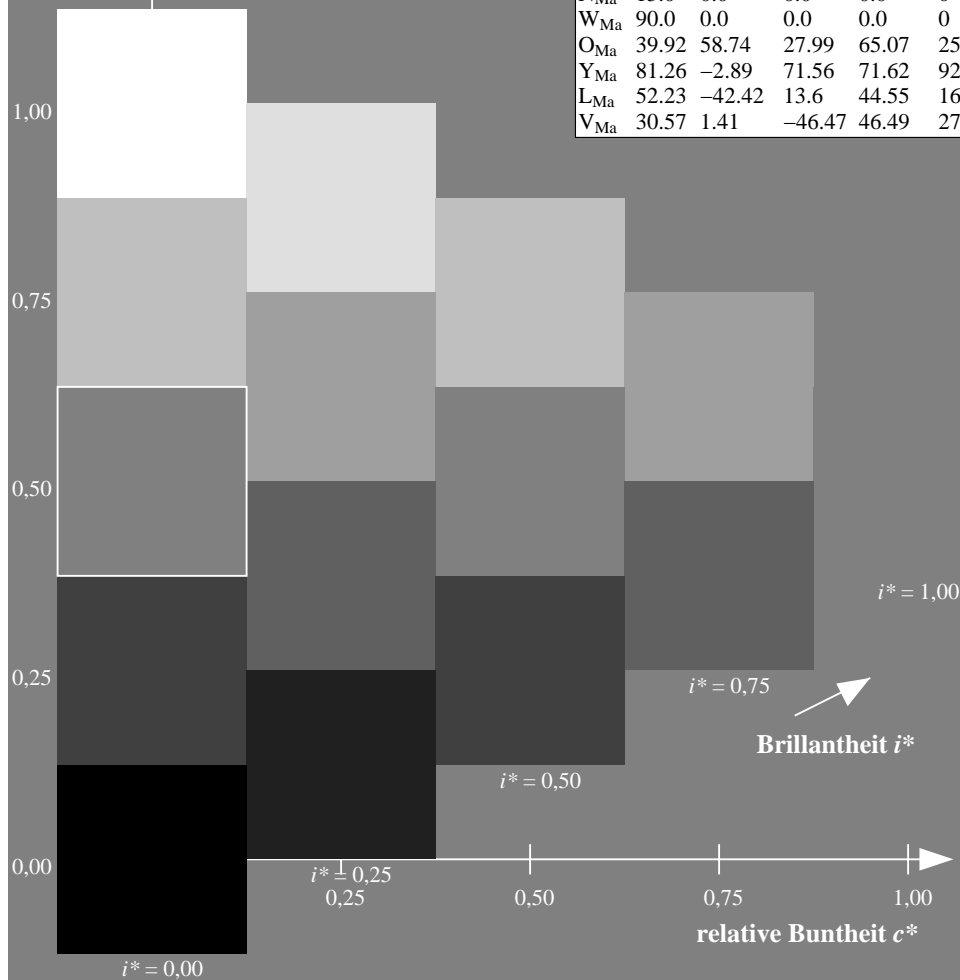
%Regularität

$g^*_{H,rel} = 31$

$g^*_{C,rel} = 40$

FRS15_90a; adaptierte CIELAB-Daten

u^*_d	$L^*=L^*_a$	a^*_a	b^*_a	$C^*_{ab,a}$	$h^*_{ab,a}$	u^*_e
o00y	38.8	53.92	39.68	66.95	36	r16j
o25y	47.46	42.34	51.25	66.48	50	r37j
o50y	56.54	30.2	63.39	70.22	65	r58j
o75y	67.39	15.68	77.9	79.47	79	r79j
y00l	82.58	-4.64	98.22	98.33	93	j01g
y25l	70.85	-21.66	80.19	83.07	105	j18g
y50l	61.91	-34.63	66.45	74.93	118	j36g
y75l	54.24	-45.77	54.66	71.29	130	j53g
l00c	46.95	-56.34	43.46	71.15	142	j71g
l50c	51.91	-36.84	-3.21	36.98	185	g21b
c00v	54.62	-26.2	-28.68	38.85	228	g60b
c50v	42.22	-0.61	-37.35	37.36	269	g97b
v00m	20.01	45.2	-52.87	69.56	311	b34r
v50m	29.93	57.31	-42.0	71.05	324	b45r
m00o	40.88	70.68	-29.99	76.78	337	b57r
m50o	39.77	61.72	7.23	62.15	7	b83r



Ein und Ausgabe: Farbmétrisches Drucker-Reflektiv-System FRS15_90a für relativen CIELAB-Buntton $h^* = lab^*h^* = h_{ab}/360 = 0.361$

Daten für jede Farbe:

*lab*tch** und *lab*icu**

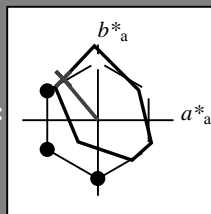
Bunttexte:

$$u_d^* = y75l \quad u_e^* = j53g$$

Kontrastreduzierungsfaktor:

 $c_D = 0.9$

K Dreiecks-Helligkeit t^*



FRS15_90a; adaptierte CIELAB-Daten					
u^*_d	$L^*=L^*_a$	a^*_a	b^*_a	$C^*_{ab,a}$	$h^*_{ab,a}$
O _{Ma}	38.8	53.92	39.68	66.95	36
Y _{Ma}	82.58	-4.64	98.22	98.33	93
L _{Ma}	46.95	-56.34	43.46	71.15	142
C _{Ma}	54.62	-26.2	-28.68	38.85	228
V _{Ma}	20.01	45.2	-52.87	69.56	311
M _{Ma}	40.88	70.68	-29.99	76.78	337
N _{Ma}	15.0	0.0	0.0	0.0	0
W _{Ma}	90.0	0.0	0.0	0.0	0
O _{Ma}	39.92	58.74	27.99	65.07	25
Y _{Ma}	81.26	-2.89	71.56	71.62	92
L _{Ma}	52.23	-42.42	13.6	44.55	162
V _{Ma}	30.57	1.41	-46.47	46.49	272

Daten für Maximalfarbe (Ma):

LAB*LAB*Mo: 54 -46 55

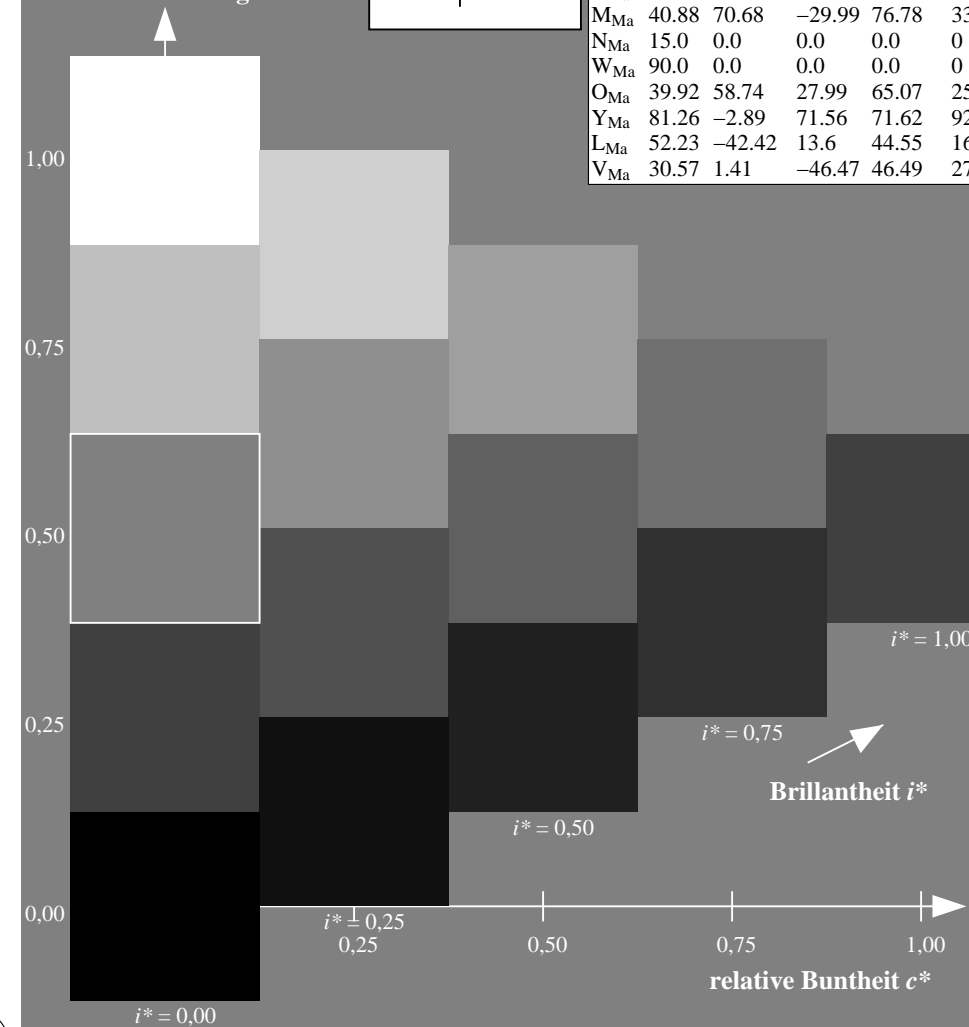
LAD*LGII* 54 51 129

LAB*LCH*Ma: 54 71 12

*lab*olv**Ma: 0.25 1.0 0.0

*lab*rgb*_Ma: 0.46 1.0 0.0*

Dreiecks-Helligkeit t^*



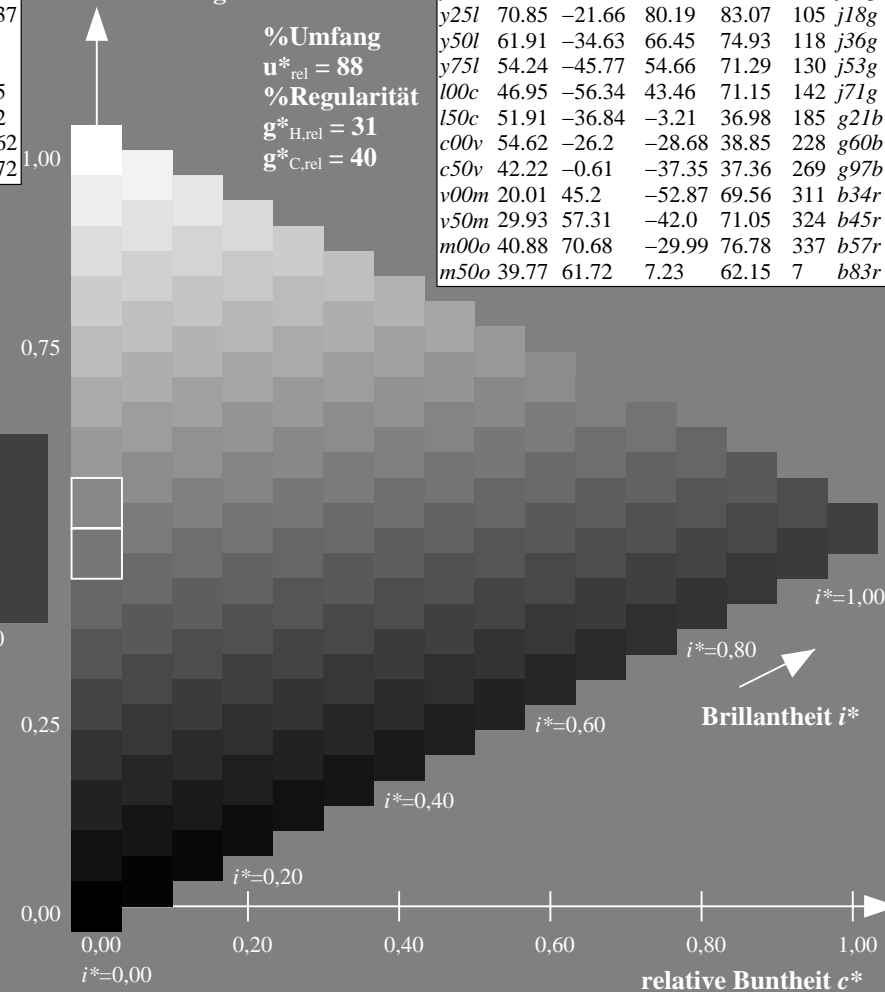
%Umfang

$$\mathbf{u}_{\text{rel}}^* = 88$$

%Regularität

$$g^*_{H,rel} = 31$$
$$g^*_{C,rel} = 40$$

FRS15_90a; adaptierte CIELAB-Daten							
u_d^*	$L^*=L_a^*$	a_a^*	b_a^*	$C^*_{ab,a}$	$h^*_{ab,a}$	u_e^*	
<i>o00y</i>	38.8	53.92	39.68	66.95	36	<i>r16j</i>	
<i>o25y</i>	47.46	42.34	51.25	66.48	50	<i>r37j</i>	
<i>o50y</i>	56.54	30.2	63.39	70.22	65	<i>r58j</i>	
<i>o75y</i>	67.39	15.68	77.9	79.47	79	<i>r79j</i>	
<i>y00l</i>	82.58	-4.64	98.22	98.33	93	<i>j01g</i>	
<i>y25l</i>	70.85	-21.66	80.19	83.07	105	<i>j18g</i>	
<i>y50l</i>	61.91	-34.63	66.45	74.93	118	<i>j36g</i>	
<i>y75l</i>	54.24	-45.77	54.66	71.29	130	<i>j53g</i>	
<i>l00c</i>	46.95	-56.34	43.46	71.15	142	<i>j71g</i>	
<i>l50c</i>	51.91	-36.84	-3.21	36.98	185	<i>g21b</i>	
<i>c00v</i>	54.62	-26.2	-28.68	38.85	228	<i>g60b</i>	
<i>c50v</i>	42.22	-0.61	-37.35	37.36	269	<i>g97b</i>	
<i>v00m</i>	20.01	45.2	-52.87	69.56	311	<i>b34r</i>	
<i>v50m</i>	29.93	57.31	-42.0	71.05	324	<i>b45r</i>	
<i>m00o</i>	40.88	70.68	-29.99	76.78	337	<i>b57r</i>	
<i>m50o</i>	39.77	61.72	7.23	62.15	7	<i>b83r</i>	



BAM-Prüfvorlage Eg41; Farbmatrik-Systeme, Seite 45/270 Eingabe: 000n / w / nnn0 / www set...
3 Separationen, 9 Datentabellen für 16 Bunttöne o00y bis m75aAusgabe: ->cmy0* setcmykcolor

Ein und Ausgabe: Farbmetrisches Drucker-Reflektiv-System FRS15_90a für relativen CIELAB-Buntton $h^* = lab^*h^* = h_{ab}/360 = 0.395$

Daten für jede Farbe:

lab^*tch^* und lab^*icu^*

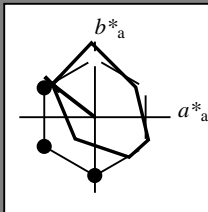
Bunttontexte:

$u^*_d = 100c$ $u^*_e = j71g$

Kontrastreduzierungsfaktor:

$c_R = 0.9$

Dreiecks-Helligkeit i^*



FRS15_90a; adaptierte CIELAB-Daten						
u^*_d	$L^*=L^*_a$	a^*_a	b^*_a	$C^*_{ab,a}$	$h^*_{ab,a}$	
O _{Ma}	38.8	53.92	39.68	66.95	36	
Y _{Ma}	82.58	-4.64	98.22	98.33	93	
L _{Ma}	46.95	-56.34	43.46	71.15	142	
C _{Ma}	54.62	-26.2	-28.68	38.85	228	
V _{Ma}	20.01	45.2	-52.87	69.56	311	
M _{Ma}	40.88	70.68	-29.99	76.78	337	
N _{Ma}	15.0	0.0	0.0	0.0	0	
W _{Ma}	90.0	0.0	0.0	0.0	0	
O _{Ma}	39.92	58.74	27.99	65.07	25	
Y _{Ma}	81.26	-2.89	71.56	71.62	92	
L _{Ma}	52.23	-42.42	13.6	44.55	162	
V _{Ma}	30.57	1.41	-46.47	46.49	272	

Daten für Maximalfarbe (Ma):

LAB^*LAB^*Ma : 47 -56 43

LAB^*LCH^*Ma : 47 71 142

lab^*olv^*Ma : 0.0 1.0 0.0

lab^*rgb^*Ma : 0.28 1.0 0.0

Dreiecks-Helligkeit i^*

%Umfang

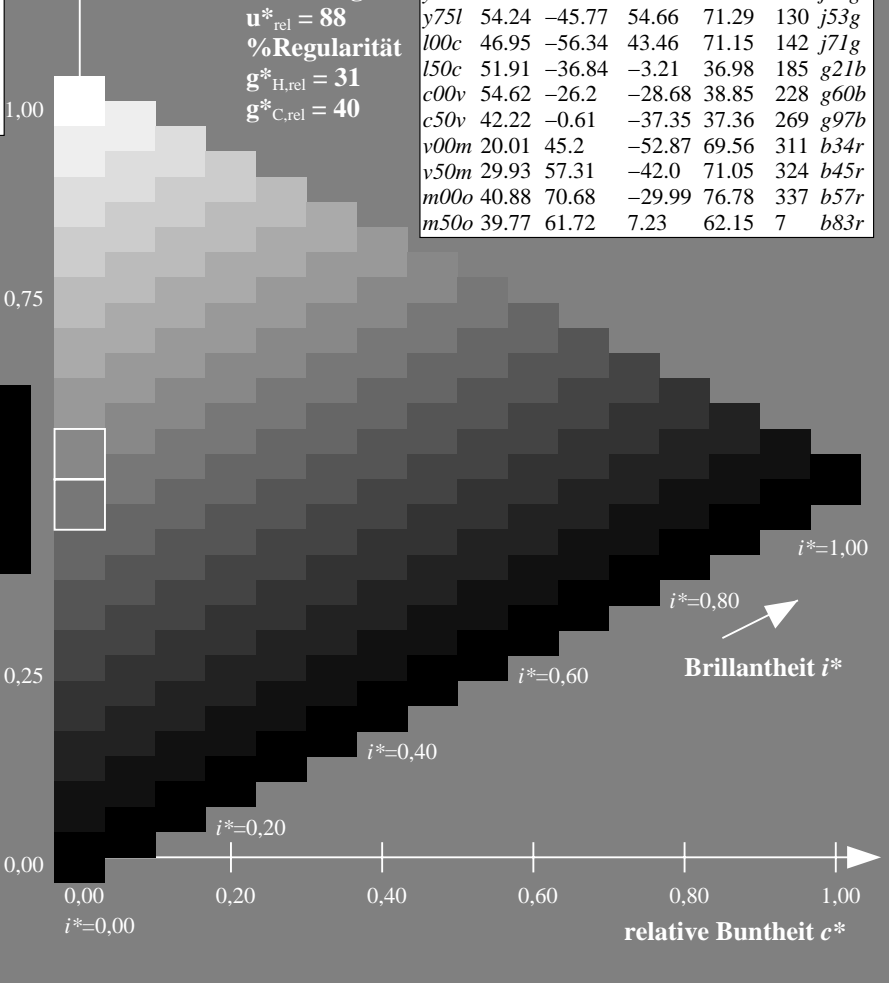
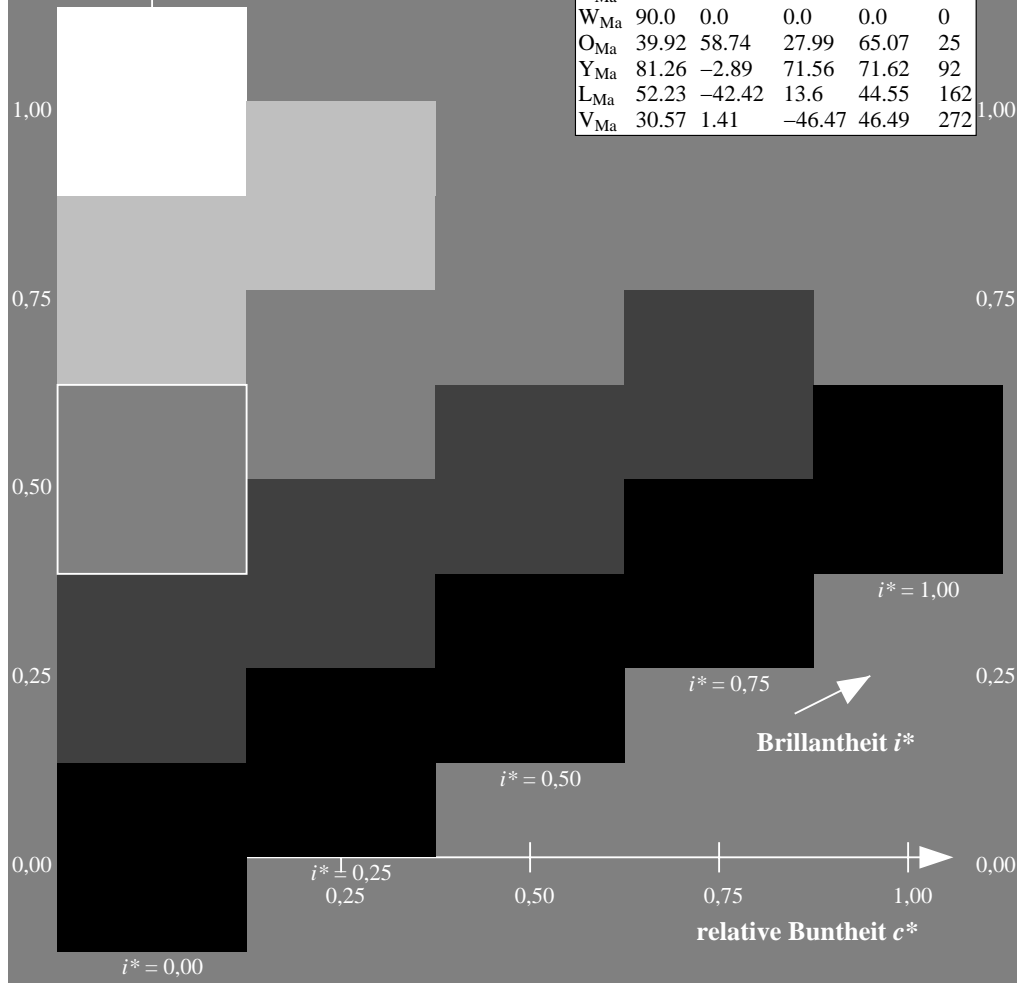
$u^*_{rel} = 88$

%Regularität

$g^*_{H,rel} = 31$

$g^*_{C,rel} = 40$

FRS15_90a; adaptierte CIELAB-Daten							
u^*_d	$L^*=L^*_a$	a^*_a	b^*_a	$C^*_{ab,a}$	$h^*_{ab,a}$	u^*_e	
o00y	38.8	53.92	39.68	66.95	36	r16j	
o25y	47.46	42.34	51.25	66.48	50	r37j	
o50y	56.54	30.2	63.39	70.22	65	r58j	
o75y	67.39	15.68	77.9	79.47	79	r79j	
y00l	82.58	-4.64	98.22	98.33	93	j01g	
y25l	70.85	-21.66	80.19	83.07	105	j18g	
y50l	61.91	-34.63	66.45	74.93	118	j36g	
y75l	54.24	-45.77	54.66	71.29	130	j53g	
l00c	46.95	-56.34	43.46	71.15	142	j71g	
l50c	51.91	-36.84	-3.21	36.98	185	g21b	
c00v	54.62	-26.2	-28.68	38.85	228	g60b	
c50v	42.22	-0.61	-37.35	37.36	269	g97b	
v00m	20.01	45.2	-52.87	69.56	311	b34r	
v50m	29.93	57.31	-42.0	71.05	324	b45r	
m00o	40.88	70.68	-29.99	76.78	337	b57r	
m50o	39.77	61.72	7.23	62.15	7	b83r	



Ein und Ausgabe: Farbmetrisches Drucker-Reflektiv-System FRS15_90a für relativen CIELAB-Buntton $h^* = lab^*h^* = h_{ab}/360 = 0.514$

Daten für jede Farbe:

lab^*tch^* und lab^*icu^*

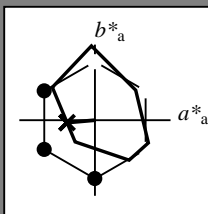
Bunttontexte:

$u^*_d = l50c$ $u^*_e = g21b$

Kontrastreduzierungsfaktor:

$c_R = 0.9$

Dreiecks-Helligkeit i^*



FRS15_90a; adaptierte CIELAB-Daten

u^*_d	$L^*=L^*_a$	a^*_a	b^*_a	$C^*_{ab,a}$	$h^*_{ab,a}$
O _{Ma}	38.8	53.92	39.68	66.95	36
Y _{Ma}	82.58	-4.64	98.22	98.33	93
L _{Ma}	46.95	-56.34	43.46	71.15	142
C _{Ma}	54.62	-26.2	-28.68	38.85	228
V _{Ma}	20.01	45.2	-52.87	69.56	311
M _{Ma}	40.88	70.68	-29.99	76.78	337
N _{Ma}	15.0	0.0	0.0	0.0	0
W _{Ma}	90.0	0.0	0.0	0.0	0
O _{Ma}	39.92	58.74	27.99	65.07	25
Y _{Ma}	81.26	-2.89	71.56	71.62	92
L _{Ma}	52.23	-42.42	13.6	44.55	162
V _{Ma}	30.57	1.41	-46.47	46.49	272

Daten für Maximalfarbe (Ma):

$LAB^*LAB^*_{Ma}$: 52 -37 -3

$LAB^*LCH^*_{Ma}$: 52 37 184

$lab^*olv^*_{Ma}$: 0.0 1.0 0.5

$lab^*rgb^*_{Ma}$: 0.0 1.0 0.42

Dreiecks-Helligkeit i^*

%Umfang

$u^*_{rel} = 88$

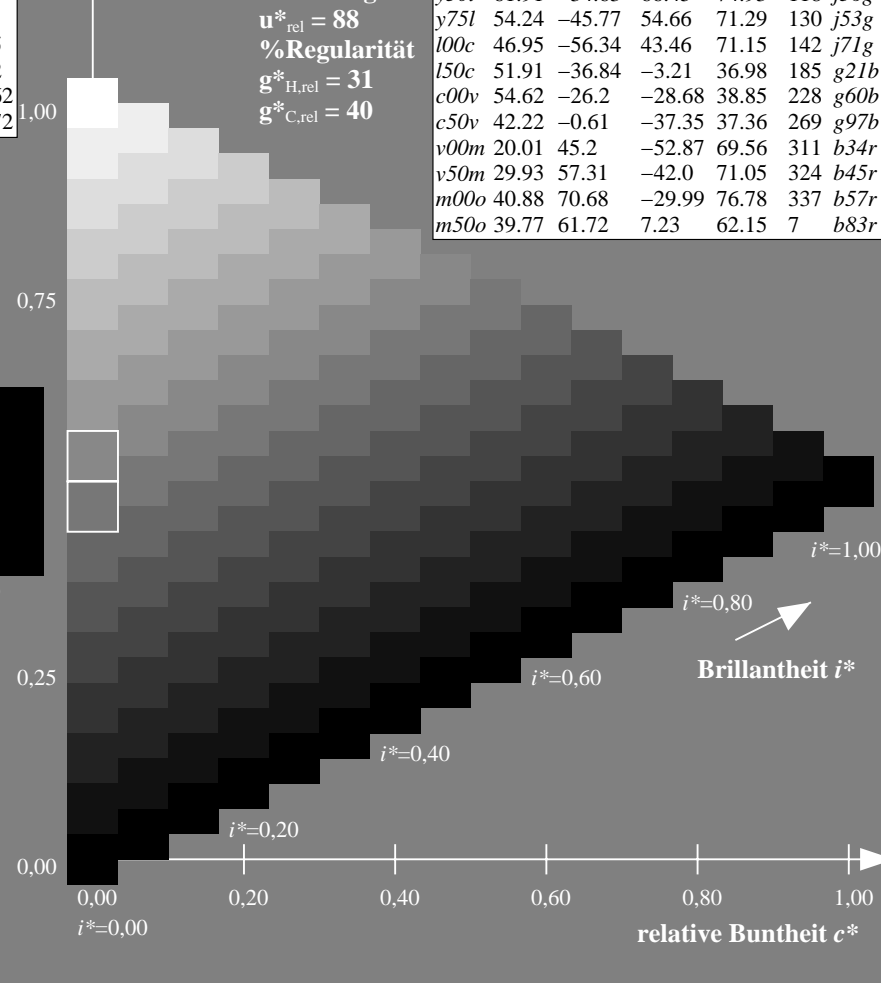
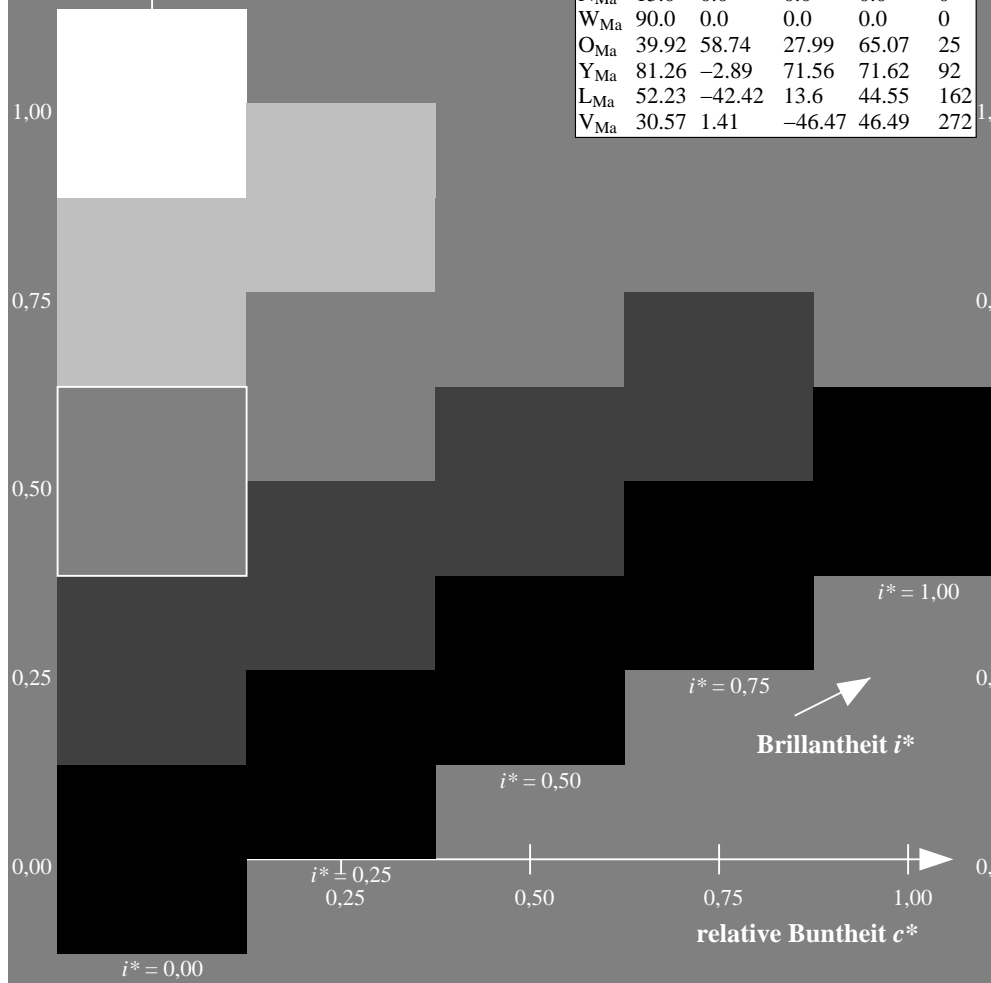
%Regularität

$g^*_{H,rel} = 31$

$g^*_{C,rel} = 40$

FRS15_90a; adaptierte CIELAB-Daten

u^*_d	$L^*=L^*_a$	a^*_a	b^*_a	$C^*_{ab,a}$	$h^*_{ab,a}$	u^*_e
o00y	38.8	53.92	39.68	66.95	36	r16j
o25y	47.46	42.34	51.25	66.48	50	r37j
o50y	56.54	30.2	63.39	70.22	65	r58j
o75y	67.39	15.68	77.9	79.47	79	r79j
y00l	82.58	-4.64	98.22	98.33	93	j01g
y25l	70.85	-21.66	80.19	83.07	105	j18g
y50l	61.91	-34.63	66.45	74.93	118	j36g
y75l	54.24	-45.77	54.66	71.29	130	j53g
l00c	46.95	-56.34	43.46	71.15	142	j71g
l50c	51.91	-36.84	-3.21	36.98	185	g21b
c00v	54.62	-26.2	-28.68	38.85	228	g60b
c50v	42.22	-0.61	-37.35	37.36	269	g97b
v00m	20.01	45.2	-52.87	69.56	311	b34r
v50m	29.93	57.31	-42.0	71.05	324	b45r
m00o	40.88	70.68	-29.99	76.78	337	b57r
m50o	39.77	61.72	7.23	62.15	7	b83r



Ein und Ausgabe: Farbmetrisches Drucker-Reflektiv-System FRS15_90a für relativen CIELAB-Buntton $h^* = lab^*h^* = h_{ab}/360 = 0.632$

Daten für jede Farbe:

lab^*tch^* und lab^*icu^*

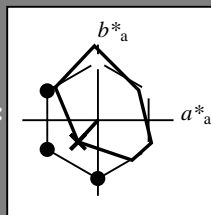
Bunttontexte:

$u^*_d = c00v$ $u^*_e = g60b$

Kontrastreduzierungsfaktor:

$c_R = 0.9$

Dreiecks-Helligkeit i^*



FRS15_90a; adaptierte CIELAB-Daten						
u^*_d	$L^*=L^*_a$	a^*_a	b^*_a	$C^*_{ab,a}$	$h^*_{ab,a}$	
O _{Ma}	38.8	53.92	39.68	66.95	36	
Y _{Ma}	82.58	-4.64	98.22	98.33	93	
L _{Ma}	46.95	-56.34	43.46	71.15	142	
C _{Ma}	54.62	-26.2	-28.68	38.85	228	
V _{Ma}	20.01	45.2	-52.87	69.56	311	
M _{Ma}	40.88	70.68	-29.99	76.78	337	
N _{Ma}	15.0	0.0	0.0	0.0	0	
W _{Ma}	90.0	0.0	0.0	0.0	0	
O _{Ma}	39.92	58.74	27.99	65.07	25	
Y _{Ma}	81.26	-2.89	71.56	71.62	92	
L _{Ma}	52.23	-42.42	13.6	44.55	162	
V _{Ma}	30.57	1.41	-46.47	46.49	272	

Daten für Maximalfarbe (Ma):

$LAB^*LAB^*_{Ma}$: 55 -26 -29

$LAB^*LCH^*_{Ma}$: 55 39 227

$lab^*olv^*_{Ma}$: 0.0 1.0 1.0

$lab^*rgb^*_{Ma}$: 0.0 0.81 1.0

Dreiecks-Helligkeit i^*

%Umfang

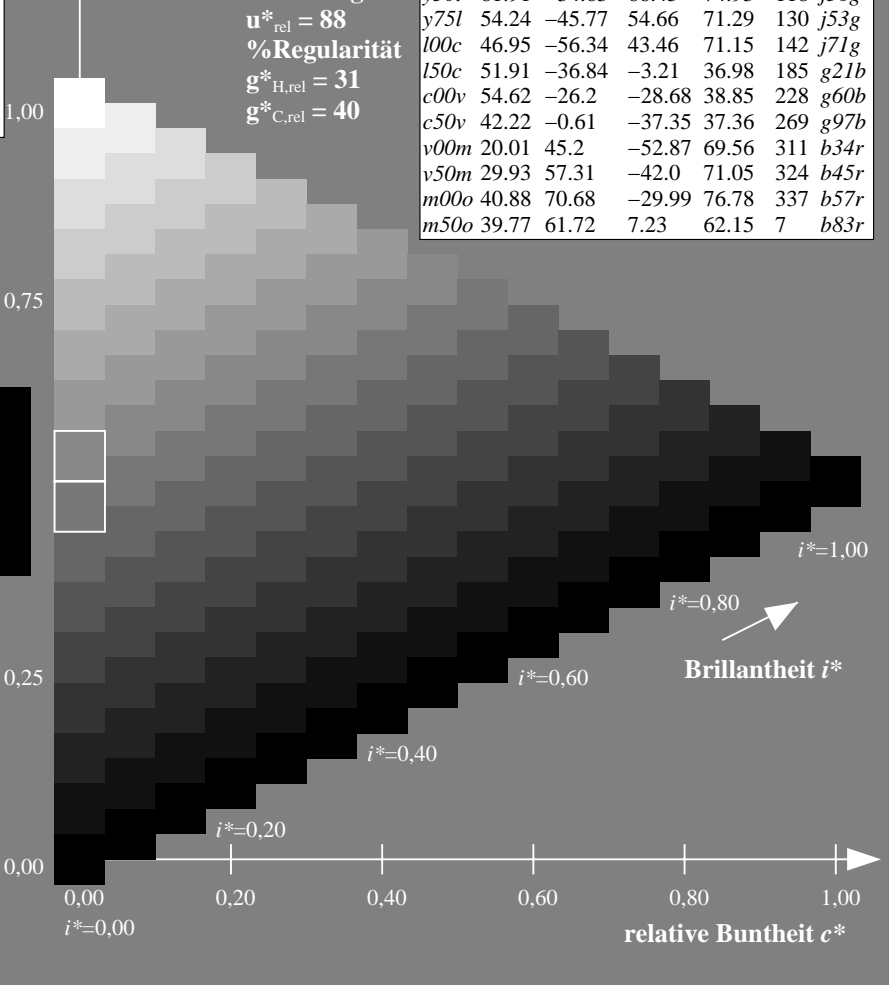
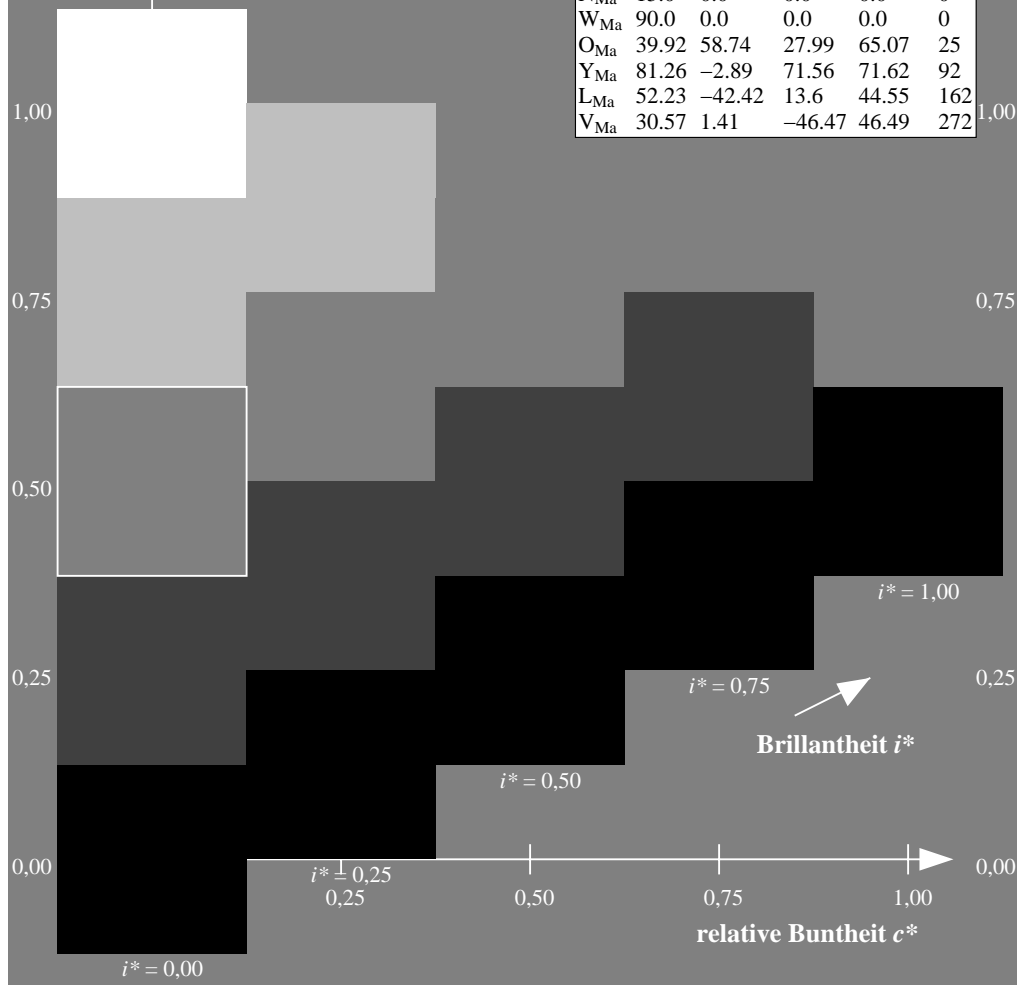
$u^*_{rel} = 88$

%Regularität

$g^*_{H,rel} = 31$

$g^*_{C,rel} = 40$

FRS15_90a; adaptierte CIELAB-Daten							
u^*_d	$L^*=L^*_a$	a^*_a	b^*_a	$C^*_{ab,a}$	$h^*_{ab,a}$	u^*_e	
<i>o00y</i>	38.8	53.92	39.68	66.95	36	<i>r16j</i>	
<i>o25y</i>	47.46	42.34	51.25	66.48	50	<i>r37j</i>	
<i>o50y</i>	56.54	30.2	63.39	70.22	65	<i>r58j</i>	
<i>o75y</i>	67.39	15.68	77.9	79.47	79	<i>r79j</i>	
<i>y00l</i>	82.58	-4.64	98.22	98.33	93	<i>j01g</i>	
<i>y25l</i>	70.85	-21.66	80.19	83.07	105	<i>j18g</i>	
<i>y50l</i>	61.91	-34.63	66.45	74.93	118	<i>j36g</i>	
<i>y75l</i>	54.24	-45.77	54.66	71.29	130	<i>j53g</i>	
<i>l00c</i>	46.95	-56.34	43.46	71.15	142	<i>j71g</i>	
<i>l50c</i>	51.91	-36.84	-3.21	36.98	185	<i>g21b</i>	
<i>c00v</i>	54.62	-26.2	-28.68	38.85	228	<i>g60b</i>	
<i>c50v</i>	42.22	-0.61	-37.35	37.36	269	<i>g97b</i>	
<i>v00m</i>	20.01	45.2	-52.87	69.56	311	<i>b34r</i>	
<i>v50m</i>	29.93	57.31	-42.0	71.05	324	<i>b45r</i>	
<i>m00o</i>	40.88	70.68	-29.99	76.78	337	<i>b57r</i>	
<i>m50o</i>	39.77	61.72	7.23	62.15	7	<i>b83r</i>	



Ein und Ausgabe: Farbmetrisches Drucker-Reflektiv-System FRS15_90a für relativen CIELAB-Buntton $h^* = lab^*h^* = h_{ab}/360 = 0.747$

Daten für jede Farbe:

lab^*tch^* und lab^*icu^*

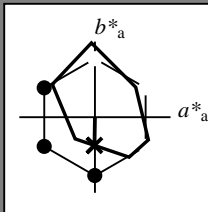
Bunttontexte:

$u^*_d = c50v$ $u^*_e = g97b$

Kontrastreduzierungsfaktor:

$c_R = 0.9$

Dreiecks-Helligkeit i^*



FRS15_90a; adaptierte CIELAB-Daten

u^*_d	$L^*=L^*_a$	a^*_a	b^*_a	$C^*_{ab,a}$	$h^*_{ab,a}$
O _{Ma}	38.8	53.92	39.68	66.95	36
Y _{Ma}	82.58	-4.64	98.22	98.33	93
L _{Ma}	46.95	-56.34	43.46	71.15	142
C _{Ma}	54.62	-26.2	-28.68	38.85	228
V _{Ma}	20.01	45.2	-52.87	69.56	311
M _{Ma}	40.88	70.68	-29.99	76.78	337
N _{Ma}	15.0	0.0	0.0	0.0	0
W _{Ma}	90.0	0.0	0.0	0.0	0
O _{Ma}	39.92	58.74	27.99	65.07	25
Y _{Ma}	81.26	-2.89	71.56	71.62	92
L _{Ma}	52.23	-42.42	13.6	44.55	162
V _{Ma}	30.57	1.41	-46.47	46.49	272

Daten für Maximalfarbe (Ma):

LAB^*LAB^*Ma : 42 -1 -37

LAB^*LCH^*Ma : 42 37 269

lab^*olv^*Ma : 0.0 0.5 1.0

lab^*rgb^*Ma : 0.0 0.05 1.0

Dreiecks-Helligkeit i^*

%Umfang

$u^*_{rel} = 88$

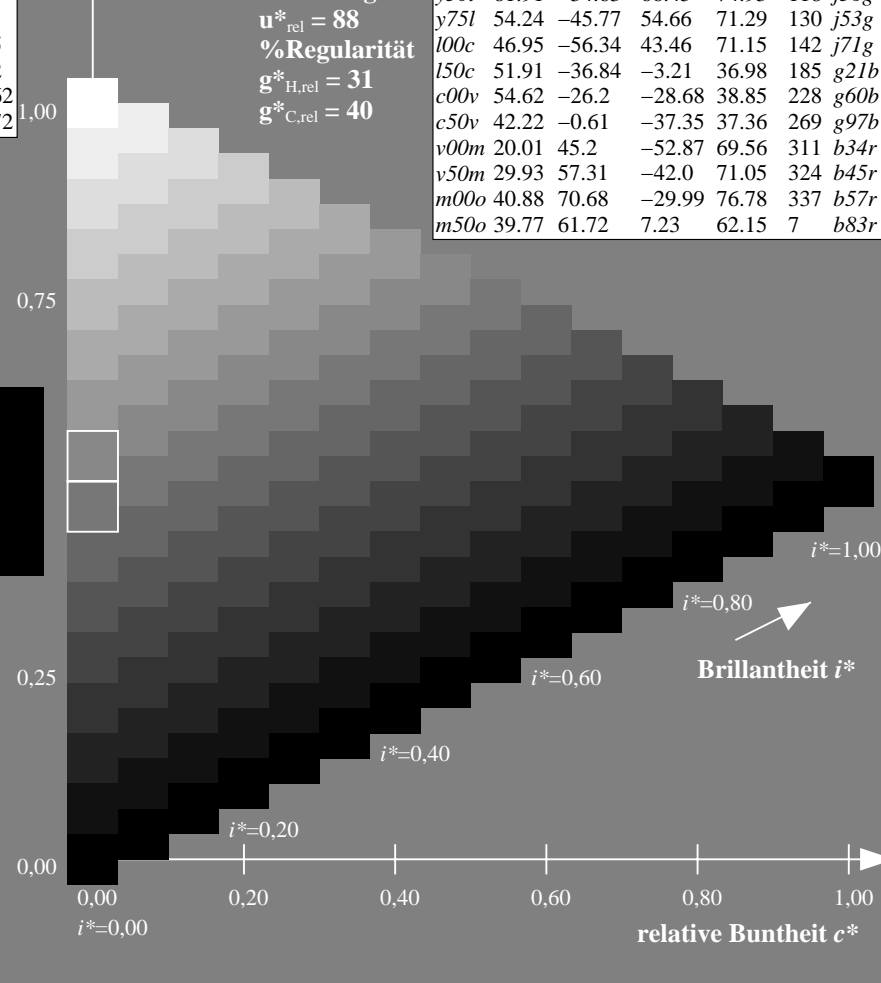
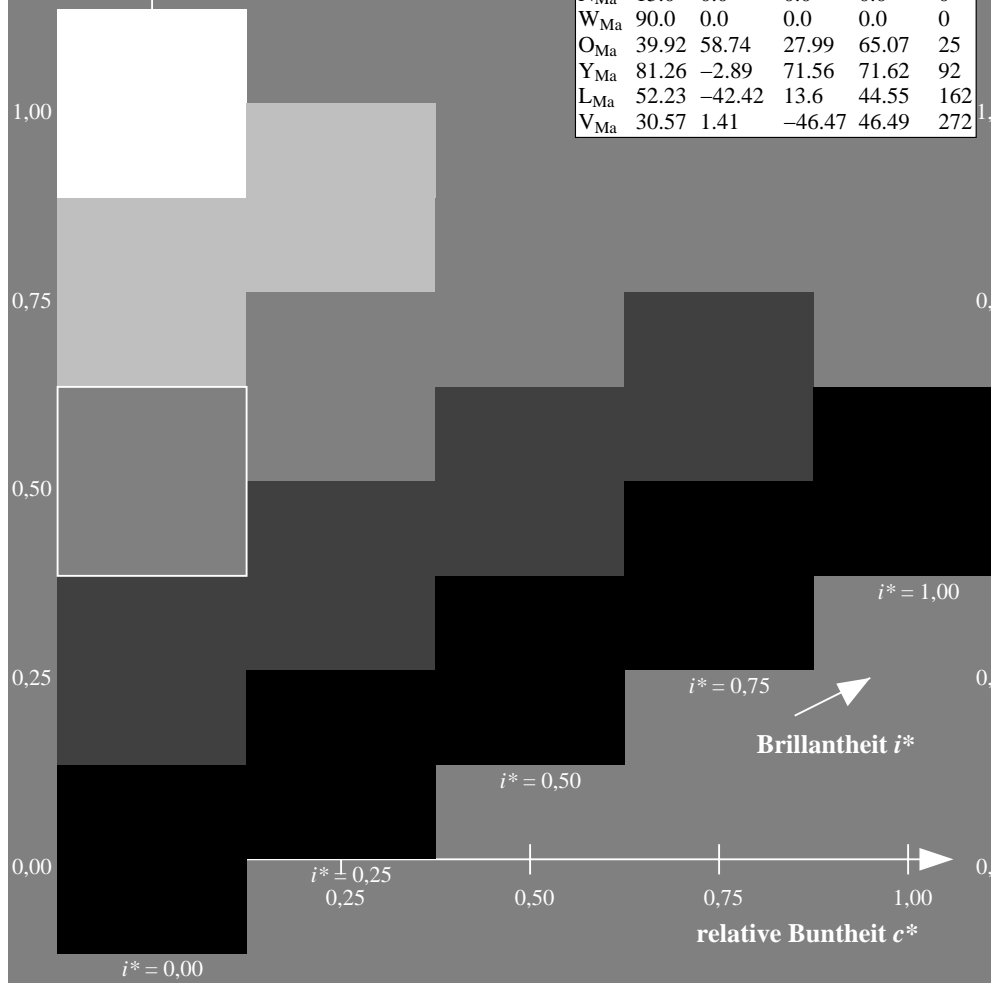
%Regularität

$g^*_{H,rel} = 31$

$g^*_{C,rel} = 40$

FRS15_90a; adaptierte CIELAB-Daten

u^*_d	$L^*=L^*_a$	a^*_a	b^*_a	$C^*_{ab,a}$	$h^*_{ab,a}$	u^*_e
o00y	38.8	53.92	39.68	66.95	36	r16j
o25y	47.46	42.34	51.25	66.48	50	r37j
o50y	56.54	30.2	63.39	70.22	65	r58j
o75y	67.39	15.68	77.9	79.47	79	r79j
y00l	82.58	-4.64	98.22	98.33	93	j01g
y25l	70.85	-21.66	80.19	83.07	105	j18g
y50l	61.91	-34.63	66.45	74.93	118	j36g
y75l	54.24	-45.77	54.66	71.29	130	j53g
l00c	46.95	-56.34	43.46	71.15	142	j71g
l50c	51.91	-36.84	-3.21	36.98	185	g21b
c00v	54.62	-26.2	-28.68	38.85	228	g60b
c50v	42.22	-0.61	-37.35	37.36	269	g97b
v00m	20.01	45.2	-52.87	69.56	311	b34r
v50m	29.93	57.31	-42.0	71.05	324	b45r
m00o	40.88	70.68	-29.99	76.78	337	b57r
m50o	39.77	61.72	7.23	62.15	7	b83r



Ein und Ausgabe: Farbmetrisches Drucker-Reflektiv-System FRS15_90a für relativen CIELAB-Buntton $h^* = lab^*h^* = h_{ab}/360 = 0.863$

Daten für jede Farbe:

lab^*tch^* und lab^*icu^*

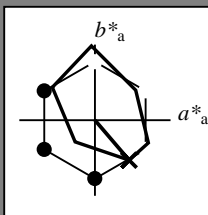
Bunttontexte:

$u^*_d = v00m$ $u^*_e = b34r$

Kontrastreduzierungsfaktor:

$c_R = 0.9$

Dreiecks-Helligkeit i^*



FRS15_90a; adaptierte CIELAB-Daten

u^*_d	$L^*=L^*_a$	a^*_a	b^*_a	$C^*_{ab,a}$	$h^*_{ab,a}$
O _{Ma}	38.8	53.92	39.68	66.95	36
Y _{Ma}	82.58	-4.64	98.22	98.33	93
L _{Ma}	46.95	-56.34	43.46	71.15	142
C _{Ma}	54.62	-26.2	-28.68	38.85	228
V _{Ma}	20.01	45.2	-52.87	69.56	311
M _{Ma}	40.88	70.68	-29.99	76.78	337
N _{Ma}	15.0	0.0	0.0	0.0	0
W _{Ma}	90.0	0.0	0.0	0.0	0
O _{Ma}	39.92	58.74	27.99	65.07	25
Y _{Ma}	81.26	-2.89	71.56	71.62	92
L _{Ma}	52.23	-42.42	13.6	44.55	162
V _{Ma}	30.57	1.41	-46.47	46.49	272

Daten für Maximalfarbe (Ma):

LAB^*LAB^*Ma : 20 45 -53

LAB^*LCH^*Ma : 20 70 310

lab^*olv^*Ma : 0.0 0.0 1.0

lab^*rgb^*Ma : 0.68 0.0 1.0

Dreiecks-Helligkeit i^*

%Umfang

$u^*_{rel} = 88$

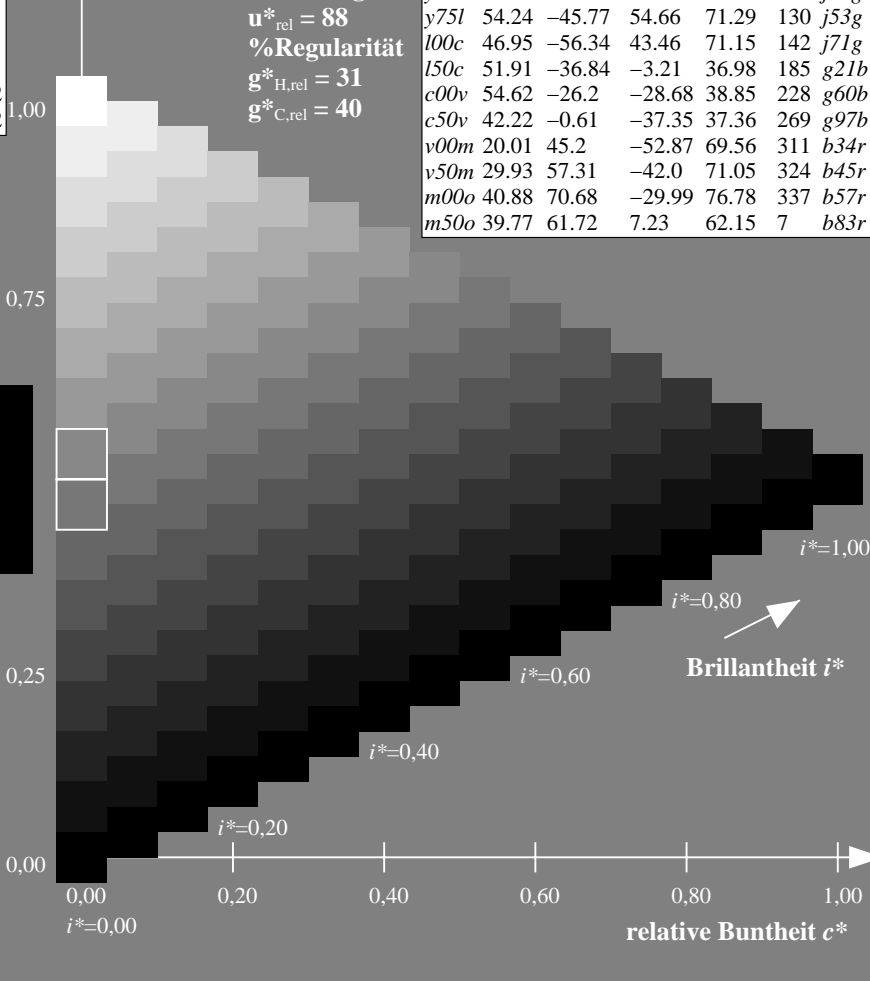
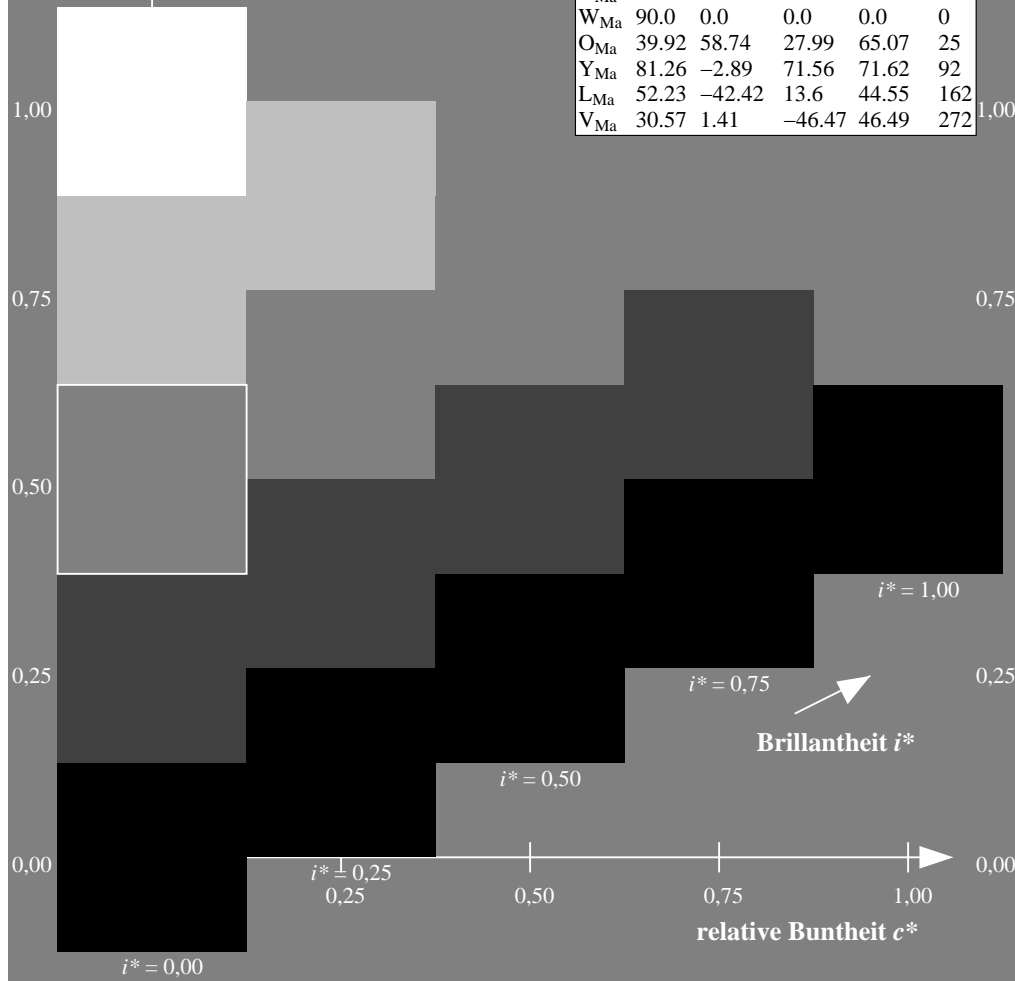
%Regularität

$g^*_{H,rel} = 31$

$g^*_{C,rel} = 40$

FRS15_90a; adaptierte CIELAB-Daten

u^*_d	$L^*=L^*_a$	a^*_a	b^*_a	$C^*_{ab,a}$	$h^*_{ab,a}$	u^*_e
o00y	38.8	53.92	39.68	66.95	36	r16j
o25y	47.46	42.34	51.25	66.48	50	r37j
o50y	56.54	30.2	63.39	70.22	65	r58j
o75y	67.39	15.68	77.9	79.47	79	r79j
y00l	82.58	-4.64	98.22	98.33	93	j01g
y25l	70.85	-21.66	80.19	83.07	105	j18g
y50l	61.91	-34.63	66.45	74.93	118	j36g
y75l	54.24	-45.77	54.66	71.29	130	j53g
l00c	46.95	-56.34	43.46	71.15	142	j71g
l50c	51.91	-36.84	-3.21	36.98	185	g21b
c00v	54.62	-26.2	-28.68	38.85	228	g60b
c50v	42.22	-0.61	-37.35	37.36	269	g97b
v00m	20.01	45.2	-52.87	69.56	311	b34r
v50m	29.93	57.31	-42.0	71.05	324	b45r
m00o	40.88	70.68	-29.99	76.78	337	b57r
m50o	39.77	61.72	7.23	62.15	7	b83r



Ein und Ausgabe: Farbmetrisches Drucker-Reflektiv-System FRS15_90a für relativen CIELAB-Buntton $h^* = lab^*h^* = h_{ab}/360 = 0.899$

Daten für jede Farbe:

lab^*tch^* und lab^*icu^*

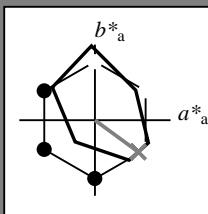
Bunttontexte:

$u^*_d = v50m$ $u^*_e = b45r$

Kontrastreduzierungsfaktor:

$c_R = 0.9$

Dreiecks-Helligkeit i^*



FRS15_90a; adaptierte CIELAB-Daten

u^*_d	$L^*=L^*_a$	a^*_a	b^*_a	$C^*_{ab,a}$	$h^*_{ab,a}$
O _{Ma}	38.8	53.92	39.68	66.95	36
Y _{Ma}	82.58	-4.64	98.22	98.33	93
L _{Ma}	46.95	-56.34	43.46	71.15	142
C _{Ma}	54.62	-26.2	-28.68	38.85	228
V _{Ma}	20.01	45.2	-52.87	69.56	311
M _{Ma}	40.88	70.68	-29.99	76.78	337
N _{Ma}	15.0	0.0	0.0	0.0	0
W _{Ma}	90.0	0.0	0.0	0.0	0
O _{Ma}	39.92	58.74	27.99	65.07	25
Y _{Ma}	81.26	-2.89	71.56	71.62	92
L _{Ma}	52.23	-42.42	13.6	44.55	162
V _{Ma}	30.57	1.41	-46.47	46.49	272

Daten für Maximalfarbe (Ma):

LAB^*LAB^*Ma : 30 57 -42

LAB^*LCH^*Ma : 30 71 323

lab^*olv^*Ma : 0.5 0.0 1.0

lab^*rgb^*Ma : 0.91 0.0 1.0

Dreiecks-Helligkeit i^*

%Umfang

$u^*_{rel} = 88$

%Regularität

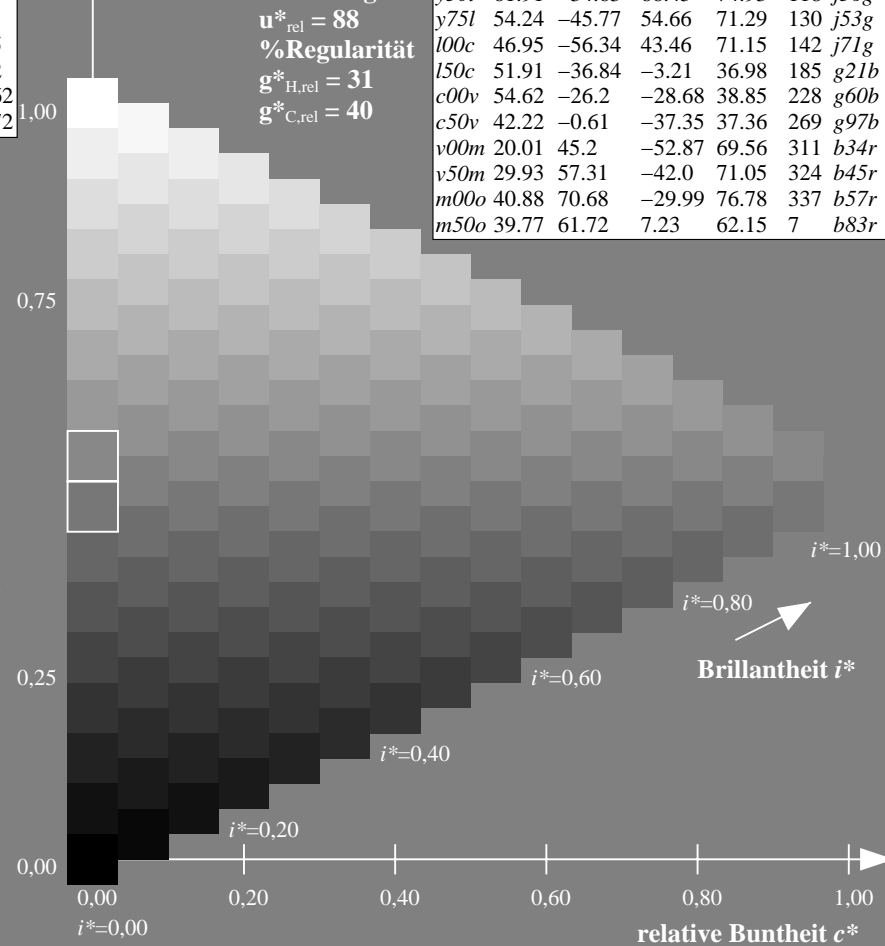
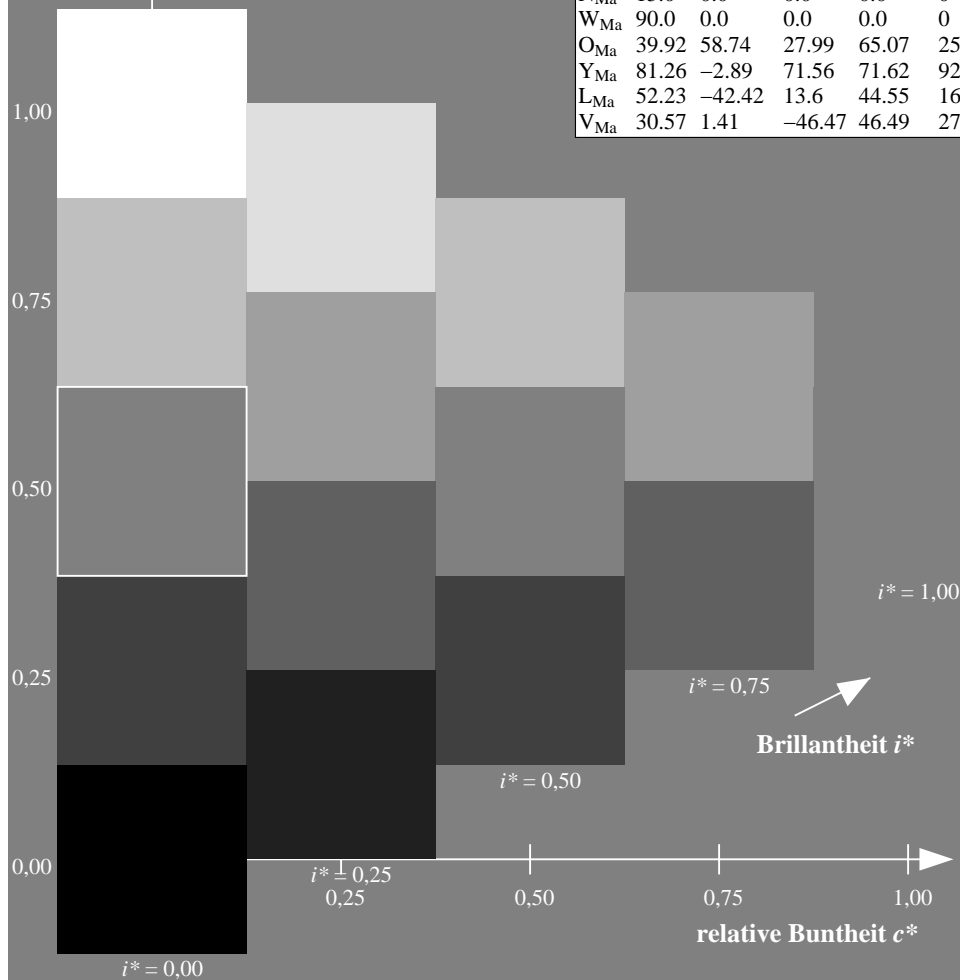
$g^*_{H,rel} = 31$

$g^*_{C,rel} = 40$

FRS15_90a; adaptierte CIELAB-Daten

u^*_d	$L^*=L^*_a$	a^*_a	b^*_a	$C^*_{ab,a}$	$h^*_{ab,a}$	u^*_e
o00y	38.8	53.92	39.68	66.95	36	r16j
o25y	47.46	42.34	51.25	66.48	50	r37j
o50y	56.54	30.2	63.39	70.22	65	r58j
o75y	67.39	15.68	77.9	79.47	79	r79j
y00l	82.58	-4.64	98.22	98.33	93	j01g
y25l	70.85	-21.66	80.19	83.07	105	j18g
y50l	61.91	-34.63	66.45	74.93	118	j36g
y75l	54.24	-45.77	54.66	71.29	130	j53g
l00c	46.95	-56.34	43.46	71.15	142	j71g
l50c	51.91	-36.84	-3.21	36.98	185	g21b
c00v	54.62	-26.2	-28.68	38.85	228	g60b
c50v	42.22	-0.61	-37.35	37.36	269	g97b
v00m	20.01	45.2	-52.87	69.56	311	b34r
v50m	29.93	57.31	-42.0	71.05	324	b45r
m00o	40.88	70.68	-29.99	76.78	337	b57r
m50o	39.77	61.72	7.23	62.15	7	b83r

$u^*_d = v50m$



Siehe ähnliche Dateien: <http://www.ps.bam.de/Eg41/>; [www.ps.bam.de/Version 2.1, io=1,1, Col5px=0](http://www.ps.bam.de/Version%202.1,io=1,1,Col5px=0)
Technische Information: [http://www.ps.bam.de/Version 2.1, io=1,1, Col5px=0](http://www.ps.bam.de/Version%202.1,io=1,1,Col5px=0)

Ein und Ausgabe: Farbmetrisches Drucker-Reflektiv-System FRS15_90a für relativen CIELAB-Buntton $h^* = lab^*h^* = h_{ab}/360 = 0.936$

Daten für jede Farbe:

lab^*ch^* und lab^*icu^*

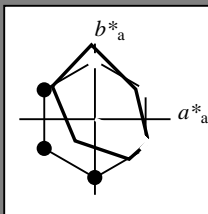
Bunttontexte:

$u^*_d = m00o$ $u^*_e = b57r$

Kontrastreduzierungsfaktor:

$c_R = 0.9$

Dreiecks-Helligkeit i^*



FRS15_90a; adaptierte CIELAB-Daten

u^*_d	$L^*=L^*_a$	a^*_a	b^*_a	$C^*_{ab,a}$	$h^*_{ab,a}$
O _{Ma}	38.8	53.92	39.68	66.95	36
Y _{Ma}	82.58	-4.64	98.22	98.33	93
L _{Ma}	46.95	-56.34	43.46	71.15	142
C _{Ma}	54.62	-26.2	-28.68	38.85	228
V _{Ma}	20.01	45.2	-52.87	69.56	311
M _{Ma}	40.88	70.68	-29.99	76.78	337
N _{Ma}	15.0	0.0	0.0	0.0	0
W _{Ma}	90.0	0.0	0.0	0.0	0
O _{Ma}	39.92	58.74	27.99	65.07	25
Y _{Ma}	81.26	-2.89	71.56	71.62	92
L _{Ma}	52.23	-42.42	13.6	44.55	162
V _{Ma}	30.57	1.41	-46.47	46.49	272

Daten für Maximalfarbe (Ma):

LAB^*LAB^*Ma : 41 71 -30

LAB^*LCH^*Ma : 41 77 337

lab^*olv^*Ma : 1.0 0.0 1.0

lab^*rgb^*Ma : 1.0 0.0 0.85

Dreiecks-Helligkeit i^*

%Umfang

$u^*_{rel} = 88$

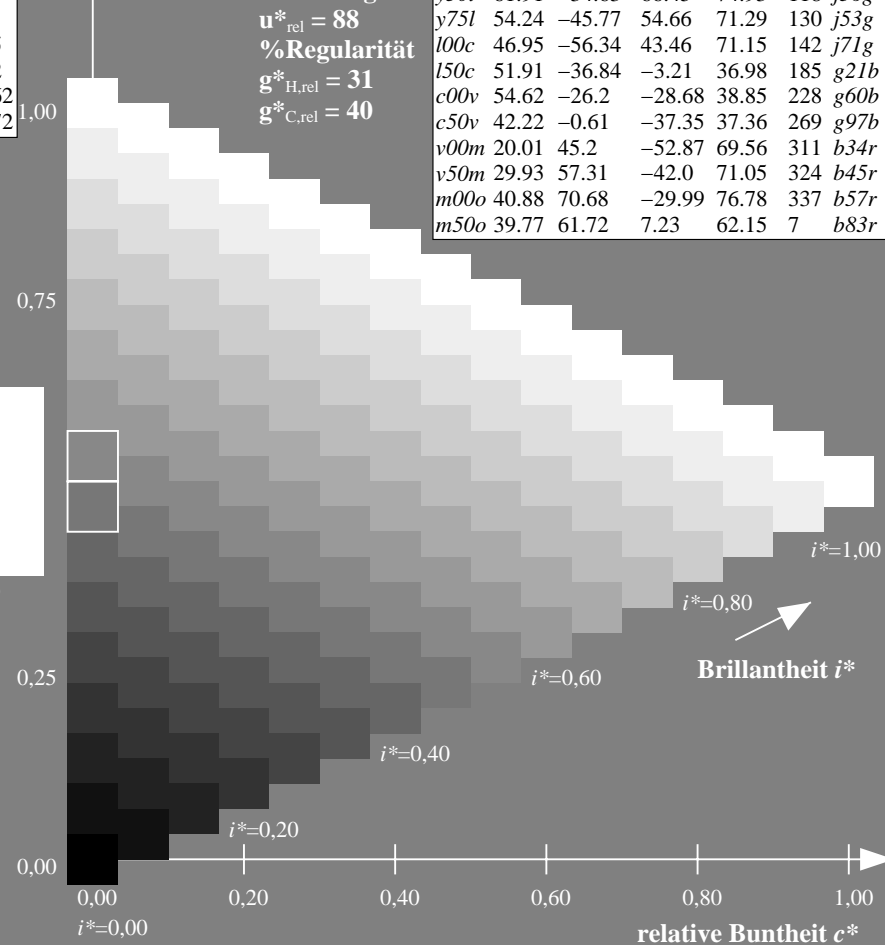
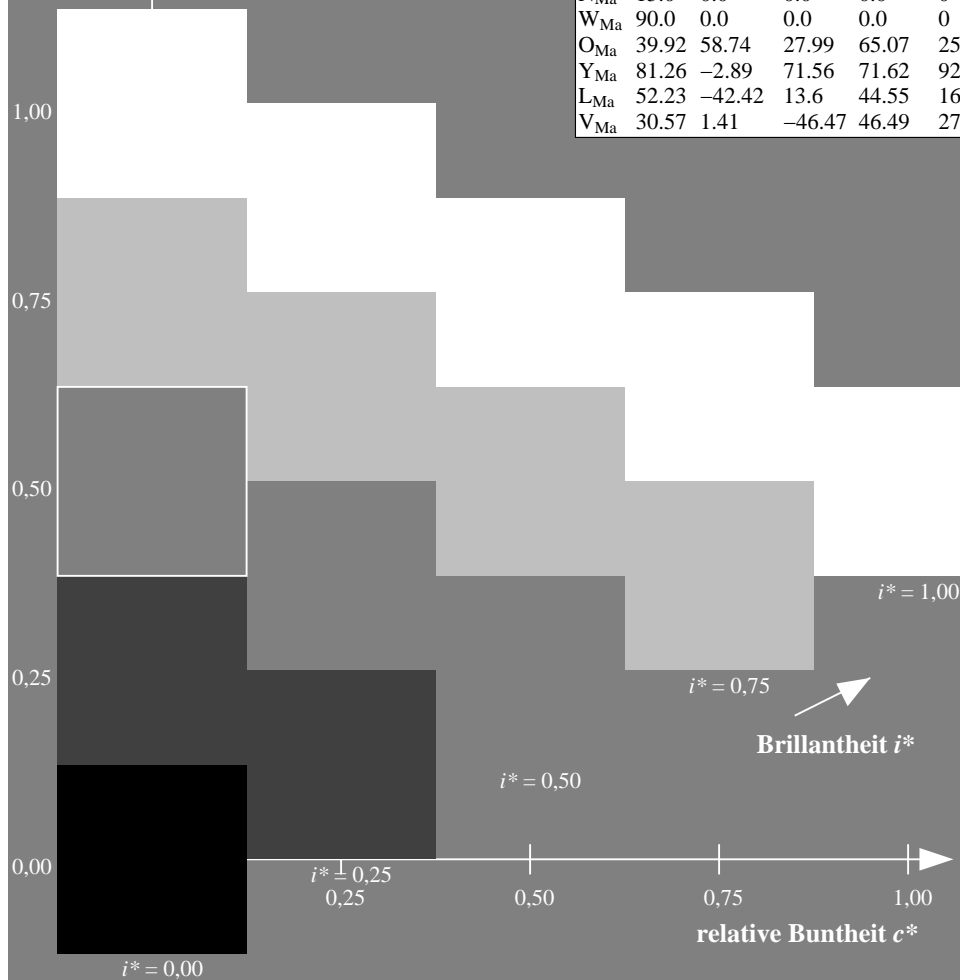
%Regularität

$g^*_{H,rel} = 31$

$g^*_{C,rel} = 40$

FRS15_90a; adaptierte CIELAB-Daten

u^*_d	$L^*=L^*_a$	a^*_a	b^*_a	$C^*_{ab,a}$	$h^*_{ab,a}$	u^*_e
o00y	38.8	53.92	39.68	66.95	36	r16j
o25y	47.46	42.34	51.25	66.48	50	r37j
o50y	56.54	30.2	63.39	70.22	65	r58j
o75y	67.39	15.68	77.9	79.47	79	r79j
y00l	82.58	-4.64	98.22	98.33	93	j01g
y25l	70.85	-21.66	80.19	83.07	105	j18g
y50l	61.91	-34.63	66.45	74.93	118	j36g
y75l	54.24	-45.77	54.66	71.29	130	j53g
l00c	46.95	-56.34	43.46	71.15	142	j71g
l50c	51.91	-36.84	-3.21	36.98	185	g21b
c00v	54.62	-26.2	-28.68	38.85	228	g60b
c50v	42.22	-0.61	-37.35	37.36	269	g97b
v00m	20.01	45.2	-52.87	69.56	311	b34r
v50m	29.93	57.31	-42.0	71.05	324	b45r
m00o	40.88	70.68	-29.99	76.78	337	b57r
m50o	39.77	61.72	7.23	62.15	7	b83r



BAM-Registrierung: 20081001-Eg41/10L/L41G00NA.PS/.TXT BAM-Material: Code=rh4ta
Anwendung für Beurteilung und Messung von Drucker- oder Monitorsystemen

Ein und Ausgabe: Farbmetrisches Drucker-Reflektiv-System FRS15_90a für relativen CIELAB-Buntton $h^* = lab^*h^* = h_{ab}/360 = 0.019$

Daten für jede Farbe:

lab^*ch^* und lab^*icu^*

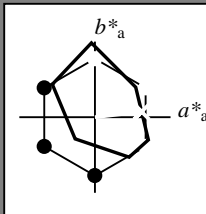
Bunttontexte:

$u^*_d = m50o$ $u^*_e = b83r$

Kontrastreduzierungsfaktor:

$c_R = 0.9$

Dreiecks-Helligkeit i^*



FRS15_90a; adaptierte CIELAB-Daten

u^*_d	$L^*=L^*_a$	a^*_a	b^*_a	$C^*_{ab,a}$	$h^*_{ab,a}$
O _{Ma}	38.8	53.92	39.68	66.95	36
Y _{Ma}	82.58	-4.64	98.22	98.33	93
L _{Ma}	46.95	-56.34	43.46	71.15	142
C _{Ma}	54.62	-26.2	-28.68	38.85	228
V _{Ma}	20.01	45.2	-52.87	69.56	311
M _{Ma}	40.88	70.68	-29.99	76.78	337
N _{Ma}	15.0	0.0	0.0	0.0	0
W _{Ma}	90.0	0.0	0.0	0.0	0
O _{Ma}	39.92	58.74	27.99	65.07	25
Y _{Ma}	81.26	-2.89	71.56	71.62	92
L _{Ma}	52.23	-42.42	13.6	44.55	162
V _{Ma}	30.57	1.41	-46.47	46.49	272

Daten für Maximalfarbe (Ma):

LAB^*LAB^*Ma : 40 62 7

LAB^*LCH^*Ma : 40 62 6

lab^*olv^*Ma : 1.0 0.0 0.5

lab^*rgb^*Ma : 1.0 0.0 0.33

Dreiecks-Helligkeit i^*

%Umfang

$u^*_{rel} = 88$

%Regularität

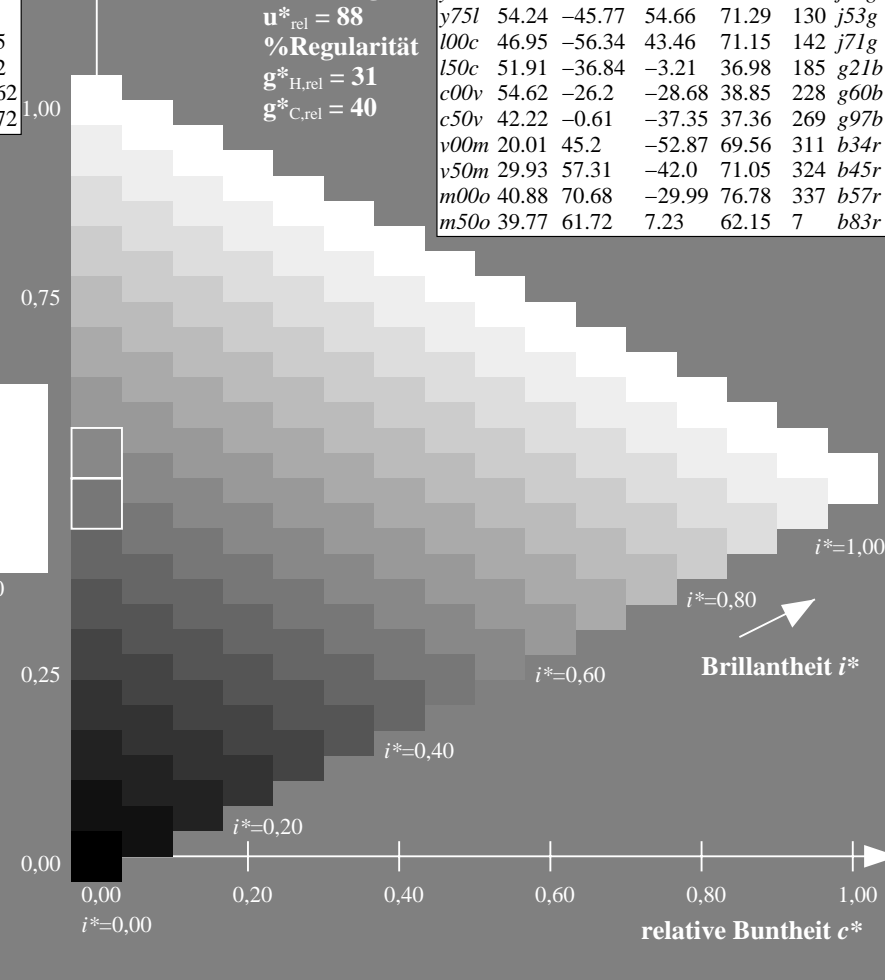
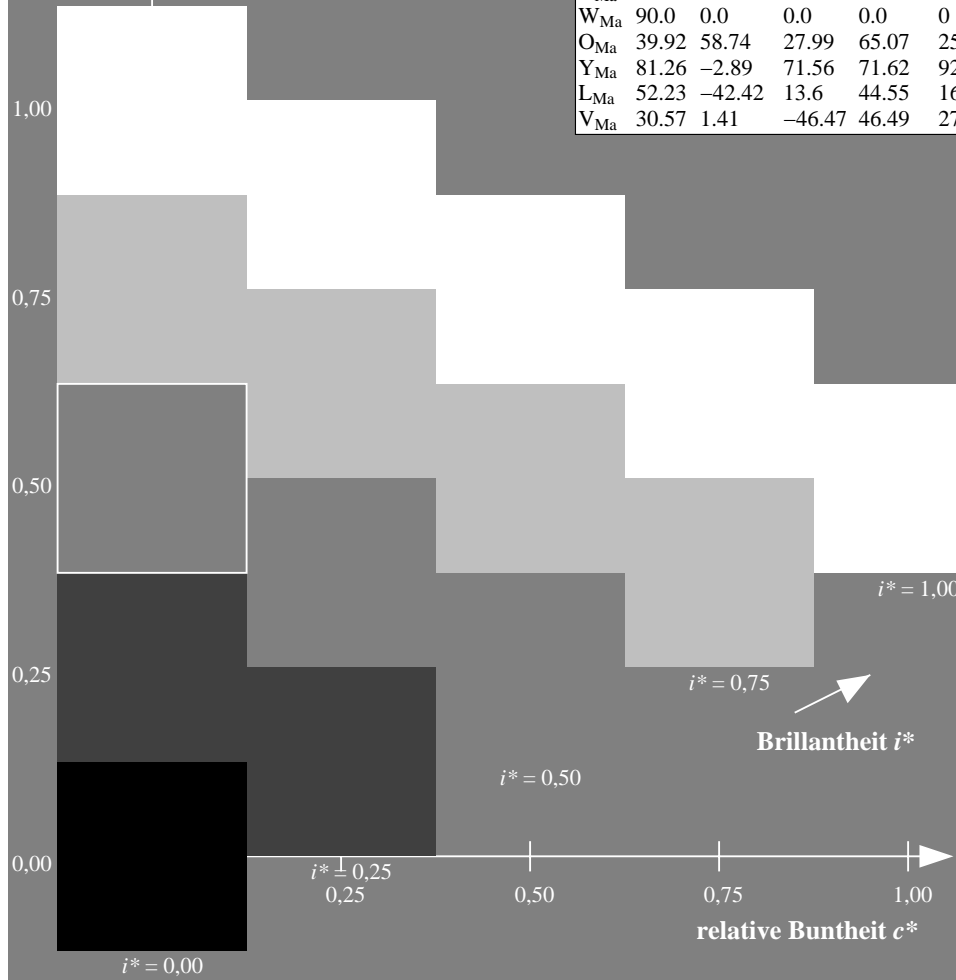
$g^*_{H,rel} = 31$

$g^*_{C,rel} = 40$

FRS15_90a; adaptierte CIELAB-Daten

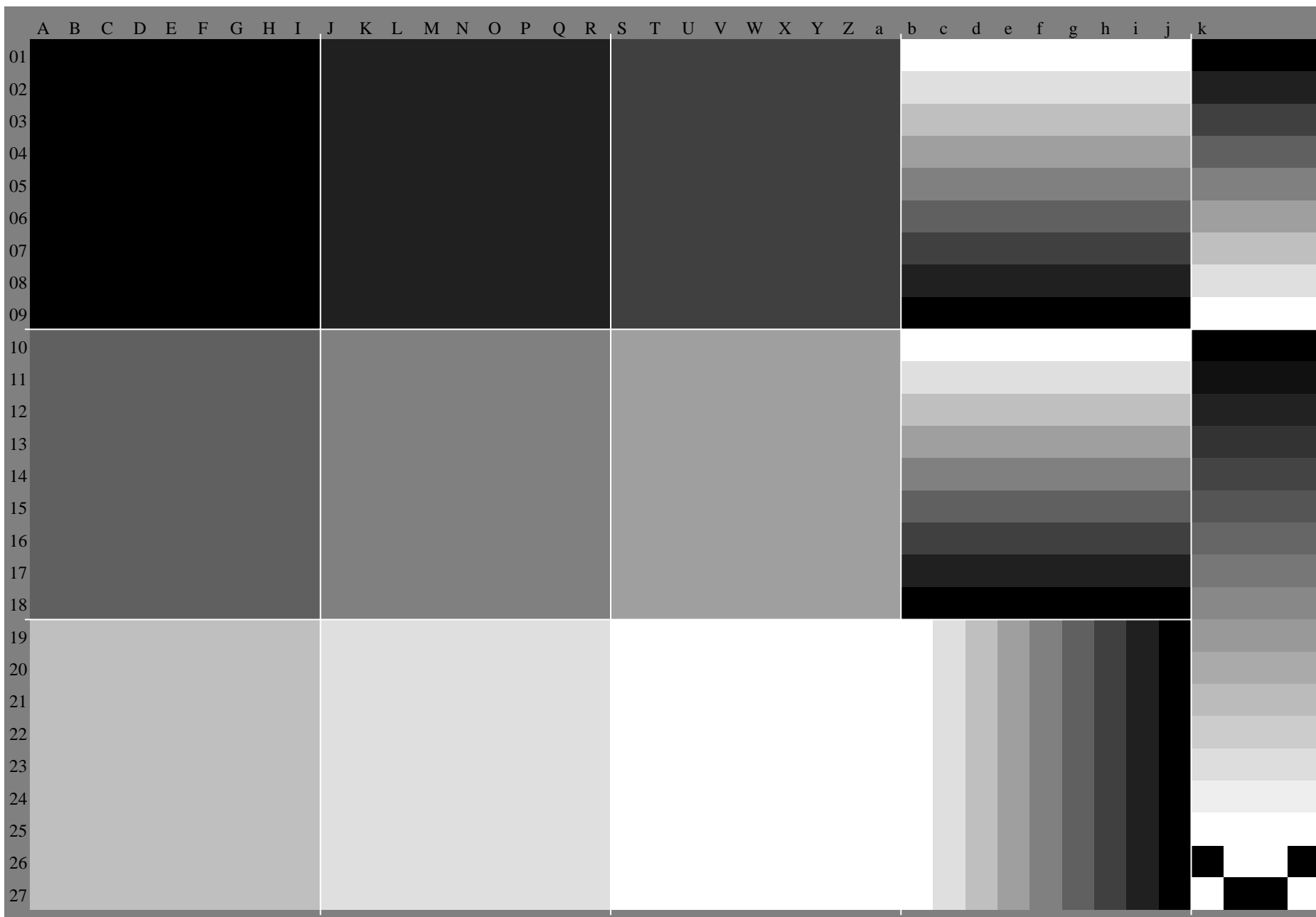
u^*_d	$L^*=L^*_a$	a^*_a	b^*_a	$C^*_{ab,a}$	$h^*_{ab,a}$	u^*_e
o00y	38.8	53.92	39.68	66.95	36	r16j
o25y	47.46	42.34	51.25	66.48	50	r37j
o50y	56.54	30.2	63.39	70.22	65	r58j
o75y	67.39	15.68	77.9	79.47	79	r79j
y00l	82.58	-4.64	98.22	98.33	93	j01g
y25l	70.85	-21.66	80.19	83.07	105	j18g
y50l	61.91	-34.63	66.45	74.93	118	j36g
y75l	54.24	-45.77	54.66	71.29	130	j53g
l00c	46.95	-56.34	43.46	71.15	142	j71g
l50c	51.91	-36.84	-3.21	36.98	185	g21b
c00v	54.62	-26.2	-28.68	38.85	228	g60b
c50v	42.22	-0.61	-37.35	37.36	269	g97b
v00m	20.01	45.2	-52.87	69.56	311	b34r
v50m	29.93	57.31	-42.0	71.05	324	b45r
m00o	40.88	70.68	-29.99	76.78	337	b57r
m50o	39.77	61.72	7.23	62.15	7	b83r

$u^*_d = m50o$



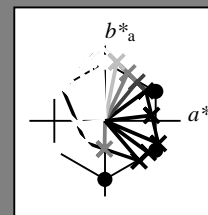
Siehe ähnliche Dateien: <http://www.ps.bam.de/Eg41/>; www.ps.bam.de/Versions2.1/, io=1,1, ColSpx=0

BAM-Registrierung: 20081001-Eg41/10L/L41G00NA.PS/.TXT BAM-Material: Code=rh4ta
Anwendung für Beurteilung und Messung von Drucker- oder Monitorsystemen



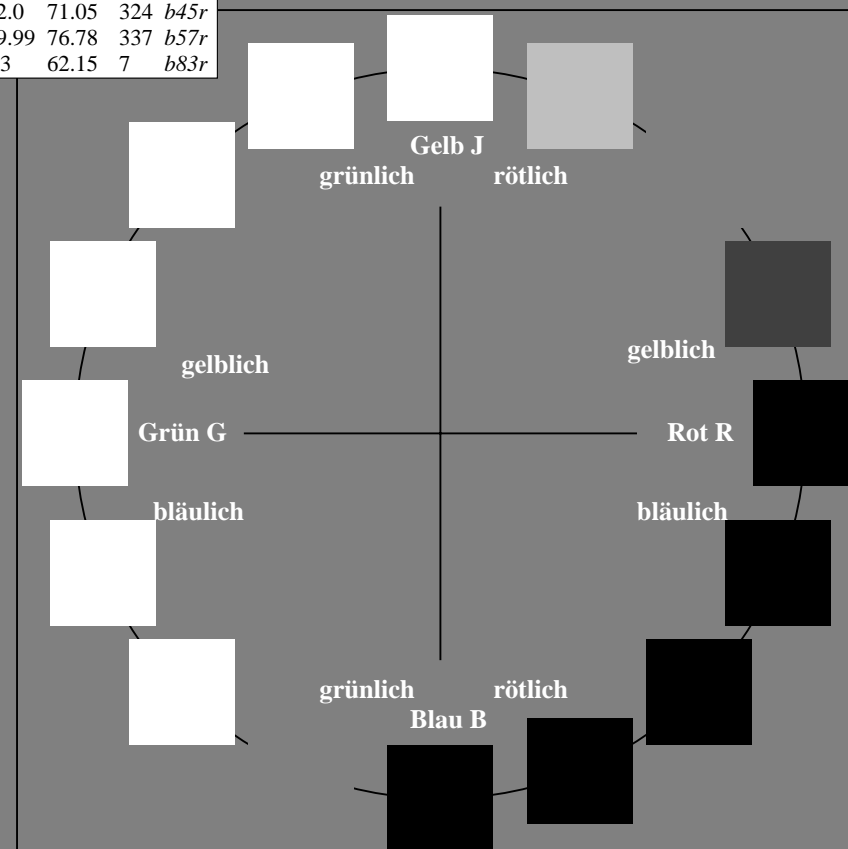
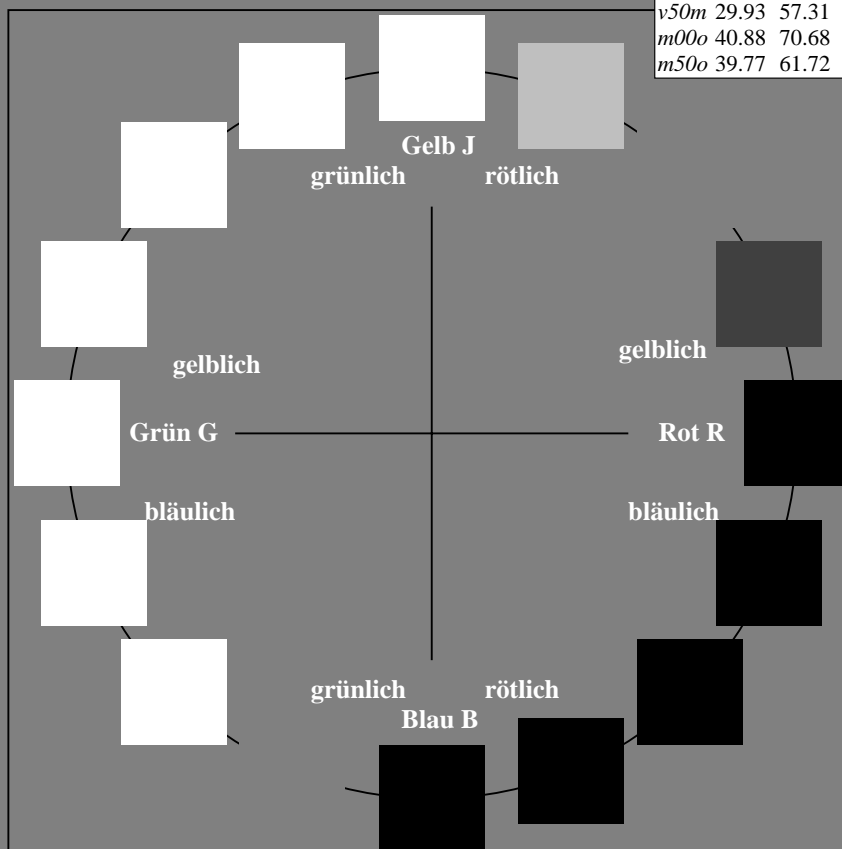
Ein und Ausgabe:
Farbmetrisches Drucker-Reflektiv-System FRS15_90a
Daten für jede Farbe:
 u^*_d und Nummer $Nr.$ = 00 .. 15
Geräte-Bunttontext:
 u^*_d = 16 Bunttoene *o00y*, *o25y*, ..., *m50o*
Kontrastreduzierungsfaktor:
 $c_R = 0.9$

FRS15_90a; adaptierte CIELAB-Daten						
u^*_d	$L^*=L^*_a$	a^*_a	b^*_a	$C^*_{ab,a}$	$h^*_{ab,a}$	u^*_e
<i>o00y</i>	38.8	53.92	39.68	66.95	36	<i>r16j</i>
<i>o25y</i>	47.46	42.34	51.25	66.48	50	<i>r37j</i>
<i>o50y</i>	56.54	30.2	63.39	70.22	65	<i>r58j</i>
<i>o75y</i>	67.39	15.68	77.9	79.47	79	<i>r79j</i>
<i>y00l</i>	82.58	-4.64	98.22	98.33	93	<i>j01g</i>
<i>y25l</i>	70.85	-21.66	80.19	83.07	105	<i>j18g</i>
<i>y50l</i>	61.91	-34.63	66.45	74.93	118	<i>j36g</i>
<i>y75l</i>	54.24	-45.77	54.66	71.29	130	<i>j53g</i>
<i>l00c</i>	46.95	-56.34	43.46	71.15	142	<i>j71g</i>
<i>l50c</i>	51.91	-36.84	-3.21	36.98	185	<i>g21b</i>
<i>c00v</i>	54.62	-26.2	-28.68	38.85	228	<i>g60b</i>
<i>c50v</i>	42.22	-0.61	-37.35	37.36	269	<i>g97b</i>
<i>v00m</i>	20.01	45.2	-52.87	69.56	311	<i>b34r</i>
<i>v50m</i>	29.93	57.31	-42.0	71.05	324	<i>b45r</i>
<i>m00o</i>	40.88	70.68	-29.99	76.78	337	<i>b57r</i>
<i>m50o</i>	39.77	61.72	7.23	62.15	7	<i>b83r</i>



%Umfang
 $u^*_{rel} = 88$
%Regularität
 $g^*_{H,rel} = 31$
 $g^*_{C,rel} = 40$

FRS15_90a; adaptierte CIELAB-Daten					
Name	$L^*=L^*_a$	a^*_a	b^*_a	$C^*_{ab,a}$	$h^*_{ab,a}$
O _{Ma}	38.8	53.92	39.68	66.95	36
Y _{Ma}	82.58	-4.64	98.22	98.33	93
L _{Ma}	46.95	-56.34	43.46	71.15	142
C _{Ma}	54.62	-26.2	-28.68	38.85	228
V _{Ma}	20.01	45.2	-52.87	69.56	311
M _{Ma}	40.88	70.68	-29.99	76.78	337
N _{Ma}	15.0	0.0	0.0	0.0	0
W _{Ma}	90.0	0.0	0.0	0.0	0
O _{CIE}	39.92	58.74	27.99	65.07	25
Y _{CIE}	81.26	-2.89	71.56	71.62	92
L _{CIE}	52.23	-42.42	13.6	44.55	162
V _{CIE}	30.57	1.41	-46.47	46.49	272



Ein und Ausgabe: Farbmétrisches Drucker-Reflektiv-System FRS15_90a für relativen CIELAB-Buntton $h^* = lab^*h^* = h_{ab}/360 = 0.101$

Daten für jede Farbe:

*lab*tch** und *lab*icu**

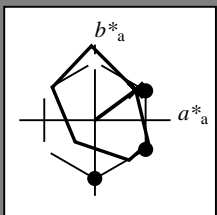
Bunttexte:

$$u^*_d = o00y \quad u^*_e = r16j$$

Kontrastreduzierungsfaktor:

 $c_R = 0.9$

Dreiecks-Helligkeit t^*



FRS15_90a; adaptierte CIELAB-Daten						
	u^*_d	L^*_a	a^*_a	b^*_a	$C^*_{ab,a}$	h^*_a
O _{Ma}	38.8	53.92		39.68	66.95	36
Y _{Ma}	82.58	-4.64		98.22	98.33	93
L _{Ma}	46.95	-56.34		43.46	71.15	142
C _{Ma}	54.62	-26.2		-28.68	38.85	228
V _{Ma}	20.01	45.2		-52.87	69.56	311
M _{Ma}	40.88	70.68		-29.99	76.78	337
N _{Ma}	15.0	0.0		0.0	0.0	0
W _{Ma}	90.0	0.0		0.0	0.0	0
O _{Ma}	39.92	58.74		27.99	65.07	25
Y _{Ma}	81.26	-2.89		71.56	71.62	92
L _{Ma}	52.23	-42.42		13.6	44.55	162
V _{Ma}	30.57	1.41		-46.47	46.49	272

Daten für Maximalfarbe (Ma):

*LAB*LAB*Me*: 39 54 40

LAD*LCII* 39 67 36

LAB*LCH*Ma: 39 6/ 3

lab*olv*_Ma: 1.0 0.0 0.0

*lab*rgb**Ma: 1.0 0.16 0.0

Dreiecks-Helligkeit t^*

Brokens Hemlock:

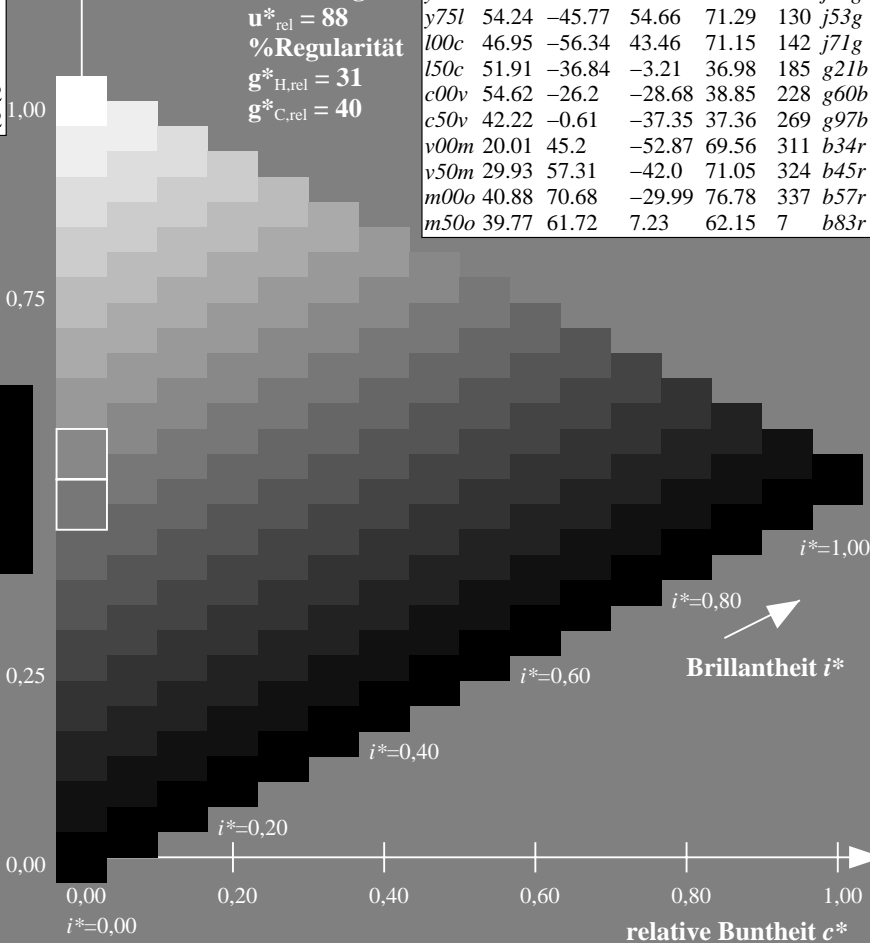
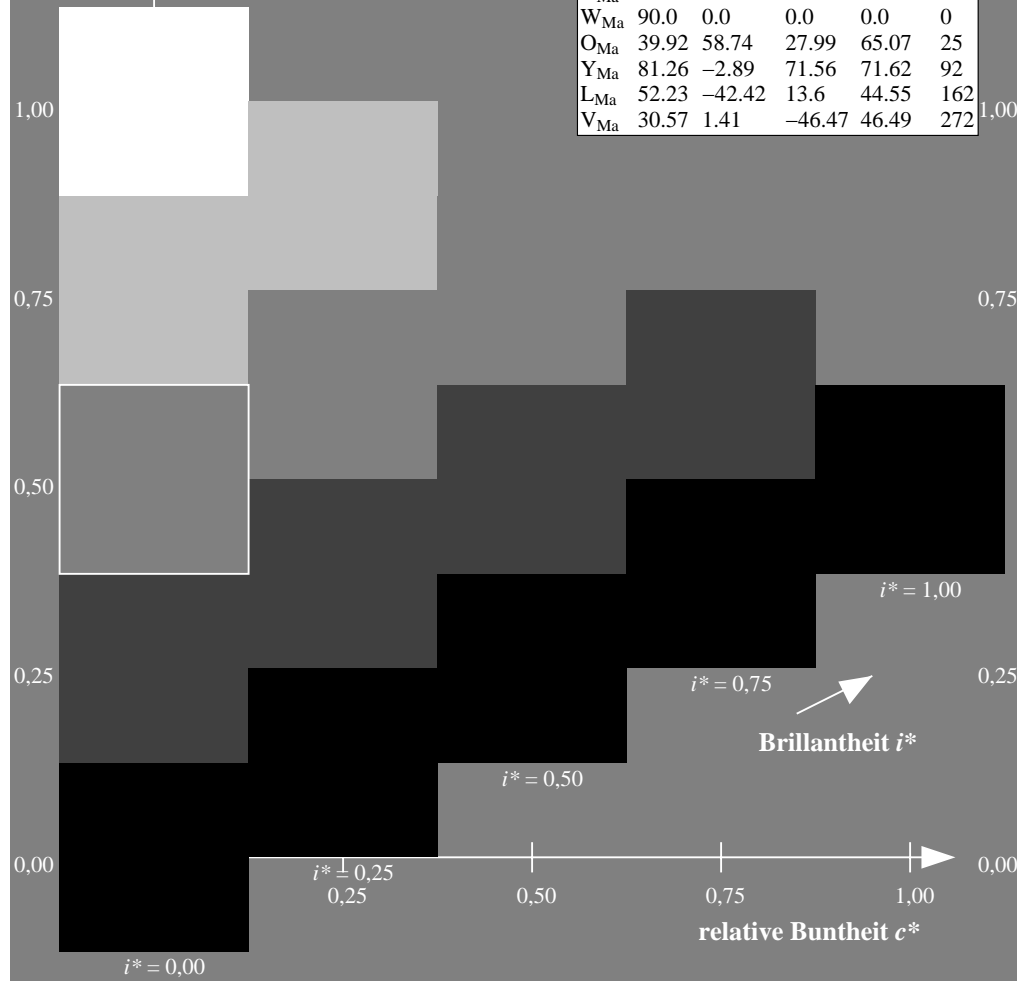
%Umfang

$$\mathbf{u}_{\text{rel}}^* = 88$$

%Regular

$$g^*_{H,rel} = 31$$
$$\mathbf{g}^*_{\text{C,rel}} = 40$$

FRS15_90a; adaptierte CIELAB-Daten							
	u^*_d	$L^*=L^*_a$	a^*_a	b^*_a	$C^*_{ab,a}$	$h^*_{ab,a}$	u^*_e
<i>o00y</i>	38.8	53.92	39.68	66.95	36	<i>r16i</i>	
<i>o25y</i>	47.46	42.34	51.25	66.48	50	<i>r37j</i>	
<i>o50y</i>	56.54	30.2	63.39	70.22	65	<i>r58j</i>	
<i>o75y</i>	67.39	15.68	77.9	79.47	79	<i>r79j</i>	
<i>y00l</i>	82.58	-4.64	98.22	98.33	93	<i>j01g</i>	
<i>y25l</i>	70.85	-21.66	80.19	83.07	105	<i>j18g</i>	
<i>y50l</i>	61.91	-34.63	66.45	74.93	118	<i>j36g</i>	
<i>y75l</i>	54.24	-45.77	54.66	71.29	130	<i>j53g</i>	
<i>l00c</i>	46.95	-56.34	43.46	71.15	142	<i>j71g</i>	
<i>l50c</i>	51.91	-36.84	-3.21	36.98	185	<i>g21b</i>	
<i>c00v</i>	54.62	-26.2	-28.68	38.85	228	<i>g60b</i>	
<i>c50v</i>	42.22	-0.61	-37.35	37.36	269	<i>g97b</i>	
<i>v00m</i>	20.01	45.2	-52.87	69.56	311	<i>b34r</i>	
<i>v50m</i>	29.93	57.31	-42.0	71.05	324	<i>b45r</i>	
<i>m00o</i>	40.88	70.68	-29.99	76.78	337	<i>b57r</i>	
<i>m50o</i>	39.77	61.72	7.23	62.15	7	<i>b83r</i>	



Ein und Ausgabe: Farbmetrisches Drucker-Reflektiv-System FRS15_90a für relativen CIELAB-Buntton $h^* = lab^*h^* = h_{ab}/360 = 0.14$

Daten für jede Farbe:

lab^*tch^* und lab^*icu^*

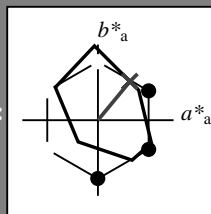
Bunttontexte:

$u^*_d = o25y$ $u^*_e = r37j$

Kontrastreduzierungsfaktor:

$c_R = 0.9$

Dreiecks-Helligkeit t^*



FRS15_90a; adaptierte CIELAB-Daten

u^*_d	$L^*=L^*_a$	a^*_a	b^*_a	$C^*_{ab,a}$	$h^*_{ab,a}$
O _{Ma}	38.8	53.92	39.68	66.95	36
Y _{Ma}	82.58	-4.64	98.22	98.33	93
L _{Ma}	46.95	-56.34	43.46	71.15	142
C _{Ma}	54.62	-26.2	-28.68	38.85	228
V _{Ma}	20.01	45.2	-52.87	69.56	311
M _{Ma}	40.88	70.68	-29.99	76.78	337
N _{Ma}	15.0	0.0	0.0	0.0	0
W _{Ma}	90.0	0.0	0.0	0.0	0
O _{Ma}	39.92	58.74	27.99	65.07	25
Y _{Ma}	81.26	-2.89	71.56	71.62	92
L _{Ma}	52.23	-42.42	13.6	44.55	162
V _{Ma}	30.57	1.41	-46.47	46.49	272

Daten für Maximalfarbe (Ma):

LAB^*LAB^*Ma : 47 42 51

LAB^*LCH^*Ma : 47 66 50

lab^*olv^*Ma : 1.0 0.25 0.0

lab^*rgb^*Ma : 1.0 0.37 0.0

Dreiecks-Helligkeit t^*

%Umfang

$u^*_{rel} = 88$

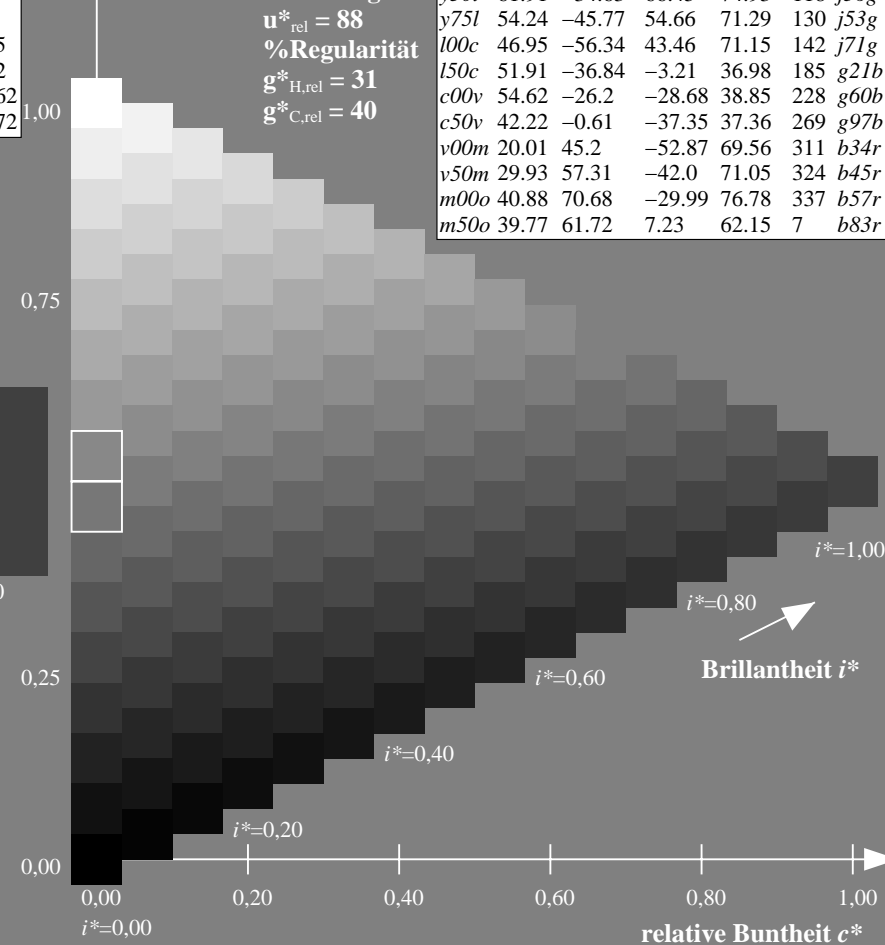
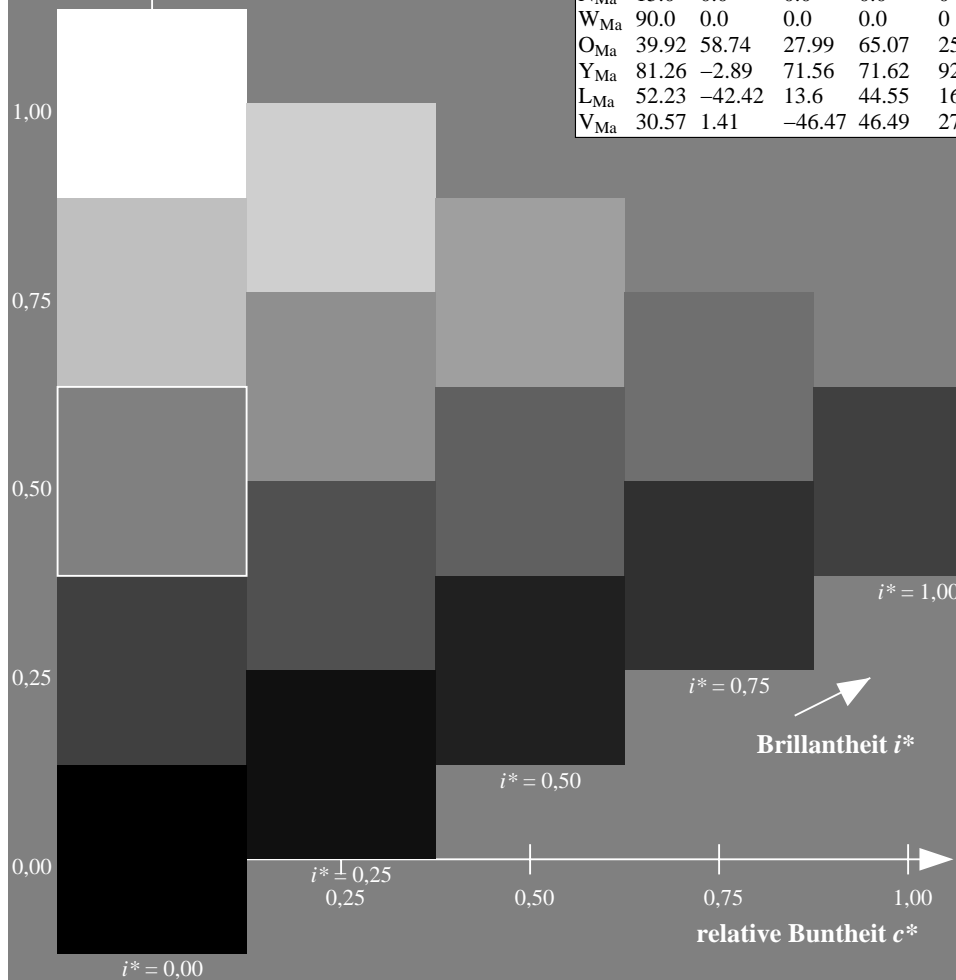
%Regularität

$g^*_{H,rel} = 31$

$g^*_{C,rel} = 40$

FRS15_90a; adaptierte CIELAB-Daten

u^*_d	$L^*=L^*_a$	a^*_a	b^*_a	$C^*_{ab,a}$	$h^*_{ab,a}$	u^*_e
o00y	38.8	53.92	39.68	66.95	36	r16j
o25y	47.46	42.34	51.25	66.48	50	r37j
o50y	56.54	30.2	63.39	70.22	65	r58j
o75y	67.39	15.68	77.9	79.47	79	r79j
y00l	82.58	-4.64	98.22	98.33	93	j01g
y25l	70.85	-21.66	80.19	83.07	105	j18g
y50l	61.91	-34.63	66.45	74.93	118	j36g
y75l	54.24	-45.77	54.66	71.29	130	j53g
l00c	46.95	-56.34	43.46	71.15	142	j71g
l50c	51.91	-36.84	-3.21	36.98	185	g21b
c00v	54.62	-26.2	-28.68	38.85	228	g60b
c50v	42.22	-0.61	-37.35	37.36	269	g97b
v00m	20.01	45.2	-52.87	69.56	311	b34r
v50m	29.93	57.31	-42.0	71.05	324	b45r
m00o	40.88	70.68	-29.99	76.78	337	b57r
m50o	39.77	61.72	7.23	62.15	7	b83r



Ein und Ausgabe: Farbmetrisches Drucker-Reflektiv-System FRS15_90a für relativen CIELAB-Buntton $h^* = lab^*h^* = h_{ab}/360 = 0.179$

Daten für jede Farbe:

lab^*tch^* und lab^*icu^*

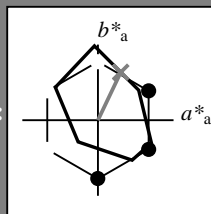
Bunttontexte:

$u^*_d = o50y$ $u^*_e = r58j$

Kontrastreduzierungsfaktor:

$c_R = 0.9$

Dreiecks-Helligkeit i^*



FRS15_90a; adaptierte CIELAB-Daten

u^*_d	$L^*=L^*_a$	a^*_a	b^*_a	$C^*_{ab,a}$	$h^*_{ab,a}$
O _{Ma}	38.8	53.92	39.68	66.95	36
Y _{Ma}	82.58	-4.64	98.22	98.33	93
L _{Ma}	46.95	-56.34	43.46	71.15	142
C _{Ma}	54.62	-26.2	-28.68	38.85	228
V _{Ma}	20.01	45.2	-52.87	69.56	311
M _{Ma}	40.88	70.68	-29.99	76.78	337
N _{Ma}	15.0	0.0	0.0	0.0	0
W _{Ma}	90.0	0.0	0.0	0.0	0
O _{Ma}	39.92	58.74	27.99	65.07	25
Y _{Ma}	81.26	-2.89	71.56	71.62	92
L _{Ma}	52.23	-42.42	13.6	44.55	162
V _{Ma}	30.57	1.41	-46.47	46.49	272

Daten für Maximalfarbe (Ma):

LAB^*LAB^*Ma : 57 30 63

LAB^*LCH^*Ma : 57 70 64

lab^*olv^*Ma : 1.0 0.5 0.0

lab^*rgb^*Ma : 1.0 0.58 0.0

Dreiecks-Helligkeit i^*

%Umfang

$u^*_{rel} = 88$

%Regularität

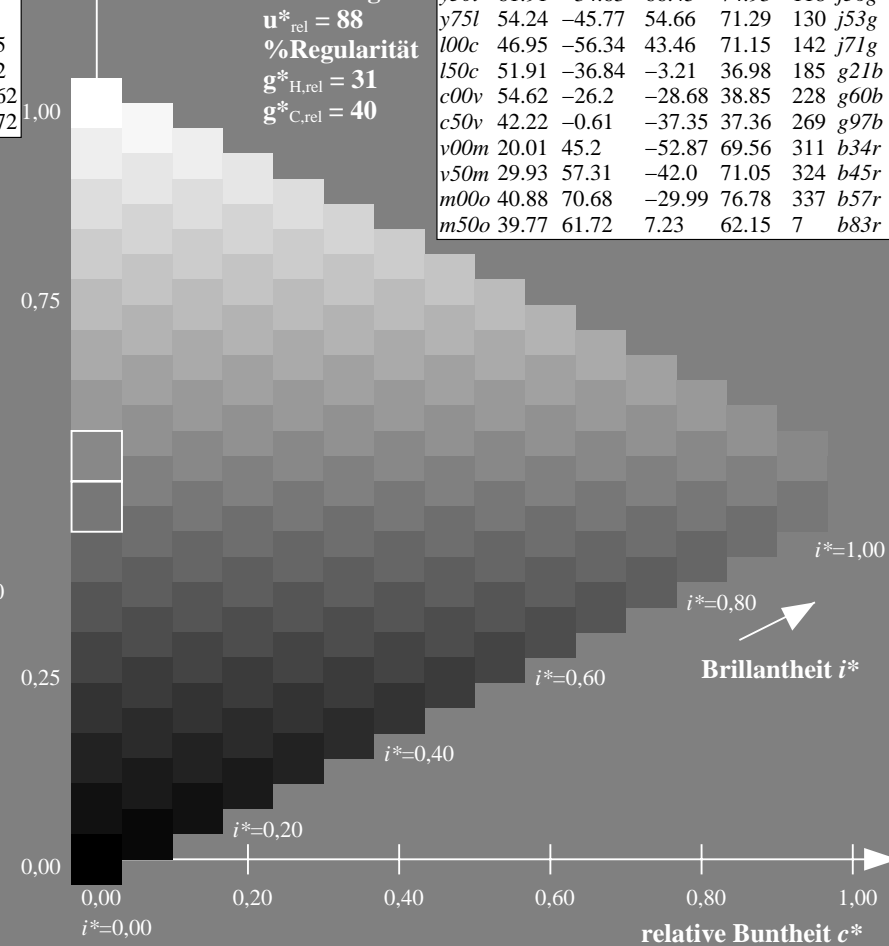
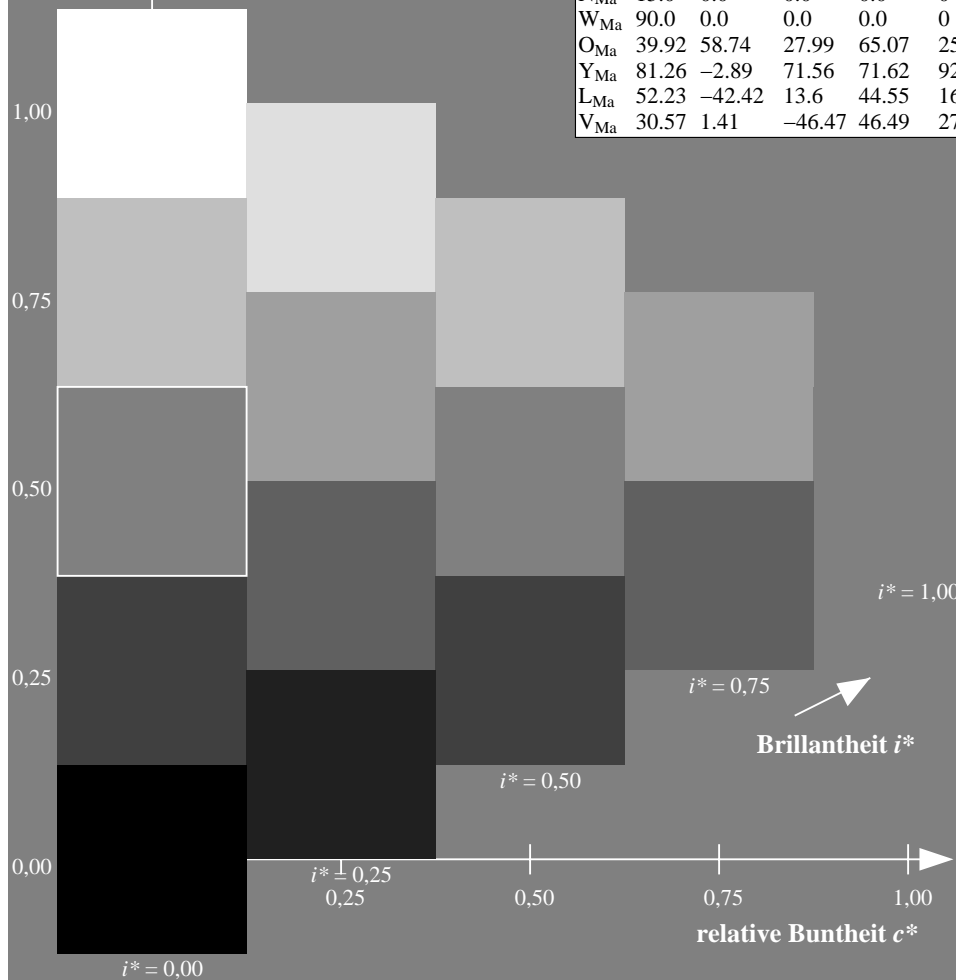
$g^*_{H,rel} = 31$

$g^*_{C,rel} = 40$

FRS15_90a; adaptierte CIELAB-Daten

u^*_d	$L^*=L^*_a$	a^*_a	b^*_a	$C^*_{ab,a}$	$h^*_{ab,a}$	u^*_e
o00y	38.8	53.92	39.68	66.95	36	r16j
o25y	47.46	42.34	51.25	66.48	50	r37j
o50y	56.54	30.2	63.39	70.22	65	r58j
o75y	67.39	15.68	77.9	79.47	79	r79j
y00l	82.58	-4.64	98.22	98.33	93	j01g
y25l	70.85	-21.66	80.19	83.07	105	j18g
y50l	61.91	-34.63	66.45	74.93	118	j36g
y75l	54.24	-45.77	54.66	71.29	130	j53g
l00c	46.95	-56.34	43.46	71.15	142	j71g
l50c	51.91	-36.84	-3.21	36.98	185	g21b
c00v	54.62	-26.2	-28.68	38.85	228	g60b
c50v	42.22	-0.61	-37.35	37.36	269	g97b
v00m	20.01	45.2	-52.87	69.56	311	b34r
v50m	29.93	57.31	-42.0	71.05	324	b45r
m00o	40.88	70.68	-29.99	76.78	337	b57r
m50o	39.77	61.72	7.23	62.15	7	b83r

$u^*_d = o50y$



Ein und Ausgabe: Farbmétrisches Drucker-Reflektiv-System FRS15_90a für relativen CIELAB-Buntton $h^* = lab^*h^* = h_{ab}/360 = 0.218$

Daten für jede Farbe:

*lab*tch** und *lab*icu**

Bunttexte:

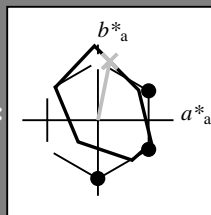
$$u_d^* = 0.75y \quad u_e^* = 0.79j$$

Kontrastreduzierungsfaktor:

 $c_R = 0.9$

Dreiecks-Helligkeit t^*

Breeds Malignant:



FRS15_90a; adaptierte CIELAB-Daten						
u^*_d	$L^*=L^*_a$	a^*_a	b^*_a	$C^*_{ab,a}$	$h^*_{ab,a}$	
O _{Ma}	38.8	53.92	39.68	66.95	36	
Y _{Ma}	82.58	-4.64	98.22	98.33	93	
L _{Ma}	46.95	-56.34	43.46	71.15	142	
C _{Ma}	54.62	-26.2	-28.68	38.85	228	
V _{Ma}	20.01	45.2	-52.87	69.56	311	
M _{Ma}	40.88	70.68	-29.99	76.78	337	
N _{Ma}	15.0	0.0	0.0	0.0	0	
W _{Ma}	90.0	0.0	0.0	0.0	0	
O _{Ma}	39.92	58.74	27.99	65.07	25	
Y _{Ma}	81.26	-2.89	71.56	71.62	92	
L _{Ma}	52.23	-42.42	13.6	44.55	162	
V _{Ma}	30.57	1.41	-46.47	46.49	272	

Daten für Maximalfarbe (Ma):

*LAB*LAB*Mo: 67 16 78*

LAD*LCII* 67 70 70

LAB*LCH*Ma: 6/ 79 78

*lab*olv**Ma: 1.0 0.75 0.0

*lab*rgb*Ma: 1.0 0.8 0.0

Dreiecks-Helligkeit t^*

Brokens Remington

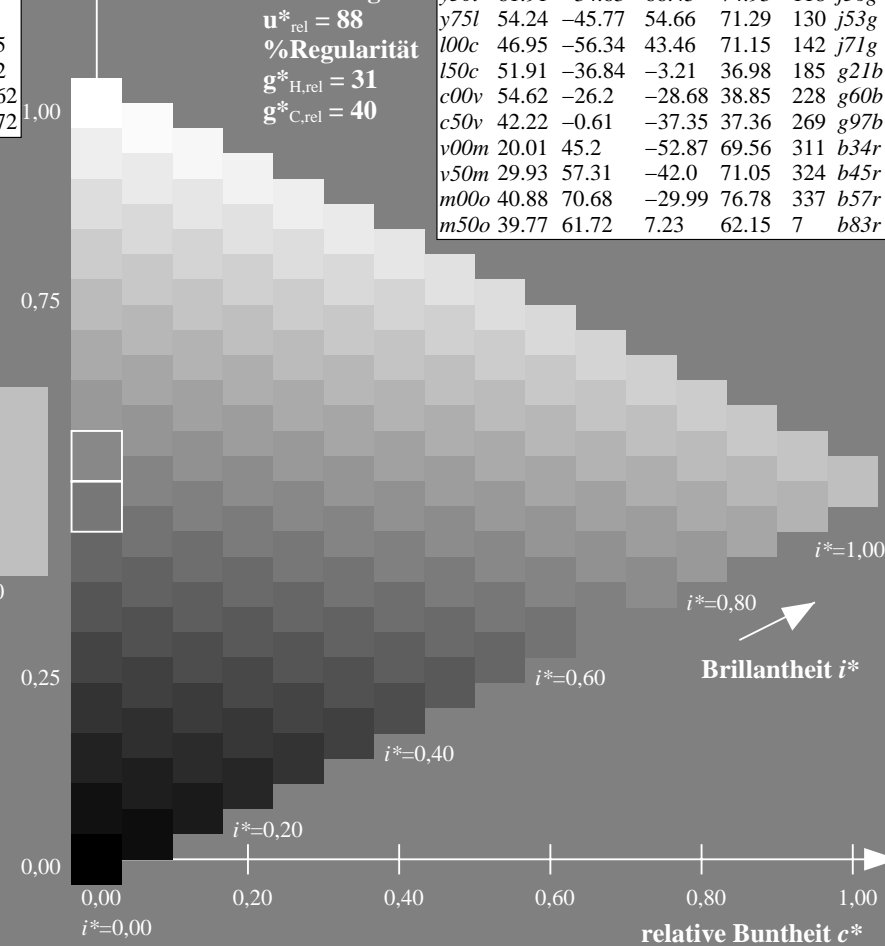
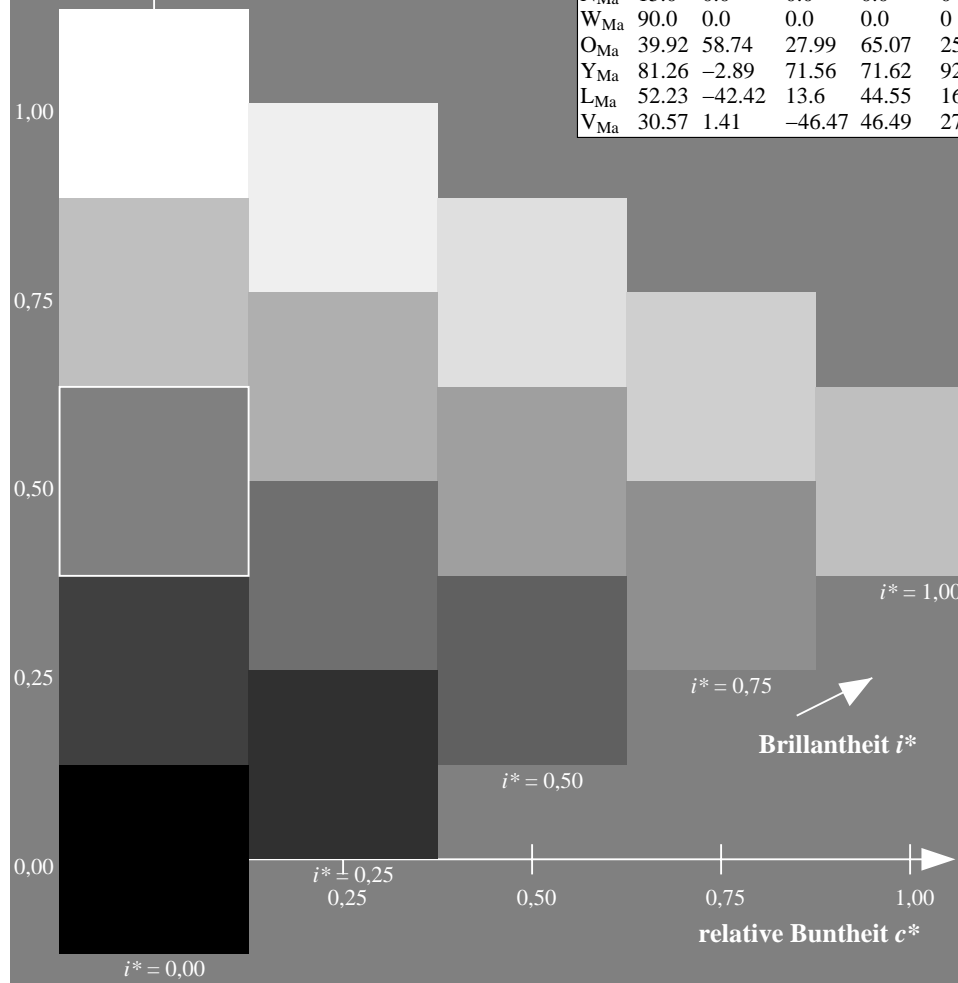
%Umfang

$$\mathbf{u}_{\text{rel}}^* = 88$$

%Regular

$$g^*_{H,rel} = 31$$
$$g^*_{C,rel} = 40$$

FRS15_90a; adaptierte CIELAB-Daten							
u_d^*	$L^*=L_a^*$	a_a^*	b_a^*	$C^*_{ab,a}$	$h^*_{ab,a}$	u_e^*	
<i>o00y</i>	38.8	53.92	39.68	66.95	36	<i>r16j</i>	
<i>o25y</i>	47.46	42.34	51.25	66.48	50	<i>r37j</i>	
<i>o50y</i>	56.54	30.2	63.39	70.22	65	<i>r58j</i>	
<i>o75y</i>	67.39	15.68	77.9	79.47	79	<i>r79j</i>	
<i>y00l</i>	82.58	-4.64	98.22	98.33	93	<i>j01g</i>	
<i>y25l</i>	70.85	-21.66	80.19	83.07	105	<i>j18g</i>	
<i>y50l</i>	61.91	-34.63	66.45	74.93	118	<i>j36g</i>	
<i>y75l</i>	54.24	-45.77	54.66	71.29	130	<i>j53g</i>	
<i>l00c</i>	46.95	-56.34	43.46	71.15	142	<i>j71g</i>	
<i>l50c</i>	51.91	-36.84	-3.21	36.98	185	<i>g21b</i>	
<i>c00v</i>	54.62	-26.2	-28.68	38.85	228	<i>g60b</i>	
<i>c50v</i>	42.22	-0.61	-37.35	37.36	269	<i>g97b</i>	
<i>v00m</i>	20.01	45.2	-52.87	69.56	311	<i>b34r</i>	
<i>v50m</i>	29.93	57.31	-42.0	71.05	324	<i>b45r</i>	
<i>m00o</i>	40.88	70.68	-29.99	76.78	337	<i>b57r</i>	
<i>m50o</i>	39.77	61.72	7.23	62.15	7	<i>b83r</i>	



Ein und Ausgabe: Farbmetrisches Drucker-Reflektiv-System FRS15_90a für relativen CIELAB-Buntton $h^* = lab^*h^* = h_{ab}/360 = 0.258$

Daten für jede Farbe:

lab^*ch^* und lab^*icu^*

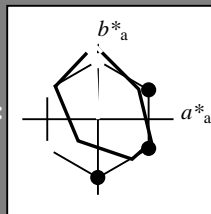
Bunttontexte:

$u^*_d = y00l$ $u^*_e = j01g$

Kontrastreduzierungsfaktor:

$c_R = 0.9$

Dreiecks-Helligkeit i^*



FRS15_90a; adaptierte CIELAB-Daten

u^*_d	$L^*=L^*_a$	a^*_a	b^*_a	$C^*_{ab,a}$	$h^*_{ab,a}$
O _{Ma}	38.8	53.92	39.68	66.95	36
Y _{Ma}	82.58	-4.64	98.22	98.33	93
L _{Ma}	46.95	-56.34	43.46	71.15	142
C _{Ma}	54.62	-26.2	-28.68	38.85	228
V _{Ma}	20.01	45.2	-52.87	69.56	311
M _{Ma}	40.88	70.68	-29.99	76.78	337
N _{Ma}	15.0	0.0	0.0	0.0	0
W _{Ma}	90.0	0.0	0.0	0.0	0
O _{Ma}	39.92	58.74	27.99	65.07	25
Y _{Ma}	81.26	-2.89	71.56	71.62	92
L _{Ma}	52.23	-42.42	13.6	44.55	162
V _{Ma}	30.57	1.41	-46.47	46.49	272

Daten für Maximalfarbe (Ma):

LAB^*LAB^*Ma : 83 -5 98

LAB^*LCH^*Ma : 83 98 92

lab^*olv^*Ma : 1.0 1.0 0.0

lab^*rgb^*Ma : 0.99 1.0 0.0

Dreiecks-Helligkeit i^*

%Umfang

$u^*_{rel} = 88$

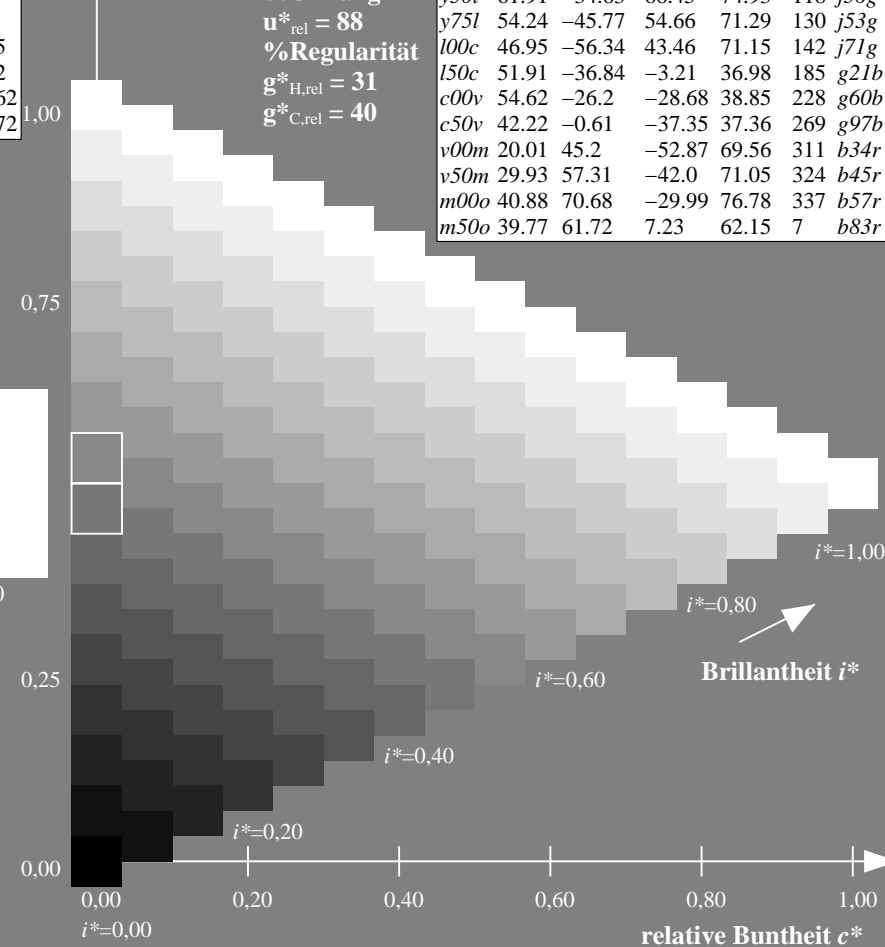
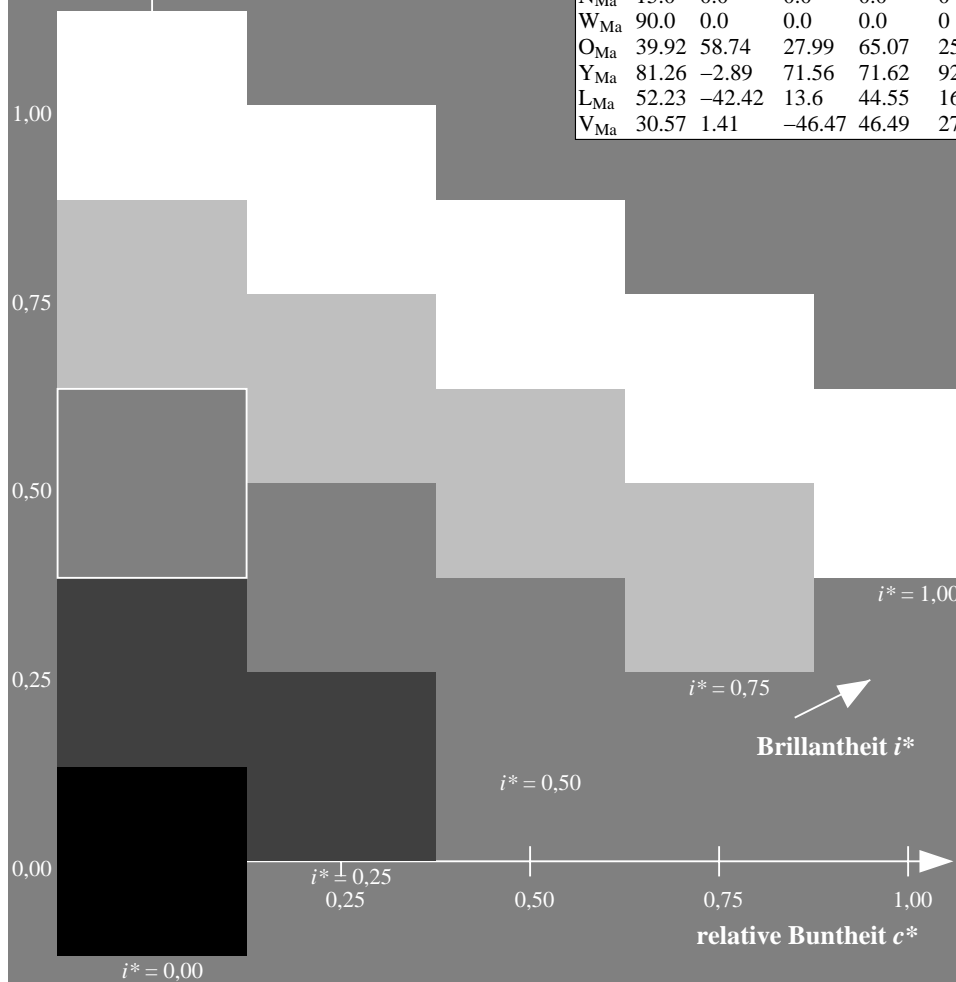
%Regularität

$g^*_{H,rel} = 31$

$g^*_{C,rel} = 40$

FRS15_90a; adaptierte CIELAB-Daten

u^*_d	$L^*=L^*_a$	a^*_a	b^*_a	$C^*_{ab,a}$	$h^*_{ab,a}$	u^*_e
o00y	38.8	53.92	39.68	66.95	36	r16j
o25y	47.46	42.34	51.25	66.48	50	r37j
o50y	56.54	30.2	63.39	70.22	65	r58j
o75y	67.39	15.68	77.9	79.47	79	r79j
y00l	82.58	-4.64	98.22	98.33	93	j01g
y25l	70.85	-21.66	80.19	83.07	105	j18g
y50l	61.91	-34.63	66.45	74.93	118	j36g
y75l	54.24	-45.77	54.66	71.29	130	j53g
l00c	46.95	-56.34	43.46	71.15	142	j71g
l50c	51.91	-36.84	-3.21	36.98	185	g21b
c00v	54.62	-26.2	-28.68	38.85	228	g60b
c50v	42.22	-0.61	-37.35	37.36	269	g97b
v00m	20.01	45.2	-52.87	69.56	311	b34r
v50m	29.93	57.31	-42.0	71.05	324	b45r
m00o	40.88	70.68	-29.99	76.78	337	b57r
m50o	39.77	61.72	7.23	62.15	7	b83r



Ein und Ausgabe: Farbmetrisches Drucker-Reflektiv-System FRS15_90a für relativen CIELAB-Buntton $h^* = lab^*h^* = h_{ab}/360 = 0.292$

Daten für jede Farbe:

lab^*tch^* und lab^*icu^*

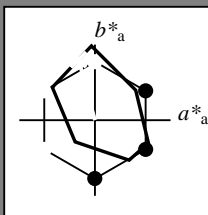
Bunttontexte:

$u^*_d = y25l$ $u^*_e = j18g$

Kontrastreduzierungsfaktor:

$c_R = 0.9$

Dreiecks-Helligkeit i^*



FRS15_90a; adaptierte CIELAB-Daten

u^*_d	$L^*=L^*_a$	a^*_a	b^*_a	$C^*_{ab,a}$	$h^*_{ab,a}$
O _{Ma}	38.8	53.92	39.68	66.95	36
Y _{Ma}	82.58	-4.64	98.22	98.33	93
L _{Ma}	46.95	-56.34	43.46	71.15	142
C _{Ma}	54.62	-26.2	-28.68	38.85	228
V _{Ma}	20.01	45.2	-52.87	69.56	311
M _{Ma}	40.88	70.68	-29.99	76.78	337
N _{Ma}	15.0	0.0	0.0	0.0	0
W _{Ma}	90.0	0.0	0.0	0.0	0
O _{Ma}	39.92	58.74	27.99	65.07	25
Y _{Ma}	81.26	-2.89	71.56	71.62	92
L _{Ma}	52.23	-42.42	13.6	44.55	162
V _{Ma}	30.57	1.41	-46.47	46.49	272

Daten für Maximalfarbe (Ma):

$LAB^*LAB^*_{Ma}$: 71 -22 80

$LAB^*LCH^*_{Ma}$: 71 83 105

$lab^*olv^*_{Ma}$: 0.75 1.0 0.0

$lab^*rgb^*_{Ma}$: 0.82 1.0 0.0

Dreiecks-Helligkeit i^*

%Umfang

$u^*_{rel} = 88$

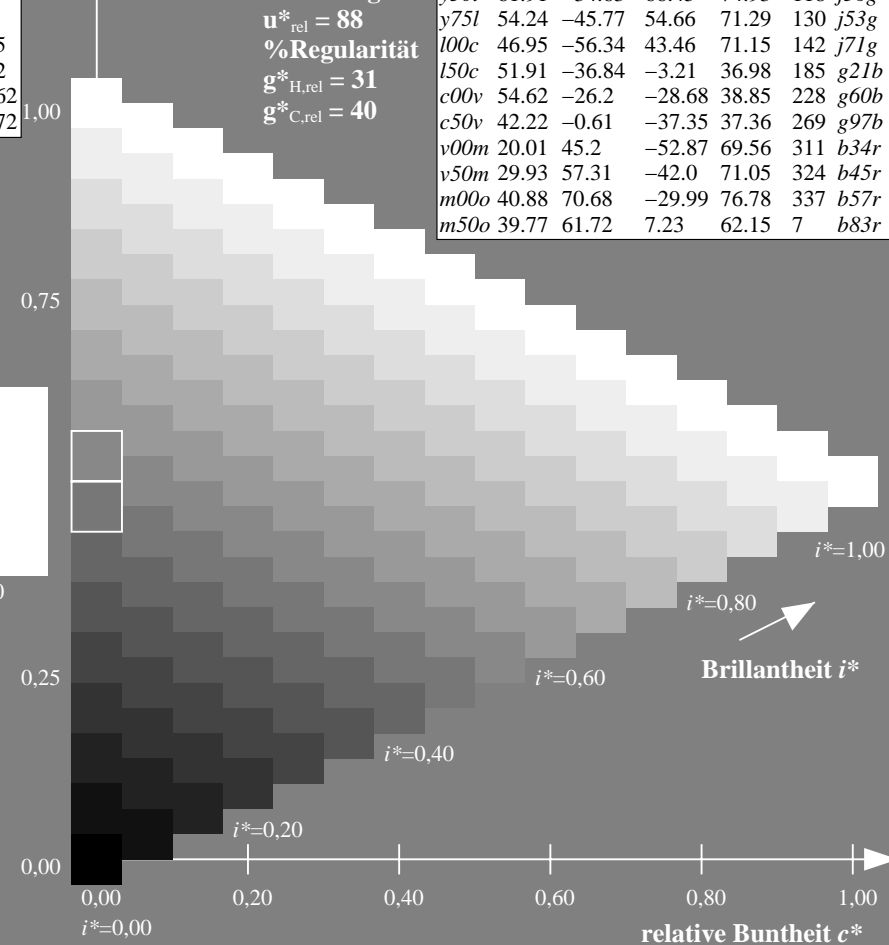
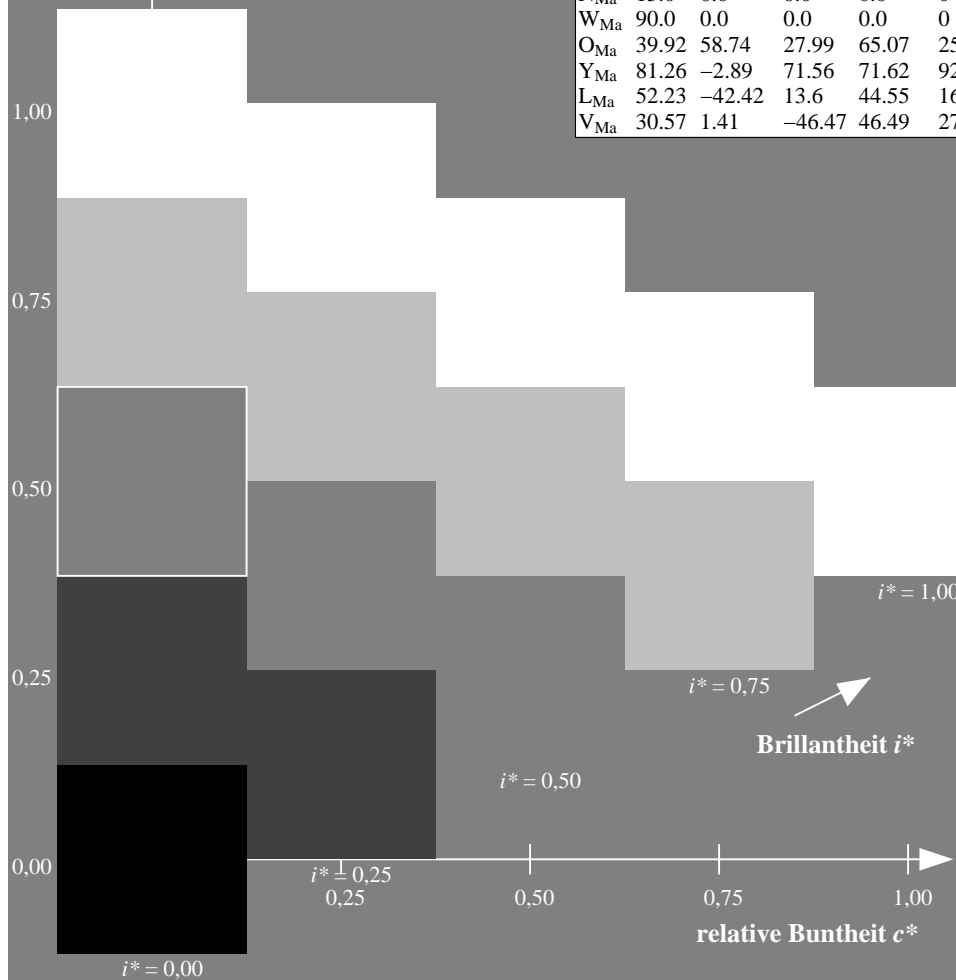
%Regularität

$g^*_{H,rel} = 31$

$g^*_{C,rel} = 40$

FRS15_90a; adaptierte CIELAB-Daten

u^*_d	$L^*=L^*_a$	a^*_a	b^*_a	$C^*_{ab,a}$	$h^*_{ab,a}$	u^*_e
o00y	38.8	53.92	39.68	66.95	36	r16j
o25y	47.46	42.34	51.25	66.48	50	r37j
o50y	56.54	30.2	63.39	70.22	65	r58j
o75y	67.39	15.68	77.9	79.47	79	r79j
y00l	82.58	-4.64	98.22	98.33	93	j01g
y25l	70.85	-21.66	80.19	83.07	105	j18g
y50l	61.91	-34.63	66.45	74.93	118	j36g
y75l	54.24	-45.77	54.66	71.29	130	j53g
l00c	46.95	-56.34	43.46	71.15	142	j71g
l50c	51.91	-36.84	-3.21	36.98	185	g21b
c00v	54.62	-26.2	-28.68	38.85	228	g60b
c50v	42.22	-0.61	-37.35	37.36	269	g97b
v00m	20.01	45.2	-52.87	69.56	311	b34r
v50m	29.93	57.31	-42.0	71.05	324	b45r
m00o	40.88	70.68	-29.99	76.78	337	b57r
m50o	39.77	61.72	7.23	62.15	7	b83r



Ein und Ausgabe: Farbmetrisches Drucker-Reflektiv-System FRS15_90a für relativen CIELAB-Buntton $h^* = lab^*h^* = h_{ab}/360 = 0.326$

Daten für jede Farbe:

lab^*ch^* und lab^*icu^*

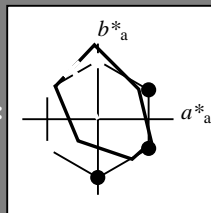
Bunttontexte:

$u^*_d = y50l$ $u^*_e = j36g$

Kontrastreduzierungsfaktor:

$c_R = 0.9$

Dreiecks-Helligkeit i^*



FRS15_90a; adaptierte CIELAB-Daten

u^*_d	$L^*=L^*_a$	a^*_a	b^*_a	$C^*_{ab,a}$	$h^*_{ab,a}$
O _{Ma}	38.8	53.92	39.68	66.95	36
Y _{Ma}	82.58	-4.64	98.22	98.33	93
L _{Ma}	46.95	-56.34	43.46	71.15	142
C _{Ma}	54.62	-26.2	-28.68	38.85	228
V _{Ma}	20.01	45.2	-52.87	69.56	311
M _{Ma}	40.88	70.68	-29.99	76.78	337
N _{Ma}	15.0	0.0	0.0	0.0	0
W _{Ma}	90.0	0.0	0.0	0.0	0
O _{Ma}	39.92	58.74	27.99	65.07	25
Y _{Ma}	81.26	-2.89	71.56	71.62	92
L _{Ma}	52.23	-42.42	13.6	44.55	162
V _{Ma}	30.57	1.41	-46.47	46.49	272

Daten für Maximalfarbe (Ma):

LAB^*LAB^*Ma : 62 -35 66

LAB^*LCH^*Ma : 62 75 117

lab^*olv^*Ma : 0.5 1.0 0.0

lab^*rgb^*Ma : 0.64 1.0 0.0

Dreiecks-Helligkeit i^*

%Umfang

$u^*_{rel} = 88$

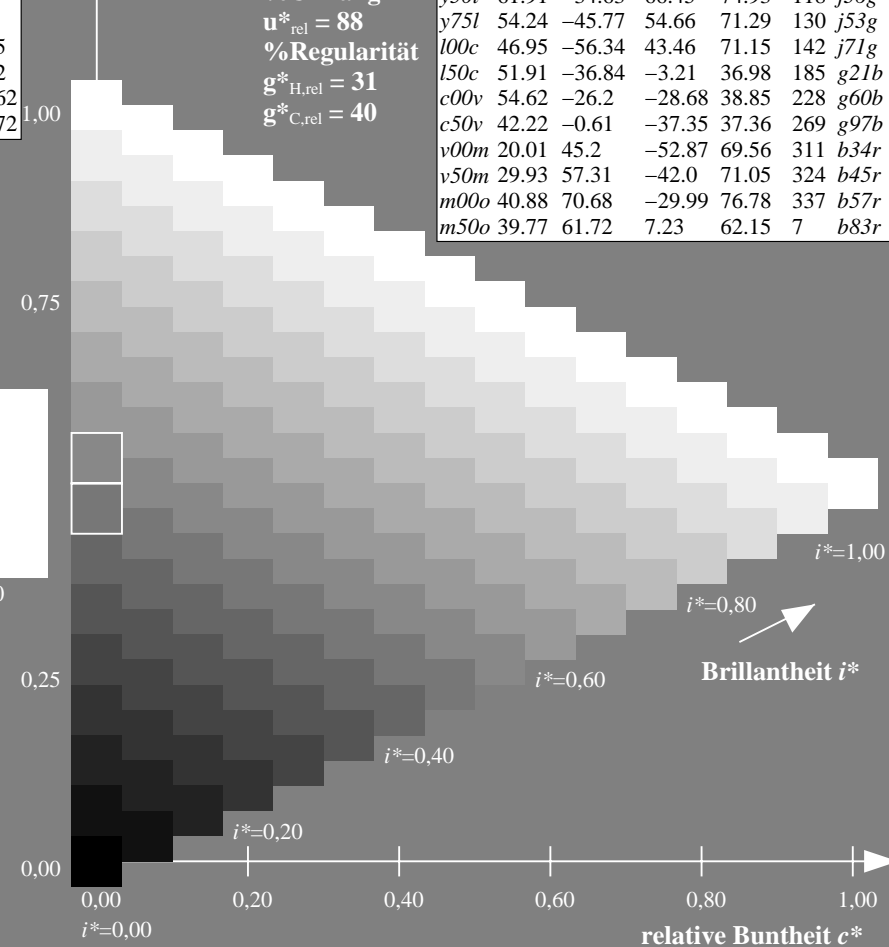
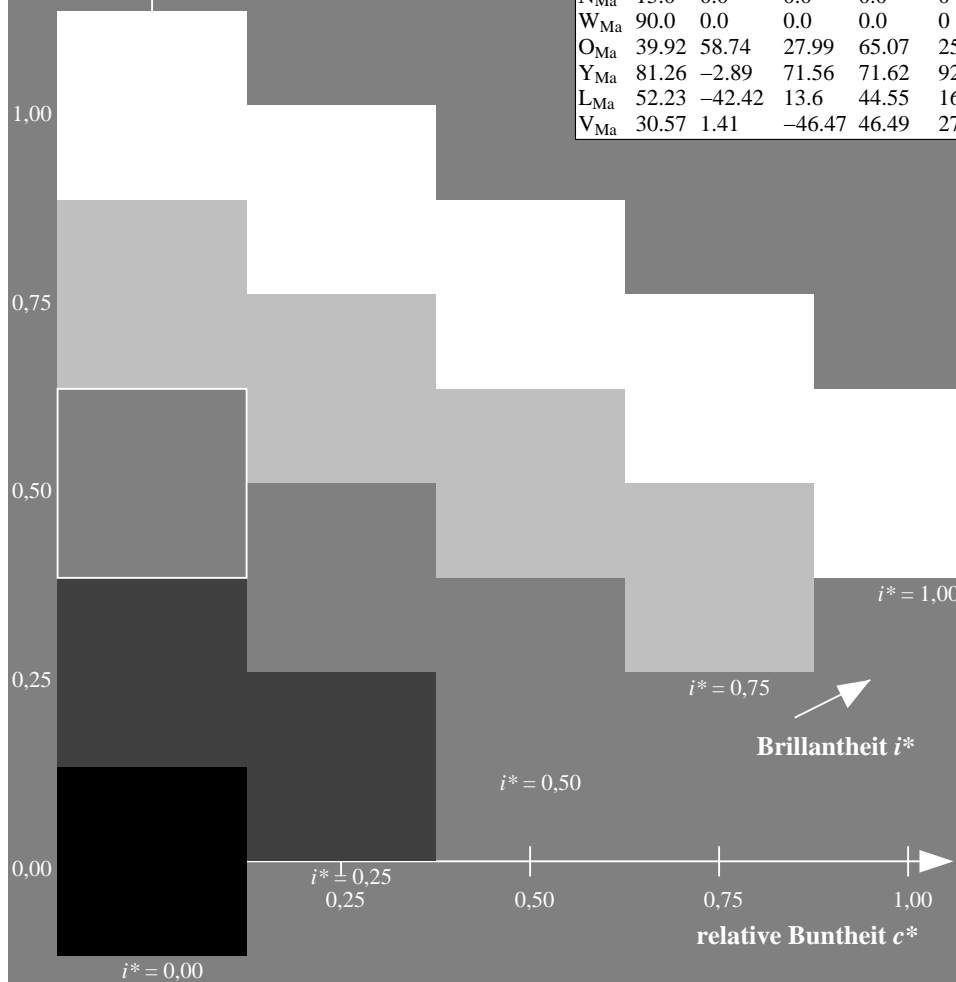
%Regularität

$g^*_{H,rel} = 31$

$g^*_{C,rel} = 40$

FRS15_90a; adaptierte CIELAB-Daten

u^*_d	$L^*=L^*_a$	a^*_a	b^*_a	$C^*_{ab,a}$	$h^*_{ab,a}$	u^*_e
o00y	38.8	53.92	39.68	66.95	36	r16j
o25y	47.46	42.34	51.25	66.48	50	r37j
o50y	56.54	30.2	63.39	70.22	65	r58j
o75y	67.39	15.68	77.9	79.47	79	r79j
y00l	82.58	-4.64	98.22	98.33	93	j01g
y25l	70.85	-21.66	80.19	83.07	105	j18g
y50l	61.91	-34.63	66.45	74.93	118	j36g
y75l	54.24	-45.77	54.66	71.29	130	j53g
l00c	46.95	-56.34	43.46	71.15	142	j71g
l50c	51.91	-36.84	-3.21	36.98	185	g21b
c00v	54.62	-26.2	-28.68	38.85	228	g60b
c50v	42.22	-0.61	-37.35	37.36	269	g97b
v00m	20.01	45.2	-52.87	69.56	311	b34r
v50m	29.93	57.31	-42.0	71.05	324	b45r
m00o	40.88	70.68	-29.99	76.78	337	b57r
m50o	39.77	61.72	7.23	62.15	7	b83r



Ein und Ausgabe: Farbmetrisches Drucker-Reflektiv-System FRS15_90a für relativen CIELAB-Buntton $h^* = lab^*h^* = h_{ab}/360 = 0.361$

Daten für jede Farbe:

lab^*tch^* und lab^*icu^*

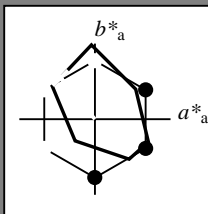
Bunttontexte:

$u^*_d = y75l$ $u^*_e = j53g$

Kontrastreduzierungsfaktor:

$c_R = 0.9$

Dreiecks-Helligkeit i^*



FRS15_90a; adaptierte CIELAB-Daten

u^*_d	$L^*=L^*_a$	a^*_a	b^*_a	$C^*_{ab,a}$	$h^*_{ab,a}$
O _{Ma}	38.8	53.92	39.68	66.95	36
Y _{Ma}	82.58	-4.64	98.22	98.33	93
L _{Ma}	46.95	-56.34	43.46	71.15	142
C _{Ma}	54.62	-26.2	-28.68	38.85	228
V _{Ma}	20.01	45.2	-52.87	69.56	311
M _{Ma}	40.88	70.68	-29.99	76.78	337
N _{Ma}	15.0	0.0	0.0	0.0	0
W _{Ma}	90.0	0.0	0.0	0.0	0
O _{Ma}	39.92	58.74	27.99	65.07	25
Y _{Ma}	81.26	-2.89	71.56	71.62	92
L _{Ma}	52.23	-42.42	13.6	44.55	162
V _{Ma}	30.57	1.41	-46.47	46.49	272

Daten für Maximalfarbe (Ma):

$LAB^*LAB^*_{Ma}$: 54 -46 55

$LAB^*LCH^*_{Ma}$: 54 71 129

$lab^*olv^*_{Ma}$: 0.25 1.0 0.0

$lab^*rgb^*_{Ma}$: 0.46 1.0 0.0

Dreiecks-Helligkeit i^*

%Umfang

$u^*_{rel} = 88$

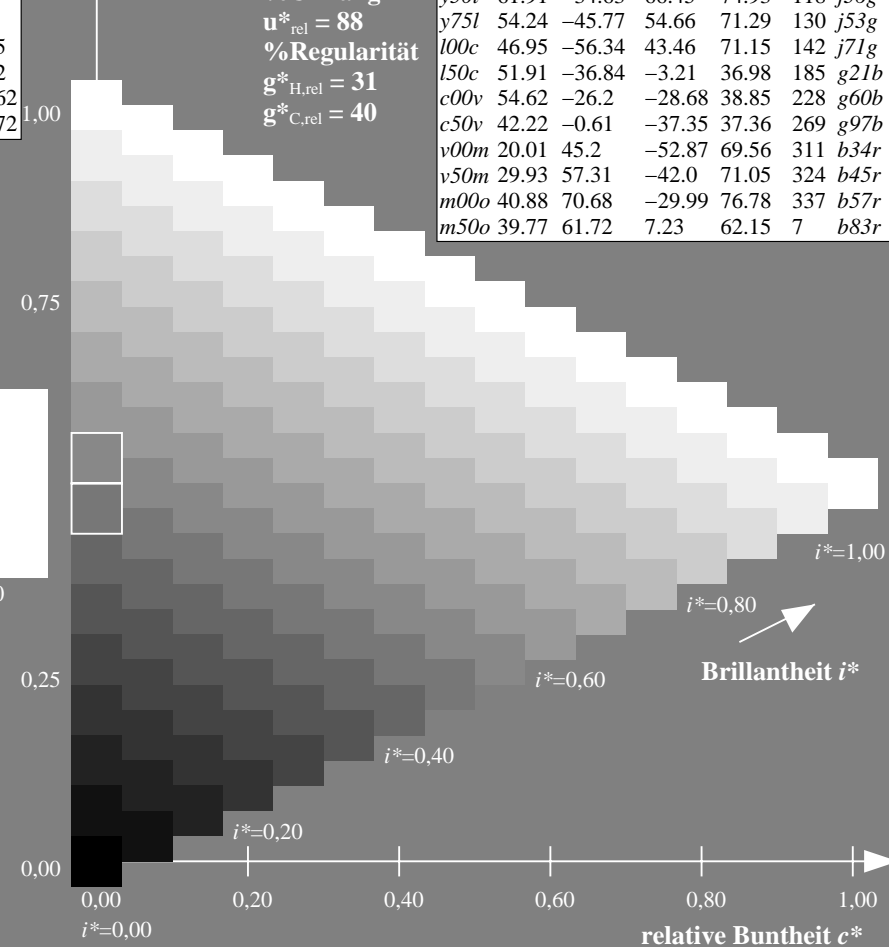
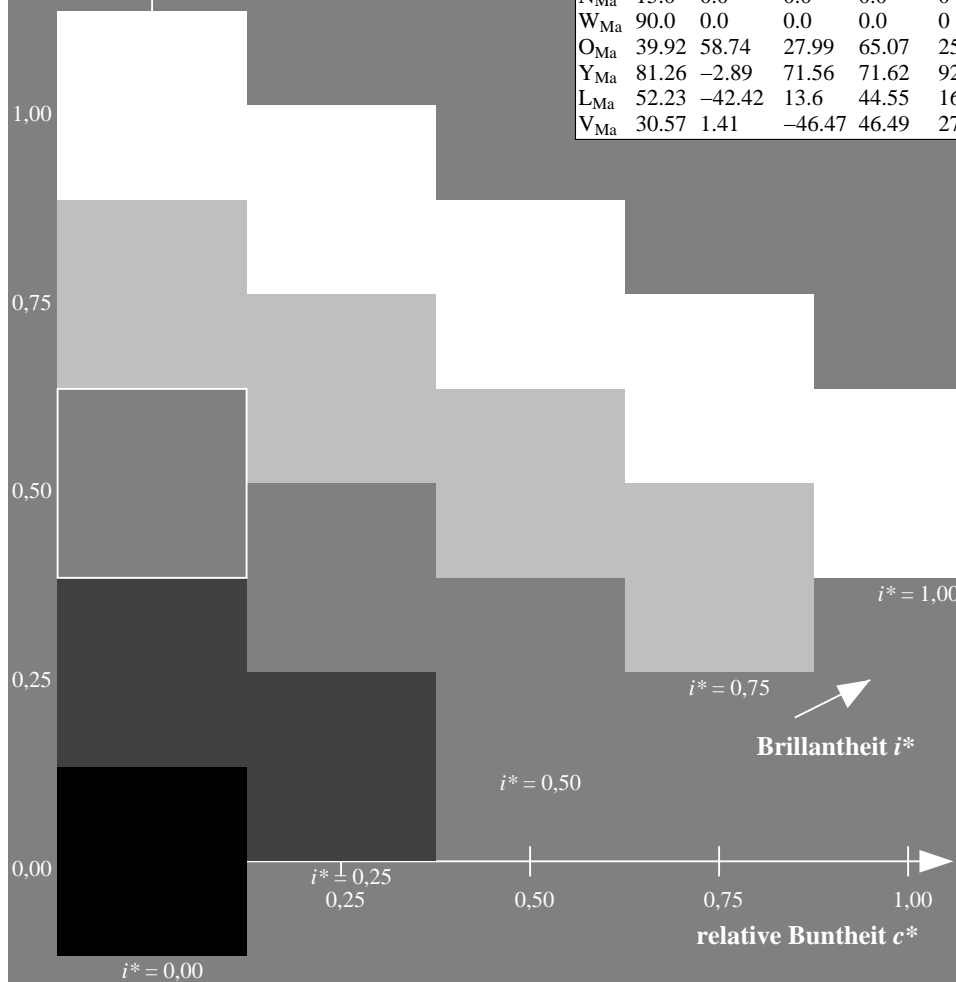
%Regularität

$g^*_{H,rel} = 31$

$g^*_{C,rel} = 40$

FRS15_90a; adaptierte CIELAB-Daten

u^*_d	$L^*=L^*_a$	a^*_a	b^*_a	$C^*_{ab,a}$	$h^*_{ab,a}$	u^*_e
o00y	38.8	53.92	39.68	66.95	36	r16j
o25y	47.46	42.34	51.25	66.48	50	r37j
o50y	56.54	30.2	63.39	70.22	65	r58j
o75y	67.39	15.68	77.9	79.47	79	r79j
y00l	82.58	-4.64	98.22	98.33	93	j01g
y25l	70.85	-21.66	80.19	83.07	105	j18g
y50l	61.91	-34.63	66.45	74.93	118	j36g
y75l	54.24	-45.77	54.66	71.29	130	j53g
l00c	46.95	-56.34	43.46	71.15	142	j71g
l50c	51.91	-36.84	-3.21	36.98	185	g21b
c00v	54.62	-26.2	-28.68	38.85	228	g60b
c50v	42.22	-0.61	-37.35	37.36	269	g97b
v00m	20.01	45.2	-52.87	69.56	311	b34r
v50m	29.93	57.31	-42.0	71.05	324	b45r
m00o	40.88	70.68	-29.99	76.78	337	b57r
m50o	39.77	61.72	7.23	62.15	7	b83r



Ein und Ausgabe: Farbmetrisches Drucker-Reflektiv-System FRS15_90a für relativen CIELAB-Buntton $h^* = lab^*h^* = h_{ab}/360 = 0.395$

Daten für jede Farbe:

lab^*ch^* und lab^*icu^*

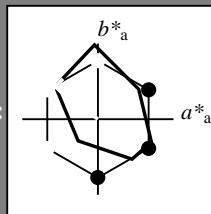
Bunttontexte:

$u^*_d = 100c$ $u^*_e = j71g$

Kontrastreduzierungsfaktor:

$c_R = 0.9$

Dreiecks-Helligkeit i^*



FRS15_90a; adaptierte CIELAB-Daten						
u^*_d	$L^*=L^*_a$	a^*_a	b^*_a	$C^*_{ab,a}$	$h^*_{ab,a}$	
O _{Ma}	38.8	53.92	39.68	66.95	36	
Y _{Ma}	82.58	-4.64	98.22	98.33	93	
L _{Ma}	46.95	-56.34	43.46	71.15	142	
C _{Ma}	54.62	-26.2	-28.68	38.85	228	
V _{Ma}	20.01	45.2	-52.87	69.56	311	
M _{Ma}	40.88	70.68	-29.99	76.78	337	
N _{Ma}	15.0	0.0	0.0	0.0	0	
W _{Ma}	90.0	0.0	0.0	0.0	0	
O _{Ma}	39.92	58.74	27.99	65.07	25	
Y _{Ma}	81.26	-2.89	71.56	71.62	92	
L _{Ma}	52.23	-42.42	13.6	44.55	162	
V _{Ma}	30.57	1.41	-46.47	46.49	272	

Daten für Maximalfarbe (Ma):

$LAB^*LAB^*_{Ma}$: 47 -56 43

$LAB^*LCH^*_{Ma}$: 47 71 142

$lab^*olv^*_{Ma}$: 0.0 1.0 0.0

$lab^*rgb^*_{Ma}$: 0.28 1.0 0.0

Dreiecks-Helligkeit i^*

%Umfang

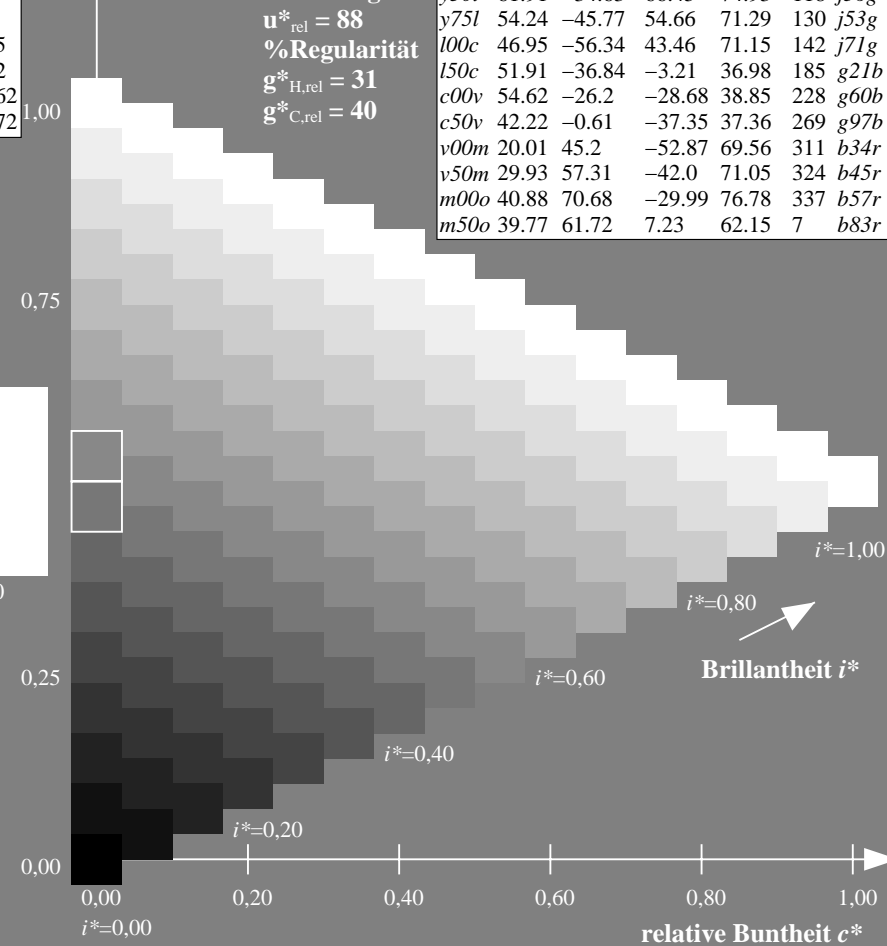
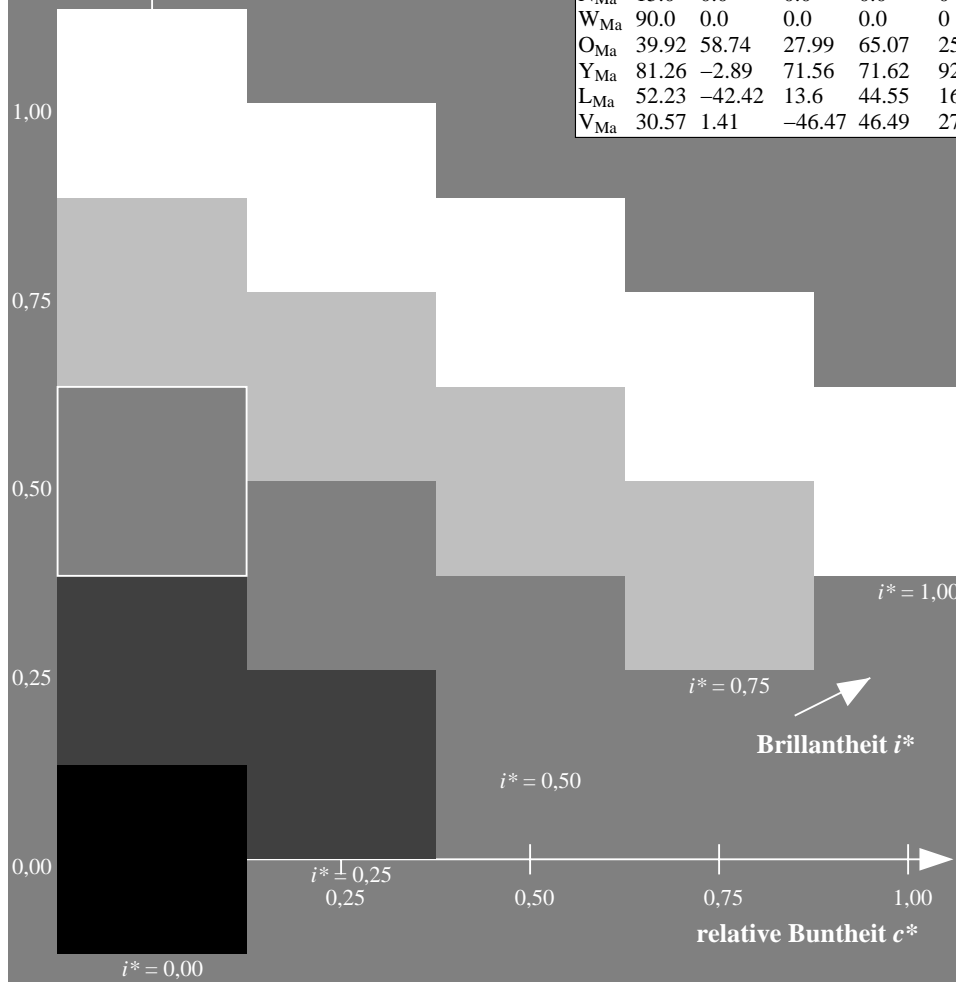
$u^*_{rel} = 88$

%Regularität

$g^*_{H,rel} = 31$

$g^*_{C,rel} = 40$

FRS15_90a; adaptierte CIELAB-Daten							
u^*_d	$L^*=L^*_a$	a^*_a	b^*_a	$C^*_{ab,a}$	$h^*_{ab,a}$	u^*_e	
o00y	38.8	53.92	39.68	66.95	36	r16j	
o25y	47.46	42.34	51.25	66.48	50	r37j	
o50y	56.54	30.2	63.39	70.22	65	r58j	
o75y	67.39	15.68	77.9	79.47	79	r79j	
y00l	82.58	-4.64	98.22	98.33	93	j01g	
y25l	70.85	-21.66	80.19	83.07	105	j18g	
y50l	61.91	-34.63	66.45	74.93	118	j36g	
y75l	54.24	-45.77	54.66	71.29	130	j53g	
l00c	46.95	-56.34	43.46	71.15	142	j71g	
l50c	51.91	-36.84	-3.21	36.98	185	g21b	
c00v	54.62	-26.2	-28.68	38.85	228	g60b	
c50v	42.22	-0.61	-37.35	37.36	269	g97b	
v00m	20.01	45.2	-52.87	69.56	311	b34r	
v50m	29.93	57.31	-42.0	71.05	324	b45r	
m00o	40.88	70.68	-29.99	76.78	337	b57r	
m50o	39.77	61.72	7.23	62.15	7	b83r	



Ein und Ausgabe: Farbmetrisches Drucker-Reflektiv-System FRS15_90a für relativen CIELAB-Buntton $h^* = lab^*h^* = h_{ab}/360 = 0.514$

Daten für jede Farbe:

lab^*tch^* und lab^*icu^*

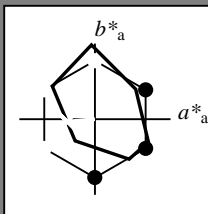
Bunttontexte:

$u^*_d = l50c$ $u^*_e = g21b$

Kontrastreduzierungsfaktor:

$c_R = 0.9$

Dreiecks-Helligkeit i^*



FRS15_90a; adaptierte CIELAB-Daten

u^*_d	$L^*=L^*_a$	a^*_a	b^*_a	$C^*_{ab,a}$	$h^*_{ab,a}$
O _{Ma}	38.8	53.92	39.68	66.95	36
Y _{Ma}	82.58	-4.64	98.22	98.33	93
L _{Ma}	46.95	-56.34	43.46	71.15	142
C _{Ma}	54.62	-26.2	-28.68	38.85	228
V _{Ma}	20.01	45.2	-52.87	69.56	311
M _{Ma}	40.88	70.68	-29.99	76.78	337
N _{Ma}	15.0	0.0	0.0	0.0	0
W _{Ma}	90.0	0.0	0.0	0.0	0
O _{Ma}	39.92	58.74	27.99	65.07	25
Y _{Ma}	81.26	-2.89	71.56	71.62	92
L _{Ma}	52.23	-42.42	13.6	44.55	162
V _{Ma}	30.57	1.41	-46.47	46.49	272

Daten für Maximalfarbe (Ma):

$LAB^*LAB^*_{Ma}$: 52 -37 -3

$LAB^*LCH^*_{Ma}$: 52 37 184

$lab^*olv^*_{Ma}$: 0.0 1.0 0.5

$lab^*rgb^*_{Ma}$: 0.0 1.0 0.42

Dreiecks-Helligkeit i^*

%Umfang

$u^*_{rel} = 88$

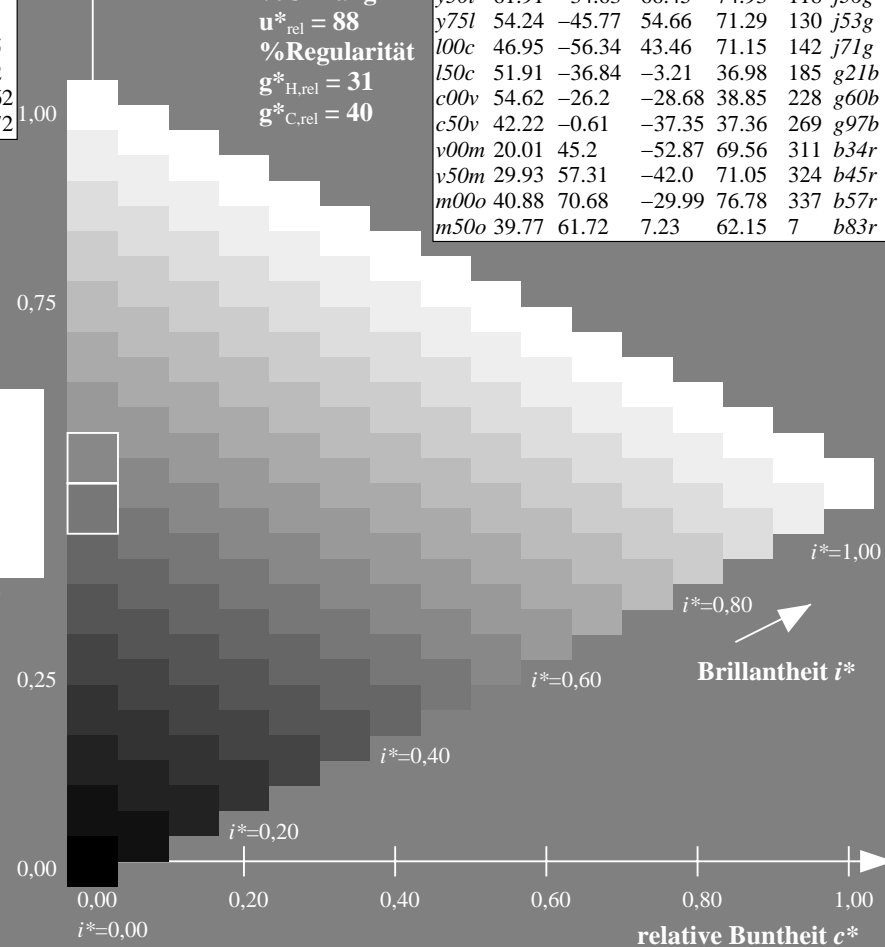
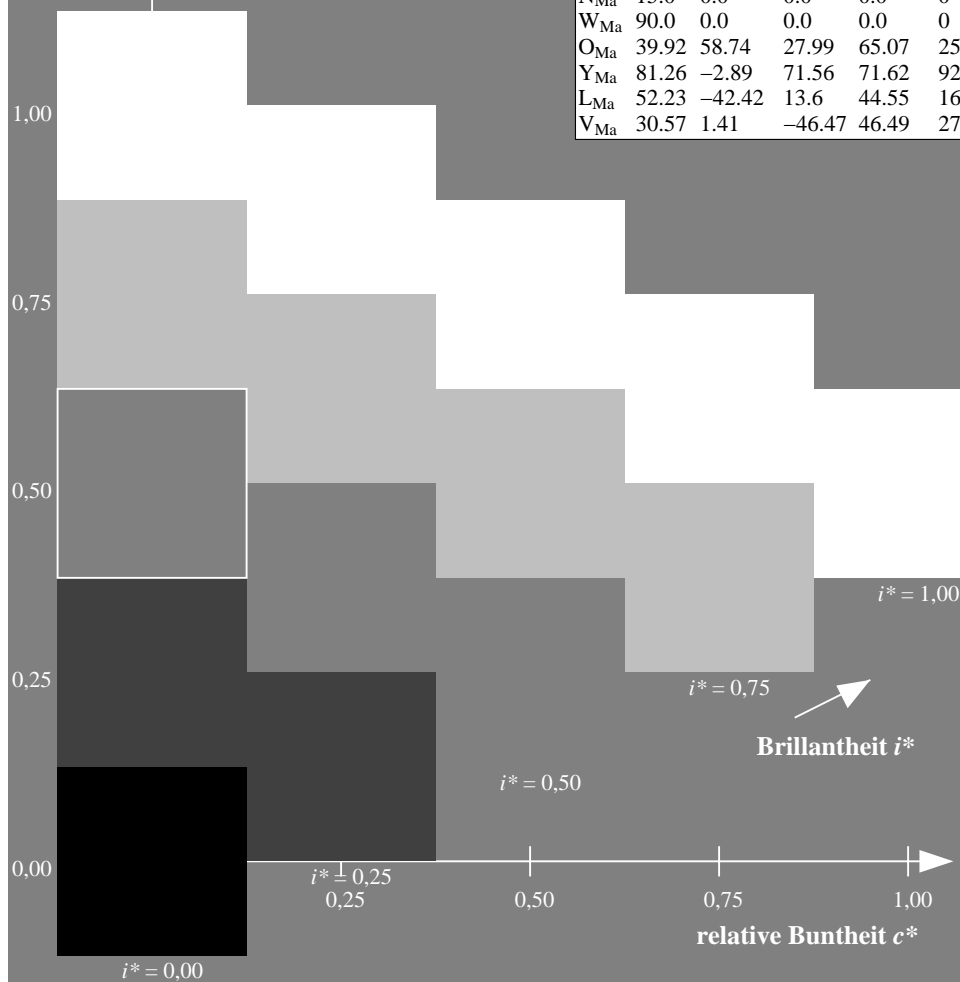
%Regularität

$g^*_{H,rel} = 31$

$g^*_{C,rel} = 40$

FRS15_90a; adaptierte CIELAB-Daten

u^*_d	$L^*=L^*_a$	a^*_a	b^*_a	$C^*_{ab,a}$	$h^*_{ab,a}$	u^*_e
o00y	38.8	53.92	39.68	66.95	36	r16j
o25y	47.46	42.34	51.25	66.48	50	r37j
o50y	56.54	30.2	63.39	70.22	65	r58j
o75y	67.39	15.68	77.9	79.47	79	r79j
y00l	82.58	-4.64	98.22	98.33	93	j01g
y25l	70.85	-21.66	80.19	83.07	105	j18g
y50l	61.91	-34.63	66.45	74.93	118	j36g
y75l	54.24	-45.77	54.66	71.29	130	j53g
l00c	46.95	-56.34	43.46	71.15	142	j71g
l50c	51.91	-36.84	-3.21	36.98	185	g21b
c00v	54.62	-26.2	-28.68	38.85	228	g60b
c50v	42.22	-0.61	-37.35	37.36	269	g97b
v00m	20.01	45.2	-52.87	69.56	311	b34r
v50m	29.93	57.31	-42.0	71.05	324	b45r
m00o	40.88	70.68	-29.99	76.78	337	b57r
m50o	39.77	61.72	7.23	62.15	7	b83r



Ein und Ausgabe: Farbmetrisches Drucker-Reflektiv-System FRS15_90a für relativen CIELAB-Buntton $h^* = lab^*h^* = h_{ab}/360 = 0.632$

Daten für jede Farbe:

lab^*ch^* und lab^*icu^*

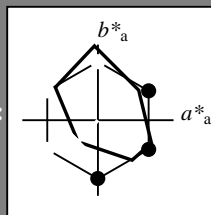
Bunttontexte:

$u^*_d = c00v$ $u^*_e = g60b$

Kontrastreduzierungsfaktor:

$c_R = 0.9$

Dreiecks-Helligkeit i^*



FRS15_90a; adaptierte CIELAB-Daten						
u^*_d	$L^*=L^*_a$	a^*_a	b^*_a	$C^*_{ab,a}$	$h^*_{ab,a}$	
O _{Ma}	38.8	53.92	39.68	66.95	36	
Y _{Ma}	82.58	-4.64	98.22	98.33	93	
L _{Ma}	46.95	-56.34	43.46	71.15	142	
C _{Ma}	54.62	-26.2	-28.68	38.85	228	
V _{Ma}	20.01	45.2	-52.87	69.56	311	
M _{Ma}	40.88	70.68	-29.99	76.78	337	
N _{Ma}	15.0	0.0	0.0	0.0	0	
W _{Ma}	90.0	0.0	0.0	0.0	0	
O _{Ma}	39.92	58.74	27.99	65.07	25	
Y _{Ma}	81.26	-2.89	71.56	71.62	92	
L _{Ma}	52.23	-42.42	13.6	44.55	162	
V _{Ma}	30.57	1.41	-46.47	46.49	272	

Daten für Maximalfarbe (Ma):

$LAB^*LAB^*_{Ma}$: 55 -26 -29

$LAB^*LCH^*_{Ma}$: 55 39 227

$lab^*olv^*_{Ma}$: 0.0 1.0 1.0

$lab^*rgb^*_{Ma}$: 0.0 0.81 1.0

Dreiecks-Helligkeit i^*

%Umfang

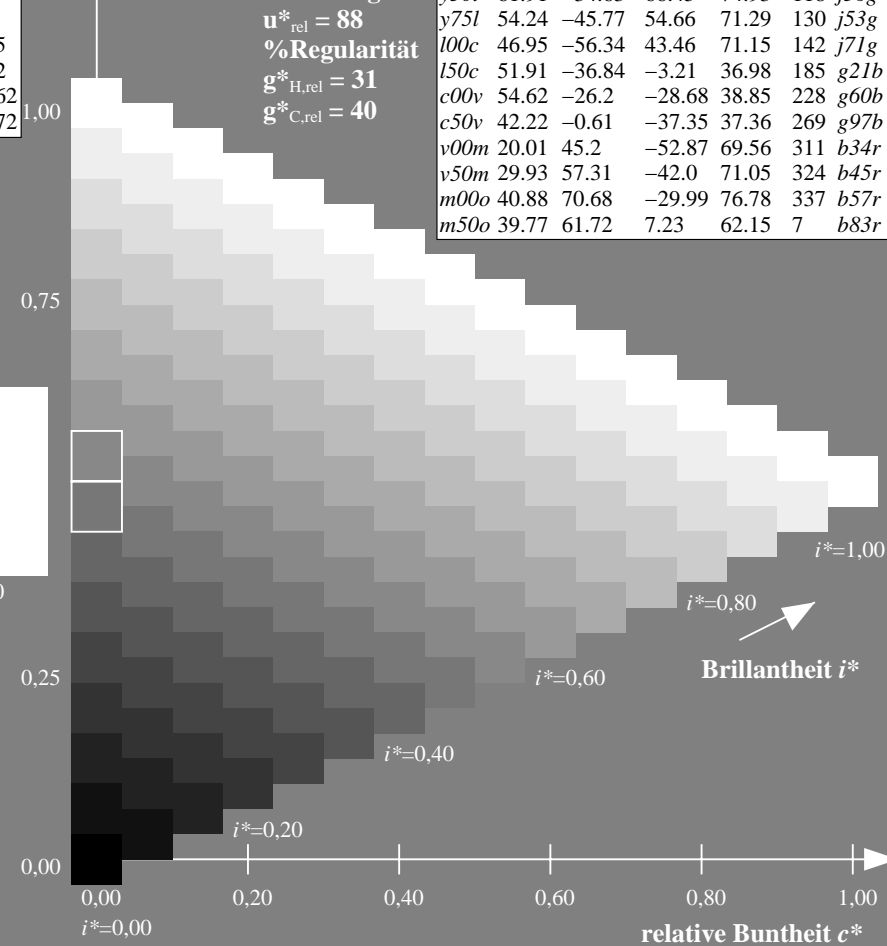
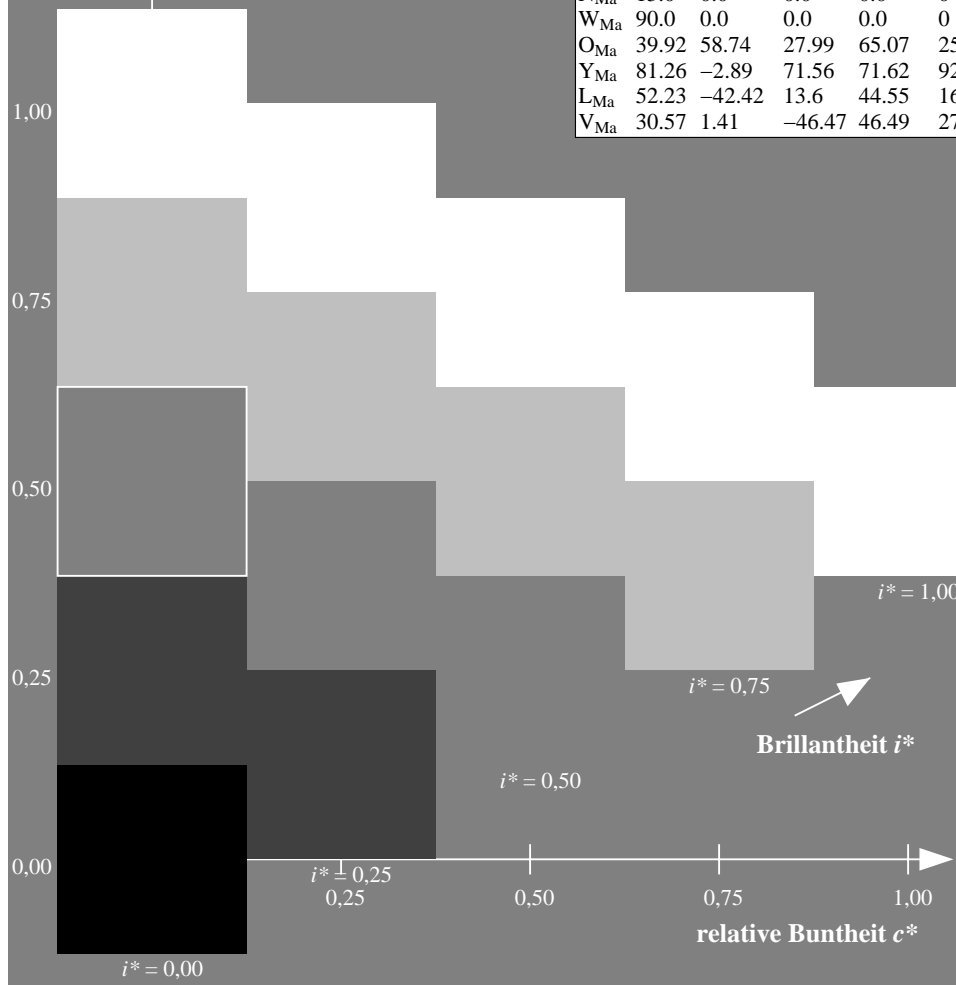
$u^*_{rel} = 88$

%Regularität

$g^*_{H,rel} = 31$

$g^*_{C,rel} = 40$

FRS15_90a; adaptierte CIELAB-Daten							
u^*_d	$L^*=L^*_a$	a^*_a	b^*_a	$C^*_{ab,a}$	$h^*_{ab,a}$	u^*_e	
o00y	38.8	53.92	39.68	66.95	36	r16j	
o25y	47.46	42.34	51.25	66.48	50	r37j	
o50y	56.54	30.2	63.39	70.22	65	r58j	
o75y	67.39	15.68	77.9	79.47	79	r79j	
y00l	82.58	-4.64	98.22	98.33	93	j01g	
y25l	70.85	-21.66	80.19	83.07	105	j18g	
y50l	61.91	-34.63	66.45	74.93	118	j36g	
y75l	54.24	-45.77	54.66	71.29	130	j53g	
l00c	46.95	-56.34	43.46	71.15	142	j71g	
l50c	51.91	-36.84	-3.21	36.98	185	g21b	
c00v	54.62	-26.2	-28.68	38.85	228	g60b	
c50v	42.22	-0.61	-37.35	37.36	269	g97b	
v00m	20.01	45.2	-52.87	69.56	311	b34r	
v50m	29.93	57.31	-42.0	71.05	324	b45r	
m00o	40.88	70.68	-29.99	76.78	337	b57r	
m50o	39.77	61.72	7.23	62.15	7	b83r	



Ein und Ausgabe: Farbmetrisches Drucker-Reflektiv-System FRS15_90a für relativen CIELAB-Buntton $h^* = lab^*h^* = h_{ab}/360 = 0.747$

Daten für jede Farbe:

lab^*tch^* und lab^*icu^*

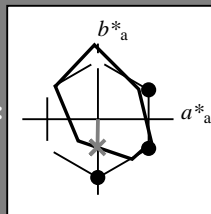
Bunttontexte:

$u^*_d = c50v$ $u^*_e = g97b$

Kontrastreduzierungsfaktor:

$c_R = 0.9$

Dreiecks-Helligkeit i^*



FRS15_90a; adaptierte CIELAB-Daten						
u^*_d	$L^*=L^*_a$	a^*_a	b^*_a	$C^*_{ab,a}$	$h^*_{ab,a}$	
O _{Ma}	38.8	53.92	39.68	66.95	36	
Y _{Ma}	82.58	-4.64	98.22	98.33	93	
L _{Ma}	46.95	-56.34	43.46	71.15	142	
C _{Ma}	54.62	-26.2	-28.68	38.85	228	
V _{Ma}	20.01	45.2	-52.87	69.56	311	
M _{Ma}	40.88	70.68	-29.99	76.78	337	
N _{Ma}	15.0	0.0	0.0	0.0	0	
W _{Ma}	90.0	0.0	0.0	0.0	0	
O _{Ma}	39.92	58.74	27.99	65.07	25	
Y _{Ma}	81.26	-2.89	71.56	71.62	92	
L _{Ma}	52.23	-42.42	13.6	44.55	162	
V _{Ma}	30.57	1.41	-46.47	46.49	272	

Daten für Maximalfarbe (Ma):

LAB^*LAB^*Ma : 42 -1 -37

LAB^*LCH^*Ma : 42 37 269

lab^*olv^*Ma : 0.0 0.5 1.0

lab^*rgb^*Ma : 0.0 0.05 1.0

Dreiecks-Helligkeit i^*

%Umfang

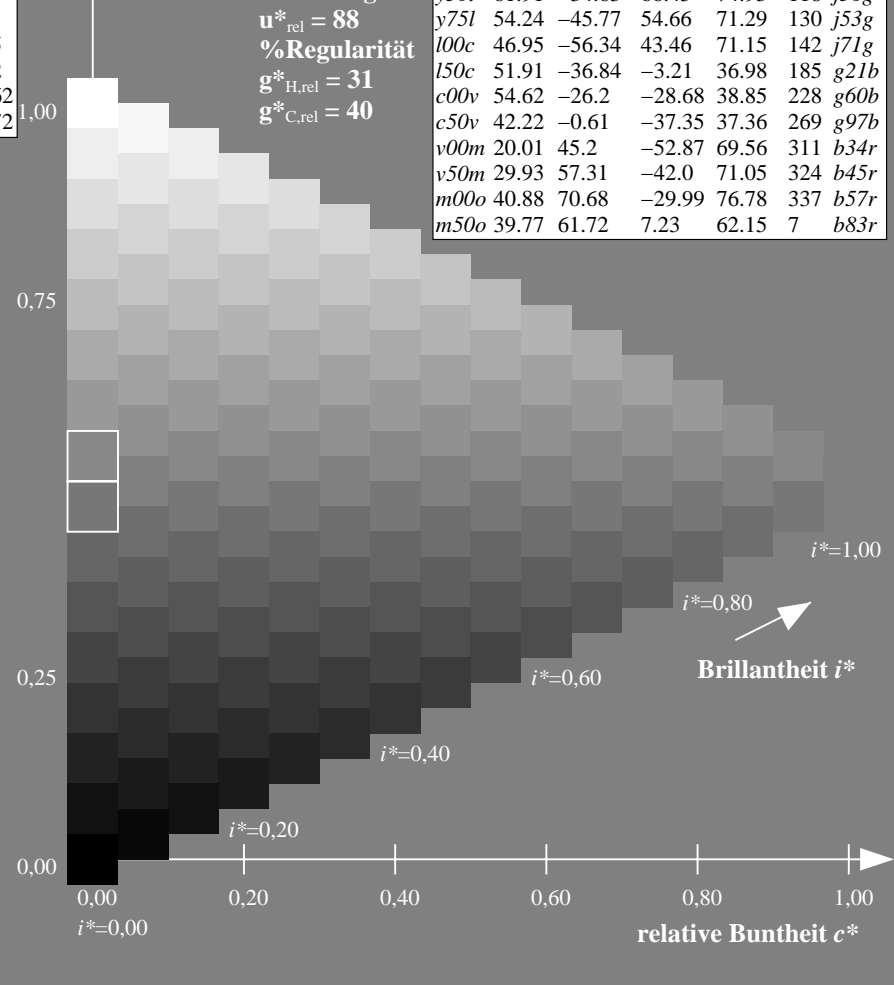
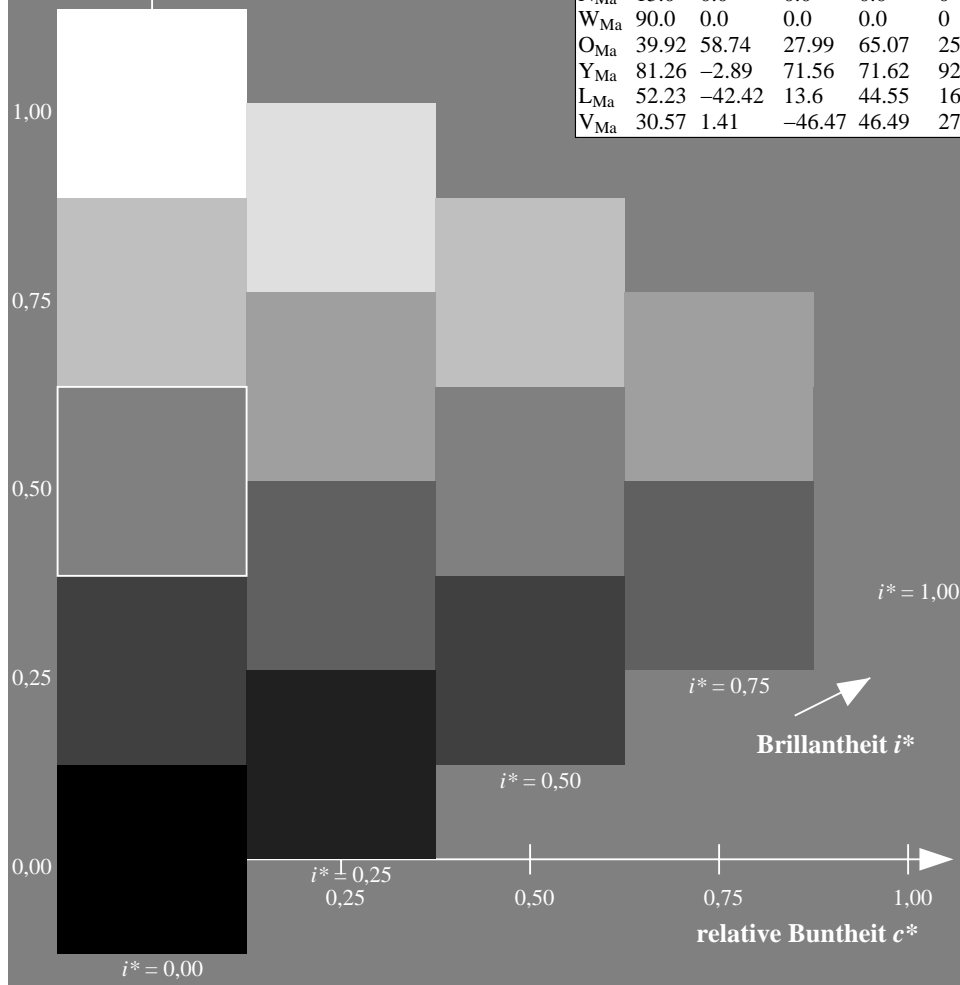
$u^*_{rel} = 88$

%Regularität

$g^*_{H,rel} = 31$

$g^*_{C,rel} = 40$

FRS15_90a; adaptierte CIELAB-Daten						
u^*_d	$L^*=L^*_a$	a^*_a	b^*_a	$C^*_{ab,a}$	$h^*_{ab,a}$	u^*_e
o00y	38.8	53.92	39.68	66.95	36	r16j
o25y	47.46	42.34	51.25	66.48	50	r37j
o50y	56.54	30.2	63.39	70.22	65	r58j
o75y	67.39	15.68	77.9	79.47	79	r79j
y00l	82.58	-4.64	98.22	98.33	93	j01g
y25l	70.85	-21.66	80.19	83.07	105	j18g
y50l	61.91	-34.63	66.45	74.93	118	j36g
y75l	54.24	-45.77	54.66	71.29	130	j53g
l00c	46.95	-56.34	43.46	71.15	142	j71g
l50c	51.91	-36.84	-3.21	36.98	185	g21b
c00v	54.62	-26.2	-28.68	38.85	228	g60b
c50v	42.22	-0.61	-37.35	37.36	269	g97b
v00m	20.01	45.2	-52.87	69.56	311	b34r
v50m	29.93	57.31	-42.0	71.05	324	b45r
m00o	40.88	70.68	-29.99	76.78	337	b57r
m50o	39.77	61.72	7.23	62.15	7	b83r



Ein und Ausgabe: Farbmetrisches Drucker-Reflektiv-System FRS15_90a für relativen CIELAB-Buntton $h^* = lab^*h^* = h_{ab}/360 = 0.863$

Daten für jede Farbe:

lab^*tch^* und lab^*icu^*

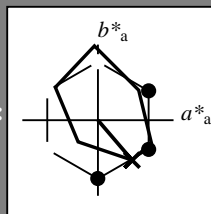
Bunttontexte:

$u^*_d = v00m$ $u^*_e = b34r$

Kontrastreduzierungsfaktor:

$c_R = 0.9$

Dreiecks-Helligkeit i^*



FRS15_90a; adaptierte CIELAB-Daten

u^*_d	$L^*=L^*_a$	a^*_a	b^*_a	$C^*_{ab,a}$	$h^*_{ab,a}$
O _{Ma}	38.8	53.92	39.68	66.95	36
Y _{Ma}	82.58	-4.64	98.22	98.33	93
L _{Ma}	46.95	-56.34	43.46	71.15	142
C _{Ma}	54.62	-26.2	-28.68	38.85	228
V _{Ma}	20.01	45.2	-52.87	69.56	311
M _{Ma}	40.88	70.68	-29.99	76.78	337
N _{Ma}	15.0	0.0	0.0	0.0	0
W _{Ma}	90.0	0.0	0.0	0.0	0
O _{Ma}	39.92	58.74	27.99	65.07	25
Y _{Ma}	81.26	-2.89	71.56	71.62	92
L _{Ma}	52.23	-42.42	13.6	44.55	162
V _{Ma}	30.57	1.41	-46.47	46.49	272

Daten für Maximalfarbe (Ma):

LAB^*LAB^*Ma : 20 45 -53

LAB^*LCH^*Ma : 20 70 310

lab^*olv^*Ma : 0.0 0.0 1.0

lab^*rgb^*Ma : 0.68 0.0 1.0

Dreiecks-Helligkeit i^*

%Umfang

$u^*_{rel} = 88$

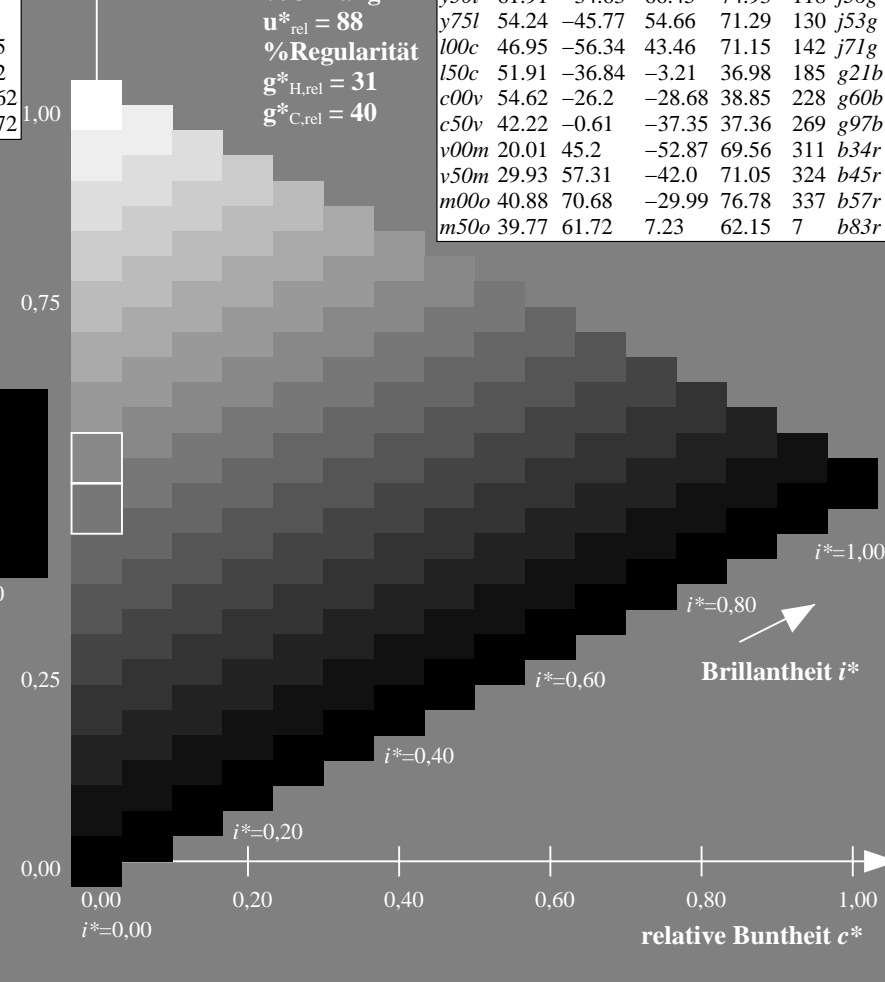
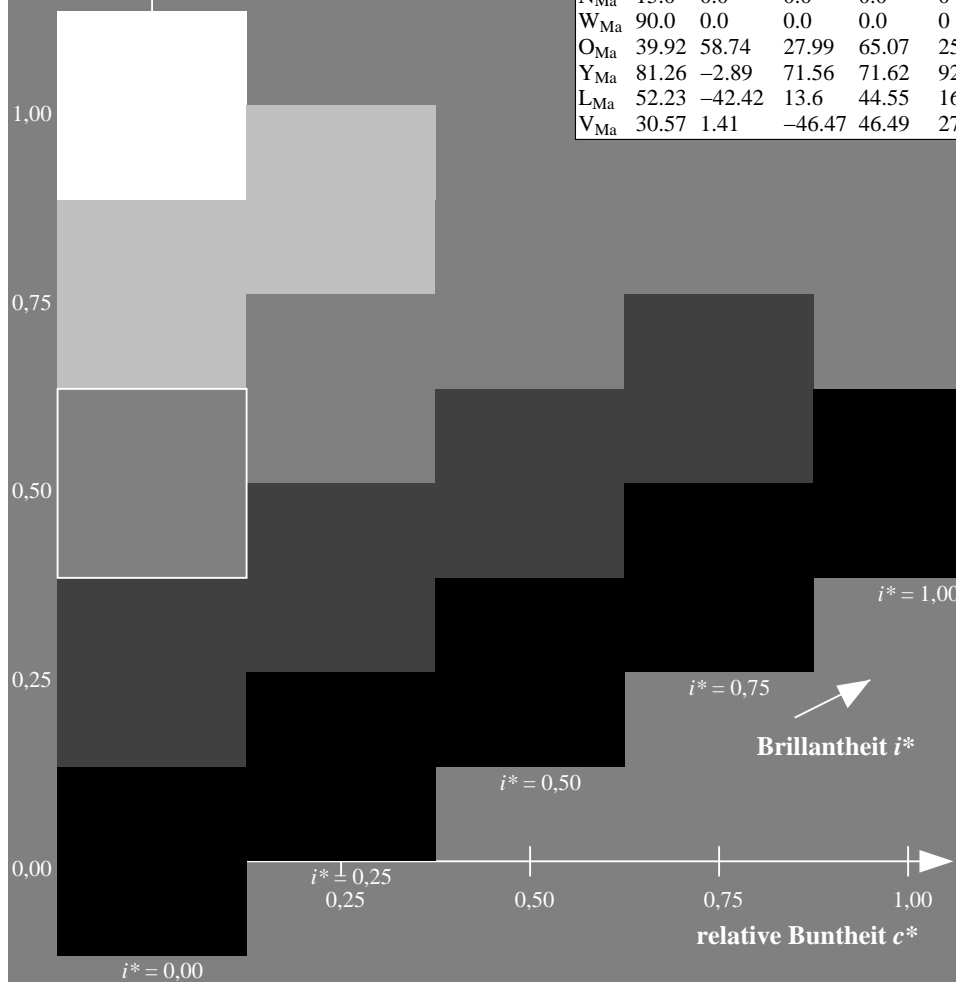
%Regularität

$g^*_{H,rel} = 31$

$g^*_{C,rel} = 40$

FRS15_90a; adaptierte CIELAB-Daten

u^*_d	$L^*=L^*_a$	a^*_a	b^*_a	$C^*_{ab,a}$	$h^*_{ab,a}$	u^*_e
o00y	38.8	53.92	39.68	66.95	36	r16j
o25y	47.46	42.34	51.25	66.48	50	r37j
o50y	56.54	30.2	63.39	70.22	65	r58j
o75y	67.39	15.68	77.9	79.47	79	r79j
y00l	82.58	-4.64	98.22	98.33	93	j01g
y25l	70.85	-21.66	80.19	83.07	105	j18g
y50l	61.91	-34.63	66.45	74.93	118	j36g
y75l	54.24	-45.77	54.66	71.29	130	j53g
l00c	46.95	-56.34	43.46	71.15	142	j71g
l50c	51.91	-36.84	-3.21	36.98	185	g21b
c00v	54.62	-26.2	-28.68	38.85	228	g60b
c50v	42.22	-0.61	-37.35	37.36	269	g97b
v00m	20.01	45.2	-52.87	69.56	311	b34r
v50m	29.93	57.31	-42.0	71.05	324	b45r
m00o	40.88	70.68	-29.99	76.78	337	b57r
m50o	39.77	61.72	7.23	62.15	7	b83r



Ein und Ausgabe: Farbmetrisches Drucker-Reflektiv-System FRS15_90a für relativen CIELAB-Buntton $h^* = lab^*h^* = h_{ab}/360 = 0.899$

Daten für jede Farbe:

lab^*tch^* und lab^*icu^*

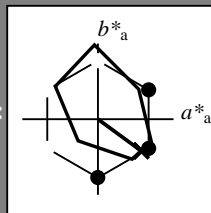
Bunttontexte:

$u^*_d = v50m$ $u^*_e = b45r$

Kontrastreduzierungsfaktor:

$c_R = 0.9$

Dreiecks-Helligkeit i^*



FRS15_90a; adaptierte CIELAB-Daten

u^*_d	$L^*=L^*_a$	a^*_a	b^*_a	$C^*_{ab,a}$	$h^*_{ab,a}$
O _{Ma}	38.8	53.92	39.68	66.95	36
Y _{Ma}	82.58	-4.64	98.22	98.33	93
L _{Ma}	46.95	-56.34	43.46	71.15	142
C _{Ma}	54.62	-26.2	-28.68	38.85	228
V _{Ma}	20.01	45.2	-52.87	69.56	311
M _{Ma}	40.88	70.68	-29.99	76.78	337
N _{Ma}	15.0	0.0	0.0	0.0	0
W _{Ma}	90.0	0.0	0.0	0.0	0
O _{Ma}	39.92	58.74	27.99	65.07	25
Y _{Ma}	81.26	-2.89	71.56	71.62	92
L _{Ma}	52.23	-42.42	13.6	44.55	162
V _{Ma}	30.57	1.41	-46.47	46.49	272

Daten für Maximalfarbe (Ma):

$LAB^*LAB^*_{Ma}$: 30 57 -42

$LAB^*LCH^*_{Ma}$: 30 71 323

$lab^*olv^*_{Ma}$: 0.5 0.0 1.0

$lab^*rgb^*_{Ma}$: 0.91 0.0 1.0

Dreiecks-Helligkeit i^*

%Umfang

$u^*_{rel} = 88$

%Regularität

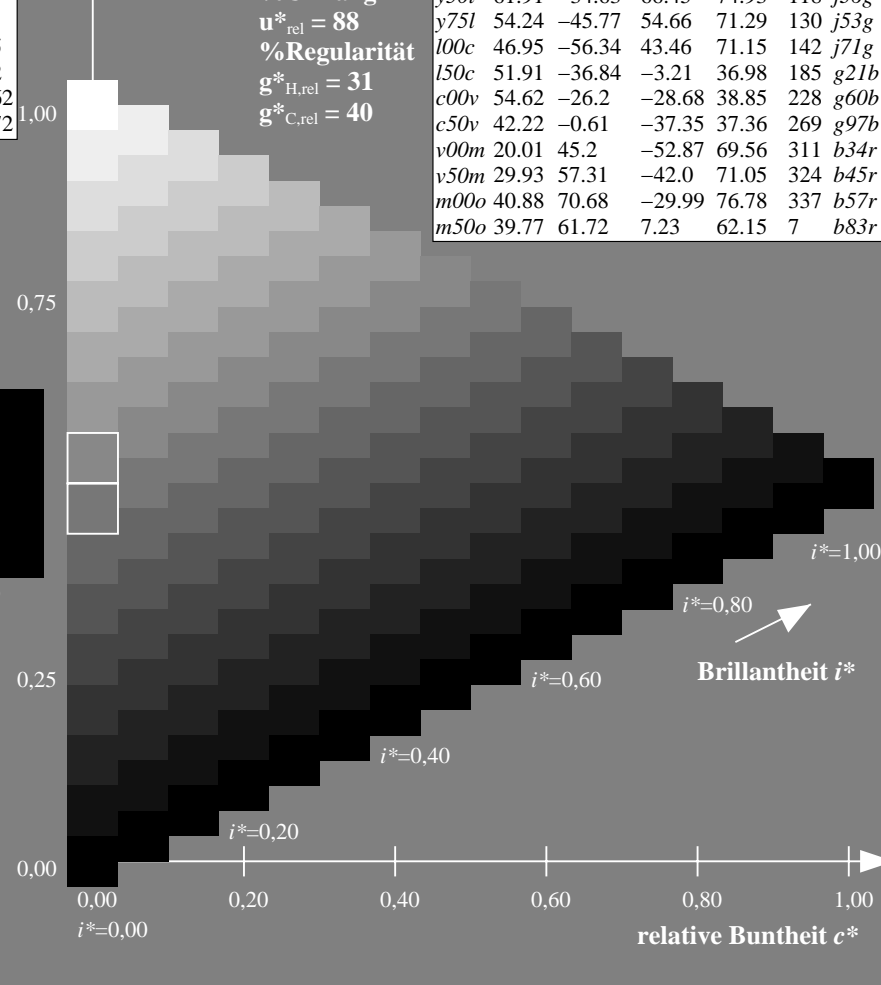
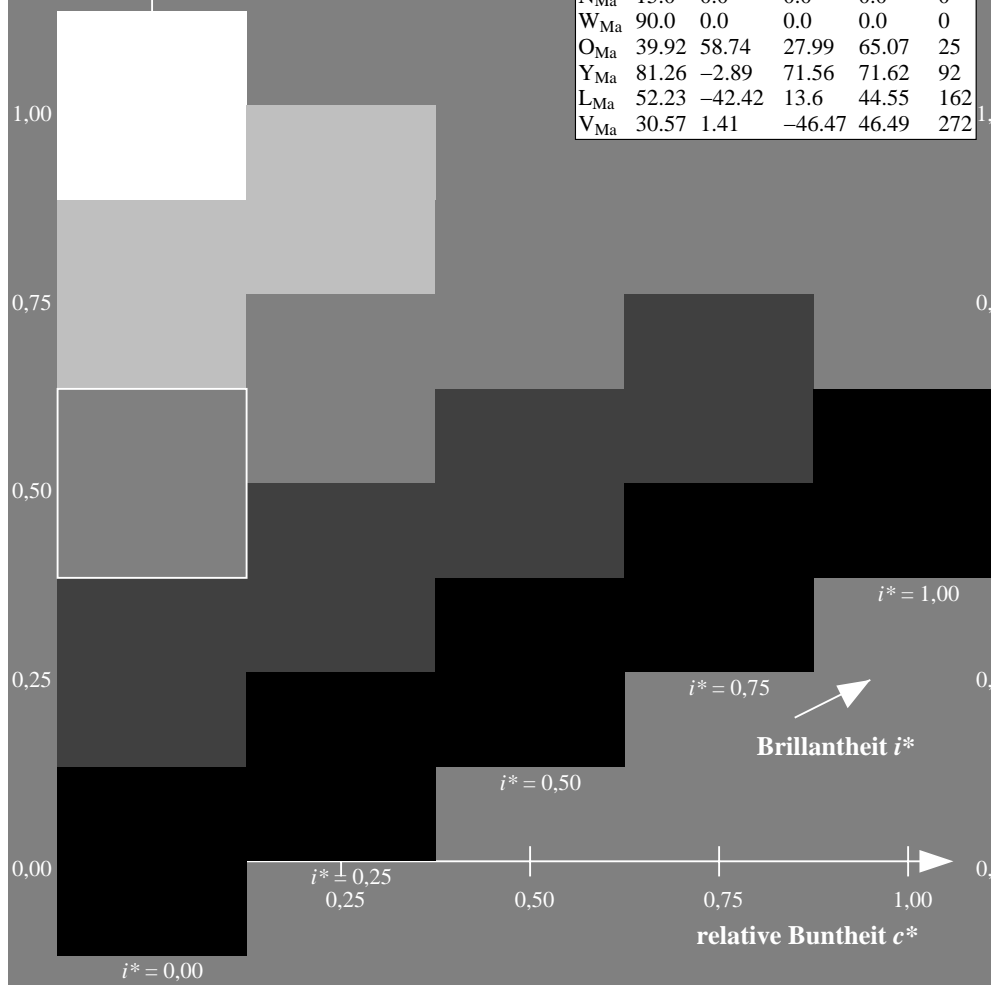
$g^*_{H,rel} = 31$

$g^*_{C,rel} = 40$

FRS15_90a; adaptierte CIELAB-Daten

u^*_d	$L^*=L^*_a$	a^*_a	b^*_a	$C^*_{ab,a}$	$h^*_{ab,a}$	u^*_e
o00y	38.8	53.92	39.68	66.95	36	r16j
o25y	47.46	42.34	51.25	66.48	50	r37j
o50y	56.54	30.2	63.39	70.22	65	r58j
o75y	67.39	15.68	77.9	79.47	79	r79j
y00l	82.58	-4.64	98.22	98.33	93	j01g
y25l	70.85	-21.66	80.19	83.07	105	j18g
y50l	61.91	-34.63	66.45	74.93	118	j36g
y75l	54.24	-45.77	54.66	71.29	130	j53g
l00c	46.95	-56.34	43.46	71.15	142	j71g
l50c	51.91	-36.84	-3.21	36.98	185	g21b
c00v	54.62	-26.2	-28.68	38.85	228	g60b
c50v	42.22	-0.61	-37.35	37.36	269	g97b
v00m	20.01	45.2	-52.87	69.56	311	b34r
v50m	29.93	57.31	-42.0	71.05	324	b45r
m00o	40.88	70.68	-29.99	76.78	337	b57r
m50o	39.77	61.72	7.23	62.15	7	b83r

$u^*_d = v50m$



Ein und Ausgabe: Farbmetrisches Drucker-Reflektiv-System FRS15_90a für relativen CIELAB-Buntton $h^* = lab^*h^* = h_{ab}/360 = 0.936$

Daten für jede Farbe:

lab^*tch^* und lab^*icu^*

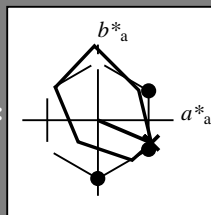
Bunttontexte:

$u^*_d = m00o$ $u^*_e = b57r$

Kontrastreduzierungsfaktor:

$c_R = 0.9$

Dreiecks-Helligkeit i^*



FRS15_90a; adaptierte CIELAB-Daten

u^*_d	$L^*=L^*_a$	a^*_a	b^*_a	$C^*_{ab,a}$	$h^*_{ab,a}$
O _{Ma}	38.8	53.92	39.68	66.95	36
Y _{Ma}	82.58	-4.64	98.22	98.33	93
L _{Ma}	46.95	-56.34	43.46	71.15	142
C _{Ma}	54.62	-26.2	-28.68	38.85	228
V _{Ma}	20.01	45.2	-52.87	69.56	311
M _{Ma}	40.88	70.68	-29.99	76.78	337
N _{Ma}	15.0	0.0	0.0	0.0	0
W _{Ma}	90.0	0.0	0.0	0.0	0
O _{Ma}	39.92	58.74	27.99	65.07	25
Y _{Ma}	81.26	-2.89	71.56	71.62	92
L _{Ma}	52.23	-42.42	13.6	44.55	162
V _{Ma}	30.57	1.41	-46.47	46.49	272

Daten für Maximalfarbe (Ma):

$LAB^*LAB^*_{Ma}$: 41 71 -30

$LAB^*LCH^*_{Ma}$: 41 77 337

$lab^*olv^*_{Ma}$: 1.0 0.0 1.0

$lab^*rgb^*_{Ma}$: 1.0 0.0 0.85

Dreiecks-Helligkeit i^*

%Umfang

$u^*_{rel} = 88$

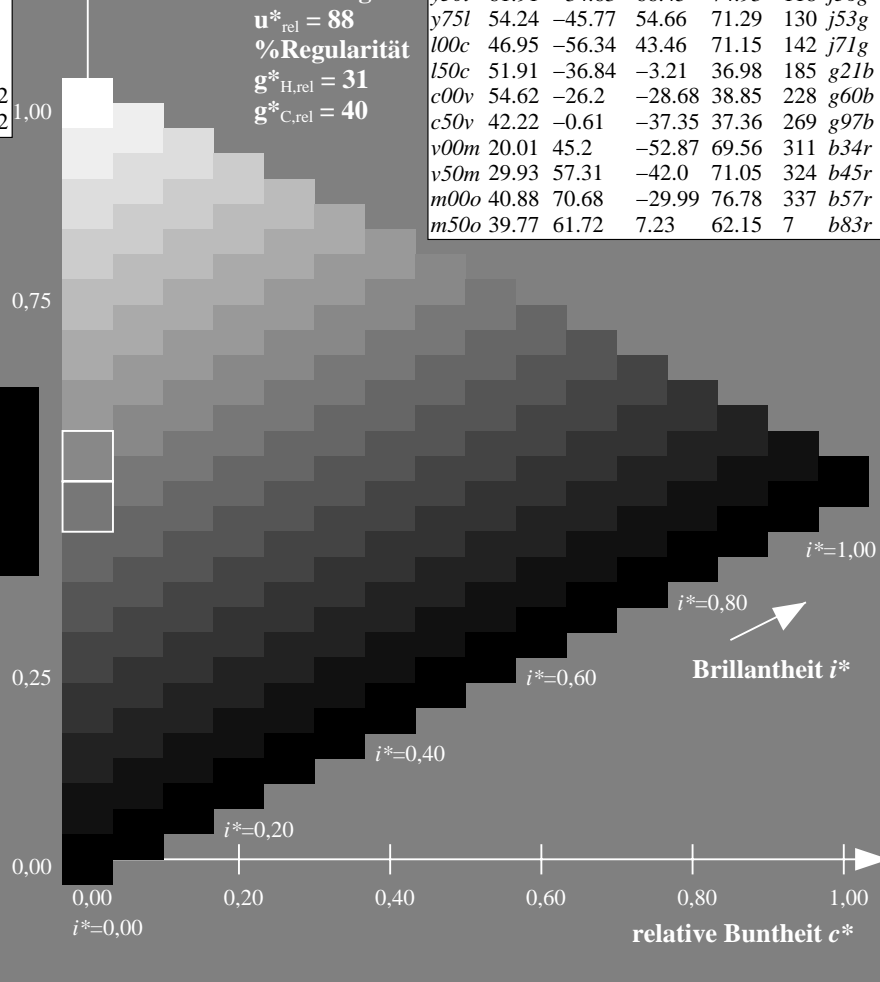
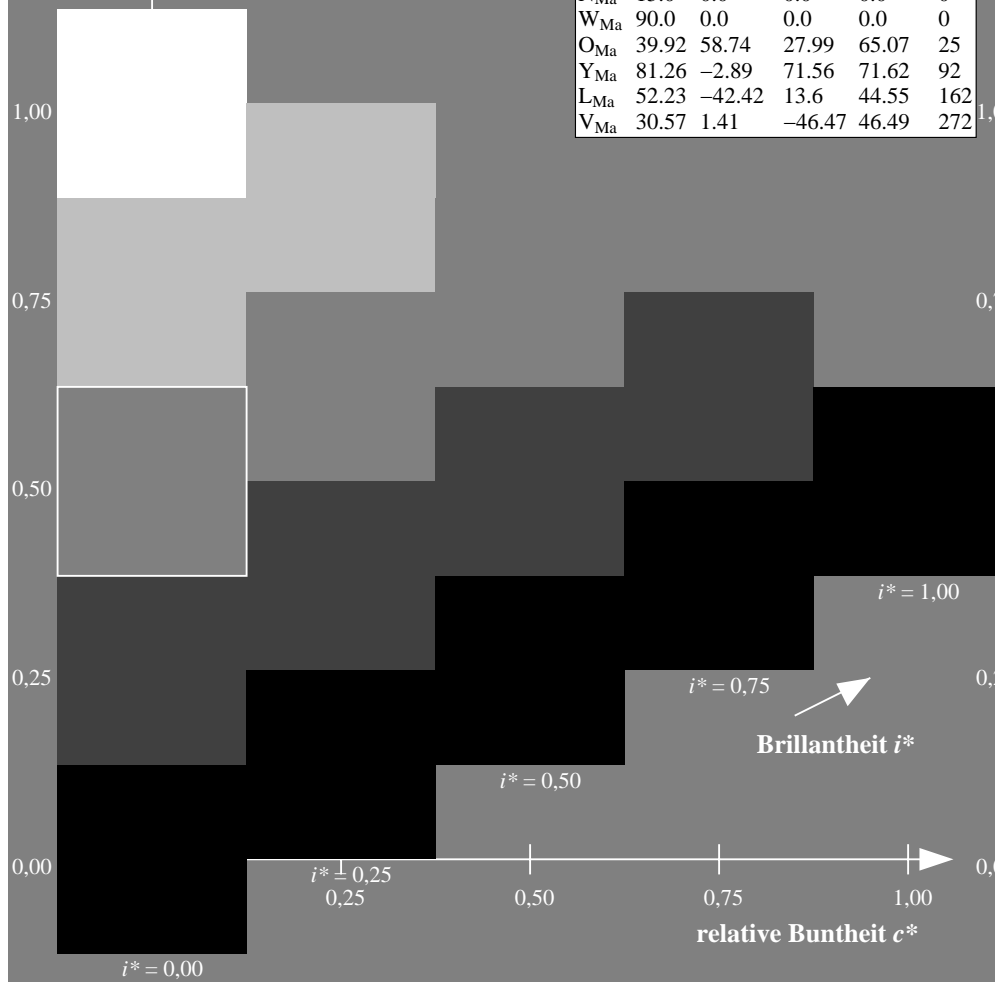
%Regularität

$g^*_{H,rel} = 31$

$g^*_{C,rel} = 40$

FRS15_90a; adaptierte CIELAB-Daten

u^*_d	$L^*=L^*_a$	a^*_a	b^*_a	$C^*_{ab,a}$	$h^*_{ab,a}$	u^*_e
o00y	38.8	53.92	39.68	66.95	36	r16j
o25y	47.46	42.34	51.25	66.48	50	r37j
o50y	56.54	30.2	63.39	70.22	65	r58j
o75y	67.39	15.68	77.9	79.47	79	r79j
y00l	82.58	-4.64	98.22	98.33	93	j01g
y25l	70.85	-21.66	80.19	83.07	105	j18g
y50l	61.91	-34.63	66.45	74.93	118	j36g
y75l	54.24	-45.77	54.66	71.29	130	j53g
l00c	46.95	-56.34	43.46	71.15	142	j71g
l50c	51.91	-36.84	-3.21	36.98	185	g21b
c00v	54.62	-26.2	-28.68	38.85	228	g60b
c50v	42.22	-0.61	-37.35	37.36	269	g97b
v00m	20.01	45.2	-52.87	69.56	311	b34r
v50m	29.93	57.31	-42.0	71.05	324	b45r
m00o	40.88	70.68	-29.99	76.78	337	b57r
m50o	39.77	61.72	7.23	62.15	7	b83r



Ein und Ausgabe: Farbmetrisches Drucker-Reflektiv-System FRS15_90a für relativen CIELAB-Buntton $h^* = lab^*h^* = h_{ab}/360 = 0.019$

Daten für jede Farbe:

lab^*tch^* und lab^*icu^*

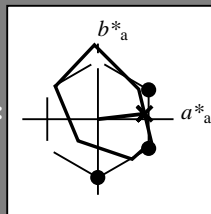
Bunttontexte:

$u^*_d = m50o$ $u^*_e = b83r$

Kontrastreduzierungsfaktor:

$c_R = 0.9$

Dreiecks-Helligkeit i^*



FRS15_90a; adaptierte CIELAB-Daten

u^*_d	$L^*=L^*_a$	a^*_a	b^*_a	$C^*_{ab,a}$	$h^*_{ab,a}$
O _{Ma}	38.8	53.92	39.68	66.95	36
Y _{Ma}	82.58	-4.64	98.22	98.33	93
L _{Ma}	46.95	-56.34	43.46	71.15	142
C _{Ma}	54.62	-26.2	-28.68	38.85	228
V _{Ma}	20.01	45.2	-52.87	69.56	311
M _{Ma}	40.88	70.68	-29.99	76.78	337
N _{Ma}	15.0	0.0	0.0	0.0	0
W _{Ma}	90.0	0.0	0.0	0.0	0
O _{Ma}	39.92	58.74	27.99	65.07	25
Y _{Ma}	81.26	-2.89	71.56	71.62	92
L _{Ma}	52.23	-42.42	13.6	44.55	162
V _{Ma}	30.57	1.41	-46.47	46.49	272

Daten für Maximalfarbe (Ma):

$LAB^*LAB^*_{Ma}$: 40 62 7

$LAB^*LCH^*_{Ma}$: 40 62 6

$lab^*olv^*_{Ma}$: 1.0 0.0 0.5

$lab^*rgb^*_{Ma}$: 1.0 0.0 0.33

Dreiecks-Helligkeit i^*

%Umfang

$u^*_{rel} = 88$

%Regularität

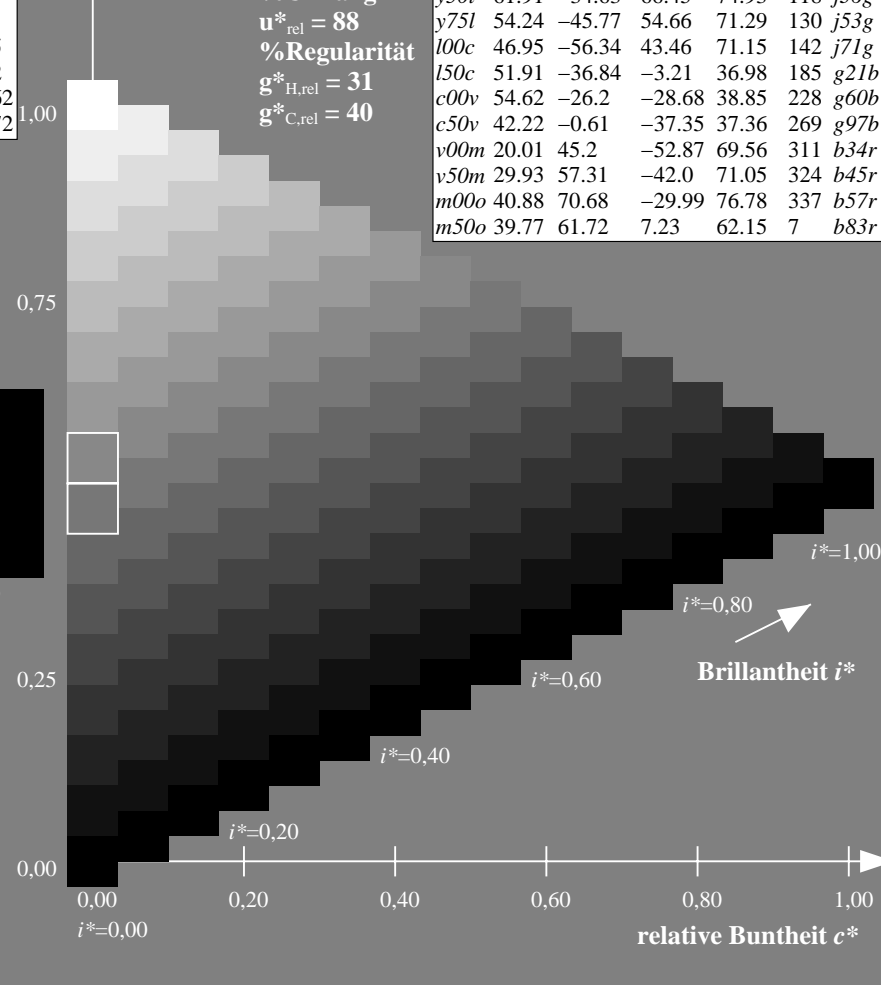
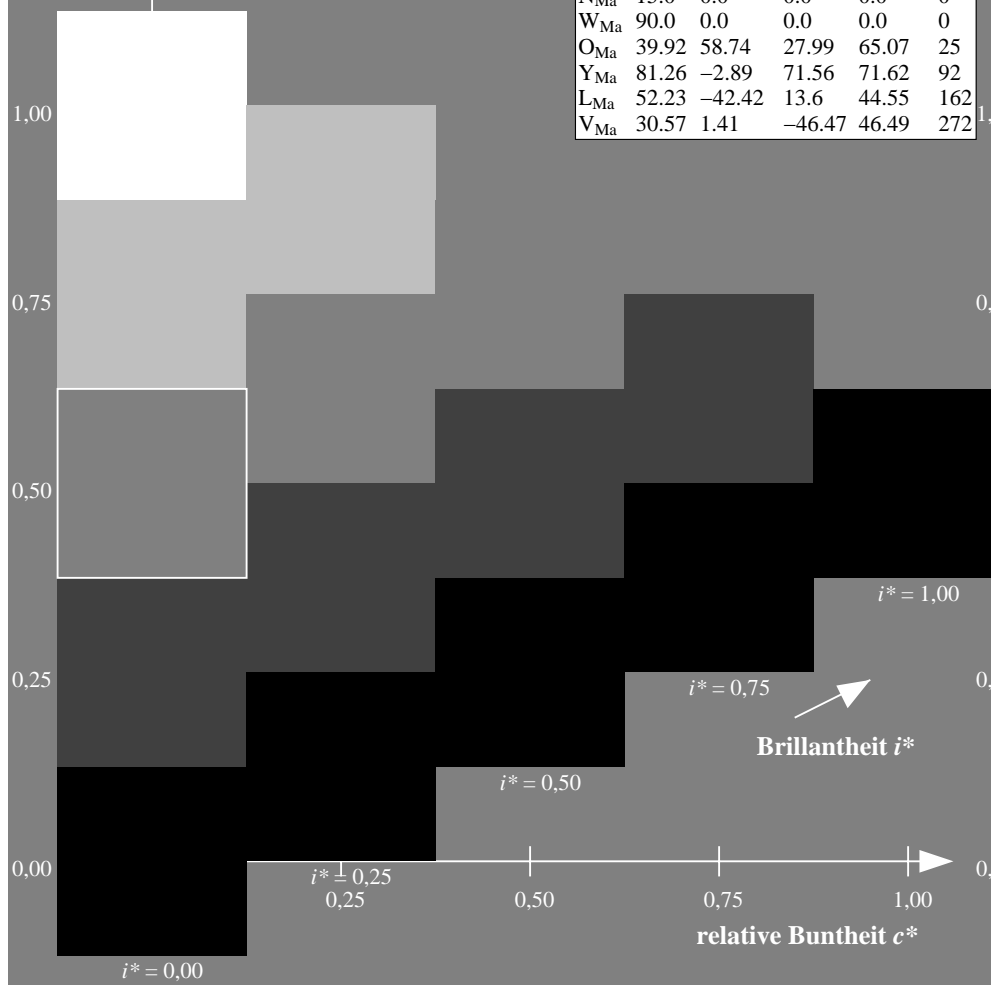
$g^*_{H,rel} = 31$

$g^*_{C,rel} = 40$

FRS15_90a; adaptierte CIELAB-Daten

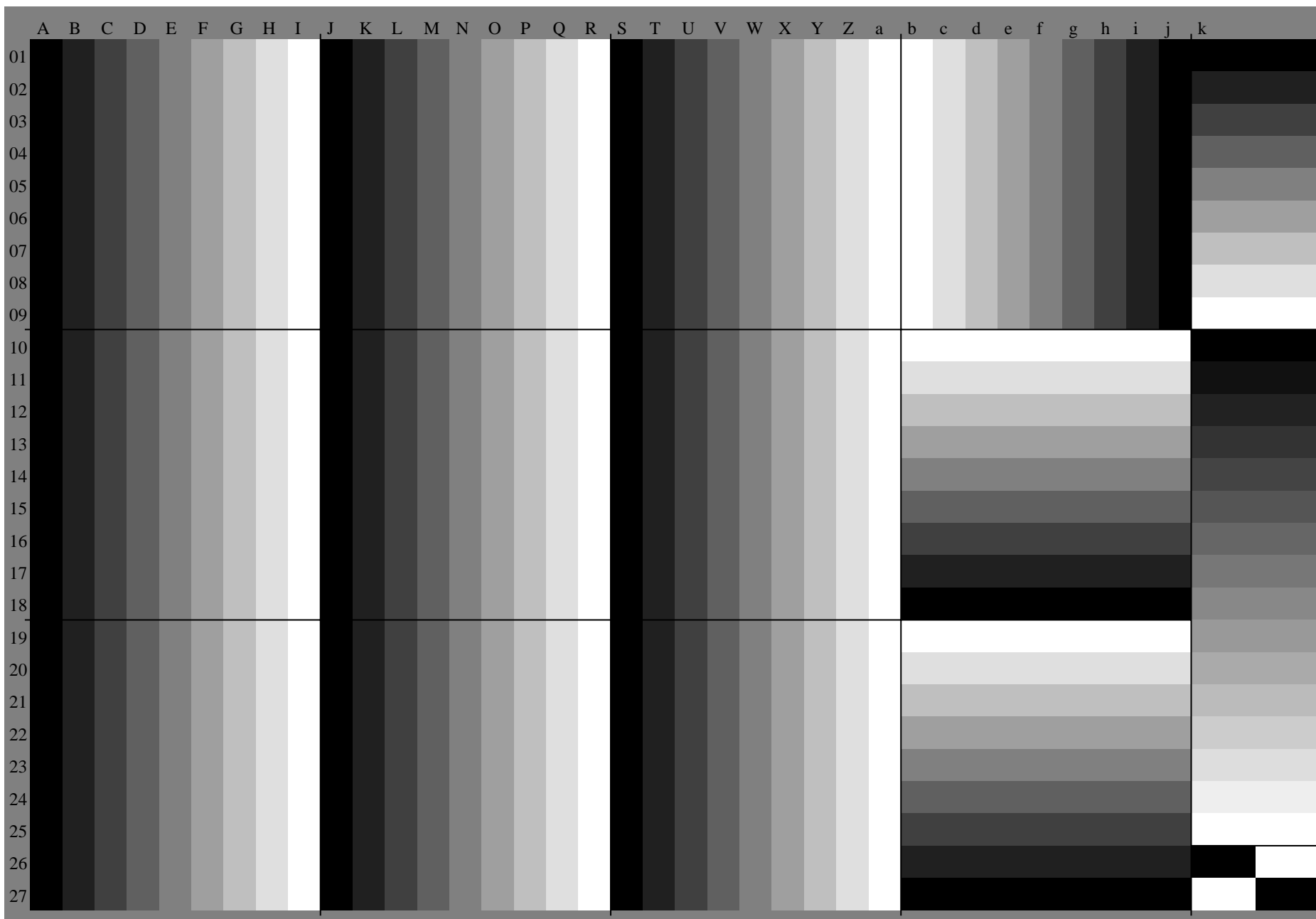
u^*_d	$L^*=L^*_a$	a^*_a	b^*_a	$C^*_{ab,a}$	$h^*_{ab,a}$	u^*_e
o00y	38.8	53.92	39.68	66.95	36	r16j
o25y	47.46	42.34	51.25	66.48	50	r37j
o50y	56.54	30.2	63.39	70.22	65	r58j
o75y	67.39	15.68	77.9	79.47	79	r79j
y00l	82.58	-4.64	98.22	98.33	93	j01g
y25l	70.85	-21.66	80.19	83.07	105	j18g
y50l	61.91	-34.63	66.45	74.93	118	j36g
y75l	54.24	-45.77	54.66	71.29	130	j53g
l00c	46.95	-56.34	43.46	71.15	142	j71g
l50c	51.91	-36.84	-3.21	36.98	185	g21b
c00v	54.62	-26.2	-28.68	38.85	228	g60b
c50v	42.22	-0.61	-37.35	37.36	269	g97b
v00m	20.01	45.2	-52.87	69.56	311	b34r
v50m	29.93	57.31	-42.0	71.05	324	b45r
m00o	40.88	70.68	-29.99	76.78	337	b57r
m50o	39.77	61.72	7.23	62.15	7	b83r

$u^*_d = m50o$



Siehe ähnliche Dateien: <http://www.ps.bam.de/Eg41/>; www.ps.bam.de/Eg.HTM
Technische Information: <http://www.ps.bam.de> Version 2.1, io=1,1, Col5px=0

BAM-Registrierung: 20081001-Eg41/10L/L41G00NA.PS/.TXT BAM-Material: Code=rh4ta
Anwendung für Beurteilung und Messung von Drucker- oder Monitorsystemen



Ein und Ausgabe:
Farbmetrisches Drucker-Reflektiv-System FRS15_90a
Daten für jede Farbe:

u^*_d und Nummer $Nr.$ = 00 .. 15

Geräte-Bunttontext:

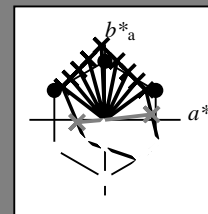
u^*_d = 16 Bunttoene *o00y*, *o25y*, ..., *m50o*

Kontrastreduzierungsfaktor:

$c_R = 0.9$

FRS15_90a; adaptierte CIELAB-Daten

u^*_d	$L^*=L^*_a$	a^*_a	b^*_a	$C^*_{ab,a}$	$h^*_{ab,a}$	u^*_e
<i>o00y</i>	38.8	53.92	39.68	66.95	36	<i>r16j</i>
<i>o25y</i>	47.46	42.34	51.25	66.48	50	<i>r37j</i>
<i>o50y</i>	56.54	30.2	63.39	70.22	65	<i>r58j</i>
<i>o75y</i>	67.39	15.68	77.9	79.47	79	<i>r79j</i>
<i>y00l</i>	82.58	-4.64	98.22	98.33	93	<i>j01g</i>
<i>y25l</i>	70.85	-21.66	80.19	83.07	105	<i>j18g</i>
<i>y50l</i>	61.91	-34.63	66.45	74.93	118	<i>j36g</i>
<i>y75l</i>	54.24	-45.77	54.66	71.29	130	<i>j53g</i>
<i>l00c</i>	46.95	-56.34	43.46	71.15	142	<i>j71g</i>
<i>l50c</i>	51.91	-36.84	-3.21	36.98	185	<i>g21b</i>
<i>c00v</i>	54.62	-26.2	-28.68	38.85	228	<i>g60b</i>
<i>c50v</i>	42.22	-0.61	-37.35	37.36	269	<i>g97b</i>
<i>v00m</i>	20.01	45.2	-52.87	69.56	311	<i>b34r</i>
<i>v50m</i>	29.93	57.31	-42.0	71.05	324	<i>b45r</i>
<i>m00o</i>	40.88	70.68	-29.99	76.78	337	<i>b57r</i>
<i>m50o</i>	39.77	61.72	7.23	62.15	7	<i>b83r</i>



%Umfang

$u^*_{rel} = 88$

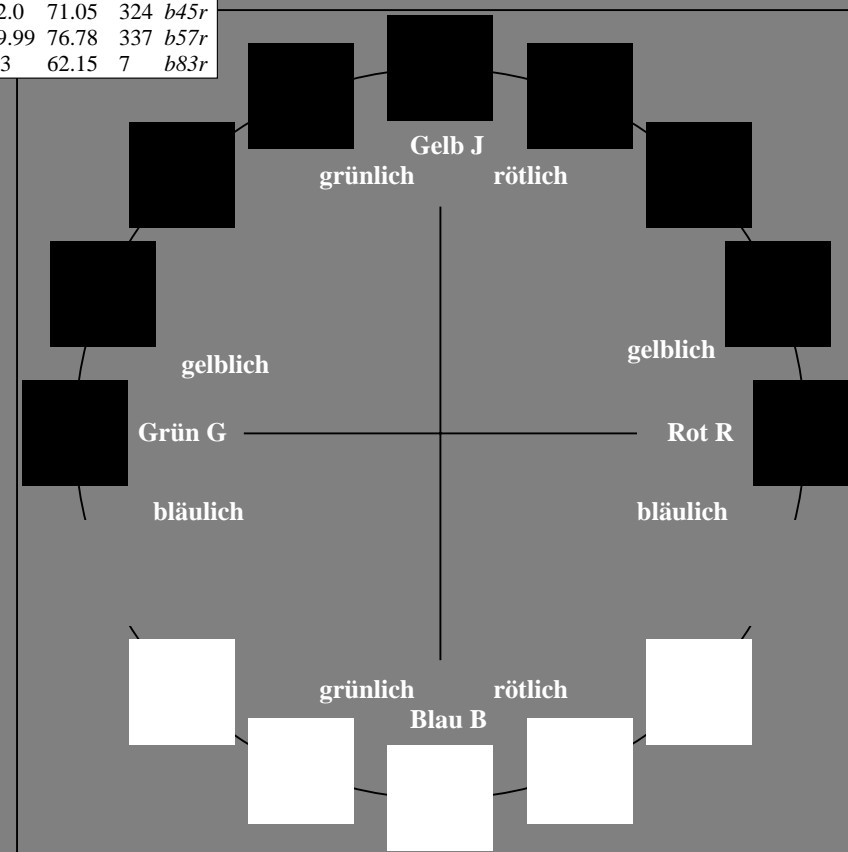
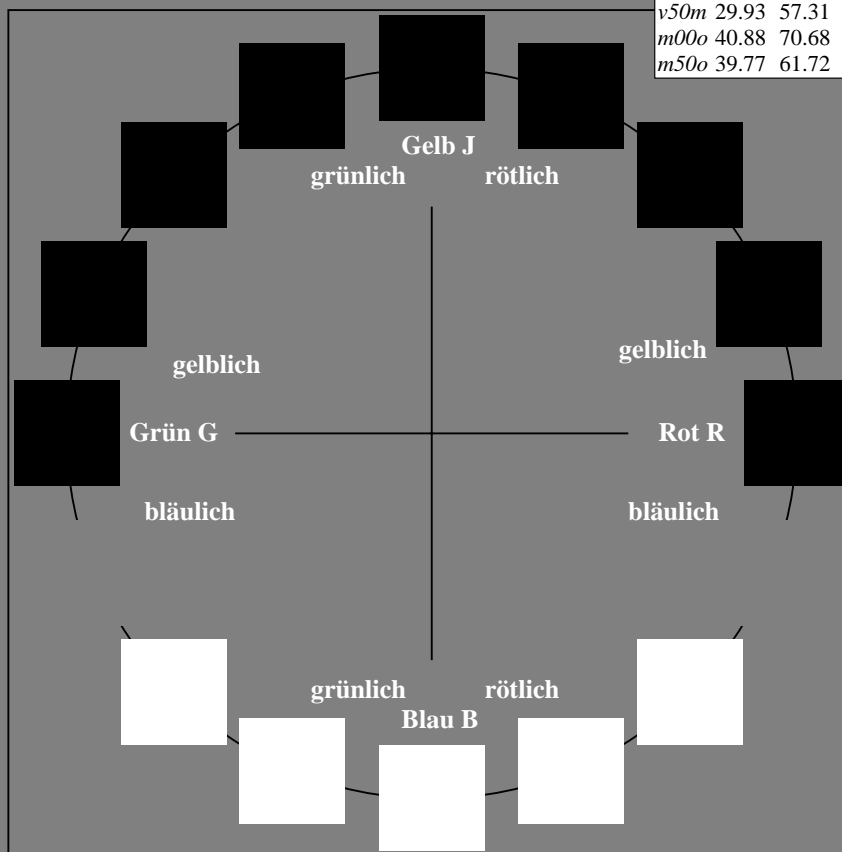
%Regularität

$g^*_{H,rel} = 31$

$g^*_{C,rel} = 40$

FRS15_90a; adaptierte CIELAB-Daten

Name	$L^*=L^*_a$	a^*_a	b^*_a	$C^*_{ab,a}$	$h^*_{ab,a}$
O _{Ma}	38.8	53.92	39.68	66.95	36
Y _{Ma}	82.58	-4.64	98.22	98.33	93
L _{Ma}	46.95	-56.34	43.46	71.15	142
C _{Ma}	54.62	-26.2	-28.68	38.85	228
V _{Ma}	20.01	45.2	-52.87	69.56	311
M _{Ma}	40.88	70.68	-29.99	76.78	337
N _{Ma}	15.0	0.0	0.0	0.0	0
W _{Ma}	90.0	0.0	0.0	0.0	0
O _{CIE}	39.92	58.74	27.99	65.07	25
Y _{CIE}	81.26	-2.89	71.56	71.62	92
L _{CIE}	52.23	-42.42	13.6	44.55	162
V _{CIE}	30.57	1.41	-46.47	46.49	272



Ein und Ausgabe: Farbmetrisches Drucker-Reflektiv-System FRS15_90a für relativen CIELAB-Buntton $h^* = lab^*h^* = h_{ab}/360 = 0.101$

Daten für jede Farbe:

lab^*tch^* und lab^*icu^*

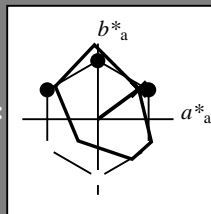
Bunttontexte:

$u^*_d = o00y$ $u^*_e = r16j$

Kontrastreduzierungsfaktor:

$c_R = 0.9$

Dreiecks-Helligkeit i^*



FRS15_90a; adaptierte CIELAB-Daten

u^*_d	$L^*=L^*_a$	a^*_a	b^*_a	$C^*_{ab,a}$	$h^*_{ab,a}$
O _{Ma}	38.8	53.92	39.68	66.95	36
Y _{Ma}	82.58	-4.64	98.22	98.33	93
L _{Ma}	46.95	-56.34	43.46	71.15	142
C _{Ma}	54.62	-26.2	-28.68	38.85	228
V _{Ma}	20.01	45.2	-52.87	69.56	311
M _{Ma}	40.88	70.68	-29.99	76.78	337
N _{Ma}	15.0	0.0	0.0	0.0	0
W _{Ma}	90.0	0.0	0.0	0.0	0
O _{Ma}	39.92	58.74	27.99	65.07	25
Y _{Ma}	81.26	-2.89	71.56	71.62	92
L _{Ma}	52.23	-42.42	13.6	44.55	162
V _{Ma}	30.57	1.41	-46.47	46.49	272

Daten für Maximalfarbe (Ma):

LAB^*LAB^*Ma : 39 54 40

LAB^*LCH^*Ma : 39 67 36

lab^*olv^*Ma : 1.0 0.0 0.0

lab^*rgb^*Ma : 1.0 0.16 0.0

Dreiecks-Helligkeit i^*

%Umfang

$u^*_{rel} = 88$

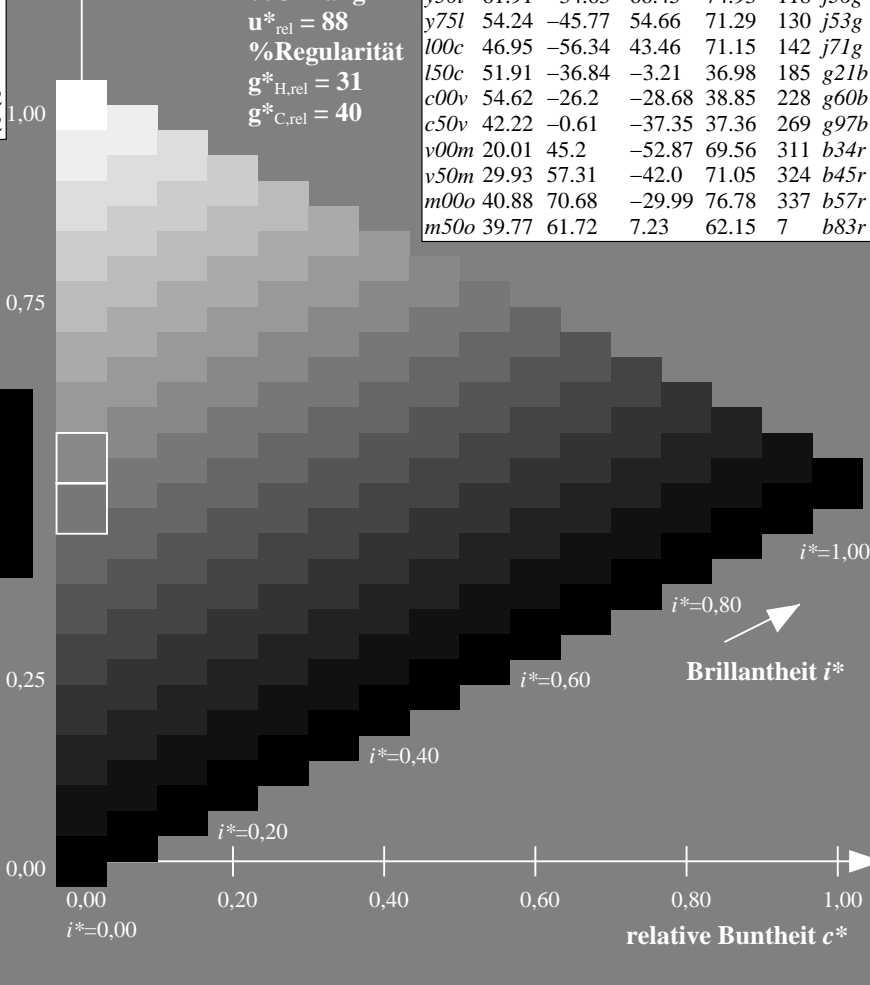
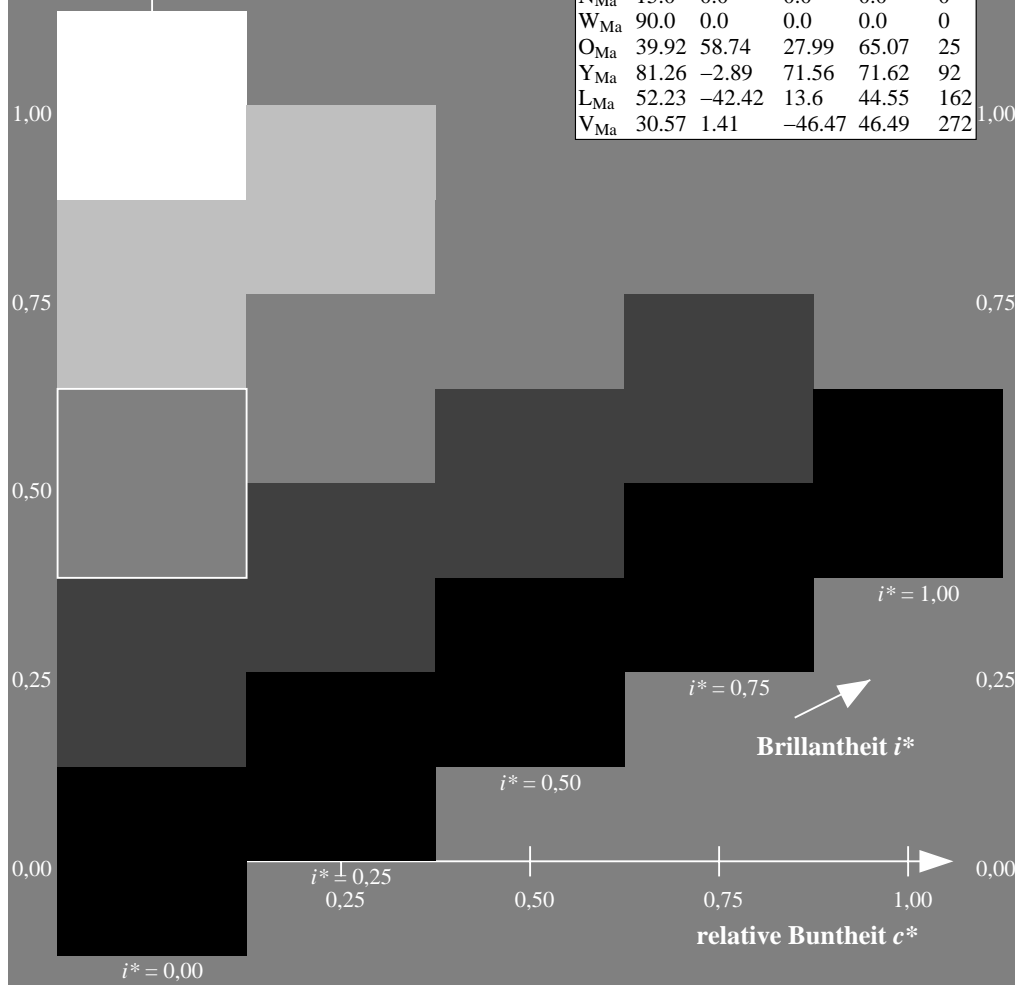
%Regularität

$g^*_{H,rel} = 31$

$g^*_{C,rel} = 40$

FRS15_90a; adaptierte CIELAB-Daten

u^*_d	$L^*=L^*_a$	a^*_a	b^*_a	$C^*_{ab,a}$	$h^*_{ab,a}$	u^*_e
<i>o00y</i>	38.8	53.92	39.68	66.95	36	<i>r16j</i>
<i>o25y</i>	47.46	42.34	51.25	66.48	50	<i>r37j</i>
<i>o50y</i>	56.54	30.2	63.39	70.22	65	<i>r58j</i>
<i>o75y</i>	67.39	15.68	77.9	79.47	79	<i>r79j</i>
<i>y00l</i>	82.58	-4.64	98.22	98.33	93	<i>j01g</i>
<i>y25l</i>	70.85	-21.66	80.19	83.07	105	<i>j18g</i>
<i>y50l</i>	61.91	-34.63	66.45	74.93	118	<i>j36g</i>
<i>y75l</i>	54.24	-45.77	54.66	71.29	130	<i>j53g</i>
<i>l00c</i>	46.95	-56.34	43.46	71.15	142	<i>j71g</i>
<i>l50c</i>	51.91	-36.84	-3.21	36.98	185	<i>g21b</i>
<i>c00v</i>	54.62	-26.2	-28.68	38.85	228	<i>g60b</i>
<i>c50v</i>	42.22	-0.61	-37.35	37.36	269	<i>g97b</i>
<i>v00m</i>	20.01	45.2	-52.87	69.56	311	<i>b34r</i>
<i>v50m</i>	29.93	57.31	-42.0	71.05	324	<i>b45r</i>
<i>m00o</i>	40.88	70.68	-29.99	76.78	337	<i>b57r</i>
<i>m50o</i>	39.77	61.72	7.23	62.15	7	<i>b83r</i>



Ein und Ausgabe: Farbmetrisches Drucker-Reflektiv-System FRS15_90a für relativen CIELAB-Buntton $h^* = lab^*h^* = h_{ab}/360 = 0.14$

Daten für jede Farbe:

lab^*tch^* und lab^*icu^*

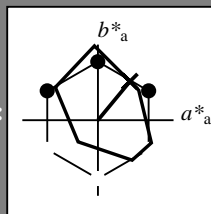
Bunttontexte:

$u^*_d = o25y$ $u^*_e = r37j$

Kontrastreduzierungsfaktor:

$c_R = 0.9$

Dreiecks-Helligkeit i^*



FRS15_90a; adaptierte CIELAB-Daten

u^*_d	$L^*=L^*_a$	a^*_a	b^*_a	$C^*_{ab,a}$	$h^*_{ab,a}$
O _{Ma}	38.8	53.92	39.68	66.95	36
Y _{Ma}	82.58	-4.64	98.22	98.33	93
L _{Ma}	46.95	-56.34	43.46	71.15	142
C _{Ma}	54.62	-26.2	-28.68	38.85	228
V _{Ma}	20.01	45.2	-52.87	69.56	311
M _{Ma}	40.88	70.68	-29.99	76.78	337
N _{Ma}	15.0	0.0	0.0	0.0	0
W _{Ma}	90.0	0.0	0.0	0.0	0
O _{Ma}	39.92	58.74	27.99	65.07	25
Y _{Ma}	81.26	-2.89	71.56	71.62	92
L _{Ma}	52.23	-42.42	13.6	44.55	162
V _{Ma}	30.57	1.41	-46.47	46.49	272

Daten für Maximalfarbe (Ma):

LAB^*LAB^*Ma : 47 42 51

LAB^*LCH^*Ma : 47 66 50

lab^*olv^*Ma : 1.0 0.25 0.0

lab^*rgb^*Ma : 1.0 0.37 0.0

Dreiecks-Helligkeit i^*

%Umfang

$u^*_{rel} = 88$

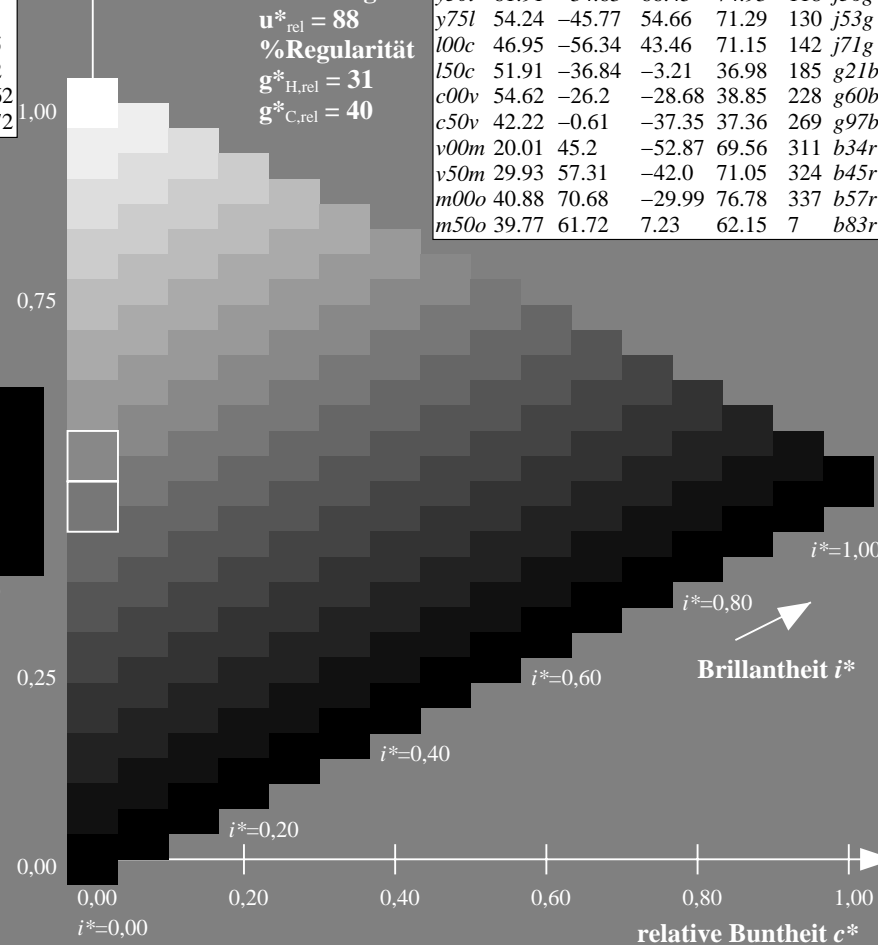
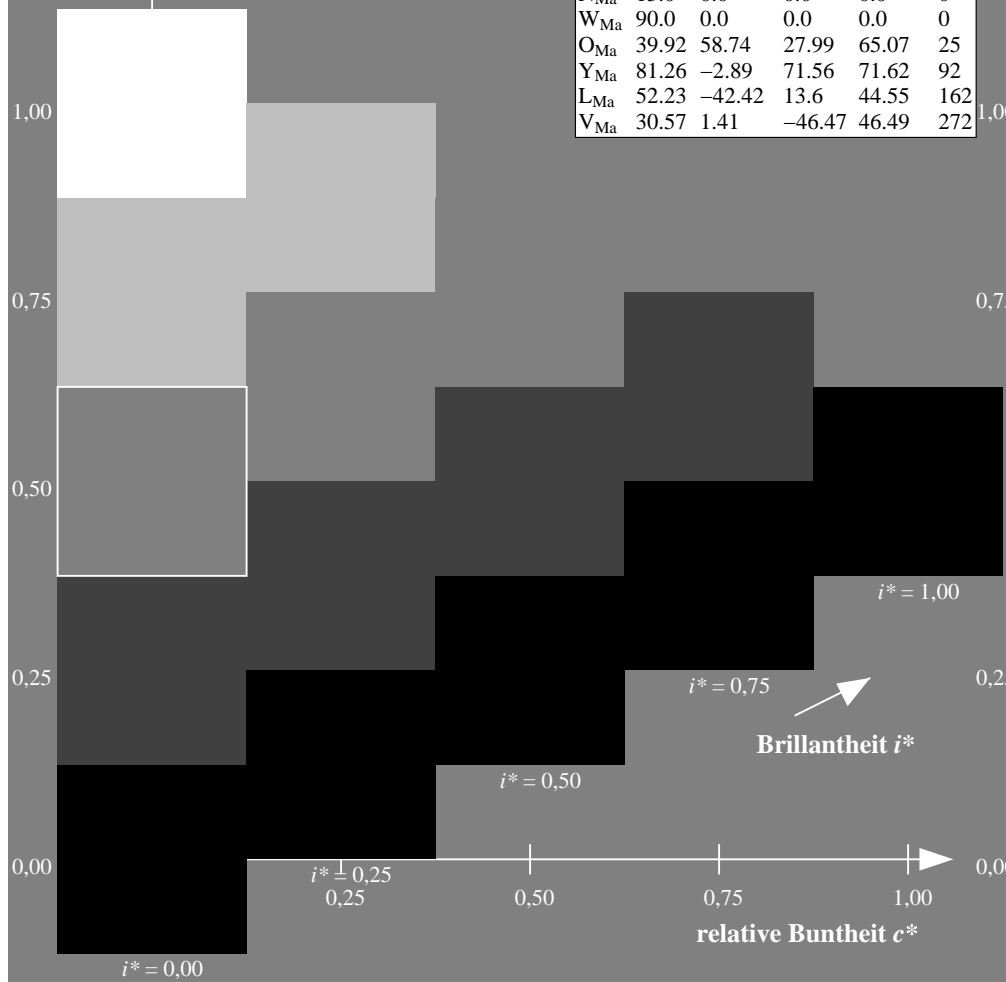
%Regularität

$g^*_{H,rel} = 31$

$g^*_{C,rel} = 40$

FRS15_90a; adaptierte CIELAB-Daten

u^*_d	$L^*=L^*_a$	a^*_a	b^*_a	$C^*_{ab,a}$	$h^*_{ab,a}$	u^*_e
<i>o00y</i>	38.8	53.92	39.68	66.95	36	<i>r16j</i>
<i>o25y</i>	47.46	42.34	51.25	66.48	50	<i>r37j</i>
<i>o50y</i>	56.54	30.2	63.39	70.22	65	<i>r58j</i>
<i>o75y</i>	67.39	15.68	77.9	79.47	79	<i>r79j</i>
<i>y00l</i>	82.58	-4.64	98.22	98.33	93	<i>j01g</i>
<i>y25l</i>	70.85	-21.66	80.19	83.07	105	<i>j18g</i>
<i>y50l</i>	61.91	-34.63	66.45	74.93	118	<i>j36g</i>
<i>y75l</i>	54.24	-45.77	54.66	71.29	130	<i>j53g</i>
<i>l00c</i>	46.95	-56.34	43.46	71.15	142	<i>j71g</i>
<i>l50c</i>	51.91	-36.84	-3.21	36.98	185	<i>g21b</i>
<i>c00v</i>	54.62	-26.2	-28.68	38.85	228	<i>g60b</i>
<i>c50v</i>	42.22	-0.61	-37.35	37.36	269	<i>g97b</i>
<i>v00m</i>	20.01	45.2	-52.87	69.56	311	<i>b34r</i>
<i>v50m</i>	29.93	57.31	-42.0	71.05	324	<i>b45r</i>
<i>m00o</i>	40.88	70.68	-29.99	76.78	337	<i>b57r</i>
<i>m50o</i>	39.77	61.72	7.23	62.15	7	<i>b83r</i>



Ein und Ausgabe: Farbmetrisches Drucker-Reflektiv-System FRS15_90a für relativen CIELAB-Buntton $h^* = lab^*h^* = h_{ab}/360 = 0.179$

Daten für jede Farbe:

lab^*tch^* und lab^*icu^*

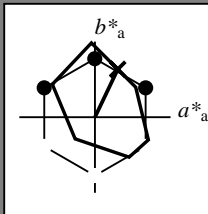
Bunttontexte:

$u^*_d = o50y$ $u^*_e = r58j$

Kontrastreduzierungsfaktor:

$c_R = 0.9$

Dreiecks-Helligkeit i^*



FRS15_90a; adaptierte CIELAB-Daten

u^*_d	$L^*=L^*_a$	a^*_a	b^*_a	$C^*_{ab,a}$	$h^*_{ab,a}$
O _{Ma}	38.8	53.92	39.68	66.95	36
Y _{Ma}	82.58	-4.64	98.22	98.33	93
L _{Ma}	46.95	-56.34	43.46	71.15	142
C _{Ma}	54.62	-26.2	-28.68	38.85	228
V _{Ma}	20.01	45.2	-52.87	69.56	311
M _{Ma}	40.88	70.68	-29.99	76.78	337
N _{Ma}	15.0	0.0	0.0	0.0	0
W _{Ma}	90.0	0.0	0.0	0.0	0
O _{Ma}	39.92	58.74	27.99	65.07	25
Y _{Ma}	81.26	-2.89	71.56	71.62	92
L _{Ma}	52.23	-42.42	13.6	44.55	162
V _{Ma}	30.57	1.41	-46.47	46.49	272

Daten für Maximalfarbe (Ma):

LAB^*LAB^*Ma : 57 30 63

LAB^*LCH^*Ma : 57 70 64

lab^*olv^*Ma : 1.0 0.5 0.0

lab^*rgb^*Ma : 1.0 0.58 0.0

Dreiecks-Helligkeit i^*

%Umfang

$u^*_{rel} = 88$

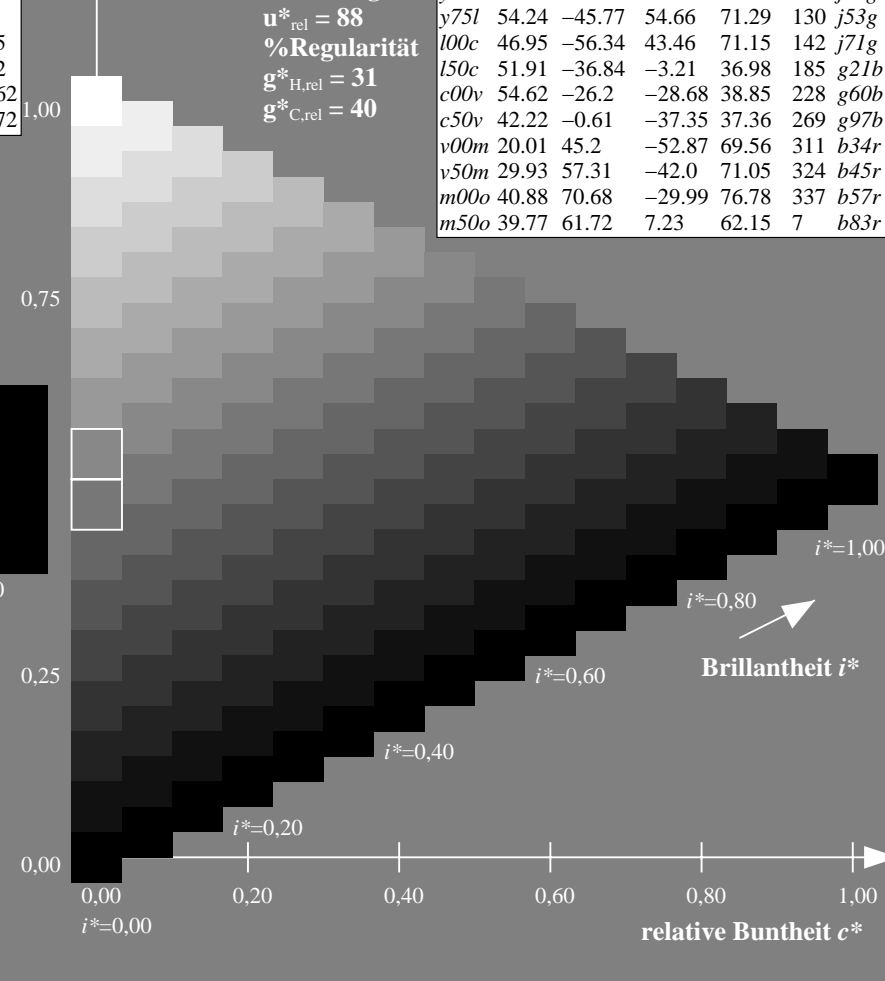
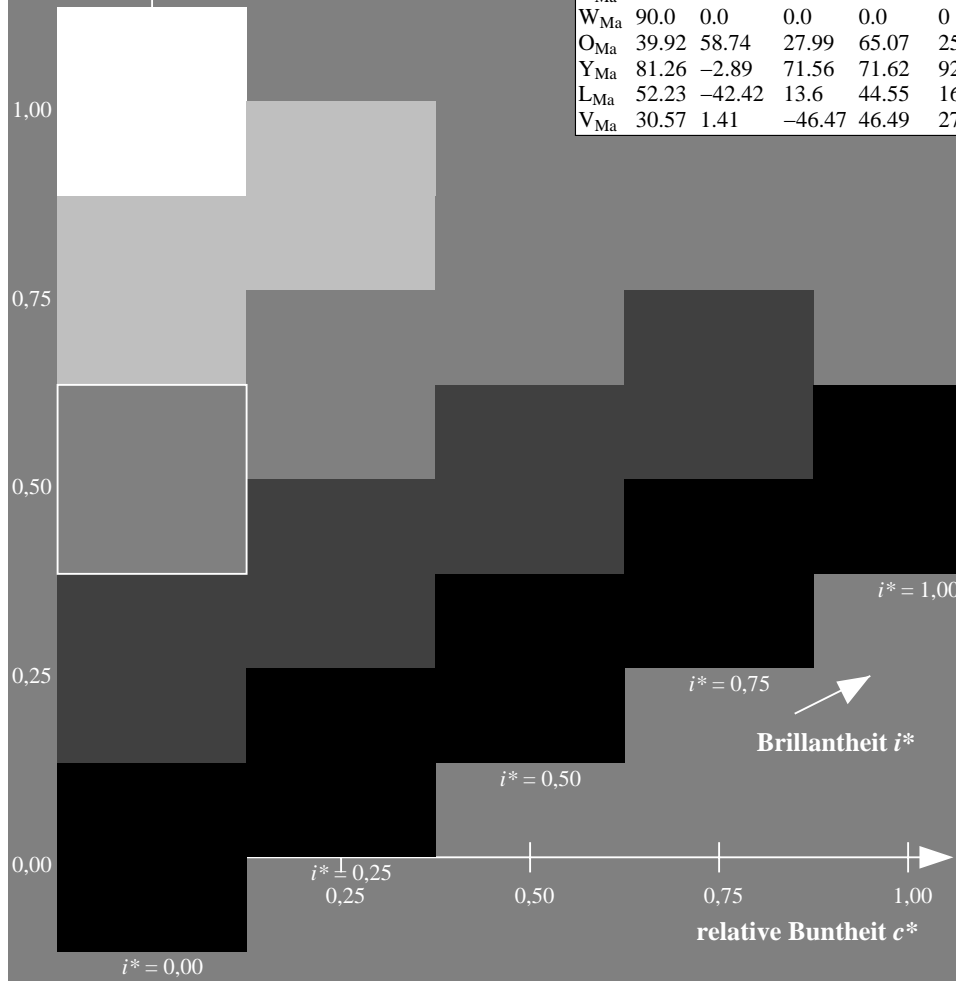
%Regularität

$g^*_{H,rel} = 31$

$g^*_{C,rel} = 40$

FRS15_90a; adaptierte CIELAB-Daten

u^*_d	$L^*=L^*_a$	a^*_a	b^*_a	$C^*_{ab,a}$	$h^*_{ab,a}$	u^*_e
<i>o00y</i>	38.8	53.92	39.68	66.95	36	<i>r16j</i>
<i>o25y</i>	47.46	42.34	51.25	66.48	50	<i>r37j</i>
<i>o50y</i>	56.54	30.2	63.39	70.22	65	<i>r58j</i>
<i>o75y</i>	67.39	15.68	77.9	79.47	79	<i>r79j</i>
<i>y00l</i>	82.58	-4.64	98.22	98.33	93	<i>j01g</i>
<i>y25l</i>	70.85	-21.66	80.19	83.07	105	<i>j18g</i>
<i>y50l</i>	61.91	-34.63	66.45	74.93	118	<i>j36g</i>
<i>y75l</i>	54.24	-45.77	54.66	71.29	130	<i>j53g</i>
<i>l00c</i>	46.95	-56.34	43.46	71.15	142	<i>j71g</i>
<i>l50c</i>	51.91	-36.84	-3.21	36.98	185	<i>g21b</i>
<i>c00v</i>	54.62	-26.2	-28.68	38.85	228	<i>g60b</i>
<i>c50v</i>	42.22	-0.61	-37.35	37.36	269	<i>g97b</i>
<i>v00m</i>	20.01	45.2	-52.87	69.56	311	<i>b34r</i>
<i>v50m</i>	29.93	57.31	-42.0	71.05	324	<i>b45r</i>
<i>m00o</i>	40.88	70.68	-29.99	76.78	337	<i>b57r</i>
<i>m50o</i>	39.77	61.72	7.23	62.15	7	<i>b83r</i>



Ein und Ausgabe: Farbmetrisches Drucker-Reflektiv-System FRS15_90a für relativen CIELAB-Buntton $h^* = lab^*h^* = h_{ab}/360 = 0.218$

Daten für jede Farbe:

lab^*tch^* und lab^*icu^*

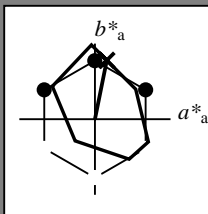
Bunttontexte:

$u^*_d = o75y$ $u^*_e = r79j$

Kontrastreduzierungsfaktor:

$c_R = 0.9$

Dreiecks-Helligkeit i^*



FRS15_90a; adaptierte CIELAB-Daten

u^*_d	$L^*=L^*_a$	a^*_a	b^*_a	$C^*_{ab,a}$	$h^*_{ab,a}$
O _{Ma}	38.8	53.92	39.68	66.95	36
Y _{Ma}	82.58	-4.64	98.22	98.33	93
L _{Ma}	46.95	-56.34	43.46	71.15	142
C _{Ma}	54.62	-26.2	-28.68	38.85	228
V _{Ma}	20.01	45.2	-52.87	69.56	311
M _{Ma}	40.88	70.68	-29.99	76.78	337
N _{Ma}	15.0	0.0	0.0	0.0	0
W _{Ma}	90.0	0.0	0.0	0.0	0
O _{Ma}	39.92	58.74	27.99	65.07	25
Y _{Ma}	81.26	-2.89	71.56	71.62	92
L _{Ma}	52.23	-42.42	13.6	44.55	162
V _{Ma}	30.57	1.41	-46.47	46.49	272

Daten für Maximalfarbe (Ma):

$LAB^*LAB^*_{Ma}$: 67 16 78

$LAB^*LCH^*_{Ma}$: 67 79 78

$lab^*olv^*_{Ma}$: 1.0 0.75 0.0

$lab^*rgb^*_{Ma}$: 1.0 0.8 0.0

Dreiecks-Helligkeit i^*

%Umfang

$u^*_{rel} = 88$

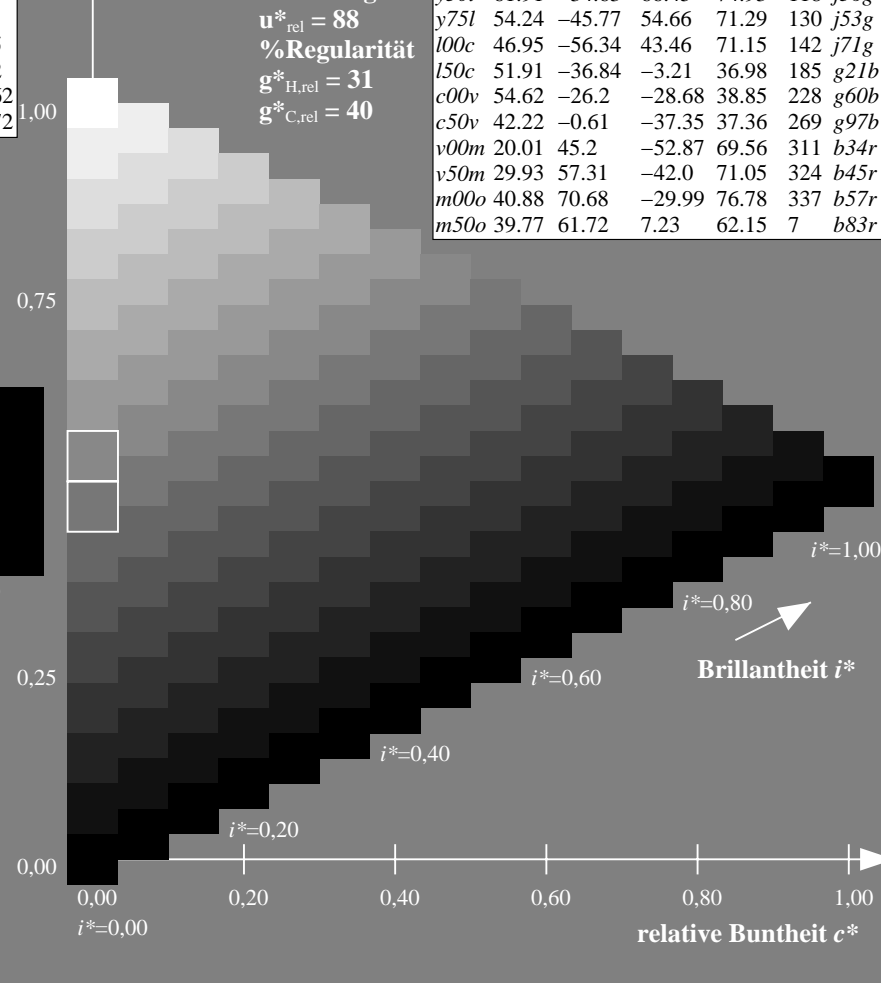
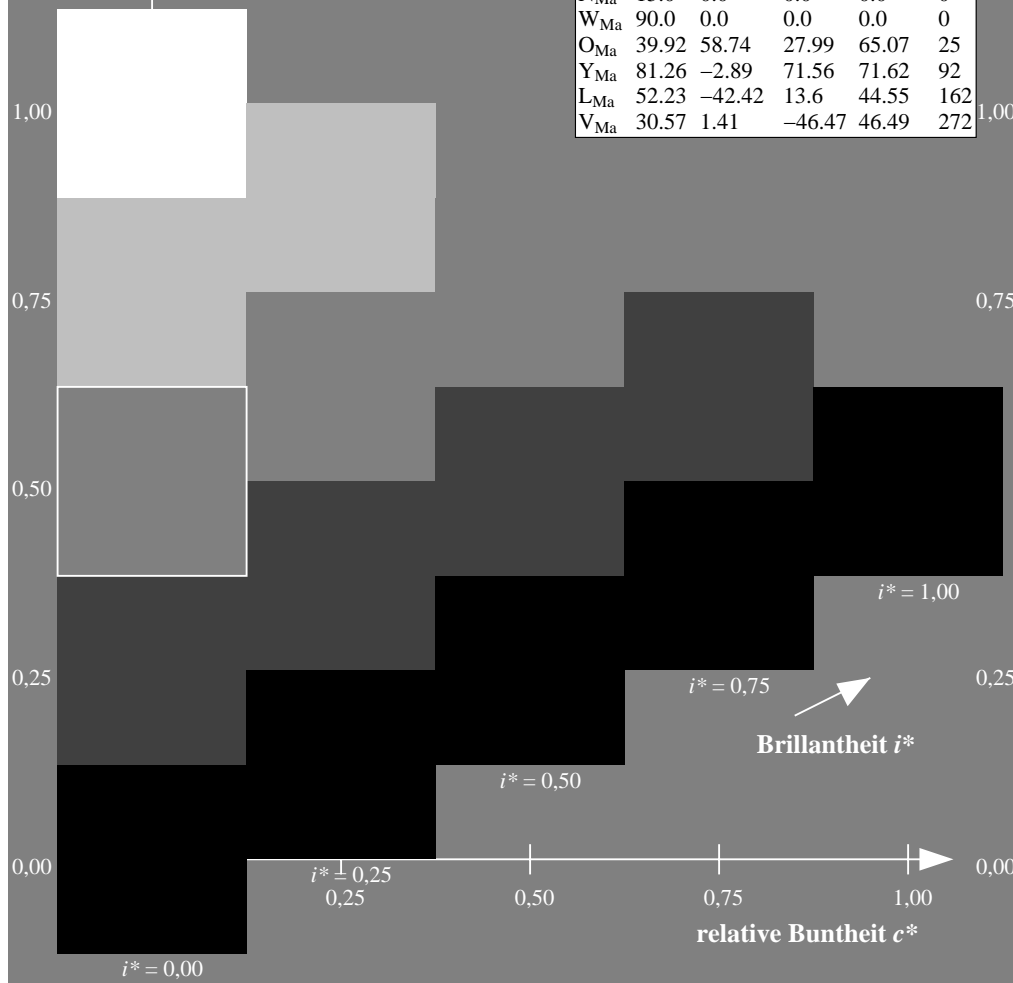
%Regularität

$g^*_{H,rel} = 31$

$g^*_{C,rel} = 40$

FRS15_90a; adaptierte CIELAB-Daten

u^*_d	$L^*=L^*_a$	a^*_a	b^*_a	$C^*_{ab,a}$	$h^*_{ab,a}$	u^*_e
o00y	38.8	53.92	39.68	66.95	36	r16j
o25y	47.46	42.34	51.25	66.48	50	r37j
o50y	56.54	30.2	63.39	70.22	65	r58j
o75y	67.39	15.68	77.9	79.47	79	r79j
y00l	82.58	-4.64	98.22	98.33	93	j01g
y25l	70.85	-21.66	80.19	83.07	105	j18g
y50l	61.91	-34.63	66.45	74.93	118	j36g
y75l	54.24	-45.77	54.66	71.29	130	j53g
l00c	46.95	-56.34	43.46	71.15	142	j71g
l50c	51.91	-36.84	-3.21	36.98	185	g21b
c00v	54.62	-26.2	-28.68	38.85	228	g60b
c50v	42.22	-0.61	-37.35	37.36	269	g97b
v00m	20.01	45.2	-52.87	69.56	311	b34r
v50m	29.93	57.31	-42.0	71.05	324	b45r
m00o	40.88	70.68	-29.99	76.78	337	b57r
m50o	39.77	61.72	7.23	62.15	7	b83r



Ein und Ausgabe: Farbmetrisches Drucker-Reflektiv-System FRS15_90a für relativen CIELAB-Buntton $h^* = lab^*h^* = h_{ab}/360 = 0.258$

Daten für jede Farbe:

lab^*tch^* und lab^*icu^*

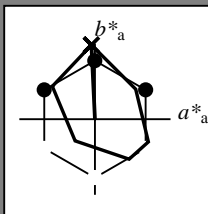
Bunttontexte:

$u^*_d = y00l$ $u^*_e = j01g$

Kontrastreduzierungsfaktor:

$c_R = 0.9$

Dreiecks-Helligkeit i^*



FRS15_90a; adaptierte CIELAB-Daten

u^*_d	$L^*=L^*_a$	a^*_a	b^*_a	$C^*_{ab,a}$	$h^*_{ab,a}$
O _{Ma}	38.8	53.92	39.68	66.95	36
Y _{Ma}	82.58	-4.64	98.22	98.33	93
L _{Ma}	46.95	-56.34	43.46	71.15	142
C _{Ma}	54.62	-26.2	-28.68	38.85	228
V _{Ma}	20.01	45.2	-52.87	69.56	311
M _{Ma}	40.88	70.68	-29.99	76.78	337
N _{Ma}	15.0	0.0	0.0	0.0	0
W _{Ma}	90.0	0.0	0.0	0.0	0
O _{Ma}	39.92	58.74	27.99	65.07	25
Y _{Ma}	81.26	-2.89	71.56	71.62	92
L _{Ma}	52.23	-42.42	13.6	44.55	162
V _{Ma}	30.57	1.41	-46.47	46.49	272

Daten für Maximalfarbe (Ma):

$LAB^*LAB^*_{Ma}$: 83 -5 98

$LAB^*LCH^*_{Ma}$: 83 98 92

$lab^*olv^*_{Ma}$: 1.0 1.0 0.0

$lab^*rgb^*_{Ma}$: 0.99 1.0 0.0

Dreiecks-Helligkeit i^*

%Umfang

$u^*_{rel} = 88$

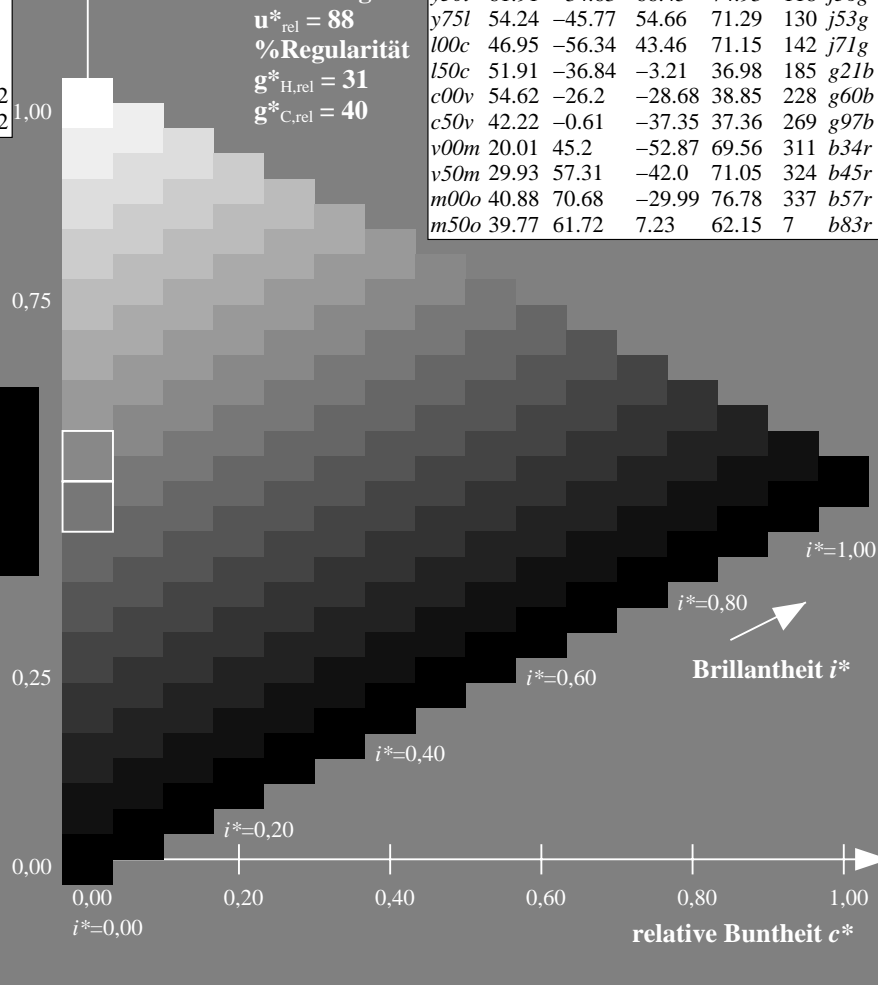
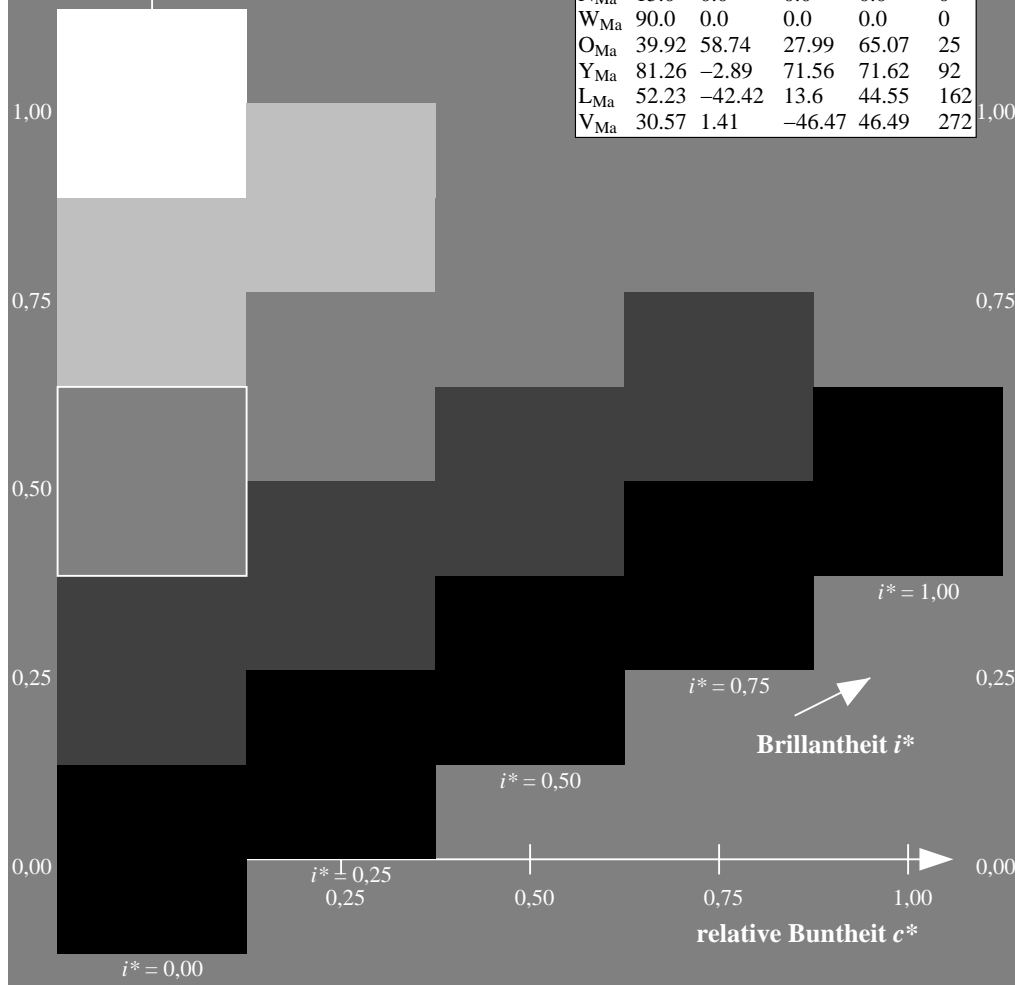
%Regularität

$g^*_{H,rel} = 31$

$g^*_{C,rel} = 40$

FRS15_90a; adaptierte CIELAB-Daten

u^*_d	$L^*=L^*_a$	a^*_a	b^*_a	$C^*_{ab,a}$	$h^*_{ab,a}$	u^*_e
o00y	38.8	53.92	39.68	66.95	36	r16j
o25y	47.46	42.34	51.25	66.48	50	r37j
o50y	56.54	30.2	63.39	70.22	65	r58j
o75y	67.39	15.68	77.9	79.47	79	r79j
y00l	82.58	-4.64	98.22	98.33	93	j01g
y25l	70.85	-21.66	80.19	83.07	105	j18g
y50l	61.91	-34.63	66.45	74.93	118	j36g
y75l	54.24	-45.77	54.66	71.29	130	j53g
l00c	46.95	-56.34	43.46	71.15	142	j71g
l50c	51.91	-36.84	-3.21	36.98	185	g21b
c00v	54.62	-26.2	-28.68	38.85	228	g60b
c50v	42.22	-0.61	-37.35	37.36	269	g97b
v00m	20.01	45.2	-52.87	69.56	311	b34r
v50m	29.93	57.31	-42.0	71.05	324	b45r
m00o	40.88	70.68	-29.99	76.78	337	b57r
m50o	39.77	61.72	7.23	62.15	7	b83r



Ein und Ausgabe: Farbmetrisches Drucker-Reflektiv-System FRS15_90a für relativen CIELAB-Buntton $h^* = lab^*h^* = h_{ab}/360 = 0.292$

Daten für jede Farbe:

lab^*tch^* und lab^*icu^*

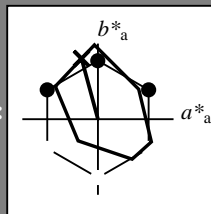
Bunttontexte:

$u^*_d = y25l$ $u^*_e = j18g$

Kontrastreduzierungsfaktor:

$c_R = 0.9$

Dreiecks-Helligkeit i^*



FRS15_90a; adaptierte CIELAB-Daten

u^*_d	$L^*=L^*_a$	a^*_a	b^*_a	$C^*_{ab,a}$	$h^*_{ab,a}$
O _{Ma}	38.8	53.92	39.68	66.95	36
Y _{Ma}	82.58	-4.64	98.22	98.33	93
L _{Ma}	46.95	-56.34	43.46	71.15	142
C _{Ma}	54.62	-26.2	-28.68	38.85	228
V _{Ma}	20.01	45.2	-52.87	69.56	311
M _{Ma}	40.88	70.68	-29.99	76.78	337
N _{Ma}	15.0	0.0	0.0	0.0	0
W _{Ma}	90.0	0.0	0.0	0.0	0
O _{Ma}	39.92	58.74	27.99	65.07	25
Y _{Ma}	81.26	-2.89	71.56	71.62	92
L _{Ma}	52.23	-42.42	13.6	44.55	162
V _{Ma}	30.57	1.41	-46.47	46.49	272

Daten für Maximalfarbe (Ma):

$LAB^*LAB^*_{Ma}$: 71 -22 80

$LAB^*LCH^*_{Ma}$: 71 83 105

$lab^*olv^*_{Ma}$: 0.75 1.0 0.0

$lab^*rgb^*_{Ma}$: 0.82 1.0 0.0

Dreiecks-Helligkeit i^*

%Umfang

$u^*_{rel} = 88$

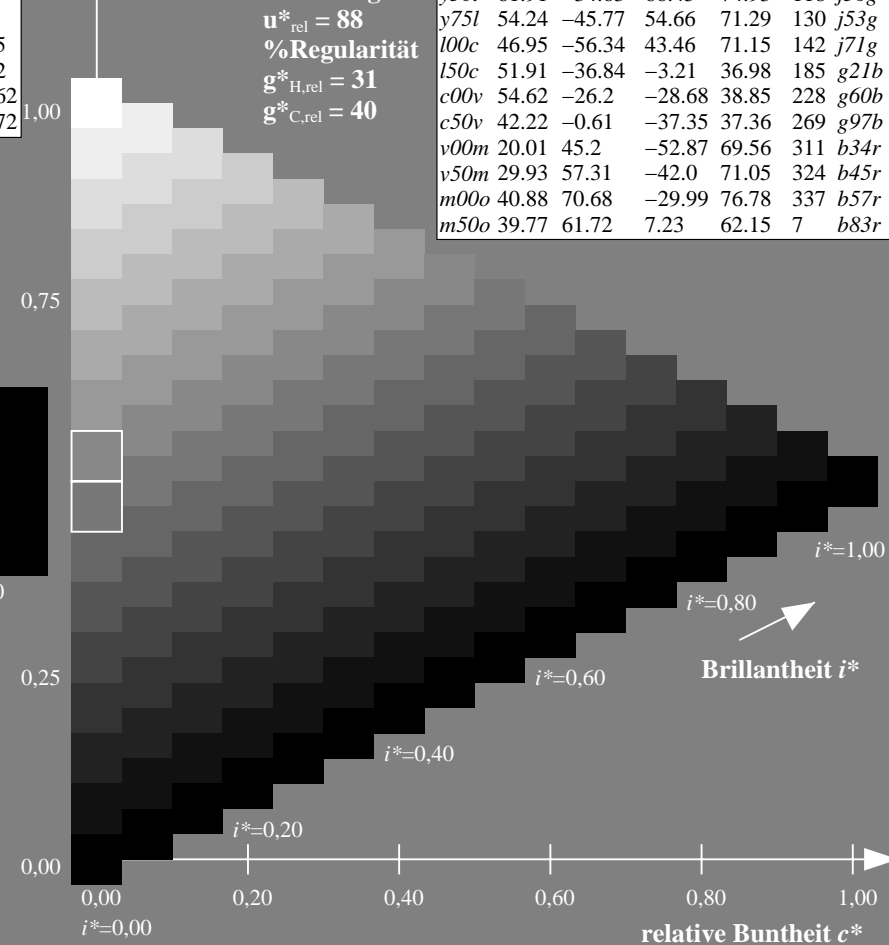
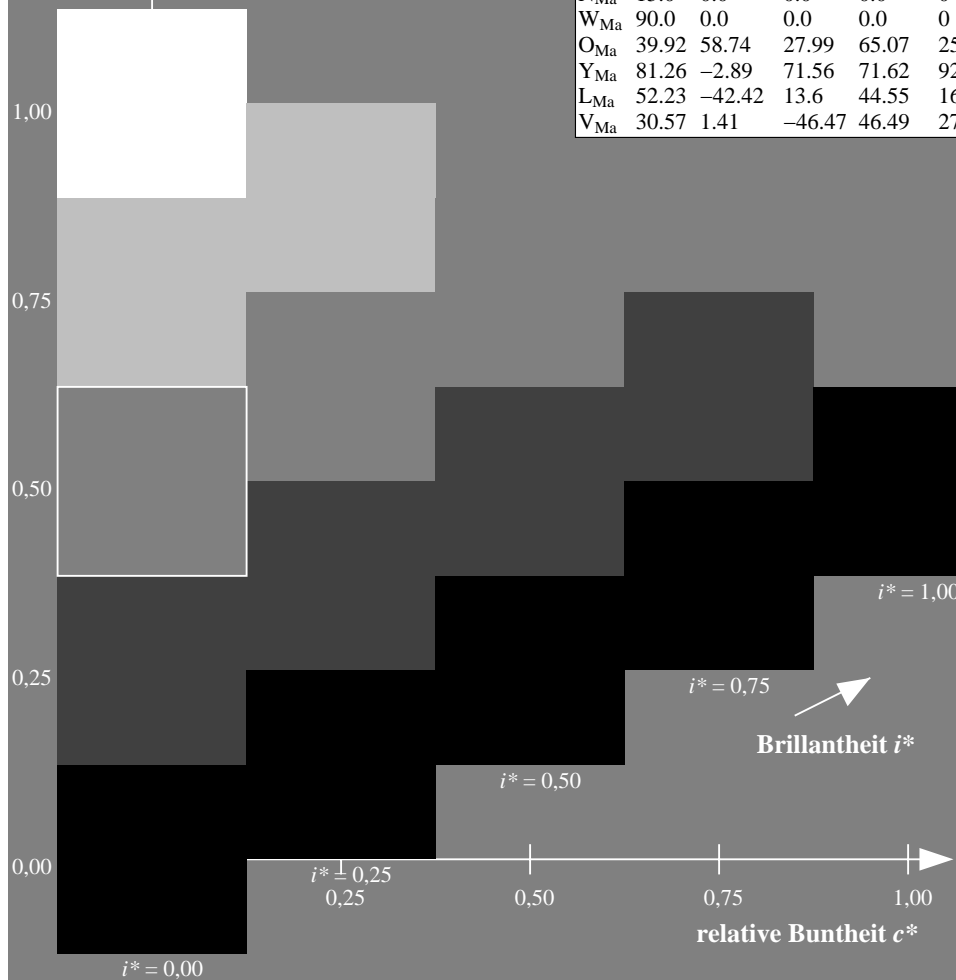
%Regularität

$g^*_{H,rel} = 31$

$g^*_{C,rel} = 40$

FRS15_90a; adaptierte CIELAB-Daten

u^*_d	$L^*=L^*_a$	a^*_a	b^*_a	$C^*_{ab,a}$	$h^*_{ab,a}$	u^*_e
o00y	38.8	53.92	39.68	66.95	36	r16j
o25y	47.46	42.34	51.25	66.48	50	r37j
o50y	56.54	30.2	63.39	70.22	65	r58j
o75y	67.39	15.68	77.9	79.47	79	r79j
y00l	82.58	-4.64	98.22	98.33	93	j01g
y25l	70.85	-21.66	80.19	83.07	105	j18g
y50l	61.91	-34.63	66.45	74.93	118	j36g
y75l	54.24	-45.77	54.66	71.29	130	j53g
l00c	46.95	-56.34	43.46	71.15	142	j71g
l50c	51.91	-36.84	-3.21	36.98	185	g21b
c00v	54.62	-26.2	-28.68	38.85	228	g60b
c50v	42.22	-0.61	-37.35	37.36	269	g97b
v00m	20.01	45.2	-52.87	69.56	311	b34r
v50m	29.93	57.31	-42.0	71.05	324	b45r
m00o	40.88	70.68	-29.99	76.78	337	b57r
m50o	39.77	61.72	7.23	62.15	7	b83r



Ein und Ausgabe: Farbmetrisches Drucker-Reflektiv-System FRS15_90a für relativen CIELAB-Buntton $h^* = lab^*h^* = h_{ab}/360 = 0.326$

Daten für jede Farbe:

lab^*tch^* und lab^*icu^*

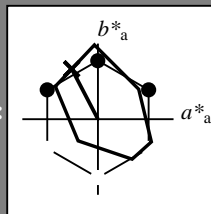
Bunttontexte:

$u^*_d = y50l$ $u^*_e = j36g$

Kontrastreduzierungsfaktor:

$c_R = 0.9$

Dreiecks-Helligkeit i^*



FRS15_90a; adaptierte CIELAB-Daten

u^*_d	$L^*=L^*_a$	a^*_a	b^*_a	$C^*_{ab,a}$	$h^*_{ab,a}$
O _{Ma}	38.8	53.92	39.68	66.95	36
Y _{Ma}	82.58	-4.64	98.22	98.33	93
L _{Ma}	46.95	-56.34	43.46	71.15	142
C _{Ma}	54.62	-26.2	-28.68	38.85	228
V _{Ma}	20.01	45.2	-52.87	69.56	311
M _{Ma}	40.88	70.68	-29.99	76.78	337
N _{Ma}	15.0	0.0	0.0	0.0	0
W _{Ma}	90.0	0.0	0.0	0.0	0
O _{Ma}	39.92	58.74	27.99	65.07	25
Y _{Ma}	81.26	-2.89	71.56	71.62	92
L _{Ma}	52.23	-42.42	13.6	44.55	162
V _{Ma}	30.57	1.41	-46.47	46.49	272

Daten für Maximalfarbe (Ma):

LAB^*LAB^*Ma : 62 -35 66

LAB^*LCH^*Ma : 62 75 117

lab^*olv^*Ma : 0.5 1.0 0.0

lab^*rgb^*Ma : 0.64 1.0 0.0

Dreiecks-Helligkeit i^*

%Umfang

$u^*_{rel} = 88$

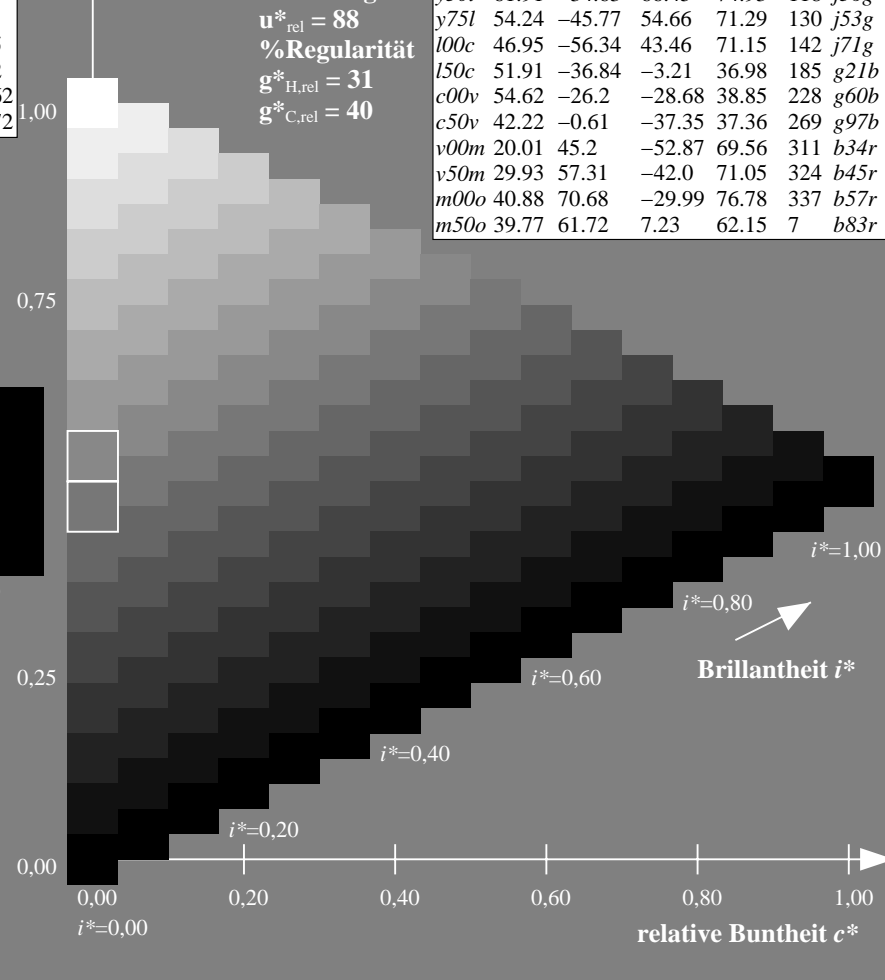
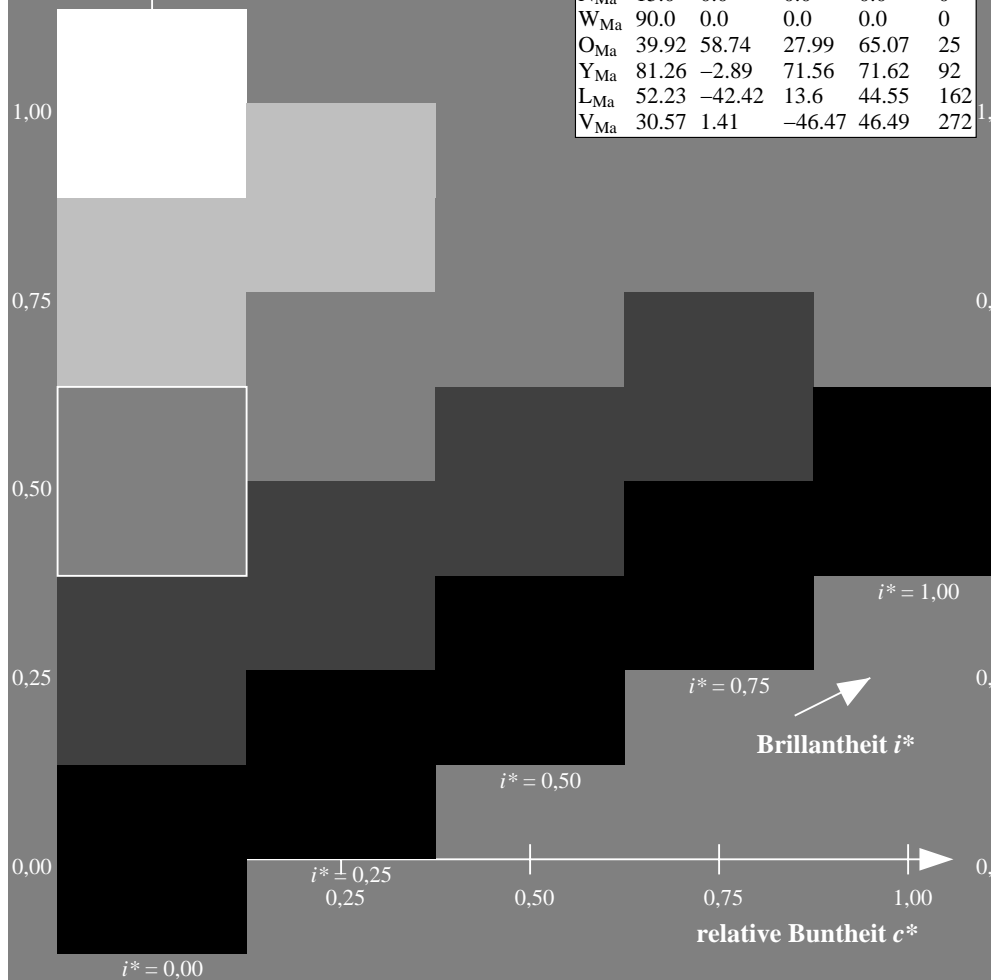
%Regularität

$g^*_{H,rel} = 31$

$g^*_{C,rel} = 40$

FRS15_90a; adaptierte CIELAB-Daten

u^*_d	$L^*=L^*_a$	a^*_a	b^*_a	$C^*_{ab,a}$	$h^*_{ab,a}$	u^*_e
o00y	38.8	53.92	39.68	66.95	36	r16j
o25y	47.46	42.34	51.25	66.48	50	r37j
o50y	56.54	30.2	63.39	70.22	65	r58j
o75y	67.39	15.68	77.9	79.47	79	r79j
y00l	82.58	-4.64	98.22	98.33	93	j01g
y25l	70.85	-21.66	80.19	83.07	105	j18g
y50l	61.91	-34.63	66.45	74.93	118	j36g
y75l	54.24	-45.77	54.66	71.29	130	j53g
l00c	46.95	-56.34	43.46	71.15	142	j71g
l50c	51.91	-36.84	-3.21	36.98	185	g21b
c00v	54.62	-26.2	-28.68	38.85	228	g60b
c50v	42.22	-0.61	-37.35	37.36	269	g97b
v00m	20.01	45.2	-52.87	69.56	311	b34r
v50m	29.93	57.31	-42.0	71.05	324	b45r
m00o	40.88	70.68	-29.99	76.78	337	b57r
m50o	39.77	61.72	7.23	62.15	7	b83r



Ein und Ausgabe: Farbmetrisches Drucker-Reflektiv-System FRS15_90a für relativen CIELAB-Buntton $h^* = lab^*h^* = h_{ab}/360 = 0.361$

Daten für jede Farbe:

lab^*tch^* und lab^*icu^*

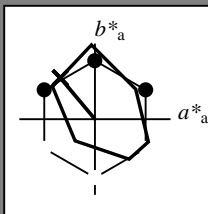
Bunttontexte:

$u^*_d = y75l$ $u^*_e = j53g$

Kontrastreduzierungsfaktor:

$c_R = 0.9$

Dreiecks-Helligkeit i^*



FRS15_90a; adaptierte CIELAB-Daten

u^*_d	$L^*=L^*_a$	a^*_a	b^*_a	$C^*_{ab,a}$	$h^*_{ab,a}$
O _{Ma}	38.8	53.92	39.68	66.95	36
Y _{Ma}	82.58	-4.64	98.22	98.33	93
L _{Ma}	46.95	-56.34	43.46	71.15	142
C _{Ma}	54.62	-26.2	-28.68	38.85	228
V _{Ma}	20.01	45.2	-52.87	69.56	311
M _{Ma}	40.88	70.68	-29.99	76.78	337
N _{Ma}	15.0	0.0	0.0	0.0	0
W _{Ma}	90.0	0.0	0.0	0.0	0
O _{Ma}	39.92	58.74	27.99	65.07	25
Y _{Ma}	81.26	-2.89	71.56	71.62	92
L _{Ma}	52.23	-42.42	13.6	44.55	162
V _{Ma}	30.57	1.41	-46.47	46.49	272

Daten für Maximalfarbe (Ma):

$LAB^*LAB^*_{Ma}$: 54 -46 55

$LAB^*LCH^*_{Ma}$: 54 71 129

$lab^*olv^*_{Ma}$: 0.25 1.0 0.0

$lab^*rgb^*_{Ma}$: 0.46 1.0 0.0

Dreiecks-Helligkeit i^*

%Umfang

$u^*_{rel} = 88$

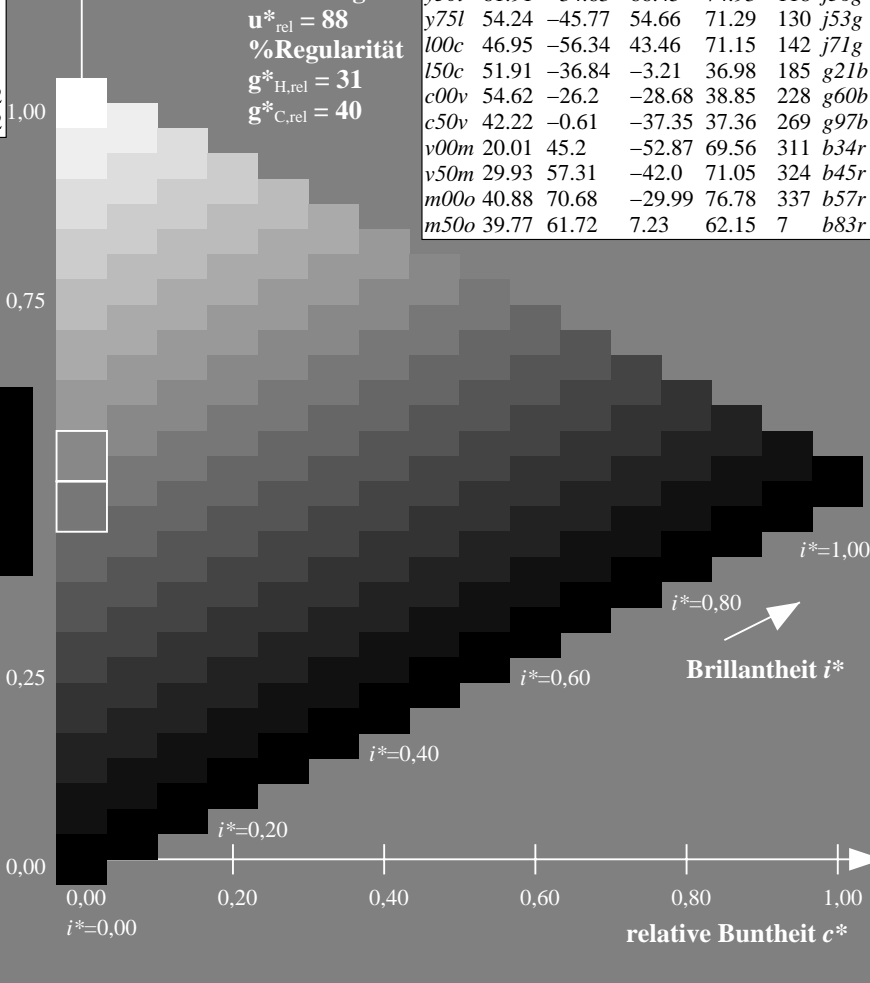
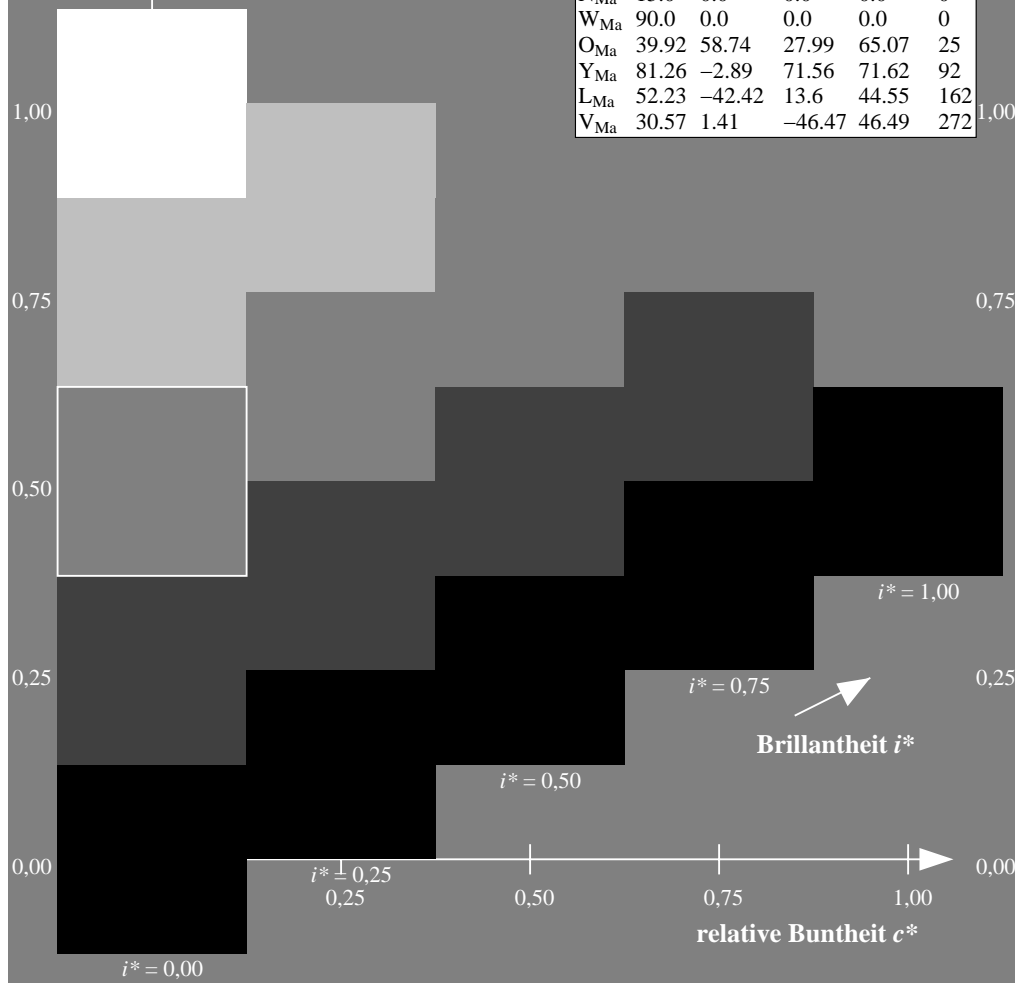
%Regularität

$g^*_{H,rel} = 31$

$g^*_{C,rel} = 40$

FRS15_90a; adaptierte CIELAB-Daten

u^*_d	$L^*=L^*_a$	a^*_a	b^*_a	$C^*_{ab,a}$	$h^*_{ab,a}$	u^*_e
o00y	38.8	53.92	39.68	66.95	36	r16j
o25y	47.46	42.34	51.25	66.48	50	r37j
o50y	56.54	30.2	63.39	70.22	65	r58j
o75y	67.39	15.68	77.9	79.47	79	r79j
y00l	82.58	-4.64	98.22	98.33	93	j01g
y25l	70.85	-21.66	80.19	83.07	105	j18g
y50l	61.91	-34.63	66.45	74.93	118	j36g
y75l	54.24	-45.77	54.66	71.29	130	j53g
l00c	46.95	-56.34	43.46	71.15	142	j71g
l50c	51.91	-36.84	-3.21	36.98	185	g21b
c00v	54.62	-26.2	-28.68	38.85	228	g60b
c50v	42.22	-0.61	-37.35	37.36	269	g97b
v00m	20.01	45.2	-52.87	69.56	311	b34r
v50m	29.93	57.31	-42.0	71.05	324	b45r
m00o	40.88	70.68	-29.99	76.78	337	b57r
m50o	39.77	61.72	7.23	62.15	7	b83r



Ein und Ausgabe: Farbmetrisches Drucker-Reflektiv-System FRS15_90a für relativen CIELAB-Buntton $h^* = lab^*h^* = h_{ab}/360 = 0.395$

Daten für jede Farbe:

lab^*tch^* und lab^*icu^*

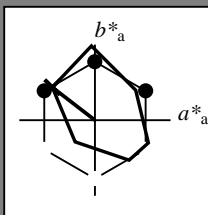
Bunttontexte:

$u^*_d = 100c$ $u^*_e = j71g$

Kontrastreduzierungsfaktor:

$c_R = 0.9$

Dreiecks-Helligkeit i^*



FRS15_90a; adaptierte CIELAB-Daten

u^*_d	$L^*=L^*_a$	a^*_a	b^*_a	$C^*_{ab,a}$	$h^*_{ab,a}$
O _{Ma}	38.8	53.92	39.68	66.95	36
Y _{Ma}	82.58	-4.64	98.22	98.33	93
L _{Ma}	46.95	-56.34	43.46	71.15	142
C _{Ma}	54.62	-26.2	-28.68	38.85	228
V _{Ma}	20.01	45.2	-52.87	69.56	311
M _{Ma}	40.88	70.68	-29.99	76.78	337
N _{Ma}	15.0	0.0	0.0	0.0	0
W _{Ma}	90.0	0.0	0.0	0.0	0
O _{Ma}	39.92	58.74	27.99	65.07	25
Y _{Ma}	81.26	-2.89	71.56	71.62	92
L _{Ma}	52.23	-42.42	13.6	44.55	162
V _{Ma}	30.57	1.41	-46.47	46.49	272

Daten für Maximalfarbe (Ma):

$LAB^*LAB^*_{Ma}$: 47 -56 43

$LAB^*LCH^*_{Ma}$: 47 71 142

$lab^*olv^*_{Ma}$: 0.0 1.0 0.0

$lab^*rgb^*_{Ma}$: 0.28 1.0 0.0

Dreiecks-Helligkeit i^*

%Umfang

$u^*_{rel} = 88$

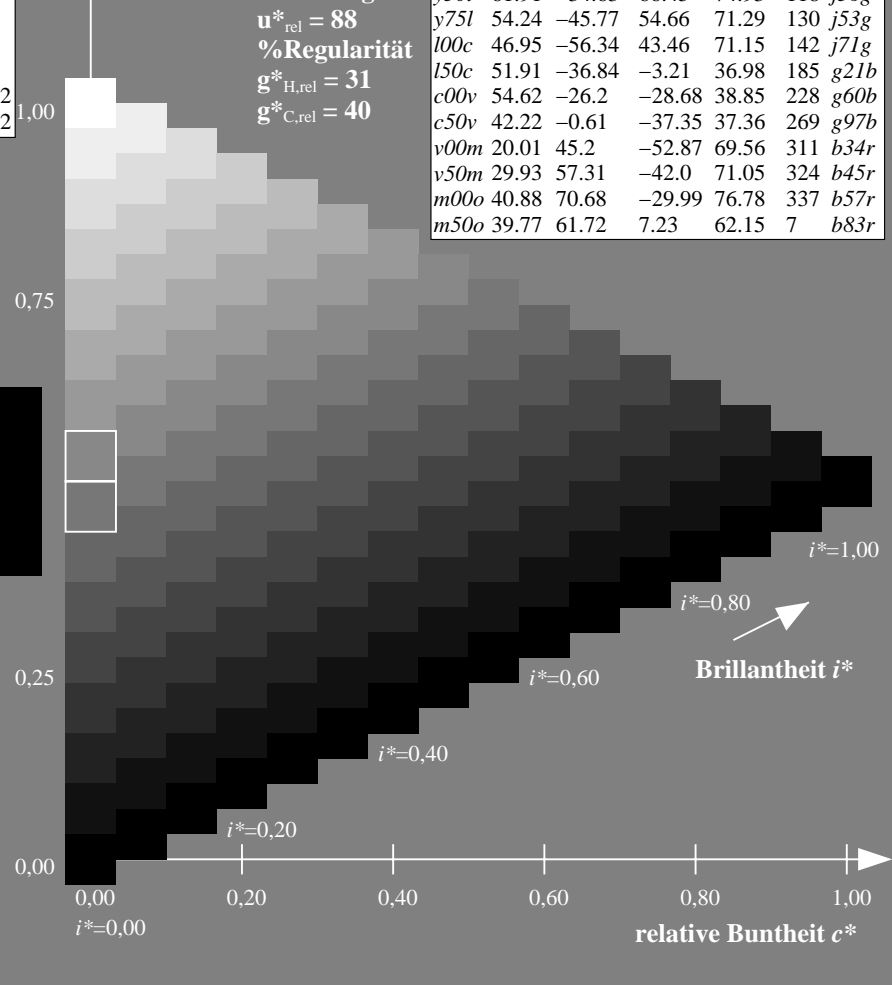
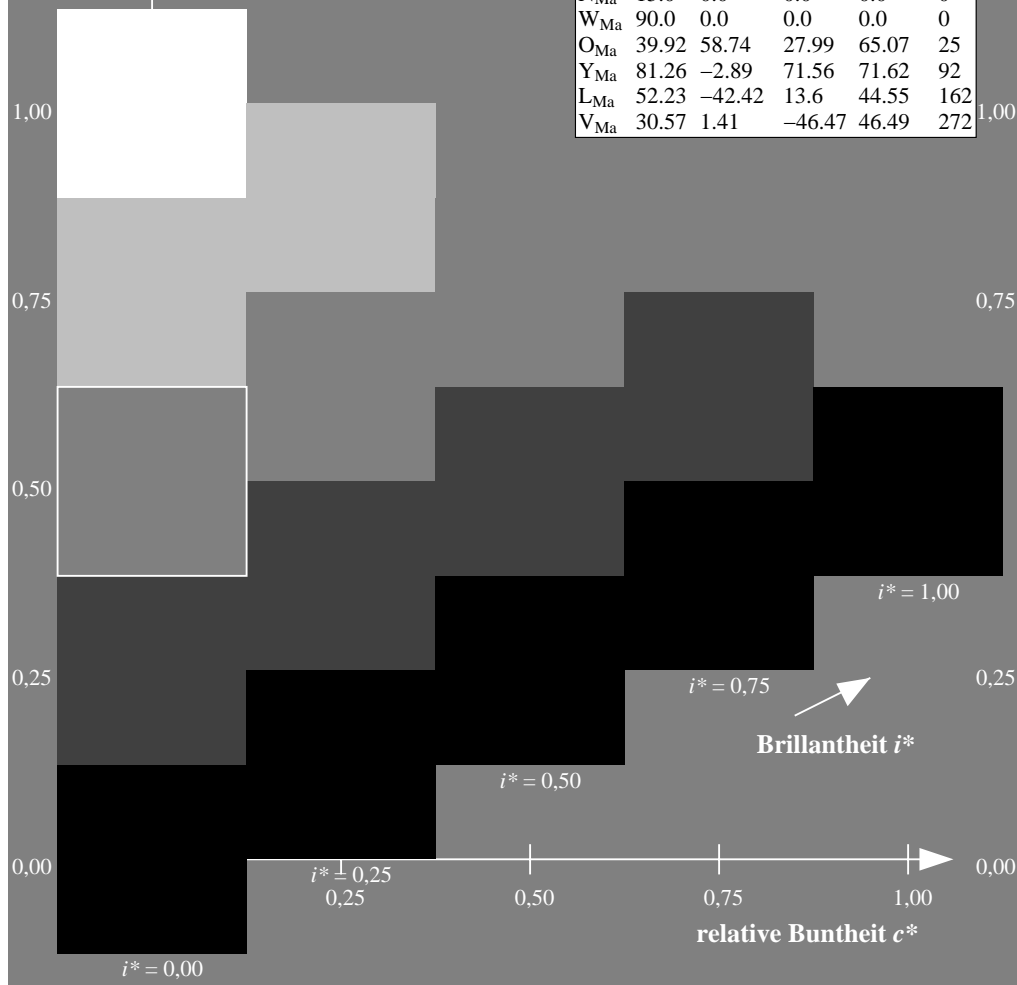
%Regularität

$g^*_{H,rel} = 31$

$g^*_{C,rel} = 40$

FRS15_90a; adaptierte CIELAB-Daten

u^*_d	$L^*=L^*_a$	a^*_a	b^*_a	$C^*_{ab,a}$	$h^*_{ab,a}$	u^*_e
o00y	38.8	53.92	39.68	66.95	36	r16j
o25y	47.46	42.34	51.25	66.48	50	r37j
o50y	56.54	30.2	63.39	70.22	65	r58j
o75y	67.39	15.68	77.9	79.47	79	r79j
y00l	82.58	-4.64	98.22	98.33	93	j01g
y25l	70.85	-21.66	80.19	83.07	105	j18g
y50l	61.91	-34.63	66.45	74.93	118	j36g
y75l	54.24	-45.77	54.66	71.29	130	j53g
l00c	46.95	-56.34	43.46	71.15	142	j71g
l50c	51.91	-36.84	-3.21	36.98	185	g21b
c00v	54.62	-26.2	-28.68	38.85	228	g60b
c50v	42.22	-0.61	-37.35	37.36	269	g97b
v00m	20.01	45.2	-52.87	69.56	311	b34r
v50m	29.93	57.31	-42.0	71.05	324	b45r
m00o	40.88	70.68	-29.99	76.78	337	b57r
m50o	39.77	61.72	7.23	62.15	7	b83r



Ein und Ausgabe: Farbmetrisches Drucker-Reflektiv-System FRS15_90a für relativen CIELAB-Buntton $h^* = lab^*h^* = h_{ab}/360 = 0.514$

Daten für jede Farbe:

lab^*tch^* und lab^*icu^*

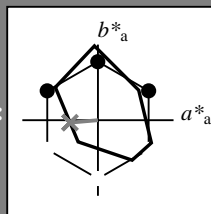
Bunttontexte:

$u^*_d = l50c$ $u^*_e = g21b$

Kontrastreduzierungsfaktor:

$c_R = 0.9$

Dreiecks-Helligkeit i^*



FRS15_90a; adaptierte CIELAB-Daten

u^*_d	$L^*=L^*_a$	a^*_a	b^*_a	$C^*_{ab,a}$	$h^*_{ab,a}$
O _{Ma}	38.8	53.92	39.68	66.95	36
Y _{Ma}	82.58	-4.64	98.22	98.33	93
L _{Ma}	46.95	-56.34	43.46	71.15	142
C _{Ma}	54.62	-26.2	-28.68	38.85	228
V _{Ma}	20.01	45.2	-52.87	69.56	311
M _{Ma}	40.88	70.68	-29.99	76.78	337
N _{Ma}	15.0	0.0	0.0	0.0	0
W _{Ma}	90.0	0.0	0.0	0.0	0
O _{Ma}	39.92	58.74	27.99	65.07	25
Y _{Ma}	81.26	-2.89	71.56	71.62	92
L _{Ma}	52.23	-42.42	13.6	44.55	162
V _{Ma}	30.57	1.41	-46.47	46.49	272

Daten für Maximalfarbe (Ma):

LAB^*LAB^*Ma : 52 -37 -3

LAB^*LCH^*Ma : 52 37 184

lab^*olv^*Ma : 0.0 1.0 0.5

lab^*rgb^*Ma : 0.0 1.0 0.42

Dreiecks-Helligkeit i^*

%Umfang

$u^*_{rel} = 88$

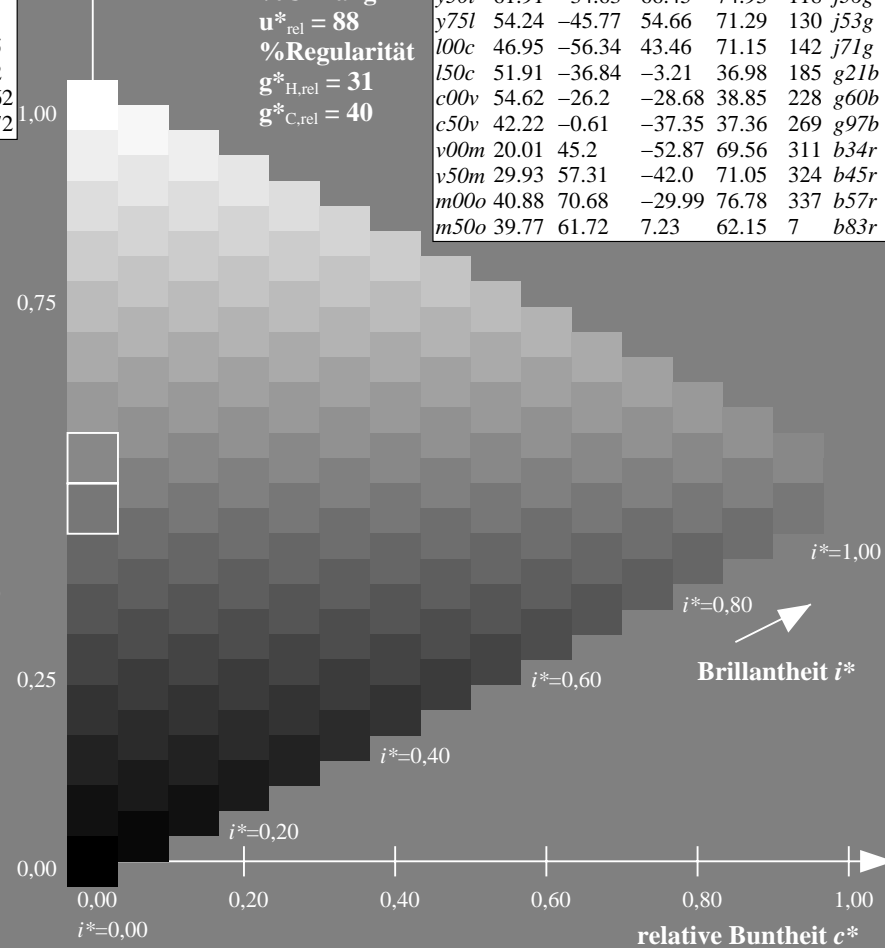
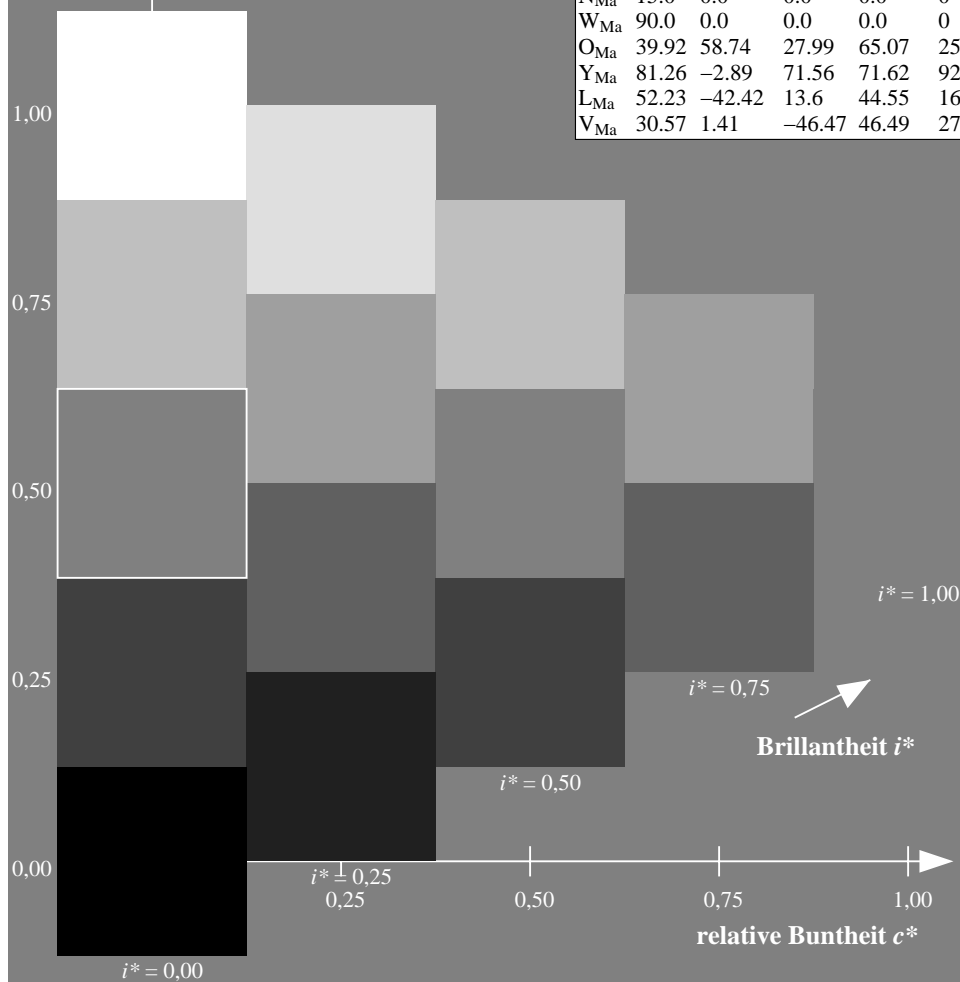
%Regularität

$g^*_{H,rel} = 31$

$g^*_{C,rel} = 40$

FRS15_90a; adaptierte CIELAB-Daten

u^*_d	$L^*=L^*_a$	a^*_a	b^*_a	$C^*_{ab,a}$	$h^*_{ab,a}$	u^*_e
o00y	38.8	53.92	39.68	66.95	36	r16j
o25y	47.46	42.34	51.25	66.48	50	r37j
o50y	56.54	30.2	63.39	70.22	65	r58j
o75y	67.39	15.68	77.9	79.47	79	r79j
y00l	82.58	-4.64	98.22	98.33	93	j01g
y25l	70.85	-21.66	80.19	83.07	105	j18g
y50l	61.91	-34.63	66.45	74.93	118	j36g
y75l	54.24	-45.77	54.66	71.29	130	j53g
l00c	46.95	-56.34	43.46	71.15	142	j71g
l50c	51.91	-36.84	-3.21	36.98	185	g21b
c00v	54.62	-26.2	-28.68	38.85	228	g60b
c50v	42.22	-0.61	-37.35	37.36	269	g97b
v00m	20.01	45.2	-52.87	69.56	311	b34r
v50m	29.93	57.31	-42.0	71.05	324	b45r
m00o	40.88	70.68	-29.99	76.78	337	b57r
m50o	39.77	61.72	7.23	62.15	7	b83r



Ein und Ausgabe: Farbmetrisches Drucker-Reflektiv-System FRS15_90a für relativen CIELAB-Buntton $h^* = lab^*h^* = h_{ab}/360 = 0.632$

Daten für jede Farbe:

lab^*ch^* und lab^*icu^*

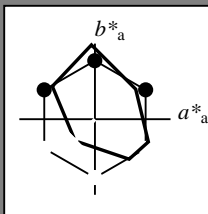
Bunttontexte:

$u^*_d = c00v$ $u^*_e = g60b$

Kontrastreduzierungsfaktor:

$c_R = 0.9$

Dreiecks-Helligkeit i^*



FRS15_90a; adaptierte CIELAB-Daten

u^*_d	$L^*=L^*_a$	a^*_a	b^*_a	$C^*_{ab,a}$	$h^*_{ab,a}$
O _{Ma}	38.8	53.92	39.68	66.95	36
Y _{Ma}	82.58	-4.64	98.22	98.33	93
L _{Ma}	46.95	-56.34	43.46	71.15	142
C _{Ma}	54.62	-26.2	-28.68	38.85	228
V _{Ma}	20.01	45.2	-52.87	69.56	311
M _{Ma}	40.88	70.68	-29.99	76.78	337
N _{Ma}	15.0	0.0	0.0	0.0	0
W _{Ma}	90.0	0.0	0.0	0.0	0
O _{Ma}	39.92	58.74	27.99	65.07	25
Y _{Ma}	81.26	-2.89	71.56	71.62	92
L _{Ma}	52.23	-42.42	13.6	44.55	162
V _{Ma}	30.57	1.41	-46.47	46.49	272

Daten für Maximalfarbe (Ma):

LAB^*LAB^*Ma : 55 -26 -29

LAB^*LCH^*Ma : 55 39 227

lab^*olv^*Ma : 0.0 1.0 1.0

lab^*rgb^*Ma : 0.0 0.81 1.0

Dreiecks-Helligkeit i^*

%Umfang

$u^*_{rel} = 88$

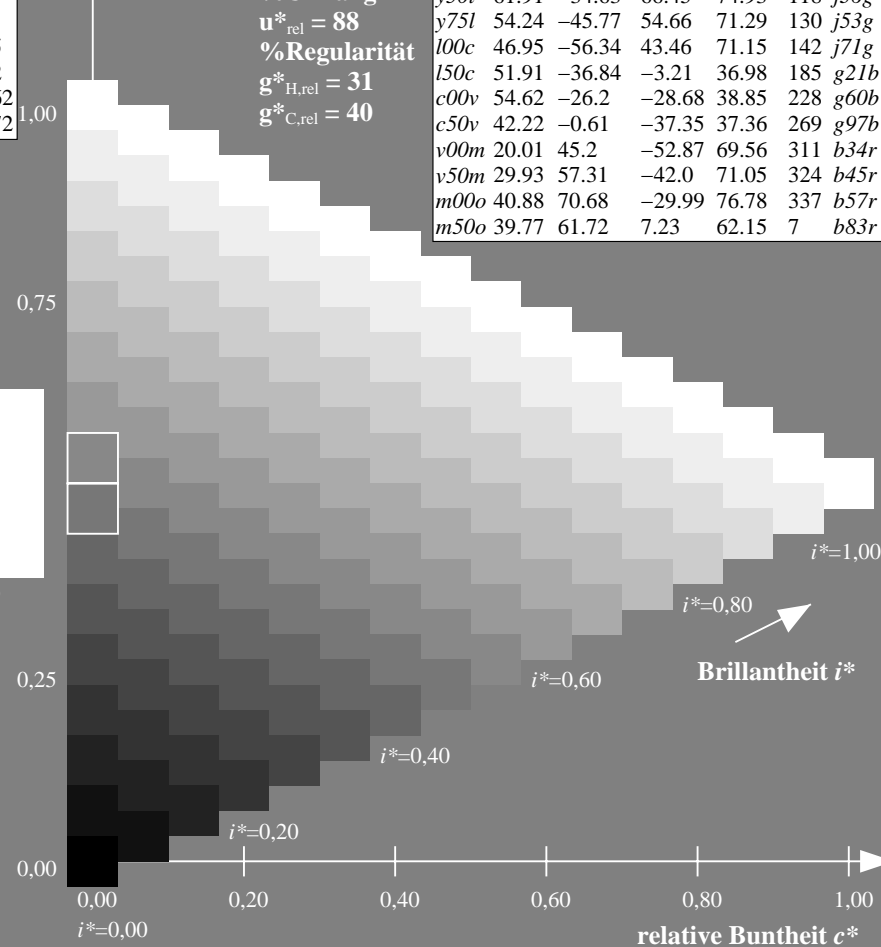
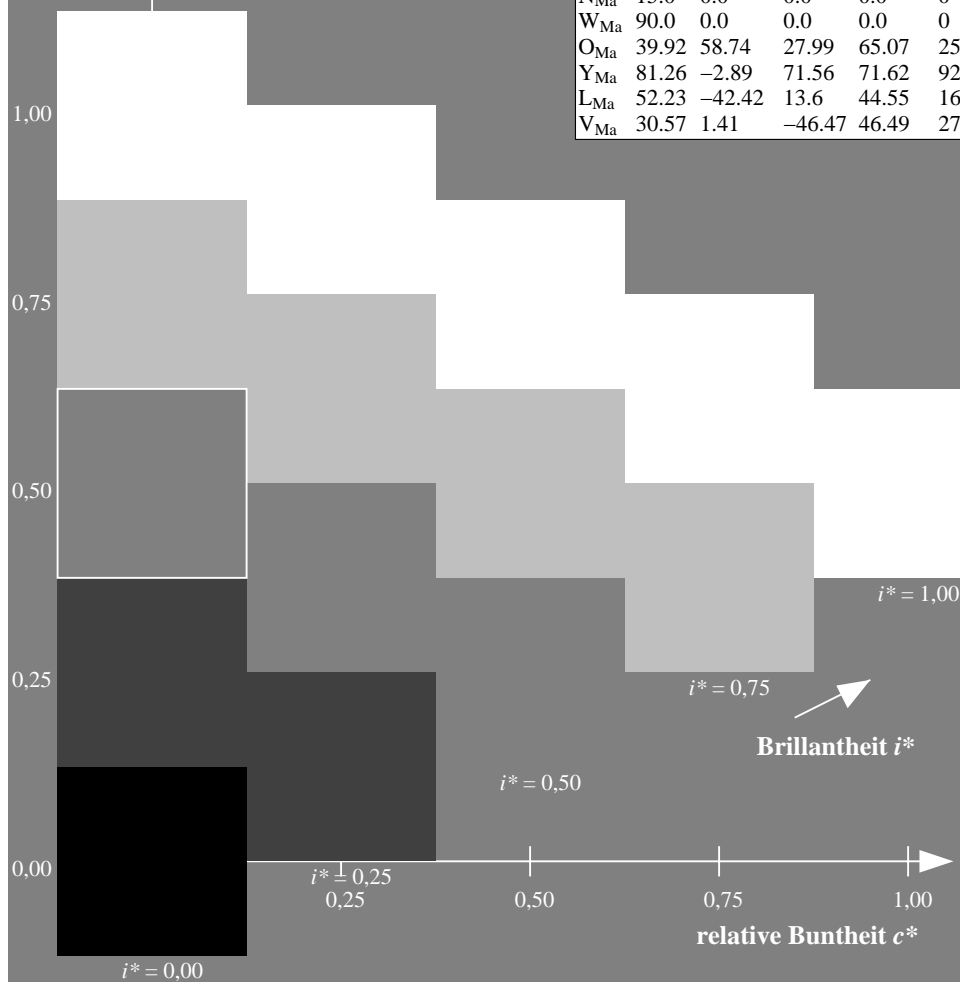
%Regularität

$g^*_{H,rel} = 31$

$g^*_{C,rel} = 40$

FRS15_90a; adaptierte CIELAB-Daten

u^*_d	$L^*=L^*_a$	a^*_a	b^*_a	$C^*_{ab,a}$	$h^*_{ab,a}$	u^*_e
o00y	38.8	53.92	39.68	66.95	36	r16j
o25y	47.46	42.34	51.25	66.48	50	r37j
o50y	56.54	30.2	63.39	70.22	65	r58j
o75y	67.39	15.68	77.9	79.47	79	r79j
y00l	82.58	-4.64	98.22	98.33	93	j01g
y25l	70.85	-21.66	80.19	83.07	105	j18g
y50l	61.91	-34.63	66.45	74.93	118	j36g
y75l	54.24	-45.77	54.66	71.29	130	j53g
l00c	46.95	-56.34	43.46	71.15	142	j71g
l50c	51.91	-36.84	-3.21	36.98	185	g21b
c00v	54.62	-26.2	-28.68	38.85	228	g60b
c50v	42.22	-0.61	-37.35	37.36	269	g97b
v00m	20.01	45.2	-52.87	69.56	311	b34r
v50m	29.93	57.31	-42.0	71.05	324	b45r
m00o	40.88	70.68	-29.99	76.78	337	b57r
m50o	39.77	61.72	7.23	62.15	7	b83r



Ein und Ausgabe: Farbmetrisches Drucker-Reflektiv-System FRS15_90a für relativen CIELAB-Buntton $h^* = lab^*h^* = h_{ab}/360 = 0.747$

Daten für jede Farbe:

lab^*ch^* und lab^*icu^*

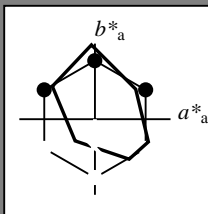
Bunttontexte:

$u^*_d = c50v$ $u^*_e = g97b$

Kontrastreduzierungsfaktor:

$c_R = 0.9$

Dreiecks-Helligkeit i^*



FRS15_90a; adaptierte CIELAB-Daten

u^*_d	$L^*=L^*_a$	a^*_a	b^*_a	$C^*_{ab,a}$	$h^*_{ab,a}$
O _{Ma}	38.8	53.92	39.68	66.95	36
Y _{Ma}	82.58	-4.64	98.22	98.33	93
L _{Ma}	46.95	-56.34	43.46	71.15	142
C _{Ma}	54.62	-26.2	-28.68	38.85	228
V _{Ma}	20.01	45.2	-52.87	69.56	311
M _{Ma}	40.88	70.68	-29.99	76.78	337
N _{Ma}	15.0	0.0	0.0	0.0	0
W _{Ma}	90.0	0.0	0.0	0.0	0
O _{Ma}	39.92	58.74	27.99	65.07	25
Y _{Ma}	81.26	-2.89	71.56	71.62	92
L _{Ma}	52.23	-42.42	13.6	44.55	162
V _{Ma}	30.57	1.41	-46.47	46.49	272

Daten für Maximalfarbe (Ma):

LAB^*LAB^*Ma : 42 -1 -37

LAB^*LCH^*Ma : 42 37 269

lab^*olv^*Ma : 0.0 0.5 1.0

lab^*rgb^*Ma : 0.0 0.05 1.0

Dreiecks-Helligkeit i^*

%Umfang

$u^*_{rel} = 88$

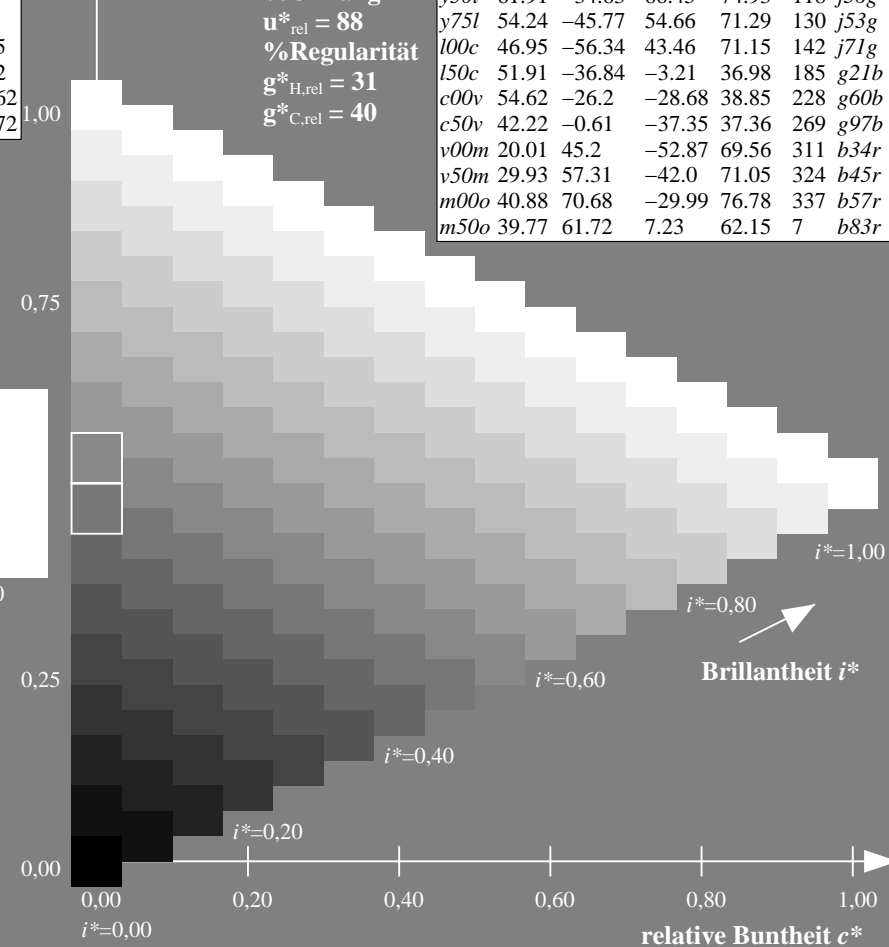
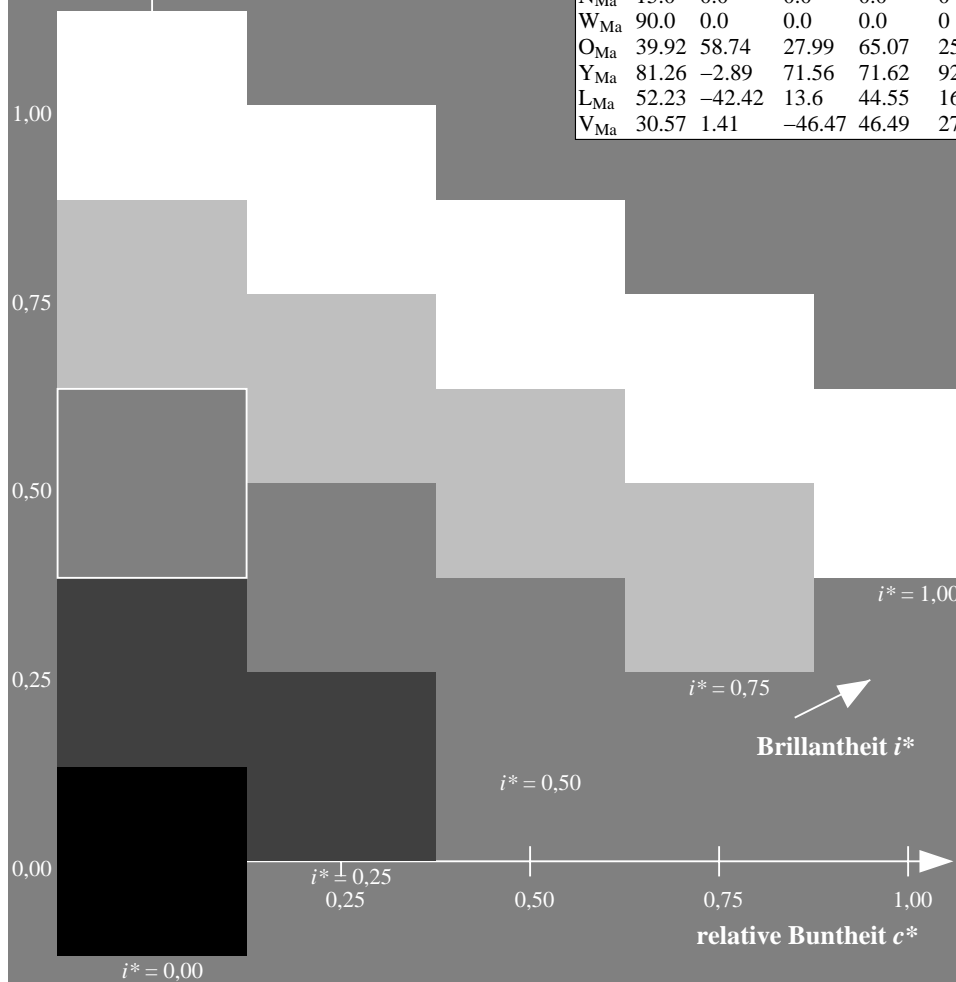
%Regularität

$g^*_{H,rel} = 31$

$g^*_{C,rel} = 40$

FRS15_90a; adaptierte CIELAB-Daten

u^*_d	$L^*=L^*_a$	a^*_a	b^*_a	$C^*_{ab,a}$	$h^*_{ab,a}$	u^*_e
o00y	38.8	53.92	39.68	66.95	36	r16j
o25y	47.46	42.34	51.25	66.48	50	r37j
o50y	56.54	30.2	63.39	70.22	65	r58j
o75y	67.39	15.68	77.9	79.47	79	r79j
y00l	82.58	-4.64	98.22	98.33	93	j01g
y25l	70.85	-21.66	80.19	83.07	105	j18g
y50l	61.91	-34.63	66.45	74.93	118	j36g
y75l	54.24	-45.77	54.66	71.29	130	j53g
l00c	46.95	-56.34	43.46	71.15	142	j71g
l50c	51.91	-36.84	-3.21	36.98	185	g21b
c00v	54.62	-26.2	-28.68	38.85	228	g60b
c50v	42.22	-0.61	-37.35	37.36	269	g97b
v00m	20.01	45.2	-52.87	69.56	311	b34r
v50m	29.93	57.31	-42.0	71.05	324	b45r
m00o	40.88	70.68	-29.99	76.78	337	b57r
m50o	39.77	61.72	7.23	62.15	7	b83r



Ein und Ausgabe: Farbmetrisches Drucker-Reflektiv-System FRS15_90a für relativen CIELAB-Buntton $h^* = lab^*h^* = h_{ab}/360 = 0.863$

Daten für jede Farbe:

lab^*ch^* und lab^*icu^*

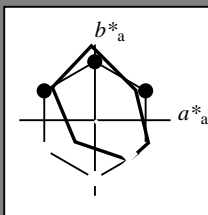
Bunttontexte:

$u^*_d = v00m$ $u^*_e = b34r$

Kontrastreduzierungsfaktor:

$c_R = 0.9$

Dreiecks-Helligkeit i^*



FRS15_90a; adaptierte CIELAB-Daten

u^*_d	$L^*=L^*_a$	a^*_a	b^*_a	$C^*_{ab,a}$	$h^*_{ab,a}$
O _{Ma}	38.8	53.92	39.68	66.95	36
Y _{Ma}	82.58	-4.64	98.22	98.33	93
L _{Ma}	46.95	-56.34	43.46	71.15	142
C _{Ma}	54.62	-26.2	-28.68	38.85	228
V _{Ma}	20.01	45.2	-52.87	69.56	311
M _{Ma}	40.88	70.68	-29.99	76.78	337
N _{Ma}	15.0	0.0	0.0	0.0	0
W _{Ma}	90.0	0.0	0.0	0.0	0
O _{Ma}	39.92	58.74	27.99	65.07	25
Y _{Ma}	81.26	-2.89	71.56	71.62	92
L _{Ma}	52.23	-42.42	13.6	44.55	162
V _{Ma}	30.57	1.41	-46.47	46.49	272

Daten für Maximalfarbe (Ma):

LAB^*LAB^*Ma : 20 45 -53

LAB^*LCH^*Ma : 20 70 310

lab^*olv^*Ma : 0.0 0.0 1.0

lab^*rgb^*Ma : 0.68 0.0 1.0

Dreiecks-Helligkeit i^*

%Umfang

$u^*_{rel} = 88$

%Regularität

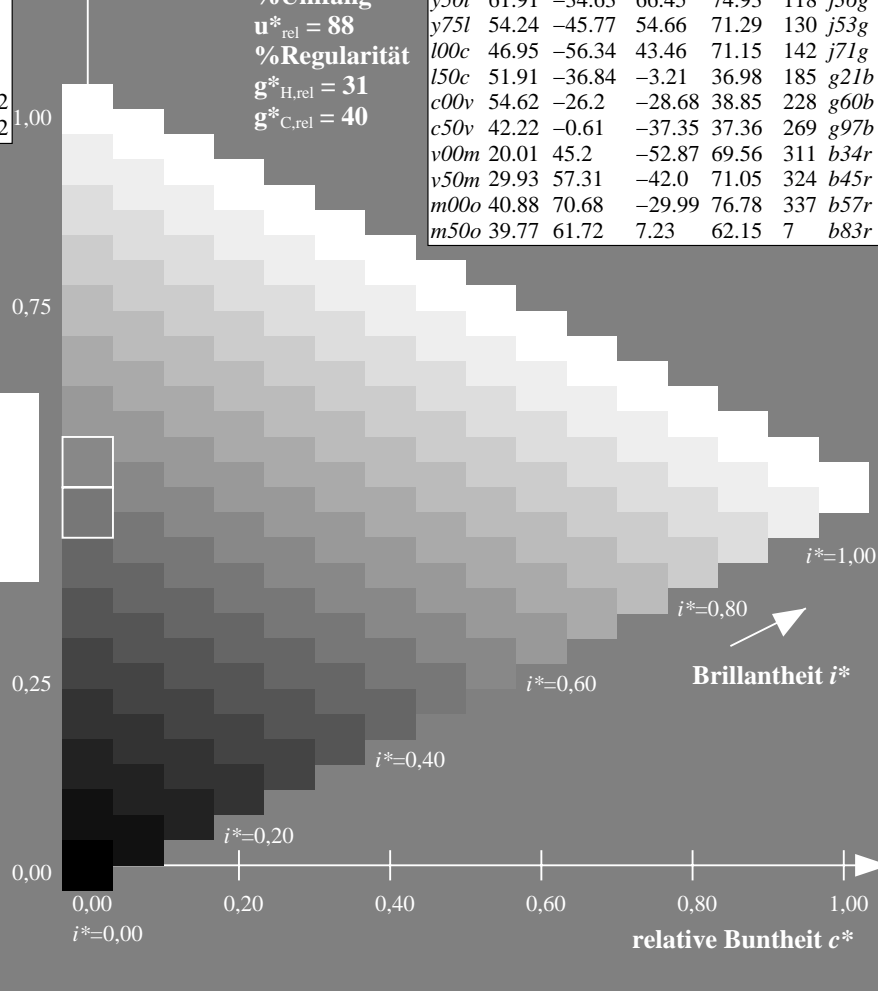
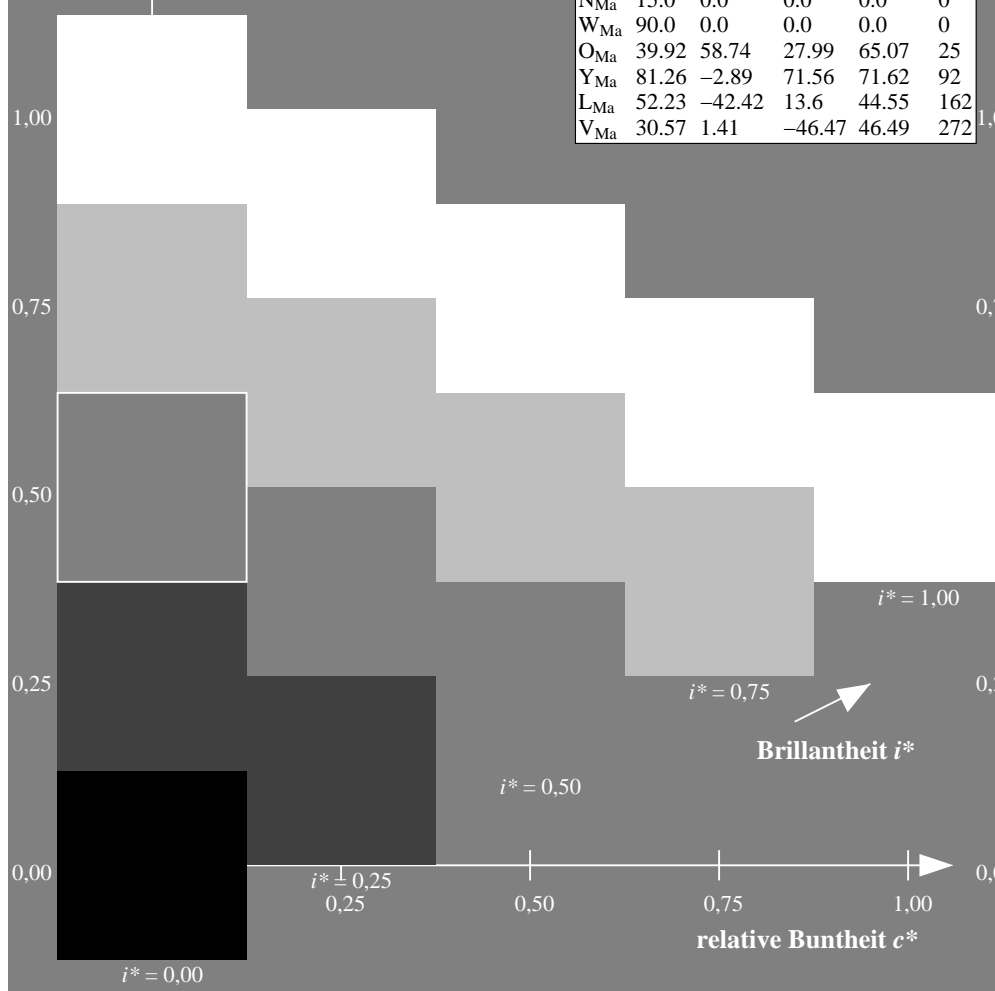
$g^*_{H,rel} = 31$

$g^*_{C,rel} = 40$

FRS15_90a; adaptierte CIELAB-Daten

u^*_d	$L^*=L^*_a$	a^*_a	b^*_a	$C^*_{ab,a}$	$h^*_{ab,a}$	u^*_e
o00y	38.8	53.92	39.68	66.95	36	r16j
o25y	47.46	42.34	51.25	66.48	50	r37j
o50y	56.54	30.2	63.39	70.22	65	r58j
o75y	67.39	15.68	77.9	79.47	79	r79j
y00l	82.58	-4.64	98.22	98.33	93	j01g
y25l	70.85	-21.66	80.19	83.07	105	j18g
y50l	61.91	-34.63	66.45	74.93	118	j36g
y75l	54.24	-45.77	54.66	71.29	130	j53g
l00c	46.95	-56.34	43.46	71.15	142	j71g
l50c	51.91	-36.84	-3.21	36.98	185	g21b
c00v	54.62	-26.2	-28.68	38.85	228	g60b
c50v	42.22	-0.61	-37.35	37.36	269	g97b
v00m	20.01	45.2	-52.87	69.56	311	b34r
v50m	29.93	57.31	-42.0	71.05	324	b45r
m00o	40.88	70.68	-29.99	76.78	337	b57r
m50o	39.77	61.72	7.23	62.15	7	b83r

$u^*_d = v00m$



Ein und Ausgabe: Farbmetrisches Drucker-Reflektiv-System FRS15_90a für relativen CIELAB-Buntton $h^* = lab^*h^* = h_{ab}/360 = 0.899$

Daten für jede Farbe:

lab^*tch^* und lab^*icu^*

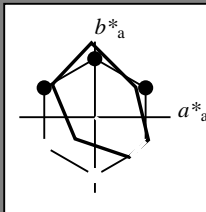
Bunttontexte:

$u^*_d = v50m$ $u^*_e = b45r$

Kontrastreduzierungsfaktor:

$c_R = 0.9$

Dreiecks-Helligkeit i^*



FRS15_90a; adaptierte CIELAB-Daten						
u^*_d	$L^*=L^*_a$	a^*_a	b^*_a	$C^*_{ab,a}$	$h^*_{ab,a}$	
O _{Ma}	38.8	53.92	39.68	66.95	36	
Y _{Ma}	82.58	-4.64	98.22	98.33	93	
L _{Ma}	46.95	-56.34	43.46	71.15	142	
C _{Ma}	54.62	-26.2	-28.68	38.85	228	
V _{Ma}	20.01	45.2	-52.87	69.56	311	
M _{Ma}	40.88	70.68	-29.99	76.78	337	
N _{Ma}	15.0	0.0	0.0	0.0	0	
W _{Ma}	90.0	0.0	0.0	0.0	0	
O _{Ma}	39.92	58.74	27.99	65.07	25	
Y _{Ma}	81.26	-2.89	71.56	71.62	92	
L _{Ma}	52.23	-42.42	13.6	44.55	162	
V _{Ma}	30.57	1.41	-46.47	46.49	272	

Daten für Maximalfarbe (Ma):

LAB^*LAB^*Ma : 30 57 -42

LAB^*LCH^*Ma : 30 71 323

lab^*olv^*Ma : 0.5 0.0 1.0

lab^*rgb^*Ma : 0.91 0.0 1.0

Dreiecks-Helligkeit i^*

%Umfang

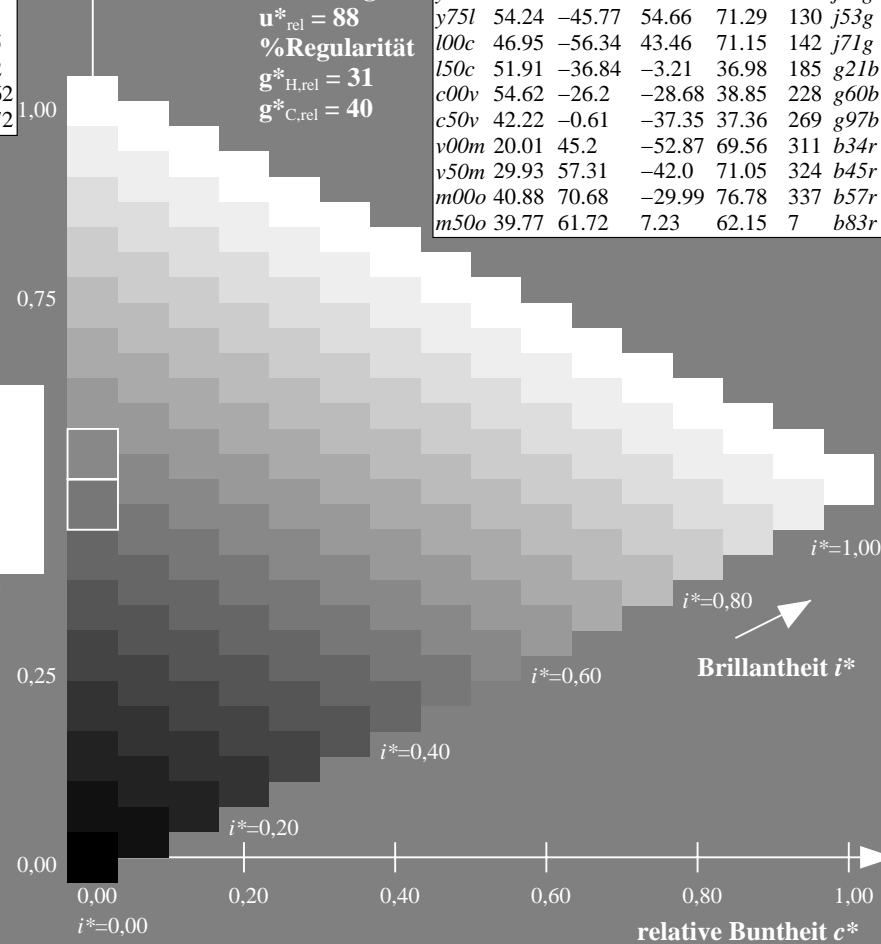
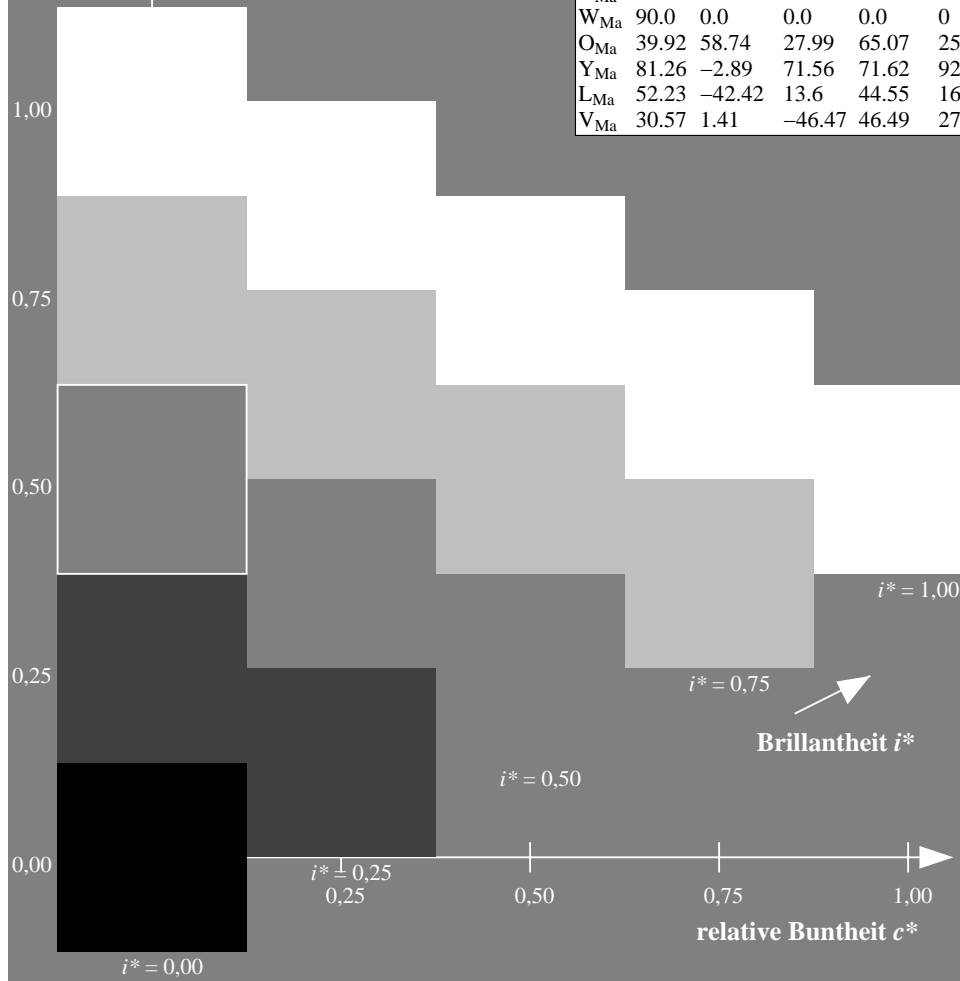
$u^*_{rel} = 88$

%Regularität

$g^*_{H,rel} = 31$

$g^*_{C,rel} = 40$

FRS15_90a; adaptierte CIELAB-Daten							
u^*_d	$L^*=L^*_a$	a^*_a	b^*_a	$C^*_{ab,a}$	$h^*_{ab,a}$	u^*_e	
o00y	38.8	53.92	39.68	66.95	36	r16j	
o25y	47.46	42.34	51.25	66.48	50	r37j	
o50y	56.54	30.2	63.39	70.22	65	r58j	
o75y	67.39	15.68	77.9	79.47	79	r79j	
y00l	82.58	-4.64	98.22	98.33	93	j01g	
y25l	70.85	-21.66	80.19	83.07	105	j18g	
y50l	61.91	-34.63	66.45	74.93	118	j36g	
y75l	54.24	-45.77	54.66	71.29	130	j53g	
l00c	46.95	-56.34	43.46	71.15	142	j71g	
l50c	51.91	-36.84	-3.21	36.98	185	g21b	
c00v	54.62	-26.2	-28.68	38.85	228	g60b	
c50v	42.22	-0.61	-37.35	37.36	269	g97b	
v00m	20.01	45.2	-52.87	69.56	311	b34r	
v50m	29.93	57.31	-42.0	71.05	324	b45r	
m00o	40.88	70.68	-29.99	76.78	337	b57r	
m50o	39.77	61.72	7.23	62.15	7	b83r	



Siehe ähnliche Dateien: <http://www.ps.bam.de/Eg41/>; [www.ps.bam.de/Version 2.1, io=1,1, Col5px=0](http://www.ps.bam.de/Version%202.1,io=1,1,Col5px=0)
Technische Information: [http://www.ps.bam.de/Version 2.1, io=1,1, Col5px=0](http://www.ps.bam.de/Version%202.1,io=1,1,Col5px=0)

Ein und Ausgabe: Farbmetrisches Drucker-Reflektiv-System FRS15_90a für relativen CIELAB-Buntton $h^* = lab^*h^* = h_{ab}/360 = 0.936$

Daten für jede Farbe:

lab^*ch^* und lab^*icu^*

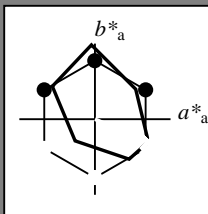
Bunttontexte:

$u^*_d = m00o$ $u^*_e = b57r$

Kontrastreduzierungsfaktor:

$c_R = 0.9$

Dreiecks-Helligkeit i^*



FRS15_90a; adaptierte CIELAB-Daten

u^*_d	$L^*=L^*_a$	a^*_a	b^*_a	$C^*_{ab,a}$	$h^*_{ab,a}$
O _{Ma}	38.8	53.92	39.68	66.95	36
Y _{Ma}	82.58	-4.64	98.22	98.33	93
L _{Ma}	46.95	-56.34	43.46	71.15	142
C _{Ma}	54.62	-26.2	-28.68	38.85	228
V _{Ma}	20.01	45.2	-52.87	69.56	311
M _{Ma}	40.88	70.68	-29.99	76.78	337
N _{Ma}	15.0	0.0	0.0	0.0	0
W _{Ma}	90.0	0.0	0.0	0.0	0
O _{Ma}	39.92	58.74	27.99	65.07	25
Y _{Ma}	81.26	-2.89	71.56	71.62	92
L _{Ma}	52.23	-42.42	13.6	44.55	162
V _{Ma}	30.57	1.41	-46.47	46.49	272

Daten für Maximalfarbe (Ma):

$LAB^*LAB^*_{Ma}$: 41 71 -30

$LAB^*LCH^*_{Ma}$: 41 77 337

$lab^*olv^*_{Ma}$: 1.0 0.0 1.0

$lab^*rgb^*_{Ma}$: 1.0 0.0 0.85

Dreiecks-Helligkeit i^*

%Umfang

$u^*_{rel} = 88$

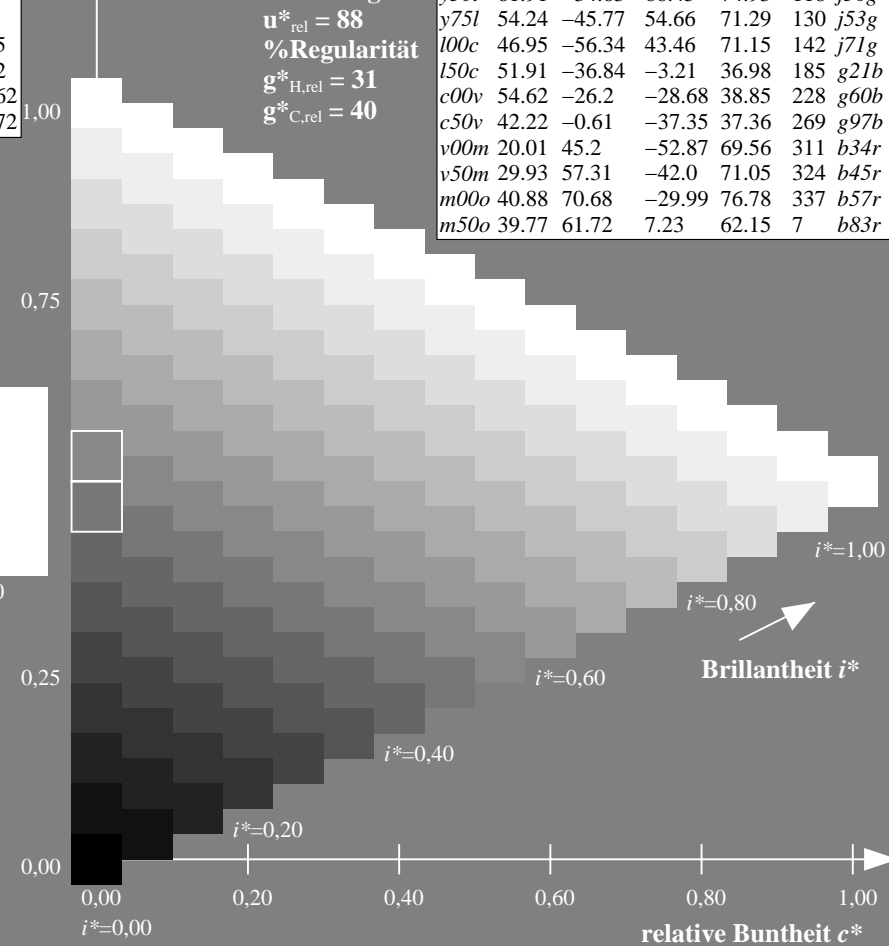
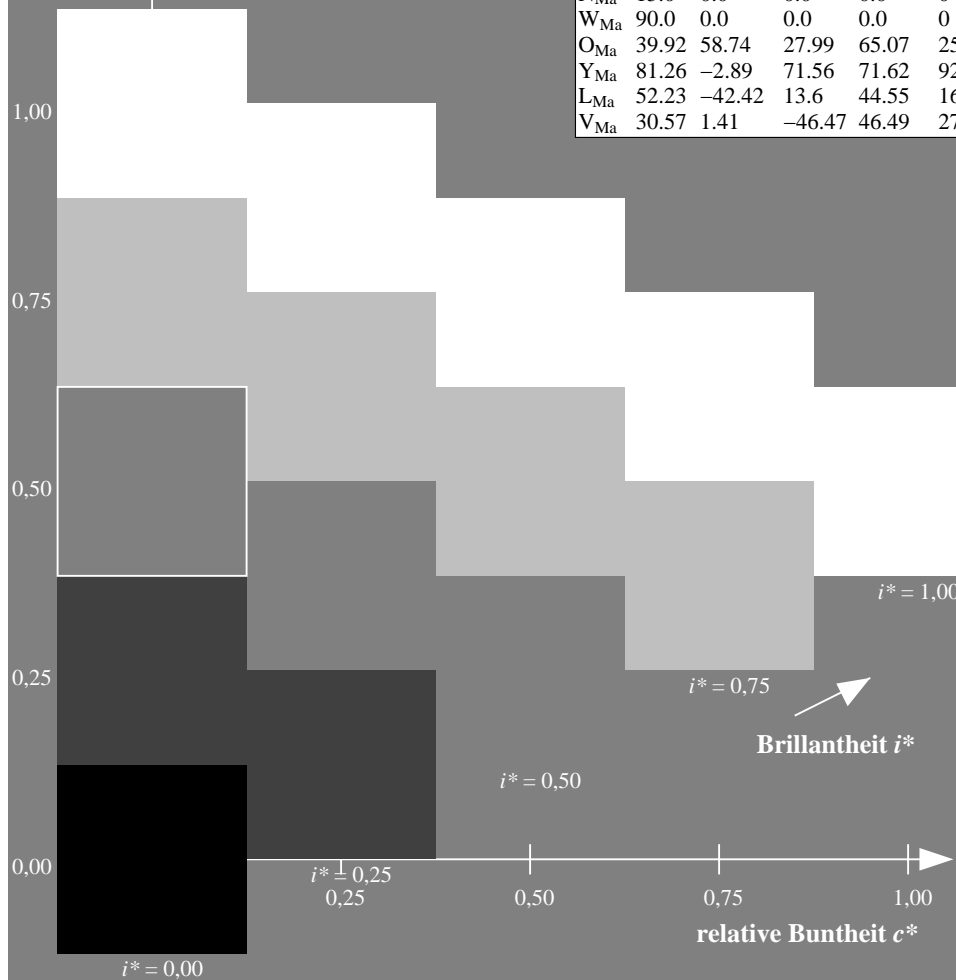
%Regularität

$g^*_{H,rel} = 31$

$g^*_{C,rel} = 40$

FRS15_90a; adaptierte CIELAB-Daten

u^*_d	$L^*=L^*_a$	a^*_a	b^*_a	$C^*_{ab,a}$	$h^*_{ab,a}$	u^*_e
o00y	38.8	53.92	39.68	66.95	36	r16j
o25y	47.46	42.34	51.25	66.48	50	r37j
o50y	56.54	30.2	63.39	70.22	65	r58j
o75y	67.39	15.68	77.9	79.47	79	r79j
y00l	82.58	-4.64	98.22	98.33	93	j01g
y25l	70.85	-21.66	80.19	83.07	105	j18g
y50l	61.91	-34.63	66.45	74.93	118	j36g
y75l	54.24	-45.77	54.66	71.29	130	j53g
l00c	46.95	-56.34	43.46	71.15	142	j71g
l50c	51.91	-36.84	-3.21	36.98	185	g21b
c00v	54.62	-26.2	-28.68	38.85	228	g60b
c50v	42.22	-0.61	-37.35	37.36	269	g97b
v00m	20.01	45.2	-52.87	69.56	311	b34r
v50m	29.93	57.31	-42.0	71.05	324	b45r
m00o	40.88	70.68	-29.99	76.78	337	b57r
m50o	39.77	61.72	7.23	62.15	7	b83r

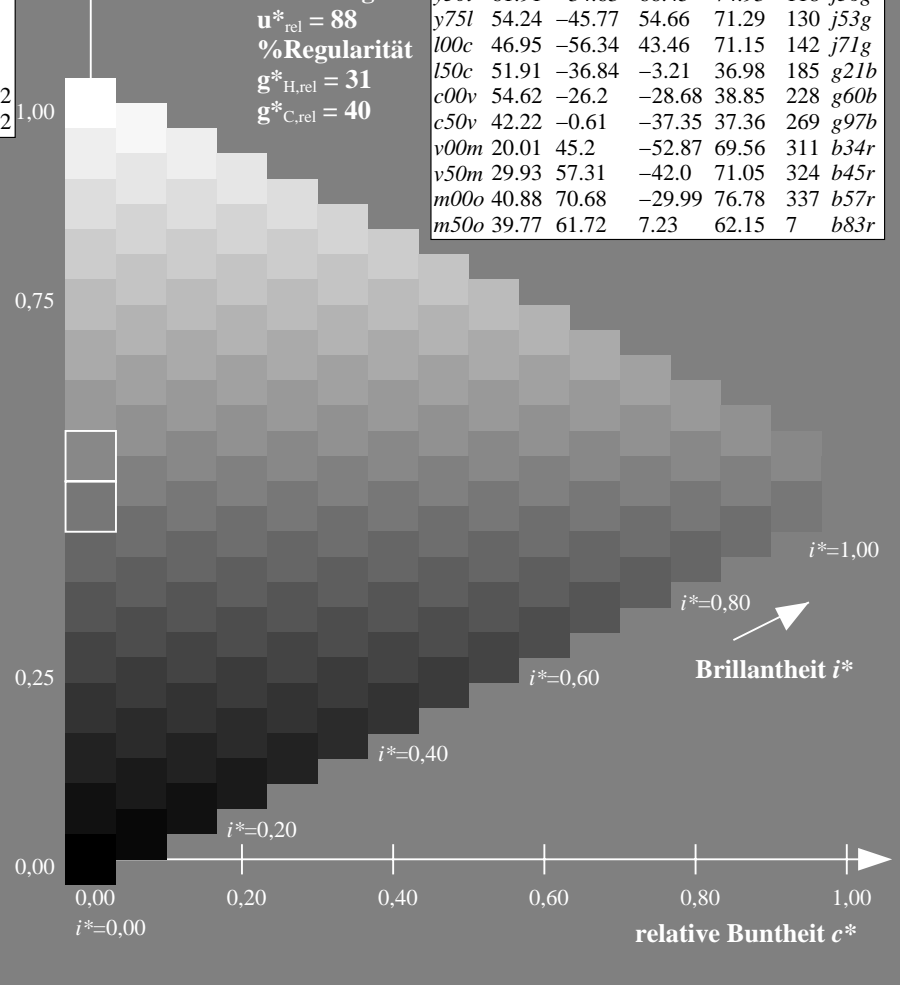
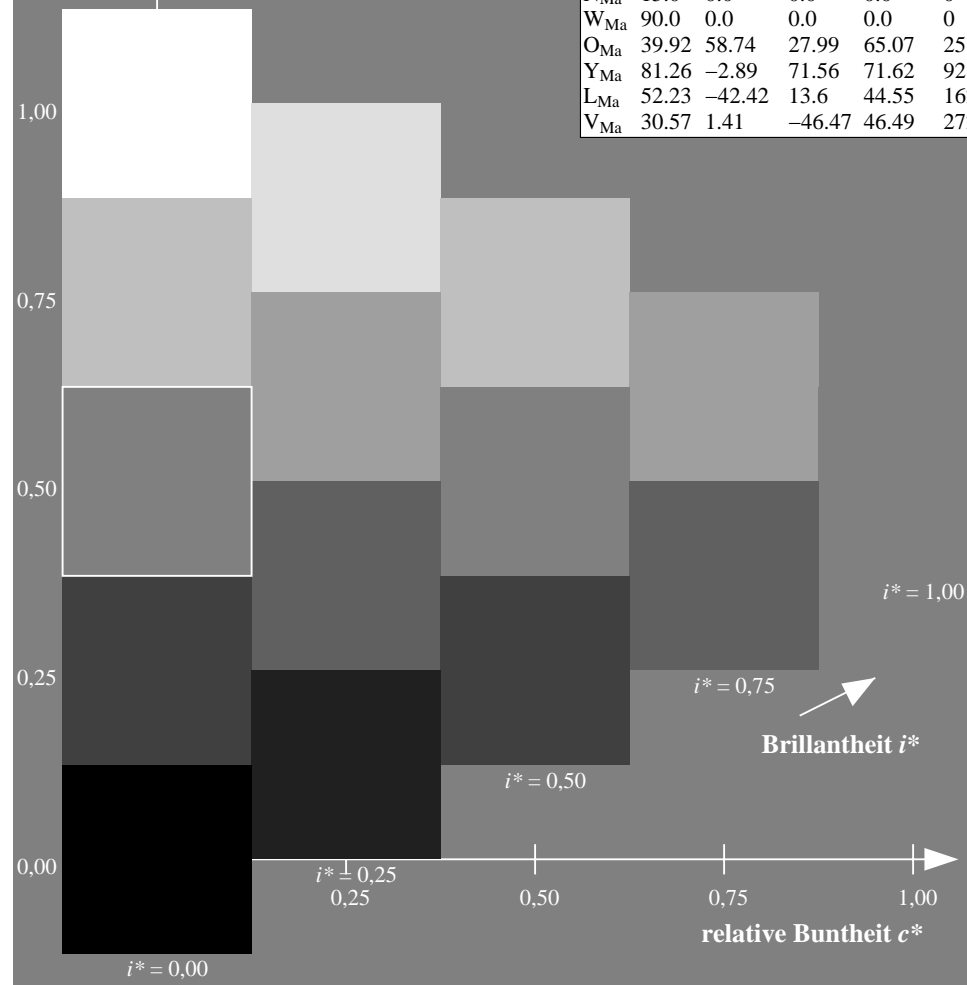


BAM-Registrierung: 20081001-Eg41/10L/L41G00NA.PS/.TXT BAM-Material: Code=rh4ta
Anwendung für Beurteilung und Messung von Drucker- oder Monitorsystemen

100


$$g^*_{C,rel} = 40$$

$u_a^* d_a$	$L^* = L_a$	a_a^*	b_a^*	$C_{ab,a}$	$n_{ab,a}^*$	u_e^*
<i>o00y</i>	38.8	53.92	39.68	66.95	36	<i>r16j</i>
<i>o25y</i>	47.46	42.34	51.25	66.48	50	<i>r37j</i>
<i>o50y</i>	56.54	30.2	63.39	70.22	65	<i>r58j</i>
<i>o75y</i>	67.39	15.68	77.9	79.47	79	<i>r79j</i>
<i>y00l</i>	82.58	-4.64	98.22	98.33	93	<i>j01g</i>
<i>y25l</i>	70.85	-21.66	80.19	83.07	105	<i>j18g</i>
<i>y50l</i>	61.91	-34.63	66.45	74.93	118	<i>j36g</i>
<i>y75l</i>	54.24	-45.77	54.66	71.29	130	<i>j53g</i>
<i>l00c</i>	46.95	-56.34	43.46	71.15	142	<i>j71g</i>
<i>l50c</i>	51.91	-36.84	-3.21	36.98	185	<i>g21b</i>
<i>c00v</i>	54.62	-26.2	-28.68	38.85	228	<i>g60b</i>
<i>c50v</i>	42.22	-0.61	-37.35	37.36	269	<i>g97b</i>
<i>v00m</i>	20.01	45.2	-52.87	69.56	311	<i>b34r</i>
<i>v50m</i>	29.93	57.31	-42.0	71.05	324	<i>b45r</i>
<i>m00o</i>	40.88	70.68	-29.99	76.78	337	<i>b57r</i>
<i>m50o</i>	39.77	61.72	7.23	62.15	7	<i>b83r</i>



Siehe ähnliche Dateien: <http://www.ps.bam.de/Eg41/>; www.ps.bam.de/Eg.HTM
Technische Information: [http://www.ps.bam.de/Version 2.1, io=1,1, ColSpx=0](http://www.ps.bam.de/Version%202.1,io=1,1,ColSpx=0)

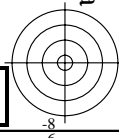
BAM-Registrierung: 20081001-Eg41/10L/L41G00NA.PS/.TXT BAM-Material: Code=rh4ta
Anwendung für Beurteilung und Messung von Drucker- oder Monitorsystemen

	A	B	C	D	E	F	G	H	I	J	K	L	M	N	O	P	Q	R	S	T	U	V	W	X	Y	Z	a	b	c	d	e	f	g	h	i	j	k		
01																																							
02																																							
03																																							
04																																							
05																																							
06																																							
07																																							
08																																							
09																																							
10																																							
11																																							
12																																							
13																																							
14																																							
15																																							
16																																							
17																																							
18																																							
19																																							
20																																							
21																																							
22																																							
23																																							
24																																							
25																																							
26																																							
27																																							

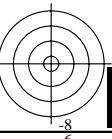
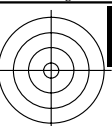
Schwarz-Separation leer

Schwarz-Separation leer

Schwarz-Separation leer

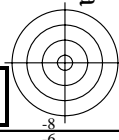
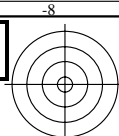


Schwarz-Separation leer

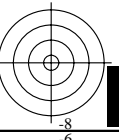
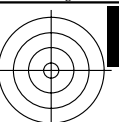


Schwarz-Separation leer

Schwarz-Separation leer

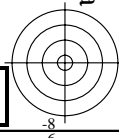


Schwarz-Separation leer

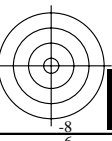
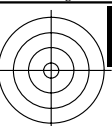


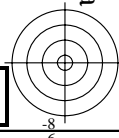
Schwarz-Separation leer

Schwarz-Separation leer



Schwarz-Separation leer





V
L
O
Y
M
C

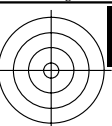


www.ps.bam.de/Eg41/10L/L41G00NA.PS/.TXT; FRS09_92a; Transfer und Ausgabe
N: Keine Ausgabe-Linearisierung (OL) in Datei (F), Startup (S), Gerät (D); Separation: **cmyn**

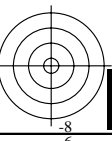


Schwarz-Separation leer

C M Y O L V



Siehe ähnliche Dateien: <http://www.ps.bam.de/Eg41/>; www.ps.bam.de/Eg.HTM
Technische Information: <http://www.ps.bam.de> Version 2.1, io=1,1, ColSpx=0

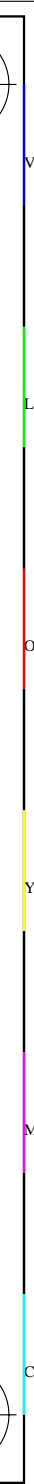
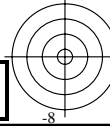


C M Y O L V

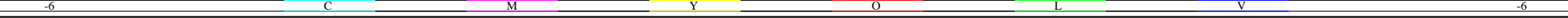
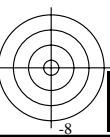
Schwarz-Separation leer

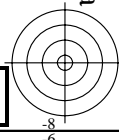
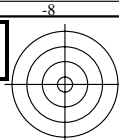
Schwarz-Separation leer

Siehe ähnliche Dateien: <http://www.ps.bam.de/Eg41/>; www.ps.bam.de/Eg.HTM
Technische Information: <http://www.ps.bam.de> Version 2.1, io=1,1, ColSpx=0

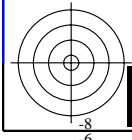
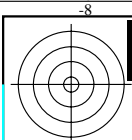
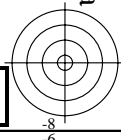
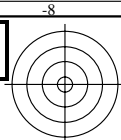


Schwarz-Separation leer





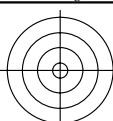
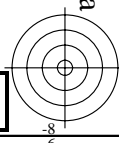
Schwarz-Separation leer



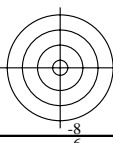
Siehe ähnliche Dateien: <http://www.ps.bam.de/Eg41/>; www.ps.bam.de/Eg.HTM
Technische Information: <http://www.ps.bam.de> Version 2.1, io=1,1, ColSpx=0

Schwarz-Separation leer

Schwarz-Separation leer



Schwarz-Separation leer



Ein und Ausgabe:
Farbmetrisches Drucker-Reflektiv-System FRS15_90a
Daten für jede Farbe:

u^*_d und Nummer $Nr.$ = 00 .. 15

Geräte-Bunttontext:

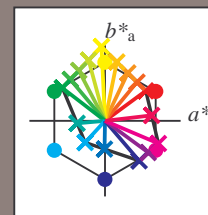
u^*_d = 16 Bunttoene $o00y$, $o25y$, ..., $m50o$

Kontrastreduzierungsfaktor:

$c_R = 0.9$

FRS15_90a; adaptierte CIELAB-Daten

u^*_d	$L^*=L^*_a$	a^*_a	b^*_a	$C^*_{ab,a}$	$h^*_{ab,a}$	u^*_e
$o00y$	38.8	53.92	39.68	66.95	36	$r16j$
$o25y$	47.46	42.34	51.25	66.48	50	$r37j$
$o50y$	56.54	30.2	63.39	70.22	65	$r58j$
$o75y$	67.39	15.68	77.9	79.47	79	$r79j$
$y00l$	82.58	-4.64	98.22	98.33	93	$j01g$
$y25l$	70.85	-21.66	80.19	83.07	105	$j18g$
$y50l$	61.91	-34.63	66.45	74.93	118	$j36g$
$y75l$	54.24	-45.77	54.66	71.29	130	$j53g$
$l00c$	46.95	-56.34	43.46	71.15	142	$j71g$
$l50c$	51.91	-36.84	-3.21	36.98	185	$g21b$
$c00v$	54.62	-26.2	-28.68	38.85	228	$g60b$
$c50v$	42.22	-0.61	-37.35	37.36	269	$g97b$
$v00m$	20.01	45.2	-52.87	69.56	311	$b34r$
$v50m$	29.93	57.31	-42.0	71.05	324	$b45r$
$m00o$	40.88	70.68	-29.99	76.78	337	$b57r$
$m50o$	39.77	61.72	7.23	62.15	7	$b83r$



%Umfang

$u^*_{rel} = 88$

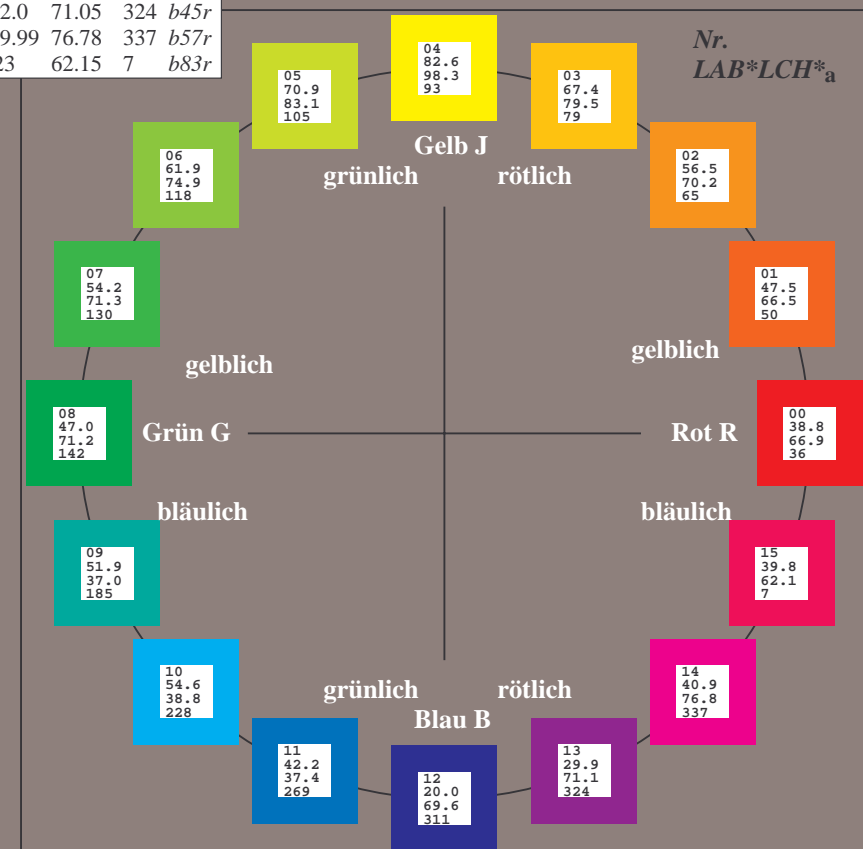
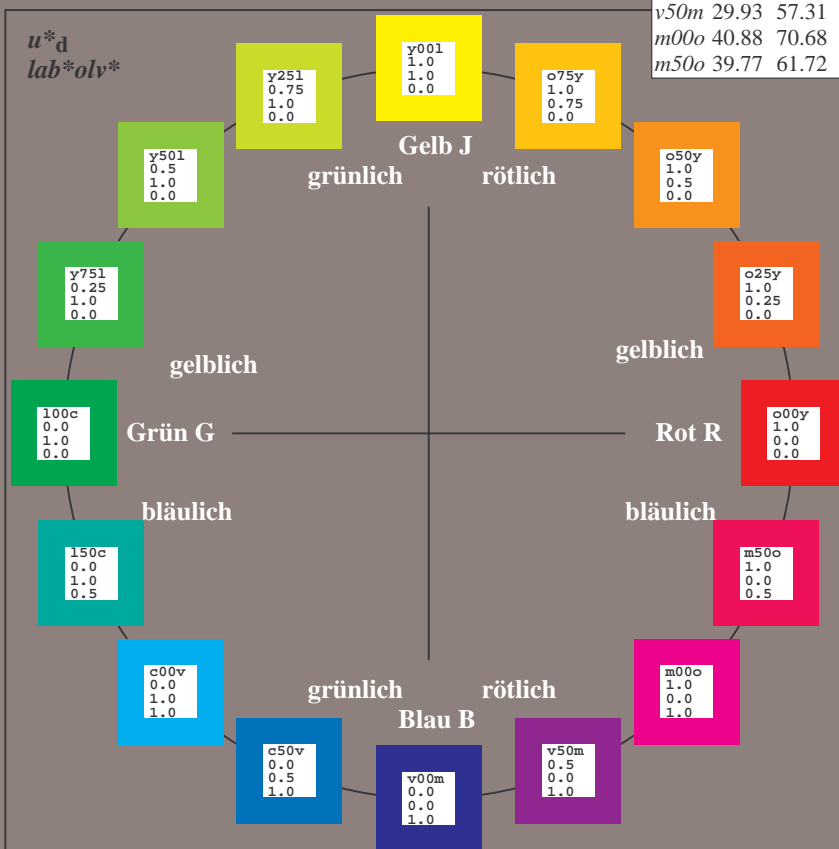
%Regularität

$g^*_{H,rel} = 31$

$g^*_{C,rel} = 40$

FRS15_90a; adaptierte CIELAB-Daten

Name	$L^*=L^*_a$	a^*_a	b^*_a	$C^*_{ab,a}$	$h^*_{ab,a}$
O_{Ma}	38.8	53.92	39.68	66.95	36
Y_{Ma}	82.58	-4.64	98.22	98.33	93
L_{Ma}	46.95	-56.34	43.46	71.15	142
C_{Ma}	54.62	-26.2	-28.68	38.85	228
V_{Ma}	20.01	45.2	-52.87	69.56	311
M_{Ma}	40.88	70.68	-29.99	76.78	337
N_{Ma}	15.0	0.0	0.0	0.0	0
W_{Ma}	90.0	0.0	0.0	0.0	0
O_{CIE}	39.92	58.74	27.99	65.07	25
Y_{CIE}	81.26	-2.89	71.56	71.62	92
L_{CIE}	52.23	-42.42	13.6	44.55	162
V_{CIE}	30.57	1.41	-46.47	46.49	272



Ein und Ausgabe: Farbmetrisches Drucker-Reflektiv-System FRS15_90a für relativen CIELAB-Buntton $h^* = lab^*h^* = h_{ab}/360 = 0.101$

Daten für jede Farbe:

lab^*tch^* und lab^*icu^*

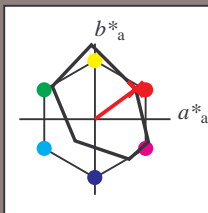
Bunttontexte:

$u^*_d = o00y$ $u^*_e = r16j$

Kontrastreduzierungsfaktor:

$c_R = 0.9$

Dreiecks-Helligkeit t^*



FRS15_90a; adaptierte CIELAB-Daten

u^*_d	$L^*=L^*_a$	a^*_a	b^*_a	$C^*_{ab,a}$	$h^*_{ab,a}$
O _{Ma}	38.8	53.92	39.68	66.95	36
Y _{Ma}	82.58	-4.64	98.22	98.33	93
L _{Ma}	46.95	-56.34	43.46	71.15	142
C _{Ma}	54.62	-26.2	-28.68	38.85	228
V _{Ma}	20.01	45.2	-52.87	69.56	311
M _{Ma}	40.88	70.68	-29.99	76.78	337
N _{Ma}	15.0	0.0	0.0	0.0	0
W _{Ma}	90.0	0.0	0.0	0.0	0
O _{Ma}	39.92	58.74	27.99	65.07	25
Y _{Ma}	81.26	-2.89	71.56	71.62	92
L _{Ma}	52.23	-42.42	13.6	44.55	162
V _{Ma}	30.57	1.41	-46.47	46.49	272

Daten für Maximalfarbe (Ma):

$LAB^*LAB^*_{Ma}$: 39 54 40

$LAB^*LCH^*_{Ma}$: 39 67 36

$lab^*olv^*_{Ma}$: 1.0 0.0 0.0

$lab^*rgb^*_{Ma}$: 1.0 0.16 0.0

Dreiecks-Helligkeit t^*

%Umfang

$u^*_{rel} = 88$

%Regularität

$g^*_{H,rel} = 31$

$g^*_{C,rel} = 40$

FRS15_90a; adaptierte CIELAB-Daten

u^*_d	$L^*=L^*_a$	a^*_a	b^*_a	$C^*_{ab,a}$	$h^*_{ab,a}$	u^*_e
$o00y$	38.8	53.92	39.68	66.95	36	$r16j$
$o25y$	47.46	42.34	51.25	66.48	50	$r37j$
$o50y$	56.54	30.2	63.39	70.22	65	$r58j$
$o75y$	67.39	15.68	77.9	79.47	79	$r79j$
$y00l$	82.58	-4.64	98.22	98.33	93	$j01g$
$y25l$	70.85	-21.66	80.19	83.07	105	$j18g$
$y50l$	61.91	-34.63	66.45	74.93	118	$j36g$
$y75l$	54.24	-45.77	54.66	71.29	130	$j53g$
$l00c$	46.95	-56.34	43.46	71.15	142	$j71g$
$l50c$	51.91	-36.84	-3.21	36.98	185	$g21b$
$c00v$	54.62	-26.2	-28.68	38.85	228	$g60b$
$c50v$	42.22	-0.61	-37.35	37.36	269	$g97b$
$v00m$	20.01	45.2	-52.87	69.56	311	$b34r$
$v50m$	29.93	57.31	-42.0	71.05	324	$b45r$
$m00o$	40.88	70.68	-29.99	76.78	337	$b57r$
$m50o$	39.77	61.72	7.23	62.15	7	$b83r$

lab^*olv^*

$i^* = 1.00$

Brillantheit i^*

$i^* = 0.80$

$i^* = 0.60$

$i^* = 0.40$

$i^* = 0.20$

$i^* = 0.00$

relative Bunttheit c^*

relative Bunttheit c^*

Ein und Ausgabe: Farbmetrisches Drucker-Reflektiv-System FRS15_90a für relativen CIELAB-Buntton $h^* = lab^*h^* = h_{ab}/360 = 0.14$

Daten für jede Farbe:

lab^*tch^* und lab^*icu^*

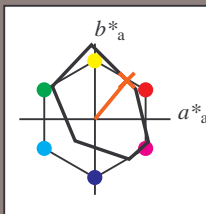
Bunttontexte:

$u^*_d = o25y$ $u^*_e = r37j$

Kontrastreduzierungsfaktor:

$c_R = 0.9$

Dreiecks-Helligkeit i^*



FRS15_90a; adaptierte CIELAB-Daten

u^*_d	$L^*=L^*_a$	a^*_a	b^*_a	$C^*_{ab,a}$	$h^*_{ab,a}$
O _{Ma}	38.8	53.92	39.68	66.95	36
Y _{Ma}	82.58	-4.64	98.22	98.33	93
L _{Ma}	46.95	-56.34	43.46	71.15	142
C _{Ma}	54.62	-26.2	-28.68	38.85	228
V _{Ma}	20.01	45.2	-52.87	69.56	311
M _{Ma}	40.88	70.68	-29.99	76.78	337
N _{Ma}	15.0	0.0	0.0	0.0	0
W _{Ma}	90.0	0.0	0.0	0.0	0
O _{Ma}	39.92	58.74	27.99	65.07	25
Y _{Ma}	81.26	-2.89	71.56	71.62	92
L _{Ma}	52.23	-42.42	13.6	44.55	162
V _{Ma}	30.57	1.41	-46.47	46.49	272

Daten für Maximalfarbe (Ma):

$LAB^*LAB^*_{Ma}$: 47 42 51

$LAB^*LCH^*_{Ma}$: 47 66 50

$lab^*olv^*_{Ma}$: 1.0 0.25 0.0

$lab^*rgb^*_{Ma}$: 1.0 0.37 0.0

Dreiecks-Helligkeit i^*

%Umfang

$u^*_{rel} = 88$

%Regularität

$g^*_{H,rel} = 31$

$g^*_{C,rel} = 40$

FRS15_90a; adaptierte CIELAB-Daten

u^*_d	$L^*=L^*_a$	a^*_a	b^*_a	$C^*_{ab,a}$	$h^*_{ab,a}$	u^*_e
o00y	38.8	53.92	39.68	66.95	36	r16j
o25y	47.46	42.34	51.25	66.48	50	r37j
o50y	56.54	30.2	63.39	70.22	65	r58j
o75y	67.39	15.68	77.9	79.47	79	r79j
y00l	82.58	-4.64	98.22	98.33	93	j01g
y25l	70.85	-21.66	80.19	83.07	105	j18g
y50l	61.91	-34.63	66.45	74.93	118	j36g
y75l	54.24	-45.77	54.66	71.29	130	j53g
l00c	46.95	-56.34	43.46	71.15	142	j71g
l50c	51.91	-36.84	-3.21	36.98	185	g21b
c00v	54.62	-26.2	-28.68	38.85	228	g60b
c50v	42.22	-0.61	-37.35	37.36	269	g97b
v00m	20.01	45.2	-52.87	69.56	311	b34r
v50m	29.93	57.31	-42.0	71.05	324	b45r
m00o	40.88	70.68	-29.99	76.78	337	b57r
m50o	39.77	61.72	7.23	62.15	7	b83r

lab^*olv^*

$i^* = 1.00$

Brillantheit i^*

$i^* = 0.80$

$i^* = 0.60$

$i^* = 0.40$

$i^* = 0.20$

$i^* = 0.00$

relative Bunttheit c^*

Ein und Ausgabe: Farbmetrisches Drucker-Reflektiv-System FRS15_90a für relativen CIELAB-Buntton $h^* = lab^*h^* = h_{ab}/360 = 0.179$

Daten für jede Farbe:

lab^*tch^* und lab^*icu^*

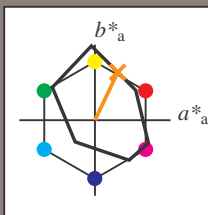
Bunttontexte:

$u^*_d = o50y$ $u^*_e = r58j$

Kontrastreduzierungsfaktor:

$c_R = 0.9$

Dreiecks-Helligkeit i^*



FRS15_90a; adaptierte CIELAB-Daten						
u^*_d	$L^*=L^*_a$	a^*_a	b^*_a	$C^*_{ab,a}$	$h^*_{ab,a}$	
O _{Ma}	38.8	53.92	39.68	66.95	36	
Y _{Ma}	82.58	-4.64	98.22	98.33	93	
L _{Ma}	46.95	-56.34	43.46	71.15	142	
C _{Ma}	54.62	-26.2	-28.68	38.85	228	
V _{Ma}	20.01	45.2	-52.87	69.56	311	
M _{Ma}	40.88	70.68	-29.99	76.78	337	
N _{Ma}	15.0	0.0	0.0	0.0	0	
W _{Ma}	90.0	0.0	0.0	0.0	0	
O _{Ma}	39.92	58.74	27.99	65.07	25	
Y _{Ma}	81.26	-2.89	71.56	71.62	92	
L _{Ma}	52.23	-42.42	13.6	44.55	162	
V _{Ma}	30.57	1.41	-46.47	46.49	272	

Daten für Maximalfarbe (Ma):

$LAB^*LAB^*_{Ma}$: 57 30 63

$LAB^*LCH^*_{Ma}$: 57 70 64

$lab^*olv^*_{Ma}$: 1.0 0.5 0.0

$lab^*rgb^*_{Ma}$: 1.0 0.58 0.0

Dreiecks-Helligkeit i^*

%Umfang

$u^*_{rel} = 88$

%Regularität

$g^*_{H,rel} = 31$

$g^*_{C,rel} = 40$

FRS15_90a; adaptierte CIELAB-Daten						
u^*_d	$L^*=L^*_a$	a^*_a	b^*_a	$C^*_{ab,a}$	$h^*_{ab,a}$	u^*_e
o00y	38.8	53.92	39.68	66.95	36	r16j
o25y	47.46	42.34	51.25	66.48	50	r37j
o50y	56.54	30.2	63.39	70.22	65	r58j
o75y	67.39	15.68	77.9	79.47	79	r79j
y00l	82.58	-4.64	98.22	98.33	93	j01g
y25l	70.85	-21.66	80.19	83.07	105	j18g
y50l	61.91	-34.63	66.45	74.93	118	j36g
y75l	54.24	-45.77	54.66	71.29	130	j53g
l00c	46.95	-56.34	43.46	71.15	142	j71g
l50c	51.91	-36.84	-3.21	36.98	185	g21b
c00v	54.62	-26.2	-28.68	38.85	228	g60b
c50v	42.22	-0.61	-37.35	37.36	269	g97b
v00m	20.01	45.2	-52.87	69.56	311	b34r
v50m	29.93	57.31	-42.0	71.05	324	b45r
m00o	40.88	70.68	-29.99	76.78	337	b57r
m50o	39.77	61.72	7.23	62.15	7	b83r

lab^*olv^*

$i^* = 1.00$

Brillantheit i^*

$i^* = 0.80$

$i^* = 0.60$

$i^* = 0.40$

$i^* = 0.20$

$i^* = 0.00$

relative Buntheit c^*

relative Buntheit c^*

Ein und Ausgabe: Farbmetrisches Drucker-Reflektiv-System FRS15_90a für relativen CIELAB-Buntton $h^* = lab^*h^* = h_{ab}/360 = 0.218$

Daten für jede Farbe:

lab^*tch^* und lab^*icu^*

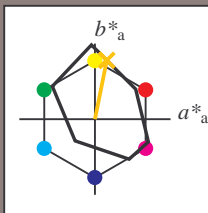
Bunttontexte:

$u^*_d = 0.75y$ $u^*_e = r79j$

Kontrastreduzierungsfaktor:

$c_R = 0.9$

Dreiecks-Helligkeit i^*



FRS15_90a; adaptierte CIELAB-Daten

u^*_d	$L^*=L^*_a$	a^*_a	b^*_a	$C^*_{ab,a}$	$h^*_{ab,a}$
O _{Ma}	38.8	53.92	39.68	66.95	36
Y _{Ma}	82.58	-4.64	98.22	98.33	93
L _{Ma}	46.95	-56.34	43.46	71.15	142
C _{Ma}	54.62	-26.2	-28.68	38.85	228
V _{Ma}	20.01	45.2	-52.87	69.56	311
M _{Ma}	40.88	70.68	-29.99	76.78	337
N _{Ma}	15.0	0.0	0.0	0.0	0
W _{Ma}	90.0	0.0	0.0	0.0	0
O _{Ma}	39.92	58.74	27.99	65.07	25
Y _{Ma}	81.26	-2.89	71.56	71.62	92
L _{Ma}	52.23	-42.42	13.6	44.55	162
V _{Ma}	30.57	1.41	-46.47	46.49	272

Daten für Maximalfarbe (Ma):

$LAB^*LAB^*_{Ma}$: 67 16 78

$LAB^*LCH^*_{Ma}$: 67 79 78

$lab^*olv^*_{Ma}$: 1.0 0.75 0.0

$lab^*rgb^*_{Ma}$: 1.0 0.8 0.0

Dreiecks-Helligkeit i^*

%Umfang

$u^*_{rel} = 88$

%Regularität

$g^*_{H,rel} = 31$

$g^*_{C,rel} = 40$

FRS15_90a; adaptierte CIELAB-Daten

u^*_d	$L^*=L^*_a$	a^*_a	b^*_a	$C^*_{ab,a}$	$h^*_{ab,a}$	u^*_e
o00y	38.8	53.92	39.68	66.95	36	r16j
o25y	47.46	42.34	51.25	66.48	50	r37j
o50y	56.54	30.2	63.39	70.22	65	r58j
o75y	67.39	15.68	77.9	79.47	79	r79j
y00l	82.58	-4.64	98.22	98.33	93	j01g
y25l	70.85	-21.66	80.19	83.07	105	j18g
y50l	61.91	-34.63	66.45	74.93	118	j36g
y75l	54.24	-45.77	54.66	71.29	130	j53g
l00c	46.95	-56.34	43.46	71.15	142	j71g
l50c	51.91	-36.84	-3.21	36.98	185	g21b
c00v	54.62	-26.2	-28.68	38.85	228	g60b
c50v	42.22	-0.61	-37.35	37.36	269	g97b
v00m	20.01	45.2	-52.87	69.56	311	b34r
v50m	29.93	57.31	-42.0	71.05	324	b45r
m00o	40.88	70.68	-29.99	76.78	337	b57r
m50o	39.77	61.72	7.23	62.15	7	b83r

lab^*olv^*

$i^* = 1.00$

Brillantheit i^*

$i^* = 0.80$

$i^* = 0.60$

$i^* = 0.40$

$i^* = 0.20$

$i^* = 0.00$

Ein und Ausgabe: Farbmétrisches Drucker-Reflektiv-System FRS15_90a für relativen CIELAB-Buntton $h^* = lab^*h^* = h_{ab}/360 = 0.258$

Daten für jede Farbe:

*lab*tch** und *lab*icu**

Bunttexte:

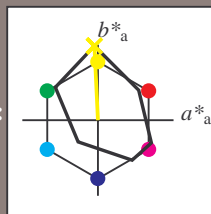
$$u_d^* = y00l \quad u_e^* = j01g$$

Kontrastreduzierungsfaktor:

 $c_P = 0.9$

K Dreiecks-Helligkeit t^*

Dricks-Hemigken



FRS15_90a; adaptierte CIELAB-Daten						
u^*_d	$L^*=L^*_a$	a^*_a	b^*_a	$C^*_{ab,a}$	$h^*_{ab,a}$	
O _{Ma}	38.8	53.92	39.68	66.95	36	
Y _{Ma}	82.58	-4.64	98.22	98.33	93	
L _{Ma}	46.95	-56.34	43.46	71.15	142	
C _{Ma}	54.62	-26.2	-28.68	38.85	228	
V _{Ma}	20.01	45.2	-52.87	69.56	311	
M _{Ma}	40.88	70.68	-29.99	76.78	337	
N _{Ma}	15.0	0.0	0.0	0.0	0	
W _{Ma}	90.0	0.0	0.0	0.0	0	
O _{Ma}	39.92	58.74	27.99	65.07	25	
Y _{Ma}	81.26	-2.89	71.56	71.62	92	
L _{Ma}	52.23	-42.42	13.6	44.55	162	
V _{Ma}	30.57	1.41	-46.47	46.49	272	

Daten für Maximalfarbe (Ma):

LAB*LAB*Mo: 83 -5 98

LAB LAB Ma. 65 -S 20

***LAB*LCH**_{Ma}: 83 98 9**

*lab*olv*_Ma*: 1.0 1.0 0.0

*lab*rgb*_Ma: 0.99 1.0 0.0*

Dreiecks-Helligkeit t^*

%Umfang

$$u_{rel}^* = 88$$

%Regular

$$g^*_{H_{rel}} = 31$$
$$\mathbf{g}_{\text{C rel}}^* = 40$$

FRS15_90a; adaptierte CIELAB-Daten							
u_d^*	$L^*=L_a^*$	a_a^*	b_a^*	$C^*_{ab,a}$	$h^*_{ab,a}$	u_e^*	
<i>o00y</i>	38.8	53.92	39.68	66.95	36	<i>r16j</i>	
<i>o25y</i>	47.46	42.34	51.25	66.48	50	<i>r37j</i>	
<i>o50y</i>	56.54	30.2	63.39	70.22	65	<i>r58j</i>	
<i>o75y</i>	67.39	15.68	77.9	79.47	79	<i>r79j</i>	
<i>y00l</i>	82.58	-4.64	98.22	98.33	93	<i>j01g</i>	
<i>y25l</i>	70.85	-21.66	80.19	83.07	105	<i>j18g</i>	
<i>y50l</i>	61.91	-34.63	66.45	74.93	118	<i>j36g</i>	
<i>y75l</i>	54.24	-45.77	54.66	71.29	130	<i>j53g</i>	
<i>l00c</i>	46.95	-56.34	43.46	71.15	142	<i>j71g</i>	
<i>l50c</i>	51.91	-36.84	-3.21	36.98	185	<i>g21b</i>	
<i>c00v</i>	54.62	-26.2	-28.68	38.85	228	<i>g60b</i>	
<i>c50v</i>	42.22	-0.61	-37.35	37.36	269	<i>g97b</i>	
<i>v00m</i>	20.01	45.2	-52.87	69.56	311	<i>b34r</i>	
<i>v50m</i>	29.93	57.31	-42.0	71.05	324	<i>b45r</i>	
<i>m00o</i>	40.88	70.68	-29.99	76.78	337	<i>b57r</i>	
<i>m50o</i>	39.77	61.72	7.23	62.15	7	<i>b83r</i>	

*lab*oly**

 $i^*=1,00$

Brillantheit i*

relative Buntheit c^*
$$i^*=0,00$$
relative Buntheit c^*

BAM-Prüfvorlage Eg41; Farbmatrik-Systeme, Seite 114/270 Eingabe: 000n / w / nnn0 / www set...
3 Separationen, 9 Datentabellen für 16 Bunttöne o00y bis m75a Ausgabe: ->cmY0* setcmykcolor

BAM-Registrierung: 20081001-Eg41/10L/L41G00NA.PS/ .TXT BAM-Material: Code=rhdata - Anwendung für Beurteilung und Messung von Drucker- oder Monitorsystemen

Siehe ähnliche Dateien: <http://www.ps.bam.de/Eg41>; www.ps.bam.de/Eg.HTM
Technische Information: <http://www.ps.bam.de> Version 2.1, io=1,1, ColSpx=0

Ein und Ausgabe: Farbmetrisches Drucker-Reflektiv-System FRS15_90a für relativen CIELAB-Buntton $h^* = lab^*h^* = h_{ab}/360 = 0.292$

Daten für jede Farbe:

lab^*tch^* und lab^*icu^*

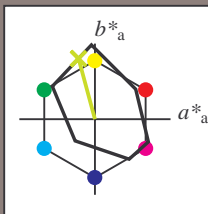
Bunttontexte:

$u^*_d = y25l$ $u^*_e = j18g$

Kontrastreduzierungsfaktor:

$c_R = 0.9$

Dreiecks-Helligkeit i^*



FRS15_90a; adaptierte CIELAB-Daten

u^*_d	$L^*=L^*_a$	a^*_a	b^*_a	$C^*_{ab,a}$	$h^*_{ab,a}$
O _{Ma}	38.8	53.92	39.68	66.95	36
Y _{Ma}	82.58	-4.64	98.22	98.33	93
L _{Ma}	46.95	-56.34	43.46	71.15	142
C _{Ma}	54.62	-26.2	-28.68	38.85	228
V _{Ma}	20.01	45.2	-52.87	69.56	311
M _{Ma}	40.88	70.68	-29.99	76.78	337
N _{Ma}	15.0	0.0	0.0	0.0	0
W _{Ma}	90.0	0.0	0.0	0.0	0
O _{Ma}	39.92	58.74	27.99	65.07	25
Y _{Ma}	81.26	-2.89	71.56	71.62	92
L _{Ma}	52.23	-42.42	13.6	44.55	162
V _{Ma}	30.57	1.41	-46.47	46.49	272

Daten für Maximalfarbe (Ma):

$LAB^*LAB^*_{Ma}$: 71 -22 80

$LAB^*LCH^*_{Ma}$: 71 83 105

$lab^*olv^*_{Ma}$: 0.75 1.0 0.0

$lab^*rgb^*_{Ma}$: 0.82 1.0 0.0

Dreiecks-Helligkeit i^*

%Umfang

$u^*_{rel} = 88$

%Regularität

$g^*_{H,rel} = 31$

$g^*_{C,rel} = 40$

FRS15_90a; adaptierte CIELAB-Daten

u^*_d	$L^*=L^*_a$	a^*_a	b^*_a	$C^*_{ab,a}$	$h^*_{ab,a}$	u^*_e
o00y	38.8	53.92	39.68	66.95	36	r16j
o25y	47.46	42.34	51.25	66.48	50	r37j
o50y	56.54	30.2	63.39	70.22	65	r58j
o75y	67.39	15.68	77.9	79.47	79	r79j
y00l	82.58	-4.64	98.22	98.33	93	j01g
y25l	70.85	-21.66	80.19	83.07	105	j18g
y50l	61.91	-34.63	66.45	74.93	118	j36g
y75l	54.24	-45.77	54.66	71.29	130	j53g
l00c	46.95	-56.34	43.46	71.15	142	j71g
l50c	51.91	-36.84	-3.21	36.98	185	g21b
c00v	54.62	-26.2	-28.68	38.85	228	g60b
c50v	42.22	-0.61	-37.35	37.36	269	g97b
v00m	20.01	45.2	-52.87	69.56	311	b34r
v50m	29.93	57.31	-42.0	71.05	324	b45r
m00o	40.88	70.68	-29.99	76.78	337	b57r
m50o	39.77	61.72	7.23	62.15	7	b83r

lab^*olv^*

$i^* = 1.00$

Brillantheit i^*

$i^* = 0.80$

$i^* = 0.60$

$i^* = 0.40$

$i^* = 0.20$

$i^* = 0.00$

Ein und Ausgabe: Farbmetrisches Drucker-Reflektiv-System FRS15_90a für relativen CIELAB-Buntton $h^* = lab^*h^* = h_{ab}/360 = 0.326$

Daten für jede Farbe:

lab^*tch^* und lab^*icu^*

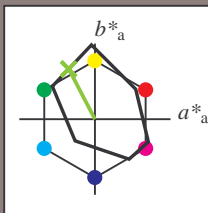
Bunttontexte:

$u^*_d = y50l$ $u^*_e = j36g$

Kontrastreduzierungsfaktor:

$c_R = 0.9$

Dreiecks-Helligkeit i^*



FRS15_90a; adaptierte CIELAB-Daten

u^*_d	$L^*=L^*_a$	a^*_a	b^*_a	$C^*_{ab,a}$	$h^*_{ab,a}$
O _{Ma}	38.8	53.92	39.68	66.95	36
Y _{Ma}	82.58	-4.64	98.22	98.33	93
L _{Ma}	46.95	-56.34	43.46	71.15	142
C _{Ma}	54.62	-26.2	-28.68	38.85	228
V _{Ma}	20.01	45.2	-52.87	69.56	311
M _{Ma}	40.88	70.68	-29.99	76.78	337
N _{Ma}	15.0	0.0	0.0	0.0	0
W _{Ma}	90.0	0.0	0.0	0.0	0
O _{Ma}	39.92	58.74	27.99	65.07	25
Y _{Ma}	81.26	-2.89	71.56	71.62	92
L _{Ma}	52.23	-42.42	13.6	44.55	162
V _{Ma}	30.57	1.41	-46.47	46.49	272

Daten für Maximalfarbe (Ma):

$LAB^*LAB^*_{Ma}$: 62 -35 66

$LAB^*LCH^*_{Ma}$: 62 75 117

$lab^*olv^*_{Ma}$: 0.5 1.0 0.0

$lab^*rgb^*_{Ma}$: 0.64 1.0 0.0

Dreiecks-Helligkeit i^*

%Umfang

$u^*_{rel} = 88$

%Regularität

$g^*_{H,rel} = 31$

$g^*_{C,rel} = 40$

FRS15_90a; adaptierte CIELAB-Daten

u^*_d	$L^*=L^*_a$	a^*_a	b^*_a	$C^*_{ab,a}$	$h^*_{ab,a}$	u^*_e
o00y	38.8	53.92	39.68	66.95	36	r16j
o25y	47.46	42.34	51.25	66.48	50	r37j
o50y	56.54	30.2	63.39	70.22	65	r58j
o75y	67.39	15.68	77.9	79.47	79	r79j
y00l	82.58	-4.64	98.22	98.33	93	j01g
y25l	70.85	-21.66	80.19	83.07	105	j18g
y50l	61.91	-34.63	66.45	74.93	118	j36g
y75l	54.24	-45.77	54.66	71.29	130	j53g
l00c	46.95	-56.34	43.46	71.15	142	j71g
l50c	51.91	-36.84	-3.21	36.98	185	g21b
c00v	54.62	-26.2	-28.68	38.85	228	g60b
c50v	42.22	-0.61	-37.35	37.36	269	g97b
v00m	20.01	45.2	-52.87	69.56	311	b34r
v50m	29.93	57.31	-42.0	71.05	324	b45r
m00o	40.88	70.68	-29.99	76.78	337	b57r
m50o	39.77	61.72	7.23	62.15	7	b83r

lab^*olv^*

$i^* = 1.00$

Brillantheit i^*

$i^* = 0.80$

$i^* = 0.60$

$i^* = 0.40$

$i^* = 0.20$

$i^* = 0.00$

Ein und Ausgabe: Farbmetrisches Drucker-Reflektiv-System FRS15_90a für relativen CIELAB-Buntton $h^* = lab^*h^* = h_{ab}/360 = 0.361$

Daten für jede Farbe:

lab^*tch^* und lab^*icu^*

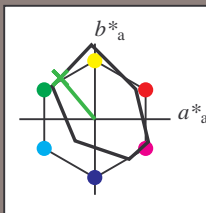
Bunttontexte:

$u^*_d = y75l$ $u^*_e = j53g$

Kontrastreduzierungsfaktor:

$c_R = 0.9$

Dreiecks-Helligkeit i^*



FRS15_90a; adaptierte CIELAB-Daten						
u^*_d	$L^*=L^*_a$	a^*_a	b^*_a	$C^*_{ab,a}$	$h^*_{ab,a}$	
O _{Ma}	38.8	53.92	39.68	66.95	36	
Y _{Ma}	82.58	-4.64	98.22	98.33	93	
L _{Ma}	46.95	-56.34	43.46	71.15	142	
C _{Ma}	54.62	-26.2	-28.68	38.85	228	
V _{Ma}	20.01	45.2	-52.87	69.56	311	
M _{Ma}	40.88	70.68	-29.99	76.78	337	
N _{Ma}	15.0	0.0	0.0	0.0	0	
W _{Ma}	90.0	0.0	0.0	0.0	0	
O _{Ma}	39.92	58.74	27.99	65.07	25	
Y _{Ma}	81.26	-2.89	71.56	71.62	92	
L _{Ma}	52.23	-42.42	13.6	44.55	162	
V _{Ma}	30.57	1.41	-46.47	46.49	272	

Daten für Maximalfarbe (Ma):

$LAB^*LAB^*_{Ma}$: 54 -46 55

$LAB^*LCH^*_{Ma}$: 54 71 129

$lab^*olv^*_{Ma}$: 0.25 1.0 0.0

$lab^*rgb^*_{Ma}$: 0.46 1.0 0.0

Dreiecks-Helligkeit i^*

%Umfang

$u^*_{rel} = 88$

%Regularität

$g^*_{H,rel} = 31$

$g^*_{C,rel} = 40$

FRS15_90a; adaptierte CIELAB-Daten						
u^*_d	$L^*=L^*_a$	a^*_a	b^*_a	$C^*_{ab,a}$	$h^*_{ab,a}$	u^*_e
o00y	38.8	53.92	39.68	66.95	36	r16j
o25y	47.46	42.34	51.25	66.48	50	r37j
o50y	56.54	30.2	63.39	70.22	65	r58j
o75y	67.39	15.68	77.9	79.47	79	r79j
y00l	82.58	-4.64	98.22	98.33	93	j01g
y25l	70.85	-21.66	80.19	83.07	105	j18g
y50l	61.91	-34.63	66.45	74.93	118	j36g
y75l	54.24	-45.77	54.66	71.29	130	j53g
l00c	46.95	-56.34	43.46	71.15	142	j71g
l50c	51.91	-36.84	-3.21	36.98	185	g21b
c00v	54.62	-26.2	-28.68	38.85	228	g60b
c50v	42.22	-0.61	-37.35	37.36	269	g97b
v00m	20.01	45.2	-52.87	69.56	311	b34r
v50m	29.93	57.31	-42.0	71.05	324	b45r
m00o	40.88	70.68	-29.99	76.78	337	b57r
m50o	39.77	61.72	7.23	62.15	7	b83r

lab^*olv^*

$i^* = 1.00$

Brillantheit i^*

$i^* = 0.80$

$i^* = 0.60$

$i^* = 0.40$

$i^* = 0.20$

$i^* = 0.00$

Ein und Ausgabe: Farbmetrisches Drucker-Reflektiv-System FRS15_90a für relativen CIELAB-Buntton $h^* = lab^*h^* = h_{ab}/360 = 0.395$

Daten für jede Farbe:

lab^*tch^* und lab^*icu^*

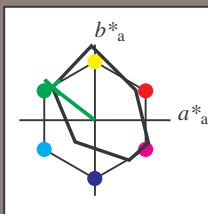
Bunttontexte:

$u^*_d = 100c$ $u^*_e = j71g$

Kontrastreduzierungsfaktor:

$c_R = 0.9$

Dreiecks-Helligkeit i^*



FRS15_90a; adaptierte CIELAB-Daten

u^*_d	$L^*=L^*_a$	a^*_a	b^*_a	$C^*_{ab,a}$	$h^*_{ab,a}$
O _{Ma}	38.8	53.92	39.68	66.95	36
Y _{Ma}	82.58	-4.64	98.22	98.33	93
L _{Ma}	46.95	-56.34	43.46	71.15	142
C _{Ma}	54.62	-26.2	-28.68	38.85	228
V _{Ma}	20.01	45.2	-52.87	69.56	311
M _{Ma}	40.88	70.68	-29.99	76.78	337
N _{Ma}	15.0	0.0	0.0	0.0	0
W _{Ma}	90.0	0.0	0.0	0.0	0
O _{Ma}	39.92	58.74	27.99	65.07	25
Y _{Ma}	81.26	-2.89	71.56	71.62	92
L _{Ma}	52.23	-42.42	13.6	44.55	162
V _{Ma}	30.57	1.41	-46.47	46.49	272

Daten für Maximalfarbe (Ma):

$LAB^*LAB^*_{Ma}$: 47 -56 43

$LAB^*LCH^*_{Ma}$: 47 71 142

$lab^*olv^*_{Ma}$: 0.0 1.0 0.0

$lab^*rgb^*_{Ma}$: 0.28 1.0 0.0

Dreiecks-Helligkeit i^*

%Umfang

$u^*_{rel} = 88$

%Regularität

$g^*_{H,rel} = 31$

$g^*_{C,rel} = 40$

FRS15_90a; adaptierte CIELAB-Daten

u^*_d	$L^*=L^*_a$	a^*_a	b^*_a	$C^*_{ab,a}$	$h^*_{ab,a}$	u^*_e
o00y	38.8	53.92	39.68	66.95	36	r16j
o25y	47.46	42.34	51.25	66.48	50	r37j
o50y	56.54	30.2	63.39	70.22	65	r58j
o75y	67.39	15.68	77.9	79.47	79	r79j
y00l	82.58	-4.64	98.22	98.33	93	j01g
y25l	70.85	-21.66	80.19	83.07	105	j18g
y50l	61.91	-34.63	66.45	74.93	118	j36g
y75l	54.24	-45.77	54.66	71.29	130	j53g
l00c	46.95	-56.34	43.46	71.15	142	j71g
l50c	51.91	-36.84	-3.21	36.98	185	g21b
c00v	54.62	-26.2	-28.68	38.85	228	g60b
c50v	42.22	-0.61	-37.35	37.36	269	g97b
v00m	20.01	45.2	-52.87	69.56	311	b34r
v50m	29.93	57.31	-42.0	71.05	324	b45r
m00o	40.88	70.68	-29.99	76.78	337	b57r
m50o	39.77	61.72	7.23	62.15	7	b83r

lab^*olv^*

$i^* = 1.00$

Brillantheit i^*

$i^* = 0.80$

$i^* = 0.60$

$i^* = 0.40$

$i^* = 0.20$

$i^* = 0.00$

relative Buntheit c^*

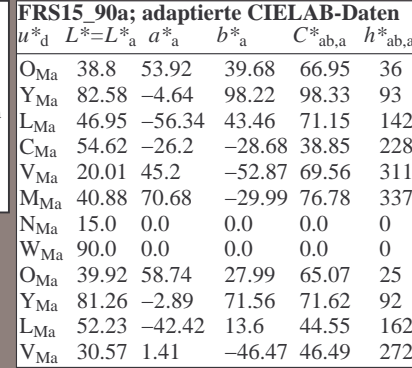
relative Buntheit c^*

Daten für jede Farbe:

Bunttontexte:

Kontrastreduzierungsfaktor:

Dreiecks



*LAB*LAB**_{Ma}: 52 -37 -3

LAB LCH Ma: 52 57 1
Lab: Lab 00 10 05

*lab*rgb*_Ma: 0.0 1.0 0.42*

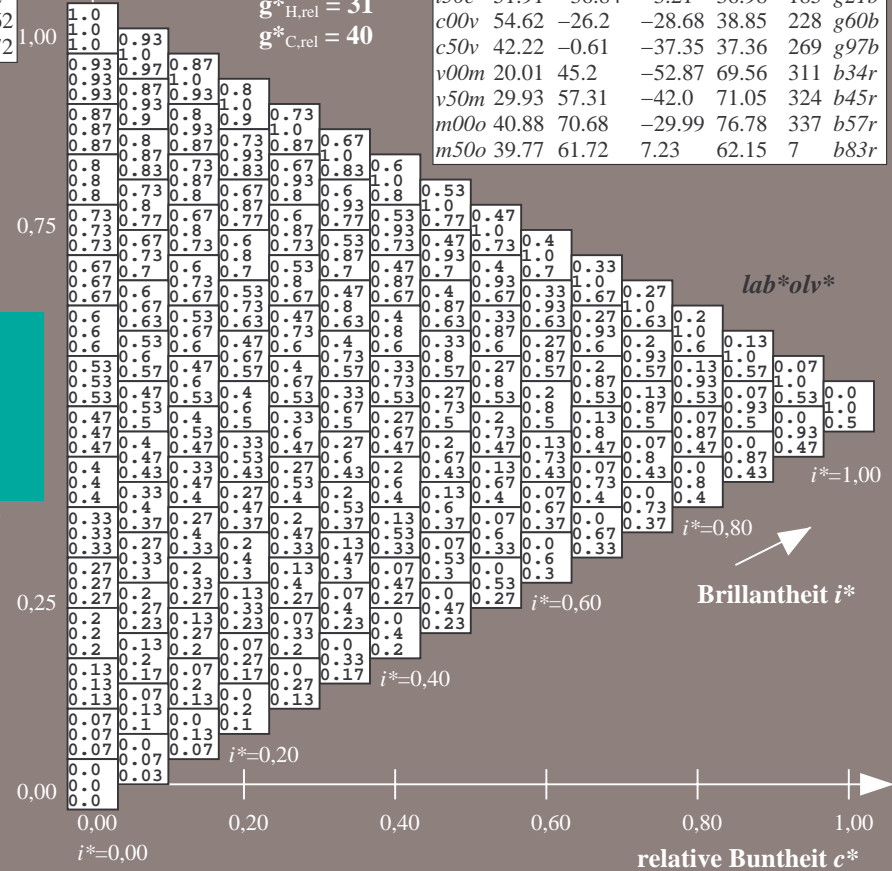
Dreiecks-Helligkeit t^*

0/1

%Umfang

$$u^*_{\text{rel}} = 88$$

%Regular

$$g_{H,rel}^* = 31$$


Brillantheit i^*

--	--	--	--

0.80 1.00

0,80 1,00
4. D. 4. 4. *

Relative Buntheit c^*

BAM-Prüfvorlage Eg41; Farbmatrik-Systeme, Seite 119/270 Eingabe: 000n / w / nnn0 / www set...
3 Separationen, 9 Datentabellen für 16 Bunttöne o00y bis m75aAusgabe: ->cmy0* setcmykcolor

BAM-Registrierung: 20081001-Eg41/10L/L41G00NA.PS/ .TXT BAM-Material: Code=rh4ta
Anwendung für Beurteilung und Messung von Drucker- oder Monitorsystemen

Ein und Ausgabe: Farbmetrisches Drucker-Reflektiv-System FRS15_90a für relativen CIELAB-Buntton $h^* = lab^*h^* = h_{ab}/360 = 0.632$

Daten für jede Farbe:

lab^*tch^* und lab^*icu^*

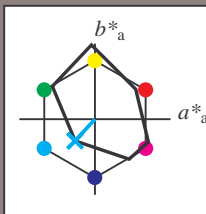
Bunttontexte:

$u^*_d = c00v$ $u^*_e = g60b$

Kontrastreduzierungsfaktor:

$c_R = 0.9$

Dreiecks-Helligkeit i^*



FRS15_90a; adaptierte CIELAB-Daten

u^*_d	$L^*=L^*_a$	a^*_a	b^*_a	$C^*_{ab,a}$	$h^*_{ab,a}$
O _{Ma}	38.8	53.92	39.68	66.95	36
Y _{Ma}	82.58	-4.64	98.22	98.33	93
L _{Ma}	46.95	-56.34	43.46	71.15	142
C _{Ma}	54.62	-26.2	-28.68	38.85	228
V _{Ma}	20.01	45.2	-52.87	69.56	311
M _{Ma}	40.88	70.68	-29.99	76.78	337
N _{Ma}	15.0	0.0	0.0	0.0	0
W _{Ma}	90.0	0.0	0.0	0.0	0
O _{Ma}	39.92	58.74	27.99	65.07	25
Y _{Ma}	81.26	-2.89	71.56	71.62	92
L _{Ma}	52.23	-42.42	13.6	44.55	162
V _{Ma}	30.57	1.41	-46.47	46.49	272

Daten für Maximalfarbe (Ma):

$LAB^*LAB^*_{Ma}$: 55 -26 -29

$LAB^*LCH^*_{Ma}$: 55 39 227

$lab^*olv^*_{Ma}$: 0.0 1.0 1.0

$lab^*rgb^*_{Ma}$: 0.0 0.81 1.0

Dreiecks-Helligkeit i^*

%Umfang

$u^*_{rel} = 88$

%Regularität

$g^*_{H,rel} = 31$

$g^*_{C,rel} = 40$

FRS15_90a; adaptierte CIELAB-Daten

u^*_d	$L^*=L^*_a$	a^*_a	b^*_a	$C^*_{ab,a}$	$h^*_{ab,a}$	u^*_e
o00y	38.8	53.92	39.68	66.95	36	r16j
o25y	47.46	42.34	51.25	66.48	50	r37j
o50y	56.54	30.2	63.39	70.22	65	r58j
o75y	67.39	15.68	77.9	79.47	79	r79j
y00l	82.58	-4.64	98.22	98.33	93	j01g
y25l	70.85	-21.66	80.19	83.07	105	j18g
y50l	61.91	-34.63	66.45	74.93	118	j36g
y75l	54.24	-45.77	54.66	71.29	130	j53g
l00c	46.95	-56.34	43.46	71.15	142	j71g
l50c	51.91	-36.84	-3.21	36.98	185	g21b
c00v	54.62	-26.2	-28.68	38.85	228	g60b
c50v	42.22	-0.61	-37.35	37.36	269	g97b
v00m	20.01	45.2	-52.87	69.56	311	b34r
v50m	29.93	57.31	-42.0	71.05	324	b45r
m00o	40.88	70.68	-29.99	76.78	337	b57r
m50o	39.77	61.72	7.23	62.15	7	b83r

lab^*olv^*

$i^* = 1.00$

Brillantheit i^*

$i^* = 0.80$

$i^* = 0.60$

$i^* = 0.40$

$i^* = 0.20$

$i^* = 0.00$

relative Buntheit c^*

relative Buntheit c^*

Ein und Ausgabe: Farbmetrisches Drucker-Reflektiv-System FRS15_90a für relativen CIELAB-Buntton $h^* = lab^*h^* = h_{ab}/360 = 0.747$

Daten für jede Farbe:

lab^*tch^* und lab^*icu^*

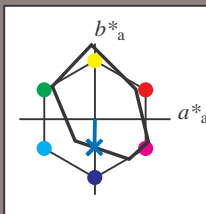
Bunttontexte:

$u^*_d = c50v$ $u^*_e = g97b$

Kontrastreduzierungsfaktor:

$c_R = 0.9$

Dreiecks-Helligkeit i^*



FRS15_90a; adaptierte CIELAB-Daten

u^*_d	$L^*=L^*_a$	a^*_a	b^*_a	$C^*_{ab,a}$	$h^*_{ab,a}$
O _{Ma}	38.8	53.92	39.68	66.95	36
Y _{Ma}	82.58	-4.64	98.22	98.33	93
L _{Ma}	46.95	-56.34	43.46	71.15	142
C _{Ma}	54.62	-26.2	-28.68	38.85	228
V _{Ma}	20.01	45.2	-52.87	69.56	311
M _{Ma}	40.88	70.68	-29.99	76.78	337
N _{Ma}	15.0	0.0	0.0	0.0	0
W _{Ma}	90.0	0.0	0.0	0.0	0
O _{Ma}	39.92	58.74	27.99	65.07	25
Y _{Ma}	81.26	-2.89	71.56	71.62	92
L _{Ma}	52.23	-42.42	13.6	44.55	162
V _{Ma}	30.57	1.41	-46.47	46.49	272

Daten für Maximalfarbe (Ma):

$LAB^*LAB^*_{Ma}$: 42 -1 -37

$LAB^*LCH^*_{Ma}$: 42 37 269

$lab^*olv^*_{Ma}$: 0.0 0.5 1.0

$lab^*rgb^*_{Ma}$: 0.0 0.05 1.0

Dreiecks-Helligkeit i^*

%Umfang

$u^*_{rel} = 88$

%Regularität

$g^*_{H,rel} = 31$

$g^*_{C,rel} = 40$

FRS15_90a; adaptierte CIELAB-Daten

u^*_d	$L^*=L^*_a$	a^*_a	b^*_a	$C^*_{ab,a}$	$h^*_{ab,a}$	u^*_e
o00y	38.8	53.92	39.68	66.95	36	r16j
o25y	47.46	42.34	51.25	66.48	50	r37j
o50y	56.54	30.2	63.39	70.22	65	r58j
o75y	67.39	15.68	77.9	79.47	79	r79j
y00l	82.58	-4.64	98.22	98.33	93	j01g
y25l	70.85	-21.66	80.19	83.07	105	j18g
y50l	61.91	-34.63	66.45	74.93	118	j36g
y75l	54.24	-45.77	54.66	71.29	130	j53g
l00c	46.95	-56.34	43.46	71.15	142	j71g
l50c	51.91	-36.84	-3.21	36.98	185	g21b
c00v	54.62	-26.2	-28.68	38.85	228	g60b
c50v	42.22	-0.61	-37.35	37.36	269	g97b
v00m	20.01	45.2	-52.87	69.56	311	b34r
v50m	29.93	57.31	-42.0	71.05	324	b45r
m00o	40.88	70.68	-29.99	76.78	337	b57r
m50o	39.77	61.72	7.23	62.15	7	b83r

lab^*olv^*

$i^* = 1.00$

Brillantheit i^*

$i^* = 0.80$

$i^* = 0.60$

$i^* = 0.40$

$i^* = 0.20$

$i^* = 0.00$

relative Buntheit c^*

relative Buntheit c^*

Ein und Ausgabe: Farbmétrisches Drucker-Reflektiv-System FRS15_90a für relativen CIELAB-Buntton $h^* = lab^*h^* = h_{90}/360 = 0.863$

Daten für jede Farbe:

*lab*tch** und *lab*icu**

Bunttexte:

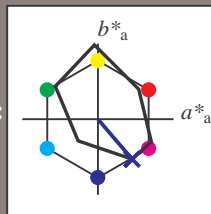
$$u^*_d = v00m \quad u^*_e = b34r$$

Kontrastreduzierungsfaktor:

 $c_{\mathbf{R}} = 0.9$

K Dreiecks-Helligkeit t^*

Brooks Hingham:



FRS15_90a; adaptierte CIELAB-Daten						
u^*_d	$L^*=L^*_a$	a^*_a	b^*_a	$C^*_{ab,a}$	$h^*_{ab,a}$	
O _{Ma}	38.8	53.92	39.68	66.95	36	
Y _{Ma}	82.58	-4.64	98.22	98.33	93	
L _{Ma}	46.95	-56.34	43.46	71.15	142	
C _{Ma}	54.62	-26.2	-28.68	38.85	228	
V _{Ma}	20.01	45.2	-52.87	69.56	311	
M _{Ma}	40.88	70.68	-29.99	76.78	337	
N _{Ma}	15.0	0.0	0.0	0.0	0	
W _{Ma}	90.0	0.0	0.0	0.0	0	
O _{Ma}	39.92	58.74	27.99	65.07	25	
Y _{Ma}	81.26	-2.89	71.56	71.62	92	
L _{Ma}	52.23	-42.42	13.6	44.55	162	
V _{Ma}	30.57	1.41	-46.47	46.49	272	

Daten für Maximalfarbe (Ma):

LAB*LAB*Mo: 20 45 -53

LAB LAB	Ma.	20	45	55
LAB*LAB*		20	50	210

LAB*LCH*Ma: 20 70 3

***lab*olv**Ma: 0.0 0.0 1.0**

*lab*rgb*_Ma*: 0.68 0.0 1.

Dreiecks-Helligkeit t^*

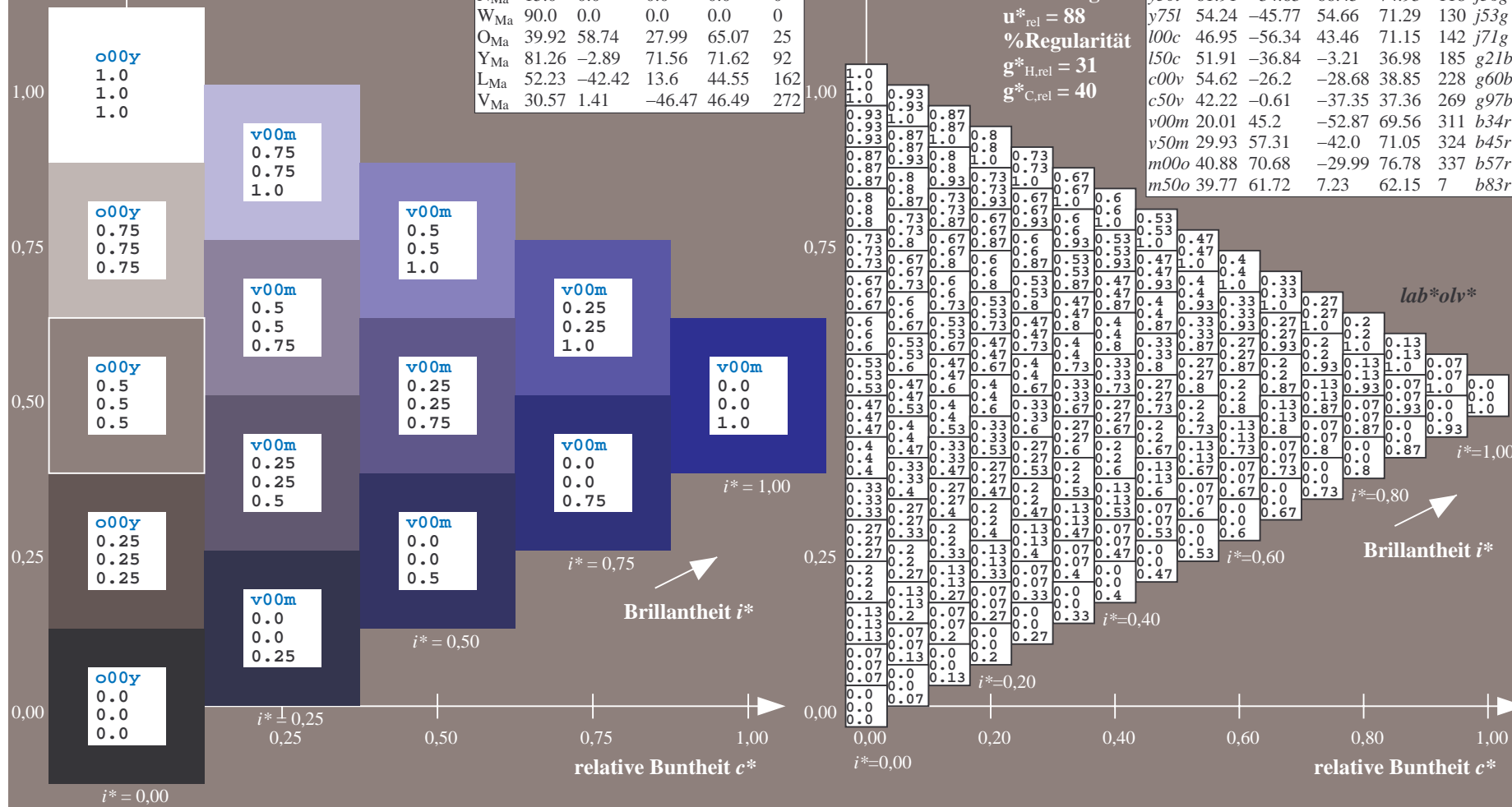
%Umfang

$$\mathbf{u}_{\text{rel}}^* = 88$$

%Regular:

$$g^*_{H,rel} = 31$$
$$g^*_{C,rel} = 40$$

FRS15_90a; adaptierte CIELAB-Daten							
u_d^*	$L^*=L_a^*$	a_a^*	b_a^*	$C_{ab,a}^*$	$h_{ab,a}^*$	u_e^*	
<i>o00y</i>	38.8	53.92	39.68	66.95	36	<i>r16i</i>	
<i>o25y</i>	47.46	42.34	51.25	66.48	50	<i>r37j</i>	
<i>o50y</i>	56.54	30.2	63.39	70.22	65	<i>r58j</i>	
<i>o75y</i>	67.39	15.68	77.9	79.47	79	<i>r79j</i>	
<i>y00l</i>	82.58	-4.64	98.22	98.33	93	<i>j01g</i>	
<i>y25l</i>	70.85	-21.66	80.19	83.07	105	<i>j18g</i>	
<i>y50l</i>	61.91	-34.63	66.45	74.93	118	<i>j36g</i>	
<i>y75l</i>	54.24	-45.77	54.66	71.29	130	<i>j53g</i>	
<i>l00c</i>	46.95	-56.34	43.46	71.15	142	<i>j71g</i>	
<i>l50c</i>	51.91	-36.84	-3.21	36.98	185	<i>g21b</i>	
<i>c00v</i>	54.62	-26.2	-28.68	38.85	228	<i>g60b</i>	
<i>c50v</i>	42.22	-0.61	-37.35	37.36	269	<i>g97b</i>	
<i>v00m</i>	20.01	45.2	-52.87	69.56	311	<i>b34r</i>	
<i>v50m</i>	29.93	57.31	-42.0	71.05	324	<i>b45r</i>	
<i>m00o</i>	40.88	70.68	-29.99	76.78	337	<i>b57r</i>	
<i>m50o</i>	39.77	61.72	7.23	62.15	7	<i>b83r</i>	



BAM-Prüfvorlage Eg41; Farbmatrik-Systeme, Seite 122/270 Eingabe: 000n / w / nnn0 / www set...
3 Separationen, 9 Datentabellen für 16 Bunttöne o00y bis m75aAusgabe: ->cmy0* setcmykcolor

BAM-Registrierung: 20081001-E_g4/10L/L41G00NA.PS/.TXT BAM-Material: Code=rha4ta
+ Anwendung für Beurteilung und Messung von Drucker- oder Monitorsystemen

Ein und Ausgabe: Farbmetrisches Drucker-Reflektiv-System FRS15_90a für relativen CIELAB-Buntton $h^* = lab^*h^* = h_{ab}/360 = 0.899$

Daten für jede Farbe:

lab^*tch^* und lab^*icu^*

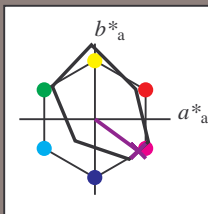
Bunttontexte:

$u^*_d = v50m$ $u^*_e = b45r$

Kontrastreduzierungsfaktor:

$c_R = 0.9$

Dreiecks-Helligkeit i^*



FRS15_90a; adaptierte CIELAB-Daten

u^*_d	$L^*=L^*_a$	a^*_a	b^*_a	$C^*_{ab,a}$	$h^*_{ab,a}$
O _{Ma}	38.8	53.92	39.68	66.95	36
Y _{Ma}	82.58	-4.64	98.22	98.33	93
L _{Ma}	46.95	-56.34	43.46	71.15	142
C _{Ma}	54.62	-26.2	-28.68	38.85	228
V _{Ma}	20.01	45.2	-52.87	69.56	311
M _{Ma}	40.88	70.68	-29.99	76.78	337
N _{Ma}	15.0	0.0	0.0	0.0	0
W _{Ma}	90.0	0.0	0.0	0.0	0
O _{Ma}	39.92	58.74	27.99	65.07	25
Y _{Ma}	81.26	-2.89	71.56	71.62	92
L _{Ma}	52.23	-42.42	13.6	44.55	162
V _{Ma}	30.57	1.41	-46.47	46.49	272

Daten für Maximalfarbe (Ma):

$LAB^*LAB^*_{Ma}$: 30 57 -42

$LAB^*LCH^*_{Ma}$: 30 71 323

$lab^*olv^*_{Ma}$: 0.5 0.0 1.0

$lab^*rgb^*_{Ma}$: 0.91 0.0 1.0

Dreiecks-Helligkeit i^*

%Umfang

$u^*_{rel} = 88$

%Regularität

$g^*_{H,rel} = 31$

$g^*_{C,rel} = 40$

FRS15_90a; adaptierte CIELAB-Daten

u^*_d	$L^*=L^*_a$	a^*_a	b^*_a	$C^*_{ab,a}$	$h^*_{ab,a}$	u^*_e
o00y	38.8	53.92	39.68	66.95	36	r16j
o25y	47.46	42.34	51.25	66.48	50	r37j
o50y	56.54	30.2	63.39	70.22	65	r58j
o75y	67.39	15.68	77.9	79.47	79	r79j
y00l	82.58	-4.64	98.22	98.33	93	j01g
y25l	70.85	-21.66	80.19	83.07	105	j18g
y50l	61.91	-34.63	66.45	74.93	118	j36g
y75l	54.24	-45.77	54.66	71.29	130	j53g
l00c	46.95	-56.34	43.46	71.15	142	j71g
l50c	51.91	-36.84	-3.21	36.98	185	g21b
c00v	54.62	-26.2	-28.68	38.85	228	g60b
c50v	42.22	-0.61	-37.35	37.36	269	g97b
v00m	20.01	45.2	-52.87	69.56	311	b34r
v50m	29.93	57.31	-42.0	71.05	324	b45r
m00o	40.88	70.68	-29.99	76.78	337	b57r
m50o	39.77	61.72	7.23	62.15	7	b83r

lab^*olv^*

$i^* = 1.00$

Brillantheit i^*

$i^* = 0.80$

$i^* = 0.60$

$i^* = 0.40$

$i^* = 0.20$

$i^* = 0.00$

relative Bunttheit c^*

relative Bunttheit c^*

Ein und Ausgabe: Farbmetrisches Drucker-Reflektiv-System FRS15_90a für relativen CIELAB-Buntton $h^* = lab^*h^* = h_{ab}/360 = 0.936$

Daten für jede Farbe:

lab^*tch^* und lab^*icu^*

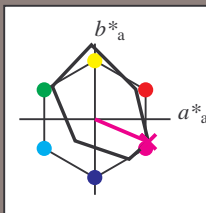
Bunttontexte:

$u^*_d = m00o$ $u^*_e = b57r$

Kontrastreduzierungsfaktor:

$c_R = 0.9$

Dreiecks-Helligkeit i^*



FRS15_90a; adaptierte CIELAB-Daten

u^*_d	$L^*=L^*_a$	a^*_a	b^*_a	$C^*_{ab,a}$	$h^*_{ab,a}$
O _{Ma}	38.8	53.92	39.68	66.95	36
Y _{Ma}	82.58	-4.64	98.22	98.33	93
L _{Ma}	46.95	-56.34	43.46	71.15	142
C _{Ma}	54.62	-26.2	-28.68	38.85	228
V _{Ma}	20.01	45.2	-52.87	69.56	311
M _{Ma}	40.88	70.68	-29.99	76.78	337
N _{Ma}	15.0	0.0	0.0	0.0	0
W _{Ma}	90.0	0.0	0.0	0.0	0
O _{Ma}	39.92	58.74	27.99	65.07	25
Y _{Ma}	81.26	-2.89	71.56	71.62	92
L _{Ma}	52.23	-42.42	13.6	44.55	162
V _{Ma}	30.57	1.41	-46.47	46.49	272

Daten für Maximalfarbe (Ma):

$LAB^*LAB^*_{Ma}$: 41 71 -30

$LAB^*LCH^*_{Ma}$: 41 77 337

$lab^*olv^*_{Ma}$: 1.0 0.0 1.0

$lab^*rgb^*_{Ma}$: 1.0 0.0 0.85

Dreiecks-Helligkeit i^*

%Umfang

$u^*_{rel} = 88$

%Regularität

$g^*_{H,rel} = 31$

$g^*_{C,rel} = 40$

FRS15_90a; adaptierte CIELAB-Daten

u^*_d	$L^*=L^*_a$	a^*_a	b^*_a	$C^*_{ab,a}$	$h^*_{ab,a}$	u^*_e
o00y	38.8	53.92	39.68	66.95	36	r16j
o25y	47.46	42.34	51.25	66.48	50	r37j
o50y	56.54	30.2	63.39	70.22	65	r58j
o75y	67.39	15.68	77.9	79.47	79	r79j
y00l	82.58	-4.64	98.22	98.33	93	j01g
y25l	70.85	-21.66	80.19	83.07	105	j18g
y50l	61.91	-34.63	66.45	74.93	118	j36g
y75l	54.24	-45.77	54.66	71.29	130	j53g
l00c	46.95	-56.34	43.46	71.15	142	j71g
l50c	51.91	-36.84	-3.21	36.98	185	g21b
c00v	54.62	-26.2	-28.68	38.85	228	g60b
c50v	42.22	-0.61	-37.35	37.36	269	g97b
v00m	20.01	45.2	-52.87	69.56	311	b34r
v50m	29.93	57.31	-42.0	71.05	324	b45r
m00o	40.88	70.68	-29.99	76.78	337	b57r
m50o	39.77	61.72	7.23	62.15	7	b83r

lab^*olv^*

$i^* = 1.00$

Brillantheit i^*

$i^* = 0.80$

$i^* = 0.60$

$i^* = 0.40$

$i^* = 0.20$

$i^* = 0.00$

relative Buntheit c^*

relative Buntheit c^*

Ein und Ausgabe: Farbmetrisches Drucker-Reflektiv-System FRS15_90a für relativen CIELAB-Buntton $h^* = lab^*h^* = h_{ab}/360 = 0.019$

Daten für jede Farbe:

lab^*ch^* und lab^*icu^*

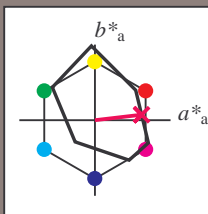
Bunttontexte:

$u^*_d = m50o$ $u^*_e = b83r$

Kontrastreduzierungsfaktor:

$c_R = 0.9$

Dreiecks-Helligkeit i^*



FRS15_90a; adaptierte CIELAB-Daten

u^*_d	$L^*=L^*_a$	a^*_a	b^*_a	$C^*_{ab,a}$	$h^*_{ab,a}$
O _{Ma}	38.8	53.92	39.68	66.95	36
Y _{Ma}	82.58	-4.64	98.22	98.33	93
L _{Ma}	46.95	-56.34	43.46	71.15	142
C _{Ma}	54.62	-26.2	-28.68	38.85	228
V _{Ma}	20.01	45.2	-52.87	69.56	311
M _{Ma}	40.88	70.68	-29.99	76.78	337
N _{Ma}	15.0	0.0	0.0	0.0	0
W _{Ma}	90.0	0.0	0.0	0.0	0
O _{Ma}	39.92	58.74	27.99	65.07	25
Y _{Ma}	81.26	-2.89	71.56	71.62	92
L _{Ma}	52.23	-42.42	13.6	44.55	162
V _{Ma}	30.57	1.41	-46.47	46.49	272

Daten für Maximalfarbe (Ma):

$LAB^*LAB^*_{Ma}$: 40 62 7

$LAB^*LCH^*_{Ma}$: 40 62 6

$lab^*olv^*_{Ma}$: 1.0 0.0 0.5

$lab^*rgb^*_{Ma}$: 1.0 0.0 0.33

Dreiecks-Helligkeit i^*

%Umfang

$u^*_{rel} = 88$

%Regularität

$g^*_{H,rel} = 31$

$g^*_{C,rel} = 40$

FRS15_90a; adaptierte CIELAB-Daten

u^*_d	$L^*=L^*_a$	a^*_a	b^*_a	$C^*_{ab,a}$	$h^*_{ab,a}$	u^*_e
o00y	38.8	53.92	39.68	66.95	36	r16j
o25y	47.46	42.34	51.25	66.48	50	r37j
o50y	56.54	30.2	63.39	70.22	65	r58j
o75y	67.39	15.68	77.9	79.47	79	r79j
y00l	82.58	-4.64	98.22	98.33	93	j01g
y25l	70.85	-21.66	80.19	83.07	105	j18g
y50l	61.91	-34.63	66.45	74.93	118	j36g
y75l	54.24	-45.77	54.66	71.29	130	j53g
l00c	46.95	-56.34	43.46	71.15	142	j71g
l50c	51.91	-36.84	-3.21	36.98	185	g21b
c00v	54.62	-26.2	-28.68	38.85	228	g60b
c50v	42.22	-0.61	-37.35	37.36	269	g97b
v00m	20.01	45.2	-52.87	69.56	311	b34r
v50m	29.93	57.31	-42.0	71.05	324	b45r
m00o	40.88	70.68	-29.99	76.78	337	b57r
m50o	39.77	61.72	7.23	62.15	7	b83r

lab^*olv^*

$i^* = 1.00$

Brillantheit i^*

$i^* = 0.80$

$i^* = 0.60$

$i^* = 0.40$

$i^* = 0.20$

$i^* = 0.00$

relative Bunttheit c^*

relative Bunttheit c^*

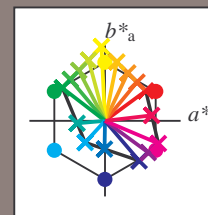
Siehe ähnliche Dateien: <http://www.ps.bam.de/Eg41/>; www.ps.bam.de/Eg41/10L/L41G00NA.PS/.TXT BAM-Material: Code=th4ta
Technische Information: <http://www.ps.bam.de> Version 2.1, io=1,1, ColSp=0

	A	B	C	D	E	F	G	H	I	J	K	L	M	N	O	P	Q	R	S	T	U	V	W	X	Y	Z	a	b	c	d	e	f	g	h	i	j	k	lab*oly*				
01	0.0	0.0	0.0	0.0	0.0	0.0	0.0	0.0	0.0	0.0	0.13	0.12	0.12	0.12	0.12	0.12	0.12	0.12	0.25	0.25	0.25	0.25	0.25	0.25	0.25	0.25	0.25	0.25	1.0	1.0	1.0	1.0	1.0	1.0	1.0	1.0	1.0	1.0	0.0	0.0	0.0	0.0
	0.0	0.13	0.25	0.38	0.5	0.63	0.75	0.88	1.0	0.0	0.13	0.25	0.38	0.5	0.63	0.75	0.88	1.0	0.0	0.12	0.25	0.38	0.5	0.63	0.75	0.88	1.0	0.0	0.88	0.75	0.63	0.5	0.38	0.25	0.13	0.0	0.0	0.0	0.0	0.0	0.0	0.0
	0.0	0.0	0.0	0.0	0.0	0.0	0.0	0.0	0.0	0.0	0.0	0.0	0.0	0.0	0.0	0.0	0.0	0.0	0.0	0.0	0.0	0.0	0.0	0.0	0.0	0.0	0.0	1.0	0.88	0.75	0.63	0.5	0.38	0.25	0.13	0.0	0.0	0.0	0.0	0.0	0.0	0.0
02	0.0	0.0	0.0	0.0	0.0	0.0	0.0	0.0	0.0	0.0	0.12	0.13	0.13	0.13	0.13	0.13	0.13	0.13	0.25	0.25	0.25	0.25	0.25	0.25	0.25	0.25	0.25	0.88	0.88	0.88	0.88	0.88	0.88	0.88	0.88	0.88	0.88	0.13	0.13	0.13	0.13	
	0.0	0.12	0.25	0.38	0.5	0.63	0.75	0.88	1.0	0.0	0.13	0.25	0.38	0.5	0.63	0.75	0.88	1.0	0.0	0.13	0.25	0.38	0.5	0.63	0.75	0.88	1.0	1.0	0.88	0.75	0.63	0.5	0.38	0.25	0.13	0.0	0.0	0.0	0.0	0.0	0.0	0.0
	0.13	0.13	0.12	0.12	0.12	0.12	0.12	0.12	0.12	0.12	0.13	0.13	0.13	0.13	0.13	0.13	0.13	0.13	0.12	0.13	0.13	0.13	0.13	0.13	0.13	0.13	0.13	1.0	0.88	0.75	0.63	0.5	0.38	0.25	0.13	0.0	0.0	0.0	0.0	0.13	0.13	0.13
03	0.0	0.0	0.0	0.0	0.0	0.0	0.0	0.0	0.0	0.0	0.12	0.13	0.13	0.13	0.13	0.13	0.13	0.13	0.25	0.25	0.25	0.25	0.25	0.25	0.25	0.25	0.25	0.75	0.75	0.75	0.75	0.75	0.75	0.75	0.75	0.75	0.75	0.25	0.25	0.25	0.25	
	0.0	0.12	0.25	0.38	0.5	0.63	0.75	0.88	1.0	0.0	0.13	0.25	0.38	0.5	0.63	0.75	0.88	1.0	0.0	0.13	0.25	0.38	0.5	0.63	0.75	0.88	1.0	1.0	0.87	0.75	0.63	0.5	0.38	0.25	0.13	0.0	0.25	0.25	0.25	0.25		
	0.25	0.25	0.25	0.25	0.25	0.25	0.25	0.25	0.25	0.25	0.25	0.25	0.25	0.25	0.25	0.25	0.25	0.25	0.25	0.25	0.25	0.25	0.25	0.25	0.25	0.25	0.25	1.0	0.88	0.75	0.63	0.5	0.38	0.25	0.13	0.0	0.25	0.25	0.25	0.25		
04	0.0	0.0	0.0	0.0	0.0	0.0	0.0	0.0	0.0	0.0	0.12	0.13	0.13	0.13	0.13	0.13	0.13	0.13	0.25	0.25	0.25	0.25	0.25	0.25	0.25	0.25	0.25	0.63	0.63	0.63	0.63	0.63	0.63	0.63	0.63	0.38	0.38	0.38	0.38			
	0.0	0.12	0.25	0.37	0.5	0.63	0.75	0.88	1.0	0.0	0.13	0.25	0.37	0.5	0.63	0.75	0.88	1.0	0.0	0.13	0.25	0.37	0.5	0.63	0.75	0.88	1.0	1.0	0.87	0.75	0.63	0.5	0.38	0.25	0.13	0.0	0.38	0.38	0.38	0.38		
	0.38	0.38	0.38	0.38	0.37	0.37	0.37	0.37	0.37	0.38	0.38	0.38	0.38	0.37	0.37	0.37	0.37	0.37	0.38	0.38	0.38	0.37	0.37	0.37	0.37	0.37	0.37	1.0	0.88	0.75	0.63	0.5	0.38	0.25	0.13	0.0	0.38	0.38	0.38	0.38		
05	0.0	0.0	0.0	0.0	0.0	0.0	0.0	0.0	0.0	0.0	0.12	0.13	0.13	0.13	0.13	0.13	0.13	0.13	0.25	0.25	0.25	0.25	0.25	0.25	0.25	0.25	0.25	0.5	0.5	0.5	0.5	0.5	0.5	0.5	0.5	0.5	0.5	0.5	0.5	0.5		
	0.0	0.12	0.25	0.37	0.5	0.63	0.75	0.88	1.0	0.0	0.13	0.25	0.37	0.5	0.63	0.75	0.88	1.0	0.0	0.13	0.25	0.37	0.5	0.63	0.75	0.88	1.0	1.0	0.87	0.75	0.63	0.5	0.38	0.25	0.13	0.0	0.5	0.5	0.5	0.5		
	0.5	0.5	0.5	0.5	0.5	0.5	0.5	0.5	0.5	0.5	0.5	0.5	0.5	0.5	0.5	0.5	0.5	0.5	0.5	0.5	0.5	0.5	0.5	0.5	0.5	0.5	0.5	1.0	0.88	0.75	0.63	0.5	0.38	0.25	0.13	0.0	0.5	0.5	0.5	0.5		
06	0.0	0.0	0.0	0.0	0.0	0.0	0.0	0.0	0.0	0.0	0.12	0.13	0.13	0.13	0.13	0.13	0.13	0.13	0.25	0.25	0.25	0.25	0.25	0.25	0.25	0.25	0.25	0.38	0.38	0.38	0.38	0.38	0.38	0.38	0.38	0.63	0.63	0.63	0.63			
	0.0	0.12	0.25	0.37	0.5	0.62	0.75	0.88	1.0	0.0	0.13	0.25	0.37	0.5	0.62	0.75	0.88	1.0	0.0	0.13	0.25	0.37	0.5	0.62	0.75	0.88	1.0	1.0	0.87	0.75	0.62	0.5	0.38	0.25	0.13	0.0	0.63	0.63	0.63	0.63		
	0.63	0.63	0.63	0.63	0.63	0.63	0.62	0.62	0.62	0.63	0.63	0.63	0.63	0.63	0.63	0.62	0.62	0.62	0.63	0.63	0.63	0.63	0.63	0.62	0.62	0.62	0.62	1.0	0.88	0.75	0.63	0.5	0.38	0.25	0.13	0.0	0.63	0.63	0.63	0.63		
07	0.0	0.0	0.0	0.0	0.0	0.0	0.0	0.0	0.0	0.0	0.12	0.13	0.13	0.13	0.13	0.13	0.13	0.13	0.25	0.25	0.25	0.25	0.25	0.25	0.25	0.25	0.25	0.25	0.25	0.25	0.25	0.25	0.25	0.25	0.25	0.25	0.25	0.75	0.75	0.75	0.75	
	0.0	0.12	0.25	0.37	0.5	0.62	0.75	0.88	1.0	0.0	0.13	0.25	0.37	0.5	0.62	0.75	0.88	1.0	0.0	0.13	0.25	0.37	0.5	0.62	0.75	0.88	1.0	1.0	0.87	0.75	0.62	0.5	0.37	0.25	0.13	0.0	0.75	0.75	0.75	0.75		
	0.75	0.75	0.75	0.75	0.75	0.75	0.75	0.75	0.75	0.75	0.75	0.75	0.75	0.75	0.75	0.75	0.75	0.75	0.75	0.75	0.75	0.75	0.75	0.75	0.75	0.75	0.75	1.0	0.88	0.75	0.63	0.5	0.38	0.25	0.13	0.0	0.75	0.75	0.75	0.75		
08	0.0	0.0	0.0	0.0	0.0	0.0	0.0	0.0	0.0	0.0	0.12	0.13	0.13	0.13	0.13	0.13	0.13	0.13	0.25	0.25	0.25	0.25	0.25	0.25	0.25	0.25	0.25	0.13	0.13	0.13	0.13	0.13	0.13	0.13	0.13	0.88	0.88	0.88	0.88			
	0.0	0.12	0.25	0.37	0.5	0.62	0.75	0.87	1.0	0.0	0.13	0.25	0.37	0.5	0.62	0.75	0.87	1.0	0.0	0.13	0.25	0.37	0.5	0.62	0.75	0.87	1.0	1.0	0.87	0.75	0.62	0.5	0.37	0.25	0.13	0.0	0.88	0.88	0.88	0.88		
	0.88	0.88	0.88	0.88	0.88	0.88	0.88	0.88	0.87	0.88	0.88	0.88	0.88	0.88	0.88	0.88	0.88	0.87	0.88	0.88	0.88	0.88	0.88	0.88	0.88	0.88	0.87	1.0	0.88	0.75	0.63	0.5	0.38	0.25	0.13	0.0	0.88	0.88	0.88	0.88		
09	0.0	0.0	0.0	0.0	0.0	0.0	0.0	0.0	0.0	0.0	0.12	0.13	0.13	0.13	0.13	0.13	0.13	0.13	0.25	0.25	0.25	0.25	0.25	0.25	0.25	0.25	0.25	0.0	0.0	0.0	0.0	0.0	0.0	0.0	0.0	1.0	1.0	1.0	1.0			
	0.0	0.12	0.25	0.37	0.5	0.62	0.75	0.87	1.0	0.0	0.13	0.25	0.37	0.5	0.62	0.75	0.87	1.0	0.0	0.13	0.25	0.37	0.5	0.62	0.75	0.87	1.0	1.0	0.87	0.75	0.62	0.5	0.37	0.25	0.12	0.0	1.0	1.0	1.0	1.0		
	1.0	1.0	1.0	1.0	1.0	1.0	1.0	1.0	1.0	1.0	1.0	1.0	1.0	1.0	1.0	1.0	1.0	1.0	1.0	1.0	1.0	1.0	1.0	1.0	1.0	1.0	1.0	1.0	0.88	0.75	0.63	0.5	0.38	0.25	0.13	0.0	1.0	1.0	1.0	1.0		
10	0.38	0.38	0.38	0.37	0.37	0.37	0.37	0.37	0.37	0.37	0.5	0.5	0.5	0.5	0.5	0.5	0.5	0.5	0.63	0.63	0.63	0.63	0.63	0.62	0.62	0.62	0.62	1.0	1.0	1.0	1.0	1.0	1.0	1.0	1.0	1.0	1.0	0.0	0.0	0.0	0.0	
	0.0	0.12	0.25	0.38	0.5	0.63	0.75	0.88	1.0	0.0	0.12	0.25	0.37	0.5	0.63	0.75	0.88	1.0	0.0	0.12	0.25	0.37	0.5	0.63	0.75	0.88	1.0	1.0	1.0	1.0	1.0	1.0	1.0	1.0	1.0	1.0	0.0	0.0	0.0	0.0		
	0.0	0.0	0.0	0.0	0.0	0.0	0.0	0.0	0.0	0.0	0.0	0.0	0.0	0.0	0.0	0.0	0.0	0.0	0.0	0.0	0.0	0.0	0.0	0.0	0.0	0.0	0.0	1.0	0.88	0.75	0.63	0.5	0.38	0.25	0.13	0.0	0.0	0.0	0.0	0.0		
11	0.38	0.38	0.38	0.37	0.37	0.37	0.37	0.37	0.37	0.37	0.5	0.5	0.5	0.5	0.5	0.5	0.5	0.5	0.63	0.63	0.63	0.63	0.63	0.62	0.62	0.62	0.62	0.88	0.88	0.87	0.87	0.87	0.87	0.87	0.87	0.07	0.07	0.07	0.07			
	0.0	0.13	0.25	0.38	0.5	0.63	0.75	0.88	1.0	0.0	0.13	0.25	0.37	0.5	0.63	0.75	0.88	1.0	0.0	0.13	0.25	0.37	0.5	0.63	0.75	0.88	1.0	1.0	0.88	0.88	0.88	0.88	0.88	0.88	0.88	0.88	0.07	0.07	0.07	0.07		
	0.12	0.13	0.13	0.13	0.13	0.13	0.13	0.13	0.13	0.13	0.12	0.13	0.13	0.13	0.13	0.13	0.13	0.13	0.12	0.13	0.13	0.13	0.13	0.13	0.13	0.13	0.13	1.0	0.88	0.75	0.63	0.5	0.38	0.25	0.13	0.0	0.07	0.07	0.07	0.07		
12	0.38	0.38	0.38	0.37	0.37	0.37	0.37	0.37	0.37	0.37	0.5	0.5	0.5	0.5	0.5	0.5	0.5	0.5	0.63	0.63	0.63	0.63	0.63	0.62	0.62																	

BAM-Registrierung: 20081001-Eg41/10L/L41G00NA.PS/.TXT BAM-Material: Code=th4ta
Anwendung für Beurteilung und Messung von Drucker- oder Monitorsystemen

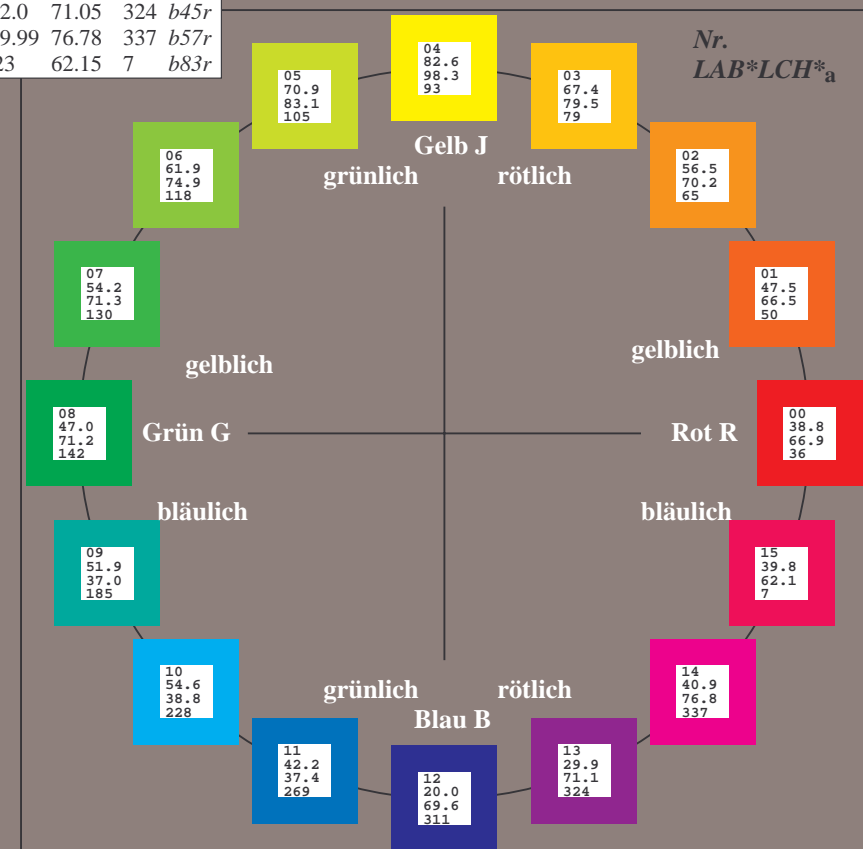
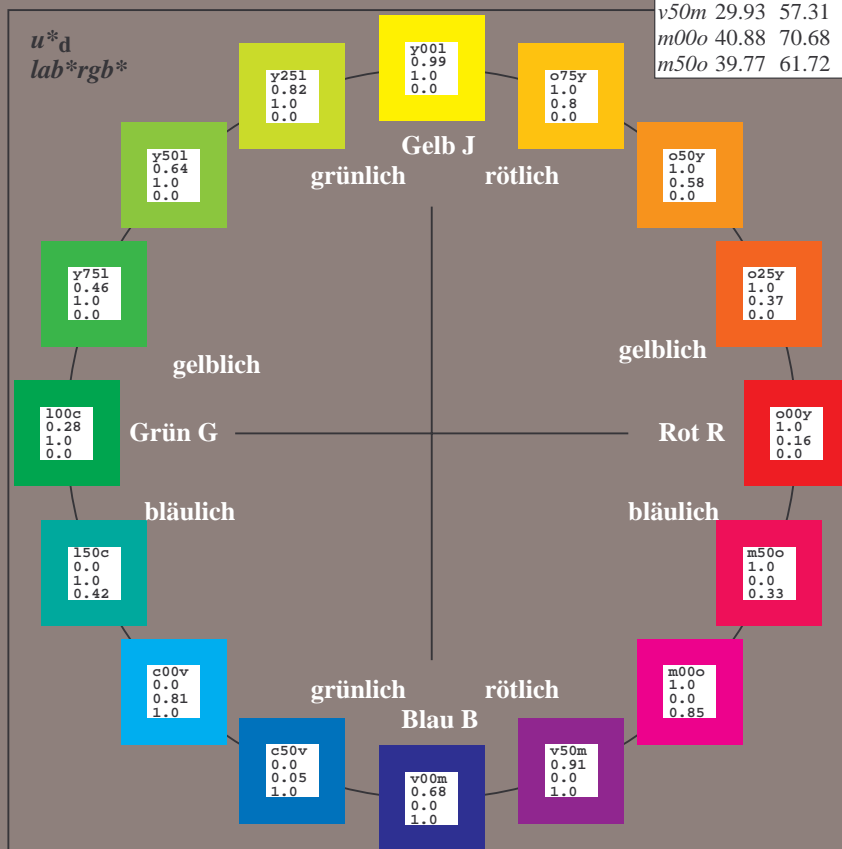
Ein und Ausgabe:
Farbmetrisches Drucker-Reflektiv-System FRS15_90a
Daten für jede Farbe:
 u^*_d und Nummer $Nr.$ = 00 .. 15
Geräte-Bunttontext:
 u^*_d = 16 Bunttoene $o00y$, $o25y$, ..., $m50o$
Kontrastreduzierungsfaktor:
 $c_R = 0.9$

FRS15_90a; adaptierte CIELAB-Daten						
u^*_d	$L^*=L^*_a$	a^*_a	b^*_a	$C^*_{ab,a}$	$h^*_{ab,a}$	u^*_e
$o00y$	38.8	53.92	39.68	66.95	36	$r16j$
$o25y$	47.46	42.34	51.25	66.48	50	$r37j$
$o50y$	56.54	30.2	63.39	70.22	65	$r58j$
$o75y$	67.39	15.68	77.9	79.47	79	$r79j$
$y00l$	82.58	-4.64	98.22	98.33	93	$j01g$
$y25l$	70.85	-21.66	80.19	83.07	105	$j18g$
$y50l$	61.91	-34.63	66.45	74.93	118	$j36g$
$y75l$	54.24	-45.77	54.66	71.29	130	$j53g$
$l00c$	46.95	-56.34	43.46	71.15	142	$j71g$
$l50c$	51.91	-36.84	-3.21	36.98	185	$g21b$
$c00v$	54.62	-26.2	-28.68	38.85	228	$g60b$
$c50v$	42.22	-0.61	-37.35	37.36	269	$g97b$
$v00m$	20.01	45.2	-52.87	69.56	311	$b34r$
$v50m$	29.93	57.31	-42.0	71.05	324	$b45r$
$m00o$	40.88	70.68	-29.99	76.78	337	$b57r$
$m50o$	39.77	61.72	7.23	62.15	7	$b83r$



%Umfang
 $u^*_{rel} = 88$
%Regularität
 $g^*_{H,rel} = 31$
 $g^*_{C,rel} = 40$

FRS15_90a; adaptierte CIELAB-Daten					
Name	$L^*=L^*_a$	a^*_a	b^*_a	$C^*_{ab,a}$	$h^*_{ab,a}$
O_{Ma}	38.8	53.92	39.68	66.95	36
Y_{Ma}	82.58	-4.64	98.22	98.33	93
L_{Ma}	46.95	-56.34	43.46	71.15	142
C_{Ma}	54.62	-26.2	-28.68	38.85	228
V_{Ma}	20.01	45.2	-52.87	69.56	311
M_{Ma}	40.88	70.68	-29.99	76.78	337
N_{Ma}	15.0	0.0	0.0	0.0	0
W_{Ma}	90.0	0.0	0.0	0.0	0
O_{CIE}	39.92	58.74	27.99	65.07	25
Y_{CIE}	81.26	-2.89	71.56	71.62	92
L_{CIE}	52.23	-42.42	13.6	44.55	162
V_{CIE}	30.57	1.41	-46.47	46.49	272



Ein und Ausgabe: Farbmetrisches Drucker-Reflektiv-System FRS15_90a für relativen CIELAB-Buntton $h^* = lab^*h^* = h_{ab}/360 = 0.101$

Daten für jede Farbe:

lab^*tch^* und lab^*icu^*

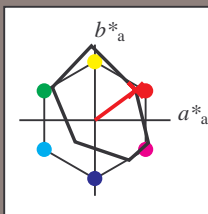
Bunttontexte:

$u^*_d = o00y$ $u^*_e = r16j$

Kontrastreduzierungsfaktor:

$c_R = 0.9$

Dreiecks-Helligkeit i^*



FRS15_90a; adaptierte CIELAB-Daten						
u^*_d	$L^*=L^*_a$	a^*_a	b^*_a	$C^*_{ab,a}$	$h^*_{ab,a}$	
O _{Ma}	38.8	53.92	39.68	66.95	36	
Y _{Ma}	82.58	-4.64	98.22	98.33	93	
L _{Ma}	46.95	-56.34	43.46	71.15	142	
C _{Ma}	54.62	-26.2	-28.68	38.85	228	
V _{Ma}	20.01	45.2	-52.87	69.56	311	
M _{Ma}	40.88	70.68	-29.99	76.78	337	
N _{Ma}	15.0	0.0	0.0	0.0	0	
W _{Ma}	90.0	0.0	0.0	0.0	0	
O _{Ma}	39.92	58.74	27.99	65.07	25	
Y _{Ma}	81.26	-2.89	71.56	71.62	92	
L _{Ma}	52.23	-42.42	13.6	44.55	162	
V _{Ma}	30.57	1.41	-46.47	46.49	272	

Daten für Maximalfarbe (Ma):

$LAB^*LAB^*_{Ma}$: 39 54 40

$LAB^*LCH^*_{Ma}$: 39 67 36

$lab^*olv^*_{Ma}$: 1.0 0.0 0.0

$lab^*rgb^*_{Ma}$: 1.0 0.16 0.0

Dreiecks-Helligkeit i^*

%Umfang

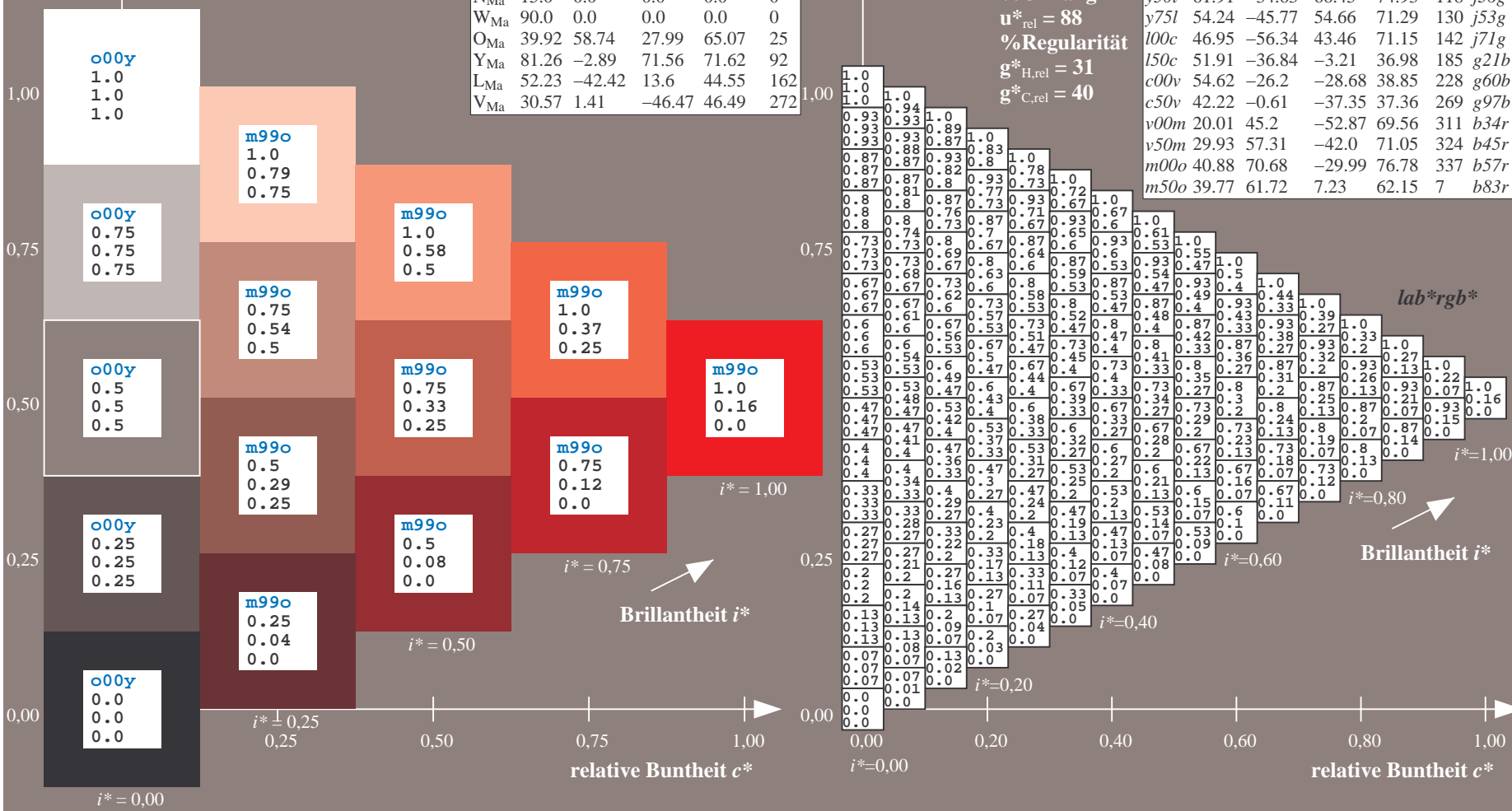
$u^*_{rel} = 88$

%Regularität

$g^*_{H,rel} = 31$

$g^*_{C,rel} = 40$

FRS15_90a; adaptierte CIELAB-Daten						
u^*_d	$L^*=L^*_a$	a^*_a	b^*_a	$C^*_{ab,a}$	$h^*_{ab,a}$	u^*_e
$o00y$	38.8	53.92	39.68	66.95	36	$r16j$
$o25y$	47.46	42.34	51.25	66.48	50	$r37j$
$o50y$	56.54	30.2	63.39	70.22	65	$r58j$
$o75y$	67.39	15.68	77.9	79.47	79	$r79j$
$y00l$	82.58	-4.64	98.22	98.33	93	$j01g$
$y25l$	70.85	-21.66	80.19	83.07	105	$j18g$
$y50l$	61.91	-34.63	66.45	74.93	118	$j36g$
$y75l$	54.24	-45.77	54.66	71.29	130	$j53g$
$l00c$	46.95	-56.34	43.46	71.15	142	$j71g$
$l50c$	51.91	-36.84	-3.21	36.98	185	$g21b$
$c00v$	54.62	-26.2	-28.68	38.85	228	$g60b$
$c50v$	42.22	-0.61	-37.35	37.36	269	$g97b$
$v00m$	20.01	45.2	-52.87	69.56	311	$b34r$
$v50m$	29.93	57.31	-42.0	71.05	324	$b45r$
$m00o$	40.88	70.68	-29.99	76.78	337	$b57r$
$m50o$	39.77	61.72	7.23	62.15	7	$b83r$



Ein und Ausgabe: Farbmetrisches Drucker-Reflektiv-System FRS15_90a für relativen CIELAB-Buntton $h^* = lab^*h^* = h_{ab}/360 = 0.14$

Daten für jede Farbe:

lab^*tch^* und lab^*icu^*

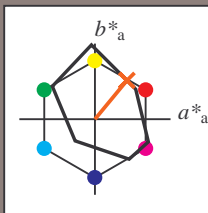
Bunttontexte:

$u^*_d = o25y$ $u^*_e = r37j$

Kontrastreduzierungsfaktor:

$c_R = 0.9$

Dreiecks-Helligkeit t^*



FRS15_90a; adaptierte CIELAB-Daten

u^*_d	$L^*=L^*_a$	a^*_a	b^*_a	$C^*_{ab,a}$	$h^*_{ab,a}$
O _{Ma}	38.8	53.92	39.68	66.95	36
Y _{Ma}	82.58	-4.64	98.22	98.33	93
L _{Ma}	46.95	-56.34	43.46	71.15	142
C _{Ma}	54.62	-26.2	-28.68	38.85	228
V _{Ma}	20.01	45.2	-52.87	69.56	311
M _{Ma}	40.88	70.68	-29.99	76.78	337
N _{Ma}	15.0	0.0	0.0	0.0	0
W _{Ma}	90.0	0.0	0.0	0.0	0
O _{Ma}	39.92	58.74	27.99	65.07	25
Y _{Ma}	81.26	-2.89	71.56	71.62	92
L _{Ma}	52.23	-42.42	13.6	44.55	162
V _{Ma}	30.57	1.41	-46.47	46.49	272

Daten für Maximalfarbe (Ma):

$LAB^*LAB^*_{Ma}$: 47 42 51

$LAB^*LCH^*_{Ma}$: 47 66 50

$lab^*olv^*_{Ma}$: 1.0 0.25 0.0

$lab^*rgb^*_{Ma}$: 1.0 0.37 0.0

Dreiecks-Helligkeit t^*

%Umfang

$u^*_{rel} = 88$

%Regularität

$g^*_{H,rel} = 31$

$g^*_{C,rel} = 40$

FRS15_90a; adaptierte CIELAB-Daten

u^*_d	$L^*=L^*_a$	a^*_a	b^*_a	$C^*_{ab,a}$	$h^*_{ab,a}$	u^*_e
o00y	38.8	53.92	39.68	66.95	36	r16j
o25y	47.46	42.34	51.25	66.48	50	r37j
o50y	56.54	30.2	63.39	70.22	65	r58j
o75y	67.39	15.68	77.9	79.47	79	r79j
y00l	82.58	-4.64	98.22	98.33	93	j01g
y25l	70.85	-21.66	80.19	83.07	105	j18g
y50l	61.91	-34.63	66.45	74.93	118	j36g
y75l	54.24	-45.77	54.66	71.29	130	j53g
l00c	46.95	-56.34	43.46	71.15	142	j71g
l50c	51.91	-36.84	-3.21	36.98	185	g21b
c00v	54.62	-26.2	-28.68	38.85	228	g60b
c50v	42.22	-0.61	-37.35	37.36	269	g97b
v00m	20.01	45.2	-52.87	69.56	311	b34r
v50m	29.93	57.31	-42.0	71.05	324	b45r
m00o	40.88	70.68	-29.99	76.78	337	b57r
m50o	39.77	61.72	7.23	62.15	7	b83r

lab^*rgb^*

$i^* = 1.00$

Brillantheit i^*

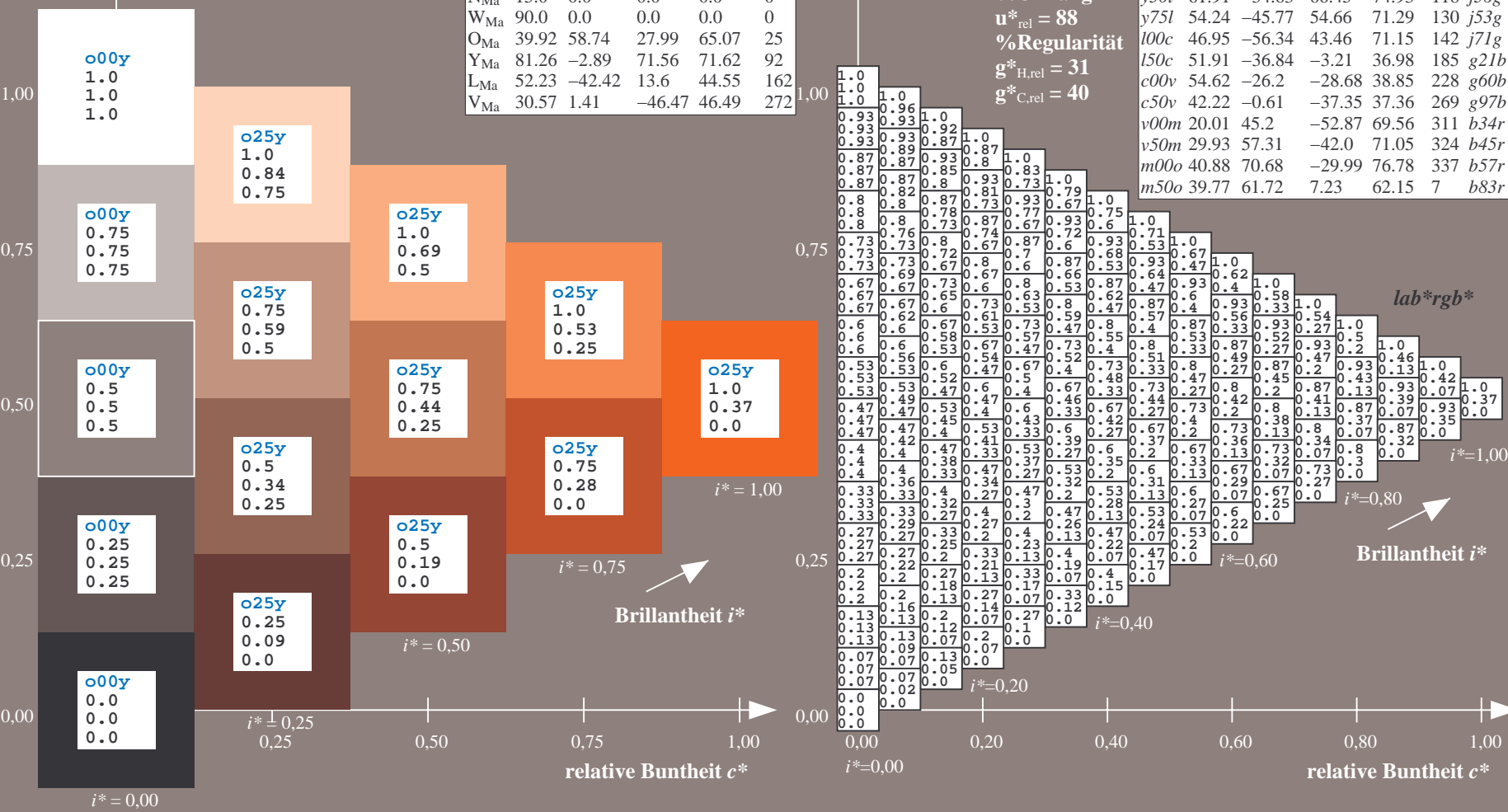
$i^* = 0.80$

$i^* = 0.60$

$i^* = 0.40$

$i^* = 0.20$

$i^* = 0.00$



Ein und Ausgabe: Farbmetrisches Drucker-Reflektiv-System FRS15_90a für relativen CIELAB-Buntton $h^* = lab^*h^* = h_{ab}/360 = 0.179$

Daten für jede Farbe:

lab^*tch^* und lab^*icu^*

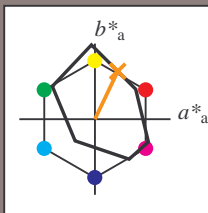
Bunttontexte:

$u^*_d = o50y$ $u^*_e = r58j$

Kontrastreduzierungsfaktor:

$c_R = 0.9$

Dreiecks-Helligkeit i^*



FRS15_90a; adaptierte CIELAB-Daten

u^*_d	$L^*=L^*_a$	a^*_a	b^*_a	$C^*_{ab,a}$	$h^*_{ab,a}$
O _{Ma}	38.8	53.92	39.68	66.95	36
Y _{Ma}	82.58	-4.64	98.22	98.33	93
L _{Ma}	46.95	-56.34	43.46	71.15	142
C _{Ma}	54.62	-26.2	-28.68	38.85	228
V _{Ma}	20.01	45.2	-52.87	69.56	311
M _{Ma}	40.88	70.68	-29.99	76.78	337
N _{Ma}	15.0	0.0	0.0	0.0	0
W _{Ma}	90.0	0.0	0.0	0.0	0
O _{Ma}	39.92	58.74	27.99	65.07	25
Y _{Ma}	81.26	-2.89	71.56	71.62	92
L _{Ma}	52.23	-42.42	13.6	44.55	162
V _{Ma}	30.57	1.41	-46.47	46.49	272

Daten für Maximalfarbe (Ma):

$LAB^*LAB^*_{Ma}$: 57 30 63

$LAB^*LCH^*_{Ma}$: 57 70 64

$lab^*olv^*_{Ma}$: 1.0 0.5 0.0

$lab^*rgb^*_{Ma}$: 1.0 0.58 0.0

Dreiecks-Helligkeit i^*

%Umfang

$u^*_{rel} = 88$

%Regularität

$g^*_{H,rel} = 31$

$g^*_{C,rel} = 40$

FRS15_90a; adaptierte CIELAB-Daten

u^*_d	$L^*=L^*_a$	a^*_a	b^*_a	$C^*_{ab,a}$	$h^*_{ab,a}$	u^*_e
o00y	38.8	53.92	39.68	66.95	36	r16j
o25y	47.46	42.34	51.25	66.48	50	r37j
o50y	56.54	30.2	63.39	70.22	65	r58j
o75y	67.39	15.68	77.9	79.47	79	r79j
y00l	82.58	-4.64	98.22	98.33	93	j01g
y25l	70.85	-21.66	80.19	83.07	105	j18g
y50l	61.91	-34.63	66.45	74.93	118	j36g
y75l	54.24	-45.77	54.66	71.29	130	j53g
l00c	46.95	-56.34	43.46	71.15	142	j71g
l50c	51.91	-36.84	-3.21	36.98	185	g21b
c00v	54.62	-26.2	-28.68	38.85	228	g60b
c50v	42.22	-0.61	-37.35	37.36	269	g97b
v00m	20.01	45.2	-52.87	69.56	311	b34r
v50m	29.93	57.31	-42.0	71.05	324	b45r
m00o	40.88	70.68	-29.99	76.78	337	b57r
m50o	39.77	61.72	7.23	62.15	7	b83r

lab^*rgb^*

$i^* = 1.00$

Brillantheit i^*

$i^* = 0.80$

$i^* = 0.60$

$i^* = 0.40$

$i^* = 0.20$

$i^* = 0.00$

Ein und Ausgabe: Farbmimetrisches Drucker-Reflektiv-System FRS15_90a für relativen CIELAB-Buntton $h^* = lab^*h^* = h_{ab}/360 = 0.218$

Daten für jede Farbe:

lab^*ch^* und lab^*icu^*

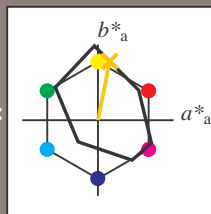
Bunttontexte:

$u^*_d = 0.75y$ $u^*_e = r79j$

Kontrastreduzierungsfaktor:

$c_R = 0.9$

Dreiecks-Helligkeit i^*



FRS15_90a; adaptierte CIELAB-Daten						
u^*_d	$L^*=L^*_a$	a^*_a	b^*_a	$C^*_{ab,a}$	$h^*_{ab,a}$	
O _{Ma}	38.8	53.92	39.68	66.95	36	
Y _{Ma}	82.58	-4.64	98.22	98.33	93	
L _{Ma}	46.95	-56.34	43.46	71.15	142	
C _{Ma}	54.62	-26.2	-28.68	38.85	228	
V _{Ma}	20.01	45.2	-52.87	69.56	311	
M _{Ma}	40.88	70.68	-29.99	76.78	337	
N _{Ma}	15.0	0.0	0.0	0.0	0	
W _{Ma}	90.0	0.0	0.0	0.0	0	
O _{Ma}	39.92	58.74	27.99	65.07	25	
Y _{Ma}	81.26	-2.89	71.56	71.62	92	
L _{Ma}	52.23	-42.42	13.6	44.55	162	
V _{Ma}	30.57	1.41	-46.47	46.49	272	

Daten für Maximalfarbe (Ma):

$LAB^*LAB^*_{Ma}$: 67 16 78

$LAB^*LCH^*_{Ma}$: 67 79 78

$lab^*olv^*_{Ma}$: 1.0 0.75 0.0

$lab^*rgb^*_{Ma}$: 1.0 0.8 0.0

Dreiecks-Helligkeit i^*

%Umfang

$u^*_{rel} = 88$

%Regularität

$g^*_{H,rel} = 31$

$g^*_{C,rel} = 40$

FRS15_90a; adaptierte CIELAB-Daten						
u^*_d	$L^*=L^*_a$	a^*_a	b^*_a	$C^*_{ab,a}$	$h^*_{ab,a}$	u^*_e
o00y	38.8	53.92	39.68	66.95	36	r16j
o25y	47.46	42.34	51.25	66.48	50	r37j
o50y	56.54	30.2	63.39	70.22	65	r58j
o75y	67.39	15.68	77.9	79.47	79	r79j
y00l	82.58	-4.64	98.22	98.33	93	j01g
y25l	70.85	-21.66	80.19	83.07	105	j18g
y50l	61.91	-34.63	66.45	74.93	118	j36g
y75l	54.24	-45.77	54.66	71.29	130	j53g
l00c	46.95	-56.34	43.46	71.15	142	j71g
l50c	51.91	-36.84	-3.21	36.98	185	g21b
c00v	54.62	-26.2	-28.68	38.85	228	g60b
c50v	42.22	-0.61	-37.35	37.36	269	g97b
v00m	20.01	45.2	-52.87	69.56	311	b34r
v50m	29.93	57.31	-42.0	71.05	324	b45r
m00o	40.88	70.68	-29.99	76.78	337	b57r
m50o	39.77	61.72	7.23	62.15	7	b83r

lab^*rgb^*

$i^* = 1.00$

Brillantheit i^*

$i^* = 0.80$

$i^* = 0.60$

$i^* = 0.40$

$i^* = 0.20$

$i^* = 0.00$

Ein und Ausgabe: Farbmetrisches Drucker-Reflektiv-System FRS15_90a für relativen CIELAB-Buntton $h^* = lab^*h^* = h_{ab}/360 = 0.258$

Daten für jede Farbe:

lab^*tch^* und lab^*icu^*

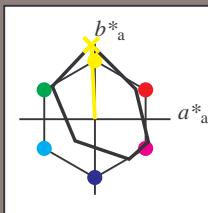
Bunttontexte:

$u^*_d = y00l$ $u^*_e = j01g$

Kontrastreduzierungsfaktor:

$c_R = 0.9$

Dreiecks-Helligkeit t^*



FRS15_90a; adaptierte CIELAB-Daten

u^*_d	$L^*=L^*_a$	a^*_a	b^*_a	$C^*_{ab,a}$	$h^*_{ab,a}$
O _{Ma}	38.8	53.92	39.68	66.95	36
Y _{Ma}	82.58	-4.64	98.22	98.33	93
L _{Ma}	46.95	-56.34	43.46	71.15	142
C _{Ma}	54.62	-26.2	-28.68	38.85	228
V _{Ma}	20.01	45.2	-52.87	69.56	311
M _{Ma}	40.88	70.68	-29.99	76.78	337
N _{Ma}	15.0	0.0	0.0	0.0	0
W _{Ma}	90.0	0.0	0.0	0.0	0
O _{Ma}	39.92	58.74	27.99	65.07	25
Y _{Ma}	81.26	-2.89	71.56	71.62	92
L _{Ma}	52.23	-42.42	13.6	44.55	162
V _{Ma}	30.57	1.41	-46.47	46.49	272

Daten für Maximalfarbe (Ma):

$LAB^*LAB^*_{Ma}$: 83 -5 98

$LAB^*LCH^*_{Ma}$: 83 98 92

$lab^*olv^*_{Ma}$: 1.0 1.0 0.0

$lab^*rgb^*_{Ma}$: 0.99 1.0 0.0

Dreiecks-Helligkeit t^*

%Umfang

$u^*_{rel} = 88$

%Regularität

$g^*_{H,rel} = 31$

$g^*_{C,rel} = 40$

FRS15_90a; adaptierte CIELAB-Daten

u^*_d	$L^*=L^*_a$	a^*_a	b^*_a	$C^*_{ab,a}$	$h^*_{ab,a}$	u^*_e
o00y	38.8	53.92	39.68	66.95	36	r16j
o25y	47.46	42.34	51.25	66.48	50	r37j
o50y	56.54	30.2	63.39	70.22	65	r58j
o75y	67.39	15.68	77.9	79.47	79	r79j
y00l	82.58	-4.64	98.22	98.33	93	j01g
y25l	70.85	-21.66	80.19	83.07	105	j18g
y50l	61.91	-34.63	66.45	74.93	118	j36g
y75l	54.24	-45.77	54.66	71.29	130	j53g
l00c	46.95	-56.34	43.46	71.15	142	j71g
l50c	51.91	-36.84	-3.21	36.98	185	g21b
c00v	54.62	-26.2	-28.68	38.85	228	g60b
c50v	42.22	-0.61	-37.35	37.36	269	g97b
v00m	20.01	45.2	-52.87	69.56	311	b34r
v50m	29.93	57.31	-42.0	71.05	324	b45r
m00o	40.88	70.68	-29.99	76.78	337	b57r
m50o	39.77	61.72	7.23	62.15	7	b83r

lab^*rgb^*

$i^* = 1.00$

Brillantheit i^*

$i^* = 0.80$

$i^* = 0.60$

$i^* = 0.40$

$i^* = 0.20$

$i^* = 0.00$

relative Buntheit c^*

relative Buntheit c^*

Ein und Ausgabe: Farbmetrisches Drucker-Reflektiv-System FRS15_90a für relativen CIELAB-Buntton $h^* = lab^*h^* = h_{ab}/360 = 0.292$

Daten für jede Farbe:

lab^*ch^* und lab^*icu^*

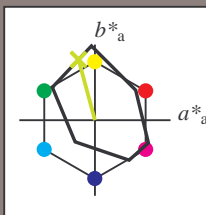
Bunttontexte:

$u^*_d = y25l$ $u^*_e = j18g$

Kontrastreduzierungsfaktor:

$c_R = 0.9$

Dreiecks-Helligkeit i^*



FRS15_90a; adaptierte CIELAB-Daten						
u^*_d	$L^*=L^*_a$	a^*_a	b^*_a	$C^*_{ab,a}$	$h^*_{ab,a}$	u^*_e
O _{Ma}	38.8	53.92	39.68	66.95	36	r16j
Y _{Ma}	82.58	-4.64	98.22	98.33	93	r37j
L _{Ma}	46.95	-56.34	43.46	71.15	142	r58j
C _{Ma}	54.62	-26.2	-28.68	38.85	228	r79j
V _{Ma}	20.01	45.2	-52.87	69.56	311	j01g
M _{Ma}	40.88	70.68	-29.99	76.78	337	j18g
N _{Ma}	15.0	0.0	0.0	0.0	0	j36g
W _{Ma}	90.0	0.0	0.0	0.0	0	j53g
O _{Ma}	39.92	58.74	27.99	65.07	25	j71g
Y _{Ma}	81.26	-2.89	71.56	71.62	92	g21b
L _{Ma}	52.23	-42.42	13.6	44.55	162	g60b
V _{Ma}	30.57	1.41	-46.47	46.49	272	g97b

Daten für Maximalfarbe (Ma):

$LAB^*LAB^*_{Ma}$: 71 -22 80

$LAB^*LCH^*_{Ma}$: 71 83 105

$lab^*olv^*_{Ma}$: 0.75 1.0 0.0

$lab^*rgb^*_{Ma}$: 0.82 1.0 0.0

Dreiecks-Helligkeit i^*

%Umfang

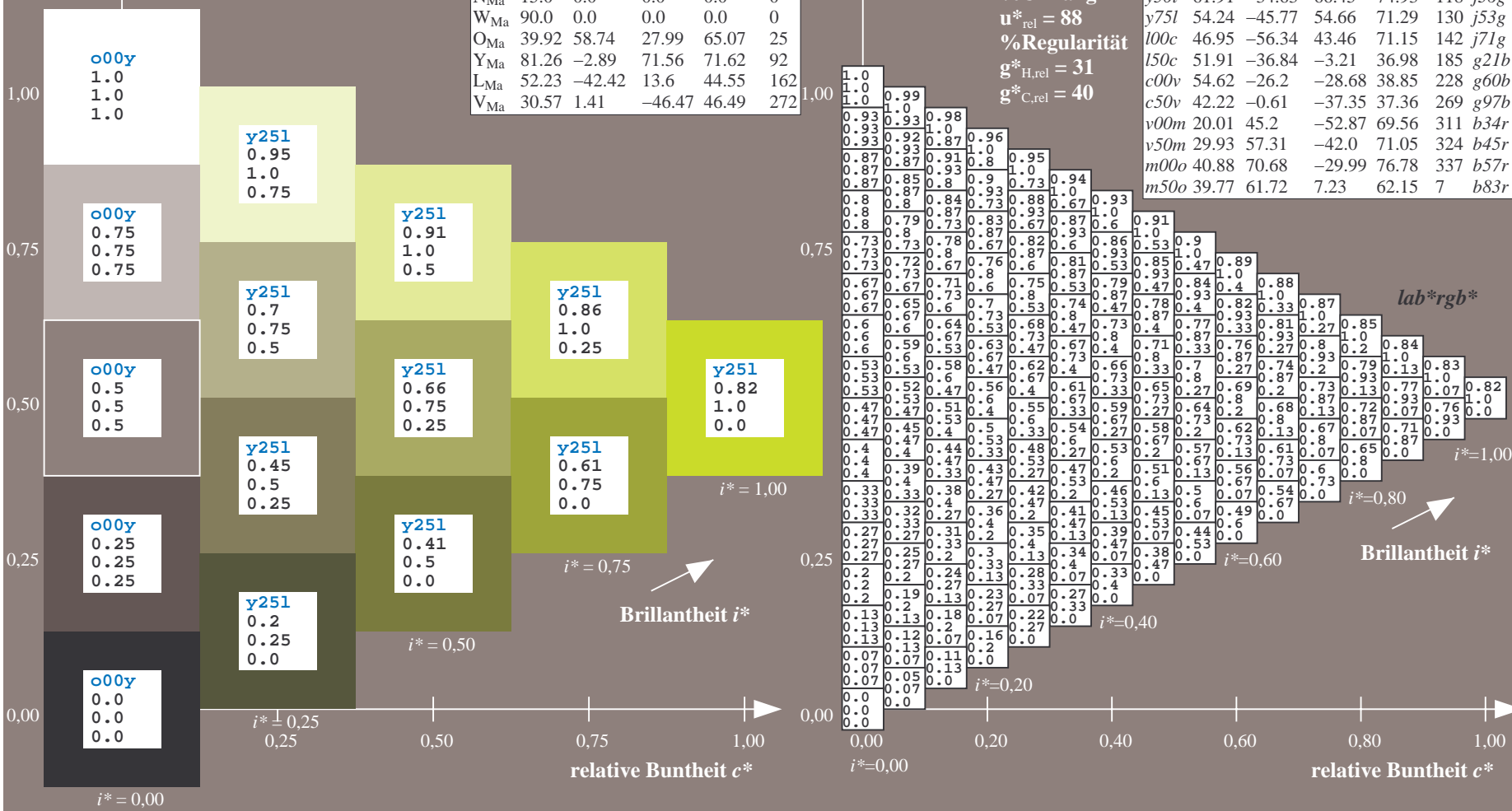
$u^*_{rel} = 88$

%Regularität

$g^*_{H,rel} = 31$

$g^*_{C,rel} = 40$

FRS15_90a; adaptierte CIELAB-Daten						
u^*_d	$L^*=L^*_a$	a^*_a	b^*_a	$C^*_{ab,a}$	$h^*_{ab,a}$	u^*_e
o00y	38.8	53.92	39.68	66.95	36	r16j
o25y	47.46	42.34	51.25	66.48	50	r37j
o50y	56.54	30.2	63.39	70.22	65	r58j
o75y	67.39	15.68	77.9	79.47	79	r79j
y00l	82.58	-4.64	98.22	98.33	93	j01g
y25l	70.85	-21.66	80.19	83.07	105	j18g
y50l	61.91	-34.63	66.45	74.93	118	j36g
y75l	54.24	-45.77	54.66	71.29	130	j53g
l00c	46.95	-56.34	43.46	71.15	142	j71g
l50c	51.91	-36.84	-3.21	36.98	185	g21b
c00v	54.62	-26.2	-28.68	38.85	228	g60b
c50v	42.22	-0.61	-37.35	37.36	269	g97b
v00m	20.01	45.2	-52.87	69.56	311	b34r
v50m	29.93	57.31	-42.0	71.05	324	b45r
m00o	40.88	70.68	-29.99	76.78	337	b57r
m50o	39.77	61.72	7.23	62.15	7	b83r



Ein und Ausgabe: Farbmimetrisches Drucker-Reflektiv-System FRS15_90a für relativen CIELAB-Buntton $h^* = lab^*h^* = h_{ab}/360 = 0.326$

Daten für jede Farbe:

lab^*ch^* und lab^*icu^*

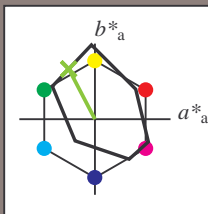
Bunttontexte:

$u^*_d = y50l$ $u^*_e = j36g$

Kontrastreduzierungsfaktor:

$c_R = 0.9$

Dreiecks-Helligkeit i^*



FRS15_90a; adaptierte CIELAB-Daten

u^*_d	$L^*=L^*_a$	a^*_a	b^*_a	$C^*_{ab,a}$	$h^*_{ab,a}$
O _{Ma}	38.8	53.92	39.68	66.95	36
Y _{Ma}	82.58	-4.64	98.22	98.33	93
L _{Ma}	46.95	-56.34	43.46	71.15	142
C _{Ma}	54.62	-26.2	-28.68	38.85	228
V _{Ma}	20.01	45.2	-52.87	69.56	311
M _{Ma}	40.88	70.68	-29.99	76.78	337
N _{Ma}	15.0	0.0	0.0	0.0	0
W _{Ma}	90.0	0.0	0.0	0.0	0
O _{Ma}	39.92	58.74	27.99	65.07	25
Y _{Ma}	81.26	-2.89	71.56	71.62	92
L _{Ma}	52.23	-42.42	13.6	44.55	162
V _{Ma}	30.57	1.41	-46.47	46.49	272

Daten für Maximalfarbe (Ma):

$LAB^*LAB^*_{Ma}$: 62 -35 66

$LAB^*LCH^*_{Ma}$: 62 75 117

$lab^*olv^*_{Ma}$: 0.5 1.0 0.0

$lab^*rgb^*_{Ma}$: 0.64 1.0 0.0

Dreiecks-Helligkeit i^*

%Umfang

$u^*_{rel} = 88$

%Regularität

$g^*_{H,rel} = 31$

$g^*_{C,rel} = 40$

FRS15_90a; adaptierte CIELAB-Daten

u^*_d	$L^*=L^*_a$	a^*_a	b^*_a	$C^*_{ab,a}$	$h^*_{ab,a}$	u^*_e
o00y	38.8	53.92	39.68	66.95	36	r16j
o25y	47.46	42.34	51.25	66.48	50	r37j
o50y	56.54	30.2	63.39	70.22	65	r58j
o75y	67.39	15.68	77.9	79.47	79	r79j
y00l	82.58	-4.64	98.22	98.33	93	j01g
y25l	70.85	-21.66	80.19	83.07	105	j18g
y50l	61.91	-34.63	66.45	74.93	118	j36g
y75l	54.24	-45.77	54.66	71.29	130	j53g
l00c	46.95	-56.34	43.46	71.15	142	j71g
l50c	51.91	-36.84	-3.21	36.98	185	g21b
c00v	54.62	-26.2	-28.68	38.85	228	g60b
c50v	42.22	-0.61	-37.35	37.36	269	g97b
v00m	20.01	45.2	-52.87	69.56	311	b34r
v50m	29.93	57.31	-42.0	71.05	324	b45r
m00o	40.88	70.68	-29.99	76.78	337	b57r
m50o	39.77	61.72	7.23	62.15	7	b83r

lab^*rgb^*

$i^* = 1.00$

Brillanzheit i^*

$i^* = 0.80$

$i^* = 0.60$

$i^* = 0.40$

$i^* = 0.20$

$i^* = 0.00$

Ein und Ausgabe: Farbmetrisches Drucker-Reflektiv-System FRS15_90a für relativen CIELAB-Buntton $h^* = lab^*h^* = h_{ab}/360 = 0.361$

Daten für jede Farbe:

lab^*ch^* und lab^*icu^*

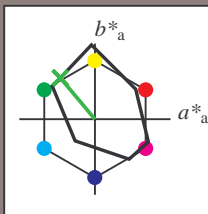
Bunttontexte:

$u^*_d = y75l$ $u^*_e = j53g$

Kontrastreduzierungsfaktor:

$c_R = 0.9$

Dreiecks-Helligkeit i^*



FRS15_90a; adaptierte CIELAB-Daten						
	u^*_d	$L^*=L^*_a$	a^*_a	b^*_a	$C^*_{ab,a}$	$h^*_{ab,a}$
O _{Ma}	38.8	53.92	39.68	66.95	36	
Y _{Ma}	82.58	-4.64	98.22	98.33	93	
L _{Ma}	46.95	-56.34	43.46	71.15	142	
C _{Ma}	54.62	-26.2	-28.68	38.85	228	
V _{Ma}	20.01	45.2	-52.87	69.56	311	
M _{Ma}	40.88	70.68	-29.99	76.78	337	
N _{Ma}	15.0	0.0	0.0	0.0	0	
W _{Ma}	90.0	0.0	0.0	0.0	0	
O _{Ma}	39.92	58.74	27.99	65.07	25	
Y _{Ma}	81.26	-2.89	71.56	71.62	92	
L _{Ma}	52.23	-42.42	13.6	44.55	162	
V _{Ma}	30.57	1.41	-46.47	46.49	272	

Daten für Maximalfarbe (Ma):

$LAB^*LAB^*_{Ma}$: 54 -46 55

$LAB^*LCH^*_{Ma}$: 54 71 129

$lab^*olv^*_{Ma}$: 0.25 1.0 0.0

$lab^*rgb^*_{Ma}$: 0.46 1.0 0.0

Dreiecks-Helligkeit i^*

%Umfang

$u^*_{rel} = 88$

%Regularität

$g^*_{H,rel} = 31$

$g^*_{C,rel} = 40$

FRS15_90a; adaptierte CIELAB-Daten						
	u^*_d	$L^*=L^*_a$	a^*_a	b^*_a	$C^*_{ab,a}$	$h^*_{ab,a}$
o00y	38.8	53.92	39.68	66.95	36	r16j
o25y	47.46	42.34	51.25	66.48	50	r37j
o50y	56.54	30.2	63.39	70.22	65	r58j
o75y	67.39	15.68	77.9	79.47	79	r79j
y00l	82.58	-4.64	98.22	98.33	93	j01g
y25l	70.85	-21.66	80.19	83.07	105	j18g
y50l	61.91	-34.63	66.45	74.93	118	j36g
y75l	54.24	-45.77	54.66	71.29	130	j53g
l00c	46.95	-56.34	43.46	71.15	142	j71g
l50c	51.91	-36.84	-3.21	36.98	185	g21b
c00v	54.62	-26.2	-28.68	38.85	228	g60b
c50v	42.22	-0.61	-37.35	37.36	269	g97b
v00m	20.01	45.2	-52.87	69.56	311	b34r
v50m	29.93	57.31	-42.0	71.05	324	b45r
m00o	40.88	70.68	-29.99	76.78	337	b57r
m50o	39.77	61.72	7.23	62.15	7	b83r

lab^*rgb^*

$i^* = 1.00$

Brillantheit i^*

$i^* = 0.80$

$i^* = 0.60$

$i^* = 0.40$

$i^* = 0.20$

$i^* = 0.00$

Ein und Ausgabe: Farbmetrisches Drucker-Reflektiv-System FRS15_90a für relativen CIELAB-Buntton $h^* = lab^*h^* = h_{ab}/360 = 0.395$

Daten für jede Farbe:

lab^*tch^* und lab^*icu^*

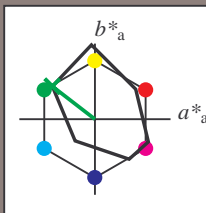
Bunttontexte:

$u^*_d = 100c$ $u^*_e = j71g$

Kontrastreduzierungsfaktor:

$c_R = 0.9$

Dreiecks-Helligkeit i^*



FRS15_90a; adaptierte CIELAB-Daten						
u^*_d	$L^*=L^*_a$	a^*_a	b^*_a	$C^*_{ab,a}$	$h^*_{ab,a}$	
O _{Ma}	38.8	53.92	39.68	66.95	36	
Y _{Ma}	82.58	-4.64	98.22	98.33	93	
L _{Ma}	46.95	-56.34	43.46	71.15	142	
C _{Ma}	54.62	-26.2	-28.68	38.85	228	
V _{Ma}	20.01	45.2	-52.87	69.56	311	
M _{Ma}	40.88	70.68	-29.99	76.78	337	
N _{Ma}	15.0	0.0	0.0	0.0	0	
W _{Ma}	90.0	0.0	0.0	0.0	0	
O _{Ma}	39.92	58.74	27.99	65.07	25	
Y _{Ma}	81.26	-2.89	71.56	71.62	92	
L _{Ma}	52.23	-42.42	13.6	44.55	162	
V _{Ma}	30.57	1.41	-46.47	46.49	272	

Daten für Maximalfarbe (Ma):

$LAB^*LAB^*_{Ma}$: 47 -56 43

$LAB^*LCH^*_{Ma}$: 47 71 142

$lab^*olv^*_{Ma}$: 0.0 1.0 0.0

$lab^*rgb^*_{Ma}$: 0.28 1.0 0.0

Dreiecks-Helligkeit i^*

%Umfang

$u^*_{rel} = 88$

%Regularität

$g^*_{H,rel} = 31$

$g^*_{C,rel} = 40$

FRS15_90a; adaptierte CIELAB-Daten						
u^*_d	$L^*=L^*_a$	a^*_a	b^*_a	$C^*_{ab,a}$	$h^*_{ab,a}$	u^*_e
o00y	38.8	53.92	39.68	66.95	36	r16j
o25y	47.46	42.34	51.25	66.48	50	r37j
o50y	56.54	30.2	63.39	70.22	65	r58j
o75y	67.39	15.68	77.9	79.47	79	r79j
y00l	82.58	-4.64	98.22	98.33	93	j01g
y25l	70.85	-21.66	80.19	83.07	105	j18g
y50l	61.91	-34.63	66.45	74.93	118	j36g
y75l	54.24	-45.77	54.66	71.29	130	j53g
l00c	46.95	-56.34	43.46	71.15	142	j71g
l50c	51.91	-36.84	-3.21	36.98	185	g21b
c00v	54.62	-26.2	-28.68	38.85	228	g60b
c50v	42.22	-0.61	-37.35	37.36	269	g97b
v00m	20.01	45.2	-52.87	69.56	311	b34r
v50m	29.93	57.31	-42.0	71.05	324	b45r
m00o	40.88	70.68	-29.99	76.78	337	b57r
m50o	39.77	61.72	7.23	62.15	7	b83r

lab^*rgb^*

$i^* = 1.00$

Brillantheit i^*

$i^* = 0.80$

$i^* = 0.60$

$i^* = 0.40$

$i^* = 0.20$

$i^* = 0.00$

Ein und Ausgabe: Farbmetrisches Drucker-Reflektiv-System FRS15_90a für relativen CIELAB-Buntton $h^* = lab^*h^* = h_{ab}/360 = 0.514$

Daten für jede Farbe:

lab^*tch^* und lab^*icu^*

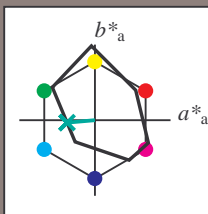
Bunttontexte:

$u^*_d = l50c$ $u^*_e = g21b$

Kontrastreduzierungsfaktor:

$c_R = 0.9$

Dreiecks-Helligkeit i^*



FRS15_90a; adaptierte CIELAB-Daten						
u^*_d	$L^*=L^*_a$	a^*_a	b^*_a	$C^*_{ab,a}$	$h^*_{ab,a}$	
O _{Ma}	38.8	53.92	39.68	66.95	36	
Y _{Ma}	82.58	-4.64	98.22	98.33	93	
L _{Ma}	46.95	-56.34	43.46	71.15	142	
C _{Ma}	54.62	-26.2	-28.68	38.85	228	
V _{Ma}	20.01	45.2	-52.87	69.56	311	
M _{Ma}	40.88	70.68	-29.99	76.78	337	
N _{Ma}	15.0	0.0	0.0	0.0	0	
W _{Ma}	90.0	0.0	0.0	0.0	0	
O _{Ma}	39.92	58.74	27.99	65.07	25	
Y _{Ma}	81.26	-2.89	71.56	71.62	92	
L _{Ma}	52.23	-42.42	13.6	44.55	162	
V _{Ma}	30.57	1.41	-46.47	46.49	272	

Daten für Maximalfarbe (Ma):

$LAB^*LAB^*_{Ma}$: 52 -37 -3

$LAB^*LCH^*_{Ma}$: 52 37 184

$lab^*olv^*_{Ma}$: 0.0 1.0 0.5

$lab^*rgb^*_{Ma}$: 0.0 1.0 0.42

Dreiecks-Helligkeit i^*

%Umfang

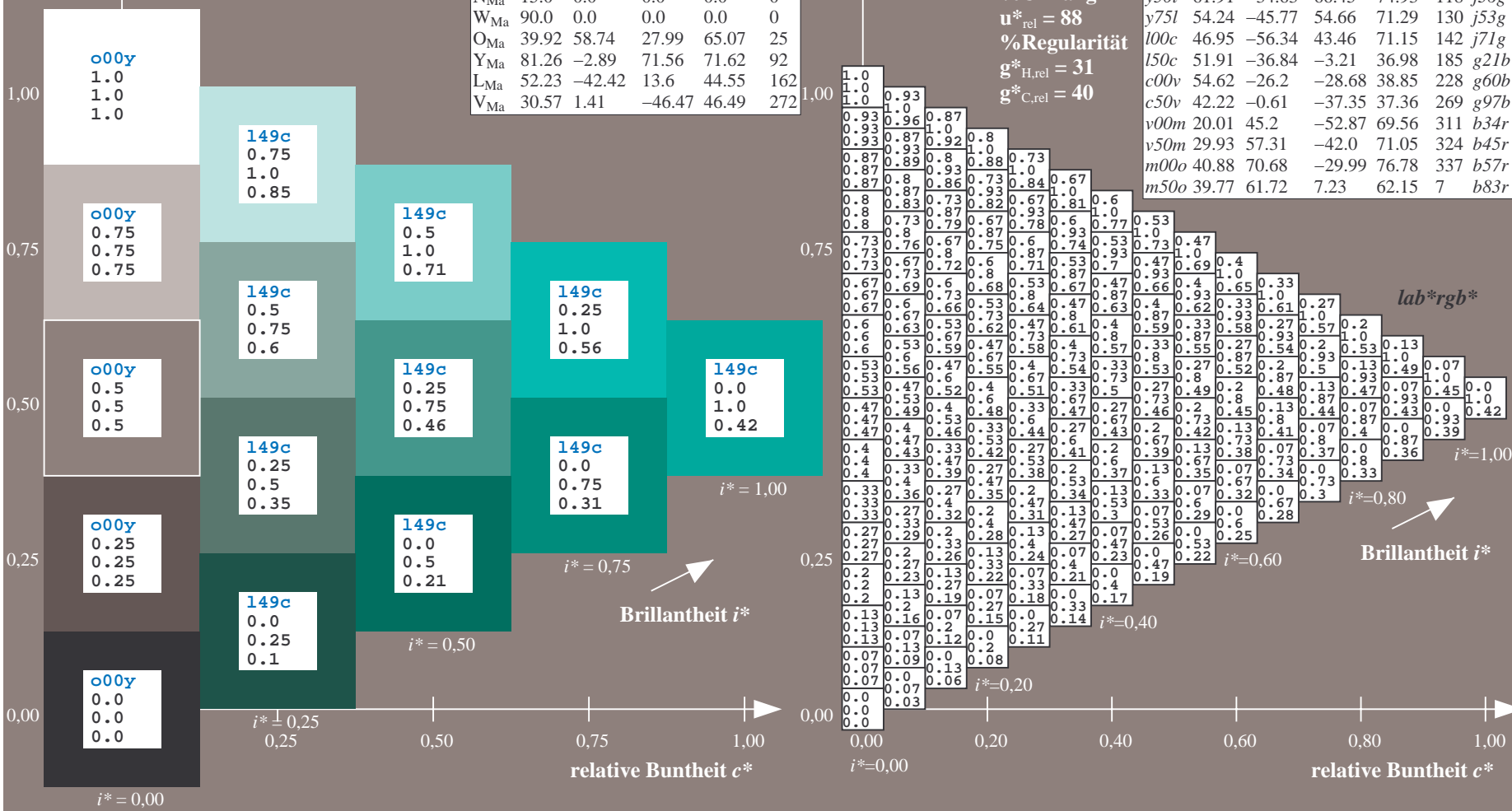
$u^*_{rel} = 88$

%Regularität

$g^*_{H,rel} = 31$

$g^*_{C,rel} = 40$

FRS15_90a; adaptierte CIELAB-Daten						
u^*_d	$L^*=L^*_a$	a^*_a	b^*_a	$C^*_{ab,a}$	$h^*_{ab,a}$	u^*_e
o00y	38.8	53.92	39.68	66.95	36	r16j
o25y	47.46	42.34	51.25	66.48	50	r37j
o50y	56.54	30.2	63.39	70.22	65	r58j
o75y	67.39	15.68	77.9	79.47	79	r79j
y00l	82.58	-4.64	98.22	98.33	93	j01g
y25l	70.85	-21.66	80.19	83.07	105	j18g
y50l	61.91	-34.63	66.45	74.93	118	j36g
y75l	54.24	-45.77	54.66	71.29	130	j53g
l00c	46.95	-56.34	43.46	71.15	142	j71g
l50c	51.91	-36.84	-3.21	36.98	185	g21b
c00v	54.62	-26.2	-28.68	38.85	228	g60b
c50v	42.22	-0.61	-37.35	37.36	269	g97b
v00m	20.01	45.2	-52.87	69.56	311	b34r
v50m	29.93	57.31	-42.0	71.05	324	b45r
m00o	40.88	70.68	-29.99	76.78	337	b57r
m50o	39.77	61.72	7.23	62.15	7	b83r



Ein und Ausgabe: Farbmetrisches Drucker-Reflektiv-System FRS15_90a für relativen CIELAB-Buntton $h^* = lab^*h^* = h_{ab}/360 = 0.632$

Daten für jede Farbe:

lab^*tch^* und lab^*icu^*

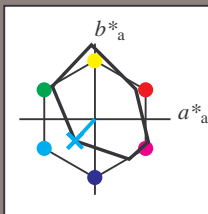
Bunttontexte:

$u^*_d = c00v$ $u^*_e = g60b$

Kontrastreduzierungsfaktor:

$c_R = 0.9$

Dreiecks-Helligkeit i^*



FRS15_90a; adaptierte CIELAB-Daten

u^*_d	$L^*=L^*_a$	a^*_a	b^*_a	$C^*_{ab,a}$	$h^*_{ab,a}$
O _{Ma}	38.8	53.92	39.68	66.95	36
Y _{Ma}	82.58	-4.64	98.22	98.33	93
L _{Ma}	46.95	-56.34	43.46	71.15	142
C _{Ma}	54.62	-26.2	-28.68	38.85	228
V _{Ma}	20.01	45.2	-52.87	69.56	311
M _{Ma}	40.88	70.68	-29.99	76.78	337
N _{Ma}	15.0	0.0	0.0	0.0	0
W _{Ma}	90.0	0.0	0.0	0.0	0
O _{Ma}	39.92	58.74	27.99	65.07	25
Y _{Ma}	81.26	-2.89	71.56	71.62	92
L _{Ma}	52.23	-42.42	13.6	44.55	162
V _{Ma}	30.57	1.41	-46.47	46.49	272

Daten für Maximalfarbe (Ma):

$LAB^*LAB^*_{Ma}$: 55 -26 -29

$LAB^*LCH^*_{Ma}$: 55 39 227

$lab^*olv^*_{Ma}$: 0.0 1.0 1.0

$lab^*rgb^*_{Ma}$: 0.0 0.81 1.0

Dreiecks-Helligkeit i^*

%Umfang

$u^*_{rel} = 88$

%Regularität

$g^*_{H,rel} = 31$

$g^*_{C,rel} = 40$

FRS15_90a; adaptierte CIELAB-Daten

u^*_d	$L^*=L^*_a$	a^*_a	b^*_a	$C^*_{ab,a}$	$h^*_{ab,a}$	u^*_e
o00y	38.8	53.92	39.68	66.95	36	r16j
o25y	47.46	42.34	51.25	66.48	50	r37j
o50y	56.54	30.2	63.39	70.22	65	r58j
o75y	67.39	15.68	77.9	79.47	79	r79j
y00l	82.58	-4.64	98.22	98.33	93	j01g
y25l	70.85	-21.66	80.19	83.07	105	j18g
y50l	61.91	-34.63	66.45	74.93	118	j36g
y75l	54.24	-45.77	54.66	71.29	130	j53g
l00c	46.95	-56.34	43.46	71.15	142	j71g
l50c	51.91	-36.84	-3.21	36.98	185	g21b
c00v	54.62	-26.2	-28.68	38.85	228	g60b
c50v	42.22	-0.61	-37.35	37.36	269	g97b
v00m	20.01	45.2	-52.87	69.56	311	b34r
v50m	29.93	57.31	-42.0	71.05	324	b45r
m00o	40.88	70.68	-29.99	76.78	337	b57r
m50o	39.77	61.72	7.23	62.15	7	b83r

lab^*rgb^*

$i^* = 1.00$

Brillantheit i^*

$i^* = 0.80$

$i^* = 0.60$

$i^* = 0.40$

$i^* = 0.20$

$i^* = 0.00$

Ein und Ausgabe: Farbmetrisches Drucker-Reflektiv-System FRS15_90a für relativen CIELAB-Buntton $h^* = lab^*h^* = h_{ab}/360 = 0.747$

Daten für jede Farbe:

lab^*tch^* und lab^*icu^*

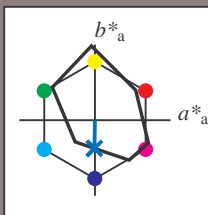
Bunttontexte:

$u^*_d = c50v$ $u^*_e = g97b$

Kontrastreduzierungsfaktor:

$c_R = 0.9$

Dreiecks-Helligkeit i^*



FRS15_90a; adaptierte CIELAB-Daten						
u^*_d	$L^*=L^*_a$	a^*_a	b^*_a	$C^*_{ab,a}$	$h^*_{ab,a}$	
O _{Ma}	38.8	53.92	39.68	66.95	36	
Y _{Ma}	82.58	-4.64	98.22	98.33	93	
L _{Ma}	46.95	-56.34	43.46	71.15	142	
C _{Ma}	54.62	-26.2	-28.68	38.85	228	
V _{Ma}	20.01	45.2	-52.87	69.56	311	
M _{Ma}	40.88	70.68	-29.99	76.78	337	
N _{Ma}	15.0	0.0	0.0	0.0	0	
W _{Ma}	90.0	0.0	0.0	0.0	0	
O _{Ma}	39.92	58.74	27.99	65.07	25	
Y _{Ma}	81.26	-2.89	71.56	71.62	92	
L _{Ma}	52.23	-42.42	13.6	44.55	162	
V _{Ma}	30.57	1.41	-46.47	46.49	272	

Daten für Maximalfarbe (Ma):

$LAB^*LAB^*_{Ma}$: 42 -1 -37

$LAB^*LCH^*_{Ma}$: 42 37 269

$lab^*olv^*_{Ma}$: 0.0 0.5 1.0

$lab^*rgb^*_{Ma}$: 0.0 0.05 1.0

Dreiecks-Helligkeit i^*

%Umfang

$u^*_{rel} = 88$

%Regularität

$g^*_{H,rel} = 31$

$g^*_{C,rel} = 40$

FRS15_90a; adaptierte CIELAB-Daten						
u^*_d	$L^*=L^*_a$	a^*_a	b^*_a	$C^*_{ab,a}$	$h^*_{ab,a}$	u^*_e
o00y	38.8	53.92	39.68	66.95	36	r16j
o25y	47.46	42.34	51.25	66.48	50	r37j
o50y	56.54	30.2	63.39	70.22	65	r58j
o75y	67.39	15.68	77.9	79.47	79	r79j
y00l	82.58	-4.64	98.22	98.33	93	j01g
y25l	70.85	-21.66	80.19	83.07	105	j18g
y50l	61.91	-34.63	66.45	74.93	118	j36g
y75l	54.24	-45.77	54.66	71.29	130	j53g
l00c	46.95	-56.34	43.46	71.15	142	j71g
l50c	51.91	-36.84	-3.21	36.98	185	g21b
c00v	54.62	-26.2	-28.68	38.85	228	g60b
c50v	42.22	-0.61	-37.35	37.36	269	g97b
v00m	20.01	45.2	-52.87	69.56	311	b34r
v50m	29.93	57.31	-42.0	71.05	324	b45r
m00o	40.88	70.68	-29.99	76.78	337	b57r
m50o	39.77	61.72	7.23	62.15	7	b83r

lab^*rgb^*

$i^* = 1.00$

Brillantheit i^*

$i^* = 0.80$

$i^* = 0.60$

$i^* = 0.40$

$i^* = 0.20$

$i^* = 0.00$

relative Buntheit c^*

relative Buntheit c^*

Ein und Ausgabe: Farbmetrisches Drucker-Reflektiv-System FRS15_90a für relativen CIELAB-Buntton $h^* = lab^*h^* = h_{ab}/360 = 0.863$

Daten für jede Farbe:

lab^*tch^* und lab^*icu^*

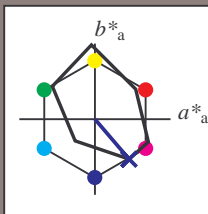
Bunttontexte:

$u^*_d = v00m$ $u^*_e = b34r$

Kontrastreduzierungsfaktor:

$c_R = 0.9$

Dreiecks-Helligkeit i^*



FRS15_90a; adaptierte CIELAB-Daten

u^*_d	$L^*=L^*_a$	a^*_a	b^*_a	$C^*_{ab,a}$	$h^*_{ab,a}$
O _{Ma}	38.8	53.92	39.68	66.95	36
Y _{Ma}	82.58	-4.64	98.22	98.33	93
L _{Ma}	46.95	-56.34	43.46	71.15	142
C _{Ma}	54.62	-26.2	-28.68	38.85	228
V _{Ma}	20.01	45.2	-52.87	69.56	311
M _{Ma}	40.88	70.68	-29.99	76.78	337
N _{Ma}	15.0	0.0	0.0	0.0	0
W _{Ma}	90.0	0.0	0.0	0.0	0
O _{Ma}	39.92	58.74	27.99	65.07	25
Y _{Ma}	81.26	-2.89	71.56	71.62	92
L _{Ma}	52.23	-42.42	13.6	44.55	162
V _{Ma}	30.57	1.41	-46.47	46.49	272

Daten für Maximalfarbe (Ma):

$LAB^*LAB^*_{Ma}$: 20 45 -53

$LAB^*LCH^*_{Ma}$: 20 70 310

$lab^*olv^*_{Ma}$: 0.0 0.0 1.0

$lab^*rgb^*_{Ma}$: 0.68 0.0 1.0

Dreiecks-Helligkeit i^*

%Umfang

$u^*_{rel} = 88$

%Regularität

$g^*_{H,rel} = 31$

$g^*_{C,rel} = 40$

FRS15_90a; adaptierte CIELAB-Daten

u^*_d	$L^*=L^*_a$	a^*_a	b^*_a	$C^*_{ab,a}$	$h^*_{ab,a}$	u^*_e
o00y	38.8	53.92	39.68	66.95	36	r16j
o25y	47.46	42.34	51.25	66.48	50	r37j
o50y	56.54	30.2	63.39	70.22	65	r58j
o75y	67.39	15.68	77.9	79.47	79	r79j
y00l	82.58	-4.64	98.22	98.33	93	j01g
y25l	70.85	-21.66	80.19	83.07	105	j18g
y50l	61.91	-34.63	66.45	74.93	118	j36g
y75l	54.24	-45.77	54.66	71.29	130	j53g
l00c	46.95	-56.34	43.46	71.15	142	j71g
l50c	51.91	-36.84	-3.21	36.98	185	g21b
c00v	54.62	-26.2	-28.68	38.85	228	g60b
c50v	42.22	-0.61	-37.35	37.36	269	g97b
v00m	20.01	45.2	-52.87	69.56	311	b34r
v50m	29.93	57.31	-42.0	71.05	324	b45r
m00o	40.88	70.68	-29.99	76.78	337	b57r
m50o	39.77	61.72	7.23	62.15	7	b83r

lab^*rgb^*

$i^* = 1.00$

$i^* = 0.80$

Brillantheit i^*

$i^* = 0.60$

$i^* = 0.40$

$i^* = 0.20$

$i^* = 0.00$

relative Buntheit c^*

relative Buntheit c^*

Ein und Ausgabe: Farbmetrisches Drucker-Reflektiv-System FRS15_90a für relativen CIELAB-Buntton $h^* = lab^*h^* = h_{ab}/360 = 0.899$

Daten für jede Farbe:

lab^*tch^* und lab^*icu^*

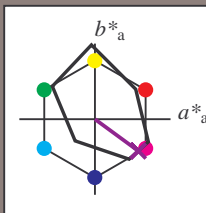
Bunttontexte:

$u^*_d = v50m$ $u^*_e = b45r$

Kontrastreduzierungsfaktor:

$c_R = 0.9$

Dreiecks-Helligkeit i^*



FRS15_90a; adaptierte CIELAB-Daten

u^*_d	$L^*=L^*_a$	a^*_a	b^*_a	$C^*_{ab,a}$	$h^*_{ab,a}$
O _{Ma}	38.8	53.92	39.68	66.95	36
Y _{Ma}	82.58	-4.64	98.22	98.33	93
L _{Ma}	46.95	-56.34	43.46	71.15	142
C _{Ma}	54.62	-26.2	-28.68	38.85	228
V _{Ma}	20.01	45.2	-52.87	69.56	311
M _{Ma}	40.88	70.68	-29.99	76.78	337
N _{Ma}	15.0	0.0	0.0	0.0	0
W _{Ma}	90.0	0.0	0.0	0.0	0
O _{Ma}	39.92	58.74	27.99	65.07	25
Y _{Ma}	81.26	-2.89	71.56	71.62	92
L _{Ma}	52.23	-42.42	13.6	44.55	162
V _{Ma}	30.57	1.41	-46.47	46.49	272

Daten für Maximalfarbe (Ma):

$LAB^*LAB^*_{Ma}$: 30 57 -42

$LAB^*LCH^*_{Ma}$: 30 71 323

$lab^*olv^*_{Ma}$: 0.5 0.0 1.0

$lab^*rgb^*_{Ma}$: 0.91 0.0 1.0

Dreiecks-Helligkeit i^*

%Umfang

$u^*_{rel} = 88$

%Regularität

$g^*_{H,rel} = 31$

$g^*_{C,rel} = 40$

FRS15_90a; adaptierte CIELAB-Daten

u^*_d	$L^*=L^*_a$	a^*_a	b^*_a	$C^*_{ab,a}$	$h^*_{ab,a}$	u^*_e
o00y	38.8	53.92	39.68	66.95	36	r16j
o25y	47.46	42.34	51.25	66.48	50	r37j
o50y	56.54	30.2	63.39	70.22	65	r58j
o75y	67.39	15.68	77.9	79.47	79	r79j
y00l	82.58	-4.64	98.22	98.33	93	j01g
y25l	70.85	-21.66	80.19	83.07	105	j18g
y50l	61.91	-34.63	66.45	74.93	118	j36g
y75l	54.24	-45.77	54.66	71.29	130	j53g
l00c	46.95	-56.34	43.46	71.15	142	j71g
l50c	51.91	-36.84	-3.21	36.98	185	g21b
c00v	54.62	-26.2	-28.68	38.85	228	g60b
c50v	42.22	-0.61	-37.35	37.36	269	g97b
v00m	20.01	45.2	-52.87	69.56	311	b34r
v50m	29.93	57.31	-42.0	71.05	324	b45r
m00o	40.88	70.68	-29.99	76.78	337	b57r
m50o	39.77	61.72	7.23	62.15	7	b83r

lab^*rgb^*

$i^* = 1.00$

Brillantheit i^*

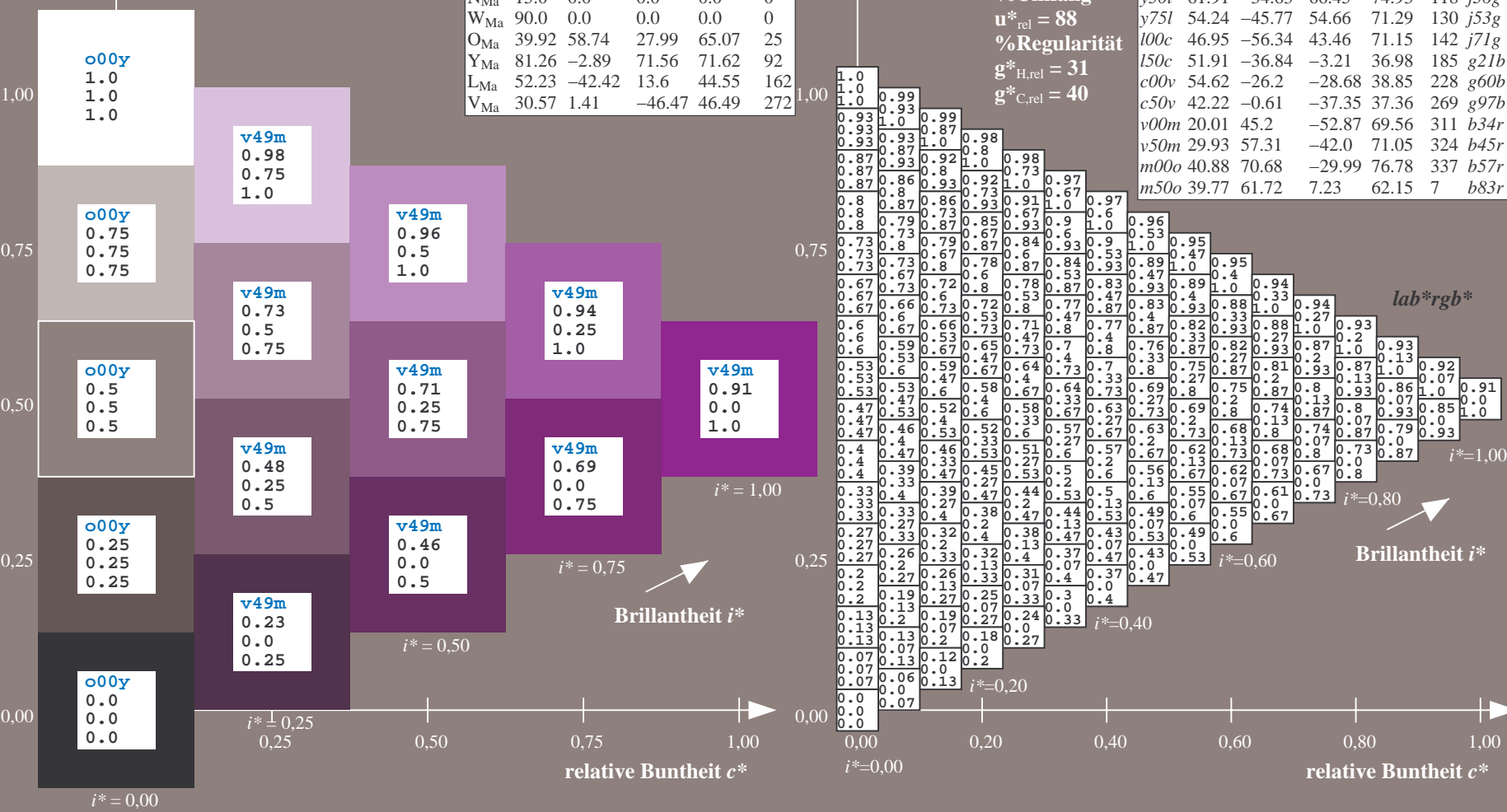
$i^* = 0.80$

$i^* = 0.60$

$i^* = 0.40$

$i^* = 0.20$

$i^* = 0.00$



Ein und Ausgabe: Farbmetrisches Drucker-Reflektiv-System FRS15_90a für relativen CIELAB-Buntton $h^* = lab^*h^* = h_{ab}/360 = 0.936$

Daten für jede Farbe:

lab^*tch^* und lab^*icu^*

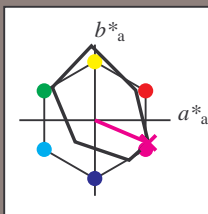
Bunttontexte:

$u^*_d = m00o$ $u^*_e = b57r$

Kontrastreduzierungsfaktor:

$c_R = 0.9$

Dreiecks-Helligkeit t^*



FRS15_90a; adaptierte CIELAB-Daten						
u^*_d	$L^*=L^*_a$	a^*_a	b^*_a	$C^*_{ab,a}$	$h^*_{ab,a}$	u^*_e
O _{Ma}	38.8	53.92	39.68	66.95	36	r16j
Y _{Ma}	82.58	-4.64	98.22	98.33	93	r37j
L _{Ma}	46.95	-56.34	43.46	71.15	142	r58j
C _{Ma}	54.62	-26.2	-28.68	38.85	228	r79j
V _{Ma}	20.01	45.2	-52.87	69.56	311	j01g
M _{Ma}	40.88	70.68	-29.99	76.78	337	j18g
N _{Ma}	15.0	0.0	0.0	0.0	0	j36g
W _{Ma}	90.0	0.0	0.0	0.0	0	j53g
O _{Ma}	39.92	58.74	27.99	65.07	25	j71g
Y _{Ma}	81.26	-2.89	71.56	71.62	92	g21b
L _{Ma}	52.23	-42.42	13.6	44.55	162	g60b
V _{Ma}	30.57	1.41	-46.47	46.49	272	g97b

Daten für Maximalfarbe (Ma):

$LAB^*LAB^*_{Ma}$: 41 71 -30

$LAB^*LCH^*_{Ma}$: 41 77 337

$lab^*olv^*_{Ma}$: 1.0 0.0 1.0

$lab^*rgb^*_{Ma}$: 1.0 0.0 0.85

Dreiecks-Helligkeit t^*

%Umfang

$u^*_{rel} = 88$

%Regularität

$g^*_{H,rel} = 31$

$g^*_{C,rel} = 40$

FRS15_90a; adaptierte CIELAB-Daten						
u^*_d	$L^*=L^*_a$	a^*_a	b^*_a	$C^*_{ab,a}$	$h^*_{ab,a}$	u^*_e
o00y	38.8	53.92	39.68	66.95	36	r16j
o25y	47.46	42.34	51.25	66.48	50	r37j
o50y	56.54	30.2	63.39	70.22	65	r58j
o75y	67.39	15.68	77.9	79.47	79	r79j
y00l	82.58	-4.64	98.22	98.33	93	j01g
y25l	70.85	-21.66	80.19	83.07	105	j18g
y50l	61.91	-34.63	66.45	74.93	118	j36g
y75l	54.24	-45.77	54.66	71.29	130	j53g
l00c	46.95	-56.34	43.46	71.15	142	j71g
l50c	51.91	-36.84	-3.21	36.98	185	g21b
c00v	54.62	-26.2	-28.68	38.85	228	g60b
c50v	42.22	-0.61	-37.35	37.36	269	g97b
v00m	20.01	45.2	-52.87	69.56	311	b34r
v50m	29.93	57.31	-42.0	71.05	324	b45r
m00o	40.88	70.68	-29.99	76.78	337	b57r
m50o	39.77	61.72	7.23	62.15	7	b83r

lab^*rgb^*

$i^* = 1.00$

Brillantheit i^*

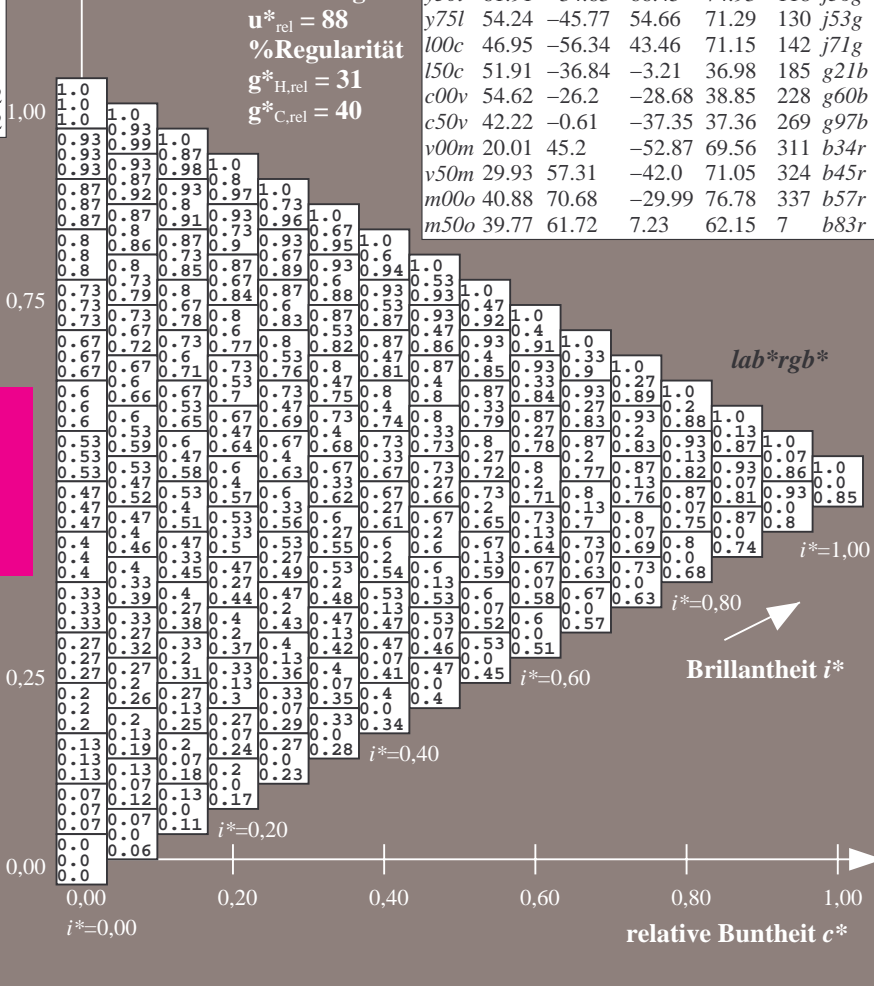
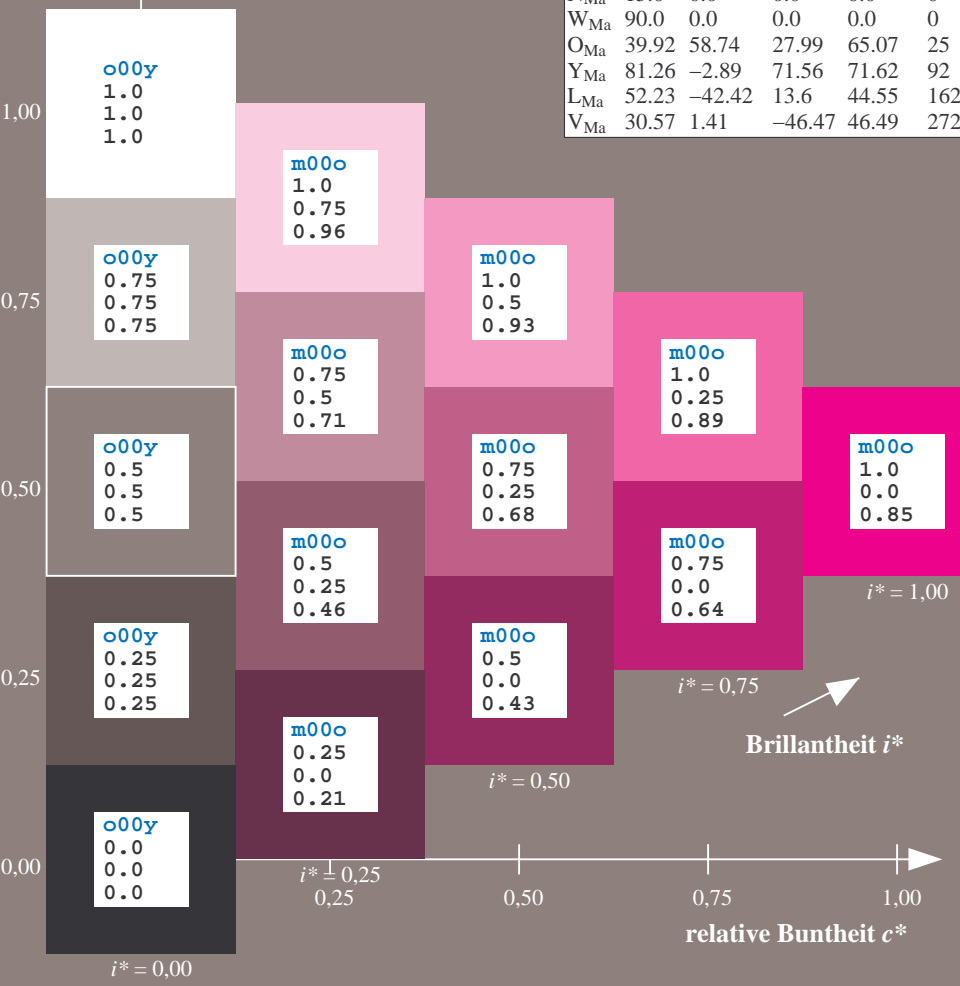
$i^* = 0.80$

$i^* = 0.60$

$i^* = 0.40$

$i^* = 0.20$

$i^* = 0.00$



Ein und Ausgabe: Farbmetrisches Drucker-Reflektiv-System FRS15_90a für relativen CIELAB-Buntton $h^* = lab^*h^* = h_{ab}/360 = 0.019$

Daten für jede Farbe:

lab^*ch^* und lab^*icu^*

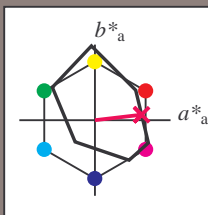
Bunttontexte:

$u^*_d = m50o$ $u^*_e = b83r$

Kontrastreduzierungsfaktor:

$c_R = 0.9$

Dreiecks-Helligkeit i^*



FRS15_90a; adaptierte CIELAB-Daten						
u^*_d	$L^*=L^*_a$	a^*_a	b^*_a	$C^*_{ab,a}$	$h^*_{ab,a}$	
O _{Ma}	38.8	53.92	39.68	66.95	36	
Y _{Ma}	82.58	-4.64	98.22	98.33	93	
L _{Ma}	46.95	-56.34	43.46	71.15	142	
C _{Ma}	54.62	-26.2	-28.68	38.85	228	
V _{Ma}	20.01	45.2	-52.87	69.56	311	
M _{Ma}	40.88	70.68	-29.99	76.78	337	
N _{Ma}	15.0	0.0	0.0	0.0	0	
W _{Ma}	90.0	0.0	0.0	0.0	0	
O _{Ma}	39.92	58.74	27.99	65.07	25	
Y _{Ma}	81.26	-2.89	71.56	71.62	92	
L _{Ma}	52.23	-42.42	13.6	44.55	162	
V _{Ma}	30.57	1.41	-46.47	46.49	272	

Daten für Maximalfarbe (Ma):

$LAB^*LAB^*_{Ma}$: 40 62 7

$LAB^*LCH^*_{Ma}$: 40 62 6

$lab^*olv^*_{Ma}$: 1.0 0.0 0.5

$lab^*rgb^*_{Ma}$: 1.0 0.0 0.33

Dreiecks-Helligkeit i^*

%Umfang

$u^*_{rel} = 88$

%Regularität

$g^*_{H,rel} = 31$

$g^*_{C,rel} = 40$

FRS15_90a; adaptierte CIELAB-Daten						
u^*_d	$L^*=L^*_a$	a^*_a	b^*_a	$C^*_{ab,a}$	$h^*_{ab,a}$	u^*_e
o00y	38.8	53.92	39.68	66.95	36	r16j
o25y	47.46	42.34	51.25	66.48	50	r37j
o50y	56.54	30.2	63.39	70.22	65	r58j
o75y	67.39	15.68	77.9	79.47	79	r79j
y00l	82.58	-4.64	98.22	98.33	93	j01g
y25l	70.85	-21.66	80.19	83.07	105	j18g
y50l	61.91	-34.63	66.45	74.93	118	j36g
y75l	54.24	-45.77	54.66	71.29	130	j53g
l00c	46.95	-56.34	43.46	71.15	142	j71g
l50c	51.91	-36.84	-3.21	36.98	185	g21b
c00v	54.62	-26.2	-28.68	38.85	228	g60b
c50v	42.22	-0.61	-37.35	37.36	269	g97b
v00m	20.01	45.2	-52.87	69.56	311	b34r
v50m	29.93	57.31	-42.0	71.05	324	b45r
m00o	40.88	70.68	-29.99	76.78	337	b57r
m50o	39.77	61.72	7.23	62.15	7	b83r

lab^*rgb^*

$i^* = 1.00$

Brillantheit i^*

$i^* = 0.80$

$i^* = 0.60$

$i^* = 0.40$

$i^* = 0.20$

$i^* = 0.00$

Siehe ähnliche Dateien: <http://www.ps.bam.de/Eg41/>; www.ps.bam.de/Eg41/
Technische Information: [http://www.ps.bam.de/Version 2.1, io=1,1, ColSp=0](http://www.ps.bam.de/Version%202.1,%20io=1,1,%20ColSp=0)

	A	B	C	D	E	F	G	H	I	J	K	L	M	N	O	P	Q	R	S	T	U	V	W	X	Y	Z	a	b	c	d	e	f	g	h	i	j	k	lab*rgb*			
01	0.0	0.04	0.07	0.11	0.14	0.18	0.21	0.25	0.28	0.32	0.36	0.40	0.44	0.48	0.52	0.56	0.60	0.64	0.68	0.72	0.76	0.80	0.84	0.88	0.92	0.96	1.00	0.0	0.0	0.0	0.0	0.0	0.0	0.0	0.0	0.0	0.0	0.0	0.0	0.0	
02	0.0	0.13	0.25	0.38	0.5	0.63	0.75	0.88	1.0	1.13	1.25	1.38	1.5	1.63	1.75	1.88	2.0	2.13	2.25	2.38	2.5	2.63	2.75	2.88	3.0	3.13	3.25	3.38	3.5	3.63	3.75	3.88	4.0	4.13	4.25	4.38	4.5	4.63	4.75	4.88	5.0
03	0.09	0.0	0.0	0.0	0.0	0.03	0.06	0.1	0.13	0.13	0.16	0.2	0.23	0.27	0.3	0.34	0.37	0.4	0.44	0.48	0.52	0.56	0.6	0.64	0.68	0.72	0.76	0.8	0.84	0.88	0.92	0.96	1.0	1.04	1.08	1.12	1.16	1.2	1.24	1.28	1.32
04	0.17	0.0	0.0	0.0	0.0	0.0	0.0	0.0	0.0	0.23	0.21	0.13	0.13	0.13	0.13	0.15	0.19	0.22	0.25	0.25	0.29	0.32	0.36	0.39	0.43	0.46	0.75	0.75	0.75	0.75	0.75	0.75	0.75	0.75	0.75	0.75	0.75	0.75	0.75	0.75	0.75
05	0.26	0.07	0.0	0.0	0.0	0.0	0.0	0.0	0.0	0.31	0.3	0.13	0.13	0.13	0.13	0.13	0.13	0.21	0.27	0.35	0.34	0.25	0.25	0.25	0.25	0.25	0.28	0.31	0.63	0.63	0.63	0.63	0.63	0.63	0.63	0.63	0.63	0.63	0.63	0.63	0.63
06	0.34	0.16	0.0	0.0	0.0	0.0	0.0	0.0	0.0	0.4	0.38	0.2	0.13	0.13	0.13	0.13	0.13	0.13	0.46	0.44	0.42	0.25	0.25	0.25	0.25	0.25	0.25	0.25	0.5	0.5	0.5	0.5	0.5	0.5	0.5	0.5	0.5	0.5	0.5	0.5	0.5
07	0.43	0.24	0.06	0.0	0.0	0.0	0.0	0.0	0.0	0.48	0.47	0.28	0.13	0.13	0.13	0.13	0.13	0.13	0.54	0.52	0.51	0.32	0.25	0.25	0.25	0.25	0.25	0.25	0.38	0.38	0.38	0.38	0.38	0.38	0.38	0.38	0.38	0.38	0.38	0.38	0.38
08	0.51	0.33	0.15	0.0	0.0	0.0	0.0	0.0	0.0	0.57	0.55	0.37	0.19	0.13	0.13	0.13	0.13	0.13	0.63	0.61	0.61	0.42	0.25	0.25	0.25	0.25	0.25	0.25	0.25	0.25	0.25	0.25	0.25	0.25	0.25	0.25	0.25	0.25	0.25	0.25	0.25
09	0.6	0.41	0.23	0.05	0.0	0.0	0.0	0.0	0.0	0.66	0.64	0.45	0.27	0.13	0.13	0.13	0.13	0.13	0.71	0.69	0.68	0.49	0.31	0.25	0.25	0.25	0.25	0.25	0.13	0.13	0.13	0.13	0.13	0.13	0.13	0.13	0.13	0.13	0.13	0.13	0.13
10	0.68	0.5	0.32	0.14	0.0	0.0	0.0	0.0	0.0	0.74	0.72	0.54	0.36	0.17	0.13	0.13	0.13	0.13	0.8	0.78	0.76	0.58	0.4	0.25	0.25	0.25	0.25	0.25	0.0	0.0	0.0	0.0	0.0	0.0	0.0	0.0	0.0	0.0	0.0	0.0	0.0
11	0.76	0.57	0.35	0.17	0.0	0.0	0.0	0.0	0.0	0.82	0.8	0.63	0.45	0.27	0.13	0.13	0.13	0.13	0.86	0.84	0.84	0.66	0.48	0.31	0.25	0.25	0.25	0.25	0.25	0.25	0.25	0.25	0.25	0.25	0.25	0.25	0.25	0.25	0.25	0.25	0.25
12	0.84	0.66	0.44	0.26	0.0	0.0	0.0	0.0	0.0	0.94	0.92	0.74	0.56	0.38	0.25	0.25	0.25	0.25	0.98	0.96	0.96	0.78	0.6	0.42	0.25	0.25	0.25	0.25	0.25	0.25	0.25	0.25	0.25	0.25	0.25	0.25	0.25	0.25	0.25	0.25	0.25
13	0.92	0.75	0.57	0.39	0.21	0.0	0.0	0.0	0.0	0.94	0.92	0.74	0.56	0.38	0.25	0.25	0.25	0.25	0.98	0.96	0.96	0.78	0.6	0.42	0.25	0.25	0.25	0.25	0.25	0.25	0.25	0.25	0.25	0.25	0.25	0.25	0.25	0.25	0.25	0.25	0.25
14	1.0	0.88	0.7	0.52	0.34	0.16	0.0	0.0	0.0	1.0	0.98	0.8	0.63	0.45	0.27	0.13	0.13	0.13	1.0	0.98	0.98	0.8	0.63	0.45	0.27	0.13	0.13	0.13	0.13	0.13	0.13	0.13	0.13	0.13	0.13	0.13	0.13	0.13	0.13	0.13	0.13
15	1.0	0.97	0.8	0.63	0.45	0.27	0.13	0.13	0.13	1.0	0.99	0.82	0.64	0.46	0.28	0.14	0.13	0.13	1.0	0.99	0.99	0.82	0.64	0.46	0.28	0.14	0.13	0.13	0.13	0.13	0.13	0.13	0.13	0.13	0.13	0.13	0.13	0.13	0.13	0.13	0.13
16	1.0	1.0	0.9	0.72	0.54	0.36	0.17	0.13	0.13	1.0	1.0	0.92	0.74	0.56	0.38	0.25	0.25	0.25	1.0	1.0	1.0	0.92	0.74	0.56	0.38	0.25	0.25	0.25	0.25	0.25	0.25	0.25	0.25	0.25	0.25	0.25	0.25	0.25	0.25	0.25	0.25
17	1.0	1.0	1.0	0.88	0.7	0.52	0.34	0.16	0.0	1.0	1.0	0.9	0.72	0.54	0.36	0.17	0.13	0.13	1.0	1.0	1.0	0.88	0.7	0.52	0.34	0.16	0.0	0.0	0.0	0.0	0.0	0.0	0.0	0.0	0.0	0.0	0.0	0.0	0.0	0.0	0.0
18	1.0	1.0	1.0	1.0	1.0	0.99	0.82	0.64	0.46	1.0	1.0	0.99	0.82	0.64	0.46	0.28	0.14	0.13	1.0	1.0	1.0	0.99	0.82	0.64	0.46	0.28	0.14	0.13	0.13	0.13	0.13	0.13	0.13	0.13	0.13	0.13	0.13	0.13	0.13	0.13	0.13
19	1.0	1.0	1.0	1.0	1.0	1.0	0.99	0.82	0.64	1.0	1.0	1.0	1.0	0.99	0.82	0.64	0.46	0.28	1.0	1.0	1.0	0.99	0.82	0.64	0.46	0.28	0.14	0.13	0.13	0.13	0.13	0.13	0.13	0.13	0.13	0.13	0.13	0.13	0.13	0.13	0.13
20	1.0	1.0	1.0	1.0	1.0	1.0	1.0	0.99	0.82	1.0	1.0	1.0	1.0	1.0	0.99	0.82	0.64	0.46	1.0	1.0	1.0	0.99	0.82	0.64	0.46	0.28	0.14	0.13	0.13	0.13	0.13	0.13	0.13	0.13	0.13	0.13	0.13	0.13	0.13	0.13	0.13
21	1.0	1.0	1.0	1.0	1.0	1.0	1.0	1.0	0.99	1.0	1.0	1.0	1.0	1.0	1.0	0.99	0.82	0.64	1.0	1.0	1.0	0.99	0.82	0.64	0.46	0.28	0.14	0.13	0.13	0.13	0.13	0.13	0.13	0.13	0.13	0.13	0.13	0.13	0.13	0.13	0.13
22	1.0	1.0	1.0	1.0	1.0	1.0	1.0	1.0	1.0	1.0	1.0	1.0	1.0	1.0	1.0	1.0	1.0	1.0	1.0	1.0	1.0	1.0	1.0	1.0	1.0	1.0	1.0	1.0	1.0	1.0	1.0	1.0	1.0	1.0	1.0	1.0	1.0	1.0	1.0	1.0	
23	1.0	1.0	1.0	1.0	1.0	1.0	1.0	1.0	1.0	1.0	1.0	1.0	1.0	1.0	1.0	1.0	1.0	1.0	1.0	1.0	1.0	1.0	1.0	1.0	1.0	1.0	1.0	1.0	1.0	1.0	1.0	1.0	1.0	1.0	1.0	1.0	1.0	1.0	1.0	1.0	
24	1.0	1.0	1.0	1.0	1.0	1.0	1.0	1.0	1.0	1.0	1.0	1.0	1.0	1.0	1.0	1.0	1.0	1.0	1.0	1.0	1.0	1.0	1.0	1.0	1.0	1.0	1.0	1.0	1.0	1.0	1.0	1.0	1.0	1.0	1.0	1.0	1.0	1.0	1.0	1.0	
25	1.0	1.0	1.0	1.0	1.0	1.0	1.0	1.0	1.0	1.0	1.0	1.0	1.0	1.0	1.0	1.0	1.0	1.0	1.0	1.0	1.0	1.0	1.0	1.0	1.0	1.0	1.0	1.0	1.0	1.0	1.0	1.0	1.0	1.0	1.0	1.0	1.0	1.0	1.0	1.0	
26	1.0	1.0	1.0	1.0	1.0	1.0	1.0	1.0	1.0	1.0	1.0	1.0	1.0	1.0	1.0	1.0	1.0	1.0	1.0	1.0	1.0	1.0	1.0	1.0	1.0	1.0	1.0	1.0	1.0	1.0	1.0	1.0	1.0	1.0	1.0	1.0	1.0	1.0	1.0	1.0	
27	1.0	1.0	1.0	1.0	1.0	1.0	1.0	1.0	1.0	1.0	1.0	1.0	1.0	1.0	1.0	1.0	1.0	1.0	1.0	1.0	1.0	1.0	1.0	1.0	1.0	1.0	1.0	1.0	1.0	1.0	1.0	1.0	1.0	1.0	1.0	1.0	1.0	1.0	1.0	1.0	

Ein und Ausgabe:
Farbmimetrisches Drucker-Reflektiv-System FRS15_90a
Daten für jede Farbe:

u^*_d und Nummer $Nr.$ = 00 .. 15

Geräte-Bunttontext:

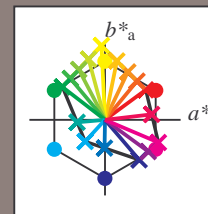
u^*_d = 16 Bunttoene $o00y$, $o25y$, ..., $m50o$

Kontrastreduzierungsfaktor:

$c_R = 0.9$

FRS15_90a; adaptierte CIELAB-Daten

u^*_d	$L^*=L^*_a$	a^*_a	b^*_a	$C^*_{ab,a}$	$h^*_{ab,a}$	u^*_e
$o00y$	38.8	53.92	39.68	66.95	36	$r16j$
$o25y$	47.46	42.34	51.25	66.48	50	$r37j$
$o50y$	56.54	30.2	63.39	70.22	65	$r58j$
$o75y$	67.39	15.68	77.9	79.47	79	$r79j$
$y00l$	82.58	-4.64	98.22	98.33	93	$j01g$
$y25l$	70.85	-21.66	80.19	83.07	105	$j18g$
$y50l$	61.91	-34.63	66.45	74.93	118	$j36g$
$y75l$	54.24	-45.77	54.66	71.29	130	$j53g$
$l00c$	46.95	-56.34	43.46	71.15	142	$j71g$
$l50c$	51.91	-36.84	-3.21	36.98	185	$g21b$
$c00v$	54.62	-26.2	-28.68	38.85	228	$g60b$
$c50v$	42.22	-0.61	-37.35	37.36	269	$g97b$
$v00m$	20.01	45.2	-52.87	69.56	311	$b34r$
$v50m$	29.93	57.31	-42.0	71.05	324	$b45r$
$m00o$	40.88	70.68	-29.99	76.78	337	$b57r$
$m50o$	39.77	61.72	7.23	62.15	7	$b83r$



%Umfang

$u^*_{rel} = 88$

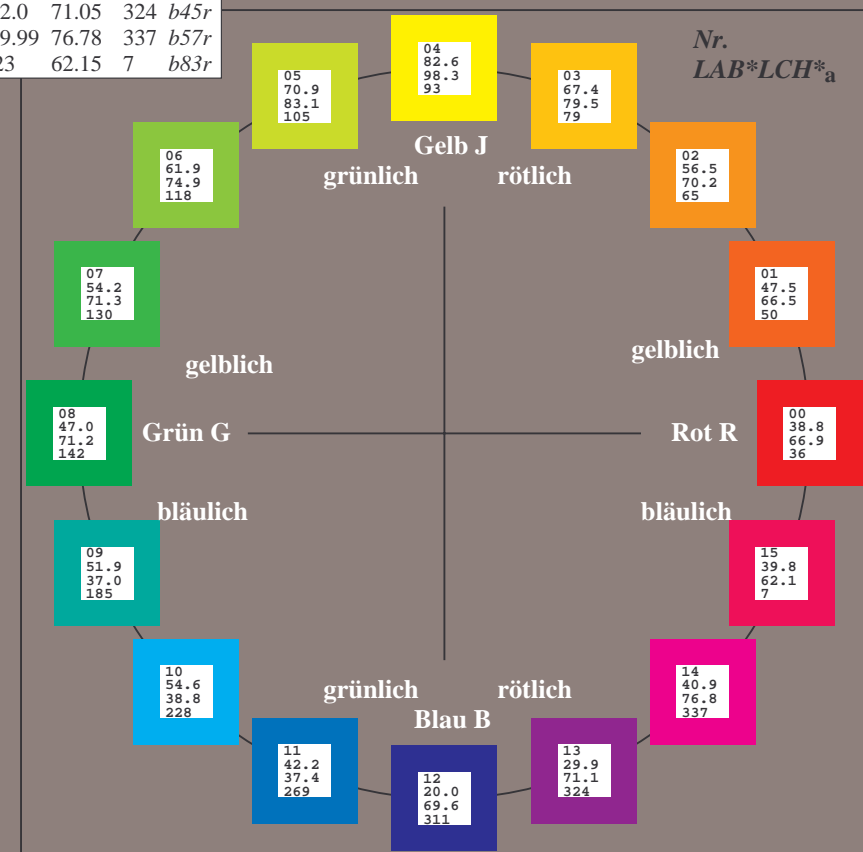
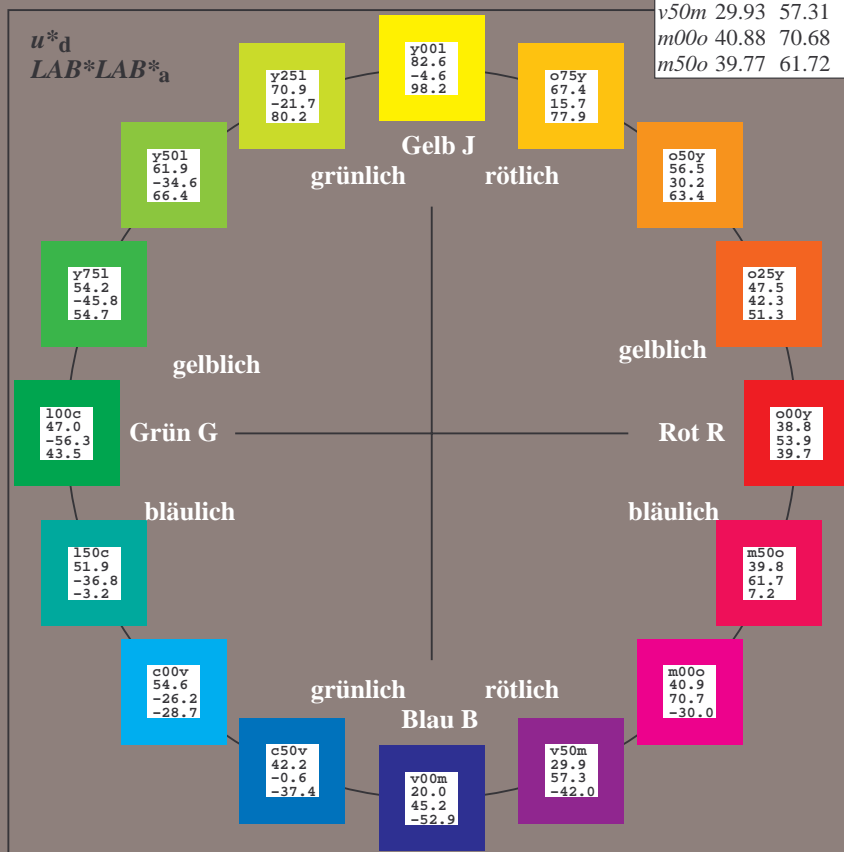
%Regularität

$g^*_{H,rel} = 31$

$g^*_{C,rel} = 40$

FRS15_90a; adaptierte CIELAB-Daten

Name	$L^*=L^*_a$	a^*_a	b^*_a	$C^*_{ab,a}$	$h^*_{ab,a}$
O_{Ma}	38.8	53.92	39.68	66.95	36
Y_{Ma}	82.58	-4.64	98.22	98.33	93
L_{Ma}	46.95	-56.34	43.46	71.15	142
C_{Ma}	54.62	-26.2	-28.68	38.85	228
V_{Ma}	20.01	45.2	-52.87	69.56	311
M_{Ma}	40.88	70.68	-29.99	76.78	337
N_{Ma}	15.0	0.0	0.0	0.0	0
W_{Ma}	90.0	0.0	0.0	0.0	0
O_{CIE}	39.92	58.74	27.99	65.07	25
Y_{CIE}	81.26	-2.89	71.56	71.62	92
L_{CIE}	52.23	-42.42	13.6	44.55	162
V_{CIE}	30.57	1.41	-46.47	46.49	272



Ein und Ausgabe: Farbmetrisches Drucker-Reflektiv-System FRS15_90a für relativen CIELAB-Buntton $h^* = lab^*h^* = h_{ab}/360 = 0.101$

Daten für jede Farbe:

lab^*ch^* und lab^*icu^*

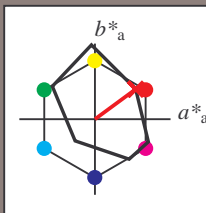
Bunttontexte:

$u^*_d = o00y$ $u^*_e = r16j$

Kontrastreduzierungsfaktor:

$c_R = 0.9$

Dreiecks-Helligkeit i^*



FRS15_90a; adaptierte CIELAB-Daten

u^*_d	$L^*=L^*_a$	a^*_a	b^*_a	$C^*_{ab,a}$	$h^*_{ab,a}$
O _{Ma}	38.8	53.92	39.68	66.95	36
Y _{Ma}	82.58	-4.64	98.22	98.33	93
L _{Ma}	46.95	-56.34	43.46	71.15	142
C _{Ma}	54.62	-26.2	-28.68	38.85	228
V _{Ma}	20.01	45.2	-52.87	69.56	311
M _{Ma}	40.88	70.68	-29.99	76.78	337
N _{Ma}	15.0	0.0	0.0	0.0	0
W _{Ma}	90.0	0.0	0.0	0.0	0
O _{Ma}	39.92	58.74	27.99	65.07	25
Y _{Ma}	81.26	-2.89	71.56	71.62	92
L _{Ma}	52.23	-42.42	13.6	44.55	162
V _{Ma}	30.57	1.41	-46.47	46.49	272

Daten für Maximalfarbe (Ma):

$LAB^*LAB^*_{Ma}$: 39 54 40

$LAB^*LCH^*_{Ma}$: 39 67 36

$lab^*olv^*_{Ma}$: 1.0 0.0 0.0

$lab^*rgb^*_{Ma}$: 1.0 0.16 0.0

Dreiecks-Helligkeit i^*

%Umfang

$u^*_{rel} = 88$

%Regularität

$g^*_{H,rel} = 31$

$g^*_{C,rel} = 40$

FRS15_90a; adaptierte CIELAB-Daten

u^*_d	$L^*=L^*_a$	a^*_a	b^*_a	$C^*_{ab,a}$	$h^*_{ab,a}$	u^*_e
<i>o00y</i>	38.8	53.92	39.68	66.95	36	<i>r16j</i>
<i>o25y</i>	47.46	42.34	51.25	66.48	50	<i>r37j</i>
<i>o50y</i>	56.54	30.2	63.39	70.22	65	<i>r58j</i>
<i>o75y</i>	67.39	15.68	77.9	79.47	79	<i>r79j</i>
<i>y00l</i>	82.58	-4.64	98.22	98.33	93	<i>j01g</i>
<i>y25l</i>	70.85	-21.66	80.19	83.07	105	<i>j18g</i>
<i>y50l</i>	61.91	-34.63	66.45	74.93	118	<i>j36g</i>
<i>y75l</i>	54.24	-45.77	54.66	71.29	130	<i>j53g</i>
<i>l00c</i>	46.95	-56.34	43.46	71.15	142	<i>j71g</i>
<i>l50c</i>	51.91	-36.84	-3.21	36.98	185	<i>g21b</i>
<i>c00v</i>	54.62	-26.2	-28.68	38.85	228	<i>g60b</i>
<i>c50v</i>	42.22	-0.61	-37.35	37.36	269	<i>g97b</i>
<i>v00m</i>	20.01	45.2	-52.87	69.56	311	<i>b34r</i>
<i>v50m</i>	29.93	57.31	-42.0	71.05	324	<i>b45r</i>
<i>m00o</i>	40.88	70.68	-29.99	76.78	337	<i>b57r</i>
<i>m50o</i>	39.77	61.72	7.23	62.15	7	<i>b83r</i>

$LAB^*LAB^*_{Ma}$

$i^* = 1.00$

Brillantheit i^*

$i^* = 0.80$

$i^* = 0.60$

$i^* = 0.40$

$i^* = 0.20$

$i^* = 0.00$

relative Bunttheit c^*

relative Bunttheit c^*

Ein und Ausgabe: Farbmetrisches Drucker-Reflektiv-System FRS15_90a für relativen CIELAB-Buntton $h^* = lab^*h^* = h_{ab}/360 = 0.14$

Daten für jede Farbe:

lab^*tch^* und lab^*icu^*

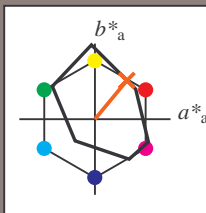
Bunttontexte:

$u^*_d = o25y$ $u^*_e = r37j$

Kontrastreduzierungsfaktor:

$c_R = 0.9$

Dreiecks-Helligkeit i^*



FRS15_90a; adaptierte CIELAB-Daten

u^*_d	$L^*=L^*_a$	a^*_a	b^*_a	$C^*_{ab,a}$	$h^*_{ab,a}$
O _{Ma}	38.8	53.92	39.68	66.95	36
Y _{Ma}	82.58	-4.64	98.22	98.33	93
L _{Ma}	46.95	-56.34	43.46	71.15	142
C _{Ma}	54.62	-26.2	-28.68	38.85	228
V _{Ma}	20.01	45.2	-52.87	69.56	311
M _{Ma}	40.88	70.68	-29.99	76.78	337
N _{Ma}	15.0	0.0	0.0	0.0	0
W _{Ma}	90.0	0.0	0.0	0.0	0
O _{Ma}	39.92	58.74	27.99	65.07	25
Y _{Ma}	81.26	-2.89	71.56	71.62	92
L _{Ma}	52.23	-42.42	13.6	44.55	162
V _{Ma}	30.57	1.41	-46.47	46.49	272

Daten für Maximalfarbe (Ma):

$LAB^*LAB^*_{Ma}$: 47 42 51

$LAB^*LCH^*_{Ma}$: 47 66 50

$lab^*olv^*_{Ma}$: 1.0 0.25 0.0

$lab^*rgb^*_{Ma}$: 1.0 0.37 0.0

Dreiecks-Helligkeit i^*

%Umfang

$u^*_{rel} = 88$

%Regularität

$g^*_{H,rel} = 31$

$g^*_{C,rel} = 40$

FRS15_90a; adaptierte CIELAB-Daten

u^*_d	$L^*=L^*_a$	a^*_a	b^*_a	$C^*_{ab,a}$	$h^*_{ab,a}$	u^*_e
o00y	38.8	53.92	39.68	66.95	36	r16j
o25y	47.46	42.34	51.25	66.48	50	r37j
o50y	56.54	30.2	63.39	70.22	65	r58j
o75y	67.39	15.68	77.9	79.47	79	r79j
y00l	82.58	-4.64	98.22	98.33	93	j01g
y25l	70.85	-21.66	80.19	83.07	105	j18g
y50l	61.91	-34.63	66.45	74.93	118	j36g
y75l	54.24	-45.77	54.66	71.29	130	j53g
l00c	46.95	-56.34	43.46	71.15	142	j71g
l50c	51.91	-36.84	-3.21	36.98	185	g21b
c00v	54.62	-26.2	-28.68	38.85	228	g60b
c50v	42.22	-0.61	-37.35	37.36	269	g97b
v00m	20.01	45.2	-52.87	69.56	311	b34r
v50m	29.93	57.31	-42.0	71.05	324	b45r
m00o	40.88	70.68	-29.99	76.78	337	b57r
m50o	39.77	61.72	7.23	62.15	7	b83r

$u^*_d = o25y$
 $LAB^*LAB^*_{Ma}$

$LAB^*LAB^*_{Ma}$

$i^* = 1.00$

Brillantheit i^*

$i^* = 0.80$

$i^* = 0.60$

$i^* = 0.40$

$i^* = 0.20$

$i^* = 0.00$

relative Buntheit c^*

Ein und Ausgabe: Farbmetrisches Drucker-Reflektiv-System FRS15_90a für relativen CIELAB-Buntton $h^* = \text{lab}^*h^* = h_{ab}/360 = 0.179$

Daten für jede Farbe:

lab^*tch^* und lab^*icu^*

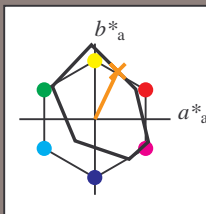
Bunttontexte:

$u^*_d = o50y$ $u^*_e = r58j$

Kontrastreduzierungsfaktor:

$c_R = 0.9$

Dreiecks-Helligkeit i^*



FRS15_90a; adaptierte CIELAB-Daten

u^*_d	$L^*=L^*_a$	a^*_a	b^*_a	$C^*_{ab,a}$	$h^*_{ab,a}$
O _{Ma}	38.8	53.92	39.68	66.95	36
Y _{Ma}	82.58	-4.64	98.22	98.33	93
L _{Ma}	46.95	-56.34	43.46	71.15	142
C _{Ma}	54.62	-26.2	-28.68	38.85	228
V _{Ma}	20.01	45.2	-52.87	69.56	311
M _{Ma}	40.88	70.68	-29.99	76.78	337
N _{Ma}	15.0	0.0	0.0	0.0	0
W _{Ma}	90.0	0.0	0.0	0.0	0
O _{Ma}	39.92	58.74	27.99	65.07	25
Y _{Ma}	81.26	-2.89	71.56	71.62	92
L _{Ma}	52.23	-42.42	13.6	44.55	162
V _{Ma}	30.57	1.41	-46.47	46.49	272

Daten für Maximalfarbe (Ma):

$\text{LAB}^*\text{LAB}^*_{Ma}$: 57 30 63

$\text{LAB}^*\text{LCH}^*_{Ma}$: 57 70 64

$\text{lab}^*\text{olv}^*_{Ma}$: 1.0 0.5 0.0

$\text{lab}^*\text{rgb}^*_{Ma}$: 1.0 0.58 0.0

Dreiecks-Helligkeit i^*

%Umfang

$u^*_{rel} = 88$

%Regularität

$g^*_{H,rel} = 31$

$g^*_{C,rel} = 40$

FRS15_90a; adaptierte CIELAB-Daten

u^*_d	$L^*=L^*_a$	a^*_a	b^*_a	$C^*_{ab,a}$	$h^*_{ab,a}$	u^*_e
o00y	38.8	53.92	39.68	66.95	36	r16j
o25y	47.46	42.34	51.25	66.48	50	r37j
o50y	56.54	30.2	63.39	70.22	65	r58j
o75y	67.39	15.68	77.9	79.47	79	r79j
y00l	82.58	-4.64	98.22	98.33	93	j01g
y25l	70.85	-21.66	80.19	83.07	105	j18g
y50l	61.91	-34.63	66.45	74.93	118	j36g
y75l	54.24	-45.77	54.66	71.29	130	j53g
l00c	46.95	-56.34	43.46	71.15	142	j71g
l50c	51.91	-36.84	-3.21	36.98	185	g21b
c00v	54.62	-26.2	-28.68	38.85	228	g60b
c50v	42.22	-0.61	-37.35	37.36	269	g97b
v00m	20.01	45.2	-52.87	69.56	311	b34r
v50m	29.93	57.31	-42.0	71.05	324	b45r
m00o	40.88	70.68	-29.99	76.78	337	b57r
m50o	39.77	61.72	7.23	62.15	7	b83r

$\text{LAB}^*\text{LAB}^*_{Ma}$

$i^*=1.00$

Brillantheit i^*

$i^*=0.80$

$i^*=0.60$

$i^*=0.40$

$i^*=0.20$

$i^*=0.00$

relative Buntheit c^*

Ein und Ausgabe: Farbmetrisches Drucker-Reflektiv-System FRS15_90a für relativen CIELAB-Buntton $h^* = lab^*h^* = h_{ab}/360 = 0.218$

Daten für jede Farbe:

lab^*ch^* und lab^*icu^*

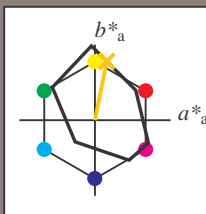
Bunttontexte:

$u^*_d = 0.75y$ $u^*_e = r79j$

Kontrastreduzierungsfaktor:

$c_R = 0.9$

Dreiecks-Helligkeit i^*



FRS15_90a; adaptierte CIELAB-Daten

u^*_d	$L^*=L^*_a$	a^*_a	b^*_a	$C^*_{ab,a}$	$h^*_{ab,a}$
O _{Ma}	38.8	53.92	39.68	66.95	36
Y _{Ma}	82.58	-4.64	98.22	98.33	93
L _{Ma}	46.95	-56.34	43.46	71.15	142
C _{Ma}	54.62	-26.2	-28.68	38.85	228
V _{Ma}	20.01	45.2	-52.87	69.56	311
M _{Ma}	40.88	70.68	-29.99	76.78	337
N _{Ma}	15.0	0.0	0.0	0.0	0
W _{Ma}	90.0	0.0	0.0	0.0	0
O _{Ma}	39.92	58.74	27.99	65.07	25
Y _{Ma}	81.26	-2.89	71.56	71.62	92
L _{Ma}	52.23	-42.42	13.6	44.55	162
V _{Ma}	30.57	1.41	-46.47	46.49	272

Daten für Maximalfarbe (Ma):

$LAB^*LAB^*_{Ma}$: 67 16 78

$LAB^*LCH^*_{Ma}$: 67 79 78

$lab^*olv^*_{Ma}$: 1.0 0.75 0.0

$lab^*rgb^*_{Ma}$: 1.0 0.8 0.0

Dreiecks-Helligkeit i^*

%Umfang

$u^*_{rel} = 88$

%Regularität

$g^*_{H,rel} = 31$

$g^*_{C,rel} = 40$

FRS15_90a; adaptierte CIELAB-Daten

u^*_d	$L^*=L^*_a$	a^*_a	b^*_a	$C^*_{ab,a}$	$h^*_{ab,a}$	u^*_e
o00y	38.8	53.92	39.68	66.95	36	r16j
o25y	47.46	42.34	51.25	66.48	50	r37j
o50y	56.54	30.2	63.39	70.22	65	r58j
o75y	67.39	15.68	77.9	79.47	79	r79j
y00l	82.58	-4.64	98.22	98.33	93	j01g
y25l	70.85	-21.66	80.19	83.07	105	j18g
y50l	61.91	-34.63	66.45	74.93	118	j36g
y75l	54.24	-45.77	54.66	71.29	130	j53g
l00c	46.95	-56.34	43.46	71.15	142	j71g
l50c	51.91	-36.84	-3.21	36.98	185	g21b
c00v	54.62	-26.2	-28.68	38.85	228	g60b
c50v	42.22	-0.61	-37.35	37.36	269	g97b
v00m	20.01	45.2	-52.87	69.56	311	b34r
v50m	29.93	57.31	-42.0	71.05	324	b45r
m00o	40.88	70.68	-29.99	76.78	337	b57r
m50o	39.77	61.72	7.23	62.15	7	b83r

$u^*_d = 0.75y$
 $LAB^*LAB^*_{Ma}$

$LAB^*LAB^*_{Ma}$

$i^* = 1.00$

Brillantheit i^*

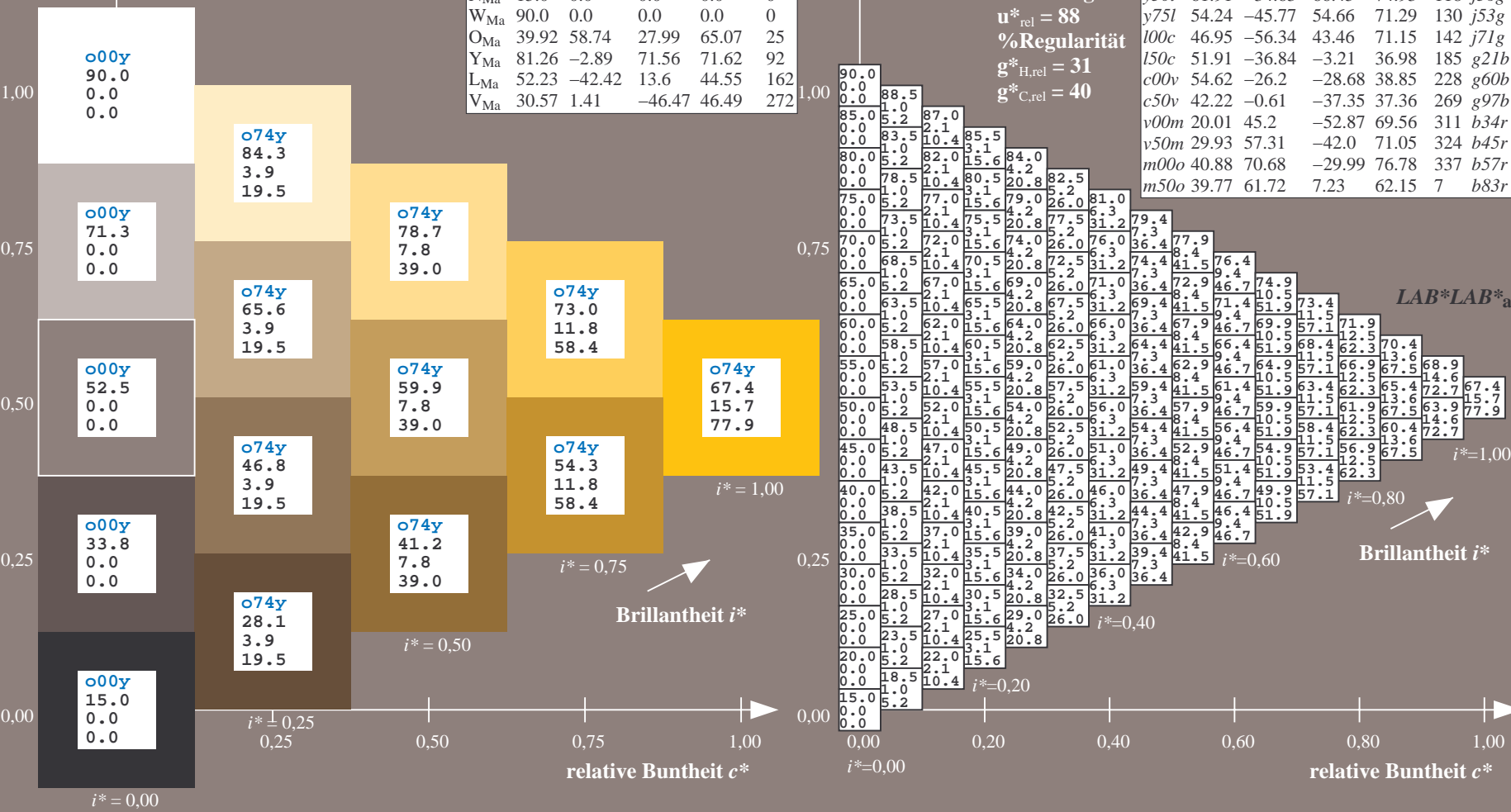
$i^* = 0.80$

$i^* = 0.60$

$i^* = 0.40$

$i^* = 0.20$

$i^* = 0.00$



Ein und Ausgabe: Farbmetrisches Drucker-Reflektiv-System FRS15_90a für relativen CIELAB-Buntton $h^* = lab^*h^* = h_{ab}/360 = 0.258$

Daten für jede Farbe:

lab^*tch^* und lab^*icu^*

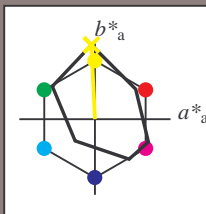
Bunttontexte:

$u^*_d = y00l$ $u^*_e = j01g$

Kontrastreduzierungsfaktor:

$c_R = 0.9$

Dreiecks-Helligkeit t^*



FRS15_90a; adaptierte CIELAB-Daten

u^*_d	$L^*=L^*_a$	a^*_a	b^*_a	$C^*_{ab,a}$	$h^*_{ab,a}$
O _{Ma}	38.8	53.92	39.68	66.95	36
Y _{Ma}	82.58	-4.64	98.22	98.33	93
L _{Ma}	46.95	-56.34	43.46	71.15	142
C _{Ma}	54.62	-26.2	-28.68	38.85	228
V _{Ma}	20.01	45.2	-52.87	69.56	311
M _{Ma}	40.88	70.68	-29.99	76.78	337
N _{Ma}	15.0	0.0	0.0	0.0	0
W _{Ma}	90.0	0.0	0.0	0.0	0
O _{Ma}	39.92	58.74	27.99	65.07	25
Y _{Ma}	81.26	-2.89	71.56	71.62	92
L _{Ma}	52.23	-42.42	13.6	44.55	162
V _{Ma}	30.57	1.41	-46.47	46.49	272

Daten für Maximalfarbe (Ma):

$LAB^*LAB^*_{Ma}$: 83 -5 98

$LAB^*LCH^*_{Ma}$: 83 98 92

$lab^*olv^*_{Ma}$: 1.0 1.0 0.0

$lab^*rgb^*_{Ma}$: 0.99 1.0 0.0

Dreiecks-Helligkeit t^*

%Umfang

$u^*_{rel} = 88$

%Regularität

$g^*_{H,rel} = 31$

$g^*_{C,rel} = 40$

FRS15_90a; adaptierte CIELAB-Daten

u^*_d	$L^*=L^*_a$	a^*_a	b^*_a	$C^*_{ab,a}$	$h^*_{ab,a}$	u^*_e
o00y	38.8	53.92	39.68	66.95	36	r16j
o25y	47.46	42.34	51.25	66.48	50	r37j
o50y	56.54	30.2	63.39	70.22	65	r58j
o75y	67.39	15.68	77.9	79.47	79	r79j
y00l	82.58	-4.64	98.22	98.33	93	j01g
y25l	70.85	-21.66	80.19	83.07	105	j18g
y50l	61.91	-34.63	66.45	74.93	118	j36g
y75l	54.24	-45.77	54.66	71.29	130	j53g
l00c	46.95	-56.34	43.46	71.15	142	j71g
l50c	51.91	-36.84	-3.21	36.98	185	g21b
c00v	54.62	-26.2	-28.68	38.85	228	g60b
c50v	42.22	-0.61	-37.35	37.36	269	g97b
v00m	20.01	45.2	-52.87	69.56	311	b34r
v50m	29.93	57.31	-42.0	71.05	324	b45r
m00o	40.88	70.68	-29.99	76.78	337	b57r
m50o	39.77	61.72	7.23	62.15	7	b83r

$u^*_d = y00l$
 $LAB^*LAB^*_{Ma}$

$LAB^*LAB^*_{Ma}$

$i^* = 1.00$

Brillantheit i^*

$i^* = 0.80$

$i^* = 0.60$

$i^* = 0.40$

$i^* = 0.20$

$i^* = 0.00$

relative Buntheit c^*

Ein und Ausgabe: Farbmetrisches Drucker-Reflektiv-System FRS15_90a für relativen CIELAB-Buntton $h^* = lab^*h^* = h_{ab}/360 = 0.292$

Daten für jede Farbe:

lab^*tch^* und lab^*icu^*

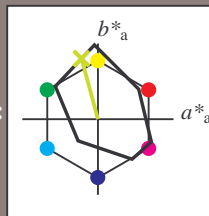
Bunttontexte:

$u^*_d = y25l$ $u^*_e = j18g$

Kontrastreduzierungsfaktor:

$c_R = 0.9$

Dreiecks-Helligkeit i^*



FRS15_90a; adaptierte CIELAB-Daten

u^*_d	$L^*=L^*_a$	a^*_a	b^*_a	$C^*_{ab,a}$	$h^*_{ab,a}$
O _{Ma}	38.8	53.92	39.68	66.95	36
Y _{Ma}	82.58	-4.64	98.22	98.33	93
L _{Ma}	46.95	-56.34	43.46	71.15	142
C _{Ma}	54.62	-26.2	-28.68	38.85	228
V _{Ma}	20.01	45.2	-52.87	69.56	311
M _{Ma}	40.88	70.68	-29.99	76.78	337
N _{Ma}	15.0	0.0	0.0	0.0	0
W _{Ma}	90.0	0.0	0.0	0.0	0
O _{Ma}	39.92	58.74	27.99	65.07	25
Y _{Ma}	81.26	-2.89	71.56	71.62	92
L _{Ma}	52.23	-42.42	13.6	44.55	162
V _{Ma}	30.57	1.41	-46.47	46.49	272

Daten für Maximalfarbe (Ma):

$LAB^*LAB^*_{Ma}$: 71 -22 80

$LAB^*LCH^*_{Ma}$: 71 83 105

$lab^*olv^*_{Ma}$: 0.75 1.0 0.0

$lab^*rgb^*_{Ma}$: 0.82 1.0 0.0

Dreiecks-Helligkeit i^*

%Umfang

$u^*_{rel} = 88$

%Regularität

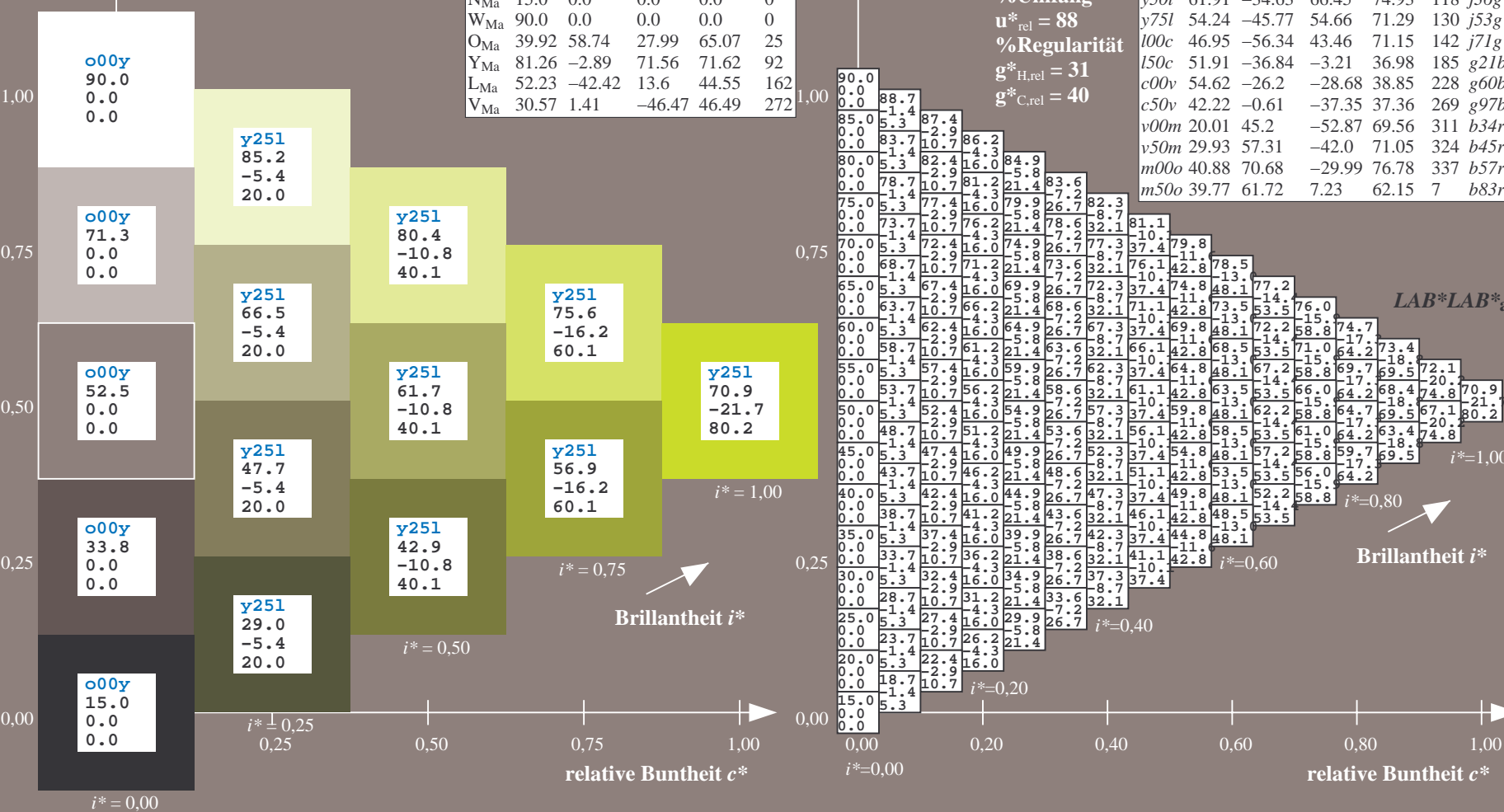
$g^*_{H,rel} = 31$

$g^*_{C,rel} = 40$

FRS15_90a; adaptierte CIELAB-Daten

u^*_d	$L^*=L^*_a$	a^*_a	b^*_a	$C^*_{ab,a}$	$h^*_{ab,a}$	u^*_e
o00y	38.8	53.92	39.68	66.95	36	r16j
o25y	47.46	42.34	51.25	66.48	50	r37j
o50y	56.54	30.2	63.39	70.22	65	r58j
o75y	67.39	15.68	77.9	79.47	79	r79j
y00l	82.58	-4.64	98.22	98.33	93	j01g
y25l	70.85	-21.66	80.19	83.07	105	j18g
y50l	61.91	-34.63	66.45	74.93	118	j36g
y75l	54.24	-45.77	54.66	71.29	130	j53g
l00c	46.95	-56.34	43.46	71.15	142	j71g
l50c	51.91	-36.84	-3.21	36.98	185	g21b
c00v	54.62	-26.2	-28.68	38.85	228	g60b
c50v	42.22	-0.61	-37.35	37.36	269	g97b
v00m	20.01	45.2	-52.87	69.56	311	b34r
v50m	29.93	57.31	-42.0	71.05	324	b45r
m00o	40.88	70.68	-29.99	76.78	337	b57r
m50o	39.77	61.72	7.23	62.15	7	b83r

$u^*_d = y25l$
 $LAB^*LAB^*_a$



Ein und Ausgabe: Farbmetrisches Drucker-Reflektiv-System FRS15_90a für relativen CIELAB-Buntton $h^* = lab^*h^* = h_{ab}/360 = 0.326$

Daten für jede Farbe:

lab^*ch^* und lab^*icu^*

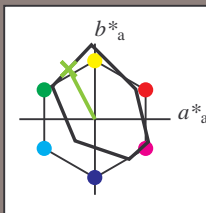
Bunttontexte:

$u^*_d = y50l$ $u^*_e = j36g$

Kontrastreduzierungsfaktor:

$c_R = 0.9$

Dreiecks-Helligkeit i^*



FRS15_90a; adaptierte CIELAB-Daten

u^*_d	$L^*=L^*_a$	a^*_a	b^*_a	$C^*_{ab,a}$	$h^*_{ab,a}$
O _{Ma}	38.8	53.92	39.68	66.95	36
Y _{Ma}	82.58	-4.64	98.22	98.33	93
L _{Ma}	46.95	-56.34	43.46	71.15	142
C _{Ma}	54.62	-26.2	-28.68	38.85	228
V _{Ma}	20.01	45.2	-52.87	69.56	311
M _{Ma}	40.88	70.68	-29.99	76.78	337
N _{Ma}	15.0	0.0	0.0	0.0	0
W _{Ma}	90.0	0.0	0.0	0.0	0
O _{Ma}	39.92	58.74	27.99	65.07	25
Y _{Ma}	81.26	-2.89	71.56	71.62	92
L _{Ma}	52.23	-42.42	13.6	44.55	162
V _{Ma}	30.57	1.41	-46.47	46.49	272

Daten für Maximalfarbe (Ma):

$LAB^*LAB^*_{Ma}$: 62 -35 66

$LAB^*LCH^*_{Ma}$: 62 75 117

$lab^*olv^*_{Ma}$: 0.5 1.0 0.0

$lab^*rgb^*_{Ma}$: 0.64 1.0 0.0

Dreiecks-Helligkeit i^*

%Umfang

$u^*_{rel} = 88$

%Regularität

$g^*_{H,rel} = 31$

$g^*_{C,rel} = 40$

FRS15_90a; adaptierte CIELAB-Daten

u^*_d	$L^*=L^*_a$	a^*_a	b^*_a	$C^*_{ab,a}$	$h^*_{ab,a}$	u^*_e
o00y	38.8	53.92	39.68	66.95	36	r16j
o25y	47.46	42.34	51.25	66.48	50	r37j
o50y	56.54	30.2	63.39	70.22	65	r58j
o75y	67.39	15.68	77.9	79.47	79	r79j
y00l	82.58	-4.64	98.22	98.33	93	j01g
y25l	70.85	-21.66	80.19	83.07	105	j18g
y50l	61.91	-34.63	66.45	74.93	118	j36g
y75l	54.24	-45.77	54.66	71.29	130	j53g
l00c	46.95	-56.34	43.46	71.15	142	j71g
l50c	51.91	-36.84	-3.21	36.98	185	g21b
c00v	54.62	-26.2	-28.68	38.85	228	g60b
c50v	42.22	-0.61	-37.35	37.36	269	g97b
v00m	20.01	45.2	-52.87	69.56	311	b34r
v50m	29.93	57.31	-42.0	71.05	324	b45r
m00o	40.88	70.68	-29.99	76.78	337	b57r
m50o	39.77	61.72	7.23	62.15	7	b83r

$u^*_d = y50l$
 $LAB^*LAB^*_{Ma}$

$LAB^*LAB^*_{Ma}$

$i^* = 1.00$

Brillantheit i^*

$i^* = 0.80$

$i^* = 0.60$

$i^* = 0.40$

$i^* = 0.20$

$i^* = 0.00$

relative Buntheit c^*

Ein und Ausgabe: Farbmetrisches Drucker-Reflektiv-System FRS15_90a für relativen CIELAB-Buntton $h^* = \text{lab}^*h^* = h_{ab}/360 = 0.361$

Daten für jede Farbe:

lab^*tch^* und lab^*icu^*

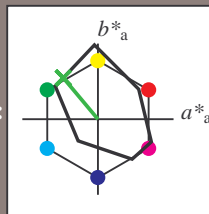
Bunttontexte:

$u^*_d = y75l$ $u^*_e = j53g$

Kontrastreduzierungsfaktor:

$c_R = 0.9$

Dreiecks-Helligkeit i^*



FRS15_90a; adaptierte CIELAB-Daten

u^*_d	$L^*=L^*_a$	a^*_a	b^*_a	$C^*_{ab,a}$	$h^*_{ab,a}$
O _{Ma}	38.8	53.92	39.68	66.95	36
Y _{Ma}	82.58	-4.64	98.22	98.33	93
L _{Ma}	46.95	-56.34	43.46	71.15	142
C _{Ma}	54.62	-26.2	-28.68	38.85	228
V _{Ma}	20.01	45.2	-52.87	69.56	311
M _{Ma}	40.88	70.68	-29.99	76.78	337
N _{Ma}	15.0	0.0	0.0	0.0	0
W _{Ma}	90.0	0.0	0.0	0.0	0
O _{Ma}	39.92	58.74	27.99	65.07	25
Y _{Ma}	81.26	-2.89	71.56	71.62	92
L _{Ma}	52.23	-42.42	13.6	44.55	162
V _{Ma}	30.57	1.41	-46.47	46.49	272

Daten für Maximalfarbe (Ma):

$\text{LAB}^*\text{LAB}^*_{Ma}$: 54 -46 55

$\text{LAB}^*\text{LCH}^*_{Ma}$: 54 71 129

$\text{lab}^*\text{olv}^*_{Ma}$: 0.25 1.0 0.0

$\text{lab}^*\text{rgb}^*_{Ma}$: 0.46 1.0 0.0

Dreiecks-Helligkeit i^*

%Umfang

$u^*_{rel} = 88$

%Regularität

$g^*_{H,rel} = 31$

$g^*_{C,rel} = 40$

FRS15_90a; adaptierte CIELAB-Daten

u^*_d	$L^*=L^*_a$	a^*_a	b^*_a	$C^*_{ab,a}$	$h^*_{ab,a}$	u^*_e
o00y	38.8	53.92	39.68	66.95	36	r16j
o25y	47.46	42.34	51.25	66.48	50	r37j
o50y	56.54	30.2	63.39	70.22	65	r58j
o75y	67.39	15.68	77.9	79.47	79	r79j
y00l	82.58	-4.64	98.22	98.33	93	j01g
y25l	70.85	-21.66	80.19	83.07	105	j18g
y50l	61.91	-34.63	66.45	74.93	118	j36g
y75l	54.24	-45.77	54.66	71.29	130	j53g
l00c	46.95	-56.34	43.46	71.15	142	j71g
l50c	51.91	-36.84	-3.21	36.98	185	g21b
c00v	54.62	-26.2	-28.68	38.85	228	g60b
c50v	42.22	-0.61	-37.35	37.36	269	g97b
v00m	20.01	45.2	-52.87	69.56	311	b34r
v50m	29.93	57.31	-42.0	71.05	324	b45r
m00o	40.88	70.68	-29.99	76.78	337	b57r
m50o	39.77	61.72	7.23	62.15	7	b83r

$u^*_d = y75l$
 $\text{LAB}^*\text{LAB}^*_{Ma}$

$\text{LAB}^*\text{LAB}^*_{Ma}$

$i^* = 1.00$

Brillantheit i^*

$i^* = 0.80$

$i^* = 0.60$

$i^* = 0.40$

$i^* = 0.20$

$i^* = 0.00$

relative Bunttheit c^*

relative Bunttheit c^*

Ein und Ausgabe: Farbmetrisches Drucker-Reflektiv-System FRS15_90a für relativen CIELAB-Buntton $h^* = lab^*h^* = h_{ab}/360 = 0.395$

Daten für jede Farbe:

lab^*ch^* und lab^*icu^*

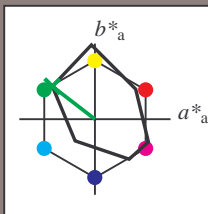
Bunttontexte:

$u^*_d = 100c$ $u^*_e = j71g$

Kontrastreduzierungsfaktor:

$c_R = 0.9$

Dreiecks-Helligkeit i^*



FRS15_90a; adaptierte CIELAB-Daten

u^*_d	$L^*=L^*_a$	a^*_a	b^*_a	$C^*_{ab,a}$	$h^*_{ab,a}$
O _{Ma}	38.8	53.92	39.68	66.95	36
Y _{Ma}	82.58	-4.64	98.22	98.33	93
L _{Ma}	46.95	-56.34	43.46	71.15	142
C _{Ma}	54.62	-26.2	-28.68	38.85	228
V _{Ma}	20.01	45.2	-52.87	69.56	311
M _{Ma}	40.88	70.68	-29.99	76.78	337
N _{Ma}	15.0	0.0	0.0	0.0	0
W _{Ma}	90.0	0.0	0.0	0.0	0
O _{Ma}	39.92	58.74	27.99	65.07	25
Y _{Ma}	81.26	-2.89	71.56	71.62	92
L _{Ma}	52.23	-42.42	13.6	44.55	162
V _{Ma}	30.57	1.41	-46.47	46.49	272

Daten für Maximalfarbe (Ma):

$LAB^*LAB^*_{Ma}$: 47 -56 43

$LAB^*LCH^*_{Ma}$: 47 71 142

$lab^*olv^*_{Ma}$: 0.0 1.0 0.0

$lab^*rgb^*_{Ma}$: 0.28 1.0 0.0

Dreiecks-Helligkeit i^*

%Umfang

$u^*_{rel} = 88$

%Regularität

$g^*_{H,rel} = 31$

$g^*_{C,rel} = 40$

FRS15_90a; adaptierte CIELAB-Daten

u^*_d	$L^*=L^*_a$	a^*_a	b^*_a	$C^*_{ab,a}$	$h^*_{ab,a}$	u^*_e
o00y	38.8	53.92	39.68	66.95	36	r16j
o25y	47.46	42.34	51.25	66.48	50	r37j
o50y	56.54	30.2	63.39	70.22	65	r58j
o75y	67.39	15.68	77.9	79.47	79	r79j
y00l	82.58	-4.64	98.22	98.33	93	j01g
y25l	70.85	-21.66	80.19	83.07	105	j18g
y50l	61.91	-34.63	66.45	74.93	118	j36g
y75l	54.24	-45.77	54.66	71.29	130	j53g
l00c	46.95	-56.34	43.46	71.15	142	j71g
l50c	51.91	-36.84	-3.21	36.98	185	g21b
c00v	54.62	-26.2	-28.68	38.85	228	g60b
c50v	42.22	-0.61	-37.35	37.36	269	g97b
v00m	20.01	45.2	-52.87	69.56	311	b34r
v50m	29.93	57.31	-42.0	71.05	324	b45r
m00o	40.88	70.68	-29.99	76.78	337	b57r
m50o	39.77	61.72	7.23	62.15	7	b83r

$u^*_d = 100c$
 $LAB^*LAB^*_{Ma}$

$LAB^*LAB^*_{Ma}$

$i^* = 1.00$

Brillantheit i^*

$i^* = 0.80$

$i^* = 0.60$

$i^* = 0.40$

$i^* = 0.20$

$i^* = 0.00$

relative Buntheit c^*

relative Buntheit c^*

Ein und Ausgabe: Farbmetrisches Drucker-Reflektiv-System FRS15_90a für relativen CIELAB-Buntton $h^* = lab^*h^* = h_{ab}/360 = 0.514$

Daten für jede Farbe:

lab^*ch^* und lab^*icu^*

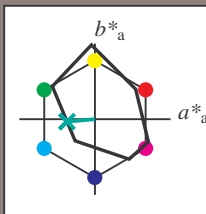
Bunttontexte:

$u^*_d = 150c$ $u^*_e = g21b$

Kontrastreduzierungsfaktor:

$c_R = 0.9$

Dreiecks-Helligkeit i^*



FRS15_90a; adaptierte CIELAB-Daten

u^*_d	$L^*=L^*_a$	a^*_a	b^*_a	$C^*_{ab,a}$	$h^*_{ab,a}$
O _{Ma}	38.8	53.92	39.68	66.95	36
Y _{Ma}	82.58	-4.64	98.22	98.33	93
L _{Ma}	46.95	-56.34	43.46	71.15	142
C _{Ma}	54.62	-26.2	-28.68	38.85	228
V _{Ma}	20.01	45.2	-52.87	69.56	311
M _{Ma}	40.88	70.68	-29.99	76.78	337
N _{Ma}	15.0	0.0	0.0	0.0	0
W _{Ma}	90.0	0.0	0.0	0.0	0
O _{Ma}	39.92	58.74	27.99	65.07	25
Y _{Ma}	81.26	-2.89	71.56	71.62	92
L _{Ma}	52.23	-42.42	13.6	44.55	162
V _{Ma}	30.57	1.41	-46.47	46.49	272

Daten für Maximalfarbe (Ma):

$LAB^*LAB^*_{Ma}$: 52 -37 -3

$LAB^*LCH^*_{Ma}$: 52 37 184

$lab^*olv^*_{Ma}$: 0.0 1.0 0.5

$lab^*rgb^*_{Ma}$: 0.0 1.0 0.42

Dreiecks-Helligkeit i^*

%Umfang

$u^*_{rel} = 88$

%Regularität

$g^*_{H,rel} = 31$

$g^*_{C,rel} = 40$

FRS15_90a; adaptierte CIELAB-Daten

u^*_d	$L^*=L^*_a$	a^*_a	b^*_a	$C^*_{ab,a}$	$h^*_{ab,a}$	u^*_e
o00y	38.8	53.92	39.68	66.95	36	r16j
o25y	47.46	42.34	51.25	66.48	50	r37j
o50y	56.54	30.2	63.39	70.22	65	r58j
o75y	67.39	15.68	77.9	79.47	79	r79j
y00l	82.58	-4.64	98.22	98.33	93	j01g
y25l	70.85	-21.66	80.19	83.07	105	j18g
y50l	61.91	-34.63	66.45	74.93	118	j36g
y75l	54.24	-45.77	54.66	71.29	130	j53g
l00c	46.95	-56.34	43.46	71.15	142	j71g
l50c	51.91	-36.84	-3.21	36.98	185	g21b
c00v	54.62	-26.2	-28.68	38.85	228	g60b
c50v	42.22	-0.61	-37.35	37.36	269	g97b
v00m	20.01	45.2	-52.87	69.56	311	b34r
v50m	29.93	57.31	-42.0	71.05	324	b45r
m00o	40.88	70.68	-29.99	76.78	337	b57r
m50o	39.77	61.72	7.23	62.15	7	b83r

$u^*_d = 150c$
 $LAB^*LAB^*_{Ma}$

$LAB^*LAB^*_{Ma}$

$i^* = 1.00$

Brillantheit i^*

$i^* = 0.80$

$i^* = 0.60$

$i^* = 0.40$

$i^* = 0.20$

$i^* = 0.00$

Ein und Ausgabe: Farbmimetrisches Drucker-Reflektiv-System FRS15_90a für relativen CIELAB-Buntton $h^* = \text{lab}^*h^* = h_{ab}/360 = 0.632$

Daten für jede Farbe:

lab^*tch^* und lab^*icu^*

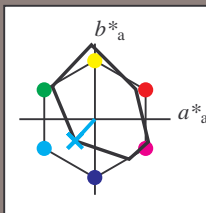
Bunttontexte:

$u^*_d = c00v$ $u^*_e = g60b$

Kontrastreduzierungsfaktor:

$c_R = 0.9$

Dreiecks-Helligkeit t^*



FRS15_90a; adaptierte CIELAB-Daten

u^*_d	$L^*=L^*_a$	a^*_a	b^*_a	$C^*_{ab,a}$	$h^*_{ab,a}$
O _{Ma}	38.8	53.92	39.68	66.95	36
Y _{Ma}	82.58	-4.64	98.22	98.33	93
L _{Ma}	46.95	-56.34	43.46	71.15	142
C _{Ma}	54.62	-26.2	-28.68	38.85	228
V _{Ma}	20.01	45.2	-52.87	69.56	311
M _{Ma}	40.88	70.68	-29.99	76.78	337
N _{Ma}	15.0	0.0	0.0	0.0	0
W _{Ma}	90.0	0.0	0.0	0.0	0
O _{Ma}	39.92	58.74	27.99	65.07	25
Y _{Ma}	81.26	-2.89	71.56	71.62	92
L _{Ma}	52.23	-42.42	13.6	44.55	162
V _{Ma}	30.57	1.41	-46.47	46.49	272

Daten für Maximalfarbe (Ma):

$\text{LAB}^*\text{LAB}^*_{Ma}$: 55 -26 -29

$\text{LAB}^*\text{LCH}^*_{Ma}$: 55 39 227

$\text{lab}^*\text{olv}^*_{Ma}$: 0.0 1.0 1.0

$\text{lab}^*\text{rgb}^*_{Ma}$: 0.0 0.81 1.0

Dreiecks-Helligkeit t^*

%Umfang

$u^*_{rel} = 88$

%Regularität

$g^*_{H,rel} = 31$

$g^*_{C,rel} = 40$

FRS15_90a; adaptierte CIELAB-Daten

u^*_d	$L^*=L^*_a$	a^*_a	b^*_a	$C^*_{ab,a}$	$h^*_{ab,a}$	u^*_e
o00y	38.8	53.92	39.68	66.95	36	r16j
o25y	47.46	42.34	51.25	66.48	50	r37j
o50y	56.54	30.2	63.39	70.22	65	r58j
o75y	67.39	15.68	77.9	79.47	79	r79j
y00l	82.58	-4.64	98.22	98.33	93	j01g
y25l	70.85	-21.66	80.19	83.07	105	j18g
y50l	61.91	-34.63	66.45	74.93	118	j36g
y75l	54.24	-45.77	54.66	71.29	130	j53g
l00c	46.95	-56.34	43.46	71.15	142	j71g
l50c	51.91	-36.84	-3.21	36.98	185	g21b
c00v	54.62	-26.2	-28.68	38.85	228	g60b
c50v	42.22	-0.61	-37.35	37.36	269	g97b
v00m	20.01	45.2	-52.87	69.56	311	b34r
v50m	29.93	57.31	-42.0	71.05	324	b45r
m00o	40.88	70.68	-29.99	76.78	337	b57r
m50o	39.77	61.72	7.23	62.15	7	b83r

$\text{LAB}^*\text{LAB}^*_{Ma}$

$i^*=1.00$

Brillantheit i^*

$i^*=0.80$

$i^*=0.60$

$i^*=0.40$

$i^*=0.20$

Ein und Ausgabe: Farbmetrisches Drucker-Reflektiv-System FRS15_90a für relativen CIELAB-Buntton $h^* = \text{lab}^*h^* = h_{ab}/360 = 0.747$

Daten für jede Farbe:

lab^*tch^* und lab^*icu^*

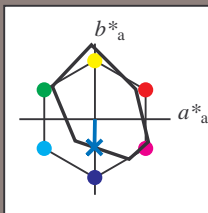
Bunttontexte:

$u^*_d = c50v$ $u^*_e = g97b$

Kontrastreduzierungsfaktor:

$c_R = 0.9$

Dreiecks-Helligkeit t^*



FRS15_90a; adaptierte CIELAB-Daten

u^*_d	$L^*=L^*_a$	a^*_a	b^*_a	$C^*_{ab,a}$	$h^*_{ab,a}$
O _{Ma}	38.8	53.92	39.68	66.95	36
Y _{Ma}	82.58	-4.64	98.22	98.33	93
L _{Ma}	46.95	-56.34	43.46	71.15	142
C _{Ma}	54.62	-26.2	-28.68	38.85	228
V _{Ma}	20.01	45.2	-52.87	69.56	311
M _{Ma}	40.88	70.68	-29.99	76.78	337
N _{Ma}	15.0	0.0	0.0	0.0	0
W _{Ma}	90.0	0.0	0.0	0.0	0
O _{Ma}	39.92	58.74	27.99	65.07	25
Y _{Ma}	81.26	-2.89	71.56	71.62	92
L _{Ma}	52.23	-42.42	13.6	44.55	162
V _{Ma}	30.57	1.41	-46.47	46.49	272

Daten für Maximalfarbe (Ma):

$\text{LAB}^*\text{LAB}^*_{Ma}$: 42 -1 -37

$\text{LAB}^*\text{LCH}^*_{Ma}$: 42 37 269

$\text{lab}^*\text{olv}^*_{Ma}$: 0.0 0.5 1.0

$\text{lab}^*\text{rgb}^*_{Ma}$: 0.0 0.05 1.0

Dreiecks-Helligkeit t^*

%Umfang

$u^*_{rel} = 88$

%Regularität

$g^*_{H,rel} = 31$

$g^*_{C,rel} = 40$

FRS15_90a; adaptierte CIELAB-Daten

u^*_d	$L^*=L^*_a$	a^*_a	b^*_a	$C^*_{ab,a}$	$h^*_{ab,a}$	u^*_e
o00y	38.8	53.92	39.68	66.95	36	r16j
o25y	47.46	42.34	51.25	66.48	50	r37j
o50y	56.54	30.2	63.39	70.22	65	r58j
o75y	67.39	15.68	77.9	79.47	79	r79j
y00l	82.58	-4.64	98.22	98.33	93	j01g
y25l	70.85	-21.66	80.19	83.07	105	j18g
y50l	61.91	-34.63	66.45	74.93	118	j36g
y75l	54.24	-45.77	54.66	71.29	130	j53g
l00c	46.95	-56.34	43.46	71.15	142	j71g
l50c	51.91	-36.84	-3.21	36.98	185	g21b
c00v	54.62	-26.2	-28.68	38.85	228	g60b
c50v	42.22	-0.61	-37.35	37.36	269	g97b
v00m	20.01	45.2	-52.87	69.56	311	b34r
v50m	29.93	57.31	-42.0	71.05	324	b45r
m00o	40.88	70.68	-29.99	76.78	337	b57r
m50o	39.77	61.72	7.23	62.15	7	b83r

$u^*_d = c50v$
 $\text{LAB}^*\text{LAB}^*_{Ma}$

$\text{LAB}^*\text{LAB}^*_{Ma}$

$i^* = 1.00$

Brillantheit i^*

relative Buntheit c^*

Ein und Ausgabe: Farbmetrisches Drucker-Reflektiv-System FRS15_90a für relativen CIELAB-Buntton $h^* = lab^*h^* = h_{ab}/360 = 0.863$

Daten für jede Farbe:

lab^*ch^* und lab^*icu^*

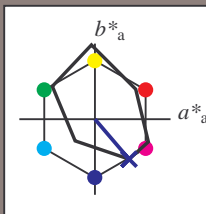
Bunttontexte:

$u^*_d = v00m$ $u^*_e = b34r$

Kontrastreduzierungsfaktor:

$c_R = 0.9$

Dreiecks-Helligkeit i^*



FRS15_90a; adaptierte CIELAB-Daten

u^*_d	$L^*=L^*_a$	a^*_a	b^*_a	$C^*_{ab,a}$	$h^*_{ab,a}$
O _{Ma}	38.8	53.92	39.68	66.95	36
Y _{Ma}	82.58	-4.64	98.22	98.33	93
L _{Ma}	46.95	-56.34	43.46	71.15	142
C _{Ma}	54.62	-26.2	-28.68	38.85	228
V _{Ma}	20.01	45.2	-52.87	69.56	311
M _{Ma}	40.88	70.68	-29.99	76.78	337
N _{Ma}	15.0	0.0	0.0	0.0	0
W _{Ma}	90.0	0.0	0.0	0.0	0
O _{Ma}	39.92	58.74	27.99	65.07	25
Y _{Ma}	81.26	-2.89	71.56	71.62	92
L _{Ma}	52.23	-42.42	13.6	44.55	162
V _{Ma}	30.57	1.41	-46.47	46.49	272

Daten für Maximalfarbe (Ma):

$LAB^*LAB^*_{Ma}$: 20 45 -53

$LAB^*LCH^*_{Ma}$: 20 70 310

$lab^*olv^*_{Ma}$: 0.0 0.0 1.0

$lab^*rgb^*_{Ma}$: 0.68 0.0 1.0

Dreiecks-Helligkeit i^*

%Umfang

$u^*_{rel} = 88$

%Regularität

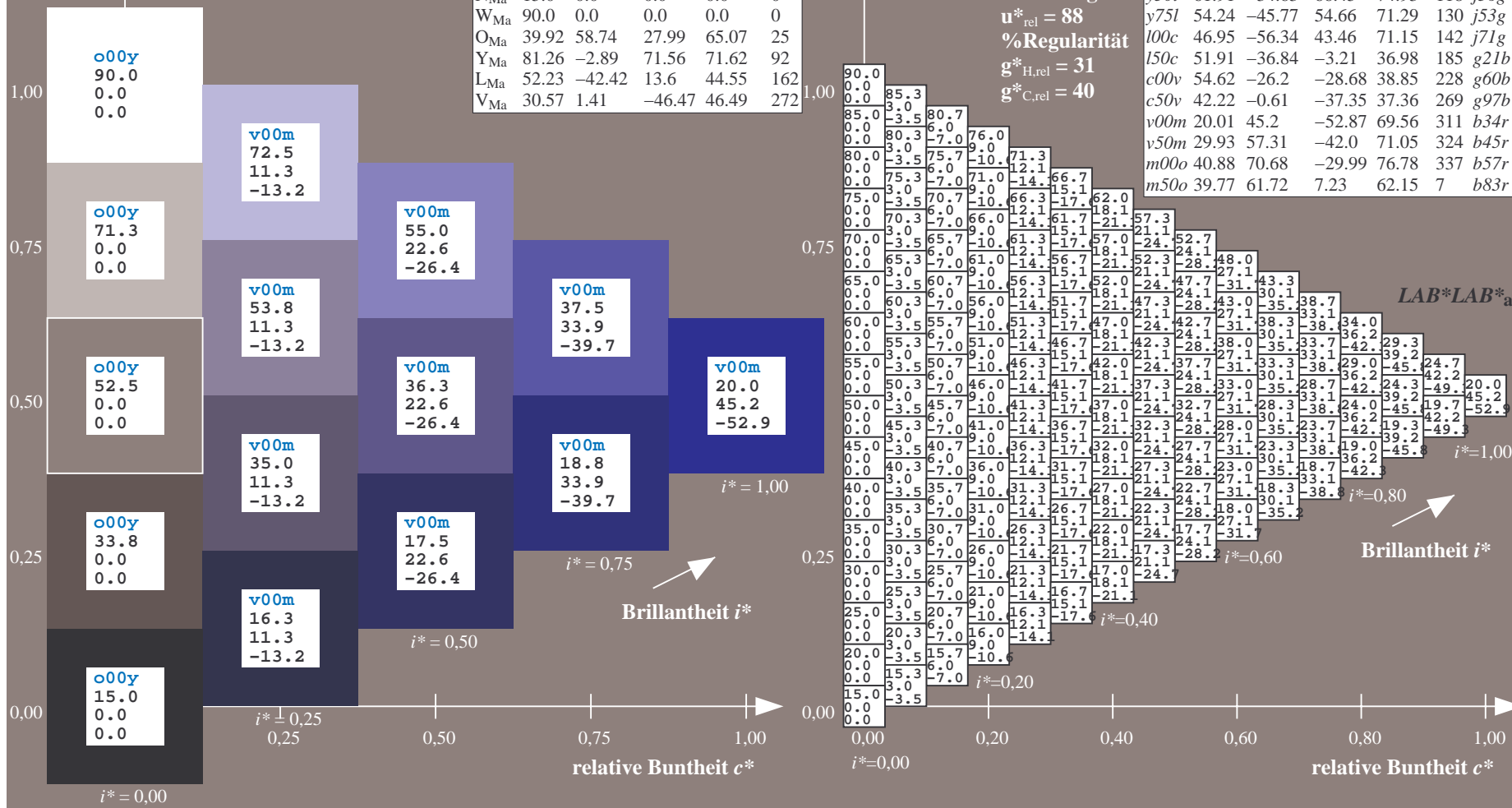
$g^*_{H,rel} = 31$

$g^*_{C,rel} = 40$

FRS15_90a; adaptierte CIELAB-Daten

u^*_d	$L^*=L^*_a$	a^*_a	b^*_a	$C^*_{ab,a}$	$h^*_{ab,a}$	u^*_e
o00y	38.8	53.92	39.68	66.95	36	r16j
o25y	47.46	42.34	51.25	66.48	50	r37j
o50y	56.54	30.2	63.39	70.22	65	r58j
o75y	67.39	15.68	77.9	79.47	79	r79j
y00l	82.58	-4.64	98.22	98.33	93	j01g
y25l	70.85	-21.66	80.19	83.07	105	j18g
y50l	61.91	-34.63	66.45	74.93	118	j36g
y75l	54.24	-45.77	54.66	71.29	130	j53g
l00c	46.95	-56.34	43.46	71.15	142	j71g
l50c	51.91	-36.84	-3.21	36.98	185	g21b
c00v	54.62	-26.2	-28.68	38.85	228	g60b
c50v	42.22	-0.61	-37.35	37.36	269	g97b
v00m	20.01	45.2	-52.87	69.56	311	b34r
v50m	29.93	57.31	-42.0	71.05	324	b45r
m00o	40.88	70.68	-29.99	76.78	337	b57r
m50o	39.77	61.72	7.23	62.15	7	b83r

$u^*_d = v00m$
 $LAB^*LAB^*_{Ma}$



Ein und Ausgabe: Farbmetrisches Drucker-Reflektiv-System FRS15_90a für relativen CIELAB-Buntton $h^* = lab^*h^* = h_{ab}/360 = 0.899$

Daten für jede Farbe:

lab^*tch^* und lab^*icu^*

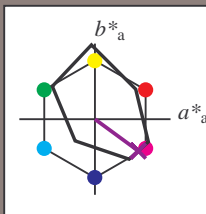
Bunttontexte:

$u^*_d = v50m$ $u^*_e = b45r$

Kontrastreduzierungsfaktor:

$c_R = 0.9$

Dreiecks-Helligkeit i^*



FRS15_90a; adaptierte CIELAB-Daten

	u^*_d	$L^*=L^*_a$	a^*_a	b^*_a	$C^*_{ab,a}$	$h^*_{ab,a}$
O _{Ma}	38.8	53.92	39.68	66.95	36	
Y _{Ma}	82.58	-4.64	98.22	98.33	93	
L _{Ma}	46.95	-56.34	43.46	71.15	142	
C _{Ma}	54.62	-26.2	-28.68	38.85	228	
V _{Ma}	20.01	45.2	-52.87	69.56	311	
M _{Ma}	40.88	70.68	-29.99	76.78	337	
N _{Ma}	15.0	0.0	0.0	0.0	0	
W _{Ma}	90.0	0.0	0.0	0.0	0	
O _{Ma}	39.92	58.74	27.99	65.07	25	
Y _{Ma}	81.26	-2.89	71.56	71.62	92	
L _{Ma}	52.23	-42.42	13.6	44.55	162	
V _{Ma}	30.57	1.41	-46.47	46.49	272	

Daten für Maximalfarbe (Ma):

$LAB^*LAB^*_{Ma}$: 30 57 -42

$LAB^*LCH^*_{Ma}$: 30 71 323

$lab^*olv^*_{Ma}$: 0.5 0.0 1.0

$lab^*rgb^*_{Ma}$: 0.91 0.0 1.0

Dreiecks-Helligkeit i^*

%Umfang

$u^*_{rel} = 88$

%Regularität

$g^*_{H,rel} = 31$

$g^*_{C,rel} = 40$

FRS15_90a; adaptierte CIELAB-Daten

	u^*_d	$L^*=L^*_a$	a^*_a	b^*_a	$C^*_{ab,a}$	$h^*_{ab,a}$	u^*_e
o00y	38.8	53.92	39.68	66.95	36		r16j
o25y	47.46	42.34	51.25	66.48	50		r37j
o50y	56.54	30.2	63.39	70.22	65		r58j
o75y	67.39	15.68	77.9	79.47	79		r79j
y00l	82.58	-4.64	98.22	98.33	93		j01g
y25l	70.85	-21.66	80.19	83.07	105		j18g
y50l	61.91	-34.63	66.45	74.93	118		j36g
y75l	54.24	-45.77	54.66	71.29	130		j53g
l00c	46.95	-56.34	43.46	71.15	142		j71g
l50c	51.91	-36.84	-3.21	36.98	185		g21b
c00v	54.62	-26.2	-28.68	38.85	228		g60b
c50v	42.22	-0.61	-37.35	37.36	269		g97b
v00m	20.01	45.2	-52.87	69.56	311		b34r
v50m	29.93	57.31	-42.0	71.05	324		b45r
m00o	40.88	70.68	-29.99	76.78	337		b57r
m50o	39.77	61.72	7.23	62.15	7		b83r

$u^*_d = v50m$
 $LAB^*LAB^*_a$

Ein und Ausgabe: Farbmetrisches Drucker-Reflektiv-System FRS15_90a für relativen CIELAB-Buntton $h^* = lab^*h^* = h_{ab}/360 = 0.936$

Daten für jede Farbe:

lab^*tch^* und lab^*icu^*

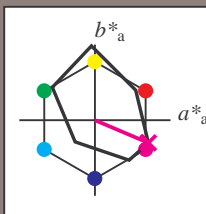
Bunttontexte:

$u^*_d = m00o$ $u^*_e = b57r$

Kontrastreduzierungsfaktor:

$c_R = 0.9$

Dreiecks-Helligkeit i^*



FRS15_90a; adaptierte CIELAB-Daten

u^*_d	$L^*=L^*_a$	a^*_a	b^*_a	$C^*_{ab,a}$	$h^*_{ab,a}$
O _{Ma}	38.8	53.92	39.68	66.95	36
Y _{Ma}	82.58	-4.64	98.22	98.33	93
L _{Ma}	46.95	-56.34	43.46	71.15	142
C _{Ma}	54.62	-26.2	-28.68	38.85	228
V _{Ma}	20.01	45.2	-52.87	69.56	311
M _{Ma}	40.88	70.68	-29.99	76.78	337
N _{Ma}	15.0	0.0	0.0	0.0	0
W _{Ma}	90.0	0.0	0.0	0.0	0
O _{Ma}	39.92	58.74	27.99	65.07	25
Y _{Ma}	81.26	-2.89	71.56	71.62	92
L _{Ma}	52.23	-42.42	13.6	44.55	162
V _{Ma}	30.57	1.41	-46.47	46.49	272

Daten für Maximalfarbe (Ma):

$LAB^*LAB^*_{Ma}$: 41 71 -30

$LAB^*LCH^*_{Ma}$: 41 77 337

$lab^*olv^*_{Ma}$: 1.0 0.0 1.0

$lab^*rgb^*_{Ma}$: 1.0 0.0 0.85

Dreiecks-Helligkeit i^*

%Umfang

$u^*_{rel} = 88$

%Regularität

$g^*_{H,rel} = 31$

$g^*_{C,rel} = 40$

FRS15_90a; adaptierte CIELAB-Daten

u^*_d	$L^*=L^*_a$	a^*_a	b^*_a	$C^*_{ab,a}$	$h^*_{ab,a}$	u^*_e
o00y	38.8	53.92	39.68	66.95	36	r16j
o25y	47.46	42.34	51.25	66.48	50	r37j
o50y	56.54	30.2	63.39	70.22	65	r58j
o75y	67.39	15.68	77.9	79.47	79	r79j
y00l	82.58	-4.64	98.22	98.33	93	j01g
y25l	70.85	-21.66	80.19	83.07	105	j18g
y50l	61.91	-34.63	66.45	74.93	118	j36g
y75l	54.24	-45.77	54.66	71.29	130	j53g
l00c	46.95	-56.34	43.46	71.15	142	j71g
l50c	51.91	-36.84	-3.21	36.98	185	g21b
c00v	54.62	-26.2	-28.68	38.85	228	g60b
c50v	42.22	-0.61	-37.35	37.36	269	g97b
v00m	20.01	45.2	-52.87	69.56	311	b34r
v50m	29.93	57.31	-42.0	71.05	324	b45r
m00o	40.88	70.68	-29.99	76.78	337	b57r
m50o	39.77	61.72	7.23	62.15	7	b83r

$u^*_d = m00o$
 $LAB^*LAB^*_{Ma}$

$LAB^*LAB^*_{Ma}$

$i^* = 1.00$

Brillantheit i^*

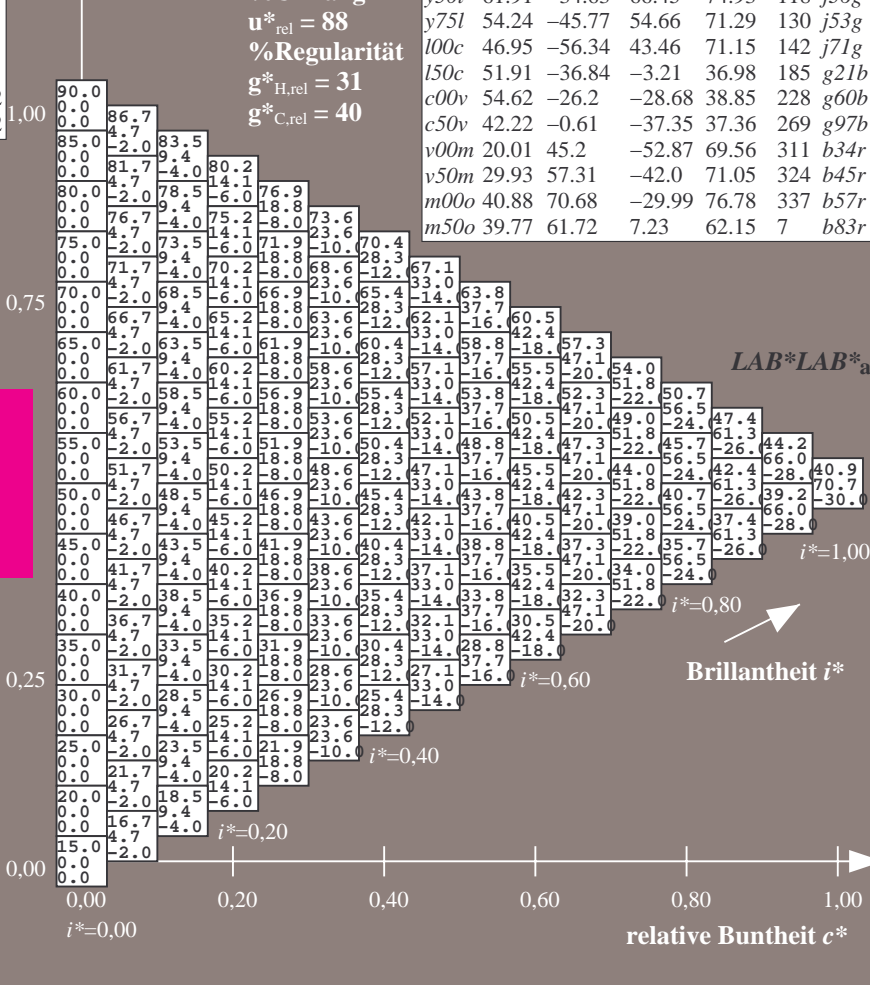
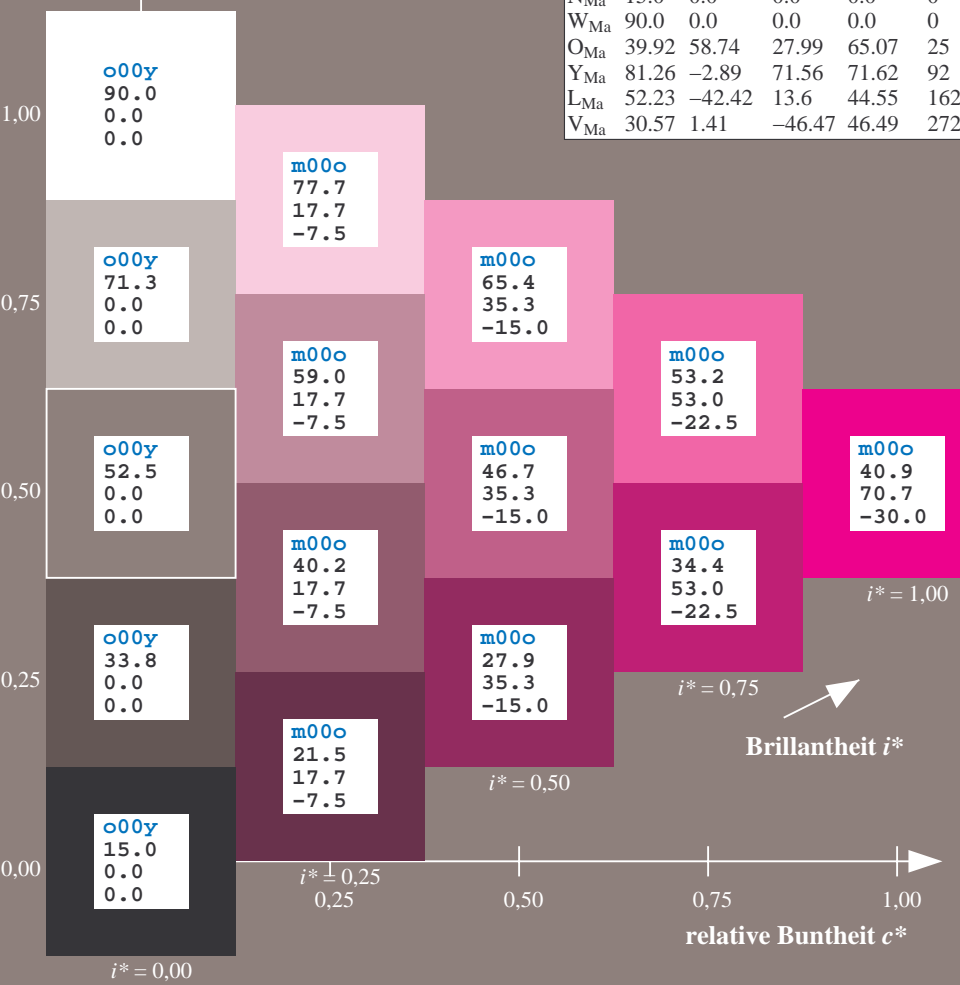
$i^* = 0.80$

$i^* = 0.60$

$i^* = 0.40$

$i^* = 0.20$

$i^* = 0.00$



Ein und Ausgabe: Farbmetrisches Drucker-Reflektiv-System FRS15_90a für relativen CIELAB-Buntton $h^* = \text{lab}^*h^* = h_{ab}/360 = 0.019$

Daten für jede Farbe:

lab^*tch^* und lab^*icu^*

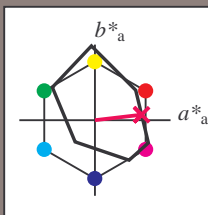
Bunttontexte:

$u^*_d = m50o$ $u^*_e = b83r$

Kontrastreduzierungsfaktor:

$c_R = 0.9$

Dreiecks-Helligkeit i^*



FRS15_90a; adaptierte CIELAB-Daten						
u^*_d	$L^*=L^*_a$	a^*_a	b^*_a	$C^*_{ab,a}$	$h^*_{ab,a}$	
O _{Ma}	38.8	53.92	39.68	66.95	36	
Y _{Ma}	82.58	-4.64	98.22	98.33	93	
L _{Ma}	46.95	-56.34	43.46	71.15	142	
C _{Ma}	54.62	-26.2	-28.68	38.85	228	
V _{Ma}	20.01	45.2	-52.87	69.56	311	
M _{Ma}	40.88	70.68	-29.99	76.78	337	
N _{Ma}	15.0	0.0	0.0	0.0	0	
W _{Ma}	90.0	0.0	0.0	0.0	0	
O _{Ma}	39.92	58.74	27.99	65.07	25	
Y _{Ma}	81.26	-2.89	71.56	71.62	92	
L _{Ma}	52.23	-42.42	13.6	44.55	162	
V _{Ma}	30.57	1.41	-46.47	46.49	272	

Daten für Maximalfarbe (Ma):

$\text{LAB}^*\text{LAB}^*_{Ma}$: 40 62 7

$\text{LAB}^*\text{LCH}^*_{Ma}$: 40 62 6

$\text{lab}^*\text{olv}^*_{Ma}$: 1.0 0.0 0.5

$\text{lab}^*\text{rgb}^*_{Ma}$: 1.0 0.0 0.33

Dreiecks-Helligkeit i^*

%Umfang

$u^*_{rel} = 88$

%Regularität

$g^*_{H,rel} = 31$

$g^*_{C,rel} = 40$

FRS15_90a; adaptierte CIELAB-Daten									
u^*_d	$L^*=L^*_a$	a^*_a	b^*_a	$C^*_{ab,a}$	$h^*_{ab,a}$	u^*_e			
o00y	38.8	53.92	39.68	66.95	36	r16j			
o25y	47.46	42.34	51.25	66.48	50	r37j			
o50y	56.54	30.2	63.39	70.22	65	r58j			
o75y	67.39	15.68	77.9	79.47	79	r79j			
y00l	82.58	-4.64	98.22	98.33	93	j01g			
y25l	70.85	-21.66	80.19	83.07	105	j18g			
y50l	61.91	-34.63	66.45	74.93	118	j36g			
y75l	54.24	-45.77	54.66	71.29	130	j53g			
l00c	46.95	-56.34	43.46	71.15	142	j71g			
l50c	51.91	-36.84	-3.21	36.98	185	g21b			
c00v	54.62	-26.2	-28.68	38.85	228	g60b			
c50v	42.22	-0.61	-37.35	37.36	269	g97b			
v00m	20.01	45.2	-52.87	69.56	311	b34r			
v50m	29.93	57.31	-42.0	71.05	324	b45r			
m00o	40.88	70.68	-29.99	76.78	337	b57r			
m50o	39.77	61.72	7.23	62.15	7	b83r			

$\text{LAB}^*\text{LAB}^*_{Ma}$

$i^* = 1.00$

Brillantheit i^*

$i^* = 0.80$

$i^* = 0.60$

$i^* = 0.40$

$i^* = 0.20$

$i^* = 0.00$

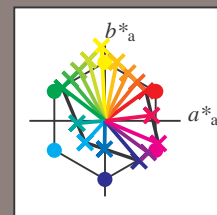
relative Buntheit c^*

Siehe ähnliche Dateien: <http://www.ps.bam.de/Eg41/>; www.ps.bam.de/Eg41/10L/L41G00NA.PS/.TXT BAM-Material: Code=th4ta
Technische Information: <http://www.ps.bam.de/Version 2.1, io=1.1, ColSp=0>

	A	B	C	D	E	F	G	H	I	J	K	L	M	N	O	P	Q	R	S	T	U	V	W	X	Y	Z	a	b	c	d	e	f	g	h	i	j	k	LAB*LAB*a
01	15.0	19.0	23.0	27.0	31.0	35.0	39.0	43.0	47.0	51.0	55.0	59.0	63.0	67.0	71.0	75.0	79.0	83.0	87.0	91.0	95.0	99.0	103.0	107.0	111.0	115.0	119.0	123.0	127.0	131.0	135.0	139.0	143.0	147.0	151.0	155.0	159.0	163.0
02	15.6	20.0	24.2	28.4	32.6	36.7	40.8	44.9	48.9	52.9	56.9	60.9	64.9	68.9	72.9	76.9	80.9	84.9	88.9	92.9	96.9	100.9	104.9	108.9	112.9	116.9	120.9	124.9	128.9	132.9	136.9	140.9	144.9	148.9	152.9	156.9	160.9	
03	16.3	21.8	26.9	32.0	37.1	42.1	47.1	52.1	57.1	62.1	67.1	72.1	77.1	82.1	87.1	92.1	97.1	102.1	107.1	112.1	117.1	122.1	127.1	132.1	137.1	142.1	147.1	152.1	157.1	162.1	167.1	172.1	177.1	182.1	187.1	192.1	197.1	
04	17.0	22.4	27.6	32.8	38.0	43.2	48.4	53.6	58.8	64.0	69.2	74.4	79.6	84.8	90.0	95.2	100.4	105.6	110.8	116.0	121.2	126.4	131.6	136.8	142.0	147.2	152.4	157.6	162.8	168.0	173.2	178.4	183.6	188.8	194.0	199.2	204.4	
05	17.5	23.4	28.6	33.6	38.6	43.6	48.6	53.6	58.6	63.6	68.6	73.6	78.6	83.6	88.6	93.6	98.6	103.6	108.6	113.6	118.6	123.6	128.6	133.6	138.6	143.6	148.6	153.6	158.6	163.6	168.6	173.6	178.6	183.6	188.6	193.6	198.6	
06	18.1	24.5	30.3	36.1	41.9	47.7	53.5	59.3	65.1	70.9	76.7	82.5	88.3	94.1	99.9	105.7	111.5	117.3	123.1	128.9	134.7	140.5	146.3	152.1	157.9	163.7	169.5	175.3	181.1	186.9	192.7	198.5	204.3	210.1	215.9	221.7		
07	18.3	25.1	31.2	37.3	43.4	49.5	55.6	61.7	67.8	73.9	79.9	86.0	92.1	98.2	104.3	110.4	116.5	122.6	128.7	134.8	140.9	147.0	153.1	159.2	165.3	171.4	177.5	183.6	189.7	195.8	201.9	208.0	214.1	220.2	226.3	232.4		
08	18.6	25.9	32.4	38.9	45.4	51.9	58.4	64.9	71.4	77.9	84.4	90.9	97.4	103.9	110.4	116.9	123.4	129.9	136.4	142.9	149.4	155.9	162.4	168.9	175.4	181.9	188.4	194.9	201.4	207.9	214.4	220.9	227.4	233.9	240.4	246.9		
09	19.4	27.3	34.2	41.1	48.0	54.9	61.8	68.7	75.6	82.5	89.4	96.3	103.2	110.1	117.0	123.9	130.8	137.7	144.6	151.5	158.4	165.3	172.2	179.1	186.0	192.9	199.8	206.7	213.6	220.5	227.4	234.3	241.2	248.1	255.0	261.9		
10	20.0	28.7	36.3	43.9	51.5	59.1	66.7	74.3	81.9	89.5	97.1	104.7	112.3	119.9	127.5	135.1	142.7	150.3	157.9	165.5	173.1	180.7	188.3	195.9	203.5	211.1	218.7	226.3	233.9	241.5	249.1	256.7	264.3	271.9	279.5	287.1		
11	20.2	29.4	37.8	46.2	54.6	63.0	71.4	79.8	88.2	96.6	105.0	113.4	121.8	130.2	138.6	147.0	155.4	163.8	172.2	180.6	189.0	197.4	205.8	214.2	222.6	231.0	239.4	247.8	256.2	264.6	273.0	281.4	289.8	298.2	306.6	315.0		
12	20.4	30.3	39.6	48.9	58.2	67.5	76.8	86.1	95.4	104.7	114.0	123.3	132.6	141.9	151.2	160.5	169.8	179.1	188.4	197.7	207.0	216.3	225.6	234.9	244.2	253.5	262.8	272.1	281.4	290.7	300.0	309.3	318.6	327.9	337.2	346.5		
13	20.6	31.1	41.6	52.1	62.6	73.1	83.6	94.1	104.6	115.1	125.6	136.1	146.6	157.1	167.6	178.1	188.6	199.1	209.6	220.1	230.6	241.1	251.6	262.1	272.6	283.1	293.6	304.1	314.6	325.1	335.6	346.1	356.6	367.1	377.6	388.1		
14	21.1	32.4	44.7	57.0	69.3	81.6	93.9	106.2	118.5	130.8	143.1	155.4	167.7	180.0	192.3	204.6	216.9	229.2	241.5	253.8	266.1	278.4	290.7	303.0	315.3	327.6	339.9	352.2	364.5	376.8	389.1	401.4	413.7	426.0	438.3	450.6		
15	21.3	33.4	46.7	60.0	73.3	86.6	99.9	113.2	126.5	139.8	153.1	166.4	179.7	193.0	206.3	219.6	232.9	246.2	259.5	272.8	286.1	299.4	312.7	326.0	339.3	352.6	365.9	379.2	392.5	405.8	419.1	432.4	445.7	459.0	472.3	485.6		
16	21.5	34.3	48.6	62.9	77.2	91.5	105.8	120.1	134.4	148.7	163.0	177.3	191.6	205.9	220.2	234.5	248.8	263.1	277.4	291.7	306.0	320.3	334.6	348.9	363.2	377.5	391.8	406.1	420.4	434.7	449.0	463.3	477.6	491.9	506.2	520.5		
17	21.7	35.1	50.4	65.7	81.0	96.3	111.6	126.9	142.2	157.5	172.8	188.1	203.4	218.7	234.0	249.3	264.6	279.9	295.2	310.5	325.8	341.1	356.4	371.7	387.0	402.3	417.6	432.9	448.2	463.5	478.8	494.1	509.4	524.7	540.0	555.3		
18	22.0	36.4	52.7	69.0	85.3	101.6	117.9	134.2	150.5	166.8	183.1	199.4	215.7	232.0	248.3	264.6	280.9	297.2	313.5	329.8	346.1	362.4	378.7	395.0	411.3	427.6	443.9	460.2	476.5	492.8	509.1	525.4	541.7	558.0	574.3	590.6		
19	22.2	37.3	54.6	71.9	89.2	106.5	123.8	141.1	158.4	175.7	193.0	210.3	227.6	244.9	262.2	279.5	296.8	314.1	331.4	348.7	366.0	383.3	400.6	417.9	435.2	452.5	469.8	487.1	504.4	521.7	539.0	556.3	573.6	590.9	608.2	625.5		
20	22.4	38.4	56.7	75.0	93.3	111.6	129.9	148.2	166.5	184.8	203.1	221.4	239.7	258.0	276.3	294.6	312.9	331.2	349.5	367.8	386.1	404.4	422.7	441.0	459.3	477.6	495.9	514.2	532.5	550.8	569.1	587.4	605.7	624.0	642.3	660.6		
21	22.6	39.4	58.7	78.0	97.3	116.6	135.9	155.2	174.5	193.8	213.1	232.4	251.7	271.0	290.3	309.6	328.9	348.2	367.5	386.8	406.1	425.4	444.7	464.0	483.3	502.6	521.9	541.2	560.5	579.8	599.1	618.4	637.7	657.0	676.3	695.6		
22	22.8	40.3	60.6	80.9	101.2	121.5	141.8	162.1	182.4	202.7	223.0	243.3	263.6	283.9	304.2	324.5	344.8	365.1	385.4	405.7	426.0	446.3	466.6	486.9	507.2	527.5	547.8	568.1	588.4	608.7	629.0	649.3	669.6	689.9	710.2	730.5		
23	23.0	41.3	62.6	83.9	105.2	126.5	147.8	169.1	190.4	211.7	233.0	254.3	275.6	296.9	318.2	339.5	360.8	382.1	403.4	424.7	446.0	467.3	488.6	509.9	531.2	552.5	573.8	595.1	616.4	637.7	659.0	680.3	701.6	722.9	744.2	765.5		
24	23.2	42.3	63.6	84.9	106.2	127.5	148.8	170.1	191.4	212.7	234.0	255.3	276.6	297.9	319.2	340.5	361.8	383.1	404.4	425.7	447.0	468.3	489.6	510.9	532.2	553.5	574.8	596.1	617.4	638.7	660.0	681.3	702.6	723.9	745.2	766.5		
25	23.4	43.3	64.6	85.9	107.2	128.5	149.8	171.1	192.4	213.7	235.0	256.3	277.6	298.9	320.2	341.5	362.8	384.1	405.4	426.7	448.0	469.3	490.6	511.9	533.2	554.5	575.8	597.1	618.4	639.7	661.0	682.3	703.6	724.9	746.2	767.5		
26	23.6	44.3	65.6	86.9	108.2	129.5	150.8	172.1	193.4	214.7	236.0	257.3	278.6	299.9	321.2	342.5	363.8	385.1	406.4	427.7	449.0	470.3	491.6	512.9	534.2	555.5	576.8	598.1	619.4	640.7	662.0	683.3	704.6	725.9	747.2	768.5		
27	23.8	45.3	66.6	87.9	109.2	130.5	151.8	173.1	194.4	215.7	237.0	258.3	279.6	300.9	322.2	343.5	364.8	386.1	407.4	428.7	450.0	471.3	492.6	513.9	535.2	556.5	577.8	599.1	620.4	641.7	663.0	684.3	705.6	726.9	748.2	769.5		
28	24																																					

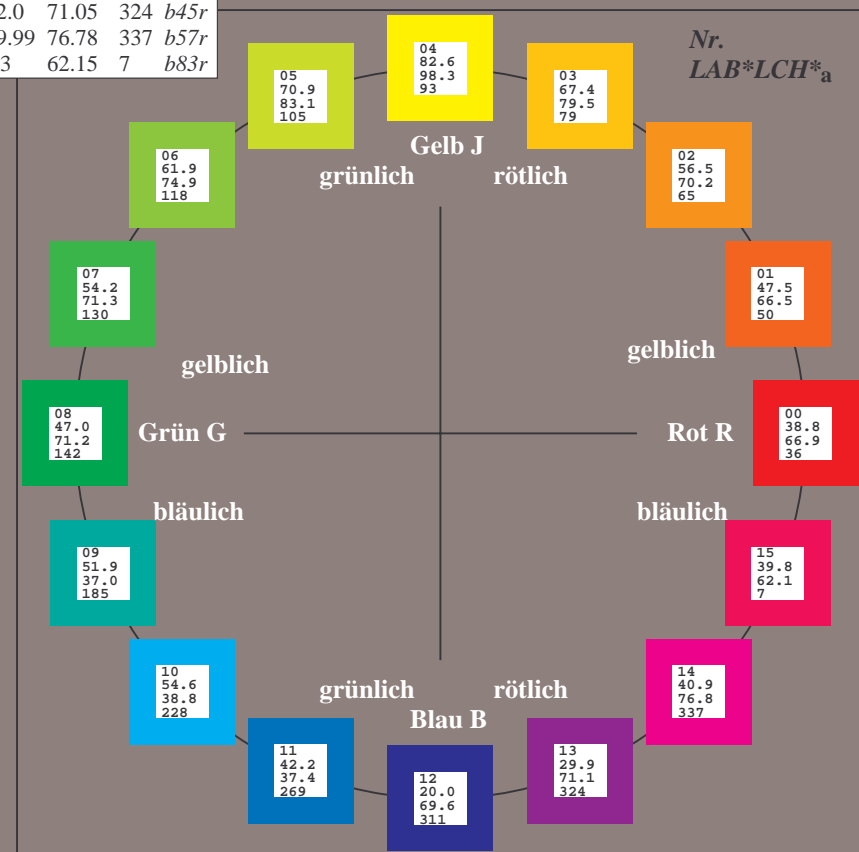
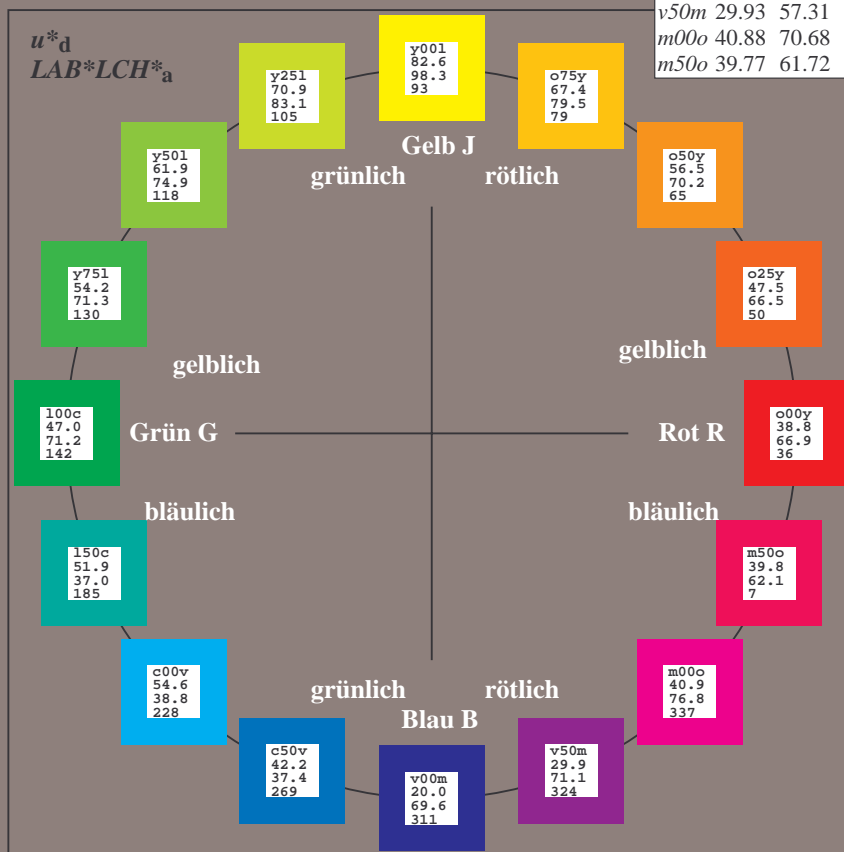
Ein und Ausgabe:
Farbmetrisches Drucker-Reflektiv-System FRS15_90a
Daten für jede Farbe:
 u^*_d und Nummer $Nr.$ = 00 .. 15
Geräte-Bunttontext:
 u^*_d = 16 Bunttoene $o00y$, $o25y$, ..., $m50o$
Kontrastreduzierungsfaktor:
 $c_R = 0.9$

FRS15_90a; adaptierte CIELAB-Daten						
u^*_d	$L^*=L^*_a$	a^*_a	b^*_a	$C^*_{ab,a}$	$h^*_{ab,a}$	u^*_e
$o00y$	38.8	53.92	39.68	66.95	36	$r16j$
$o25y$	47.46	42.34	51.25	66.48	50	$r37j$
$o50y$	56.54	30.2	63.39	70.22	65	$r58j$
$o75y$	67.39	15.68	77.9	79.47	79	$r79j$
$y00l$	82.58	-4.64	98.22	98.33	93	$j01g$
$y25l$	70.85	-21.66	80.19	83.07	105	$j18g$
$y50l$	61.91	-34.63	66.45	74.93	118	$j36g$
$y75l$	54.24	-45.77	54.66	71.29	130	$j53g$
$l00c$	46.95	-56.34	43.46	71.15	142	$j71g$
$l50c$	51.91	-36.84	-3.21	36.98	185	$g21b$
$c00v$	54.62	-26.2	-28.68	38.85	228	$g60b$
$c50v$	42.22	-0.61	-37.35	37.36	269	$g97b$
$v00m$	20.01	45.2	-52.87	69.56	311	$b34r$
$v50m$	29.93	57.31	-42.0	71.05	324	$b45r$
$m00o$	40.88	70.68	-29.99	76.78	337	$b57r$
$m50o$	39.77	61.72	7.23	62.15	7	$b83r$



%Umfang
 $u^*_{rel} = 88$
%Regularität
 $g^*_{H,rel} = 31$
 $g^*_{C,rel} = 40$

FRS15_90a; adaptierte CIELAB-Daten					
Name	$L^*=L^*_a$	a^*_a	b^*_a	$C^*_{ab,a}$	$h^*_{ab,a}$
O_{Ma}	38.8	53.92	39.68	66.95	36
Y_{Ma}	82.58	-4.64	98.22	98.33	93
L_{Ma}	46.95	-56.34	43.46	71.15	142
C_{Ma}	54.62	-26.2	-28.68	38.85	228
V_{Ma}	20.01	45.2	-52.87	69.56	311
M_{Ma}	40.88	70.68	-29.99	76.78	337
N_{Ma}	15.0	0.0	0.0	0.0	0
W_{Ma}	90.0	0.0	0.0	0.0	0
O_{CIE}	39.92	58.74	27.99	65.07	25
Y_{CIE}	81.26	-2.89	71.56	71.62	92
L_{CIE}	52.23	-42.42	13.6	44.55	162
V_{CIE}	30.57	1.41	-46.47	46.49	272



Ein und Ausgabe: Farbmetrisches Drucker-Reflektiv-System FRS15_90a für relativen CIELAB-Buntton $h^* = lab^*h^* = h_{ab}/360 = 0.101$

Daten für jede Farbe:

lab^*tch^* und lab^*icu^*

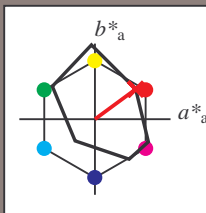
Bunttontexte:

$u^*_d = o00y$ $u^*_e = r16j$

Kontrastreduzierungsfaktor:

$c_R = 0.9$

Dreiecks-Helligkeit t^*



FRS15_90a; adaptierte CIELAB-Daten						
u^*_d	$L^*=L^*_a$	a^*_a	b^*_a	$C^*_{ab,a}$	$h^*_{ab,a}$	
O _{Ma}	38.8	53.92	39.68	66.95	36	
Y _{Ma}	82.58	-4.64	98.22	98.33	93	
L _{Ma}	46.95	-56.34	43.46	71.15	142	
C _{Ma}	54.62	-26.2	-28.68	38.85	228	
V _{Ma}	20.01	45.2	-52.87	69.56	311	
M _{Ma}	40.88	70.68	-29.99	76.78	337	
N _{Ma}	15.0	0.0	0.0	0.0	0	
W _{Ma}	90.0	0.0	0.0	0.0	0	
O _{Ma}	39.92	58.74	27.99	65.07	25	
Y _{Ma}	81.26	-2.89	71.56	71.62	92	
L _{Ma}	52.23	-42.42	13.6	44.55	162	
V _{Ma}	30.57	1.41	-46.47	46.49	272	

Daten für Maximalfarbe (Ma):

$LAB^*LAB^*_{Ma}$: 39 54 40

$LAB^*LCH^*_{Ma}$: 39 67 36

$lab^*olv^*_{Ma}$: 1.0 0.0 0.0

$lab^*rgb^*_{Ma}$: 1.0 0.16 0.0

Dreiecks-Helligkeit t^*

%Umfang

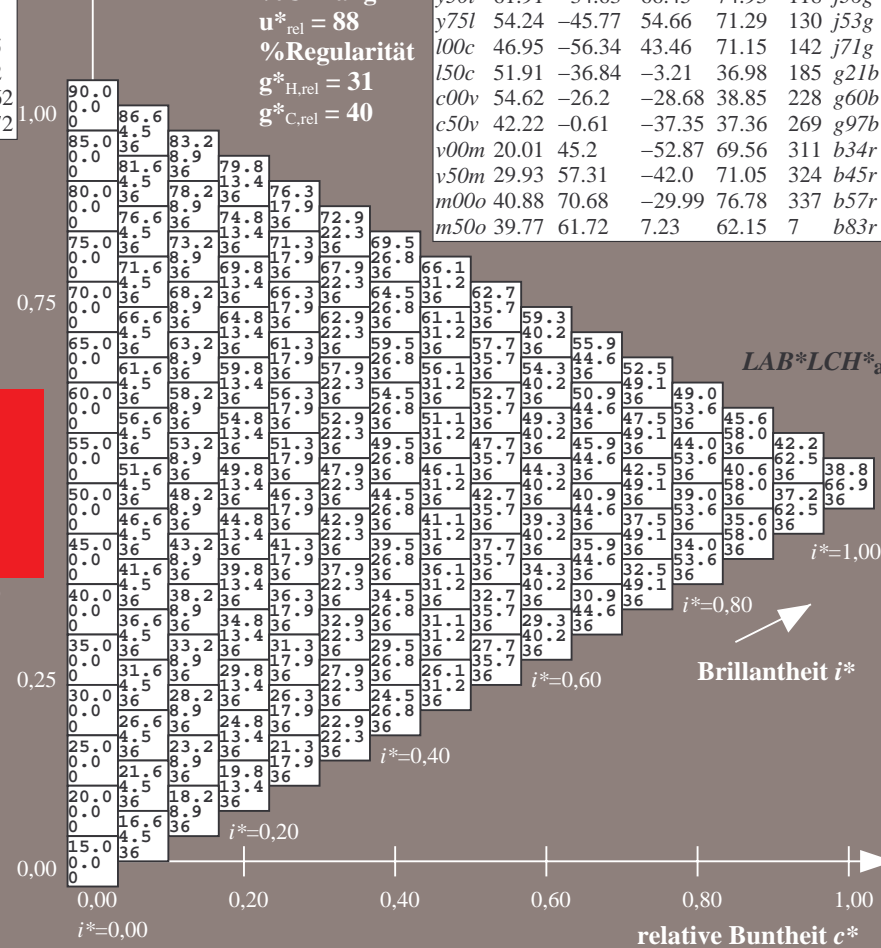
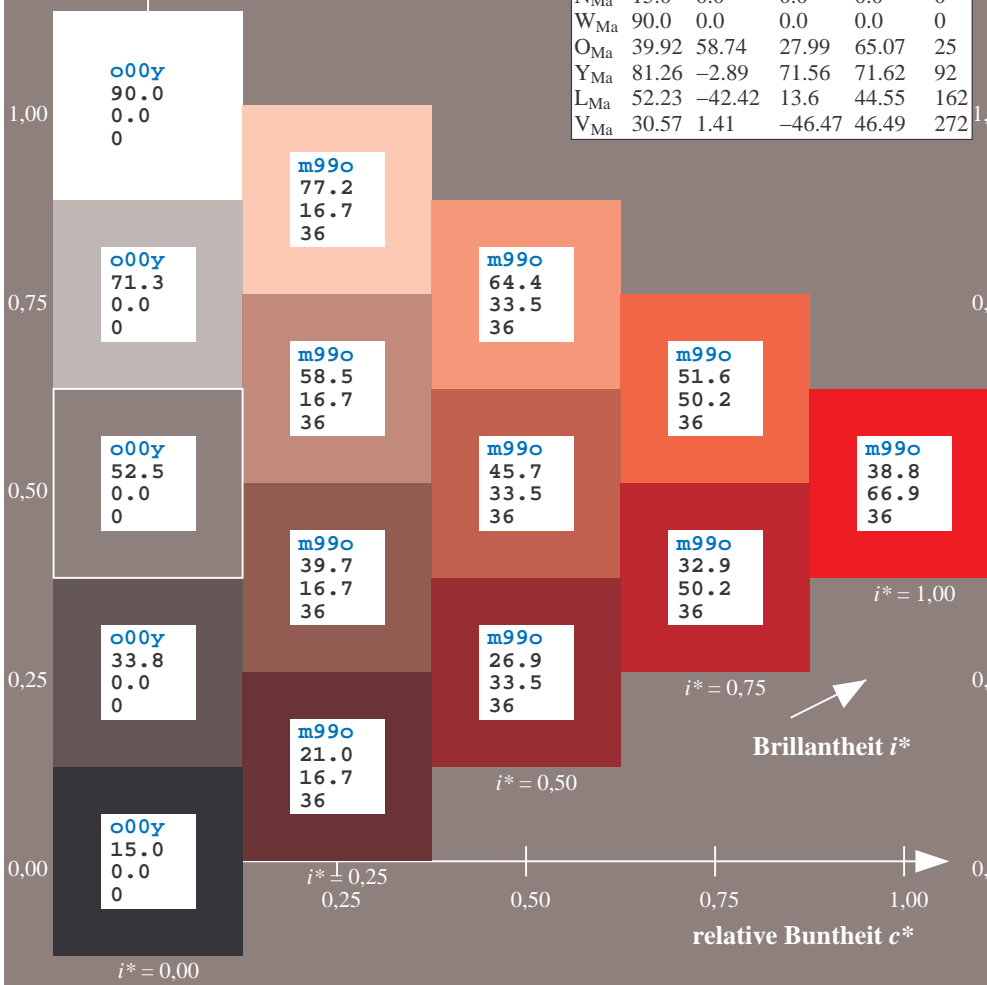
$u^*_{rel} = 88$

%Regularität

$g^*_{H,rel} = 31$

$g^*_{C,rel} = 40$

FRS15_90a; adaptierte CIELAB-Daten						
u^*_d	$L^*=L^*_a$	a^*_a	b^*_a	$C^*_{ab,a}$	$h^*_{ab,a}$	u^*_e
$o00y$	38.8	53.92	39.68	66.95	36	$r16j$
$o25y$	47.46	42.34	51.25	66.48	50	$r37j$
$o50y$	56.54	30.2	63.39	70.22	65	$r58j$
$o75y$	67.39	15.68	77.9	79.47	79	$r79j$
$y00l$	82.58	-4.64	98.22	98.33	93	$j01g$
$y25l$	70.85	-21.66	80.19	83.07	105	$j18g$
$y50l$	61.91	-34.63	66.45	74.93	118	$j36g$
$y75l$	54.24	-45.77	54.66	71.29	130	$j53g$
$l00c$	46.95	-56.34	43.46	71.15	142	$j71g$
$l50c$	51.91	-36.84	-3.21	36.98	185	$g21b$
$c00v$	54.62	-26.2	-28.68	38.85	228	$g60b$
$c50v$	42.22	-0.61	-37.35	37.36	269	$g97b$
$v00m$	20.01	45.2	-52.87	69.56	311	$b34r$
$v50m$	29.93	57.31	-42.0	71.05	324	$b45r$
$m00o$	40.88	70.68	-29.99	76.78	337	$b57r$
$m50o$	39.77	61.72	7.23	62.15	7	$b83r$



Ein und Ausgabe: Farbmetrisches Drucker-Reflektiv-System FRS15_90a für relativen CIELAB-Buntton $h^* = lab^*h^* = h_{ab}/360 = 0.14$

Daten für jede Farbe:

lab^*tch^* und lab^*icu^*

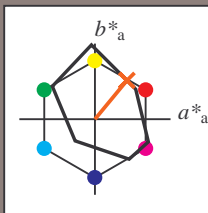
Bunttontexte:

$u^*_d = o25y$ $u^*_e = r37j$

Kontrastreduzierungsfaktor:

$c_R = 0.9$

Dreiecks-Helligkeit t^*



FRS15_90a; adaptierte CIELAB-Daten

u^*_d	$L^*=L^*_a$	a^*_a	b^*_a	$C^*_{ab,a}$	$h^*_{ab,a}$
O _{Ma}	38.8	53.92	39.68	66.95	36
Y _{Ma}	82.58	-4.64	98.22	98.33	93
L _{Ma}	46.95	-56.34	43.46	71.15	142
C _{Ma}	54.62	-26.2	-28.68	38.85	228
V _{Ma}	20.01	45.2	-52.87	69.56	311
M _{Ma}	40.88	70.68	-29.99	76.78	337
N _{Ma}	15.0	0.0	0.0	0.0	0
W _{Ma}	90.0	0.0	0.0	0.0	0
O _{Ma}	39.92	58.74	27.99	65.07	25
Y _{Ma}	81.26	-2.89	71.56	71.62	92
L _{Ma}	52.23	-42.42	13.6	44.55	162
V _{Ma}	30.57	1.41	-46.47	46.49	272

Daten für Maximalfarbe (Ma):

$LAB^*LAB^*_{Ma}$: 47 42 51

$LAB^*LCH^*_{Ma}$: 47 66 50

$lab^*olv^*_{Ma}$: 1.0 0.25 0.0

$lab^*rgb^*_{Ma}$: 1.0 0.37 0.0

Dreiecks-Helligkeit t^*

%Umfang

$u^*_{rel} = 88$

%Regularität

$g^*_{H,rel} = 31$

$g^*_{C,rel} = 40$

FRS15_90a; adaptierte CIELAB-Daten

u^*_d	$L^*=L^*_a$	a^*_a	b^*_a	$C^*_{ab,a}$	$h^*_{ab,a}$	u^*_e
o00y	38.8	53.92	39.68	66.95	36	r16j
o25y	47.46	42.34	51.25	66.48	50	r37j
o50y	56.54	30.2	63.39	70.22	65	r58j
o75y	67.39	15.68	77.9	79.47	79	r79j
y00l	82.58	-4.64	98.22	98.33	93	j01g
y25l	70.85	-21.66	80.19	83.07	105	j18g
y50l	61.91	-34.63	66.45	74.93	118	j36g
y75l	54.24	-45.77	54.66	71.29	130	j53g
l00c	46.95	-56.34	43.46	71.15	142	j71g
l50c	51.91	-36.84	-3.21	36.98	185	g21b
c00v	54.62	-26.2	-28.68	38.85	228	g60b
c50v	42.22	-0.61	-37.35	37.36	269	g97b
v00m	20.01	45.2	-52.87	69.56	311	b34r
v50m	29.93	57.31	-42.0	71.05	324	b45r
m00o	40.88	70.68	-29.99	76.78	337	b57r
m50o	39.77	61.72	7.23	62.15	7	b83r

$u^*_d = o25y$
 $LAB^*LCH^*_{Ma}$

$LAB^*LCH^*_{Ma}$

$i^* = 1.00$

Brillantheit i^*

$i^* = 0.80$

$i^* = 0.60$

$i^* = 0.40$

$i^* = 0.20$

$i^* = 0.00$

Ein und Ausgabe: Farbmetrisches Drucker-Reflektiv-System FRS15_90a für relativen CIELAB-Buntton $h^* = lab^*h^* = h_{ab}/360 = 0.179$

Daten für jede Farbe:

lab^*ch^* und lab^*icu^*

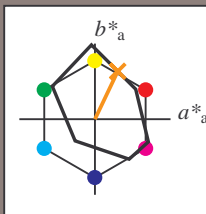
Bunttontexte:

$u^*_d = 0.50y$ $u^*_e = r58j$

Kontrastreduzierungsfaktor:

$c_R = 0.9$

Dreiecks-Helligkeit i^*



FRS15_90a; adaptierte CIELAB-Daten						
u^*_d	$L^*=L^*_a$	a^*_a	b^*_a	$C^*_{ab,a}$	$h^*_{ab,a}$	
O _{Ma}	38.8	53.92	39.68	66.95	36	
Y _{Ma}	82.58	-4.64	98.22	98.33	93	
L _{Ma}	46.95	-56.34	43.46	71.15	142	
C _{Ma}	54.62	-26.2	-28.68	38.85	228	
V _{Ma}	20.01	45.2	-52.87	69.56	311	
M _{Ma}	40.88	70.68	-29.99	76.78	337	
N _{Ma}	15.0	0.0	0.0	0.0	0	
W _{Ma}	90.0	0.0	0.0	0.0	0	
O _{Ma}	39.92	58.74	27.99	65.07	25	
Y _{Ma}	81.26	-2.89	71.56	71.62	92	
L _{Ma}	52.23	-42.42	13.6	44.55	162	
V _{Ma}	30.57	1.41	-46.47	46.49	272	

Daten für Maximalfarbe (Ma):

$LAB^*LAB^*_{Ma}$: 57 30 63

$LAB^*LCH^*_{Ma}$: 57 70 64

$lab^*olv^*_{Ma}$: 1.0 0.5 0.0

$lab^*rgb^*_{Ma}$: 1.0 0.58 0.0

Dreiecks-Helligkeit i^*

%Umfang

$u^*_{rel} = 88$

%Regularität

$g^*_{H,rel} = 31$

$g^*_{C,rel} = 40$

FRS15_90a; adaptierte CIELAB-Daten						
u^*_d	$L^*=L^*_a$	a^*_a	b^*_a	$C^*_{ab,a}$	$h^*_{ab,a}$	u^*_e
o00y	38.8	53.92	39.68	66.95	36	r16j
o25y	47.46	42.34	51.25	66.48	50	r37j
o50y	56.54	30.2	63.39	70.22	65	r58j
o75y	67.39	15.68	77.9	79.47	79	r79j
y00l	82.58	-4.64	98.22	98.33	93	j01g
y25l	70.85	-21.66	80.19	83.07	105	j18g
y50l	61.91	-34.63	66.45	74.93	118	j36g
y75l	54.24	-45.77	54.66	71.29	130	j53g
l00c	46.95	-56.34	43.46	71.15	142	j71g
l50c	51.91	-36.84	-3.21	36.98	185	g21b
c00v	54.62	-26.2	-28.68	38.85	228	g60b
c50v	42.22	-0.61	-37.35	37.36	269	g97b
v00m	20.01	45.2	-52.87	69.56	311	b34r
v50m	29.93	57.31	-42.0	71.05	324	b45r
m00o	40.88	70.68	-29.99	76.78	337	b57r
m50o	39.77	61.72	7.23	62.15	7	b83r

$LAB^*LCH^*_{Ma}$

$i^* = 1.00$

Brillantheit i^*

$i^* = 0.80$

$i^* = 0.60$

$i^* = 0.40$

$i^* = 0.20$

$i^* = 0.00$

relative Buntheit c^*

relative Buntheit c^*

Ein und Ausgabe: Farbmétrisches Drucker-Reflektiv-System FRS15_90a für relativen CIELAB-Buntton $h^* = lab^*h^* = h_{ab}/360 = 0.218$

Daten für jede Farbe:

*lab*tch** und *lab*icu**

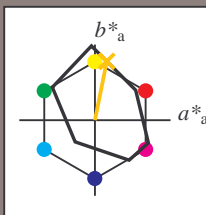
Bunttexte:

$$u_d^* = 0.75y \quad u_e^* = 0.79j$$

Kontrastreduzierungsfaktor:

 $c_{\mathbf{R}} = 0.9$

K Dreiecks-Helligkeit t^*



FRS15 90a; adaptierte CIELAB-Daten						
u^*_d	$L^*=L^*_a$	a^*_a	b^*_a	$C^*_{ab,a}$	$h^*_{ab,a}$	
O _{Ma}	38.8	53.92	39.68	66.95	36	
Y _{Ma}	82.58	-4.64	98.22	98.33	93	
L _{Ma}	46.95	-56.34	43.46	71.15	142	
C _{Ma}	54.62	-26.2	-28.68	38.85	228	
V _{Ma}	20.01	45.2	-52.87	69.56	311	
M _{Ma}	40.88	70.68	-29.99	76.78	337	
N _{Ma}	15.0	0.0	0.0	0.0	0	
W _{Ma}	90.0	0.0	0.0	0.0	0	
O _{Ma}	39.92	58.74	27.99	65.07	25	
Y _{Ma}	81.26	-2.89	71.56	71.62	92	
L _{Ma}	52.23	-42.42	13.6	44.55	162	
V _{Ma}	30.57	1.41	-46.47	46.49	272	

Daten für Maximalfarbe (Ma):

*LAB*LAB*Me*: 67 16 78

LAD*LCII* 67 70 70

LABLCH***Ma*: 6/ 79 78**

*lab*olv****Ma:** 1.0 0.75 0.0

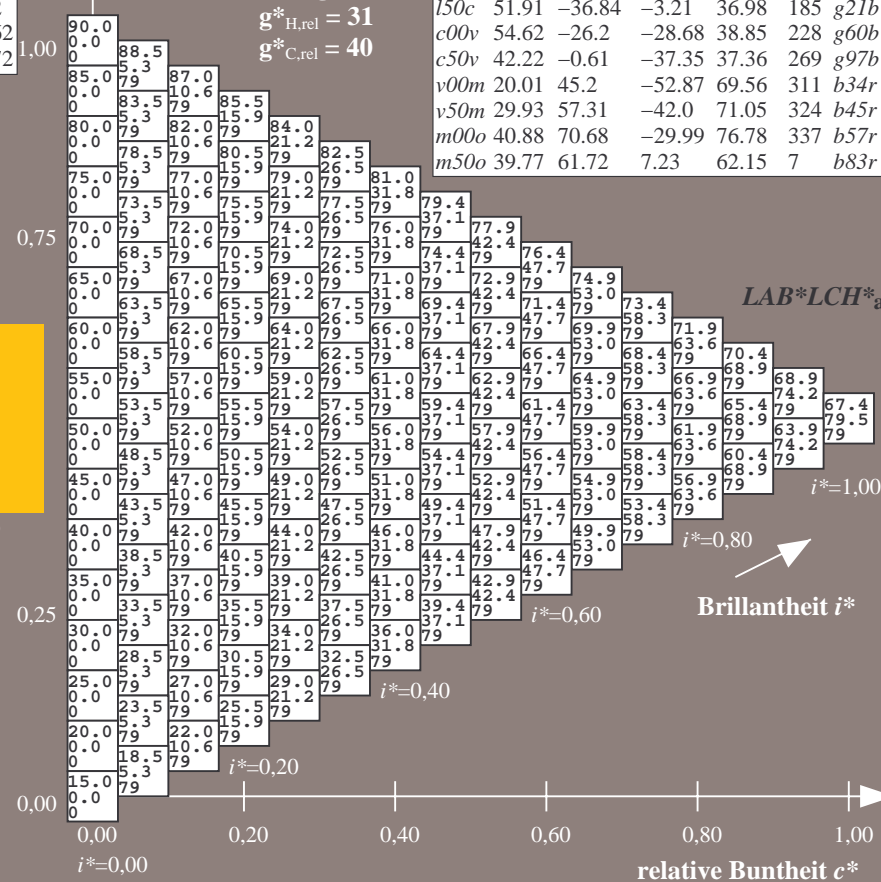
*lab*rgb*_{Ma}: 1.0 0.8 0.0

Dreiecks-Helligkeit t^*

%Umfang

$$\mathbf{u}_{\text{rel}}^* = 88$$

%Regular

$$g^*_{H,rel} = 31$$
$$g^*_{C,rel} = 40$$

$$u^*_d = 0.75y$$

$$LAB^*LCH^*$$

FRS15_90a; adaptierte CIELAB-Daten							
u_d^*	$L^*=L_a^*$	a_a^*	b_a^*	$C^*_{ab,a}$	$h^*_{ab,a}$	u_e^*	
<i>o00y</i>	38.8	53.92	39.68	66.95	36	<i>r16j</i>	
<i>o25y</i>	47.46	42.34	51.25	66.48	50	<i>r37j</i>	
<i>o50y</i>	56.54	30.2	63.39	70.22	65	<i>r58j</i>	
<i>o75y</i>	67.39	15.68	77.9	79.47	79	<i>r79j</i>	
<i>y00l</i>	82.58	-4.64	98.22	98.33	93	<i>j01g</i>	
<i>y25l</i>	70.85	-21.66	80.19	83.07	105	<i>j18g</i>	
<i>y50l</i>	61.91	-34.63	66.45	74.93	118	<i>j36g</i>	
<i>y75l</i>	54.24	-45.77	54.66	71.29	130	<i>j53g</i>	
<i>l00c</i>	46.95	-56.34	43.46	71.15	142	<i>j71g</i>	
<i>l50c</i>	51.91	-36.84	-3.21	36.98	185	<i>g21b</i>	
<i>c00v</i>	54.62	-26.2	-28.68	38.85	228	<i>g60b</i>	
<i>c50v</i>	42.22	-0.61	-37.35	37.36	269	<i>g97b</i>	
<i>v00m</i>	20.01	45.2	-52.87	69.56	311	<i>b34r</i>	
<i>v50m</i>	29.93	57.31	-42.0	71.05	324	<i>b45r</i>	
<i>m00o</i>	40.88	70.68	-29.99	76.78	337	<i>b57r</i>	
<i>m50o</i>	39.77	61.72	7.23	62.15	7	<i>b83r</i>	

BAM-Prüfvorlage Eg41; Farbmimetrik-Systeme, Seite 167/270 Eingabe: 000n / w / nnn0 / www set...
3 Separationen, 9 Datentabellen für 16 Bunttöne o00y bis m75aAusgabe: ->cmy0* setcmykcolor

Ein und Ausgabe: Farbmimetrisches Drucker-Reflektiv-System FRS15_90a für relativen CIELAB-Buntton $h^* = lab^*h^* = h_{ab}/360 = 0.258$

Daten für jede Farbe:

lab^*tch^* und lab^*icu^*

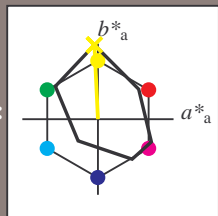
Bunttontexte:

$u^*_d = y00l$ $u^*_e = j01g$

Kontrastreduzierungsfaktor:

$c_R = 0.9$

Dreiecks-Helligkeit i^*



FRS15_90a; adaptierte CIELAB-Daten						
u^*_d	$L^*=L^*_a$	a^*_a	b^*_a	$C^*_{ab,a}$	$h^*_{ab,a}$	u^*_e
O _{Ma}	38.8	53.92	39.68	66.95	36	r16j
Y _{Ma}	82.58	-4.64	98.22	98.33	93	r37j
L _{Ma}	46.95	-56.34	43.46	71.15	142	r58j
C _{Ma}	54.62	-26.2	-28.68	38.85	228	r79j
V _{Ma}	20.01	45.2	-52.87	69.56	311	j01g
M _{Ma}	40.88	70.68	-29.99	76.78	337	j18g
N _{Ma}	15.0	0.0	0.0	0.0	0	j36g
W _{Ma}	90.0	0.0	0.0	0.0	0	j53g
O _{Ma}	39.92	58.74	27.99	65.07	25	j71g
Y _{Ma}	81.26	-2.89	71.56	71.62	92	g21b
L _{Ma}	52.23	-42.42	13.6	44.55	162	g60b
V _{Ma}	30.57	1.41	-46.47	46.49	272	g97b

Daten für Maximalfarbe (Ma):

$LAB^*LAB^*_{Ma}$: 83 -5 98

$LAB^*LCH^*_{Ma}$: 83 98 92

$lab^*olv^*_{Ma}$: 1.0 1.0 0.0

$lab^*rgb^*_{Ma}$: 0.99 1.0 0.0

Dreiecks-Helligkeit i^*

%Umfang

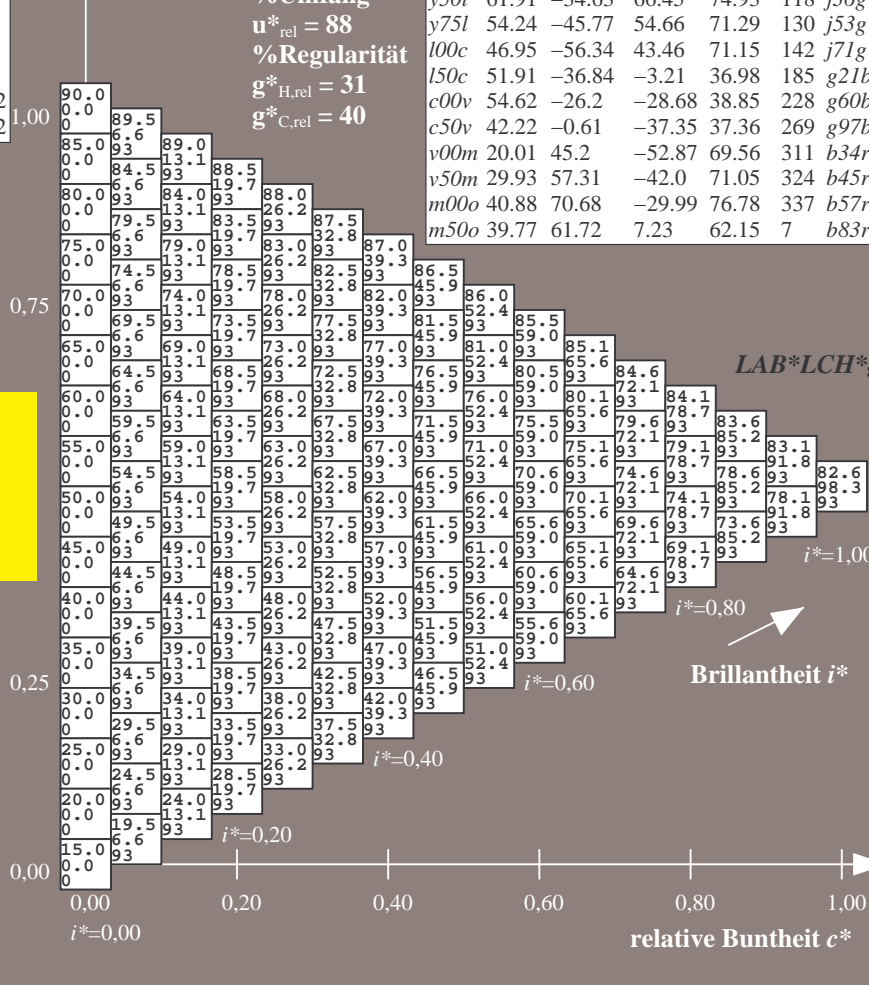
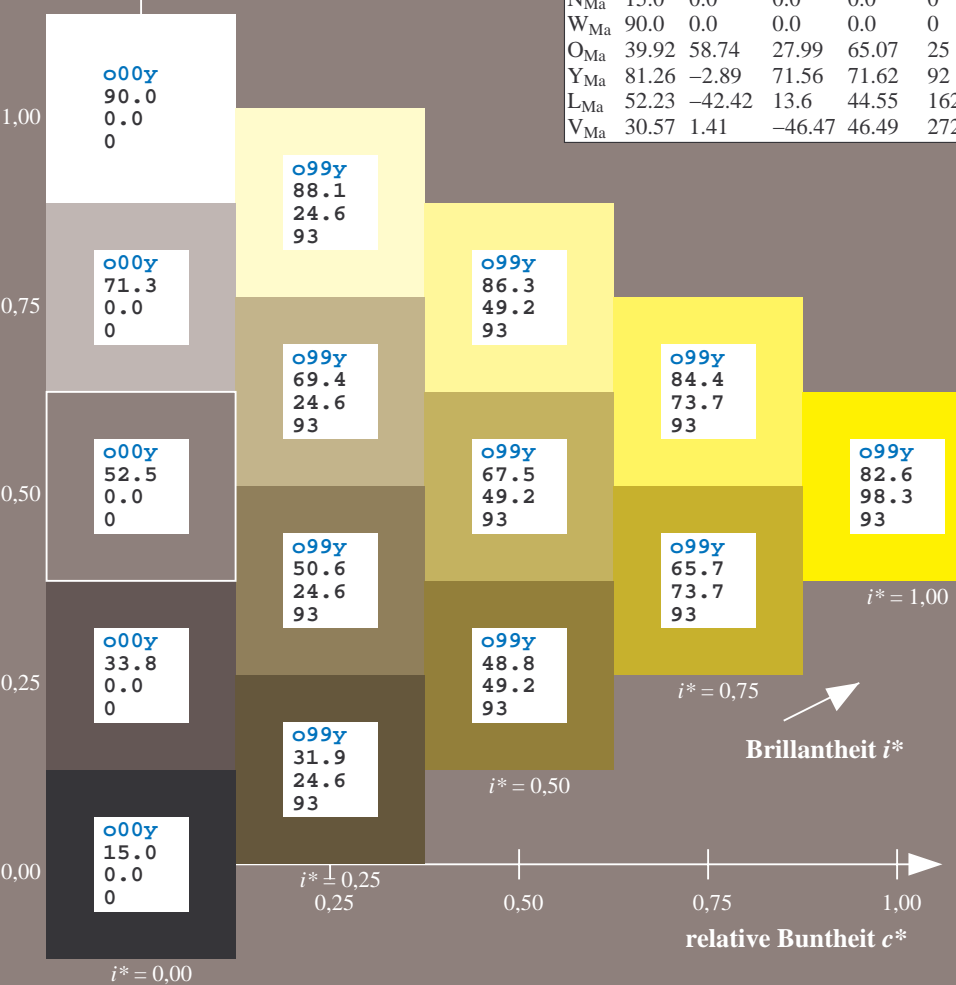
$u^*_{rel} = 88$

%Regularität

$g^*_{H,rel} = 31$

$g^*_{C,rel} = 40$

FRS15_90a; adaptierte CIELAB-Daten						
u^*_d	$L^*=L^*_a$	a^*_a	b^*_a	$C^*_{ab,a}$	$h^*_{ab,a}$	u^*_e
o00y	38.8	53.92	39.68	66.95	36	r16j
o25y	47.46	42.34	51.25	66.48	50	r37j
o50y	56.54	30.2	63.39	70.22	65	r58j
o75y	67.39	15.68	77.9	79.47	79	r79j
y00l	82.58	-4.64	98.22	98.33	93	j01g
y25l	70.85	-21.66	80.19	83.07	105	j18g
y50l	61.91	-34.63	66.45	74.93	118	j36g
y75l	54.24	-45.77	54.66	71.29	130	j53g
l00c	46.95	-56.34	43.46	71.15	142	j71g
l50c	51.91	-36.84	-3.21	36.98	185	g21b
c00v	54.62	-26.2	-28.68	38.85	228	g60b
c50v	42.22	-0.61	-37.35	37.36	269	g97b
v00m	20.01	45.2	-52.87	69.56	311	b34r
v50m	29.93	57.31	-42.0	71.05	324	b45r
m00o	40.88	70.68	-29.99	76.78	337	b57r
m50o	39.77	61.72	7.23	62.15	7	b83r



Ein und Ausgabe: Farbmetrisches Drucker-Reflektiv-System FRS15_90a für relativen CIELAB-Buntton $h^* = lab^*h^* = h_{ab}/360 = 0.292$

Daten für jede Farbe:

lab^*ch^* und lab^*icu^*

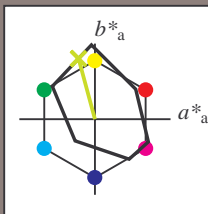
Bunttontexte:

$u^*_d = y25l$ $u^*_e = j18g$

Kontrastreduzierungsfaktor:

$c_R = 0.9$

Dreiecks-Helligkeit i^*



FRS15_90a; adaptierte CIELAB-Daten						
u^*_d	$L^*=L^*_a$	a^*_a	b^*_a	$C^*_{ab,a}$	$h^*_{ab,a}$	u^*_e
O _{Ma}	38.8	53.92	39.68	66.95	36	r16j
Y _{Ma}	82.58	-4.64	98.22	98.33	93	r37j
L _{Ma}	46.95	-56.34	43.46	71.15	142	r58j
C _{Ma}	54.62	-26.2	-28.68	38.85	228	r79j
V _{Ma}	20.01	45.2	-52.87	69.56	311	j01g
M _{Ma}	40.88	70.68	-29.99	76.78	337	j18g
N _{Ma}	15.0	0.0	0.0	0.0	0	j36g
W _{Ma}	90.0	0.0	0.0	0.0	0	j53g
O _{Ma}	39.92	58.74	27.99	65.07	25	j71g
Y _{Ma}	81.26	-2.89	71.56	71.62	92	g21b
L _{Ma}	52.23	-42.42	13.6	44.55	162	g60b
V _{Ma}	30.57	1.41	-46.47	46.49	272	g97b

Daten für Maximalfarbe (Ma):

$LAB^*LAB^*_{Ma}$: 71 -22 80

$LAB^*LCH^*_{Ma}$: 71 83 105

$lab^*olv^*_{Ma}$: 0.75 1.0 0.0

$lab^*rgb^*_{Ma}$: 0.82 1.0 0.0

Dreiecks-Helligkeit i^*

%Umfang

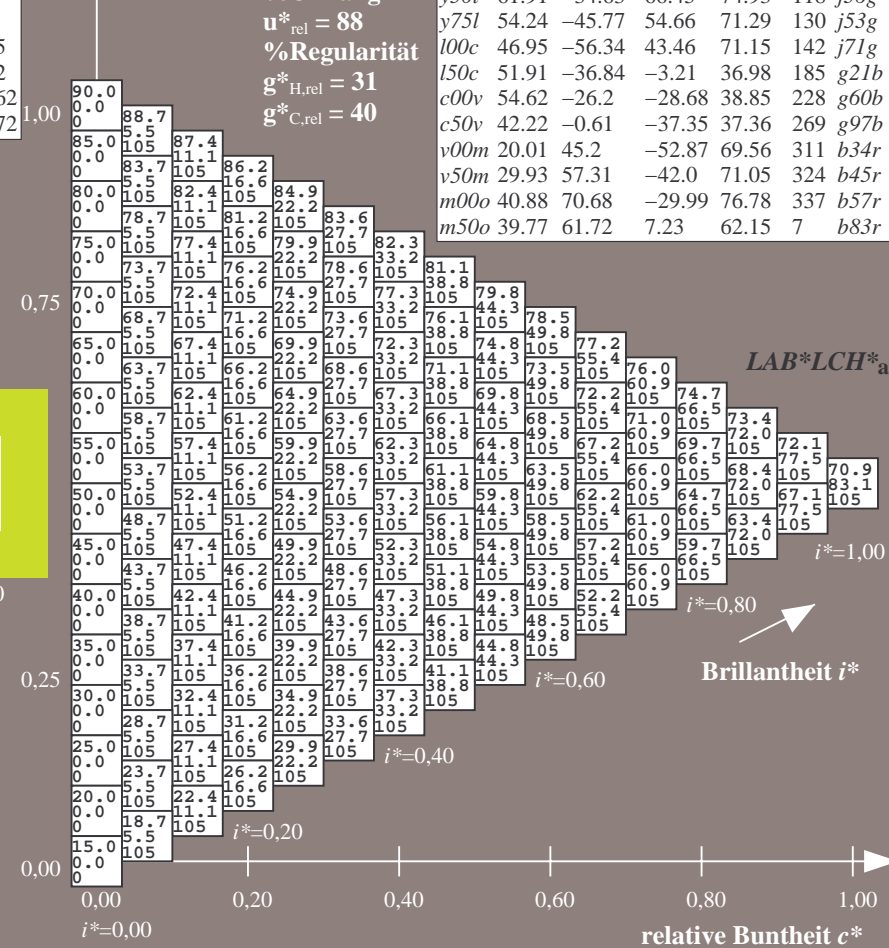
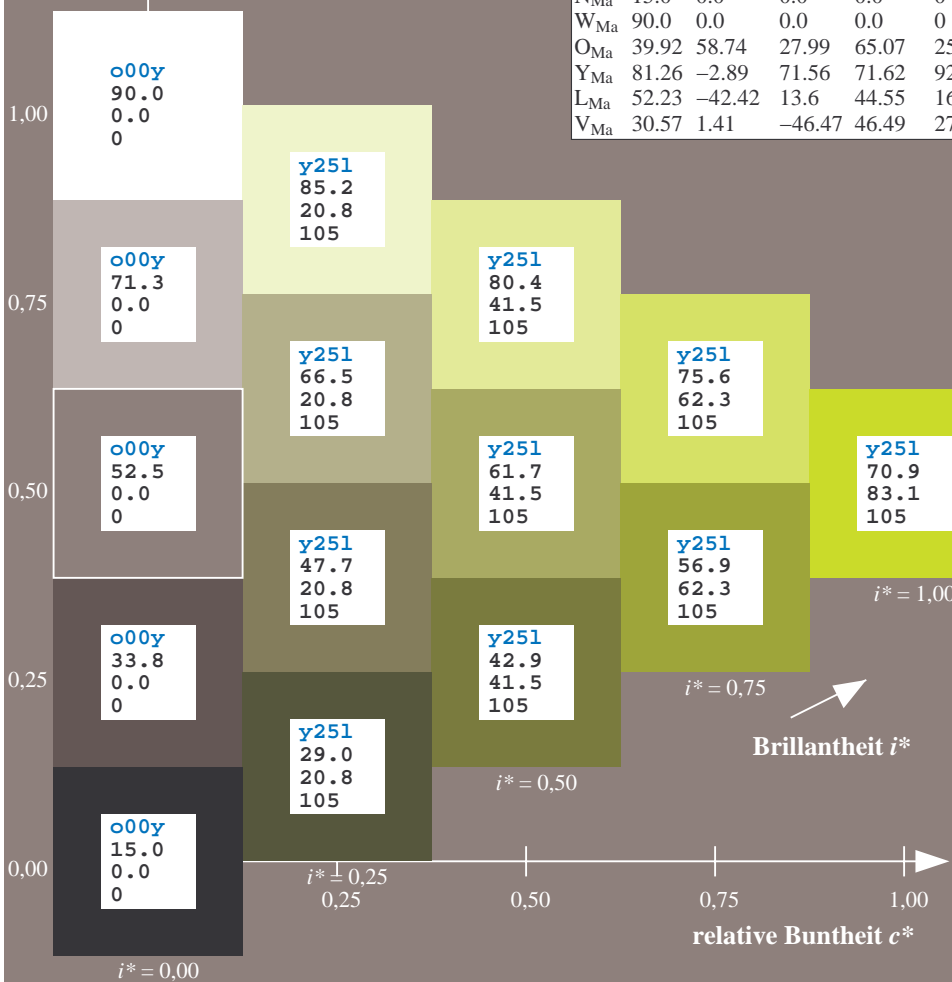
$u^*_{rel} = 88$

%Regularität

$g^*_{H,rel} = 31$

$g^*_{C,rel} = 40$

FRS15_90a; adaptierte CIELAB-Daten						
u^*_d	$L^*=L^*_a$	a^*_a	b^*_a	$C^*_{ab,a}$	$h^*_{ab,a}$	u^*_e
o00y	38.8	53.92	39.68	66.95	36	r16j
o25y	47.46	42.34	51.25	66.48	50	r37j
o50y	56.54	30.2	63.39	70.22	65	r58j
o75y	67.39	15.68	77.9	79.47	79	r79j
y00l	82.58	-4.64	98.22	98.33	93	j01g
y25l	70.85	-21.66	80.19	83.07	105	j18g
y50l	61.91	-34.63	66.45	74.93	118	j36g
y75l	54.24	-45.77	54.66	71.29	130	j53g
l00c	46.95	-56.34	43.46	71.15	142	j71g
l50c	51.91	-36.84	-3.21	36.98	185	g21b
c00v	54.62	-26.2	-28.68	38.85	228	g60b
c50v	42.22	-0.61	-37.35	37.36	269	g97b
v00m	20.01	45.2	-52.87	69.56	311	b34r
v50m	29.93	57.31	-42.0	71.05	324	b45r
m00o	40.88	70.68	-29.99	76.78	337	b57r
m50o	39.77	61.72	7.23	62.15	7	b83r



Ein und Ausgabe: Farbmetrisches Drucker-Reflektiv-System FRS15_90a für relativen CIELAB-Buntton $h^* = lab^*h^* = h_{ab}/360 = 0.326$

Daten für jede Farbe:

lab^*tch^* und lab^*icu^*

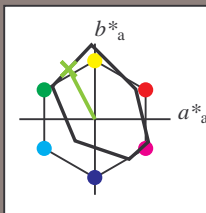
Bunttontexte:

$u^*_d = y50l$ $u^*_e = j36g$

Kontrastreduzierungsfaktor:

$c_R = 0.9$

Dreiecks-Helligkeit i^*



FRS15_90a; adaptierte CIELAB-Daten

u^*_d	$L^*=L^*_a$	a^*_a	b^*_a	$C^*_{ab,a}$	$h^*_{ab,a}$
O _{Ma}	38.8	53.92	39.68	66.95	36
Y _{Ma}	82.58	-4.64	98.22	98.33	93
L _{Ma}	46.95	-56.34	43.46	71.15	142
C _{Ma}	54.62	-26.2	-28.68	38.85	228
V _{Ma}	20.01	45.2	-52.87	69.56	311
M _{Ma}	40.88	70.68	-29.99	76.78	337
N _{Ma}	15.0	0.0	0.0	0.0	0
W _{Ma}	90.0	0.0	0.0	0.0	0
O _{Ma}	39.92	58.74	27.99	65.07	25
Y _{Ma}	81.26	-2.89	71.56	71.62	92
L _{Ma}	52.23	-42.42	13.6	44.55	162
V _{Ma}	30.57	1.41	-46.47	46.49	272

Daten für Maximalfarbe (Ma):

$LAB^*LAB^*_{Ma}$: 62 -35 66

$LAB^*LCH^*_{Ma}$: 62 75 117

$lab^*olv^*_{Ma}$: 0.5 1.0 0.0

$lab^*rgb^*_{Ma}$: 0.64 1.0 0.0

Dreiecks-Helligkeit i^*

%Umfang

$u^*_{rel} = 88$

%Regularität

$g^*_{H,rel} = 31$

$g^*_{C,rel} = 40$

FRS15_90a; adaptierte CIELAB-Daten

u^*_d	$L^*=L^*_a$	a^*_a	b^*_a	$C^*_{ab,a}$	$h^*_{ab,a}$	u^*_e
o00y	38.8	53.92	39.68	66.95	36	r16j
o25y	47.46	42.34	51.25	66.48	50	r37j
o50y	56.54	30.2	63.39	70.22	65	r58j
o75y	67.39	15.68	77.9	79.47	79	r79j
y00l	82.58	-4.64	98.22	98.33	93	j01g
y25l	70.85	-21.66	80.19	83.07	105	j18g
y50l	61.91	-34.63	66.45	74.93	118	j36g
y75l	54.24	-45.77	54.66	71.29	130	j53g
l00c	46.95	-56.34	43.46	71.15	142	j71g
l50c	51.91	-36.84	-3.21	36.98	185	g21b
c00v	54.62	-26.2	-28.68	38.85	228	g60b
c50v	42.22	-0.61	-37.35	37.36	269	g97b
v00m	20.01	45.2	-52.87	69.56	311	b34r
v50m	29.93	57.31	-42.0	71.05	324	b45r
m00o	40.88	70.68	-29.99	76.78	337	b57r
m50o	39.77	61.72	7.23	62.15	7	b83r

$u^*_d = y50l$
 $LAB^*LCH^*_{Ma}$

$LAB^*LCH^*_{Ma}$

$i^* = 1.00$

Brillantheit i^*

$i^* = 0.80$

$i^* = 0.60$

$i^* = 0.40$

$i^* = 0.20$

$i^* = 0.00$

relative Buntheit c^*

Ein und Ausgabe: Farbmetrisches Drucker-Reflektiv-System FRS15_90a für relativen CIELAB-Buntton $h^* = lab^*h^* = h_{ab}/360 = 0.361$

Daten für jede Farbe:

lab^*tch^* und lab^*icu^*

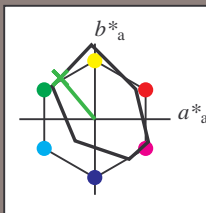
Bunttontexte:

$u^*_d = y75l$ $u^*_e = j53g$

Kontrastreduzierungsfaktor:

$c_R = 0.9$

Dreiecks-Helligkeit t^*



FRS15_90a; adaptierte CIELAB-Daten

u^*_d	$L^*=L^*_a$	a^*_a	b^*_a	$C^*_{ab,a}$	$h^*_{ab,a}$
O _{Ma}	38.8	53.92	39.68	66.95	36
Y _{Ma}	82.58	-4.64	98.22	98.33	93
L _{Ma}	46.95	-56.34	43.46	71.15	142
C _{Ma}	54.62	-26.2	-28.68	38.85	228
V _{Ma}	20.01	45.2	-52.87	69.56	311
M _{Ma}	40.88	70.68	-29.99	76.78	337
N _{Ma}	15.0	0.0	0.0	0.0	0
W _{Ma}	90.0	0.0	0.0	0.0	0
O _{Ma}	39.92	58.74	27.99	65.07	25
Y _{Ma}	81.26	-2.89	71.56	71.62	92
L _{Ma}	52.23	-42.42	13.6	44.55	162
V _{Ma}	30.57	1.41	-46.47	46.49	272

Daten für Maximalfarbe (Ma):

$LAB^*LAB^*_{Ma}$: 54 -46 55

$LAB^*LCH^*_{Ma}$: 54 71 129

$lab^*olv^*_{Ma}$: 0.25 1.0 0.0

$lab^*rgb^*_{Ma}$: 0.46 1.0 0.0

Dreiecks-Helligkeit t^*

%Umfang

$u^*_{rel} = 88$

%Regularität

$g^*_{H,rel} = 31$

$g^*_{C,rel} = 40$

FRS15_90a; adaptierte CIELAB-Daten

u^*_d	$L^*=L^*_a$	a^*_a	b^*_a	$C^*_{ab,a}$	$h^*_{ab,a}$	u^*_e
o00y	38.8	53.92	39.68	66.95	36	r16j
o25y	47.46	42.34	51.25	66.48	50	r37j
o50y	56.54	30.2	63.39	70.22	65	r58j
o75y	67.39	15.68	77.9	79.47	79	r79j
y00l	82.58	-4.64	98.22	98.33	93	j01g
y25l	70.85	-21.66	80.19	83.07	105	j18g
y50l	61.91	-34.63	66.45	74.93	118	j36g
y75l	54.24	-45.77	54.66	71.29	130	j53g
l00c	46.95	-56.34	43.46	71.15	142	j71g
l50c	51.91	-36.84	-3.21	36.98	185	g21b
c00v	54.62	-26.2	-28.68	38.85	228	g60b
c50v	42.22	-0.61	-37.35	37.36	269	g97b
v00m	20.01	45.2	-52.87	69.56	311	b34r
v50m	29.93	57.31	-42.0	71.05	324	b45r
m00o	40.88	70.68	-29.99	76.78	337	b57r
m50o	39.77	61.72	7.23	62.15	7	b83r

$u^*_d = y75l$
 $LAB^*LCH^*_{Ma}$

$LAB^*LCH^*_{Ma}$

$i^* = 1.00$

Brillantheit i^*

$i^* = 0.80$

$i^* = 0.60$

$i^* = 0.40$

$i^* = 0.20$

$i^* = 0.00$

Ein und Ausgabe: Farbmetrisches Drucker-Reflektiv-System FRS15_90a für relativen CIELAB-Buntton $h^* = \text{lab}^*h^* = h_{ab}/360 = 0.395$

Daten für jede Farbe:

lab^*tch^* und lab^*icu^*

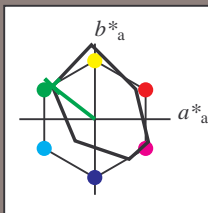
Bunttontexte:

$u^*_d = 100c$ $u^*_e = j71g$

Kontrastreduzierungsfaktor:

$c_R = 0.9$

Dreiecks-Helligkeit i^*



FRS15_90a; adaptierte CIELAB-Daten

u^*_d	$L^*=L^*_a$	a^*_a	b^*_a	$C^*_{ab,a}$	$h^*_{ab,a}$
O _{Ma}	38.8	53.92	39.68	66.95	36
Y _{Ma}	82.58	-4.64	98.22	98.33	93
L _{Ma}	46.95	-56.34	43.46	71.15	142
C _{Ma}	54.62	-26.2	-28.68	38.85	228
V _{Ma}	20.01	45.2	-52.87	69.56	311
M _{Ma}	40.88	70.68	-29.99	76.78	337
N _{Ma}	15.0	0.0	0.0	0.0	0
W _{Ma}	90.0	0.0	0.0	0.0	0
O _{Ma}	39.92	58.74	27.99	65.07	25
Y _{Ma}	81.26	-2.89	71.56	71.62	92
L _{Ma}	52.23	-42.42	13.6	44.55	162
V _{Ma}	30.57	1.41	-46.47	46.49	272

Daten für Maximalfarbe (Ma):

$\text{LAB}^*\text{LAB}^*_{Ma}$: 47 -56 43

$\text{LAB}^*\text{LCH}^*_{Ma}$: 47 71 142

$\text{lab}^*\text{olv}^*_{Ma}$: 0.0 1.0 0.0

$\text{lab}^*\text{rgb}^*_{Ma}$: 0.28 1.0 0.0

Dreiecks-Helligkeit i^*

%Umfang

$u^*_{rel} = 88$

%Regularität

$g^*_{H,rel} = 31$

$g^*_{C,rel} = 40$

FRS15_90a; adaptierte CIELAB-Daten

u^*_d	$L^*=L^*_a$	a^*_a	b^*_a	$C^*_{ab,a}$	$h^*_{ab,a}$	u^*_e
o00y	38.8	53.92	39.68	66.95	36	r16j
o25y	47.46	42.34	51.25	66.48	50	r37j
o50y	56.54	30.2	63.39	70.22	65	r58j
o75y	67.39	15.68	77.9	79.47	79	r79j
y00l	82.58	-4.64	98.22	98.33	93	j01g
y25l	70.85	-21.66	80.19	83.07	105	j18g
y50l	61.91	-34.63	66.45	74.93	118	j36g
y75l	54.24	-45.77	54.66	71.29	130	j53g
l00c	46.95	-56.34	43.46	71.15	142	j71g
l50c	51.91	-36.84	-3.21	36.98	185	g21b
c00v	54.62	-26.2	-28.68	38.85	228	g60b
c50v	42.22	-0.61	-37.35	37.36	269	g97b
v00m	20.01	45.2	-52.87	69.56	311	b34r
v50m	29.93	57.31	-42.0	71.05	324	b45r
m00o	40.88	70.68	-29.99	76.78	337	b57r
m50o	39.77	61.72	7.23	62.15	7	b83r

$\text{LAB}^*\text{LCH}^*_{Ma}$

$i^*=1.00$

Brillantheit i^*

$i^*=0.80$

$i^*=0.60$

$i^*=0.40$

$i^*=0.20$

$i^*=0.00$

relative Buntheit c^*

relative Buntheit c^*

Ein und Ausgabe: Farbmetrisches Drucker-Reflektiv-System FRS15_90a für relativen CIELAB-Buntton $h^* = lab^*h^* = h_{ab}/360 = 0.514$

Daten für jede Farbe:

lab^*ch^* und lab^*icu^*

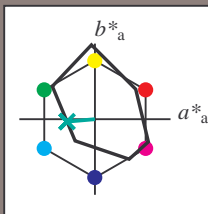
Bunttontexte:

$u^*_d = l50c$ $u^*_e = g21b$

Kontrastreduzierungsfaktor:

$c_R = 0.9$

Dreiecks-Helligkeit i^*



FRS15_90a; adaptierte CIELAB-Daten

u^*_d	$L^*=L^*_a$	a^*_a	b^*_a	$C^*_{ab,a}$	$h^*_{ab,a}$
O _{Ma}	38.8	53.92	39.68	66.95	36
Y _{Ma}	82.58	-4.64	98.22	98.33	93
L _{Ma}	46.95	-56.34	43.46	71.15	142
C _{Ma}	54.62	-26.2	-28.68	38.85	228
V _{Ma}	20.01	45.2	-52.87	69.56	311
M _{Ma}	40.88	70.68	-29.99	76.78	337
N _{Ma}	15.0	0.0	0.0	0.0	0
W _{Ma}	90.0	0.0	0.0	0.0	0
O _{Ma}	39.92	58.74	27.99	65.07	25
Y _{Ma}	81.26	-2.89	71.56	71.62	92
L _{Ma}	52.23	-42.42	13.6	44.55	162
V _{Ma}	30.57	1.41	-46.47	46.49	272

Daten für Maximalfarbe (Ma):

$LAB^*LAB^*_{Ma}$: 52 -37 -3

$LAB^*LCH^*_{Ma}$: 52 37 184

$lab^*olv^*_{Ma}$: 0.0 1.0 0.5

$lab^*rgb^*_{Ma}$: 0.0 1.0 0.42

Dreiecks-Helligkeit i^*

%Umfang

$u^*_{rel} = 88$

%Regularität

$g^*_{H,rel} = 31$

$g^*_{C,rel} = 40$

FRS15_90a; adaptierte CIELAB-Daten

u^*_d	$L^*=L^*_a$	a^*_a	b^*_a	$C^*_{ab,a}$	$h^*_{ab,a}$	u^*_e
o00y	38.8	53.92	39.68	66.95	36	r16j
o25y	47.46	42.34	51.25	66.48	50	r37j
o50y	56.54	30.2	63.39	70.22	65	r58j
o75y	67.39	15.68	77.9	79.47	79	r79j
y00l	82.58	-4.64	98.22	98.33	93	j01g
y25l	70.85	-21.66	80.19	83.07	105	j18g
y50l	61.91	-34.63	66.45	74.93	118	j36g
y75l	54.24	-45.77	54.66	71.29	130	j53g
l00c	46.95	-56.34	43.46	71.15	142	j71g
l50c	51.91	-36.84	-3.21	36.98	185	g21b
c00v	54.62	-26.2	-28.68	38.85	228	g60b
c50v	42.22	-0.61	-37.35	37.36	269	g97b
v00m	20.01	45.2	-52.87	69.56	311	b34r
v50m	29.93	57.31	-42.0	71.05	324	b45r
m00o	40.88	70.68	-29.99	76.78	337	b57r
m50o	39.77	61.72	7.23	62.15	7	b83r

$u^*_d = l50c$
 $LAB^*LCH^*_{Ma}$

$LAB^*LCH^*_{Ma}$

$i^* = 1.00$

Brillantheit i^*

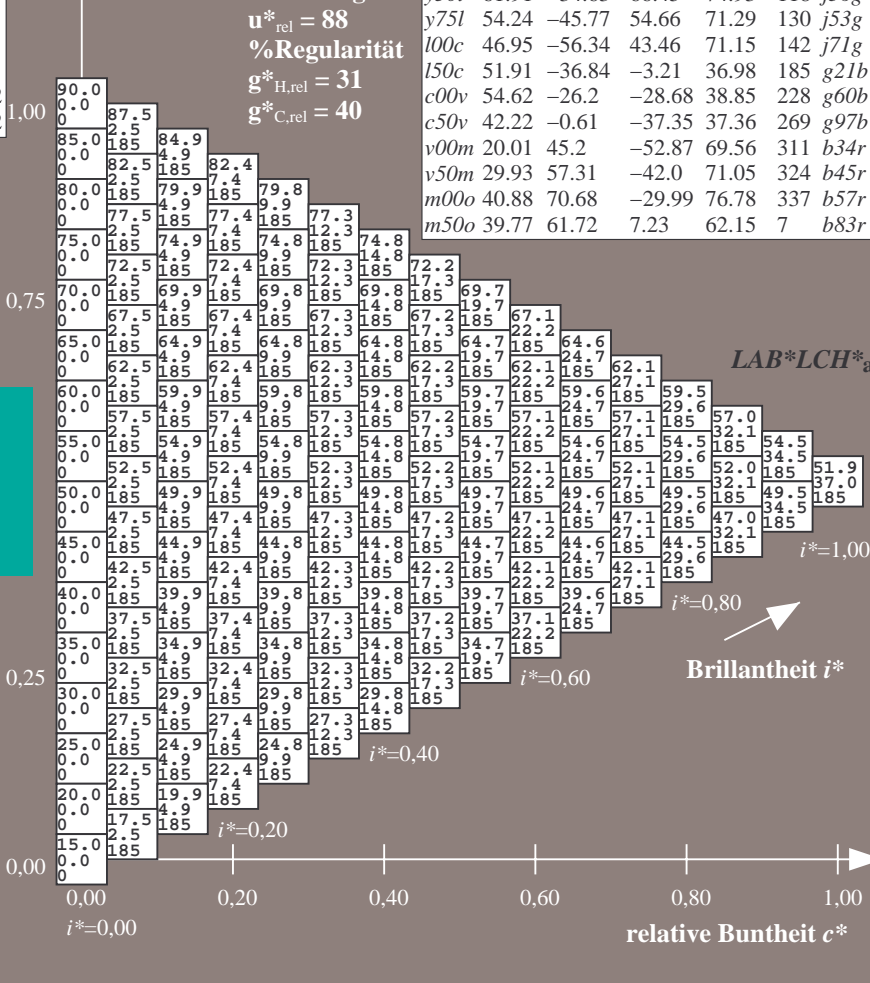
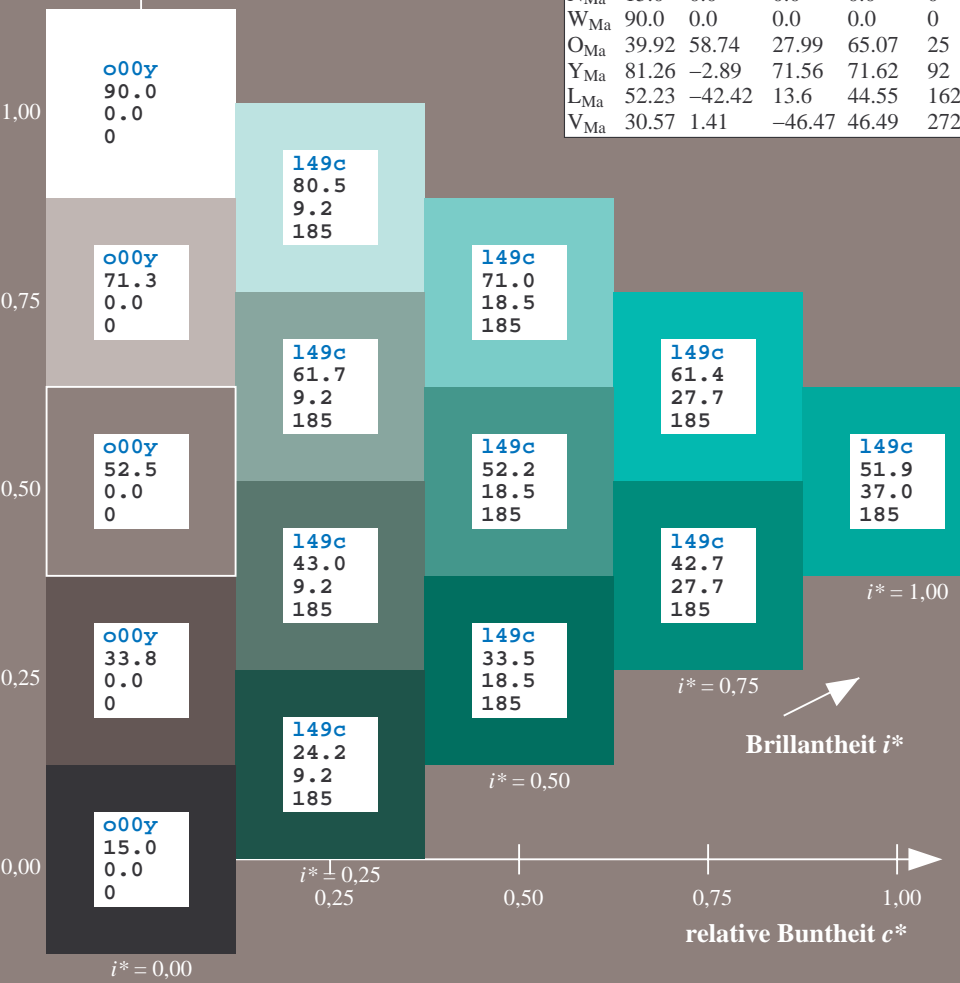
$i^* = 0.80$

$i^* = 0.60$

$i^* = 0.40$

$i^* = 0.20$

$i^* = 0.00$



Ein und Ausgabe: Farbmetrisches Drucker-Reflektiv-System FRS15_90a für relativen CIELAB-Buntton $h^* = lab^*h^* = h_{ab}/360 = 0.632$

Daten für jede Farbe:

lab^*tch^* und lab^*icu^*

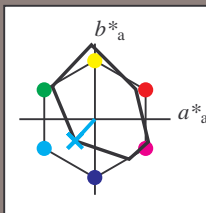
Bunttontexte:

$u^*_d = c00v$ $u^*_e = g60b$

Kontrastreduzierungsfaktor:

$c_R = 0.9$

Dreiecks-Helligkeit i^*



FRS15_90a; adaptierte CIELAB-Daten

u^*_d	$L^*=L^*_a$	a^*_a	b^*_a	$C^*_{ab,a}$	$h^*_{ab,a}$
O _{Ma}	38.8	53.92	39.68	66.95	36
Y _{Ma}	82.58	-4.64	98.22	98.33	93
L _{Ma}	46.95	-56.34	43.46	71.15	142
C _{Ma}	54.62	-26.2	-28.68	38.85	228
V _{Ma}	20.01	45.2	-52.87	69.56	311
M _{Ma}	40.88	70.68	-29.99	76.78	337
N _{Ma}	15.0	0.0	0.0	0.0	0
W _{Ma}	90.0	0.0	0.0	0.0	0
O _{Ma}	39.92	58.74	27.99	65.07	25
Y _{Ma}	81.26	-2.89	71.56	71.62	92
L _{Ma}	52.23	-42.42	13.6	44.55	162
V _{Ma}	30.57	1.41	-46.47	46.49	272

Daten für Maximalfarbe (Ma):

$LAB^*LAB^*_{Ma}$: 55 -26 -29

$LAB^*LCH^*_{Ma}$: 55 39 227

$lab^*olv^*_{Ma}$: 0.0 1.0 1.0

$lab^*rgb^*_{Ma}$: 0.0 0.81 1.0

Dreiecks-Helligkeit i^*

%Umfang

$u^*_{rel} = 88$

%Regularität

$g^*_{H,rel} = 31$

$g^*_{C,rel} = 40$

FRS15_90a; adaptierte CIELAB-Daten

u^*_d	$L^*=L^*_a$	a^*_a	b^*_a	$C^*_{ab,a}$	$h^*_{ab,a}$	u^*_e
o00y	38.8	53.92	39.68	66.95	36	r16j
o25y	47.46	42.34	51.25	66.48	50	r37j
o50y	56.54	30.2	63.39	70.22	65	r58j
o75y	67.39	15.68	77.9	79.47	79	r79j
y00l	82.58	-4.64	98.22	98.33	93	j01g
y25l	70.85	-21.66	80.19	83.07	105	j18g
y50l	61.91	-34.63	66.45	74.93	118	j36g
y75l	54.24	-45.77	54.66	71.29	130	j53g
l00c	46.95	-56.34	43.46	71.15	142	j71g
l50c	51.91	-36.84	-3.21	36.98	185	g21b
c00v	54.62	-26.2	-28.68	38.85	228	g60b
c50v	42.22	-0.61	-37.35	37.36	269	g97b
v00m	20.01	45.2	-52.87	69.56	311	b34r
v50m	29.93	57.31	-42.0	71.05	324	b45r
m00o	40.88	70.68	-29.99	76.78	337	b57r
m50o	39.77	61.72	7.23	62.15	7	b83r

$u^*_d = c00v$
 $LAB^*LCH^*_{Ma}$

$LAB^*LCH^*_{Ma}$

$i^* = 1.00$

Brillantheit i^*

$i^* = 0.80$

$i^* = 0.60$

$i^* = 0.40$

$i^* = 0.20$

$i^* = 0.00$

relative Bunttheit c^*

relative Bunttheit c^*

Ein und Ausgabe: Farbmetrisches Drucker-Reflektiv-System FRS15_90a für relativen CIELAB-Buntton $h^* = lab^*h^* = h_{ab}/360 = 0.747$

Daten für jede Farbe:

lab^*tch^* und lab^*icu^*

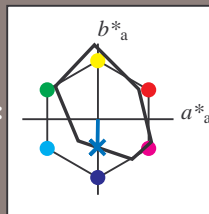
Bunttontexte:

$u^*_d = c50v$ $u^*_e = g97b$

Kontrastreduzierungsfaktor:

$c_R = 0.9$

Dreiecks-Helligkeit i^*



FRS15_90a; adaptierte CIELAB-Daten

u^*_d	$L^*=L^*_a$	a^*_a	b^*_a	$C^*_{ab,a}$	$h^*_{ab,a}$
O _{Ma}	38.8	53.92	39.68	66.95	36
Y _{Ma}	82.58	-4.64	98.22	98.33	93
L _{Ma}	46.95	-56.34	43.46	71.15	142
C _{Ma}	54.62	-26.2	-28.68	38.85	228
V _{Ma}	20.01	45.2	-52.87	69.56	311
M _{Ma}	40.88	70.68	-29.99	76.78	337
N _{Ma}	15.0	0.0	0.0	0.0	0
W _{Ma}	90.0	0.0	0.0	0.0	0
O _{Ma}	39.92	58.74	27.99	65.07	25
Y _{Ma}	81.26	-2.89	71.56	71.62	92
L _{Ma}	52.23	-42.42	13.6	44.55	162
V _{Ma}	30.57	1.41	-46.47	46.49	272

Daten für Maximalfarbe (Ma):

$LAB^*LAB^*_{Ma}$: 42 -1 -37

$LAB^*LCH^*_{Ma}$: 42 37 269

$lab^*olv^*_{Ma}$: 0.0 0.5 1.0

$lab^*rgb^*_{Ma}$: 0.0 0.05 1.0

Dreiecks-Helligkeit i^*

%Umfang

$u^*_{rel} = 88$

%Regularität

$g^*_{H,rel} = 31$

$g^*_{C,rel} = 40$

FRS15_90a; adaptierte CIELAB-Daten

u^*_d	$L^*=L^*_a$	a^*_a	b^*_a	$C^*_{ab,a}$	$h^*_{ab,a}$	u^*_e
o00y	38.8	53.92	39.68	66.95	36	r16j
o25y	47.46	42.34	51.25	66.48	50	r37j
o50y	56.54	30.2	63.39	70.22	65	r58j
o75y	67.39	15.68	77.9	79.47	79	r79j
y00l	82.58	-4.64	98.22	98.33	93	j01g
y25l	70.85	-21.66	80.19	83.07	105	j18g
y50l	61.91	-34.63	66.45	74.93	118	j36g
y75l	54.24	-45.77	54.66	71.29	130	j53g
l00c	46.95	-56.34	43.46	71.15	142	j71g
l50c	51.91	-36.84	-3.21	36.98	185	g21b
c00v	54.62	-26.2	-28.68	38.85	228	g60b
c50v	42.22	-0.61	-37.35	37.36	269	g97b
v00m	20.01	45.2	-52.87	69.56	311	b34r
v50m	29.93	57.31	-42.0	71.05	324	b45r
m00o	40.88	70.68	-29.99	76.78	337	b57r
m50o	39.77	61.72	7.23	62.15	7	b83r

$LAB^*LCH^*_{Ma}$

$i^* = 1.00$

Brillantheit i^*

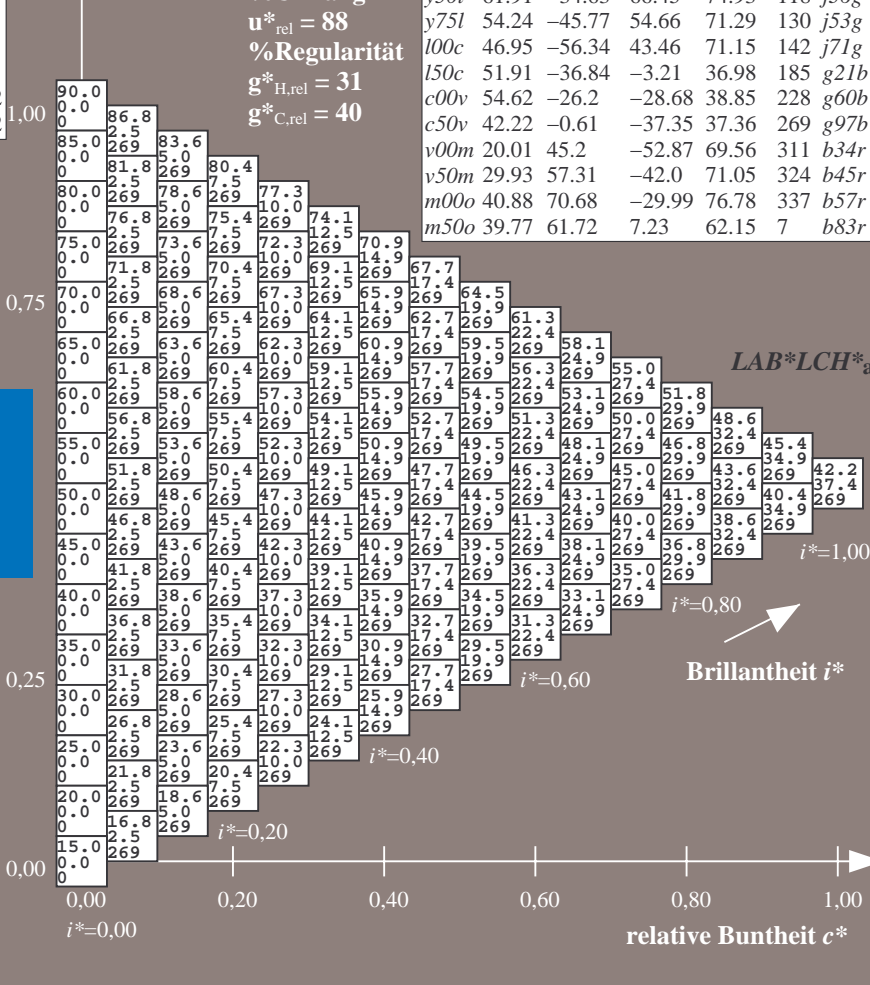
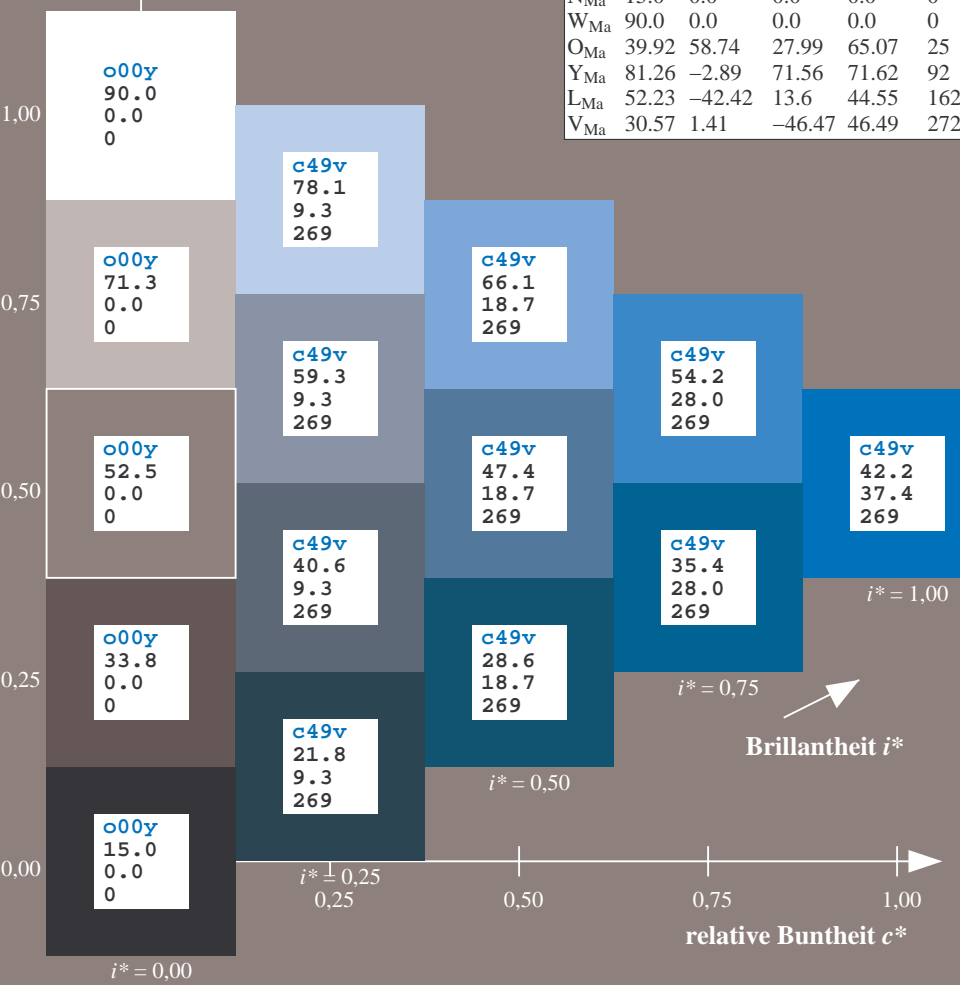
$i^* = 0.80$

$i^* = 0.60$

$i^* = 0.40$

$i^* = 0.20$

$i^* = 0.00$



Ein und Ausgabe: Farbmetrisches Drucker-Reflektiv-System FRS15_90a für relativen CIELAB-Buntton $h^* = lab^*h^* = h_{ab}/360 = 0.863$

Daten für jede Farbe:

lab^*ch^* und lab^*icu^*

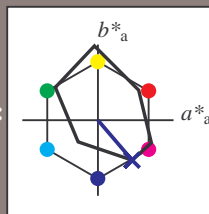
Bunttontexte:

$u^*_d = v00m$ $u^*_e = b34r$

Kontrastreduzierungsfaktor:

$c_R = 0.9$

Dreiecks-Helligkeit i^*



FRS15_90a; adaptierte CIELAB-Daten

u^*_d	$L^*=L^*_a$	a^*_a	b^*_a	$C^*_{ab,a}$	$h^*_{ab,a}$
O _{Ma}	38.8	53.92	39.68	66.95	36
Y _{Ma}	82.58	-4.64	98.22	98.33	93
L _{Ma}	46.95	-56.34	43.46	71.15	142
C _{Ma}	54.62	-26.2	-28.68	38.85	228
V _{Ma}	20.01	45.2	-52.87	69.56	311
M _{Ma}	40.88	70.68	-29.99	76.78	337
N _{Ma}	15.0	0.0	0.0	0.0	0
W _{Ma}	90.0	0.0	0.0	0.0	0
O _{Ma}	39.92	58.74	27.99	65.07	25
Y _{Ma}	81.26	-2.89	71.56	71.62	92
L _{Ma}	52.23	-42.42	13.6	44.55	162
V _{Ma}	30.57	1.41	-46.47	46.49	272

Daten für Maximalfarbe (Ma):

$LAB^*LAB^*_{Ma}$: 20 45 -53

$LAB^*LCH^*_{Ma}$: 20 70 310

$lab^*olv^*_{Ma}$: 0.0 0.0 1.0

$lab^*rgb^*_{Ma}$: 0.68 0.0 1.0

Dreiecks-Helligkeit i^*

%Umfang

$u^*_{rel} = 88$

%Regularität

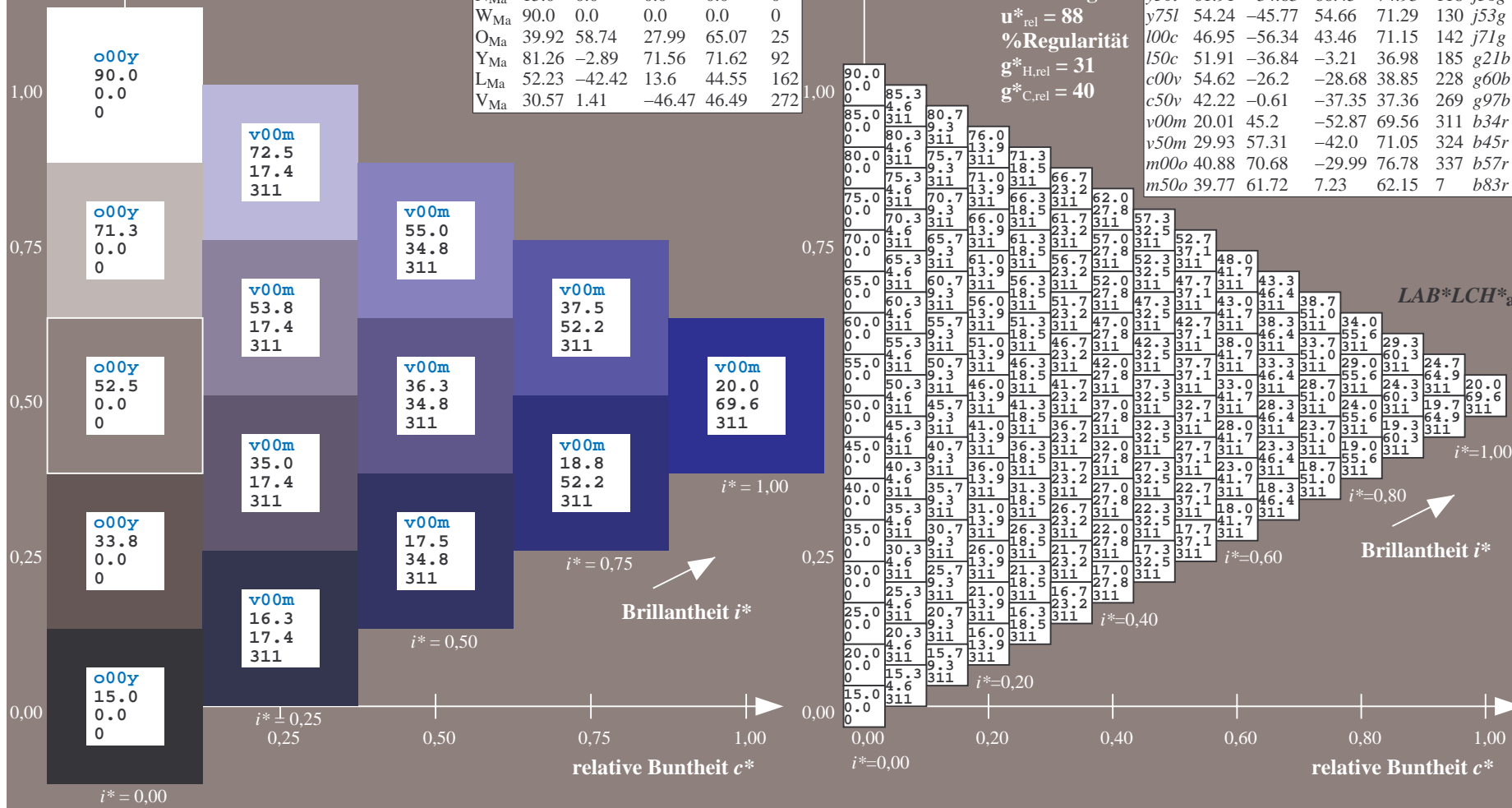
$g^*_{H,rel} = 31$

$g^*_{C,rel} = 40$

FRS15_90a; adaptierte CIELAB-Daten

u^*_d	$L^*=L^*_a$	a^*_a	b^*_a	$C^*_{ab,a}$	$h^*_{ab,a}$	u^*_e
o00y	38.8	53.92	39.68	66.95	36	r16j
o25y	47.46	42.34	51.25	66.48	50	r37j
o50y	56.54	30.2	63.39	70.22	65	r58j
o75y	67.39	15.68	77.9	79.47	79	r79j
y00l	82.58	-4.64	98.22	98.33	93	j01g
y25l	70.85	-21.66	80.19	83.07	105	j18g
y50l	61.91	-34.63	66.45	74.93	118	j36g
y75l	54.24	-45.77	54.66	71.29	130	j53g
l00c	46.95	-56.34	43.46	71.15	142	j71g
l50c	51.91	-36.84	-3.21	36.98	185	g21b
c00v	54.62	-26.2	-28.68	38.85	228	g60b
c50v	42.22	-0.61	-37.35	37.36	269	g97b
v00m	20.01	45.2	-52.87	69.56	311	b34r
v50m	29.93	57.31	-42.0	71.05	324	b45r
m00o	40.88	70.68	-29.99	76.78	337	b57r
m50o	39.77	61.72	7.23	62.15	7	b83r

$u^*_d = v00m$
 $LAB^*LCH^*_{Ma}$



Ein und Ausgabe: Farbmetrisches Drucker-Reflektiv-System FRS15_90a für relativen CIELAB-Buntton $h^* = \text{lab}^*h^* = h_{ab}/360 = 0.899$

Daten für jede Farbe:

lab^*tch^* und lab^*icu^*

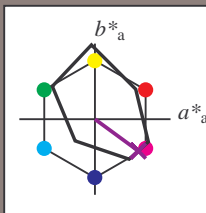
Bunttontexte:

$u^*_d = v50m$ $u^*_e = b45r$

Kontrastreduzierungsfaktor:

$c_R = 0.9$

Dreiecks-Helligkeit i^*



FRS15_90a; adaptierte CIELAB-Daten

u^*_d	$L^*=L^*_a$	a^*_a	b^*_a	$C^*_{ab,a}$	$h^*_{ab,a}$
O _{Ma}	38.8	53.92	39.68	66.95	36
Y _{Ma}	82.58	-4.64	98.22	98.33	93
L _{Ma}	46.95	-56.34	43.46	71.15	142
C _{Ma}	54.62	-26.2	-28.68	38.85	228
V _{Ma}	20.01	45.2	-52.87	69.56	311
M _{Ma}	40.88	70.68	-29.99	76.78	337
N _{Ma}	15.0	0.0	0.0	0.0	0
W _{Ma}	90.0	0.0	0.0	0.0	0
O _{Ma}	39.92	58.74	27.99	65.07	25
Y _{Ma}	81.26	-2.89	71.56	71.62	92
L _{Ma}	52.23	-42.42	13.6	44.55	162
V _{Ma}	30.57	1.41	-46.47	46.49	272

Daten für Maximalfarbe (Ma):

$\text{LAB}^*\text{LAB}^*_{Ma}$: 30 57 -42

$\text{LAB}^*\text{LCH}^*_{Ma}$: 30 71 323

$\text{lab}^*\text{olv}^*_{Ma}$: 0.5 0.0 1.0

$\text{lab}^*\text{rgb}^*_{Ma}$: 0.91 0.0 1.0

Dreiecks-Helligkeit i^*

%Umfang

$u^*_{rel} = 88$

%Regularität

$g^*_{H,rel} = 31$

$g^*_{C,rel} = 40$

FRS15_90a; adaptierte CIELAB-Daten

u^*_d	$L^*=L^*_a$	a^*_a	b^*_a	$C^*_{ab,a}$	$h^*_{ab,a}$	u^*_e
o00y	38.8	53.92	39.68	66.95	36	r16j
o25y	47.46	42.34	51.25	66.48	50	r37j
o50y	56.54	30.2	63.39	70.22	65	r58j
o75y	67.39	15.68	77.9	79.47	79	r79j
y00l	82.58	-4.64	98.22	98.33	93	j01g
y25l	70.85	-21.66	80.19	83.07	105	j18g
y50l	61.91	-34.63	66.45	74.93	118	j36g
y75l	54.24	-45.77	54.66	71.29	130	j53g
l00c	46.95	-56.34	43.46	71.15	142	j71g
l50c	51.91	-36.84	-3.21	36.98	185	g21b
c00v	54.62	-26.2	-28.68	38.85	228	g60b
c50v	42.22	-0.61	-37.35	37.36	269	g97b
v00m	20.01	45.2	-52.87	69.56	311	b34r
v50m	29.93	57.31	-42.0	71.05	324	b45r
m00o	40.88	70.68	-29.99	76.78	337	b57r
m50o	39.77	61.72	7.23	62.15	7	b83r

$u^*_d = v50m$
 $\text{LAB}^*\text{LCH}^*_{Ma}$

$\text{LAB}^*\text{LCH}^*_{Ma}$

$i^* = 1.00$

Brillantheit i^*

relative Buntheit c^*

Ein und Ausgabe: Farbmetrisches Drucker-Reflektiv-System FRS15_90a für relativen CIELAB-Buntton $h^* = \text{lab}^*h^* = h_{ab}/360 = 0.936$

Daten für jede Farbe:

lab^*tch^* und lab^*icu^*

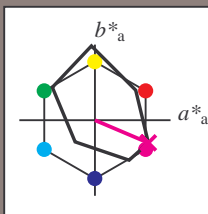
Bunttontexte:

$u^*_d = m00o$ $u^*_e = b57r$

Kontrastreduzierungsfaktor:

$c_R = 0.9$

Dreiecks-Helligkeit i^*



FRS15_90a; adaptierte CIELAB-Daten

u^*_d	$L^*=L^*_a$	a^*_a	b^*_a	$C^*_{ab,a}$	$h^*_{ab,a}$
O _{Ma}	38.8	53.92	39.68	66.95	36
Y _{Ma}	82.58	-4.64	98.22	98.33	93
L _{Ma}	46.95	-56.34	43.46	71.15	142
C _{Ma}	54.62	-26.2	-28.68	38.85	228
V _{Ma}	20.01	45.2	-52.87	69.56	311
M _{Ma}	40.88	70.68	-29.99	76.78	337
N _{Ma}	15.0	0.0	0.0	0.0	0
W _{Ma}	90.0	0.0	0.0	0.0	0
O _{Ma}	39.92	58.74	27.99	65.07	25
Y _{Ma}	81.26	-2.89	71.56	71.62	92
L _{Ma}	52.23	-42.42	13.6	44.55	162
V _{Ma}	30.57	1.41	-46.47	46.49	272

Daten für Maximalfarbe (Ma):

$\text{LAB}^*\text{LAB}^*_{\text{Ma}}$: 41 71 -30

$\text{LAB}^*\text{LCH}^*_{\text{Ma}}$: 41 77 337

$\text{lab}^*\text{olv}^*_{\text{Ma}}$: 1.0 0.0 1.0

$\text{lab}^*\text{rgb}^*_{\text{Ma}}$: 1.0 0.0 0.85

Dreiecks-Helligkeit i^*

%Umfang

$u^*_{\text{rel}} = 88$

%Regularität

$g^*_{H,\text{rel}} = 31$

$g^*_{C,\text{rel}} = 40$

FRS15_90a; adaptierte CIELAB-Daten

u^*_d	$L^*=L^*_a$	a^*_a	b^*_a	$C^*_{ab,a}$	$h^*_{ab,a}$	u^*_e
o00y	38.8	53.92	39.68	66.95	36	r16j
o25y	47.46	42.34	51.25	66.48	50	r37j
o50y	56.54	30.2	63.39	70.22	65	r58j
o75y	67.39	15.68	77.9	79.47	79	r79j
y00l	82.58	-4.64	98.22	98.33	93	j01g
y25l	70.85	-21.66	80.19	83.07	105	j18g
y50l	61.91	-34.63	66.45	74.93	118	j36g
y75l	54.24	-45.77	54.66	71.29	130	j53g
l00c	46.95	-56.34	43.46	71.15	142	j71g
l50c	51.91	-36.84	-3.21	36.98	185	g21b
c00v	54.62	-26.2	-28.68	38.85	228	g60b
c50v	42.22	-0.61	-37.35	37.36	269	g97b
v00m	20.01	45.2	-52.87	69.56	311	b34r
v50m	29.93	57.31	-42.0	71.05	324	b45r
m00o	40.88	70.68	-29.99	76.78	337	b57r
m50o	39.77	61.72	7.23	62.15	7	b83r

$\text{LAB}^*\text{LCH}^*_a$

$i^*=1.00$

Brillantheit i^*

$i^*=0.80$

$i^*=0.60$

$i^*=0.40$

$i^*=0.20$

$i^*=0.00$

relative Buntheit c^*

relative Buntheit c^*

Ein und Ausgabe: Farbmetrisches Drucker-Reflektiv-System FRS15_90a für relativen CIELAB-Buntton $h^* = lab^*h^* = h_{ab}/360 = 0.019$

Daten für jede Farbe:

lab^*tch^* und lab^*icu^*

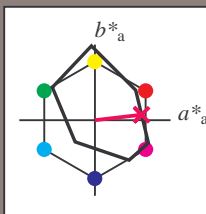
Bunttontexte:

$u^*_d = m50o$ $u^*_e = b83r$

Kontrastreduzierungsfaktor:

$c_R = 0.9$

Dreiecks-Helligkeit i^*



FRS15_90a; adaptierte CIELAB-Daten						
u^*_d	$L^*=L^*_a$	a^*_a	b^*_a	$C^*_{ab,a}$	$h^*_{ab,a}$	
O _{Ma}	38.8	53.92	39.68	66.95	36	
Y _{Ma}	82.58	-4.64	98.22	98.33	93	
L _{Ma}	46.95	-56.34	43.46	71.15	142	
C _{Ma}	54.62	-26.2	-28.68	38.85	228	
V _{Ma}	20.01	45.2	-52.87	69.56	311	
M _{Ma}	40.88	70.68	-29.99	76.78	337	
N _{Ma}	15.0	0.0	0.0	0.0	0	
W _{Ma}	90.0	0.0	0.0	0.0	0	
O _{Ma}	39.92	58.74	27.99	65.07	25	
Y _{Ma}	81.26	-2.89	71.56	71.62	92	
L _{Ma}	52.23	-42.42	13.6	44.55	162	
V _{Ma}	30.57	1.41	-46.47	46.49	272	

Daten für Maximalfarbe (Ma):

$LAB^*LAB^*_{Ma}$: 40 62 7

$LAB^*LCH^*_{Ma}$: 40 62 6

$lab^*olv^*_{Ma}$: 1.0 0.0 0.5

$lab^*rgb^*_{Ma}$: 1.0 0.0 0.33

Dreiecks-Helligkeit i^*

%Umfang

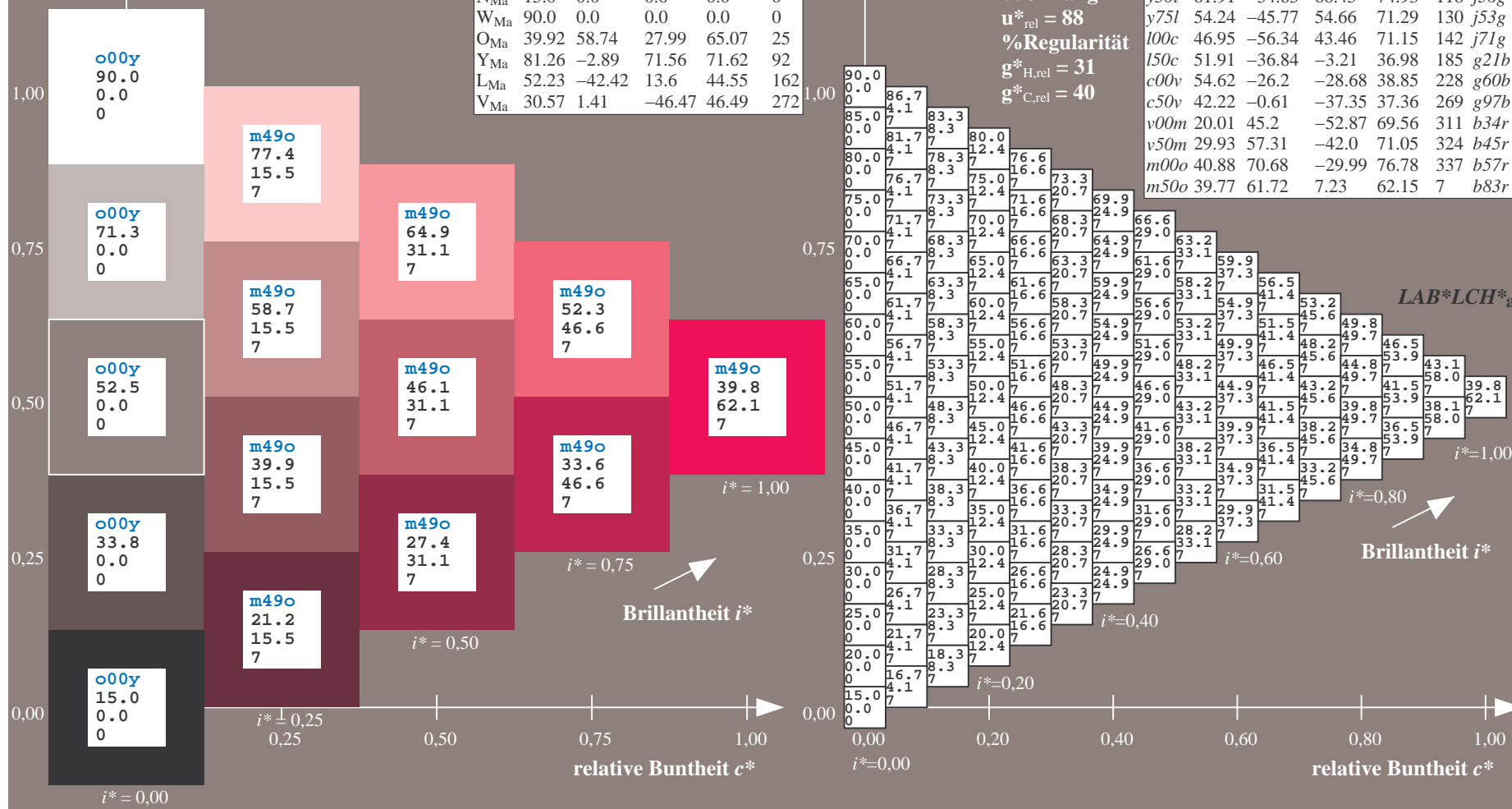
$u^*_{rel} = 88$

%Regularität

$g^*_{H,rel} = 31$

$g^*_{C,rel} = 40$

FRS15_90a; adaptierte CIELAB-Daten						
u^*_d	$L^*=L^*_a$	a^*_a	b^*_a	$C^*_{ab,a}$	$h^*_{ab,a}$	u^*_e
o00y	38.8	53.92	39.68	66.95	36	r16j
o25y	47.46	42.34	51.25	66.48	50	r37j
o50y	56.54	30.2	63.39	70.22	65	r58j
o75y	67.39	15.68	77.9	79.47	79	r79j
y00l	82.58	-4.64	98.22	98.33	93	j01g
y25l	70.85	-21.66	80.19	83.07	105	j18g
y50l	61.91	-34.63	66.45	74.93	118	j36g
y75l	54.24	-45.77	54.66	71.29	130	j53g
l00c	46.95	-56.34	43.46	71.15	142	j71g
l50c	51.91	-36.84	-3.21	36.98	185	g21b
c00v	54.62	-26.2	-28.68	38.85	228	g60b
c50v	42.22	-0.61	-37.35	37.36	269	g97b
v00m	20.01	45.2	-52.87	69.56	311	b34r
v50m	29.93	57.31	-42.0	71.05	324	b45r
m00o	40.88	70.68	-29.99	76.78	337	b57r
m50o	39.77	61.72	7.23	62.15	7	b83r



Siehe ähnliche Dateien: <http://www.ps.bam.de/Eg41/>; www.ps.bam.de/Eg41/10L/L41G00NA.PS/.TXT BAM-Material: Code=th4ta
Technische Information: <http://www.ps.bam.de> Version 2.1, io=1,1, ColSp=0

BAM-Registrierung: 20081001-Eg41/10L/L41G00NA.PS/.TXT BAM-Material: Code=th4ta
Anwendung für Beurteilung und Messung von Drucker- oder Monitorsystemen

	A	B	C	D	E	F	G	H	I	J	K	L	M	N	O	P	Q	R	S	T	U	V	W	X	Y	Z	a	b	c	d	e	f	g	h	i	j	k	LAB*LCH*																																																																																																																																																																																																																																																																																																																																																																																																																																																																																																																																																																																																																																																																																																																																																																																																																																																																																																																							
01	15.0	19.0	23.0	27.0	31.0	35.0	39.0	43.0	47.0	51.0	55.0	59.0	63.0	67.0	71.0	75.0	79.0	83.0	87.0	91.0	95.0	99.0	103.0	107.0	111.0	115.0	119.0	123.0	127.0	131.0	135.0	139.0	143.0	147.0	151.0	155.0	159.0	163.0	167.0	171.0	175.0	179.0	183.0	187.0	191.0	195.0	199.0	203.0	207.0	211.0	215.0	219.0	223.0	227.0	231.0	235.0	239.0	243.0	247.0	251.0	255.0	259.0	263.0	267.0	271.0	275.0	279.0	283.0	287.0	291.0	295.0	299.0	303.0	307.0	311.0	315.0	319.0	323.0	327.0	331.0	335.0	339.0	343.0	347.0	351.0	355.0	359.0	363.0	367.0	371.0	375.0	379.0	383.0	387.0	391.0	395.0	399.0	403.0	407.0	411.0	415.0	419.0	423.0	427.0	431.0	435.0	439.0	443.0	447.0	451.0	455.0	459.0	463.0	467.0	471.0	475.0	479.0	483.0	487.0	491.0	495.0	499.0	503.0	507.0	511.0	515.0	519.0	523.0	527.0	531.0	535.0	539.0	543.0	547.0	551.0	555.0	559.0	563.0	567.0	571.0	575.0	579.0	583.0	587.0	591.0	595.0	599.0	603.0	607.0	611.0	615.0	619.0	623.0	627.0	631.0	635.0	639.0	643.0	647.0	651.0	655.0	659.0	663.0	667.0	671.0	675.0	679.0	683.0	687.0	691.0	695.0	699.0	703.0	707.0	711.0	715.0	719.0	723.0	727.0	731.0	735.0	739.0	743.0	747.0	751.0	755.0	759.0	763.0	767.0	771.0	775.0	779.0	783.0	787.0	791.0	795.0	799.0	803.0	807.0	811.0	815.0	819.0	823.0	827.0	831.0	835.0	839.0	843.0	847.0	851.0	855.0	859.0	863.0	867.0	871.0	875.0	879.0	883.0	887.0	891.0	895.0	899.0	903.0	907.0	911.0	915.0	919.0	923.0	927.0	931.0	935.0	939.0	943.0	947.0	951.0	955.0	959.0	963.0	967.0	971.0	975.0	979.0	983.0	987.0	991.0	995.0	999.0	1003.0	1007.0	1011.0	1015.0	1019.0	1023.0	1027.0	1031.0	1035.0	1039.0	1043.0	1047.0	1051.0	1055.0	1059.0	1063.0	1067.0	1071.0	1075.0	1079.0	1083.0	1087.0	1091.0	1095.0	1099.0	1103.0	1107.0	1111.0	1115.0	1119.0	1123.0	1127.0	1131.0	1135.0	1139.0	1143.0	1147.0	1151.0	1155.0	1159.0	1163.0	1167.0	1171.0	1175.0	1179.0	1183.0	1187.0	1191.0	1195.0	1199.0	1203.0	1207.0	1211.0	1215.0	1219.0	1223.0	1227.0	1231.0	1235.0	1239.0	1243.0	1247.0	1251.0	1255.0	1259.0	1263.0	1267.0	1271.0	1275.0	1279.0	1283.0	1287.0	1291.0	1295.0	1299.0	1303.0	1307.0	1311.0	1315.0	1319.0	1323.0	1327.0	1331.0	1335.0	1339.0	1343.0	1347.0	1351.0	1355.0	1359.0	1363.0	1367.0	1371.0	1375.0	1379.0	1383.0	1387.0	1391.0	1395.0	1399.0	1403.0	1407.0	1411.0	1415.0	1419.0	1423.0	1427.0	1431.0	1435.0	1439.0	1443.0	1447.0	1451.0	1455.0	1459.0	1463.0	1467.0	1471.0	1475.0	1479.0	1483.0	1487.0	1491.0	1495.0	1499.0	1503.0	1507.0	1511.0	1515.0	1519.0	1523.0	1527.0	1531.0	1535.0	1539.0	1543.0	1547.0	1551.0	1555.0	1559.0	1563.0	1567.0	1571.0	1575.0	1579.0	1583.0	1587.0	1591.0	1595.0	1599.0	1603.0	1607.0	1611.0	1615.0	1619.0	1623.0	1627.0	1631.0	1635.0	1639.0	1643.0	1647.0	1651.0	1655.0	1659.0	1663.0	1667.0	1671.0	1675.0	1679.0	1683.0	1687.0	1691.0	1695.0	1699.0	1703.0	1707.0	1711.0	1715.0	1719.0	1723.0	1727.0	1731.0	1735.0	1739.0	1743.0	1747.0	1751.0	1755.0	1759.0	1763.0	1767.0	1771.0	1775.0	1779.0	1783.0	1787.0	1791.0	1795.0	1799.0	1803.0	1807.0	1811.0	1815.0	1819.0	1823.0	1827.0	1831.0	1835.0	1839.0	1843.0	1847.0	1851.0	1855.0	1859.0	1863.0	1867.0	1871.0	1875.0	1879.0	1883.0	1887.0	1891.0	1895.0	1899.0	1903.0	1907.0	1911.0	1915.0	1919.0	1923.0	1927.0	1931.0	1935.0	1939.0	1943.0	1947.0	1951.0	1955.0	1959.0	1963.0	1967.0	1971.0	1975.0	1979.0	1983.0	1987.0	1991.0	1995.0	1999.0	2003.0	2007.0	2011.0	2015.0	2019.0	2023.0	2027.0	2031.0	2035.0	2039.0	2043.0	2047.0	2051.0	2055.0	2059.0	2063.0	2067.0	2071.0	2075.0	2079.0	2083.0	2087.0	2091.0	2095.0	2099.0	2103.0	2107.0	2111.0	2115.0	2119.0	2123.0	2127.0	2131.0	2135.0	2139.0	2143.0	2147.0	2151.0	2155.0	2159.0	2163.0	2167.0	2171.0	2175.0	2179.0	2183.0	2187.0	2191.0	2195.0	2199.0	2203.0	2207.0	2211.0	2215.0	2219.0	2223.0	2227.0	2231.0	2235.0	2239.0	2243.0	2247.0	2251.0	2255.0	2259.0	2263.0	2267.0	2271.0	2275.0	2279.0	2283.0	2287.0	2291.0	2295.0	2299.0	2303.0	2307.0	2311.0	2315.0	2319.0	2323.0	2327.0	2331.0	2335.0	2339.0	2343.0	2347.0	2351.0	2355.0	2359.0	2363.0	2367.0	2371.0	2375.0	2379.0	2383.0	2387.0	2391.0	2395.0	2399.0	2403.0	2407.0	2411.0	2415.0	2419.0	2423.0	2427.0	2431.0	2435.0	2439.0	2443.0	2447.0	2451.0	2455.0	2459.0	2463.0	2467.0	2471.0	2475.0	2479.0	2483.0	2487.0	2491.0	2495.0	2499.0	2503.0	2507.0	2511.0	2515.0	2519.0	2523.0	2527.0	2531.0	2535.0	2539.0	2543.0	2547.0	2551.0	2555.0	2559.0	2563.0	2567.0	2571.0	2575.0	2579.0	2583.0	2587.0	2591.0	2595.0	2599.0	2603.0	2607.0	2611.0	2615.0	2619.0	2623.0	2627.0	2631.0	2635.0	2639.0	2643.0	2647.0	2651.0	2655.0	2659.0	2663.0	2667.0	2671.0	2675.0	2679.0	2683.0	2687.0	2691.0	2695.0	2699.0	2703.0	2707.0	2711.0	2715.0	2719.0	2723.0	2727.0	2731.0	2735.0	2739.0	2743.0	2747.0	2751.0	2755.0	2759.0	2763.0	2767.0	2771.0	2775.0	2779.0	2783.0	2787.0	2791.0	2795.0	2799.0	2803.0	2807.0	2811.0	2815.0	2819.0	2823.0	2827.0	2831.0	2835.0	2839.0	2843.0	2847.0	2851.0	2855.0	2859.0	2863.0	2867.0	2871.0	2875.0	2879.0	2883.0	2887.0	2891.0	2895.0	2899.0	2903.0	2907.0	2911.0	2915.0	2919.0	2923.0	2927.0	2931.0	2935.0	2939.0	2943.0	2947.0	2951.0	2955.0	2959.0	2963.0	2967.0	2971.0	2975.0	2979.0	2983.0	2987.0	2991.0	2995.0	2999.0	3003.0	3007.0	3011.0	3015.0	3019.0	3023.0	3027.0	3031.0	3035.0	3039.0	3043.0	3047.0	3051.0	3055.0	3059.0	3063.0	3067.0	3071.0	3075.0	3079.0	3083.0	3087.0	3091.0	3095.0	3099.0	3103.0	3107.0	3111.0	3115.0	3119.0	3123.0	3127.0	3131.0	3135.0	3139.0	3143.0	3147.0	3151.0	3155.0	3159.0	3163.0	3167.0	3171.0	3175.0	3179.0	3183.0	3187.0	3191.0	3195.0	3199.0	3203.0	3207.0	3211.0	3215.0	3219.0	3223.0	3227.0	3231.0	3235.0	3239.0	3243.0	3247.0	3251.0	3255.0	3259.0	3263.0	3267.0	3271.0	3275.0	3279.0	3283.0	3287.0	3291.0	3295.0	3299.0	3303.0	3307.0	3311.0	3315.0	3319.0	3323.0	3327.0	3331.0	3335.0	3339.0	3343.0	3347.0	3351.0	3355.0	3359.0	3363.0	3367.0	3371.0	3375.0	3379.0	3383.0	3387.0	3391.0	3395.0	3399.0	3403.0	3407.0	3411.0	3415.0	3419.0	3423.0	3427.0	3431.0	3435.0	3439.0	3443.0	3447.0	3451.0	3455.0	3459.0	3463.0	3467.0	3471.0	3475.0	3479.0	3483.0	3487.0	3491.0	3495.0	3499.0	3503.0	3507.0	3511.0	3515.0	3519.0	3523.0	3527.0	3531.0	3535.0	3539.0	3543.0	3547.0	3551.0	3555.0	3559.0	3563.0	3567.0	3571.0	3575.0	3579.0	3583.0	3587.0	3591.0	3595.0	3599.0	3603.0	3607.0	3611.0	3615.0	3619.0	3623.0	3627.0	3631.0	3635.0	3639.0	3643.0	3647.0	3651.0	3655.0	3659.0	3663.0	3667.0	3671.0	3675.0	3679.0	3683.0	3687.0	3691.0	3695.0	3699.0	3703.0	3707.0	3711.0

Ein und Ausgabe:
Farbmetrisches Drucker-Reflektiv-System FRS15_90a
Daten für jede Farbe:

u^*_d und Nummer $Nr.$ = 00 .. 15

Geräte-Bunttontext:

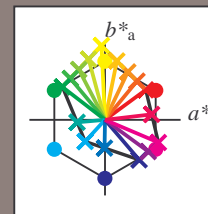
u^*_d = 16 Bunttoene $o00y$, $o25y$, ..., $m50o$

Kontrastreduzierungsfaktor:

$c_R = 0.9$

FRS15_90a; adaptierte CIELAB-Daten

u^*_d	$L^*=L^*_a$	a^*_a	b^*_a	$C^*_{ab,a}$	$h^*_{ab,a}$	u^*_e
$o00y$	38.8	53.92	39.68	66.95	36	$r16j$
$o25y$	47.46	42.34	51.25	66.48	50	$r37j$
$o50y$	56.54	30.2	63.39	70.22	65	$r58j$
$o75y$	67.39	15.68	77.9	79.47	79	$r79j$
$y00l$	82.58	-4.64	98.22	98.33	93	$j01g$
$y25l$	70.85	-21.66	80.19	83.07	105	$j18g$
$y50l$	61.91	-34.63	66.45	74.93	118	$j36g$
$y75l$	54.24	-45.77	54.66	71.29	130	$j53g$
$l00c$	46.95	-56.34	43.46	71.15	142	$j71g$
$l50c$	51.91	-36.84	-3.21	36.98	185	$g21b$
$c00v$	54.62	-26.2	-28.68	38.85	228	$g60b$
$c50v$	42.22	-0.61	-37.35	37.36	269	$g97b$
$v00m$	20.01	45.2	-52.87	69.56	311	$b34r$
$v50m$	29.93	57.31	-42.0	71.05	324	$b45r$
$m00o$	40.88	70.68	-29.99	76.78	337	$b57r$
$m50o$	39.77	61.72	7.23	62.15	7	$b83r$



%Umfang

$u^*_{rel} = 88$

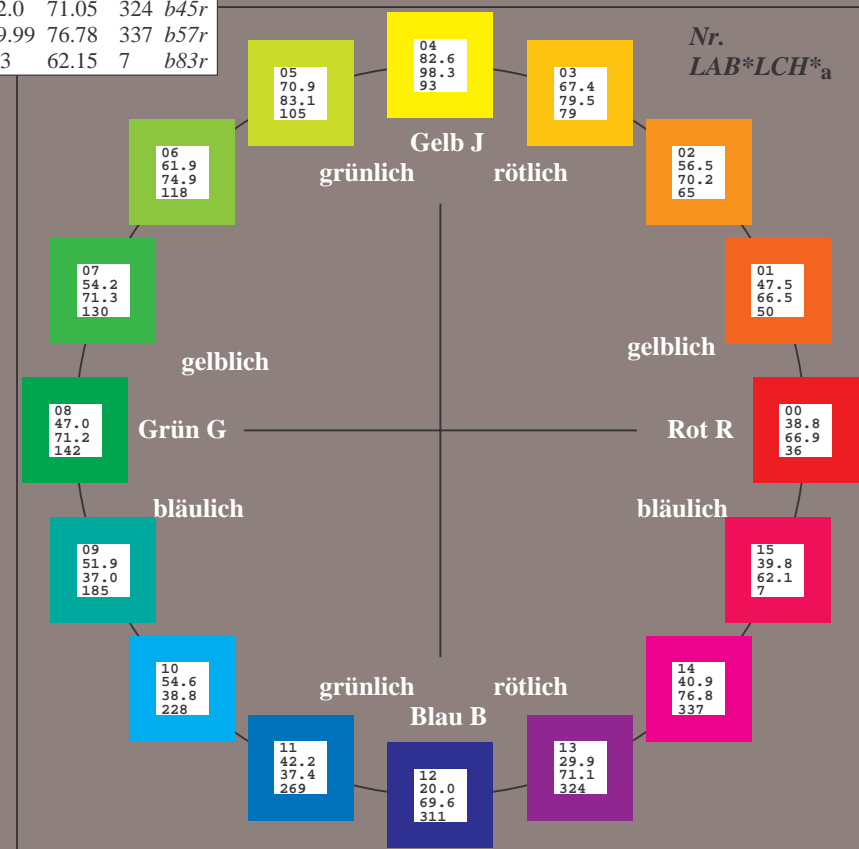
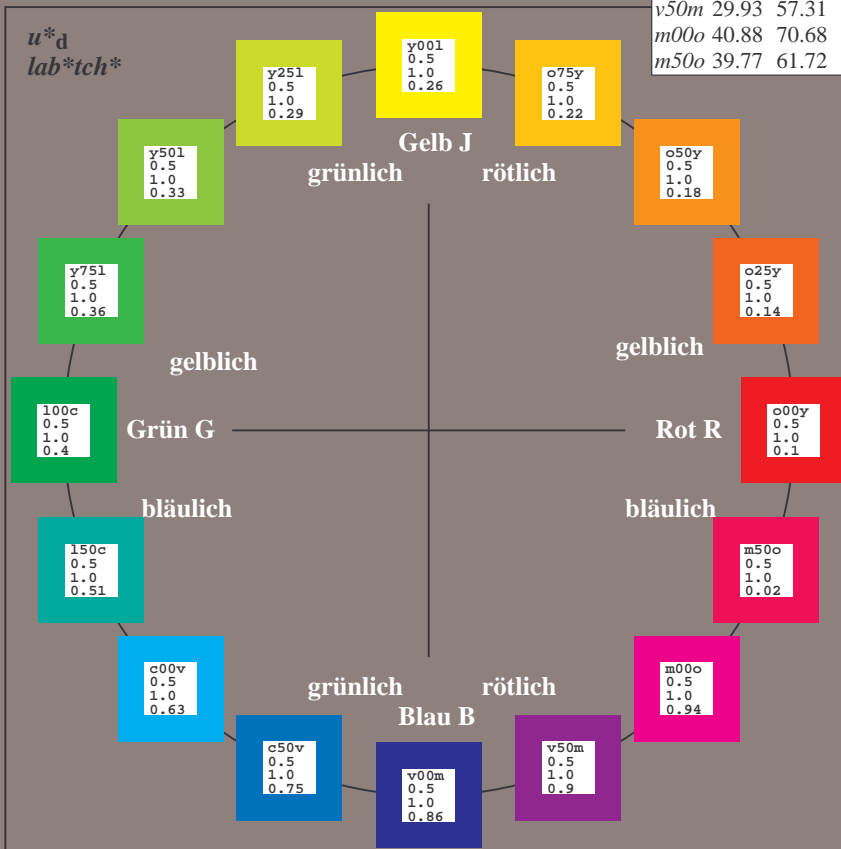
%Regularität

$g^*_{H,rel} = 31$

$g^*_{C,rel} = 40$

FRS15_90a; adaptierte CIELAB-Daten

Name	$L^*=L^*_a$	a^*_a	b^*_a	$C^*_{ab,a}$	$h^*_{ab,a}$
O_{Ma}	38.8	53.92	39.68	66.95	36
Y_{Ma}	82.58	-4.64	98.22	98.33	93
L_{Ma}	46.95	-56.34	43.46	71.15	142
C_{Ma}	54.62	-26.2	-28.68	38.85	228
V_{Ma}	20.01	45.2	-52.87	69.56	311
M_{Ma}	40.88	70.68	-29.99	76.78	337
N_{Ma}	15.0	0.0	0.0	0.0	0
W_{Ma}	90.0	0.0	0.0	0.0	0
O_{CIE}	39.92	58.74	27.99	65.07	25
Y_{CIE}	81.26	-2.89	71.56	71.62	92
L_{CIE}	52.23	-42.42	13.6	44.55	162
V_{CIE}	30.57	1.41	-46.47	46.49	272



Ein und Ausgabe: Farbmimetrisches Drucker-Reflektiv-System FRS15_90a für relativen CIELAB-Buntton $h^* = \text{lab}^*h^* = h_{ab}/360 = 0.101$

Daten für jede Farbe:

lab^*tch^* und lab^*icu^*

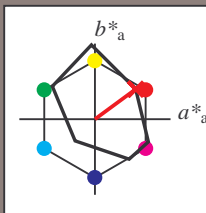
Bunttontexte:

$u^*_d = o00y$ $u^*_e = r16j$

Kontrastreduzierungsfaktor:

$c_R = 0.9$

Dreiecks-Helligkeit i^*



FRS15_90a; adaptierte CIELAB-Daten					
u^*_d	$L^*=L^*_a$	a^*_a	b^*_a	$C^*_{ab,a}$	$h^*_{ab,a}$
O _{Ma}	38.8	53.92	39.68	66.95	36
Y _{Ma}	82.58	-4.64	98.22	98.33	93
L _{Ma}	46.95	-56.34	43.46	71.15	142
C _{Ma}	54.62	-26.2	-28.68	38.85	228
V _{Ma}	20.01	45.2	-52.87	69.56	311
M _{Ma}	40.88	70.68	-29.99	76.78	337
N _{Ma}	15.0	0.0	0.0	0.0	0
W _{Ma}	90.0	0.0	0.0	0.0	0
O _{Ma}	39.92	58.74	27.99	65.07	25
Y _{Ma}	81.26	-2.89	71.56	71.62	92
L _{Ma}	52.23	-42.42	13.6	44.55	162
V _{Ma}	30.57	1.41	-46.47	46.49	272

Daten für Maximalfarbe (Ma):

$\text{LAB}^*\text{LAB}^*_{Ma}$: 39 54 40

$\text{LAB}^*\text{LCH}^*_{Ma}$: 39 67 36

$\text{lab}^*\text{olv}^*_{Ma}$: 1.0 0.0 0.0

$\text{lab}^*\text{rgb}^*_{Ma}$: 1.0 0.16 0.0

Dreiecks-Helligkeit i^*

%Umfang

$u^*_{rel} = 88$

%Regularität

$g^*_{H,rel} = 31$

$g^*_{C,rel} = 40$

FRS15_90a; adaptierte CIELAB-Daten					
u^*_d	$L^*=L^*_a$	a^*_a	b^*_a	$C^*_{ab,a}$	$h^*_{ab,a}$
$o00y$	38.8	53.92	39.68	66.95	36
$o25y$	47.46	42.34	51.25	66.48	50
$o50y$	56.54	30.2	63.39	70.22	65
$o75y$	67.39	15.68	77.9	79.47	79
$y00l$	82.58	-4.64	98.22	98.33	93
$y25l$	70.85	-21.66	80.19	83.07	105
$y50l$	61.91	-34.63	66.45	74.93	118
$y75l$	54.24	-45.77	54.66	71.29	130
$l00c$	46.95	-56.34	43.46	71.15	142
$l50c$	51.91	-36.84	-3.21	36.98	185
$c00v$	54.62	-26.2	-28.68	38.85	228
$c50v$	42.22	-0.61	-37.35	37.36	269
$v00m$	20.01	45.2	-52.87	69.56	311
$v50m$	29.93	57.31	-42.0	71.05	324
$m00o$	40.88	70.68	-29.99	76.78	337
$m50o$	39.77	61.72	7.23	62.15	7

lab^*tch^*

$i^* = 1.00$

Brillantheit i^*

$i^* = 0.80$

$i^* = 0.60$

$i^* = 0.40$

$i^* = 0.20$

$i^* = 0.00$

relative Buntheit c^*

relative Buntheit c^*

Ein und Ausgabe: Farbmimetrisches Drucker-Reflektiv-System FRS15_90a für relativen CIELAB-Buntton $h^* = lab^*h^* = h_{ab}/360 = 0.14$

Daten für jede Farbe:

lab^*tch^* und lab^*icu^*

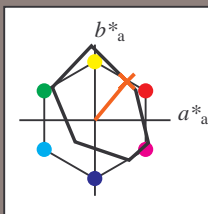
Bunttontexte:

$u^*_d = o25y$ $u^*_e = r37j$

Kontrastreduzierungsfaktor:

$c_R = 0.9$

Dreiecks-Helligkeit i^*



FRS15_90a; adaptierte CIELAB-Daten

u^*_d	$L^*=L^*_a$	a^*_a	b^*_a	$C^*_{ab,a}$	$h^*_{ab,a}$
O _{Ma}	38.8	53.92	39.68	66.95	36
Y _{Ma}	82.58	-4.64	98.22	98.33	93
L _{Ma}	46.95	-56.34	43.46	71.15	142
C _{Ma}	54.62	-26.2	-28.68	38.85	228
V _{Ma}	20.01	45.2	-52.87	69.56	311
M _{Ma}	40.88	70.68	-29.99	76.78	337
N _{Ma}	15.0	0.0	0.0	0.0	0
W _{Ma}	90.0	0.0	0.0	0.0	0
O _{Ma}	39.92	58.74	27.99	65.07	25
Y _{Ma}	81.26	-2.89	71.56	71.62	92
L _{Ma}	52.23	-42.42	13.6	44.55	162
V _{Ma}	30.57	1.41	-46.47	46.49	272

Daten für Maximalfarbe (Ma):

$LAB^*LAB^*_{Ma}$: 47 42 51

$LAB^*LCH^*_{Ma}$: 47 66 50

$lab^*olv^*_{Ma}$: 1.0 0.25 0.0

$lab^*rgb^*_{Ma}$: 1.0 0.37 0.0

Dreiecks-Helligkeit i^*

%Umfang

$u^*_{rel} = 88$

%Regularität

$g^*_{H,rel} = 31$

$g^*_{C,rel} = 40$

FRS15_90a; adaptierte CIELAB-Daten

u^*_d	$L^*=L^*_a$	a^*_a	b^*_a	$C^*_{ab,a}$	$h^*_{ab,a}$	u^*_e
o00y	38.8	53.92	39.68	66.95	36	r16j
o25y	47.46	42.34	51.25	66.48	50	r37j
o50y	56.54	30.2	63.39	70.22	65	r58j
o75y	67.39	15.68	77.9	79.47	79	r79j
y00l	82.58	-4.64	98.22	98.33	93	j01g
y25l	70.85	-21.66	80.19	83.07	105	j18g
y50l	61.91	-34.63	66.45	74.93	118	j36g
y75l	54.24	-45.77	54.66	71.29	130	j53g
l00c	46.95	-56.34	43.46	71.15	142	j71g
l50c	51.91	-36.84	-3.21	36.98	185	g21b
c00v	54.62	-26.2	-28.68	38.85	228	g60b
c50v	42.22	-0.61	-37.35	37.36	269	g97b
v00m	20.01	45.2	-52.87	69.56	311	b34r
v50m	29.93	57.31	-42.0	71.05	324	b45r
m00o	40.88	70.68	-29.99	76.78	337	b57r
m50o	39.77	61.72	7.23	62.15	7	b83r

lab^*tch^*

$i^* = 1.00$

Brillantheit i^*

$i^* = 0.80$

$i^* = 0.60$

$i^* = 0.40$

$i^* = 0.20$

Ein und Ausgabe: Farbmetrisches Drucker-Reflektiv-System FRS15_90a für relativen CIELAB-Buntton $h^* = lab^*h^* = h_{ab}/360 = 0.179$

Daten für jede Farbe:

lab^*tch^* und lab^*icu^*

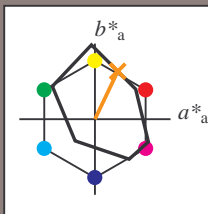
Bunttontexte:

$u^*_d = o50y$ $u^*_e = r58j$

Kontrastreduzierungsfaktor:

$c_R = 0.9$

Dreiecks-Helligkeit i^*



FRS15_90a; adaptierte CIELAB-Daten

u^*_d	$L^*=L^*_a$	a^*_a	b^*_a	$C^*_{ab,a}$	$h^*_{ab,a}$
O _{Ma}	38.8	53.92	39.68	66.95	36
Y _{Ma}	82.58	-4.64	98.22	98.33	93
L _{Ma}	46.95	-56.34	43.46	71.15	142
C _{Ma}	54.62	-26.2	-28.68	38.85	228
V _{Ma}	20.01	45.2	-52.87	69.56	311
M _{Ma}	40.88	70.68	-29.99	76.78	337
N _{Ma}	15.0	0.0	0.0	0.0	0
W _{Ma}	90.0	0.0	0.0	0.0	0
O _{Ma}	39.92	58.74	27.99	65.07	25
Y _{Ma}	81.26	-2.89	71.56	71.62	92
L _{Ma}	52.23	-42.42	13.6	44.55	162
V _{Ma}	30.57	1.41	-46.47	46.49	272

Daten für Maximalfarbe (Ma):

$LAB^*LAB^*_{Ma}$: 57 30 63

$LAB^*LCH^*_{Ma}$: 57 70 64

$lab^*olv^*_{Ma}$: 1.0 0.5 0.0

$lab^*rgb^*_{Ma}$: 1.0 0.58 0.0

Dreiecks-Helligkeit i^*

%Umfang

$u^*_{rel} = 88$

%Regularität

$g^*_{H,rel} = 31$

$g^*_{C,rel} = 40$

FRS15_90a; adaptierte CIELAB-Daten

u^*_d	$L^*=L^*_a$	a^*_a	b^*_a	$C^*_{ab,a}$	$h^*_{ab,a}$	u^*_e
o00y	38.8	53.92	39.68	66.95	36	r16j
o25y	47.46	42.34	51.25	66.48	50	r37j
o50y	56.54	30.2	63.39	70.22	65	r58j
o75y	67.39	15.68	77.9	79.47	79	r79j
y00l	82.58	-4.64	98.22	98.33	93	j01g
y25l	70.85	-21.66	80.19	83.07	105	j18g
y50l	61.91	-34.63	66.45	74.93	118	j36g
y75l	54.24	-45.77	54.66	71.29	130	j53g
l00c	46.95	-56.34	43.46	71.15	142	j71g
l50c	51.91	-36.84	-3.21	36.98	185	g21b
c00v	54.62	-26.2	-28.68	38.85	228	g60b
c50v	42.22	-0.61	-37.35	37.36	269	g97b
v00m	20.01	45.2	-52.87	69.56	311	b34r
v50m	29.93	57.31	-42.0	71.05	324	b45r
m00o	40.88	70.68	-29.99	76.78	337	b57r
m50o	39.77	61.72	7.23	62.15	7	b83r

lab^*tch^*

$i^* = 1.00$

Brillantheit i^*

$i^* = 0.80$

$i^* = 0.60$

$i^* = 0.40$

$i^* = 0.20$

$i^* = 0.00$

Ein und Ausgabe: Farbmetrisches Drucker-Reflektiv-System FRS15_90a für relativen CIELAB-Buntton $h^* = lab^*h^* = h_{ab}/360 = 0.218$

Daten für jede Farbe:

lab^*tch^* und lab^*icu^*

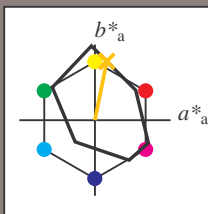
Bunttontexte:

$u^*_d = 0.75y$ $u^*_e = r79j$

Kontrastreduzierungsfaktor:

$c_R = 0.9$

Dreiecks-Helligkeit i^*



FRS15_90a; adaptierte CIELAB-Daten

u^*_d	$L^*=L^*_a$	a^*_a	b^*_a	$C^*_{ab,a}$	$h^*_{ab,a}$
O _{Ma}	38.8	53.92	39.68	66.95	36
Y _{Ma}	82.58	-4.64	98.22	98.33	93
L _{Ma}	46.95	-56.34	43.46	71.15	142
C _{Ma}	54.62	-26.2	-28.68	38.85	228
V _{Ma}	20.01	45.2	-52.87	69.56	311
M _{Ma}	40.88	70.68	-29.99	76.78	337
N _{Ma}	15.0	0.0	0.0	0.0	0
W _{Ma}	90.0	0.0	0.0	0.0	0
O _{Ma}	39.92	58.74	27.99	65.07	25
Y _{Ma}	81.26	-2.89	71.56	71.62	92
L _{Ma}	52.23	-42.42	13.6	44.55	162
V _{Ma}	30.57	1.41	-46.47	46.49	272

Daten für Maximalfarbe (Ma):

$LAB^*LAB^*_{Ma}$: 67 16 78

$LAB^*LCH^*_{Ma}$: 67 79 78

$lab^*olv^*_{Ma}$: 1.0 0.75 0.0

$lab^*rgb^*_{Ma}$: 1.0 0.8 0.0

Dreiecks-Helligkeit i^*

%Umfang

$u^*_{rel} = 88$

%Regularität

$g^*_{H,rel} = 31$

$g^*_{C,rel} = 40$

FRS15_90a; adaptierte CIELAB-Daten

u^*_d	$L^*=L^*_a$	a^*_a	b^*_a	$C^*_{ab,a}$	$h^*_{ab,a}$	u^*_e
o00y	38.8	53.92	39.68	66.95	36	r16j
o25y	47.46	42.34	51.25	66.48	50	r37j
o50y	56.54	30.2	63.39	70.22	65	r58j
o75y	67.39	15.68	77.9	79.47	79	r79j
y00l	82.58	-4.64	98.22	98.33	93	j01g
y25l	70.85	-21.66	80.19	83.07	105	j18g
y50l	61.91	-34.63	66.45	74.93	118	j36g
y75l	54.24	-45.77	54.66	71.29	130	j53g
l00c	46.95	-56.34	43.46	71.15	142	j71g
l50c	51.91	-36.84	-3.21	36.98	185	g21b
c00v	54.62	-26.2	-28.68	38.85	228	g60b
c50v	42.22	-0.61	-37.35	37.36	269	g97b
v00m	20.01	45.2	-52.87	69.56	311	b34r
v50m	29.93	57.31	-42.0	71.05	324	b45r
m00o	40.88	70.68	-29.99	76.78	337	b57r
m50o	39.77	61.72	7.23	62.15	7	b83r

lab^*tch^*

$i^* = 1.00$

Brillantheit i^*

$i^* = 0.80$

$i^* = 0.60$

$i^* = 0.40$

$i^* = 0.20$

$i^* = 0.00$

relative Buntheit c^*

relative Buntheit c^*

Ein und Ausgabe: Farbmetrisches Drucker-Reflektiv-System FRS15_90a für relativen CIELAB-Buntton $h^* = lab^*h^* = h_{ab}/360 = 0.258$

Daten für jede Farbe:

lab^*tch^* und lab^*icu^*

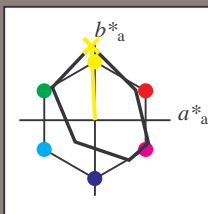
Bunttontexte:

$u^*_d = y00l$ $u^*_e = j0l1g$

Kontrastreduzierungsfaktor:

$c_R = 0.9$

Dreiecks-Helligkeit i^*



FRS15_90a; adaptierte CIELAB-Daten

u^*_d	$L^*=L^*_a$	a^*_a	b^*_a	$C^*_{ab,a}$	$h^*_{ab,a}$
O _{Ma}	38.8	53.92	39.68	66.95	36
Y _{Ma}	82.58	-4.64	98.22	98.33	93
L _{Ma}	46.95	-56.34	43.46	71.15	142
C _{Ma}	54.62	-26.2	-28.68	38.85	228
V _{Ma}	20.01	45.2	-52.87	69.56	311
M _{Ma}	40.88	70.68	-29.99	76.78	337
N _{Ma}	15.0	0.0	0.0	0.0	0
W _{Ma}	90.0	0.0	0.0	0.0	0
O _{Ma}	39.92	58.74	27.99	65.07	25
Y _{Ma}	81.26	-2.89	71.56	71.62	92
L _{Ma}	52.23	-42.42	13.6	44.55	162
V _{Ma}	30.57	1.41	-46.47	46.49	272

Daten für Maximalfarbe (Ma):

$LAB^*LAB^*_{Ma}$: 83 -5 98

$LAB^*LCH^*_{Ma}$: 83 98 92

$lab^*olv^*_{Ma}$: 1.0 1.0 0.0

$lab^*rgb^*_{Ma}$: 0.99 1.0 0.0

Dreiecks-Helligkeit i^*

%Umfang

$u^*_{rel} = 88$

%Regularität

$g^*_{H,rel} = 31$

$g^*_{C,rel} = 40$

FRS15_90a; adaptierte CIELAB-Daten

u^*_d	$L^*=L^*_a$	a^*_a	b^*_a	$C^*_{ab,a}$	$h^*_{ab,a}$	u^*_e
o00y	38.8	53.92	39.68	66.95	36	r16j
o25y	47.46	42.34	51.25	66.48	50	r37j
o50y	56.54	30.2	63.39	70.22	65	r58j
o75y	67.39	15.68	77.9	79.47	79	r79j
y00l	82.58	-4.64	98.22	98.33	93	j0l1g
y25l	70.85	-21.66	80.19	83.07	105	j18g
y50l	61.91	-34.63	66.45	74.93	118	j36g
y75l	54.24	-45.77	54.66	71.29	130	j53g
l00c	46.95	-56.34	43.46	71.15	142	j71g
l50c	51.91	-36.84	-3.21	36.98	185	g21b
c00v	54.62	-26.2	-28.68	38.85	228	g60b
c50v	42.22	-0.61	-37.35	37.36	269	g97b
v00m	20.01	45.2	-52.87	69.56	311	b34r
v50m	29.93	57.31	-42.0	71.05	324	b45r
m00o	40.88	70.68	-29.99	76.78	337	b57r
m50o	39.77	61.72	7.23	62.15	7	b83r

lab^*tch^*

$i^*=1.00$

Brillantheit i^*

$i^*=0.80$

$i^*=0.60$

$i^*=0.40$

$i^*=0.20$

Ein und Ausgabe: Farbmetrisches Drucker-Reflektiv-System FRS15_90a für relativen CIELAB-Buntton $h^* = lab^*h^* = h_{ab}/360 = 0.292$

Daten für jede Farbe:

lab^*tch^* und lab^*icu^*

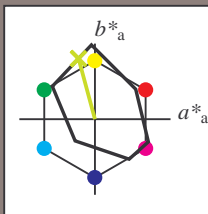
Bunttontexte:

$u^*_d = y25l$ $u^*_e = j18g$

Kontrastreduzierungsfaktor:

$c_R = 0.9$

Dreiecks-Helligkeit t^*



FRS15_90a; adaptierte CIELAB-Daten

u^*_d	$L^*=L^*_a$	a^*_a	b^*_a	$C^*_{ab,a}$	$h^*_{ab,a}$
O _{Ma}	38.8	53.92	39.68	66.95	36
Y _{Ma}	82.58	-4.64	98.22	98.33	93
L _{Ma}	46.95	-56.34	43.46	71.15	142
C _{Ma}	54.62	-26.2	-28.68	38.85	228
V _{Ma}	20.01	45.2	-52.87	69.56	311
M _{Ma}	40.88	70.68	-29.99	76.78	337
N _{Ma}	15.0	0.0	0.0	0.0	0
W _{Ma}	90.0	0.0	0.0	0.0	0
O _{Ma}	39.92	58.74	27.99	65.07	25
Y _{Ma}	81.26	-2.89	71.56	71.62	92
L _{Ma}	52.23	-42.42	13.6	44.55	162
V _{Ma}	30.57	1.41	-46.47	46.49	272

Daten für Maximalfarbe (Ma):

$LAB^*LAB^*_{Ma}$: 71 -22 80

$LAB^*LCH^*_{Ma}$: 71 83 105

$lab^*olv^*_{Ma}$: 0.75 1.0 0.0

$lab^*rgb^*_{Ma}$: 0.82 1.0 0.0

Dreiecks-Helligkeit t^*

%Umfang

$u^*_{rel} = 88$

%Regularität

$g^*_{H,rel} = 31$

$g^*_{C,rel} = 40$

FRS15_90a; adaptierte CIELAB-Daten

u^*_d	$L^*=L^*_a$	a^*_a	b^*_a	$C^*_{ab,a}$	$h^*_{ab,a}$	u^*_e
o00y	38.8	53.92	39.68	66.95	36	r16j
o25y	47.46	42.34	51.25	66.48	50	r37j
o50y	56.54	30.2	63.39	70.22	65	r58j
o75y	67.39	15.68	77.9	79.47	79	r79j
y00l	82.58	-4.64	98.22	98.33	93	j01g
y25l	70.85	-21.66	80.19	83.07	105	j18g
y50l	61.91	-34.63	66.45	74.93	118	j36g
y75l	54.24	-45.77	54.66	71.29	130	j53g
l00c	46.95	-56.34	43.46	71.15	142	j71g
l50c	51.91	-36.84	-3.21	36.98	185	g21b
c00v	54.62	-26.2	-28.68	38.85	228	g60b
c50v	42.22	-0.61	-37.35	37.36	269	g97b
v00m	20.01	45.2	-52.87	69.56	311	b34r
v50m	29.93	57.31	-42.0	71.05	324	b45r
m00o	40.88	70.68	-29.99	76.78	337	b57r
m50o	39.77	61.72	7.23	62.15	7	b83r

lab^*tch^*

$i^* = 1.00$

Brillantheit i^*

$i^* = 0.80$

$i^* = 0.60$

$i^* = 0.40$

$i^* = 0.20$

$i^* = 0.00$

Ein und Ausgabe: Farbmetrisches Drucker-Reflektiv-System FRS15_90a für relativen CIELAB-Buntton $h^* = lab^*h^* = h_{ab}/360 = 0.326$

Daten für jede Farbe:

lab^*tch^* und lab^*icu^*

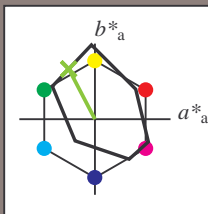
Bunttontexte:

$u^*_d = y50l$ $u^*_e = j36g$

Kontrastreduzierungsfaktor:

$c_R = 0.9$

Dreiecks-Helligkeit t^*



FRS15_90a; adaptierte CIELAB-Daten

u^*_d	$L^*=L^*_a$	a^*_a	b^*_a	$C^*_{ab,a}$	$h^*_{ab,a}$
O _{Ma}	38.8	53.92	39.68	66.95	36
Y _{Ma}	82.58	-4.64	98.22	98.33	93
L _{Ma}	46.95	-56.34	43.46	71.15	142
C _{Ma}	54.62	-26.2	-28.68	38.85	228
V _{Ma}	20.01	45.2	-52.87	69.56	311
M _{Ma}	40.88	70.68	-29.99	76.78	337
N _{Ma}	15.0	0.0	0.0	0.0	0
W _{Ma}	90.0	0.0	0.0	0.0	0
O _{Ma}	39.92	58.74	27.99	65.07	25
Y _{Ma}	81.26	-2.89	71.56	71.62	92
L _{Ma}	52.23	-42.42	13.6	44.55	162
V _{Ma}	30.57	1.41	-46.47	46.49	272

Daten für Maximalfarbe (Ma):

$LAB^*LAB^*_{Ma}$: 62 -35 66

$LAB^*LCH^*_{Ma}$: 62 75 117

$lab^*olv^*_{Ma}$: 0.5 1.0 0.0

$lab^*rgb^*_{Ma}$: 0.64 1.0 0.0

Dreiecks-Helligkeit t^*

%Umfang

$u^*_{rel} = 88$

%Regularität

$g^*_{H,rel} = 31$

$g^*_{C,rel} = 40$

FRS15_90a; adaptierte CIELAB-Daten

u^*_d	$L^*=L^*_a$	a^*_a	b^*_a	$C^*_{ab,a}$	$h^*_{ab,a}$	u^*_e
o00y	38.8	53.92	39.68	66.95	36	r16j
o25y	47.46	42.34	51.25	66.48	50	r37j
o50y	56.54	30.2	63.39	70.22	65	r58j
o75y	67.39	15.68	77.9	79.47	79	r79j
y00l	82.58	-4.64	98.22	98.33	93	j01g
y25l	70.85	-21.66	80.19	83.07	105	j18g
y50l	61.91	-34.63	66.45	74.93	118	j36g
y75l	54.24	-45.77	54.66	71.29	130	j53g
l00c	46.95	-56.34	43.46	71.15	142	j71g
l50c	51.91	-36.84	-3.21	36.98	185	g21b
c00v	54.62	-26.2	-28.68	38.85	228	g60b
c50v	42.22	-0.61	-37.35	37.36	269	g97b
v00m	20.01	45.2	-52.87	69.56	311	b34r
v50m	29.93	57.31	-42.0	71.05	324	b45r
m00o	40.88	70.68	-29.99	76.78	337	b57r
m50o	39.77	61.72	7.23	62.15	7	b83r

lab^*tch^*

$i^*=1.00$

Brillantheit i^*

$i^*=0.80$

$i^*=0.60$

$i^*=0.40$

$i^*=0.20$

$i^*=0.00$

relative Bunttheit c^*

relative Bunttheit c^*

Ein und Ausgabe: Farbmetrisches Drucker-Reflektiv-System FRS15_90a für relativen CIELAB-Buntton $h^* = lab^*h^* = h_{ab}/360 = 0.361$

Daten für jede Farbe:

lab^*tch^* und lab^*icu^*

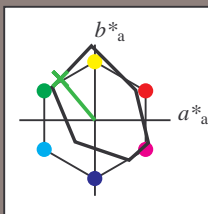
Bunttontexte:

$u^*_d = y75l$ $u^*_e = j53g$

Kontrastreduzierungsfaktor:

$c_R = 0.9$

Dreiecks-Helligkeit t^*



FRS15_90a; adaptierte CIELAB-Daten						
	u^*_d	$L^*=L^*_a$	a^*_a	b^*_a	$C^*_{ab,a}$	$h^*_{ab,a}$
O _{Ma}	38.8	53.92	39.68	66.95	36	
Y _{Ma}	82.58	-4.64	98.22	98.33	93	
L _{Ma}	46.95	-56.34	43.46	71.15	142	
C _{Ma}	54.62	-26.2	-28.68	38.85	228	
V _{Ma}	20.01	45.2	-52.87	69.56	311	
M _{Ma}	40.88	70.68	-29.99	76.78	337	
N _{Ma}	15.0	0.0	0.0	0.0	0	
W _{Ma}	90.0	0.0	0.0	0.0	0	
O _{Ma}	39.92	58.74	27.99	65.07	25	
Y _{Ma}	81.26	-2.89	71.56	71.62	92	
L _{Ma}	52.23	-42.42	13.6	44.55	162	
V _{Ma}	30.57	1.41	-46.47	46.49	272	

Daten für Maximalfarbe (Ma):

$LAB^*LAB^*_{Ma}$: 54 -46 55

$LAB^*LCH^*_{Ma}$: 54 71 129

$lab^*olv^*_{Ma}$: 0.25 1.0 0.0

$lab^*rgb^*_{Ma}$: 0.46 1.0 0.0

Dreiecks-Helligkeit t^*

%Umfang

$u^*_{rel} = 88$

%Regularität

$g^*_{H,rel} = 31$

$g^*_{C,rel} = 40$

FRS15_90a; adaptierte CIELAB-Daten						
	u^*_d	$L^*=L^*_a$	a^*_a	b^*_a	$C^*_{ab,a}$	$h^*_{ab,a}$
o00y	38.8	53.92	39.68	66.95	36	r16j
o25y	47.46	42.34	51.25	66.48	50	r37j
o50y	56.54	30.2	63.39	70.22	65	r58j
o75y	67.39	15.68	77.9	79.47	79	r79j
y00l	82.58	-4.64	98.22	98.33	93	j01g
y25l	70.85	-21.66	80.19	83.07	105	j18g
y50l	61.91	-34.63	66.45	74.93	118	j36g
y75l	54.24	-45.77	54.66	71.29	130	j53g
l00c	46.95	-56.34	43.46	71.15	142	j71g
l50c	51.91	-36.84	-3.21	36.98	185	g21b
c00v	54.62	-26.2	-28.68	38.85	228	g60b
c50v	42.22	-0.61	-37.35	37.36	269	g97b
v00m	20.01	45.2	-52.87	69.56	311	b34r
v50m	29.93	57.31	-42.0	71.05	324	b45r
m00o	40.88	70.68	-29.99	76.78	337	b57r
m50o	39.77	61.72	7.23	62.15	7	b83r

lab^*tch^*

$i^*=1.00$

Brillantheit i^*

$i^*=0.80$

$i^*=0.60$

$i^*=0.40$

$i^*=0.20$

Ein und Ausgabe: Farbmetrisches Drucker-Reflektiv-System FRS15_90a für relativen CIELAB-Buntton $h^* = lab^*h^* = h_{ab}/360 = 0.395$

Daten für jede Farbe:

lab^*tch^* und lab^*icu^*

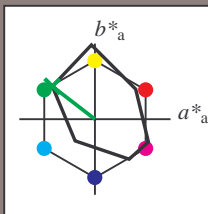
Bunttontexte:

$u^*_d = 100c$ $u^*_e = j71g$

Kontrastreduzierungsfaktor:

$c_R = 0.9$

Dreiecks-Helligkeit i^*



FRS15_90a; adaptierte CIELAB-Daten

u^*_d	$L^*=L^*_a$	a^*_a	b^*_a	$C^*_{ab,a}$	$h^*_{ab,a}$
O _{Ma}	38.8	53.92	39.68	66.95	36
Y _{Ma}	82.58	-4.64	98.22	98.33	93
L _{Ma}	46.95	-56.34	43.46	71.15	142
C _{Ma}	54.62	-26.2	-28.68	38.85	228
V _{Ma}	20.01	45.2	-52.87	69.56	311
M _{Ma}	40.88	70.68	-29.99	76.78	337
N _{Ma}	15.0	0.0	0.0	0.0	0
W _{Ma}	90.0	0.0	0.0	0.0	0
O _{Ma}	39.92	58.74	27.99	65.07	25
Y _{Ma}	81.26	-2.89	71.56	71.62	92
L _{Ma}	52.23	-42.42	13.6	44.55	162
V _{Ma}	30.57	1.41	-46.47	46.49	272

Daten für Maximalfarbe (Ma):

$LAB^*LAB^*_{Ma}$: 47 -56 43

$LAB^*LCH^*_{Ma}$: 47 71 142

$lab^*olv^*_{Ma}$: 0.0 1.0 0.0

$lab^*rgb^*_{Ma}$: 0.28 1.0 0.0

Dreiecks-Helligkeit i^*

%Umfang

$u^*_{rel} = 88$

%Regularität

$g^*_{H,rel} = 31$

$g^*_{C,rel} = 40$

FRS15_90a; adaptierte CIELAB-Daten

u^*_d	$L^*=L^*_a$	a^*_a	b^*_a	$C^*_{ab,a}$	$h^*_{ab,a}$	u^*_e
o00y	38.8	53.92	39.68	66.95	36	r16j
o25y	47.46	42.34	51.25	66.48	50	r37j
o50y	56.54	30.2	63.39	70.22	65	r58j
o75y	67.39	15.68	77.9	79.47	79	r79j
y00l	82.58	-4.64	98.22	98.33	93	j01g
y25l	70.85	-21.66	80.19	83.07	105	j18g
y50l	61.91	-34.63	66.45	74.93	118	j36g
y75l	54.24	-45.77	54.66	71.29	130	j53g
l00c	46.95	-56.34	43.46	71.15	142	j71g
l50c	51.91	-36.84	-3.21	36.98	185	g21b
c00v	54.62	-26.2	-28.68	38.85	228	g60b
c50v	42.22	-0.61	-37.35	37.36	269	g97b
v00m	20.01	45.2	-52.87	69.56	311	b34r
v50m	29.93	57.31	-42.0	71.05	324	b45r
m00o	40.88	70.68	-29.99	76.78	337	b57r
m50o	39.77	61.72	7.23	62.15	7	b83r

lab^*tch^*

$i^* = 1.00$

Brillantheit i^*

$i^* = 0.80$

$i^* = 0.60$

$i^* = 0.40$

$i^* = 0.20$

$i^* = 0.00$

relative Buntheit c^*

relative Buntheit c^*

Ein und Ausgabe: Farbmetrisches Drucker-Reflektiv-System FRS15_90a für relativen CIELAB-Buntton $h^* = lab^*h^* = h_{ab}/360 = 0.514$

Daten für jede Farbe:

lab^*tch^* und lab^*icu^*

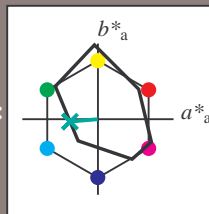
Bunttontexte:

$u^*_d = 150c$ $u^*_e = g21b$

Kontrastreduzierungsfaktor:

$c_R = 0.9$

Dreiecks-Helligkeit t^*



FRS15_90a; adaptierte CIELAB-Daten

u^*_d	$L^*=L^*_a$	a^*_a	b^*_a	$C^*_{ab,a}$	$h^*_{ab,a}$
O _{Ma}	38.8	53.92	39.68	66.95	36
Y _{Ma}	82.58	-4.64	98.22	98.33	93
L _{Ma}	46.95	-56.34	43.46	71.15	142
C _{Ma}	54.62	-26.2	-28.68	38.85	228
V _{Ma}	20.01	45.2	-52.87	69.56	311
M _{Ma}	40.88	70.68	-29.99	76.78	337
N _{Ma}	15.0	0.0	0.0	0.0	0
W _{Ma}	90.0	0.0	0.0	0.0	0
O _{Ma}	39.92	58.74	27.99	65.07	25
Y _{Ma}	81.26	-2.89	71.56	71.62	92
L _{Ma}	52.23	-42.42	13.6	44.55	162
V _{Ma}	30.57	1.41	-46.47	46.49	272

Daten für Maximalfarbe (Ma):

$LAB^*LAB^*_{Ma}$: 52 -37 -3

$LAB^*LCH^*_{Ma}$: 52 37 184

$lab^*olv^*_{Ma}$: 0.0 1.0 0.5

$lab^*rgb^*_{Ma}$: 0.0 1.0 0.42

Dreiecks-Helligkeit t^*

%Umfang

$u^*_{rel} = 88$

%Regularität

$g^*_{H,rel} = 31$

$g^*_{C,rel} = 40$

FRS15_90a; adaptierte CIELAB-Daten

u^*_d	$L^*=L^*_a$	a^*_a	b^*_a	$C^*_{ab,a}$	$h^*_{ab,a}$	u^*_e
o00y	38.8	53.92	39.68	66.95	36	r16j
o25y	47.46	42.34	51.25	66.48	50	r37j
o50y	56.54	30.2	63.39	70.22	65	r58j
o75y	67.39	15.68	77.9	79.47	79	r79j
y00l	82.58	-4.64	98.22	98.33	93	j01g
y25l	70.85	-21.66	80.19	83.07	105	j18g
y50l	61.91	-34.63	66.45	74.93	118	j36g
y75l	54.24	-45.77	54.66	71.29	130	j53g
l00c	46.95	-56.34	43.46	71.15	142	j71g
l50c	51.91	-36.84	-3.21	36.98	185	g21b
c00v	54.62	-26.2	-28.68	38.85	228	g60b
c50v	42.22	-0.61	-37.35	37.36	269	g97b
v00m	20.01	45.2	-52.87	69.56	311	b34r
v50m	29.93	57.31	-42.0	71.05	324	b45r
m00o	40.88	70.68	-29.99	76.78	337	b57r
m50o	39.77	61.72	7.23	62.15	7	b83r

lab^*tch^*

$i^* = 1.00$

Brillantheit i^*

$i^* = 0.80$

$i^* = 0.60$

$i^* = 0.40$

$i^* = 0.20$

$i^* = 0.00$

relative Buntheit c^*

relative Buntheit c^*

Ein und Ausgabe: Farbmetrisches Drucker-Reflektiv-System FRS15_90a für relativen CIELAB-Buntton $h^* = lab^*h^* = h_{ab}/360 = 0.632$

Daten für jede Farbe:

lab^*tch^* und lab^*icu^*

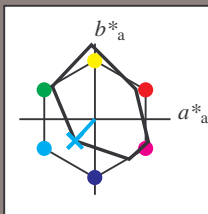
Bunttontexte:

$u^*_d = c00v$ $u^*_e = g60b$

Kontrastreduzierungsfaktor:

$c_R = 0.9$

Dreiecks-Helligkeit t^*



FRS15_90a; adaptierte CIELAB-Daten

u^*_d	$L^*=L^*_a$	a^*_a	b^*_a	$C^*_{ab,a}$	$h^*_{ab,a}$
O _{Ma}	38.8	53.92	39.68	66.95	36
Y _{Ma}	82.58	-4.64	98.22	98.33	93
L _{Ma}	46.95	-56.34	43.46	71.15	142
C _{Ma}	54.62	-26.2	-28.68	38.85	228
V _{Ma}	20.01	45.2	-52.87	69.56	311
M _{Ma}	40.88	70.68	-29.99	76.78	337
N _{Ma}	15.0	0.0	0.0	0.0	0
W _{Ma}	90.0	0.0	0.0	0.0	0
O _{Ma}	39.92	58.74	27.99	65.07	25
Y _{Ma}	81.26	-2.89	71.56	71.62	92
L _{Ma}	52.23	-42.42	13.6	44.55	162
V _{Ma}	30.57	1.41	-46.47	46.49	272

Daten für Maximalfarbe (Ma):

$LAB^*LAB^*_{Ma}$: 55 -26 -29

$LAB^*LCH^*_{Ma}$: 55 39 227

$lab^*olv^*_{Ma}$: 0.0 1.0 1.0

$lab^*rgb^*_{Ma}$: 0.0 0.81 1.0

Dreiecks-Helligkeit t^*

%Umfang

$u^*_{rel} = 88$

%Regularität

$g^*_{H,rel} = 31$

$g^*_{C,rel} = 40$

FRS15_90a; adaptierte CIELAB-Daten

u^*_d	$L^*=L^*_a$	a^*_a	b^*_a	$C^*_{ab,a}$	$h^*_{ab,a}$	u^*_e
o00y	38.8	53.92	39.68	66.95	36	r16j
o25y	47.46	42.34	51.25	66.48	50	r37j
o50y	56.54	30.2	63.39	70.22	65	r58j
o75y	67.39	15.68	77.9	79.47	79	r79j
y00l	82.58	-4.64	98.22	98.33	93	j01g
y25l	70.85	-21.66	80.19	83.07	105	j18g
y50l	61.91	-34.63	66.45	74.93	118	j36g
y75l	54.24	-45.77	54.66	71.29	130	j53g
l00c	46.95	-56.34	43.46	71.15	142	j71g
l50c	51.91	-36.84	-3.21	36.98	185	g21b
c00v	54.62	-26.2	-28.68	38.85	228	g60b
c50v	42.22	-0.61	-37.35	37.36	269	g97b
v00m	20.01	45.2	-52.87	69.56	311	b34r
v50m	29.93	57.31	-42.0	71.05	324	b45r
m00o	40.88	70.68	-29.99	76.78	337	b57r
m50o	39.77	61.72	7.23	62.15	7	b83r

lab^*tch^*

$i^*=1.00$

Brillantheit i^*

$i^*=0.80$

$i^*=0.60$

$i^*=0.40$

$i^*=0.20$

Ein und Ausgabe: Farbmetrisches Drucker-Reflektiv-System FRS15_90a für relativen CIELAB-Buntton $h^* = lab^*h^* = h_{ab}/360 = 0.747$

Daten für jede Farbe:

lab^*tch^* und lab^*icu^*

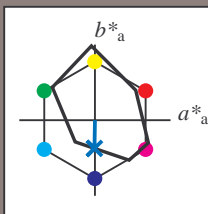
Bunttontexte:

$u^*_d = c50v$ $u^*_e = g97b$

Kontrastreduzierungsfaktor:

$c_R = 0.9$

Dreiecks-Helligkeit i^*



FRS15_90a; adaptierte CIELAB-Daten

u^*_d	$L^*=L^*_a$	a^*_a	b^*_a	$C^*_{ab,a}$	$h^*_{ab,a}$
O _{Ma}	38.8	53.92	39.68	66.95	36
Y _{Ma}	82.58	-4.64	98.22	98.33	93
L _{Ma}	46.95	-56.34	43.46	71.15	142
C _{Ma}	54.62	-26.2	-28.68	38.85	228
V _{Ma}	20.01	45.2	-52.87	69.56	311
M _{Ma}	40.88	70.68	-29.99	76.78	337
N _{Ma}	15.0	0.0	0.0	0.0	0
W _{Ma}	90.0	0.0	0.0	0.0	0
O _{Ma}	39.92	58.74	27.99	65.07	25
Y _{Ma}	81.26	-2.89	71.56	71.62	92
L _{Ma}	52.23	-42.42	13.6	44.55	162
V _{Ma}	30.57	1.41	-46.47	46.49	272

Daten für Maximalfarbe (Ma):

$LAB^*LAB^*_{Ma}$: 42 -1 -37

$LAB^*LCH^*_{Ma}$: 42 37 269

$lab^*olv^*_{Ma}$: 0.0 0.5 1.0

$lab^*rgb^*_{Ma}$: 0.0 0.05 1.0

Dreiecks-Helligkeit i^*

%Umfang

$u^*_{rel} = 88$

%Regularität

$g^*_{H,rel} = 31$

$g^*_{C,rel} = 40$

FRS15_90a; adaptierte CIELAB-Daten

u^*_d	$L^*=L^*_a$	a^*_a	b^*_a	$C^*_{ab,a}$	$h^*_{ab,a}$	u^*_e
o00y	38.8	53.92	39.68	66.95	36	r16j
o25y	47.46	42.34	51.25	66.48	50	r37j
o50y	56.54	30.2	63.39	70.22	65	r58j
o75y	67.39	15.68	77.9	79.47	79	r79j
y00l	82.58	-4.64	98.22	98.33	93	j01g
y25l	70.85	-21.66	80.19	83.07	105	j18g
y50l	61.91	-34.63	66.45	74.93	118	j36g
y75l	54.24	-45.77	54.66	71.29	130	j53g
l00c	46.95	-56.34	43.46	71.15	142	j71g
l50c	51.91	-36.84	-3.21	36.98	185	g21b
c00v	54.62	-26.2	-28.68	38.85	228	g60b
c50v	42.22	-0.61	-37.35	37.36	269	g97b
v00m	20.01	45.2	-52.87	69.56	311	b34r
v50m	29.93	57.31	-42.0	71.05	324	b45r
m00o	40.88	70.68	-29.99	76.78	337	b57r
m50o	39.77	61.72	7.23	62.15	7	b83r

lab^*tch^*

$i^*=1.00$

Brillantheit i^*

$i^*=0.80$

$i^*=0.60$

$i^*=0.40$

$i^*=0.20$

$i^*=0.00$

relative Buntheit c^*

relative Buntheit c^*

Ein und Ausgabe: Farbmetrisches Drucker-Reflektiv-System FRS15_90a für relativen CIELAB-Buntton $h^* = lab^*h^* = h_{ab}/360 = 0.863$

Daten für jede Farbe:

lab^*tch^* und lab^*icu^*

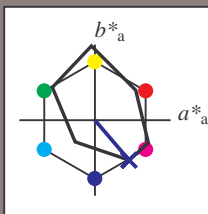
Bunttontexte:

$u^*_d = v00m$ $u^*_e = b34r$

Kontrastreduzierungsfaktor:

$c_R = 0.9$

Dreiecks-Helligkeit i^*



FRS15_90a; adaptierte CIELAB-Daten

u^*_d	$L^*=L^*_a$	a^*_a	b^*_a	$C^*_{ab,a}$	$h^*_{ab,a}$
O _{Ma}	38.8	53.92	39.68	66.95	36
Y _{Ma}	82.58	-4.64	98.22	98.33	93
L _{Ma}	46.95	-56.34	43.46	71.15	142
C _{Ma}	54.62	-26.2	-28.68	38.85	228
V _{Ma}	20.01	45.2	-52.87	69.56	311
M _{Ma}	40.88	70.68	-29.99	76.78	337
N _{Ma}	15.0	0.0	0.0	0.0	0
W _{Ma}	90.0	0.0	0.0	0.0	0
O _{Ma}	39.92	58.74	27.99	65.07	25
Y _{Ma}	81.26	-2.89	71.56	71.62	92
L _{Ma}	52.23	-42.42	13.6	44.55	162
V _{Ma}	30.57	1.41	-46.47	46.49	272

Daten für Maximalfarbe (Ma):

$LAB^*LAB^*_{Ma}$: 20 45 -53

$LAB^*LCH^*_{Ma}$: 20 70 310

$lab^*olv^*_{Ma}$: 0.0 0.0 1.0

$lab^*rgb^*_{Ma}$: 0.68 0.0 1.0

Dreiecks-Helligkeit i^*

%Umfang

$u^*_{rel} = 88$

%Regularität

$g^*_{H,rel} = 31$

$g^*_{C,rel} = 40$

FRS15_90a; adaptierte CIELAB-Daten

u^*_d	$L^*=L^*_a$	a^*_a	b^*_a	$C^*_{ab,a}$	$h^*_{ab,a}$	u^*_e
o00y	38.8	53.92	39.68	66.95	36	r16j
o25y	47.46	42.34	51.25	66.48	50	r37j
o50y	56.54	30.2	63.39	70.22	65	r58j
o75y	67.39	15.68	77.9	79.47	79	r79j
y00l	82.58	-4.64	98.22	98.33	93	j01g
y25l	70.85	-21.66	80.19	83.07	105	j18g
y50l	61.91	-34.63	66.45	74.93	118	j36g
y75l	54.24	-45.77	54.66	71.29	130	j53g
l00c	46.95	-56.34	43.46	71.15	142	j71g
l50c	51.91	-36.84	-3.21	36.98	185	g21b
c00v	54.62	-26.2	-28.68	38.85	228	g60b
c50v	42.22	-0.61	-37.35	37.36	269	g97b
v00m	20.01	45.2	-52.87	69.56	311	b34r
v50m	29.93	57.31	-42.0	71.05	324	b45r
m00o	40.88	70.68	-29.99	76.78	337	b57r
m50o	39.77	61.72	7.23	62.15	7	b83r

lab^*tch^*

$i^* = 1.00$

Brillantheit i^*

$i^* = 0.80$

$i^* = 0.60$

$i^* = 0.40$

$i^* = 0.20$

$i^* = 0.00$

relative Buntheit c^*

relative Buntheit c^*

Ein und Ausgabe: Farbmetrisches Drucker-Reflektiv-System FRS15_90a für relativen CIELAB-Buntton $h^* = \text{lab}^*h^* = h_{ab}/360 = 0.899$

Daten für jede Farbe:

lab^*tch^* und lab^*icu^*

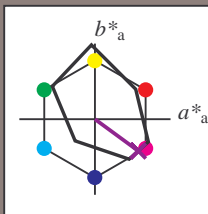
Bunttontexte:

$u^*_d = v50m$ $u^*_e = b45r$

Kontrastreduzierungsfaktor:

$c_R = 0.9$

Dreiecks-Helligkeit i^*



FRS15_90a; adaptierte CIELAB-Daten

u^*_d	$L^*=L^*_a$	a^*_a	b^*_a	$C^*_{ab,a}$	$h^*_{ab,a}$
O _{Ma}	38.8	53.92	39.68	66.95	36
Y _{Ma}	82.58	-4.64	98.22	98.33	93
L _{Ma}	46.95	-56.34	43.46	71.15	142
C _{Ma}	54.62	-26.2	-28.68	38.85	228
V _{Ma}	20.01	45.2	-52.87	69.56	311
M _{Ma}	40.88	70.68	-29.99	76.78	337
N _{Ma}	15.0	0.0	0.0	0.0	0
W _{Ma}	90.0	0.0	0.0	0.0	0
O _{Ma}	39.92	58.74	27.99	65.07	25
Y _{Ma}	81.26	-2.89	71.56	71.62	92
L _{Ma}	52.23	-42.42	13.6	44.55	162
V _{Ma}	30.57	1.41	-46.47	46.49	272

Daten für Maximalfarbe (Ma):

$\text{LAB}^*\text{LAB}^*_{Ma}$: 30 57 -42

$\text{LAB}^*\text{LCH}^*_{Ma}$: 30 71 323

$\text{lab}^*\text{olv}^*_{Ma}$: 0.5 0.0 1.0

$\text{lab}^*\text{rgb}^*_{Ma}$: 0.91 0.0 1.0

Dreiecks-Helligkeit i^*

%Umfang

$u^*_{rel} = 88$

%Regularität

$g^*_{H,rel} = 31$

$g^*_{C,rel} = 40$

FRS15_90a; adaptierte CIELAB-Daten

u^*_d	$L^*=L^*_a$	a^*_a	b^*_a	$C^*_{ab,a}$	$h^*_{ab,a}$	u^*_e
o00y	38.8	53.92	39.68	66.95	36	r16j
o25y	47.46	42.34	51.25	66.48	50	r37j
o50y	56.54	30.2	63.39	70.22	65	r58j
o75y	67.39	15.68	77.9	79.47	79	r79j
y00l	82.58	-4.64	98.22	98.33	93	j01g
y25l	70.85	-21.66	80.19	83.07	105	j18g
y50l	61.91	-34.63	66.45	74.93	118	j36g
y75l	54.24	-45.77	54.66	71.29	130	j53g
l00c	46.95	-56.34	43.46	71.15	142	j71g
l50c	51.91	-36.84	-3.21	36.98	185	g21b
c00v	54.62	-26.2	-28.68	38.85	228	g60b
c50v	42.22	-0.61	-37.35	37.36	269	g97b
v00m	20.01	45.2	-52.87	69.56	311	b34r
v50m	29.93	57.31	-42.0	71.05	324	b45r
m00o	40.88	70.68	-29.99	76.78	337	b57r
m50o	39.77	61.72	7.23	62.15	7	b83r

lab^*tch^*

$i^* = 1.00$

Brillantheit i^*

$i^* = 0.80$

$i^* = 0.60$

$i^* = 0.40$

$i^* = 0.20$

$i^* = 0.00$

relative Buntheit c^*

relative Buntheit c^*

Ein und Ausgabe: Farbmetrisches Drucker-Reflektiv-System FRS15_90a für relativen CIELAB-Buntton $h^* = lab^*h^* = h_{ab}/360 = 0.936$

Daten für jede Farbe:

lab^*tch^* und lab^*icu^*

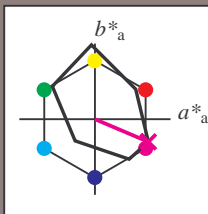
Bunttontexte:

$u^*_d = m00o$ $u^*_e = b57r$

Kontrastreduzierungsfaktor:

$c_R = 0.9$

Dreiecks-Helligkeit i^*



FRS15_90a; adaptierte CIELAB-Daten

u^*_d	$L^*=L^*_a$	a^*_a	b^*_a	$C^*_{ab,a}$	$h^*_{ab,a}$
O _{Ma}	38.8	53.92	39.68	66.95	36
Y _{Ma}	82.58	-4.64	98.22	98.33	93
L _{Ma}	46.95	-56.34	43.46	71.15	142
C _{Ma}	54.62	-26.2	-28.68	38.85	228
V _{Ma}	20.01	45.2	-52.87	69.56	311
M _{Ma}	40.88	70.68	-29.99	76.78	337
N _{Ma}	15.0	0.0	0.0	0.0	0
W _{Ma}	90.0	0.0	0.0	0.0	0
O _{Ma}	39.92	58.74	27.99	65.07	25
Y _{Ma}	81.26	-2.89	71.56	71.62	92
L _{Ma}	52.23	-42.42	13.6	44.55	162
V _{Ma}	30.57	1.41	-46.47	46.49	272

Daten für Maximalfarbe (Ma):

$LAB^*LAB^*_{Ma}$: 41 71 -30

$LAB^*LCH^*_{Ma}$: 41 77 337

$lab^*olv^*_{Ma}$: 1.0 0.0 1.0

$lab^*rgb^*_{Ma}$: 1.0 0.0 0.85

Dreiecks-Helligkeit i^*

%Umfang

$u^*_{rel} = 88$

%Regularität

$g^*_{H,rel} = 31$

$g^*_{C,rel} = 40$

FRS15_90a; adaptierte CIELAB-Daten

u^*_d	$L^*=L^*_a$	a^*_a	b^*_a	$C^*_{ab,a}$	$h^*_{ab,a}$	u^*_e
o00y	38.8	53.92	39.68	66.95	36	r16j
o25y	47.46	42.34	51.25	66.48	50	r37j
o50y	56.54	30.2	63.39	70.22	65	r58j
o75y	67.39	15.68	77.9	79.47	79	r79j
y00l	82.58	-4.64	98.22	98.33	93	j01g
y25l	70.85	-21.66	80.19	83.07	105	j18g
y50l	61.91	-34.63	66.45	74.93	118	j36g
y75l	54.24	-45.77	54.66	71.29	130	j53g
l00c	46.95	-56.34	43.46	71.15	142	j71g
l50c	51.91	-36.84	-3.21	36.98	185	g21b
c00v	54.62	-26.2	-28.68	38.85	228	g60b
c50v	42.22	-0.61	-37.35	37.36	269	g97b
v00m	20.01	45.2	-52.87	69.56	311	b34r
v50m	29.93	57.31	-42.0	71.05	324	b45r
m00o	40.88	70.68	-29.99	76.78	337	b57r
m50o	39.77	61.72	7.23	62.15	7	b83r

lab^*tch^*

$i^*=1.00$

Brillantheit i^*

$i^*=0.80$

$i^*=0.60$

$i^*=0.40$

$i^*=0.20$

Ein und Ausgabe: Farbmetrisches Drucker-Reflektiv-System FRS15_90a für relativen CIELAB-Buntton $h^* = lab^*h^* = h_{ab}/360 = 0.019$

Daten für jede Farbe:

lab^*tch^* und lab^*icu^*

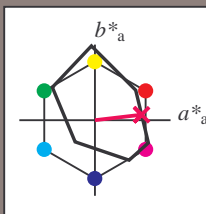
Bunttontexte:

$u^*_d = m50o$ $u^*_e = b83r$

Kontrastreduzierungsfaktor:

$c_R = 0.9$

Dreiecks-Helligkeit t^*



FRS15_90a; adaptierte CIELAB-Daten						
u^*_d	$L^*=L^*_a$	a^*_a	b^*_a	$C^*_{ab,a}$	$h^*_{ab,a}$	
O _{Ma}	38.8	53.92	39.68	66.95	36	
Y _{Ma}	82.58	-4.64	98.22	98.33	93	
L _{Ma}	46.95	-56.34	43.46	71.15	142	
C _{Ma}	54.62	-26.2	-28.68	38.85	228	
V _{Ma}	20.01	45.2	-52.87	69.56	311	
M _{Ma}	40.88	70.68	-29.99	76.78	337	
N _{Ma}	15.0	0.0	0.0	0.0	0	
W _{Ma}	90.0	0.0	0.0	0.0	0	
O _{Ma}	39.92	58.74	27.99	65.07	25	
Y _{Ma}	81.26	-2.89	71.56	71.62	92	
L _{Ma}	52.23	-42.42	13.6	44.55	162	
V _{Ma}	30.57	1.41	-46.47	46.49	272	

Daten für Maximalfarbe (Ma):

$LAB^*LAB^*_{Ma}$: 40 62 7

$LAB^*LCH^*_{Ma}$: 40 62 6

$lab^*olv^*_{Ma}$: 1.0 0.0 0.5

$lab^*rgb^*_{Ma}$: 1.0 0.0 0.33

Dreiecks-Helligkeit t^*

%Umfang

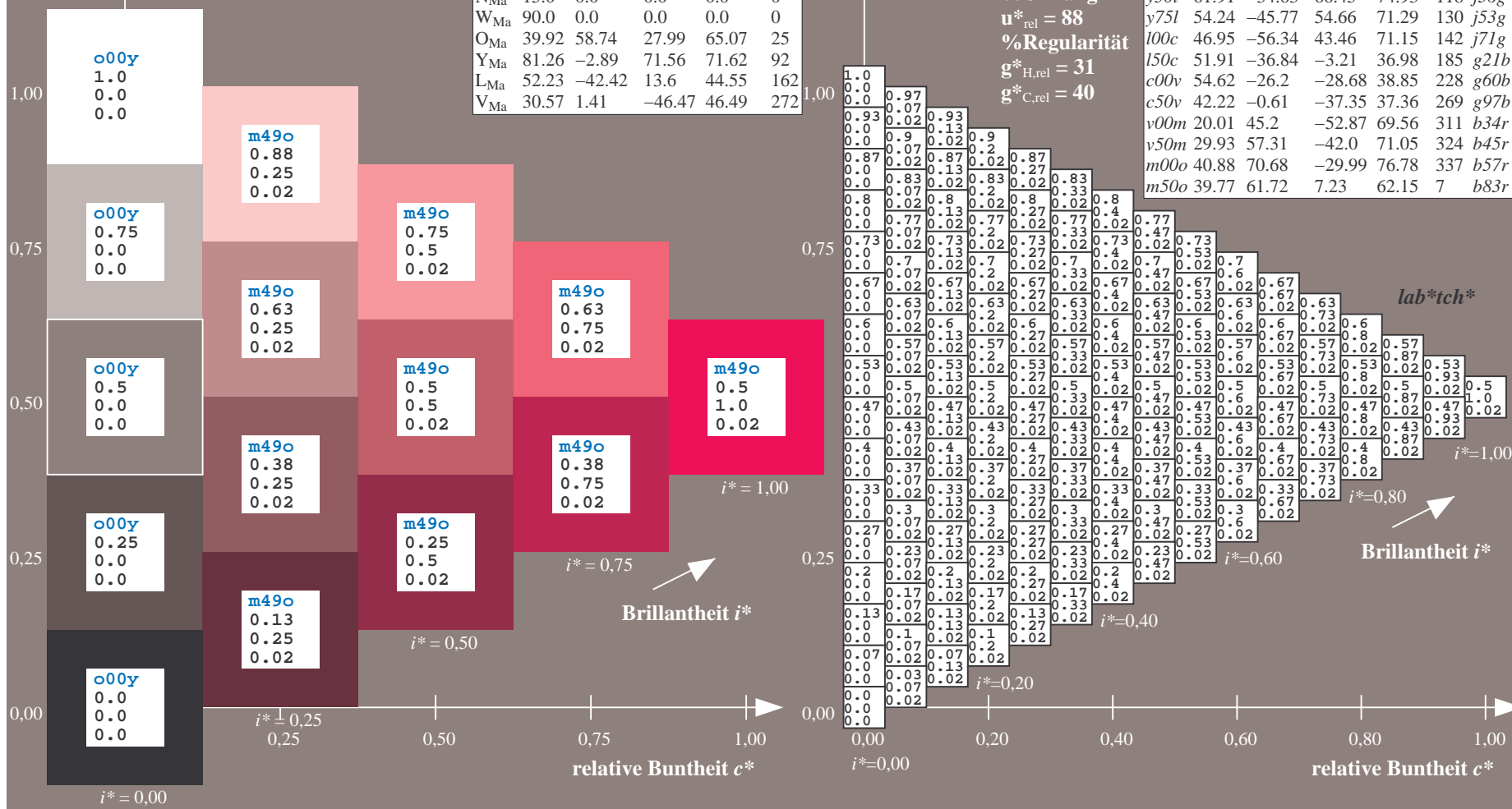
$u^*_{rel} = 88$

%Regularität

$g^*_{H,rel} = 31$

$g^*_{C,rel} = 40$

FRS15_90a; adaptierte CIELAB-Daten						
u^*_d	$L^*=L^*_a$	a^*_a	b^*_a	$C^*_{ab,a}$	$h^*_{ab,a}$	u^*_e
o00y	38.8	53.92	39.68	66.95	36	r16j
o25y	47.46	42.34	51.25	66.48	50	r37j
o50y	56.54	30.2	63.39	70.22	65	r58j
o75y	67.39	15.68	77.9	79.47	79	r79j
y00l	82.58	-4.64	98.22	98.33	93	j01g
y25l	70.85	-21.66	80.19	83.07	105	j18g
y50l	61.91	-34.63	66.45	74.93	118	j36g
y75l	54.24	-45.77	54.66	71.29	130	j53g
l00c	46.95	-56.34	43.46	71.15	142	j71g
l50c	51.91	-36.84	-3.21	36.98	185	g21b
c00v	54.62	-26.2	-28.68	38.85	228	g60b
c50v	42.22	-0.61	-37.35	37.36	269	g97b
v00m	20.01	45.2	-52.87	69.56	311	b34r
v50m	29.93	57.31	-42.0	71.05	324	b45r
m00o	40.88	70.68	-29.99	76.78	337	b57r
m50o	39.77	61.72	7.23	62.15	7	b83r



Siehe ähnliche Dateien: <http://www.ps.bam.de/Eg41/>; www.ps.bam.de/Eg41/10L/L41G00NA.PS/.TXT BAM-Material: Code=rh4ta
Technische Information: <http://www.ps.bam.de> Version 2.1, io=1,1, ColSp=0

	A	B	C	D	E	F	G	H	I	J	K	L	M	N	O	P	Q	R	S	T	U	V	W	X	Y	Z	a	b	c	d	e	f	g	h	i	j	k	lab*tch*				
01	0.0	0.06	0.13	0.19	0.25	0.31	0.38	0.44	0.5	0.06	0.06	0.13	0.19	0.25	0.31	0.38	0.44	0.5	0.13	0.13	0.13	0.19	0.25	0.31	0.38	0.44	0.5	1.0	0.94	0.88	0.81	0.75	0.69	0.63	0.56	0.5	0.0	0.0	0.0			
	0.0	0.13	0.25	0.38	0.5	0.63	0.75	0.88	1.0	0.13	0.13	0.25	0.38	0.5	0.63	0.75	0.88	1.0	0.25	0.25	0.25	0.38	0.5	0.63	0.75	0.88	1.0	0.0	0.13	0.25	0.38	0.5	0.63	0.75	0.88	1.0	0.0	0.0	0.0	0.0		
	0.0	0.4	0.4	0.4	0.4	0.4	0.4	0.4	0.4	0.1	0.26	0.33	0.35	0.36	0.37	0.37	0.38	0.38	0.1	0.18	0.26	0.3	0.33	0.34	0.35	0.36	0.36	0.36	0.0	0.0	0.1	0.1	0.1	0.1	0.1	0.1	0.1	0.1	0.0	0.0	0.0	
02	0.06	0.06	0.13	0.19	0.25	0.31	0.38	0.44	0.5	0.06	0.13	0.19	0.25	0.31	0.38	0.44	0.5	0.56	0.13	0.19	0.19	0.25	0.31	0.38	0.44	0.5	0.56	0.94	0.88	0.81	0.75	0.69	0.63	0.56	0.5	0.44	0.13	0.13	0.13			
	0.13	0.13	0.25	0.38	0.5	0.63	0.75	0.88	1.0	0.13	0.13	0.19	0.25	0.38	0.5	0.63	0.75	0.88	0.25	0.13	0.13	0.25	0.38	0.5	0.63	0.75	0.88	0.13	0.0	0.13	0.25	0.38	0.5	0.63	0.75	0.88	1.0	0.0	0.0	0.0	0.0	
	0.86	0.63	0.51	0.47	0.45	0.44	0.43	0.43	0.44	0.0	0.4	0.4	0.4	0.4	0.4	0.4	0.4	0.4	0.02	0.1	0.26	0.33	0.35	0.36	0.37	0.37	0.38	0.63	0.0	0.1	0.1	0.1	0.1	0.1	0.1	0.1	0.1	0.0	0.0	0.0	0.0	
03	0.13	0.13	0.13	0.19	0.25	0.31	0.38	0.44	0.5	0.13	0.19	0.19	0.25	0.31	0.38	0.44	0.5	0.56	0.13	0.19	0.25	0.31	0.38	0.44	0.5	0.56	0.63	0.88	0.81	0.75	0.69	0.63	0.56	0.5	0.44	0.38	0.25	0.25	0.25	0.25		
	0.25	0.25	0.25	0.38	0.5	0.63	0.75	0.88	1.0	0.25	0.13	0.13	0.25	0.38	0.5	0.63	0.75	0.88	0.25	0.13	0.0	0.13	0.25	0.38	0.5	0.63	0.75	0.25	0.13	0.0	0.13	0.25	0.38	0.5	0.63	0.75	0.0	0.0	0.0	0.0	0.0	
	0.86	0.75	0.63	0.55	0.51	0.49	0.47	0.46	0.45	0.9	0.86	0.63	0.51	0.47	0.45	0.44	0.43	0.43	0.94	0.94	0.0	0.4	0.4	0.4	0.4	0.4	0.4	0.4	0.63	0.63	0.0	0.1	0.1	0.1	0.1	0.1	0.1	0.0	0.0	0.0	0.0	
04	0.19	0.19	0.19	0.19	0.25	0.31	0.38	0.44	0.5	0.19	0.25	0.25	0.25	0.31	0.38	0.44	0.5	0.56	0.19	0.25	0.31	0.31	0.38	0.44	0.5	0.56	0.63	0.81	0.75	0.69	0.63	0.56	0.5	0.44	0.38	0.31	0.38	0.38	0.38	0.38		
	0.38	0.38	0.38	0.38	0.5	0.63	0.75	0.88	1.0	0.38	0.25	0.25	0.25	0.38	0.5	0.63	0.75	0.88	0.38	0.25	0.13	0.13	0.25	0.38	0.5	0.63	0.75	0.38	0.25	0.13	0.0	0.13	0.25	0.38	0.5	0.63	0.0	0.0	0.0	0.0	0.0	
	0.86	0.79	0.71	0.63	0.57	0.51	0.48	0.48	0.48	0.9	0.86	0.75	0.63	0.51	0.48	0.47	0.47	0.47	0.91	0.91	0.0	0.63	0.63	0.63	0.63	0.63	0.63	0.63	0.63	0.63	0.0	0.1	0.1	0.1	0.1	0.1	0.1	0.0	0.0	0.0	0.0	
05	0.5	0.5	0.5	0.5	0.5	0.5	0.5	0.5	0.5	0.5	0.5	0.5	0.5	0.5	0.5	0.5	0.5	0.5	0.5	0.5	0.5	0.5	0.5	0.5	0.5	0.5	0.5	0.5	0.5	0.5	0.5	0.5	0.5	0.5	0.5	0.5	0.5	0.5	0.5	0.5		
	0.86	0.8	0.75	0.69	0.63	0.58	0.55	0.53	0.51	0.88	0.86	0.79	0.71	0.63	0.57	0.54	0.51	0.5	0.9	0.89	0.86	0.75	0.63	0.55	0.51	0.49	0.47	0.63	0.63	0.63	0.63	0.63	0.63	0.63	0.63	0.63	0.63	0.63	0.63	0.63	0.63	
06	0.31	0.31	0.31	0.31	0.31	0.31	0.38	0.44	0.5	0.31	0.38	0.38	0.38	0.38	0.38	0.44	0.5	0.56	0.31	0.38	0.44	0.44	0.44	0.44	0.5	0.56	0.63	0.69	0.63	0.56	0.5	0.44	0.38	0.31	0.25	0.19	0.63	0.63	0.63	0.63		
	0.63	0.63	0.63	0.63	0.63	0.63	0.75	0.88	1.0	0.63	0.5	0.5	0.5	0.5	0.5	0.63	0.75	0.88	0.63	0.5	0.38	0.38	0.38	0.38	0.5	0.63	0.75	0.63	0.5	0.38	0.25	0.13	0.0	0.13	0.25	0.38	0.0	0.0	0.0	0.0	0.0	
	0.86	0.82	0.77	0.72	0.68	0.63	0.59	0.56	0.54	0.88	0.86	0.8	0.75	0.69	0.63	0.58	0.55	0.53	0.89	0.88	0.86	0.79	0.71	0.63	0.57	0.54	0.51	0.63	0.63	0.63	0.63	0.63	0.63	0.63	0.63	0.63	0.63	0.63	0.63	0.63	0.63	
07	0.38	0.38	0.38	0.38	0.38	0.38	0.38	0.38	0.44	0.5	0.38	0.44	0.44	0.44	0.44	0.44	0.44	0.5	0.56	0.38	0.44	0.5	0.5	0.5	0.5	0.5	0.56	0.63	0.63	0.56	0.5	0.44	0.38	0.31	0.25	0.19	0.13	0.75	0.75	0.75	0.75	
	0.75	0.75	0.75	0.75	0.75	0.75	0.75	0.75	0.88	1.0	0.75	0.63	0.63	0.63	0.63	0.63	0.63	0.75	0.88	0.75	0.63	0.5	0.5	0.5	0.5	0.5	0.63	0.75	0.63	0.5	0.38	0.25	0.13	0.0	0.13	0.25	0.38	0.0	0.0	0.0	0.0	
	0.86	0.82	0.79	0.75	0.71	0.67	0.63	0.6	0.57	0.87	0.86	0.82	0.77	0.72	0.68	0.63	0.59	0.56	0.89	0.88	0.86	0.8	0.75	0.69	0.63	0.58	0.55	0.63	0.63	0.63	0.63	0.63	0.63	0.63	0.63	0.63	0.63	0.63	0.63	0.63	0.63	0.63
08	0.44	0.44	0.44	0.44	0.44	0.44	0.44	0.44	0.44	0.5	0.44	0.5	0.5	0.5	0.5	0.5	0.5	0.56	0.44	0.5	0.56	0.56	0.56	0.56	0.56	0.56	0.56	0.56	0.56	0.5	0.44	0.38	0.31	0.25	0.19	0.13	0.06	0.88	0.88	0.88	0.88	
	0.88	0.88	0.88	0.88	0.88	0.88	0.88	0.88	0.88	1.0	0.88	0.75	0.75	0.75	0.75	0.75	0.75	0.88	0.88	0.75	0.63	0.63	0.63	0.63	0.63	0.63	0.75	0.88	0.75	0.63	0.5	0.38	0.25	0.13	0.0	0.13	0.0	0.0	0.0	0.0	0.0	
	0.86	0.83	0.8	0.76	0.73	0.7	0.67	0.63	0.6	0.87	0.86	0.82	0.79	0.75	0.71	0.67	0.63	0.6	0.88	0.87	0.86	0.82	0.77	0.72	0.68	0.63	0.59	0.63	0.63	0.63	0.63	0.63	0.63	0.63	0.63	0.63	0.63	0.63	0.63	0.63	0.63	0.63
09	0.5	0.5	0.5	0.5	0.5	0.5	0.5	0.5	0.5	0.5	0.5	0.5	0.5	0.5	0.5	0.5	0.5	0.56	0.5	0.56	0.56	0.56	0.56	0.56	0.56	0.56	0.56	0.5	0.44	0.38	0.31	0.25	0.19	0.13	0.06	0.0	1.0	1.0	1.0	1.0		
	1.0	1.0	1.0	1.0	1.0	1.0	1.0	1.0	1.0	1.0	1.0	0.88	0.88	0.88	0.88	0.88	0.88	0.88	1.0	0.88	0.75	0.75	0.75	0.75	0.75	0.75	0.75	1.0	0.88	0.75	0.63	0.5	0.38	0.25	0.13	0.0	0.0	0.0	0.0	0.0	0.0	
	0.86	0.83	0.8	0.78	0.75	0.72	0.69	0.66	0.63	0.87	0.86	0.83	0.8	0.76	0.73	0.7	0.67	0.63	0.88	0.87	0.86	0.82	0.79	0.75	0.71	0.67	0.63	0.63	0.63	0.63	0.63	0.63	0.63	0.63	0.63	0.63	0.63	0.63	0.63	0.63	0.63	0.63
10	0.19	0.19	0.19	0.19	0.25	0.31	0.38	0.44	0.5	0.19	0.25	0.25	0.25	0.31	0.38	0.44	0.5	0.56	0.19	0.31	0.31	0.31	0.31	0.38	0.44	0.5	0.56	0.63	0.81	0.75	0.69	0.63	0.56	0.5	0.44	0.38	0.31	0.38	0.38	0.38	0.38	
	0.38	0.38	0.38	0.38	0.5	0.63	0.75	0.88	1.0	0.5	0.5	0.5	0.5	0.5	0.63	0.75	0.88	1.0	0.63	0.63	0.63	0.63	0.63	0.63	0.63	0.63	0.63	0.63	0.63	0.63	0.63	0.63	0.63	0.63	0.63	0.63	0.63	0.63	0.63	0.63	0.63	0.63
	0.86	0.79	0.71	0.63	0.57	0.51	0.48	0.48	0.48	0.9	0.86	0.75	0.63	0.51	0.48	0.47	0.47	0.47	0.91	0.91	0.0	0.63	0.63	0.63	0.63	0.63	0.63	0.63	0.63	0.63	0.63	0.63	0.63	0.63	0.63	0.63	0.63	0.63	0.63	0.63	0.63	0.63
11	0.19	0.25	0.25	0.25	0.31	0.38	0.44	0.5	0.56	0.25	0.31	0.31	0.38	0.44	0.5	0.56	0.31	0.38	0.38	0.38	0.38	0.38	0.44	0.5	0.56	0.63	0.81	0.75	0.69	0.63	0.56	0.5	0.44	0.38	0.31	0.25	0.19	0.07	0.07	0.07	0.07	
	0.38	0.25	0.25	0.25	0.38	0.5	0.63	0.75	0.88	1.0	0.38	0.38	0.38	0.38	0.5	0.63	0.75	0.88	0.63	0.5	0.5	0.5	0.5	0.5	0.5	0.5	0.63	0.75	0.88	0.13	0.0	0.13	0.25	0.38	0.5	0.63	0.75	0.88	0.0	0.0	0.0	0.0
	0.05	0.1																																								

BAM-Registrierung: 20081001-Eg41/10L/L41G00NA.PS/.TXT BAM-Material: Code=rh4ta
Anwendung für Beurteilung und Messung von Drucker- oder Monitorsystemen

Ein und Ausgabe:
Farbmetrisches Drucker-Reflektiv-System FRS15_90a
Daten für jede Farbe:

u^*_d und Nummer $Nr.$ = 00 .. 15

Geräte-Bunttontext:

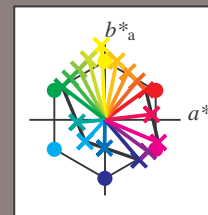
u^*_d = 16 Bunttoene $o00y$, $o25y$, ..., $m50o$

Kontrastreduzierungsfaktor:

$c_R = 0.9$

FRS15_90a; adaptierte CIELAB-Daten

u^*_d	$L^*=L^*_a$	a^*_a	b^*_a	$C^*_{ab,a}$	$h^*_{ab,a}$	u^*_e
$o00y$	38.8	53.92	39.68	66.95	36	$r16j$
$o25y$	47.46	42.34	51.25	66.48	50	$r37j$
$o50y$	56.54	30.2	63.39	70.22	65	$r58j$
$o75y$	67.39	15.68	77.9	79.47	79	$r79j$
$y00l$	82.58	-4.64	98.22	98.33	93	$j01g$
$y25l$	70.85	-21.66	80.19	83.07	105	$j18g$
$y50l$	61.91	-34.63	66.45	74.93	118	$j36g$
$y75l$	54.24	-45.77	54.66	71.29	130	$j53g$
$l00c$	46.95	-56.34	43.46	71.15	142	$j71g$
$l50c$	51.91	-36.84	-3.21	36.98	185	$g21b$
$c00v$	54.62	-26.2	-28.68	38.85	228	$g60b$
$c50v$	42.22	-0.61	-37.35	37.36	269	$g97b$
$v00m$	20.01	45.2	-52.87	69.56	311	$b34r$
$v50m$	29.93	57.31	-42.0	71.05	324	$b45r$
$m00o$	40.88	70.68	-29.99	76.78	337	$b57r$
$m50o$	39.77	61.72	7.23	62.15	7	$b83r$



%Umfang

$u^*_{rel} = 88$

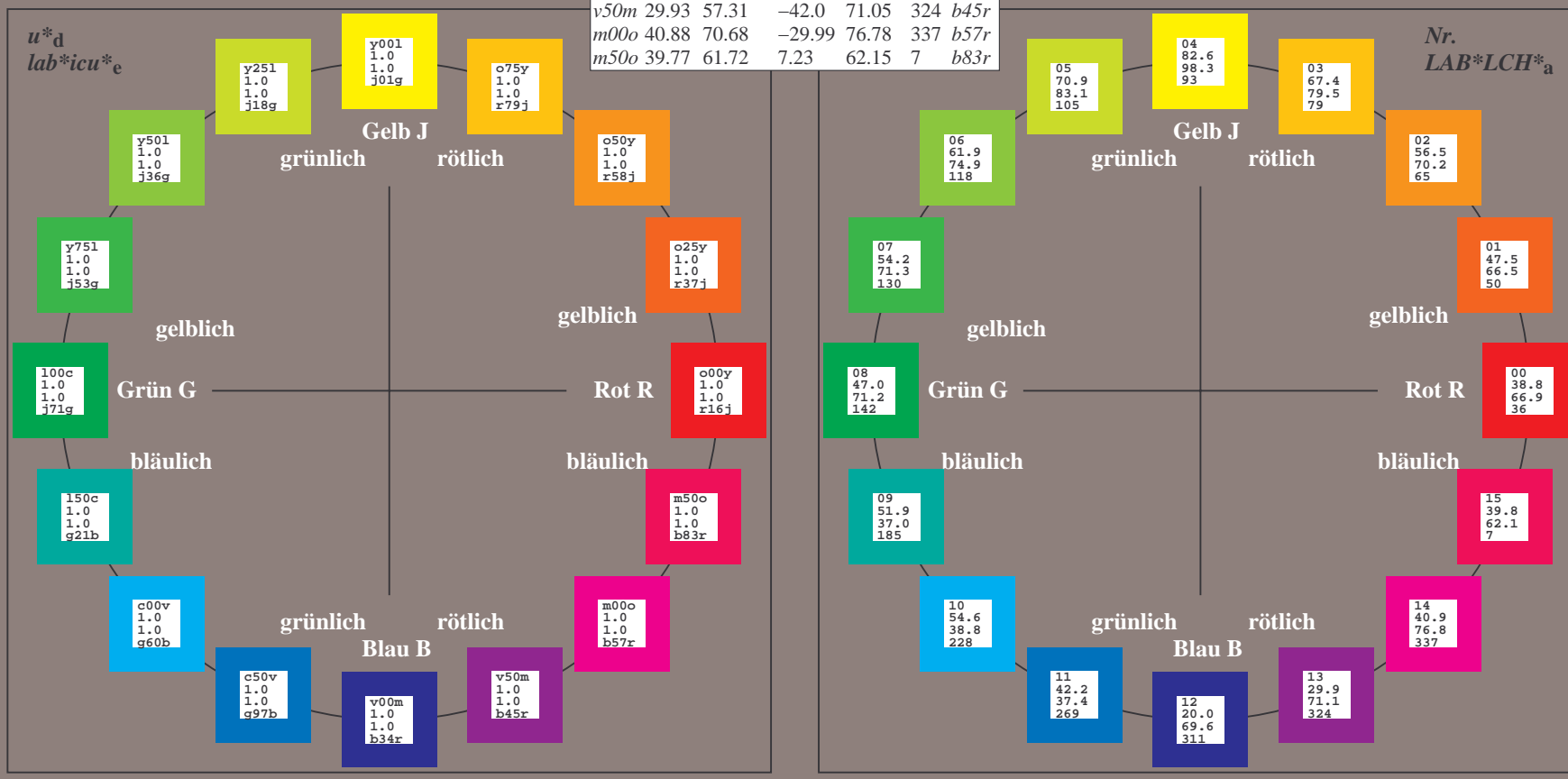
%Regularität

$g^*_{H,rel} = 31$

$g^*_{C,rel} = 40$

FRS15_90a; adaptierte CIELAB-Daten

Name	$L^*=L^*_a$	a^*_a	b^*_a	$C^*_{ab,a}$	$h^*_{ab,a}$
O_{Ma}	38.8	53.92	39.68	66.95	36
Y_{Ma}	82.58	-4.64	98.22	98.33	93
L_{Ma}	46.95	-56.34	43.46	71.15	142
C_{Ma}	54.62	-26.2	-28.68	38.85	228
V_{Ma}	20.01	45.2	-52.87	69.56	311
M_{Ma}	40.88	70.68	-29.99	76.78	337
N_{Ma}	15.0	0.0	0.0	0.0	0
W_{Ma}	90.0	0.0	0.0	0.0	0
O_{CIE}	39.92	58.74	27.99	65.07	25
Y_{CIE}	81.26	-2.89	71.56	71.62	92
L_{CIE}	52.23	-42.42	13.6	44.55	162
V_{CIE}	30.57	1.41	-46.47	46.49	272



Ein und Ausgabe: Farbmetrisches Drucker-Reflektiv-System FRS15_90a für relativen CIELAB-Buntton $h^* = \text{lab}^*h^* = h_{ab}/360 = 0.101$

Daten für jede Farbe:

lab^*tch^* und lab^*icu^*

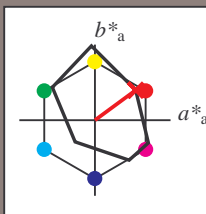
Bunttontexte:

$u^*_d = o00y$ $u^*_e = r16j$

Kontrastreduzierungsfaktor:

$c_R = 0.9$

Dreiecks-Helligkeit i^*



FRS15_90a; adaptierte CIELAB-Daten

u^*_d	$L^*=L^*_a$	a^*_a	b^*_a	$C^*_{ab,a}$	$h^*_{ab,a}$
O _{Ma}	38.8	53.92	39.68	66.95	36
Y _{Ma}	82.58	-4.64	98.22	98.33	93
L _{Ma}	46.95	-56.34	43.46	71.15	142
C _{Ma}	54.62	-26.2	-28.68	38.85	228
V _{Ma}	20.01	45.2	-52.87	69.56	311
M _{Ma}	40.88	70.68	-29.99	76.78	337
N _{Ma}	15.0	0.0	0.0	0.0	0
W _{Ma}	90.0	0.0	0.0	0.0	0
O _{Ma}	39.92	58.74	27.99	65.07	25
Y _{Ma}	81.26	-2.89	71.56	71.62	92
L _{Ma}	52.23	-42.42	13.6	44.55	162
V _{Ma}	30.57	1.41	-46.47	46.49	272

Daten für Maximalfarbe (Ma):

$\text{LAB}^*\text{LAB}^*_{Ma}$: 39 54 40

$\text{LAB}^*\text{LCH}^*_{Ma}$: 39 67 36

$\text{lab}^*\text{olv}^*_{Ma}$: 1.0 0.0 0.0

$\text{lab}^*\text{rgb}^*_{Ma}$: 1.0 0.16 0.0

Dreiecks-Helligkeit i^*

%Umfang

$u^*_{rel} = 88$

%Regularität

$g^*_{H,rel} = 31$

$g^*_{C,rel} = 40$

FRS15_90a; adaptierte CIELAB-Daten

u^*_d	$L^*=L^*_a$	a^*_a	b^*_a	$C^*_{ab,a}$	$h^*_{ab,a}$	u^*_e
$o00y$	38.8	53.92	39.68	66.95	36	$r16j$
$o25y$	47.46	42.34	51.25	66.48	50	$r37j$
$o50y$	56.54	30.2	63.39	70.22	65	$r58j$
$o75y$	67.39	15.68	77.9	79.47	79	$r79j$
$y00l$	82.58	-4.64	98.22	98.33	93	$j01g$
$y25l$	70.85	-21.66	80.19	83.07	105	$j18g$
$y50l$	61.91	-34.63	66.45	74.93	118	$j36g$
$y75l$	54.24	-45.77	54.66	71.29	130	$j53g$
$l00c$	46.95	-56.34	43.46	71.15	142	$j71g$
$l50c$	51.91	-36.84	-3.21	36.98	185	$g21b$
$c00v$	54.62	-26.2	-28.68	38.85	228	$g60b$
$c50v$	42.22	-0.61	-37.35	37.36	269	$g97b$
$v00m$	20.01	45.2	-52.87	69.56	311	$b34r$
$v50m$	29.93	57.31	-42.0	71.05	324	$b45r$
$m00o$	40.88	70.68	-29.99	76.78	337	$b57r$
$m50o$	39.77	61.72	7.23	62.15	7	$b83r$

$\text{lab}^*icu^*_e$

$i^* = 1.00$

Brillantheit i^*

$i^* = 0.80$

$i^* = 0.60$

$i^* = 0.40$

$i^* = 0.20$

$i^* = 0.00$

relative Buntheit c^*

relative Buntheit c^*

relative Buntheit c^*

Ein und Ausgabe: Farbmimetrisches Drucker-Reflektiv-System FRS15_90a für relativen CIELAB-Buntton $h^* = \text{lab}^*h^* = h_{ab}/360 = 0.14$

Daten für jede Farbe:

lab^*tch^* und lab^*icu^*

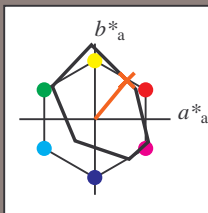
Bunttontexte:

$u^*_d = o25y$ $u^*_e = r37j$

Kontrastreduzierungsfaktor:

$c_R = 0.9$

Dreiecks-Helligkeit i^*



FRS15_90a; adaptierte CIELAB-Daten

u^*_d	$L^*=L^*_a$	a^*_a	b^*_a	$C^*_{ab,a}$	$h^*_{ab,a}$
O _{Ma}	38.8	53.92	39.68	66.95	36
Y _{Ma}	82.58	-4.64	98.22	98.33	93
L _{Ma}	46.95	-56.34	43.46	71.15	142
C _{Ma}	54.62	-26.2	-28.68	38.85	228
V _{Ma}	20.01	45.2	-52.87	69.56	311
M _{Ma}	40.88	70.68	-29.99	76.78	337
N _{Ma}	15.0	0.0	0.0	0.0	0
W _{Ma}	90.0	0.0	0.0	0.0	0
O _{Ma}	39.92	58.74	27.99	65.07	25
Y _{Ma}	81.26	-2.89	71.56	71.62	92
L _{Ma}	52.23	-42.42	13.6	44.55	162
V _{Ma}	30.57	1.41	-46.47	46.49	272

Daten für Maximalfarbe (Ma):

$\text{LAB}^*\text{LAB}^*_{Ma}$: 47 42 51

$\text{LAB}^*\text{LCH}^*_{Ma}$: 47 66 50

$\text{lab}^*\text{olv}^*_{Ma}$: 1.0 0.25 0.0

$\text{lab}^*\text{rgb}^*_{Ma}$: 1.0 0.37 0.0

Dreiecks-Helligkeit i^*

%Umfang

$u^*_{rel} = 88$

%Regularität

$g^*_{H,rel} = 31$

$g^*_{C,rel} = 40$

FRS15_90a; adaptierte CIELAB-Daten

u^*_d	$L^*=L^*_a$	a^*_a	b^*_a	$C^*_{ab,a}$	$h^*_{ab,a}$	u^*_e
o00y	38.8	53.92	39.68	66.95	36	r16j
o25y	47.46	42.34	51.25	66.48	50	r37j
o50y	56.54	30.2	63.39	70.22	65	r58j
o75y	67.39	15.68	77.9	79.47	79	r79j
y00l	82.58	-4.64	98.22	98.33	93	j01g
y25l	70.85	-21.66	80.19	83.07	105	j18g
y50l	61.91	-34.63	66.45	74.93	118	j36g
y75l	54.24	-45.77	54.66	71.29	130	j53g
l00c	46.95	-56.34	43.46	71.15	142	j71g
l50c	51.91	-36.84	-3.21	36.98	185	g21b
c00v	54.62	-26.2	-28.68	38.85	228	g60b
c50v	42.22	-0.61	-37.35	37.36	269	g97b
v00m	20.01	45.2	-52.87	69.56	311	b34r
v50m	29.93	57.31	-42.0	71.05	324	b45r
m00o	40.88	70.68	-29.99	76.78	337	b57r
m50o	39.77	61.72	7.23	62.15	7	b83r

$\text{lab}^*\text{icu}^*_e$

$i^* = 1.00$

Brillantheit i^*

$i^* = 0.80$

$i^* = 0.60$

$i^* = 0.40$

$i^* = 0.20$

$i^* = 0.00$

relative Buntheit c^*

relative Buntheit c^*

Ein und Ausgabe: Farbmimetrisches Drucker-Reflektiv-System FRS15_90a für relativen CIELAB-Buntton $h^* = \text{lab}^*h^* = h_{ab}/360 = 0.179$

Daten für jede Farbe:

lab^*tch^* und lab^*icu^*

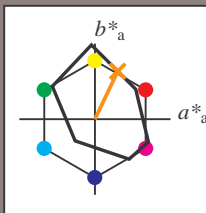
Bunttontexte:

$u^*_d = o50y$ $u^*_e = r58j$

Kontrastreduzierungsfaktor:

$c_R = 0.9$

Dreiecks-Helligkeit i^*



FRS15_90a; adaptierte CIELAB-Daten

u^*_d	$L^*=L^*_a$	a^*_a	b^*_a	$C^*_{ab,a}$	$h^*_{ab,a}$
O _{Ma}	38.8	53.92	39.68	66.95	36
Y _{Ma}	82.58	-4.64	98.22	98.33	93
L _{Ma}	46.95	-56.34	43.46	71.15	142
C _{Ma}	54.62	-26.2	-28.68	38.85	228
V _{Ma}	20.01	45.2	-52.87	69.56	311
M _{Ma}	40.88	70.68	-29.99	76.78	337
N _{Ma}	15.0	0.0	0.0	0.0	0
W _{Ma}	90.0	0.0	0.0	0.0	0
O _{Ma}	39.92	58.74	27.99	65.07	25
Y _{Ma}	81.26	-2.89	71.56	71.62	92
L _{Ma}	52.23	-42.42	13.6	44.55	162
V _{Ma}	30.57	1.41	-46.47	46.49	272

Daten für Maximalfarbe (Ma):

$\text{LAB}^*\text{LAB}^*_{Ma}$: 57 30 63

$\text{LAB}^*\text{LCH}^*_{Ma}$: 57 70 64

$\text{lab}^*\text{olv}^*_{Ma}$: 1.0 0.5 0.0

$\text{lab}^*\text{rgb}^*_{Ma}$: 1.0 0.58 0.0

Dreiecks-Helligkeit i^*

%Umfang

$u^*_{rel} = 88$

%Regularität

$g^*_{H,rel} = 31$

$g^*_{C,rel} = 40$

FRS15_90a; adaptierte CIELAB-Daten

u^*_d	$L^*=L^*_a$	a^*_a	b^*_a	$C^*_{ab,a}$	$h^*_{ab,a}$	u^*_e
o00y	38.8	53.92	39.68	66.95	36	r16j
o25y	47.46	42.34	51.25	66.48	50	r37j
o50y	56.54	30.2	63.39	70.22	65	r58j
o75y	67.39	15.68	77.9	79.47	79	r79j
y00l	82.58	-4.64	98.22	98.33	93	j01g
y25l	70.85	-21.66	80.19	83.07	105	j18g
y50l	61.91	-34.63	66.45	74.93	118	j36g
y75l	54.24	-45.77	54.66	71.29	130	j53g
l00c	46.95	-56.34	43.46	71.15	142	j71g
l50c	51.91	-36.84	-3.21	36.98	185	g21b
c00v	54.62	-26.2	-28.68	38.85	228	g60b
c50v	42.22	-0.61	-37.35	37.36	269	g97b
v00m	20.01	45.2	-52.87	69.56	311	b34r
v50m	29.93	57.31	-42.0	71.05	324	b45r
m00o	40.88	70.68	-29.99	76.78	337	b57r
m50o	39.77	61.72	7.23	62.15	7	b83r

$\text{lab}^*\text{icu}^*_e$

$i^* = 1.00$

Brillantheit i^*

$i^* = 0.80$

$i^* = 0.60$

$i^* = 0.40$

$i^* = 0.20$

$i^* = 0.00$

Ein und Ausgabe: Farbmetrisches Drucker-Reflektiv-System FRS15_90a für relativen CIELAB-Buntton $h^* = \text{lab}^*h^* = h_{ab}/360 = 0.218$

Daten für jede Farbe:

lab^*tch^* und lab^*icu^*

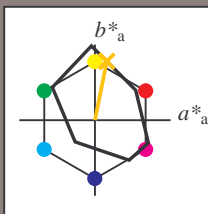
Bunttontexte:

$u^*_d = o75y$ $u^*_e = r79j$

Kontrastreduzierungsfaktor:

$c_R = 0.9$

Dreiecks-Helligkeit i^*



FRS15_90a; adaptierte CIELAB-Daten						
u^*_d	$L^*=L^*_a$	a^*_a	b^*_a	$C^*_{ab,a}$	$h^*_{ab,a}$	
O _{Ma}	38.8	53.92	39.68	66.95	36	
Y _{Ma}	82.58	-4.64	98.22	98.33	93	
L _{Ma}	46.95	-56.34	43.46	71.15	142	
C _{Ma}	54.62	-26.2	-28.68	38.85	228	
V _{Ma}	20.01	45.2	-52.87	69.56	311	
M _{Ma}	40.88	70.68	-29.99	76.78	337	
N _{Ma}	15.0	0.0	0.0	0.0	0	
W _{Ma}	90.0	0.0	0.0	0.0	0	
O _{Ma}	39.92	58.74	27.99	65.07	25	
Y _{Ma}	81.26	-2.89	71.56	71.62	92	
L _{Ma}	52.23	-42.42	13.6	44.55	162	
V _{Ma}	30.57	1.41	-46.47	46.49	272	

Daten für Maximalfarbe (Ma):

$\text{LAB}^*\text{LAB}^*_{Ma}$: 67 16 78

$\text{LAB}^*\text{LCH}^*_{Ma}$: 67 79 78

$\text{lab}^*\text{olv}^*_{Ma}$: 1.0 0.75 0.0

$\text{lab}^*\text{rgb}^*_{Ma}$: 1.0 0.8 0.0

Dreiecks-Helligkeit i^*

%Umfang

$u^*_{rel} = 88$

%Regularität

$g^*_{H,rel} = 31$

$g^*_{C,rel} = 40$

FRS15_90a; adaptierte CIELAB-Daten						
u^*_d	$L^*=L^*_a$	a^*_a	b^*_a	$C^*_{ab,a}$	$h^*_{ab,a}$	u^*_e
o00y	38.8	53.92	39.68	66.95	36	r16j
o25y	47.46	42.34	51.25	66.48	50	r37j
o50y	56.54	30.2	63.39	70.22	65	r58j
o75y	67.39	15.68	77.9	79.47	79	r79j
y00l	82.58	-4.64	98.22	98.33	93	j01g
y25l	70.85	-21.66	80.19	83.07	105	j18g
y50l	61.91	-34.63	66.45	74.93	118	j36g
y75l	54.24	-45.77	54.66	71.29	130	j53g
l00c	46.95	-56.34	43.46	71.15	142	j71g
l50c	51.91	-36.84	-3.21	36.98	185	g21b
c00v	54.62	-26.2	-28.68	38.85	228	g60b
c50v	42.22	-0.61	-37.35	37.36	269	g97b
v00m	20.01	45.2	-52.87	69.56	311	b34r
v50m	29.93	57.31	-42.0	71.05	324	b45r
m00o	40.88	70.68	-29.99	76.78	337	b57r
m50o	39.77	61.72	7.23	62.15	7	b83r

$\text{lab}^*\text{icu}^*_e$

$i^* = 1.00$

Brillantheit i^*

$i^* = 0.80$

$i^* = 0.60$

$i^* = 0.40$

$i^* = 0.20$

$i^* = 0.00$

relative Buntheit c^*

Ein und Ausgabe: Farbmetrisches Drucker-Reflektiv-System FRS15_90a für relativen CIELAB-Buntton $h^* = lab^*h^* = h_{ab}/360 = 0.258$

Daten für jede Farbe:

lab^*ch^* und lab^*icu^*

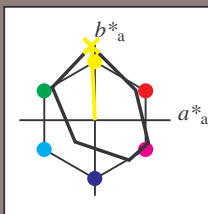
Bunttontexte:

$u^*_d = y00l$ $u^*_e = j01g$

Kontrastreduzierungsfaktor:

$c_R = 0.9$

Dreiecks-Helligkeit i^*



FRS15_90a; adaptierte CIELAB-Daten

u^*_d	$L^*=L^*_a$	a^*_a	b^*_a	$C^*_{ab,a}$	$h^*_{ab,a}$
O _{Ma}	38.8	53.92	39.68	66.95	36
Y _{Ma}	82.58	-4.64	98.22	98.33	93
L _{Ma}	46.95	-56.34	43.46	71.15	142
C _{Ma}	54.62	-26.2	-28.68	38.85	228
V _{Ma}	20.01	45.2	-52.87	69.56	311
M _{Ma}	40.88	70.68	-29.99	76.78	337
N _{Ma}	15.0	0.0	0.0	0.0	0
W _{Ma}	90.0	0.0	0.0	0.0	0
O _{Ma}	39.92	58.74	27.99	65.07	25
Y _{Ma}	81.26	-2.89	71.56	71.62	92
L _{Ma}	52.23	-42.42	13.6	44.55	162
V _{Ma}	30.57	1.41	-46.47	46.49	272

Daten für Maximalfarbe (Ma):

$LAB^*LAB^*_{Ma}$: 83 -5 98

$LAB^*LCH^*_{Ma}$: 83 98 92

$lab^*olv^*_{Ma}$: 1.0 1.0 0.0

$lab^*rgb^*_{Ma}$: 0.99 1.0 0.0

Dreiecks-Helligkeit i^*

%Umfang

$u^*_{rel} = 88$

%Regularität

$g^*_{H,rel} = 31$

$g^*_{C,rel} = 40$

FRS15_90a; adaptierte CIELAB-Daten

u^*_d	$L^*=L^*_a$	a^*_a	b^*_a	$C^*_{ab,a}$	$h^*_{ab,a}$	u^*_e
o00y	38.8	53.92	39.68	66.95	36	r16j
o25y	47.46	42.34	51.25	66.48	50	r37j
o50y	56.54	30.2	63.39	70.22	65	r58j
o75y	67.39	15.68	77.9	79.47	79	r79j
y00l	82.58	-4.64	98.22	98.33	93	j01g
y25l	70.85	-21.66	80.19	83.07	105	j18g
y50l	61.91	-34.63	66.45	74.93	118	j36g
y75l	54.24	-45.77	54.66	71.29	130	j53g
l00c	46.95	-56.34	43.46	71.15	142	j71g
l50c	51.91	-36.84	-3.21	36.98	185	g21b
c00v	54.62	-26.2	-28.68	38.85	228	g60b
c50v	42.22	-0.61	-37.35	37.36	269	g97b
v00m	20.01	45.2	-52.87	69.56	311	b34r
v50m	29.93	57.31	-42.0	71.05	324	b45r
m00o	40.88	70.68	-29.99	76.78	337	b57r
m50o	39.77	61.72	7.23	62.15	7	b83r

lab^*icu^*

$i^* = 1.00$

Brillantheit i^*

$i^* = 0.80$

$i^* = 0.60$

$i^* = 0.40$

$i^* = 0.20$

$i^* = 0.00$

relative Buntheit c^*

relative Buntheit c^*

Ein und Ausgabe: Farbmimetrisches Drucker-Reflektiv-System FRS15_90a für relativen CIELAB-Buntton $h^* = \text{lab}^*h^* = h_{ab}/360 = 0.292$

Daten für jede Farbe:

lab^*tch^* und lab^*icu^*

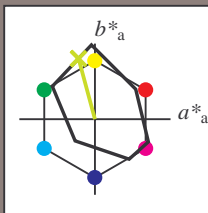
Bunttontexte:

$u^*_d = y25l$ $u^*_e = j18g$

Kontrastreduzierungsfaktor:

$c_R = 0.9$

Dreiecks-Helligkeit i^*



FRS15_90a; adaptierte CIELAB-Daten

u^*_d	$L^*=L^*_a$	a^*_a	b^*_a	$C^*_{ab,a}$	$h^*_{ab,a}$
O _{Ma}	38.8	53.92	39.68	66.95	36
Y _{Ma}	82.58	-4.64	98.22	98.33	93
L _{Ma}	46.95	-56.34	43.46	71.15	142
C _{Ma}	54.62	-26.2	-28.68	38.85	228
V _{Ma}	20.01	45.2	-52.87	69.56	311
M _{Ma}	40.88	70.68	-29.99	76.78	337
N _{Ma}	15.0	0.0	0.0	0.0	0
W _{Ma}	90.0	0.0	0.0	0.0	0
O _{Ma}	39.92	58.74	27.99	65.07	25
Y _{Ma}	81.26	-2.89	71.56	71.62	92
L _{Ma}	52.23	-42.42	13.6	44.55	162
V _{Ma}	30.57	1.41	-46.47	46.49	272

Daten für Maximalfarbe (Ma):

$\text{LAB}^*\text{LAB}^*_{Ma}$: 71 -22 80

$\text{LAB}^*\text{LCH}^*_{Ma}$: 71 83 105

$\text{lab}^*\text{olv}^*_{Ma}$: 0.75 1.0 0.0

$\text{lab}^*\text{rgb}^*_{Ma}$: 0.82 1.0 0.0

Dreiecks-Helligkeit i^*

%Umfang

$u^*_{rel} = 88$

%Regularität

$g^*_{H,rel} = 31$

$g^*_{C,rel} = 40$

FRS15_90a; adaptierte CIELAB-Daten

u^*_d	$L^*=L^*_a$	a^*_a	b^*_a	$C^*_{ab,a}$	$h^*_{ab,a}$	u^*_e
o00y	38.8	53.92	39.68	66.95	36	r16j
o25y	47.46	42.34	51.25	66.48	50	r37j
o50y	56.54	30.2	63.39	70.22	65	r58j
o75y	67.39	15.68	77.9	79.47	79	r79j
y00l	82.58	-4.64	98.22	98.33	93	j01g
y25l	70.85	-21.66	80.19	83.07	105	j18g
y50l	61.91	-34.63	66.45	74.93	118	j36g
y75l	54.24	-45.77	54.66	71.29	130	j53g
l00c	46.95	-56.34	43.46	71.15	142	j71g
l50c	51.91	-36.84	-3.21	36.98	185	g21b
c00v	54.62	-26.2	-28.68	38.85	228	g60b
c50v	42.22	-0.61	-37.35	37.36	269	g97b
v00m	20.01	45.2	-52.87	69.56	311	b34r
v50m	29.93	57.31	-42.0	71.05	324	b45r
m00o	40.88	70.68	-29.99	76.78	337	b57r
m50o	39.77	61.72	7.23	62.15	7	b83r

$\text{lab}^*icu^*_e$

$i^* = 1.00$

Brillantheit i^*

$i^* = 0.80$

$i^* = 0.60$

$i^* = 0.40$

$i^* = 0.20$

$i^* = 0.00$

relative Buntheit c^*

relative Buntheit c^*

Ein und Ausgabe: Farbmimetrisches Drucker-Reflektiv-System FRS15_90a für relativen CIELAB-Buntton $h^* = \text{lab}^*h^* = h_{ab}/360 = 0.326$

Daten für jede Farbe:

lab^*tch^* und lab^*icu^*

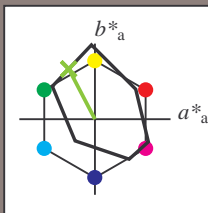
Bunttontexte:

$u^*_d = y50l$ $u^*_e = j36g$

Kontrastreduzierungsfaktor:

$c_R = 0.9$

Dreiecks-Helligkeit i^*



FRS15_90a; adaptierte CIELAB-Daten

u^*_d	$L^*=L^*_a$	a^*_a	b^*_a	$C^*_{ab,a}$	$h^*_{ab,a}$
O _{Ma}	38.8	53.92	39.68	66.95	36
Y _{Ma}	82.58	-4.64	98.22	98.33	93
L _{Ma}	46.95	-56.34	43.46	71.15	142
C _{Ma}	54.62	-26.2	-28.68	38.85	228
V _{Ma}	20.01	45.2	-52.87	69.56	311
M _{Ma}	40.88	70.68	-29.99	76.78	337
N _{Ma}	15.0	0.0	0.0	0.0	0
W _{Ma}	90.0	0.0	0.0	0.0	0
O _{Ma}	39.92	58.74	27.99	65.07	25
Y _{Ma}	81.26	-2.89	71.56	71.62	92
L _{Ma}	52.23	-42.42	13.6	44.55	162
V _{Ma}	30.57	1.41	-46.47	46.49	272

Daten für Maximalfarbe (Ma):

$\text{LAB}^*\text{LAB}^*_{Ma}$: 62 -35 66

$\text{LAB}^*\text{LCH}^*_{Ma}$: 62 75 117

$\text{lab}^*\text{olv}^*_{Ma}$: 0.5 1.0 0.0

$\text{lab}^*\text{rgb}^*_{Ma}$: 0.64 1.0 0.0

Dreiecks-Helligkeit i^*

%Umfang

$u^*_{rel} = 88$

%Regularität

$g^*_{H,rel} = 31$

$g^*_{C,rel} = 40$

FRS15_90a; adaptierte CIELAB-Daten

u^*_d	$L^*=L^*_a$	a^*_a	b^*_a	$C^*_{ab,a}$	$h^*_{ab,a}$	u^*_e
o00y	38.8	53.92	39.68	66.95	36	r16j
o25y	47.46	42.34	51.25	66.48	50	r37j
o50y	56.54	30.2	63.39	70.22	65	r58j
o75y	67.39	15.68	77.9	79.47	79	r79j
y00l	82.58	-4.64	98.22	98.33	93	j01g
y25l	70.85	-21.66	80.19	83.07	105	j18g
y50l	61.91	-34.63	66.45	74.93	118	j36g
y75l	54.24	-45.77	54.66	71.29	130	j53g
l00c	46.95	-56.34	43.46	71.15	142	j71g
l50c	51.91	-36.84	-3.21	36.98	185	g21b
c00v	54.62	-26.2	-28.68	38.85	228	g60b
c50v	42.22	-0.61	-37.35	37.36	269	g97b
v00m	20.01	45.2	-52.87	69.56	311	b34r
v50m	29.93	57.31	-42.0	71.05	324	b45r
m00o	40.88	70.68	-29.99	76.78	337	b57r
m50o	39.77	61.72	7.23	62.15	7	b83r

$\text{lab}^*\text{icu}^*_e$

$i^* = 1.00$

Brillantheit i^*

$i^* = 0.80$

$i^* = 0.60$

$i^* = 0.40$

$i^* = 0.20$

$i^* = 0.00$

Ein und Ausgabe: Farbmetrisches Drucker-Reflektiv-System FRS15_90a für relativen CIELAB-Buntton $h^* = lab^*h^* = h_{ab}/360 = 0.361$

Daten für jede Farbe:

lab^*ch^* und lab^*icu^*

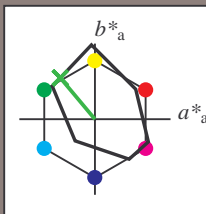
Bunttontexte:

$u^*_d = y75l$ $u^*_e = j53g$

Kontrastreduzierungsfaktor:

$c_R = 0.9$

Dreiecks-Helligkeit i^*



FRS15_90a; adaptierte CIELAB-Daten						
u^*_d	$L^*=L^*_a$	a^*_a	b^*_a	$C^*_{ab,a}$	$h^*_{ab,a}$	
O _{Ma}	38.8	53.92	39.68	66.95	36	
Y _{Ma}	82.58	-4.64	98.22	98.33	93	
L _{Ma}	46.95	-56.34	43.46	71.15	142	
C _{Ma}	54.62	-26.2	-28.68	38.85	228	
V _{Ma}	20.01	45.2	-52.87	69.56	311	
M _{Ma}	40.88	70.68	-29.99	76.78	337	
N _{Ma}	15.0	0.0	0.0	0.0	0	
W _{Ma}	90.0	0.0	0.0	0.0	0	
O _{Ma}	39.92	58.74	27.99	65.07	25	
Y _{Ma}	81.26	-2.89	71.56	71.62	92	
L _{Ma}	52.23	-42.42	13.6	44.55	162	
V _{Ma}	30.57	1.41	-46.47	46.49	272	

Daten für Maximalfarbe (Ma):

$LAB^*LAB^*_{Ma}$: 54 -46 55

$LAB^*LCH^*_{Ma}$: 54 71 129

$lab^*olv^*_{Ma}$: 0.25 1.0 0.0

$lab^*rgb^*_{Ma}$: 0.46 1.0 0.0

Dreiecks-Helligkeit i^*

%Umfang

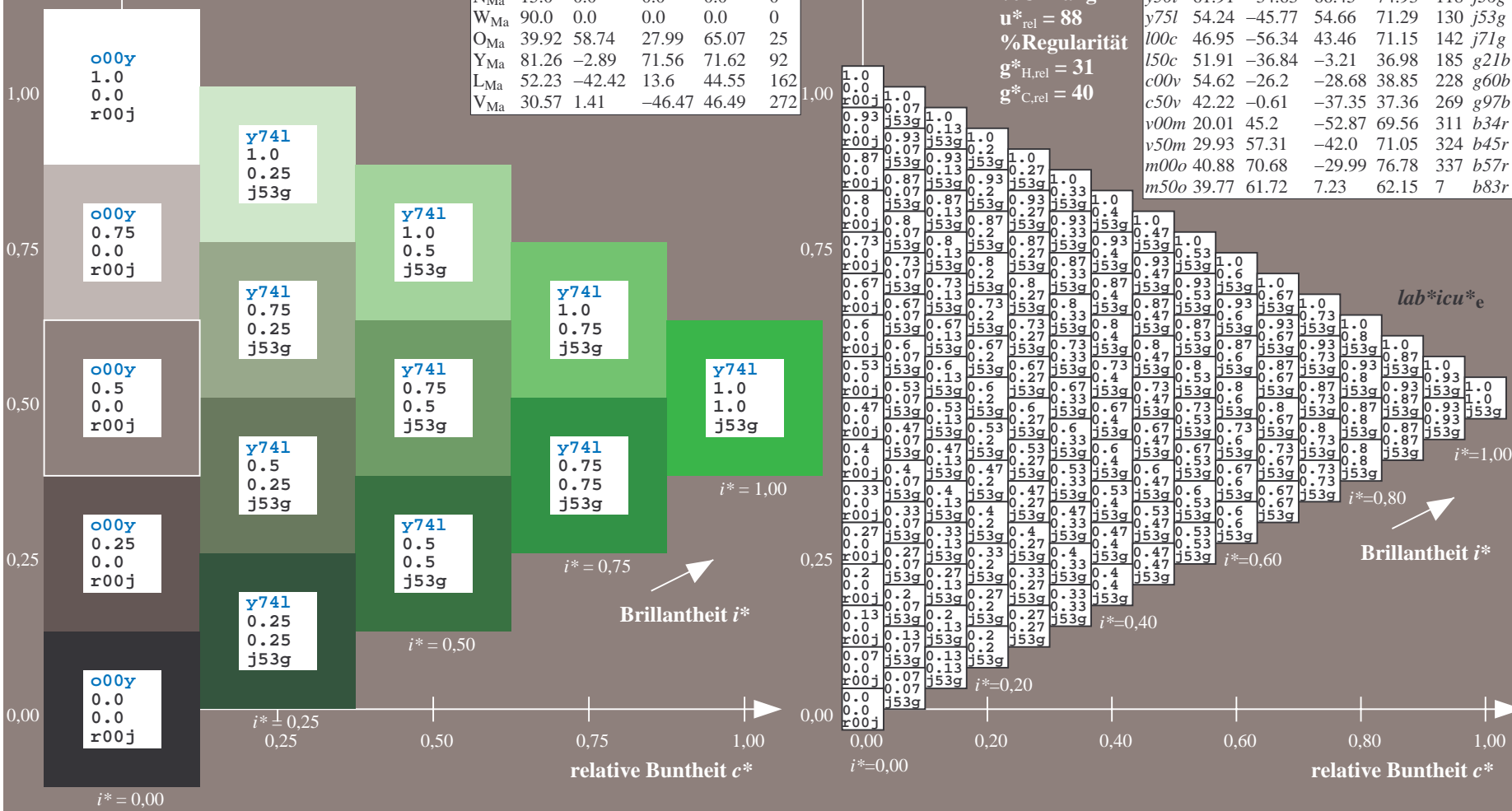
$u^*_{rel} = 88$

%Regularität

$g^*_{H,rel} = 31$

$g^*_{C,rel} = 40$

FRS15_90a; adaptierte CIELAB-Daten						
u^*_d	$L^*=L^*_a$	a^*_a	b^*_a	$C^*_{ab,a}$	$h^*_{ab,a}$	u^*_e
o00y	38.8	53.92	39.68	66.95	36	r16j
o25y	47.46	42.34	51.25	66.48	50	r37j
o50y	56.54	30.2	63.39	70.22	65	r58j
o75y	67.39	15.68	77.9	79.47	79	r79j
y00l	82.58	-4.64	98.22	98.33	93	j01g
y25l	70.85	-21.66	80.19	83.07	105	j18g
y50l	61.91	-34.63	66.45	74.93	118	j36g
y75l	54.24	-45.77	54.66	71.29	130	j53g
l00c	46.95	-56.34	43.46	71.15	142	j71g
l50c	51.91	-36.84	-3.21	36.98	185	g21b
c00v	54.62	-26.2	-28.68	38.85	228	g60b
c50v	42.22	-0.61	-37.35	37.36	269	g97b
v00m	20.01	45.2	-52.87	69.56	311	b34r
v50m	29.93	57.31	-42.0	71.05	324	b45r
m00o	40.88	70.68	-29.99	76.78	337	b57r
m50o	39.77	61.72	7.23	62.15	7	b83r



Ein und Ausgabe: Farbmétrisches Drucker-Reflektiv-System FRS15_90a für relativen CIELAB-Buntton $h^* = lab^*h^* = h_{ab}/360 = 0.395$

Daten für jede Farbe:

*lab*tch** und *lab*icu**

Bunttexte:

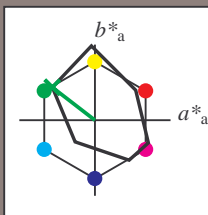
$$u_d^* = 100c \quad u_e^* = j71g$$

Kontrastreduzierungsfaktor:

$$c_P = 0.9$$

Dreiecks-Helligkeit t^*

Directs Strength:



FRS15_90a; adaptierte CIELAB-Daten						
u^*_d	$L^*=L^*_a$	a^*_a	b^*_a	$C^*_{ab,a}$	$h^*_{ab,a}$	
O _{Ma}	38.8	53.92	39.68	66.95	36	
Y _{Ma}	82.58	-4.64	98.22	98.33	93	
L _{Ma}	46.95	-56.34	43.46	71.15	142	
C _{Ma}	54.62	-26.2	-28.68	38.85	228	
V _{Ma}	20.01	45.2	-52.87	69.56	311	
M _{Ma}	40.88	70.68	-29.99	76.78	337	
N _{Ma}	15.0	0.0	0.0	0.0	0	
W _{Ma}	90.0	0.0	0.0	0.0	0	
O _{Ma}	39.92	58.74	27.99	65.07	25	
Y _{Ma}	81.26	-2.89	71.56	71.62	92	
L _{Ma}	52.23	-42.42	13.6	44.55	162	
V _{Ma}	30.57	1.41	-46.47	46.49	272	

Daten für Maximalfarbe (Ma):

*LAB*LAB**_M: 47 -56 43

LAB*LGII* 17 51 142

LAB*LCH*Ma: 4/ 7/1 1

*lab*olv**Ma: 0.0 1.0 0.0

*lab*rgb*_Ma*: 0.28 1.0 0.0

Dreiecks-Helligkeit t^*

► **Problems Remained:**

%Umfang

$$\mathbf{u}_{\text{rel}}^* = 88$$

%Regular

$$g^*_{H,rel} = 31$$
$$g^*_{C,rel} = 40$$

FRS15_90a; adaptierte CIELAB-Daten							
u_d^*	$L^*=L_a^*$	a_a^*	b_a^*	$C^*_{ab,a}$	$h^*_{ab,a}$	u_e^*	
<i>o00y</i>	38.8	53.92	39.68	66.95	36	<i>r16j</i>	
<i>o25y</i>	47.46	42.34	51.25	66.48	50	<i>r37j</i>	
<i>o50y</i>	56.54	30.2	63.39	70.22	65	<i>r58j</i>	
<i>o75y</i>	67.39	15.68	77.9	79.47	79	<i>r79j</i>	
<i>y00l</i>	82.58	-4.64	98.22	98.33	93	<i>j01g</i>	
<i>y25l</i>	70.85	-21.66	80.19	83.07	105	<i>j18g</i>	
<i>y50l</i>	61.91	-34.63	66.45	74.93	118	<i>j36g</i>	
<i>y75l</i>	54.24	-45.77	54.66	71.29	130	<i>j53g</i>	
<i>l00c</i>	46.95	-56.34	43.46	71.15	142	<i>j71g</i>	
<i>l50c</i>	51.91	-36.84	-3.21	36.98	185	<i>g21b</i>	
<i>c00v</i>	54.62	-26.2	-28.68	38.85	228	<i>g60b</i>	
<i>c50v</i>	42.22	-0.61	-37.35	37.36	269	<i>g97b</i>	
<i>v00m</i>	20.01	45.2	-52.87	69.56	311	<i>b34r</i>	
<i>v50m</i>	29.93	57.31	-42.0	71.05	324	<i>b45r</i>	
<i>m00o</i>	40.88	70.68	-29.99	76.78	337	<i>b57r</i>	
<i>m50o</i>	39.77	61.72	7.23	62.15	7	<i>b83r</i>	

*lab*icu*_e*

$$i^*=1,00$$

Brillantheit i*

BAM-Prüfvorlage Eg41; Farbmatrik-Systeme, Seite 208/270 Eingabe: 000n / w / nnn0 / www set...
3 Separationen, 9 Datentabellen für 16 Bunttöne o00y bis m75aAusgabe: ->cmY0* setcmykcolor

Ein und Ausgabe: Farbmimetrisches Drucker-Reflektiv-System FRS15_90a für relativen CIELAB-Buntton $h^* = \text{lab}^*h^* = h_{ab}/360 = 0.514$

Daten für jede Farbe:

lab^*tch^* und lab^*icu^*

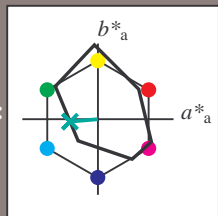
Bunttontexte:

$u^*_d = 150c$ $u^*_e = g21b$

Kontrastreduzierungsfaktor:

$c_R = 0.9$

Dreiecks-Helligkeit i^*



FRS15_90a; adaptierte CIELAB-Daten						
u^*_d	$L^*=L^*_a$	a^*_a	b^*_a	$C^*_{ab,a}$	$h^*_{ab,a}$	
O _{Ma}	38.8	53.92	39.68	66.95	36	
Y _{Ma}	82.58	-4.64	98.22	98.33	93	
L _{Ma}	46.95	-56.34	43.46	71.15	142	
C _{Ma}	54.62	-26.2	-28.68	38.85	228	
V _{Ma}	20.01	45.2	-52.87	69.56	311	
M _{Ma}	40.88	70.68	-29.99	76.78	337	
N _{Ma}	15.0	0.0	0.0	0.0	0	
W _{Ma}	90.0	0.0	0.0	0.0	0	
O _{Ma}	39.92	58.74	27.99	65.07	25	
Y _{Ma}	81.26	-2.89	71.56	71.62	92	
L _{Ma}	52.23	-42.42	13.6	44.55	162	
V _{Ma}	30.57	1.41	-46.47	46.49	272	

Daten für Maximalfarbe (Ma):

$\text{LAB}^*\text{LAB}^*_{Ma}$: 52 -37 -3

$\text{LAB}^*\text{LCH}^*_{Ma}$: 52 37 184

$\text{lab}^*\text{olv}^*_{Ma}$: 0.0 1.0 0.5

$\text{lab}^*\text{rgb}^*_{Ma}$: 0.0 1.0 0.42

Dreiecks-Helligkeit i^*

%Umfang

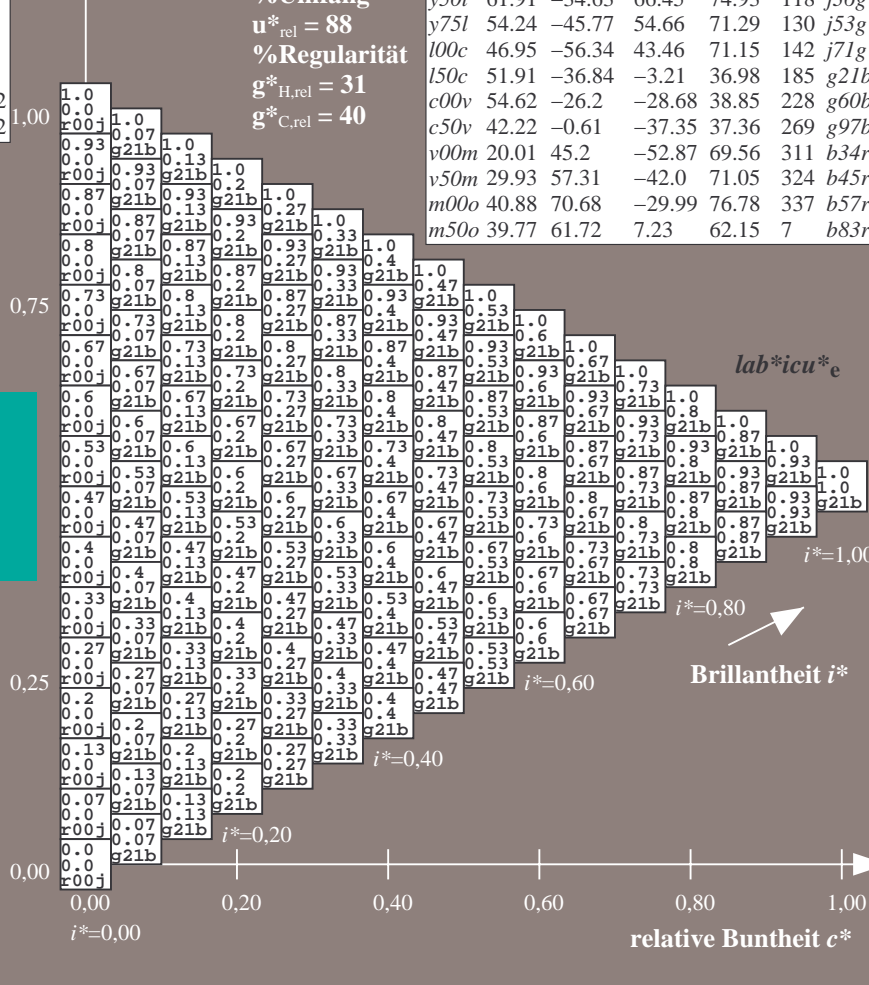
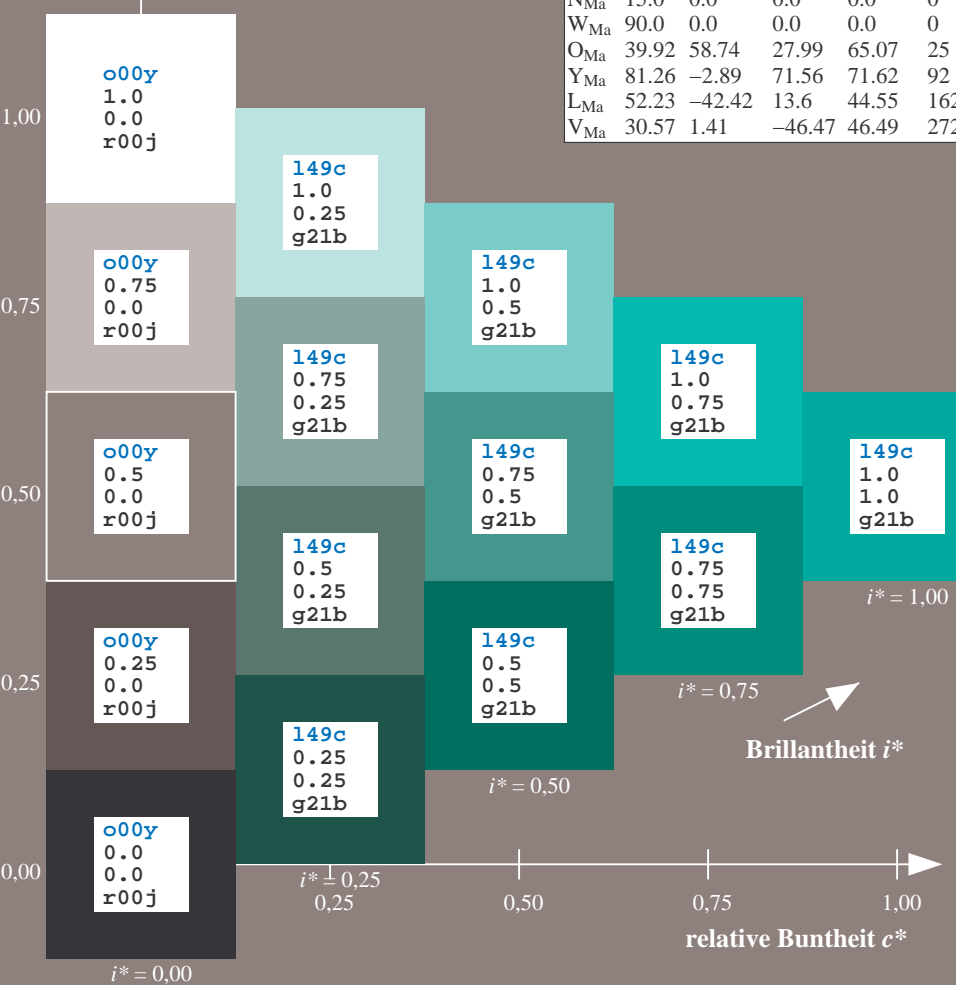
$u^*_{rel} = 88$

%Regularität

$g^*_{H,rel} = 31$

$g^*_{C,rel} = 40$

FRS15_90a; adaptierte CIELAB-Daten						
u^*_d	$L^*=L^*_a$	a^*_a	b^*_a	$C^*_{ab,a}$	$h^*_{ab,a}$	u^*_e
o00y	38.8	53.92	39.68	66.95	36	r16j
o25y	47.46	42.34	51.25	66.48	50	r37j
o50y	56.54	30.2	63.39	70.22	65	r58j
o75y	67.39	15.68	77.9	79.47	79	r79j
y00l	82.58	-4.64	98.22	98.33	93	j01g
y25l	70.85	-21.66	80.19	83.07	105	j18g
y50l	61.91	-34.63	66.45	74.93	118	j36g
y75l	54.24	-45.77	54.66	71.29	130	j53g
l00c	46.95	-56.34	43.46	71.15	142	j71g
l50c	51.91	-36.84	-3.21	36.98	185	g21b
c00v	54.62	-26.2	-28.68	38.85	228	g60b
c50v	42.22	-0.61	-37.35	37.36	269	g97b
v00m	20.01	45.2	-52.87	69.56	311	b34r
v50m	29.93	57.31	-42.0	71.05	324	b45r
m00o	40.88	70.68	-29.99	76.78	337	b57r
m50o	39.77	61.72	7.23	62.15	7	b83r



Ein und Ausgabe: Farbmimetrisches Drucker-Reflektiv-System FRS15_90a für relativen CIELAB-Buntton $h^* = lab^*h^* = h_{ab}/360 = 0.632$

Daten für jede Farbe:

lab^*ch^* und lab^*icu^*

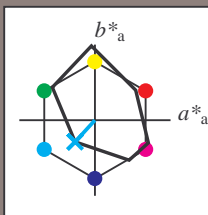
Bunttontexte:

$u^*_d = c00v$ $u^*_e = g60b$

Kontrastreduzierungsfaktor:

$c_R = 0.9$

Dreiecks-Helligkeit i^*



FRS15_90a; adaptierte CIELAB-Daten						
u^*_d	$L^*=L^*_a$	a^*_a	b^*_a	$C^*_{ab,a}$	$h^*_{ab,a}$	
O _{Ma}	38.8	53.92	39.68	66.95	36	
Y _{Ma}	82.58	-4.64	98.22	98.33	93	
L _{Ma}	46.95	-56.34	43.46	71.15	142	
C _{Ma}	54.62	-26.2	-28.68	38.85	228	
V _{Ma}	20.01	45.2	-52.87	69.56	311	
M _{Ma}	40.88	70.68	-29.99	76.78	337	
N _{Ma}	15.0	0.0	0.0	0.0	0	
W _{Ma}	90.0	0.0	0.0	0.0	0	
O _{Ma}	39.92	58.74	27.99	65.07	25	
Y _{Ma}	81.26	-2.89	71.56	71.62	92	
L _{Ma}	52.23	-42.42	13.6	44.55	162	
V _{Ma}	30.57	1.41	-46.47	46.49	272	

Daten für Maximalfarbe (Ma):

$LAB^*LAB^*_{Ma}$: 55 -26 -29

$LAB^*LCH^*_{Ma}$: 55 39 227

$lab^*olv^*_{Ma}$: 0.0 1.0 1.0

$lab^*rgb^*_{Ma}$: 0.0 0.81 1.0

Dreiecks-Helligkeit i^*

%Umfang

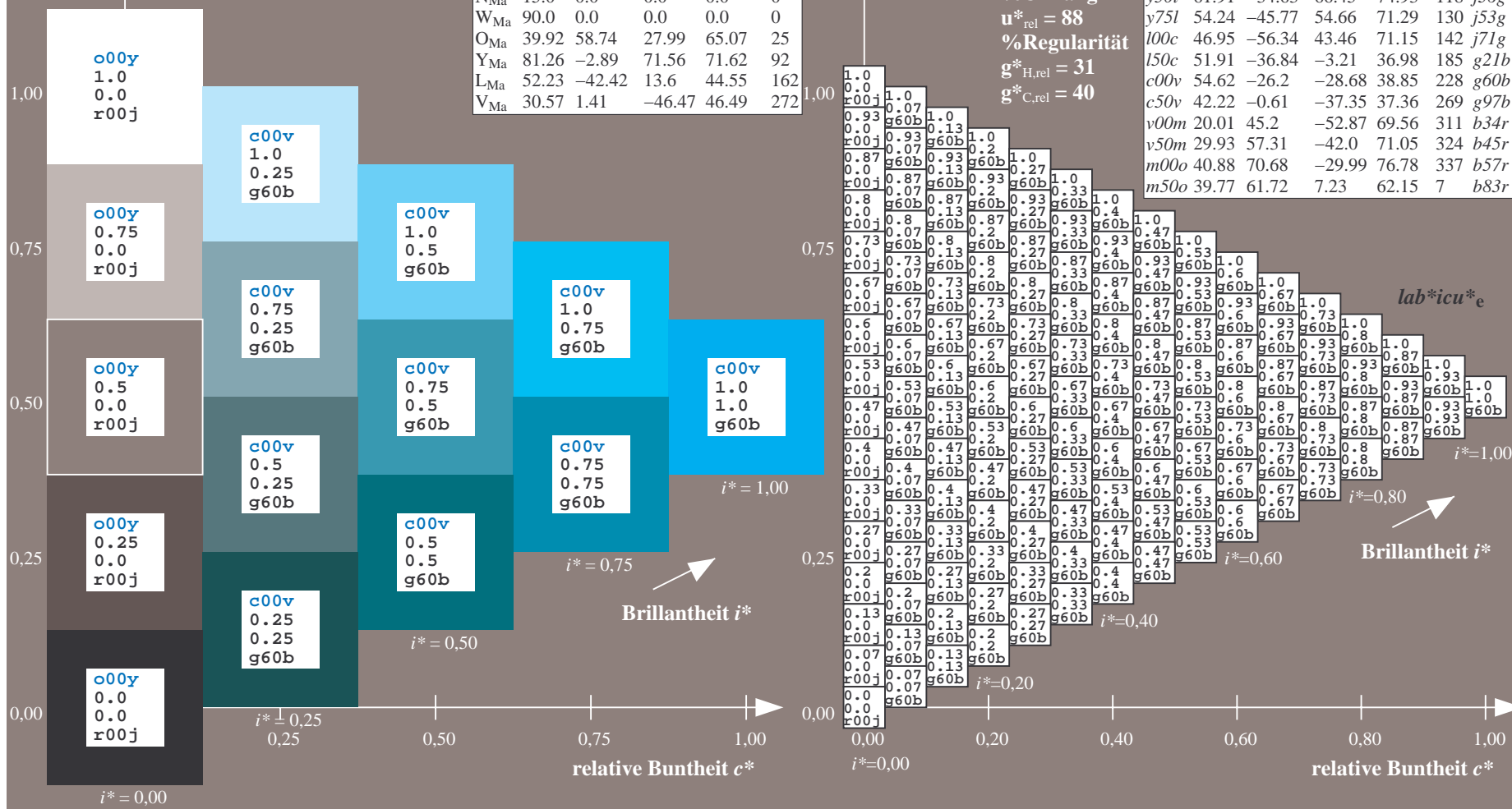
$u^*_{rel} = 88$

%Regularität

$g^*_{H,rel} = 31$

$g^*_{C,rel} = 40$

FRS15_90a; adaptierte CIELAB-Daten						
u^*_d	$L^*=L^*_a$	a^*_a	b^*_a	$C^*_{ab,a}$	$h^*_{ab,a}$	u^*_e
o00y	38.8	53.92	39.68	66.95	36	r16j
o25y	47.46	42.34	51.25	66.48	50	r37j
o50y	56.54	30.2	63.39	70.22	65	r58j
o75y	67.39	15.68	77.9	79.47	79	r79j
y00l	82.58	-4.64	98.22	98.33	93	j01g
y25l	70.85	-21.66	80.19	83.07	105	j18g
y50l	61.91	-34.63	66.45	74.93	118	j36g
y75l	54.24	-45.77	54.66	71.29	130	j53g
l00c	46.95	-56.34	43.46	71.15	142	j71g
l50c	51.91	-36.84	-3.21	36.98	185	g21b
c00v	54.62	-26.2	-28.68	38.85	228	g60b
c50v	42.22	-0.61	-37.35	37.36	269	g97b
v00m	20.01	45.2	-52.87	69.56	311	b34r
v50m	29.93	57.31	-42.0	71.05	324	b45r
m00o	40.88	70.68	-29.99	76.78	337	b57r
m50o	39.77	61.72	7.23	62.15	7	b83r



Ein und Ausgabe: Farbmetrisches Drucker-Reflektiv-System FRS15_90a für relativen CIELAB-Buntton $h^* = \text{lab}^*h^* = h_{ab}/360 = 0.747$

Daten für jede Farbe:

lab^*tch^* und lab^*icu^*

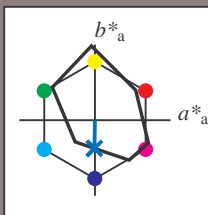
Bunttontexte:

$u^*_d = c50v$ $u^*_e = g97b$

Kontrastreduzierungsfaktor:

$c_R = 0.9$

Dreiecks-Helligkeit i^*



FRS15_90a; adaptierte CIELAB-Daten

u^*_d	$L^*=L^*_a$	a^*_a	b^*_a	$C^*_{ab,a}$	$h^*_{ab,a}$
O _{Ma}	38.8	53.92	39.68	66.95	36
Y _{Ma}	82.58	-4.64	98.22	98.33	93
L _{Ma}	46.95	-56.34	43.46	71.15	142
C _{Ma}	54.62	-26.2	-28.68	38.85	228
V _{Ma}	20.01	45.2	-52.87	69.56	311
M _{Ma}	40.88	70.68	-29.99	76.78	337
N _{Ma}	15.0	0.0	0.0	0.0	0
W _{Ma}	90.0	0.0	0.0	0.0	0
O _{Ma}	39.92	58.74	27.99	65.07	25
Y _{Ma}	81.26	-2.89	71.56	71.62	92
L _{Ma}	52.23	-42.42	13.6	44.55	162
V _{Ma}	30.57	1.41	-46.47	46.49	272

Daten für Maximalfarbe (Ma):

$\text{LAB}^*\text{LAB}^*_{Ma}$: 42 -1 -37

$\text{LAB}^*\text{LCH}^*_{Ma}$: 42 37 269

$\text{lab}^*\text{olv}^*_{Ma}$: 0.0 0.5 1.0

$\text{lab}^*\text{rgb}^*_{Ma}$: 0.0 0.05 1.0

Dreiecks-Helligkeit i^*

%Umfang

$u^*_{rel} = 88$

%Regularität

$g^*_{H,rel} = 31$

$g^*_{C,rel} = 40$

FRS15_90a; adaptierte CIELAB-Daten

u^*_d	$L^*=L^*_a$	a^*_a	b^*_a	$C^*_{ab,a}$	$h^*_{ab,a}$	u^*_e
o00y	38.8	53.92	39.68	66.95	36	r16j
o25y	47.46	42.34	51.25	66.48	50	r37j
o50y	56.54	30.2	63.39	70.22	65	r58j
o75y	67.39	15.68	77.9	79.47	79	r79j
y00l	82.58	-4.64	98.22	98.33	93	j01g
y25l	70.85	-21.66	80.19	83.07	105	j18g
y50l	61.91	-34.63	66.45	74.93	118	j36g
y75l	54.24	-45.77	54.66	71.29	130	j53g
l00c	46.95	-56.34	43.46	71.15	142	j71g
l50c	51.91	-36.84	-3.21	36.98	185	g21b
c00v	54.62	-26.2	-28.68	38.85	228	g60b
c50v	42.22	-0.61	-37.35	37.36	269	g97b
v00m	20.01	45.2	-52.87	69.56	311	b34r
v50m	29.93	57.31	-42.0	71.05	324	b45r
m00o	40.88	70.68	-29.99	76.78	337	b57r
m50o	39.77	61.72	7.23	62.15	7	b83r

$\text{lab}^*icu^*_e$

$i^* = 1.00$

Brillantheit i^*

$i^* = 0.80$

$i^* = 0.60$

$i^* = 0.40$

$i^* = 0.20$

$i^* = 0.00$

relative Buntheit c^*

relative Buntheit c^*

Ein und Ausgabe: Farbmetrisches Drucker-Reflektiv-System FRS15_90a für relativen CIELAB-Buntton $h^* = lab^*h^* = h_{ab}/360 = 0.863$

Daten für jede Farbe:

lab^*ch^* und lab^*icu^*

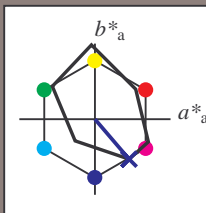
Bunttontexte:

$u^*_d = v00m$ $u^*_e = b34r$

Kontrastreduzierungsfaktor:

$c_R = 0.9$

Dreiecks-Helligkeit i^*



FRS15_90a; adaptierte CIELAB-Daten

u^*_d	$L^*=L^*_a$	a^*_a	b^*_a	$C^*_{ab,a}$	$h^*_{ab,a}$
O _{Ma}	38.8	53.92	39.68	66.95	36
Y _{Ma}	82.58	-4.64	98.22	98.33	93
L _{Ma}	46.95	-56.34	43.46	71.15	142
C _{Ma}	54.62	-26.2	-28.68	38.85	228
V _{Ma}	20.01	45.2	-52.87	69.56	311
M _{Ma}	40.88	70.68	-29.99	76.78	337
N _{Ma}	15.0	0.0	0.0	0.0	0
W _{Ma}	90.0	0.0	0.0	0.0	0
O _{Ma}	39.92	58.74	27.99	65.07	25
Y _{Ma}	81.26	-2.89	71.56	71.62	92
L _{Ma}	52.23	-42.42	13.6	44.55	162
V _{Ma}	30.57	1.41	-46.47	46.49	272

Daten für Maximalfarbe (Ma):

$LAB^*LAB^*_{Ma}$: 20 45 -53

$LAB^*LCH^*_{Ma}$: 20 70 310

$lab^*olv^*_{Ma}$: 0.0 0.0 1.0

$lab^*rgb^*_{Ma}$: 0.68 0.0 1.0

Dreiecks-Helligkeit i^*

%Umfang

$u^*_{rel} = 88$

%Regularität

$g^*_{H,rel} = 31$

$g^*_{C,rel} = 40$

FRS15_90a; adaptierte CIELAB-Daten

u^*_d	$L^*=L^*_a$	a^*_a	b^*_a	$C^*_{ab,a}$	$h^*_{ab,a}$	u^*_e
o00y	38.8	53.92	39.68	66.95	36	r16j
o25y	47.46	42.34	51.25	66.48	50	r37j
o50y	56.54	30.2	63.39	70.22	65	r58j
o75y	67.39	15.68	77.9	79.47	79	r79j
y00l	82.58	-4.64	98.22	98.33	93	j01g
y25l	70.85	-21.66	80.19	83.07	105	j18g
y50l	61.91	-34.63	66.45	74.93	118	j36g
y75l	54.24	-45.77	54.66	71.29	130	j53g
l00c	46.95	-56.34	43.46	71.15	142	j71g
l50c	51.91	-36.84	-3.21	36.98	185	g21b
c00v	54.62	-26.2	-28.68	38.85	228	g60b
c50v	42.22	-0.61	-37.35	37.36	269	g97b
v00m	20.01	45.2	-52.87	69.56	311	b34r
v50m	29.93	57.31	-42.0	71.05	324	b45r
m00o	40.88	70.68	-29.99	76.78	337	b57r
m50o	39.77	61.72	7.23	62.15	7	b83r

lab^*icu^*

$i^* = 1.00$

Brillantheit i^*

relative Buntheit c^*

Ein und Ausgabe: Farbmetrisches Drucker-Reflektiv-System FRS15_90a für relativen CIELAB-Buntton $h^* = \text{lab}^*h^* = h_{ab}/360 = 0.899$

Daten für jede Farbe:

lab^*ch^* und lab^*icu^*

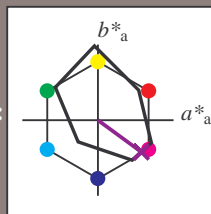
Bunttontexte:

$u^*_d = v50m$ $u^*_e = b45r$

Kontrastreduzierungsfaktor:

$c_R = 0.9$

Dreiecks-Helligkeit i^*



FRS15_90a; adaptierte CIELAB-Daten

u^*_d	$L^*=L^*_a$	a^*_a	b^*_a	$C^*_{ab,a}$	$h^*_{ab,a}$
O _{Ma}	38.8	53.92	39.68	66.95	36
Y _{Ma}	82.58	-4.64	98.22	98.33	93
L _{Ma}	46.95	-56.34	43.46	71.15	142
C _{Ma}	54.62	-26.2	-28.68	38.85	228
V _{Ma}	20.01	45.2	-52.87	69.56	311
M _{Ma}	40.88	70.68	-29.99	76.78	337
N _{Ma}	15.0	0.0	0.0	0.0	0
W _{Ma}	90.0	0.0	0.0	0.0	0
O _{Ma}	39.92	58.74	27.99	65.07	25
Y _{Ma}	81.26	-2.89	71.56	71.62	92
L _{Ma}	52.23	-42.42	13.6	44.55	162
V _{Ma}	30.57	1.41	-46.47	46.49	272

Daten für Maximalfarbe (Ma):

$\text{LAB}^*\text{LAB}^*_{Ma}$: 30 57 -42

$\text{LAB}^*\text{LCH}^*_{Ma}$: 30 71 323

$\text{lab}^*\text{olv}^*_{Ma}$: 0.5 0.0 1.0

$\text{lab}^*\text{rgb}^*_{Ma}$: 0.91 0.0 1.0

Dreiecks-Helligkeit i^*

%Umfang

$u^*_{rel} = 88$

%Regularität

$g^*_{H,rel} = 31$

$g^*_{C,rel} = 40$

FRS15_90a; adaptierte CIELAB-Daten

u^*_d	$L^*=L^*_a$	a^*_a	b^*_a	$C^*_{ab,a}$	$h^*_{ab,a}$	u^*_e
o00y	38.8	53.92	39.68	66.95	36	r16j
o25y	47.46	42.34	51.25	66.48	50	r37j
o50y	56.54	30.2	63.39	70.22	65	r58j
o75y	67.39	15.68	77.9	79.47	79	r79j
y00l	82.58	-4.64	98.22	98.33	93	j01g
y25l	70.85	-21.66	80.19	83.07	105	j18g
y50l	61.91	-34.63	66.45	74.93	118	j36g
y75l	54.24	-45.77	54.66	71.29	130	j53g
l00c	46.95	-56.34	43.46	71.15	142	j71g
l50c	51.91	-36.84	-3.21	36.98	185	g21b
c00v	54.62	-26.2	-28.68	38.85	228	g60b
c50v	42.22	-0.61	-37.35	37.36	269	g97b
v00m	20.01	45.2	-52.87	69.56	311	b34r
v50m	29.93	57.31	-42.0	71.05	324	b45r
m00o	40.88	70.68	-29.99	76.78	337	b57r
m50o	39.77	61.72	7.23	62.15	7	b83r

lab^*icu^*

$i^* = 1.00$

Brillantheit i^*

$i^* = 0.80$

$i^* = 0.60$

$i^* = 0.40$

$i^* = 0.20$

$i^* = 0.00$

relative Buntheit c^*

relative Buntheit c^*

Ein und Ausgabe: Farbmetrisches Drucker-Reflektiv-System FRS15_90a für relativen CIELAB-Buntton $h^* = lab^*h^* = h_{ab}/360 = 0.936$

Daten für jede Farbe:

lab^*ch^* und lab^*icu^*

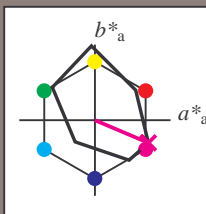
Bunttontexte:

$u^*_d = m00o$ $u^*_e = b57r$

Kontrastreduzierungsfaktor:

$c_R = 0.9$

Dreiecks-Helligkeit i^*



FRS15_90a; adaptierte CIELAB-Daten						
u^*_d	$L^*=L^*_a$	a^*_a	b^*_a	$C^*_{ab,a}$	$h^*_{ab,a}$	
O _{Ma}	38.8	53.92	39.68	66.95	36	
Y _{Ma}	82.58	-4.64	98.22	98.33	93	
L _{Ma}	46.95	-56.34	43.46	71.15	142	
C _{Ma}	54.62	-26.2	-28.68	38.85	228	
V _{Ma}	20.01	45.2	-52.87	69.56	311	
M _{Ma}	40.88	70.68	-29.99	76.78	337	
N _{Ma}	15.0	0.0	0.0	0.0	0	
W _{Ma}	90.0	0.0	0.0	0.0	0	
O _{Ma}	39.92	58.74	27.99	65.07	25	
Y _{Ma}	81.26	-2.89	71.56	71.62	92	
L _{Ma}	52.23	-42.42	13.6	44.55	162	
V _{Ma}	30.57	1.41	-46.47	46.49	272	

Daten für Maximalfarbe (Ma):

$LAB^*LAB^*_{Ma}$: 41 71 -30

$LAB^*LCH^*_{Ma}$: 41 77 337

$lab^*olv^*_{Ma}$: 1.0 0.0 1.0

$lab^*rgb^*_{Ma}$: 1.0 0.0 0.85

Dreiecks-Helligkeit i^*

%Umfang

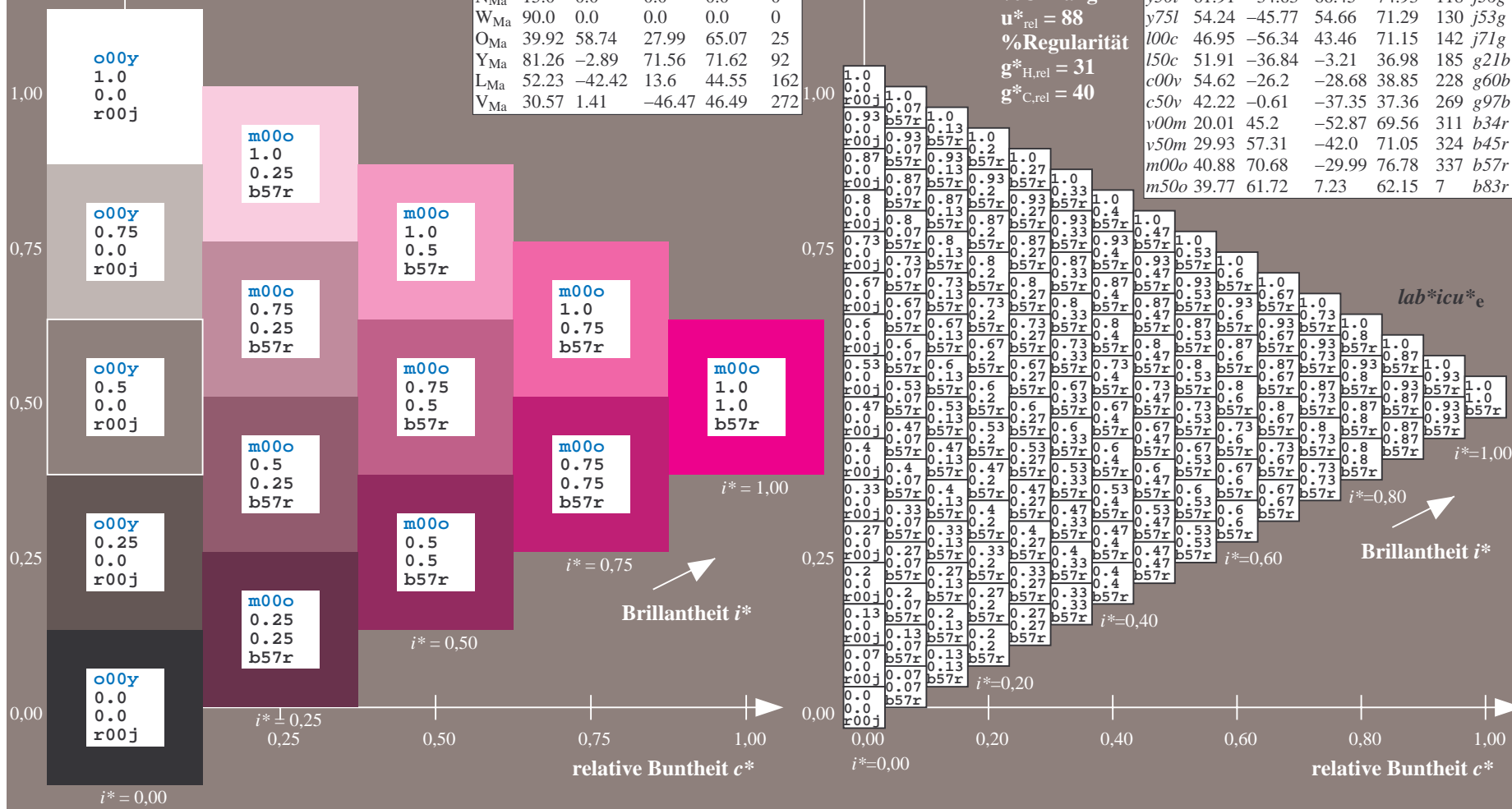
$u^*_{rel} = 88$

%Regularität

$g^*_{H,rel} = 31$

$g^*_{C,rel} = 40$

FRS15_90a; adaptierte CIELAB-Daten						
u^*_d	$L^*=L^*_a$	a^*_a	b^*_a	$C^*_{ab,a}$	$h^*_{ab,a}$	u^*_e
o00y	38.8	53.92	39.68	66.95	36	r16j
o25y	47.46	42.34	51.25	66.48	50	r37j
o50y	56.54	30.2	63.39	70.22	65	r58j
o75y	67.39	15.68	77.9	79.47	79	r79j
y00l	82.58	-4.64	98.22	98.33	93	j01g
y25l	70.85	-21.66	80.19	83.07	105	j18g
y50l	61.91	-34.63	66.45	74.93	118	j36g
y75l	54.24	-45.77	54.66	71.29	130	j53g
l00c	46.95	-56.34	43.46	71.15	142	j71g
l50c	51.91	-36.84	-3.21	36.98	185	g21b
c00v	54.62	-26.2	-28.68	38.85	228	g60b
c50v	42.22	-0.61	-37.35	37.36	269	g97b
v00m	20.01	45.2	-52.87	69.56	311	b34r
v50m	29.93	57.31	-42.0	71.05	324	b45r
m00o	40.88	70.68	-29.99	76.78	337	b57r
m50o	39.77	61.72	7.23	62.15	7	b83r



Ein und Ausgabe: Farbmetrisches Drucker-Reflektiv-System FRS15_90a für relativen CIELAB-Buntton $h^* = lab^*h^* = h_{ab}/360 = 0.019$

Daten für jede Farbe:

lab^*ch^* und lab^*icu^*

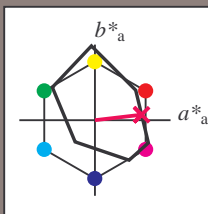
Bunttontexte:

$u^*_d = m50o$ $u^*_e = b83r$

Kontrastreduzierungsfaktor:

$c_R = 0.9$

Dreiecks-Helligkeit i^*



FRS15_90a; adaptierte CIELAB-Daten

u^*_d	$L^*=L^*_a$	a^*_a	b^*_a	$C^*_{ab,a}$	$h^*_{ab,a}$
O _{Ma}	38.8	53.92	39.68	66.95	36
Y _{Ma}	82.58	-4.64	98.22	98.33	93
L _{Ma}	46.95	-56.34	43.46	71.15	142
C _{Ma}	54.62	-26.2	-28.68	38.85	228
V _{Ma}	20.01	45.2	-52.87	69.56	311
M _{Ma}	40.88	70.68	-29.99	76.78	337
N _{Ma}	15.0	0.0	0.0	0.0	0
W _{Ma}	90.0	0.0	0.0	0.0	0
O _{Ma}	39.92	58.74	27.99	65.07	25
Y _{Ma}	81.26	-2.89	71.56	71.62	92
L _{Ma}	52.23	-42.42	13.6	44.55	162
V _{Ma}	30.57	1.41	-46.47	46.49	272

Daten für Maximalfarbe (Ma):

$LAB^*LAB^*_{Ma}$: 40 62 7

$LAB^*LCH^*_{Ma}$: 40 62 6

$lab^*olv^*_{Ma}$: 1.0 0.0 0.5

$lab^*rgb^*_{Ma}$: 1.0 0.0 0.33

Dreiecks-Helligkeit i^*

%Umfang

$u^*_{rel} = 88$

%Regularität

$g^*_{H,rel} = 31$

$g^*_{C,rel} = 40$

FRS15_90a; adaptierte CIELAB-Daten

u^*_d	$L^*=L^*_a$	a^*_a	b^*_a	$C^*_{ab,a}$	$h^*_{ab,a}$	u^*_e
o00y	38.8	53.92	39.68	66.95	36	r16j
o25y	47.46	42.34	51.25	66.48	50	r37j
o50y	56.54	30.2	63.39	70.22	65	r58j
o75y	67.39	15.68	77.9	79.47	79	r79j
y00l	82.58	-4.64	98.22	98.33	93	j01g
y25l	70.85	-21.66	80.19	83.07	105	j18g
y50l	61.91	-34.63	66.45	74.93	118	j36g
y75l	54.24	-45.77	54.66	71.29	130	j53g
l00c	46.95	-56.34	43.46	71.15	142	j71g
l50c	51.91	-36.84	-3.21	36.98	185	g21b
c00v	54.62	-26.2	-28.68	38.85	228	g60b
c50v	42.22	-0.61	-37.35	37.36	269	g97b
v00m	20.01	45.2	-52.87	69.56	311	b34r
v50m	29.93	57.31	-42.0	71.05	324	b45r
m00o	40.88	70.68	-29.99	76.78	337	b57r
m50o	39.77	61.72	7.23	62.15	7	b83r

lab^*icu^*

$i^* = 1.00$

Brillantheit i^*

$i^* = 0.80$

$i^* = 0.60$

$i^* = 0.40$

$i^* = 0.20$

$i^* = 0.00$

relative Buntheit c^*

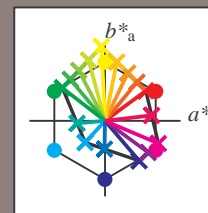
relative Buntheit c^*

Siehe ähnliche Dateien: <http://www.ps.bam.de/Eg41/>; www.ps.bam.de/Eg41/
Technische Information: [http://www.ps.bam.de/Version 2.1, io=1,1, Col5px=0](http://www.ps.bam.de/Version%202.1,%20io=1,1,Col5px=0)

	A	B	C	D	E	F	G	H	I	J	K	L	M	N	O	P	Q	R	S	T	U	V	W	X	Y	Z	a	b	c	d	e	f	g	h	i	j	k	lab*icu*																																																																																																																																																																																																																																																																																																																																																																																																																																																																																																																																																																																																																																																																																																																																																																																																																																																																																																																																																																																																																																																																																																																																																																																														
01	0.0	0.13	0.25	0.38	0.5	0.63	0.75	0.88	1.0	1.13	1.25	1.38	1.5	1.63	1.75	1.88	2.0	2.13	2.25	2.38	2.5	2.63	2.75	2.88	3.0	3.13	3.25	3.38	3.5	3.63	3.75	3.88	4.0	4.13	4.25	4.38	4.5	4.63	4.75	4.88	5.0	5.13	5.25	5.38	5.5	5.63	5.75	5.88	6.0	6.13	6.25	6.38	6.5	6.63	6.75	6.88	7.0	7.13	7.25	7.38	7.5	7.63	7.75	7.88	8.0	8.13	8.25	8.38	8.5	8.63	8.75	8.88	9.0	9.13	9.25	9.38	9.5	9.63	9.75	9.88	10.0	10.13	10.25	10.38	10.5	10.63	10.75	10.88	11.0	11.13	11.25	11.38	11.5	11.63	11.75	11.88	12.0	12.13	12.25	12.38	12.5	12.63	12.75	12.88	13.0	13.13	13.25	13.38	13.5	13.63	13.75	13.88	14.0	14.13	14.25	14.38	14.5	14.63	14.75	14.88	15.0	15.13	15.25	15.38	15.5	15.63	15.75	15.88	16.0	16.13	16.25	16.38	16.5	16.63	16.75	16.88	17.0	17.13	17.25	17.38	17.5	17.63	17.75	17.88	18.0	18.13	18.25	18.38	18.5	18.63	18.75	18.88	19.0	19.13	19.25	19.38	19.5	19.63	19.75	19.88	20.0	20.13	20.25	20.38	20.5	20.63	20.75	20.88	21.0	21.13	21.25	21.38	21.5	21.63	21.75	21.88	22.0	22.13	22.25	22.38	22.5	22.63	22.75	22.88	23.0	23.13	23.25	23.38	23.5	23.63	23.75	23.88	24.0	24.13	24.25	24.38	24.5	24.63	24.75	24.88	25.0	25.13	25.25	25.38	25.5	25.63	25.75	25.88	26.0	26.13	26.25	26.38	26.5	26.63	26.75	26.88	27.0	27.13	27.25	27.38	27.5	27.63	27.75	27.88	28.0	28.13	28.25	28.38	28.5	28.63	28.75	28.88	29.0	29.13	29.25	29.38	29.5	29.63	29.75	29.88	30.0	30.13	30.25	30.38	30.5	30.63	30.75	30.88	31.0	31.13	31.25	31.38	31.5	31.63	31.75	31.88	32.0	32.13	32.25	32.38	32.5	32.63	32.75	32.88	33.0	33.13	33.25	33.38	33.5	33.63	33.75	33.88	34.0	34.13	34.25	34.38	34.5	34.63	34.75	34.88	35.0	35.13	35.25	35.38	35.5	35.63	35.75	35.88	36.0	36.13	36.25	36.38	36.5	36.63	36.75	36.88	37.0	37.13	37.25	37.38	37.5	37.63	37.75	37.88	38.0	38.13	38.25	38.38	38.5	38.63	38.75	38.88	39.0	39.13	39.25	39.38	39.5	39.63	39.75	39.88	40.0	40.13	40.25	40.38	40.5	40.63	40.75	40.88	41.0	41.13	41.25	41.38	41.5	41.63	41.75	41.88	42.0	42.13	42.25	42.38	42.5	42.63	42.75	42.88	43.0	43.13	43.25	43.38	43.5	43.63	43.75	43.88	44.0	44.13	44.25	44.38	44.5	44.63	44.75	44.88	45.0	45.13	45.25	45.38	45.5	45.63	45.75	45.88	46.0	46.13	46.25	46.38	46.5	46.63	46.75	46.88	47.0	47.13	47.25	47.38	47.5	47.63	47.75	47.88	48.0	48.13	48.25	48.38	48.5	48.63	48.75	48.88	49.0	49.13	49.25	49.38	49.5	49.63	49.75	49.88	50.0	50.13	50.25	50.38	50.5	50.63	50.75	50.88	51.0	51.13	51.25	51.38	51.5	51.63	51.75	51.88	52.0	52.13	52.25	52.38	52.5	52.63	52.75	52.88	53.0	53.13	53.25	53.38	53.5	53.63	53.75	53.88	54.0	54.13	54.25	54.38	54.5	54.63	54.75	54.88	55.0	55.13	55.25	55.38	55.5	55.63	55.75	55.88	56.0	56.13	56.25	56.38	56.5	56.63	56.75	56.88	57.0	57.13	57.25	57.38	57.5	57.63	57.75	57.88	58.0	58.13	58.25	58.38	58.5	58.63	58.75	58.88	59.0	59.13	59.25	59.38	59.5	59.63	59.75	59.88	60.0	60.13	60.25	60.38	60.5	60.63	60.75	60.88	61.0	61.13	61.25	61.38	61.5	61.63	61.75	61.88	62.0	62.13	62.25	62.38	62.5	62.63	62.75	62.88	63.0	63.13	63.25	63.38	63.5	63.63	63.75	63.88	64.0	64.13	64.25	64.38	64.5	64.63	64.75	64.88	65.0	65.13	65.25	65.38	65.5	65.63	65.75	65.88	66.0	66.13	66.25	66.38	66.5	66.63	66.75	66.88	67.0	67.13	67.25	67.38	67.5	67.63	67.75	67.88	68.0	68.13	68.25	68.38	68.5	68.63	68.75	68.88	69.0	69.13	69.25	69.38	69.5	69.63	69.75	69.88	70.0	70.13	70.25	70.38	70.5	70.63	70.75	70.88	71.0	71.13	71.25	71.38	71.5	71.63	71.75	71.88	72.0	72.13	72.25	72.38	72.5	72.63	72.75	72.88	73.0	73.13	73.25	73.38	73.5	73.63	73.75	73.88	74.0	74.13	74.25	74.38	74.5	74.63	74.75	74.88	75.0	75.13	75.25	75.38	75.5	75.63	75.75	75.88	76.0	76.13	76.25	76.38	76.5	76.63	76.75	76.88	77.0	77.13	77.25	77.38	77.5	77.63	77.75	77.88	78.0	78.13	78.25	78.38	78.5	78.63	78.75	78.88	79.0	79.13	79.25	79.38	79.5	79.63	79.75	79.88	80.0	80.13	80.25	80.38	80.5	80.63	80.75	80.88	81.0	81.13	81.25	81.38	81.5	81.63	81.75	81.88	82.0	82.13	82.25	82.38	82.5	82.63	82.75	82.88	83.0	83.13	83.25	83.38	83.5	83.63	83.75	83.88	84.0	84.13	84.25	84.38	84.5	84.63	84.75	84.88	85.0	85.13	85.25	85.38	85.5	85.63	85.75	85.88	86.0	86.13	86.25	86.38	86.5	86.63	86.75	86.88	87.0	87.13	87.25	87.38	87.5	87.63	87.75	87.88	88.0	88.13	88.25	88.38	88.5	88.63	88.75	88.88	89.0	89.13	89.25	89.38	89.5	89.63	89.75	89.88	90.0	90.13	90.25	90.38	90.5	90.63	90.75	90.88	91.0	91.13	91.25	91.38	91.5	91.63	91.75	91.88	92.0	92.13	92.25	92.38	92.5	92.63	92.75	92.88	93.0	93.13	93.25	93.38	93.5	93.63	93.75	93.88	94.0	94.13	94.25	94.38	94.5	94.63	94.75	94.88	95.0	95.13	95.25	95.38	95.5	95.63	95.75	95.88	96.0	96.13	96.25	96.38	96.5	96.63	96.75	96.88	97.0	97.13	97.25	97.38	97.5	97.63	97.75	97.88	98.0	98.13	98.25	98.38	98.5	98.63	98.75	98.88	99.0	99.13	99.25	99.38	99.5	99.63	99.75	99.88	100.0	100.13	100.25	100.38	100.5	100.63	100.75	100.88	101.0	101.13	101.25	101.38	101.5	101.63	101.75	101.88	102.0	102.13	102.25	102.38	102.5	102.63	102.75	102.88	103.0	103.13	103.25	103.38	103.5	103.63	103.75	103.88	104.0	104.13	104.25	104.38	104.5	104.63	104.75	104.88	105.0	105.13	105.25	105.38	105.5	105.63	105.75	105.88	106.0	106.13	106.25	106.38	106.5	106.63	106.75	106.88	107.0	107.13	107.25	107.38	107.5	107.63	107.75	107.88	108.0	108.13	108.25	108.38	108.5	108.63	108.75	108.88	109.0	109.13	109.25	109.38	109.5	109.63	109.75	109.88	110.0	110.13	110.25	110.38	110.5	110.63	110.75	110.88	111.0	111.13	111.25	111.38	111.5	111.63	111.75	111.88	112.0	112.13	112.25	112.38	112.5	112.63	112.75	112.88	113.0	113.13	113.25	113.38	113.5	113.63	113.75	113.88	114.0	114.13	114.25	114.38	114.5	114.63	114.75	114.88	115.0	115.13	115.25	115.38	115.5	115.63	115.75	115.88	116.0	116.13	116.25	116.38	116.5	116.63	116.75	116.88	117.0	117.13	117.25	117.38	117.5	117.63	117.75	117.88	118.0	118.13	118.25	118.38	118.5	118.63	118.75	118.88	119.0	119.13	119.25	119.38	119.5	119.63	119.75	119.88	120.0	120.13	120.25	120.38	120.5	120.63	120.75	120.88	121.0	121.13	121.25	121.38	121.5	121.63	121.75	121.88	122.0	122.13	122.25	122.38	122.5	122.63	122.75	122.88	123.0	123.13	123.25	123.38	123.5	123.63	123.75	123.88	124.0	124.13	124.25	124.38	124.5	124.63	124.75	124.88	125.0	125.13	125.25	125.38	125.5	125.63	125.75	125.88	126.0	126.13	126.25	126.38	126.5	126.63	126.75	126.88	127.0	127.13	127.25	127.38	127.5	127.63	127.75	127.88	128.0	128.13	128.25	128.38	128.5	128.63	128.75	128.88	129.0	129.13	129.25	129.38	129.5	129.63	129.75	129.88	130.0	130.13	130.25	130.38	130.5	130.63	130.75	130.88	131.0	131.13	131.25	131.38	131.5	131.63	131.75	131.88	132.0	132.13	132.25	132.38	132.5	132.63	132.75	132.88	133.0	133.13	133.25	133.38	133.5	133.63	133.75	133.88	134.0	134.13	134.25	134.38	134.5	134.63	134.75	134.88	135.0	135.13	135.25	135.38	135.5	135.63	135.75	135.88	136.0	136.13	136.25	136.38	136.5	136.63	136.75	136.88	137.0	137.13	137.25	137.38	137.5	137.63	137.75	137.88	138.0	138.13	138.25	138.38	138.5	138.63	138.75	138.88	139.0	139.13	139.25	139.38	139.5	139.63	139.75	139.88	140.0	140.13	140.25	140.38	140.5	140.63	140.75	140.88	141.0	141.13	141.25	141.38	141.5	141.63	141.75	141.88	142.0	142.13	142.25	142.38	142.5	142.63	142.75	142.88	143.0	143.13	143.25	143.38	143.5	143.63	143.75	143.88	144.0	144.13	144.25	144.38	144.5	144.63	144.75	144.88	145.0	145.13	145.25	145.38	145.5	145.63	145.75	145.88	146.0	146.13	146.25	146.38	146.5	146.63	146.75	146.88	147.0	147.13	147.25	147.38	147.5	147.63	147.75	147.88	148.0	148.13	148.25	148

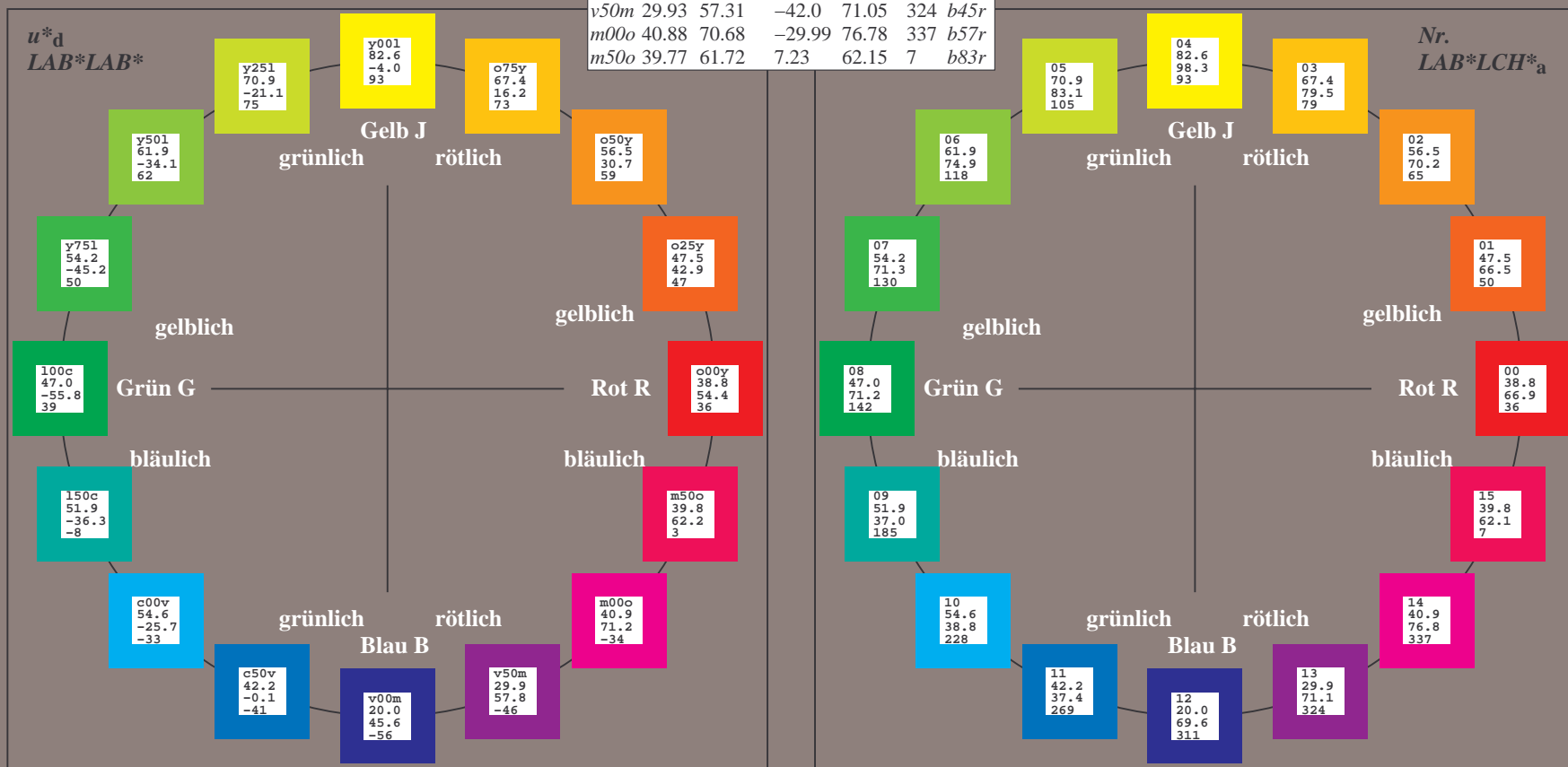
Ein und Ausgabe:
Farbmetrisches Drucker-Reflektiv-System FRS15_90a
Daten für jede Farbe:
 u^*_d und Nummer $Nr.$ = 00 .. 15
Geräte-Bunttontext:
 u^*_d = 16 Bunttoene $o00y$, $o25y$, ..., $m50o$
Kontrastreduzierungsfaktor:
 $c_R = 0.9$

FRS15_90a; adaptierte CIELAB-Daten							
u^*_d	$L^*=L^*_a$	a^*_a	b^*_a	$C^*_{ab,a}$	$h^*_{ab,a}$	u^*_e	
$o00y$	38.8	53.92	39.68	66.95	36	$r16j$	
$o25y$	47.46	42.34	51.25	66.48	50	$r37j$	
$o50y$	56.54	30.2	63.39	70.22	65	$r58j$	
$o75y$	67.39	15.68	77.9	79.47	79	$r79j$	
$y00l$	82.58	-4.64	98.22	98.33	93	$j01g$	
$y25l$	70.85	-21.66	80.19	83.07	105	$j18g$	
$y50l$	61.91	-34.63	66.45	74.93	118	$j36g$	
$y75l$	54.24	-45.77	54.66	71.29	130	$j53g$	
$l00c$	46.95	-56.34	43.46	71.15	142	$j71g$	
$l50c$	51.91	-36.84	-3.21	36.98	185	$g21b$	
$c00v$	54.62	-26.2	-28.68	38.85	228	$g60b$	
$c50v$	42.22	-0.61	-37.35	37.36	269	$g97b$	
$v00m$	20.01	45.2	-52.87	69.56	311	$b34r$	
$v50m$	29.93	57.31	-42.0	71.05	324	$b45r$	
$m00o$	40.88	70.68	-29.99	76.78	337	$b57r$	
$m50o$	39.77	61.72	7.23	62.15	7	$b83r$	



%Umfang
 $u^*_{rel} = 88$
%Regularität
 $g^*_{H,rel} = 31$
 $g^*_{C,rel} = 40$

FRS15_90; CIELAB-Daten					
Name	$L^*=L^*$	a^*	b^*	C^*_{ab}	h^*_{ab}
O_M	38.8	54.41	35.65	65.05	33
Y_M	82.58	-4.04	92.72	92.8	92
L_M	46.95	-55.83	39.15	68.19	145
C_M	54.62	-25.67	-33.25	42.01	232
V_M	20.01	45.64	-56.27	72.45	309
M_M	40.88	71.17	-34.09	78.92	334
N_M	15.0	0.43	-3.23	3.26	278
W_M	90.0	0.62	-5.76	5.79	276
O_{CIE}	39.92	58.74	27.99	65.07	25
Y_{CIE}	81.26	-2.89	71.56	71.62	92
L_{CIE}	52.23	-42.42	13.6	44.55	162
V_{CIE}	30.57	1.41	-46.47	46.49	272



Ein und Ausgabe: Farbmetrisches Drucker-Reflektiv-System FRS15_90a für relativen CIELAB-Buntton $h^* = lab^*h^* = h_{ab}/360 = 0.101$

Daten für jede Farbe:

lab^*tch^* und lab^*icu^*

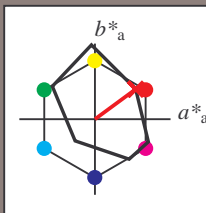
Bunttontexte:

$u^*_d = o00y$ $u^*_e = r16j$

Kontrastreduzierungsfaktor:

$c_R = 0.9$

Dreiecks-Helligkeit t^*



FRS15_90; CIELAB-Daten

u^*_d	$L^*=L^*$	a^*	b^*	C^*_{ab}	h^*_{ab}
O _M	38.8	54.41	35.65	65.05	33
Y _M	82.58	-4.04	92.72	92.8	92
L _M	46.95	-55.83	39.15	68.19	145
C _M	54.62	-25.67	-33.25	42.01	232
V _M	20.01	45.64	-56.27	72.45	309
M _M	40.88	71.17	-34.09	78.92	334
N _M	15.0	0.43	-3.23	3.26	278
W _M	90.0	0.62	-5.76	5.79	276
O _M	39.92	58.74	27.99	65.07	25
Y _M	81.26	-2.89	71.56	71.62	92
L _M	52.23	-42.42	13.6	44.55	162
V _M	30.57	1.41	-46.47	46.49	272

Daten für Maximalfarbe (Ma):

LAB^*LAB^*Ma : 39 54 40

LAB^*LCH^*Ma : 39 67 36

lab^*olv^*Ma : 1.0 0.0 0.0

lab^*rgb^*Ma : 1.0 0.16 0.0

Dreiecks-Helligkeit t^*

%Umfang

$u^*_{rel} = 88$

%Regularität

$g^*_{H,rel} = 31$

$g^*_{C,rel} = 40$

FRS15_90a; adaptierte CIELAB-Daten

u^*_d	$L^*=L^*$	a^*_a	b^*_a	$C^*_{ab,a}$	$h^*_{ab,a}$	u^*_e
o00y	38.8	53.92	39.68	66.95	36	r16j
o25y	47.46	42.34	51.25	66.48	50	r37j
o50y	56.54	30.2	63.39	70.22	65	r58j
o75y	67.39	15.68	77.9	79.47	79	r79j
y00l	82.58	-4.64	98.22	98.33	93	j01g
y25l	70.85	-21.66	80.19	83.07	105	j18g
y50l	61.91	-34.63	66.45	74.93	118	j36g
y75l	54.24	-45.77	54.66	71.29	130	j53g
l00c	46.95	-56.34	43.46	71.15	142	j71g
l50c	51.91	-36.84	-3.21	36.98	185	g21b
c00v	54.62	-26.2	-28.68	38.85	228	g60b
c50v	42.22	-0.61	-37.35	37.36	269	g97b
v00m	20.01	45.2	-52.87	69.56	311	b34r
v50m	29.93	57.31	-42.0	71.05	324	b45r
m00o	40.88	70.68	-29.99	76.78	337	b57r
m50o	39.77	61.72	7.23	62.15	7	b83r

LAB^*LAB^*

$i^*=1.00$

Brillantheit i^*

$i^*=0.80$

$i^*=0.60$

$i^*=0.40$

$i^*=0.20$

$i^*=0.00$

relative Buntheit c^*

Ein und Ausgabe: Farbmetrisches Drucker-Reflektiv-System FRS15_90a für relativen CIELAB-Buntton $h^* = lab^*h^* = h_{ab}/360 = 0.14$

Daten für jede Farbe:

lab^*ch^* und lab^*icu^*

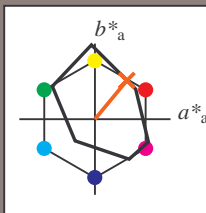
Bunttontexte:

$u^*_d = o25y$ $u^*_e = r37j$

Kontrastreduzierungsfaktor:

$c_R = 0.9$

Dreiecks-Helligkeit i^*



FRS15_90; CIELAB-Daten

u^*_d	$L^*=L^*$	a^*	b^*	C^*_{ab}	h^*_{ab}
O _M	38.8	54.41	35.65	65.05	33
Y _M	82.58	-4.04	92.72	92.8	92
L _M	46.95	-55.83	39.15	68.19	145
C _M	54.62	-25.67	-33.25	42.01	232
V _M	20.01	45.64	-56.27	72.45	309
M _M	40.88	71.17	-34.09	78.92	334
N _M	15.0	0.43	-3.23	3.26	278
W _M	90.0	0.62	-5.76	5.79	276
O _M	39.92	58.74	27.99	65.07	25
Y _M	81.26	-2.89	71.56	71.62	92
L _M	52.23	-42.42	13.6	44.55	162
V _M	30.57	1.41	-46.47	46.49	272

Daten für Maximalfarbe (Ma):

LAB^*LAB^*Ma : 47 42 51

LAB^*LCH^*Ma : 47 66 50

lab^*olv^*Ma : 1.0 0.25 0.0

lab^*rgb^*Ma : 1.0 0.37 0.0

Dreiecks-Helligkeit i^*

%Umfang

$u^*_{rel} = 88$

%Regularität

$g^*_{H,rel} = 31$

$g^*_{C,rel} = 40$

FRS15_90a; adaptierte CIELAB-Daten

u^*_d	$L^*=L^*$	a^*_a	b^*_a	$C^*_{ab,a}$	$h^*_{ab,a}$	u^*_e
o00y	38.8	53.92	39.68	66.95	36	r16j
o25y	47.46	42.34	51.25	66.48	50	r37j
o50y	56.54	30.2	63.39	70.22	65	r58j
o75y	67.39	15.68	77.9	79.47	79	r79j
y00l	82.58	-4.64	98.22	98.33	93	j01g
y25l	70.85	-21.66	80.19	83.07	105	j18g
y50l	61.91	-34.63	66.45	74.93	118	j36g
y75l	54.24	-45.77	54.66	71.29	130	j53g
l00c	46.95	-56.34	43.46	71.15	142	j71g
l50c	51.91	-36.84	-3.21	36.98	185	g21b
c00v	54.62	-26.2	-28.68	38.85	228	g60b
c50v	42.22	-0.61	-37.35	37.36	269	g97b
v00m	20.01	45.2	-52.87	69.56	311	b34r
v50m	29.93	57.31	-42.0	71.05	324	b45r
m00o	40.88	70.68	-29.99	76.78	337	b57r
m50o	39.77	61.72	7.23	62.15	7	b83r

LAB^*LAB^*

$i^*=1.00$

Brillantheit i^*

$i^*=0.80$

$i^*=0.60$

$i^*=0.40$

$i^*=0.20$

$i^*=0.00$

Ein und Ausgabe: Farbmetrisches Drucker-Reflektiv-System FRS15_90a für relativen CIELAB-Buntton $h^* = lab^*h^* = h_{ab}/360 = 0.179$

Daten für jede Farbe:

lab^*ch^* und lab^*icu^*

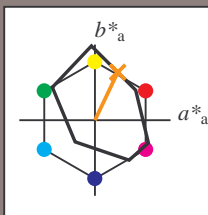
Bunttontexte:

$u^*_d = o50y$ $u^*_e = r58j$

Kontrastreduzierungsfaktor:

$c_R = 0.9$

Dreiecks-Helligkeit i^*



FRS15_90; CIELAB-Daten

u^*_d	$L^*=L^*$	a^*	b^*	C^*_{ab}	h^*_{ab}
O _M	38.8	54.41	35.65	65.05	33
Y _M	82.58	-4.04	92.72	92.8	92
L _M	46.95	-55.83	39.15	68.19	145
C _M	54.62	-25.67	-33.25	42.01	232
V _M	20.01	45.64	-56.27	72.45	309
M _M	40.88	71.17	-34.09	78.92	334
N _M	15.0	0.43	-3.23	3.26	278
W _M	90.0	0.62	-5.76	5.79	276
O _M	39.92	58.74	27.99	65.07	25
Y _M	81.26	-2.89	71.56	71.62	92
L _M	52.23	-42.42	13.6	44.55	162
V _M	30.57	1.41	-46.47	46.49	272

Daten für Maximalfarbe (Ma):

$LAB^*LAB^*_{Ma}$: 57 30 63

$LAB^*LCH^*_{Ma}$: 57 70 64

$lab^*olv^*_{Ma}$: 1.0 0.5 0.0

$lab^*rgb^*_{Ma}$: 1.0 0.58 0.0

Dreiecks-Helligkeit i^*

%Umfang

$u^*_{rel} = 88$

%Regularität

$g^*_{H,rel} = 31$

$g^*_{C,rel} = 40$

FRS15_90a; adaptierte CIELAB-Daten

u^*_d	$L^*=L^*$	a^*_a	b^*_a	$C^*_{ab,a}$	$h^*_{ab,a}$	u^*_e
o00y	38.8	53.92	39.68	66.95	36	r16j
o25y	47.46	42.34	51.25	66.48	50	r37j
o50y	56.54	30.2	63.39	70.22	65	r58j
o75y	67.39	15.68	77.9	79.47	79	r79j
y00l	82.58	-4.64	98.22	98.33	93	j01g
y25l	70.85	-21.66	80.19	83.07	105	j18g
y50l	61.91	-34.63	66.45	74.93	118	j36g
y75l	54.24	-45.77	54.66	71.29	130	j53g
l00c	46.95	-56.34	43.46	71.15	142	j71g
l50c	51.91	-36.84	-3.21	36.98	185	g21b
c00v	54.62	-26.2	-28.68	38.85	228	g60b
c50v	42.22	-0.61	-37.35	37.36	269	g97b
v00m	20.01	45.2	-52.87	69.56	311	b34r
v50m	29.93	57.31	-42.0	71.05	324	b45r
m00o	40.88	70.68	-29.99	76.78	337	b57r
m50o	39.77	61.72	7.23	62.15	7	b83r

LAB^*LAB^*

$i^*=1.00$

$i^*=0.80$

$i^*=0.60$

$i^*=0.40$

$i^*=0.20$

$i^*=0.00$

$i^*=0.00$

$i^*=0.00$

$i^*=0.00$

$i^*=0.00$

$i^*=0.00$

$i^*=0.00$

$i^*=0.00$

$i^*=0.00$

$i^*=0.00$

$i^*=0.00$

$i^*=0.00$

$i^*=0.00$

$i^*=0.00$

$i^*=0.00$

$i^*=0.00$

$i^*=0.00$

$i^*=0.00$

$i^*=0.00$

Ein und Ausgabe: Farbmetrisches Drucker-Reflektiv-System FRS15_90a für relativen CIELAB-Buntton $h^* = lab^*h^* = h_{ab}/360 = 0.218$

Daten für jede Farbe:

lab^*tch^* und lab^*icu^*

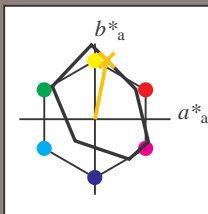
Bunttontexte:

$u^*_d = o75y$ $u^*_e = r79j$

Kontrastreduzierungsfaktor:

$c_R = 0.9$

Dreiecks-Helligkeit t^*



FRS15_90; CIELAB-Daten

u^*_d	$L^*=L^*$	a^*	b^*	C^*_{ab}	h^*_{ab}
O _M	38.8	54.41	35.65	65.05	33
Y _M	82.58	-4.04	92.72	92.8	92
L _M	46.95	-55.83	39.15	68.19	145
C _M	54.62	-25.67	-33.25	42.01	232
V _M	20.01	45.64	-56.27	72.45	309
M _M	40.88	71.17	-34.09	78.92	334
N _M	15.0	0.43	-3.23	3.26	278
W _M	90.0	0.62	-5.76	5.79	276
O _M	39.92	58.74	27.99	65.07	25
Y _M	81.26	-2.89	71.56	71.62	92
L _M	52.23	-42.42	13.6	44.55	162
V _M	30.57	1.41	-46.47	46.49	272

Daten für Maximalfarbe (Ma):

$LAB^*LAB^*_{Ma}$: 67 16 78

$LAB^*LCH^*_{Ma}$: 67 79 78

$lab^*olv^*_{Ma}$: 1.0 0.75 0.0

$lab^*rgb^*_{Ma}$: 1.0 0.8 0.0

Dreiecks-Helligkeit t^*

%Umfang

$u^*_{rel} = 88$

%Regularität

$g^*_{H,rel} = 31$

$g^*_{C,rel} = 40$

FRS15_90a; adaptierte CIELAB-Daten

u^*_d	$L^*=L^*$	a^*_a	b^*_a	$C^*_{ab,a}$	$h^*_{ab,a}$	u^*_e
o00y	38.8	53.92	39.68	66.95	36	r16j
o25y	47.46	42.34	51.25	66.48	50	r37j
o50y	56.54	30.2	63.39	70.22	65	r58j
o75y	67.39	15.68	77.9	79.47	79	r79j
y00l	82.58	-4.64	98.22	98.33	93	j01g
y25l	70.85	-21.66	80.19	83.07	105	j18g
y50l	61.91	-34.63	66.45	74.93	118	j36g
y75l	54.24	-45.77	54.66	71.29	130	j53g
l00c	46.95	-56.34	43.46	71.15	142	j71g
l50c	51.91	-36.84	-3.21	36.98	185	g21b
c00v	54.62	-26.2	-28.68	38.85	228	g60b
c50v	42.22	-0.61	-37.35	37.36	269	g97b
v00m	20.01	45.2	-52.87	69.56	311	b34r
v50m	29.93	57.31	-42.0	71.05	324	b45r
m00o	40.88	70.68	-29.99	76.78	337	b57r
m50o	39.77	61.72	7.23	62.15	7	b83r

LAB^*LAB^*

$i^*=1.00$

Brillantheit i^*

$i^*=0.80$

$i^*=0.60$

$i^*=0.40$

$i^*=0.20$

$i^*=0.00$

Ein und Ausgabe: Farbmetrisches Drucker-Reflektiv-System FRS15_90a für relativen CIELAB-Buntton $h^* = lab^*h^* = h_{ab}/360 = 0.258$

Daten für jede Farbe:

lab^*ch^* und lab^*icu^*

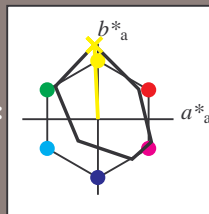
Bunttontexte:

$u^*_d = y00l$ $u^*_e = j0l1g$

Kontrastreduzierungsfaktor:

$c_R = 0.9$

Dreiecks-Helligkeit i^*



FRS15_90; CIELAB-Daten

u^*_d	$L^*=L^*$	a^*	b^*	C^*_{ab}	h^*_{ab}
O _M	38.8	54.41	35.65	65.05	33
Y _M	82.58	-4.04	92.72	92.8	92
L _M	46.95	-55.83	39.15	68.19	145
C _M	54.62	-25.67	-33.25	42.01	232
V _M	20.01	45.64	-56.27	72.45	309
M _M	40.88	71.17	-34.09	78.92	334
N _M	15.0	0.43	-3.23	3.26	278
W _M	90.0	0.62	-5.76	5.79	276
O _M	39.92	58.74	27.99	65.07	25
Y _M	81.26	-2.89	71.56	71.62	92
L _M	52.23	-42.42	13.6	44.55	162
V _M	30.57	1.41	-46.47	46.49	272

Daten für Maximalfarbe (Ma):

$LAB^*LAB^*Ma: 83 -5 98$

$LAB^*LCH^*Ma: 83 98 92$

$lab^*olv^*Ma: 1.0 1.0 0.0$

$lab^*rgb^*Ma: 0.99 1.0 0.0$

Dreiecks-Helligkeit i^*

%Umfang

$u^*_{rel} = 88$

%Regularität

$g^*_{H,rel} = 31$

$g^*_{C,rel} = 40$

FRS15_90a; adaptierte CIELAB-Daten

u^*_d	$L^*=L^*$	a^*	b^*	$C^*_{ab,a}$	$h^*_{ab,a}$	u^*_e
o00y	38.8	53.92	39.68	66.95	36	r16j
o25y	47.46	42.34	51.25	66.48	50	r37j
o50y	56.54	30.2	63.39	70.22	65	r58j
o75y	67.39	15.68	77.9	79.47	79	r79j
y00l	82.58	-4.64	98.22	98.33	93	j01g
y25l	70.85	-21.66	80.19	83.07	105	j18g
y50l	61.91	-34.63	66.45	74.93	118	j36g
y75l	54.24	-45.77	54.66	71.29	130	j53g
l00c	46.95	-56.34	43.46	71.15	142	j71g
l50c	51.91	-36.84	-3.21	36.98	185	g21b
c00v	54.62	-26.2	-28.68	38.85	228	g60b
c50v	42.22	-0.61	-37.35	37.36	269	g97b
v00m	20.01	45.2	-52.87	69.56	311	b34r
v50m	29.93	57.31	-42.0	71.05	324	b45r
m00o	40.88	70.68	-29.99	76.78	337	b57r
m50o	39.77	61.72	7.23	62.15	7	b83r

LAB^*LAB^*

$i^*=1.00$

Brillantheit i^*

Ein und Ausgabe: Farbmetrisches Drucker-Reflektiv-System FRS15_90a für relativen CIELAB-Buntton $h^* = lab^*h^* = h_{ab}/360 = 0.292$

Daten für jede Farbe:

lab^*ch^* und lab^*icu^*

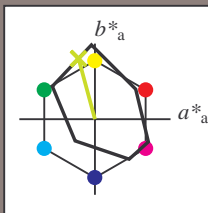
Bunttontexte:

$u^*_d = y25l$ $u^*_e = j18g$

Kontrastreduzierungsfaktor:

$c_R = 0.9$

Dreiecks-Helligkeit i^*



FRS15_90; CIELAB-Daten

u^*_d	$L^*=L^*$	a^*	b^*	C^*_{ab}	h^*_{ab}
O _M	38.8	54.41	35.65	65.05	33
Y _M	82.58	-4.04	92.72	92.8	92
L _M	46.95	-55.83	39.15	68.19	145
C _M	54.62	-25.67	-33.25	42.01	232
V _M	20.01	45.64	-56.27	72.45	309
M _M	40.88	71.17	-34.09	78.92	334
N _M	15.0	0.43	-3.23	3.26	278
W _M	90.0	0.62	-5.76	5.79	276
O _M	39.92	58.74	27.99	65.07	25
Y _M	81.26	-2.89	71.56	71.62	92
L _M	52.23	-42.42	13.6	44.55	162
V _M	30.57	1.41	-46.47	46.49	272

Daten für Maximalfarbe (Ma):

$LAB^*LAB^*Ma: 71 -22 80$

$LAB^*LCH^*Ma: 71 83 105$

$lab^*olv^*Ma: 0.75 1.0 0.0$

$lab^*rgb^*Ma: 0.82 1.0 0.0$

Dreiecks-Helligkeit i^*

%Umfang

$u^*_{rel} = 88$

%Regularität

$g^*_{H,rel} = 31$

$g^*_{C,rel} = 40$

FRS15_90a; adaptierte CIELAB-Daten

u^*_d	$L^*=L^*$	a^*	b^*	$C^*_{ab,a}$	$h^*_{ab,a}$	u^*_e
o00y	38.8	53.92	39.68	66.95	36	r16j
o25y	47.46	42.34	51.25	66.48	50	r37j
o50y	56.54	30.2	63.39	70.22	65	r58j
o75y	67.39	15.68	77.9	79.47	79	r79j
y00l	82.58	-4.64	98.22	98.33	93	j01g
y25l	70.85	-21.66	80.19	83.07	105	j18g
y50l	61.91	-34.63	66.45	74.93	118	j36g
y75l	54.24	-45.77	54.66	71.29	130	j53g
l00c	46.95	-56.34	43.46	71.15	142	j71g
l50c	51.91	-36.84	-3.21	36.98	185	g21b
c00v	54.62	-26.2	-28.68	38.85	228	g60b
c50v	42.22	-0.61	-37.35	37.36	269	g97b
v00m	20.01	45.2	-52.87	69.56	311	b34r
v50m	29.93	57.31	-42.0	71.05	324	b45r
m00o	40.88	70.68	-29.99	76.78	337	b57r
m50o	39.77	61.72	7.23	62.15	7	b83r

LAB^*LAB^*

$i^*=1.00$

Brillantheit i^*

$i^*=0.80$

$i^*=0.60$

$i^*=0.40$

$i^*=0.20$

$i^*=0.00$

relative Buntheit c^*

relative Buntheit c^*

Ein und Ausgabe: Farbmetrisches Drucker-Reflektiv-System FRS15_90a für relativen CIELAB-Buntton $h^* = lab^*h^* = h_{ab}/360 = 0.326$

Daten für jede Farbe:

lab^*ch^* und lab^*icu^*

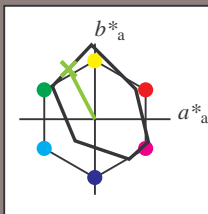
Bunttontexte:

$u^*_d = y50l$ $u^*_e = j36g$

Kontrastreduzierungsfaktor:

$c_R = 0.9$

Dreiecks-Helligkeit i^*



FRS15_90; CIELAB-Daten

u^*_d	$L^*=L^*$	a^*	b^*	C^*_{ab}	h^*_{ab}
O _M	38.8	54.41	35.65	65.05	33
Y _M	82.58	-4.04	92.72	92.8	92
L _M	46.95	-55.83	39.15	68.19	145
C _M	54.62	-25.67	-33.25	42.01	232
V _M	20.01	45.64	-56.27	72.45	309
M _M	40.88	71.17	-34.09	78.92	334
N _M	15.0	0.43	-3.23	3.26	278
W _M	90.0	0.62	-5.76	5.79	276
O _M	39.92	58.74	27.99	65.07	25
Y _M	81.26	-2.89	71.56	71.62	92
L _M	52.23	-42.42	13.6	44.55	162
V _M	30.57	1.41	-46.47	46.49	272

Daten für Maximalfarbe (Ma):

$LAB^*LAB^*Ma: 62 -35 66$

$LAB^*LCH^*Ma: 62 75 117$

$lab^*olv^*Ma: 0.5 1.0 0.0$

$lab^*rgb^*Ma: 0.64 1.0 0.0$

Dreiecks-Helligkeit i^*

%Umfang

$u^*_{rel} = 88$

%Regularität

$g^*_{H,rel} = 31$

$g^*_{C,rel} = 40$

FRS15_90a; adaptierte CIELAB-Daten

u^*_d	$L^*=L^*$	a^*_a	b^*_a	$C^*_{ab,a}$	$h^*_{ab,a}$	u^*_e
o00y	38.8	53.92	39.68	66.95	36	r16j
o25y	47.46	42.34	51.25	66.48	50	r37j
o50y	56.54	30.2	63.39	70.22	65	r58j
o75y	67.39	15.68	77.9	79.47	79	r79j
y00l	82.58	-4.64	98.22	98.33	93	j01g
y25l	70.85	-21.66	80.19	83.07	105	j18g
y50l	61.91	-34.63	66.45	74.93	118	j36g
y75l	54.24	-45.77	54.66	71.29	130	j53g
l00c	46.95	-56.34	43.46	71.15	142	j71g
l50c	51.91	-36.84	-3.21	36.98	185	g21b
c00v	54.62	-26.2	-28.68	38.85	228	g60b
c50v	42.22	-0.61	-37.35	37.36	269	g97b
v00m	20.01	45.2	-52.87	69.56	311	b34r
v50m	29.93	57.31	-42.0	71.05	324	b45r
m00o	40.88	70.68	-29.99	76.78	337	b57r
m50o	39.77	61.72	7.23	62.15	7	b83r

LAB^*LAB^*

$i^*=1.00$

$i^*=0.80$

$i^*=0.60$

$i^*=0.40$

$i^*=0.20$

$i^*=0.00$

relative Buntheit c^*

relative Buntheit c^*

Ein und Ausgabe: Farbmetrisches Drucker-Reflektiv-System FRS15_90a für relativen CIELAB-Buntton $h^* = lab^*h^* = h_{ab}/360 = 0.361$

Daten für jede Farbe:

lab^*ch^* und lab^*icu^*

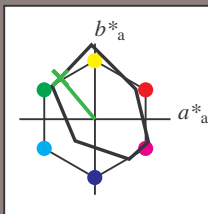
Bunttontexte:

$u^*_d = y75l$ $u^*_e = j53g$

Kontrastreduzierungsfaktor:

$c_R = 0.9$

Dreiecks-Helligkeit i^*



FRS15_90; CIELAB-Daten						
u^*_d	$L^*=L^*$	a^*	b^*	C^*_{ab}	h^*_{ab}	
O _M	38.8	54.41	35.65	65.05	33	
Y _M	82.58	-4.04	92.72	92.8	92	
L _M	46.95	-55.83	39.15	68.19	145	
C _M	54.62	-25.67	-33.25	42.01	232	
V _M	20.01	45.64	-56.27	72.45	309	
M _M	40.88	71.17	-34.09	78.92	334	
N _M	15.0	0.43	-3.23	3.26	278	
W _M	90.0	0.62	-5.76	5.79	276	
O _M	39.92	58.74	27.99	65.07	25	
Y _M	81.26	-2.89	71.56	71.62	92	
L _M	52.23	-42.42	13.6	44.55	162	
V _M	30.57	1.41	-46.47	46.49	272	

Daten für Maximalfarbe (Ma):

$LAB^*LAB^*_{Ma}$: 54 -46 55

$LAB^*LCH^*_{Ma}$: 54 71 129

$lab^*olv^*_{Ma}$: 0.25 1.0 0.0

$lab^*rgb^*_{Ma}$: 0.46 1.0 0.0

Dreiecks-Helligkeit i^*

%Umfang

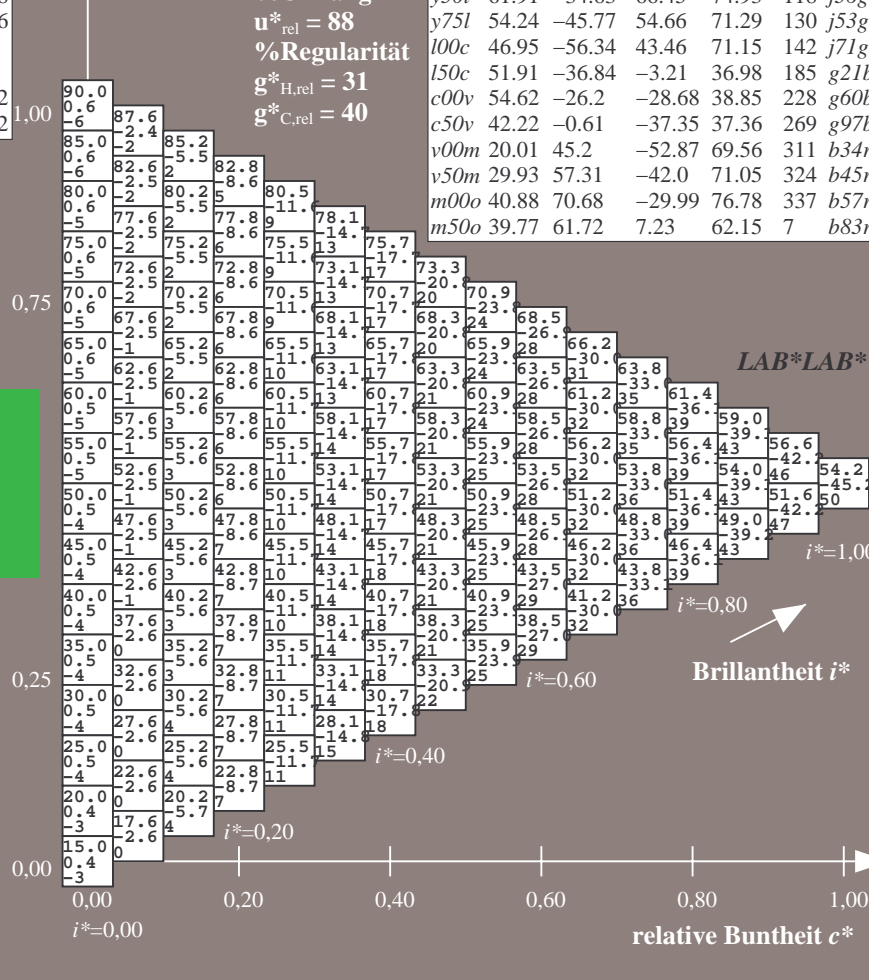
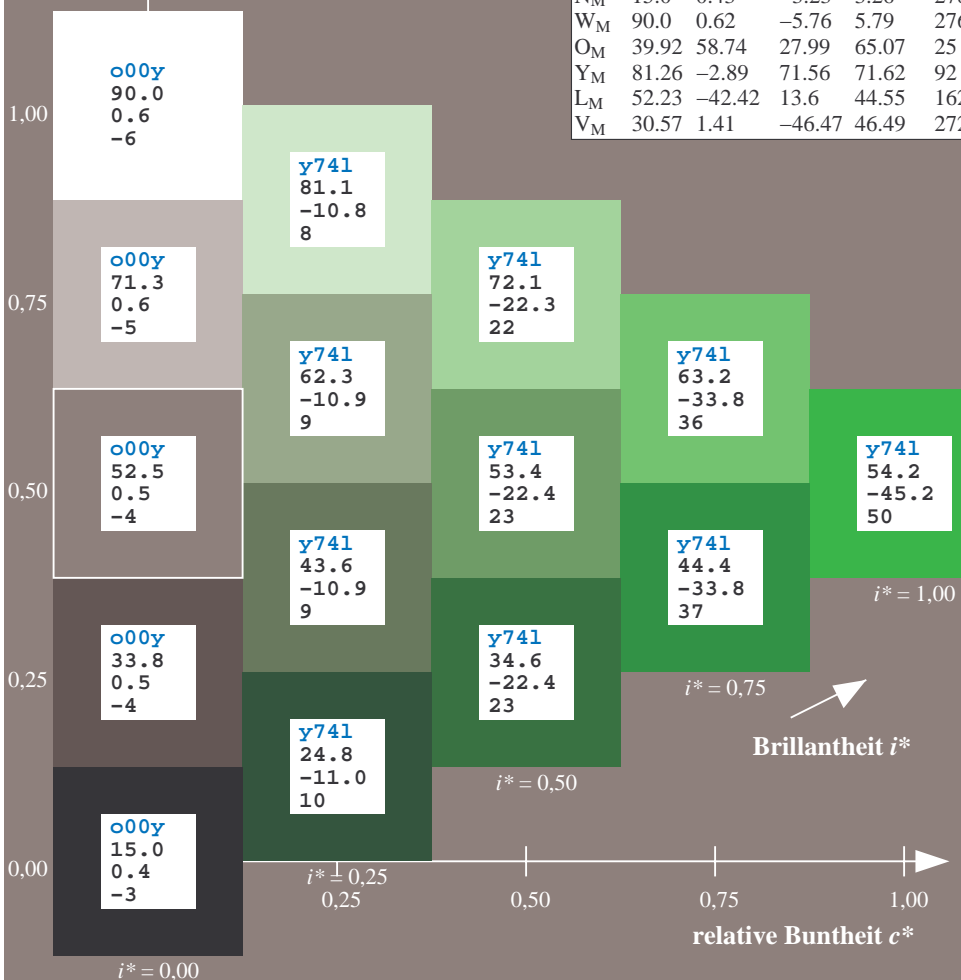
$u^*_{rel} = 88$

%Regularität

$g^*_{H,rel} = 31$

$g^*_{C,rel} = 40$

FRS15_90a; adaptierte CIELAB-Daten									
u^*_d	$L^*=L^*$	a^*	b^*	$C^*_{ab,a}$	$h^*_{ab,a}$	u^*_e			
o00y	38.8	53.92	39.68	66.95	36	r16j			
o25y	47.46	42.34	51.25	66.48	50	r37j			
o50y	56.54	30.2	63.39	70.22	65	r58j			
o75y	67.39	15.68	77.9	79.47	79	r79j			
y00l	82.58	-4.64	98.22	98.33	93	j01g			
y25l	70.85	-21.66	80.19	83.07	105	j18g			
y50l	61.91	-34.63	66.45	74.93	118	j36g			
y75l	54.24	-45.77	54.66	71.29	130	j53g			
l00c	46.95	-56.34	43.46	71.15	142	j71g			
l50c	51.91	-36.84	-3.21	36.98	185	g21b			
c00v	54.62	-26.2	-28.68	38.85	228	g60b			
c50v	42.22	-0.61	-37.35	37.36	269	g97b			
v00m	20.01	45.2	-52.87	69.56	311	b34r			
v50m	29.93	57.31	-42.0	71.05	324	b45r			
m00o	40.88	70.68	-29.99	76.78	337	b57r			
m50o	39.77	61.72	7.23	62.15	7	b83r			



Ein und Ausgabe: Farbmetrisches Drucker-Reflektiv-System FRS15_90a für relativen CIELAB-Buntton $h^* = lab^*h^* = h_{ab}/360 = 0.395$

Daten für jede Farbe:

lab^*ch^* und lab^*icu^*

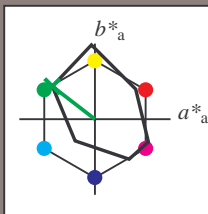
Bunttontexte:

$u^*_d = 100c$ $u^*_e = j71g$

Kontrastreduzierungsfaktor:

$c_R = 0.9$

Dreiecks-Helligkeit i^*



FRS15_90; CIELAB-Daten

u^*_d	$L^*=L^*$	a^*	b^*	C^*_{ab}	h^*_{ab}
O _M	38.8	54.41	35.65	65.05	33
Y _M	82.58	-4.04	92.72	92.8	92
L _M	46.95	-55.83	39.15	68.19	145
C _M	54.62	-25.67	-33.25	42.01	232
V _M	20.01	45.64	-56.27	72.45	309
M _M	40.88	71.17	-34.09	78.92	334
N _M	15.0	0.43	-3.23	3.26	278
W _M	90.0	0.62	-5.76	5.79	276
O _M	39.92	58.74	27.99	65.07	25
Y _M	81.26	-2.89	71.56	71.62	92
L _M	52.23	-42.42	13.6	44.55	162
V _M	30.57	1.41	-46.47	46.49	272

Daten für Maximalfarbe (Ma):

LAB^*LAB^*Ma : 47 -56 43

LAB^*LCH^*Ma : 47 71 142

lab^*olv^*Ma : 0.0 1.0 0.0

lab^*rgb^*Ma : 0.28 1.0 0.0

Dreiecks-Helligkeit i^*

%Umfang

$u^*_{rel} = 88$

%Regularität

$g^*_{H,rel} = 31$

$g^*_{C,rel} = 40$

FRS15_90a; adaptierte CIELAB-Daten

u^*_d	$L^*=L^*$	a^*_a	b^*_a	$C^*_{ab,a}$	$h^*_{ab,a}$	u^*_e
o00y	38.8	53.92	39.68	66.95	36	r16j
o25y	47.46	42.34	51.25	66.48	50	r37j
o50y	56.54	30.2	63.39	70.22	65	r58j
o75y	67.39	15.68	77.9	79.47	79	r79j
y00l	82.58	-4.64	98.22	98.33	93	j01g
y25l	70.85	-21.66	80.19	83.07	105	j18g
y50l	61.91	-34.63	66.45	74.93	118	j36g
y75l	54.24	-45.77	54.66	71.29	130	j53g
l00c	46.95	-56.34	43.46	71.15	142	j71g
l50c	51.91	-36.84	-3.21	36.98	185	g21b
c00v	54.62	-26.2	-28.68	38.85	228	g60b
c50v	42.22	-0.61	-37.35	37.36	269	g97b
v00m	20.01	45.2	-52.87	69.56	311	b34r
v50m	29.93	57.31	-42.0	71.05	324	b45r
m00o	40.88	70.68	-29.99	76.78	337	b57r
m50o	39.77	61.72	7.23	62.15	7	b83r

LAB^*LAB^*

$i^*=1.00$

Brillantheit i^*

$i^*=0.80$

$i^*=0.60$

$i^*=0.40$

$i^*=0.20$

$i^*=0.00$

relative Buntheit c^*

Ein und Ausgabe: Farbmetrisches Drucker-Reflektiv-System FRS15_90a für relativen CIELAB-Buntton $h^* = lab^*h^* = h_{ab}/360 = 0.514$

Daten für jede Farbe:

lab^*tch^* und lab^*icu^*

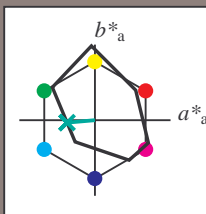
Bunttontexte:

$u^*_d = l50c$ $u^*_e = g21b$

Kontrastreduzierungsfaktor:

$c_R = 0.9$

Dreiecks-Helligkeit i^*



FRS15_90; CIELAB-Daten

u^*_d	$L^*=L^*$	a^*	b^*	C^*_{ab}	h^*_{ab}
O _M	38.8	54.41	35.65	65.05	33
Y _M	82.58	-4.04	92.72	92.8	92
L _M	46.95	-55.83	39.15	68.19	145
C _M	54.62	-25.67	-33.25	42.01	232
V _M	20.01	45.64	-56.27	72.45	309
M _M	40.88	71.17	-34.09	78.92	334
N _M	15.0	0.43	-3.23	3.26	278
W _M	90.0	0.62	-5.76	5.79	276
O _M	39.92	58.74	27.99	65.07	25
Y _M	81.26	-2.89	71.56	71.62	92
L _M	52.23	-42.42	13.6	44.55	162
V _M	30.57	1.41	-46.47	46.49	272

Daten für Maximalfarbe (Ma):

$LAB^*LAB^*_{Ma}$: 52 -37 -3

$LAB^*LCH^*_{Ma}$: 52 37 184

$lab^*olv^*_{Ma}$: 0.0 1.0 0.5

$lab^*rgb^*_{Ma}$: 0.0 1.0 0.42

Dreiecks-Helligkeit i^*

%Umfang

$u^*_{rel} = 88$

%Regularität

$g^*_{H,rel} = 31$

$g^*_{C,rel} = 40$

FRS15_90a; adaptierte CIELAB-Daten

u^*_d	$L^*=L^*$	a^*_a	b^*_a	$C^*_{ab,a}$	$h^*_{ab,a}$	u^*_e
o00y	38.8	53.92	39.68	66.95	36	r16j
o25y	47.46	42.34	51.25	66.48	50	r37j
o50y	56.54	30.2	63.39	70.22	65	r58j
o75y	67.39	15.68	77.9	79.47	79	r79j
y00l	82.58	-4.64	98.22	98.33	93	j01g
y25l	70.85	-21.66	80.19	83.07	105	j18g
y50l	61.91	-34.63	66.45	74.93	118	j36g
y75l	54.24	-45.77	54.66	71.29	130	j53g
l00c	46.95	-56.34	43.46	71.15	142	j71g
l50c	51.91	-36.84	-3.21	36.98	185	g21b
c00v	54.62	-26.2	-28.68	38.85	228	g60b
c50v	42.22	-0.61	-37.35	37.36	269	g97b
v00m	20.01	45.2	-52.87	69.56	311	b34r
v50m	29.93	57.31	-42.0	71.05	324	b45r
m00o	40.88	70.68	-29.99	76.78	337	b57r
m50o	39.77	61.72	7.23	62.15	7	b83r

LAB^*LAB^*

$i^*=1.00$

Brillantheit i^*

relative Buntheit c^*

Ein und Ausgabe: Farbmetrisches Drucker-Reflektiv-System FRS15_90a für relativen CIELAB-Buntton $h^* = lab^*h^* = h_{ab}/360 = 0.632$

Daten für jede Farbe:

lab^*ch^* und lab^*icu^*

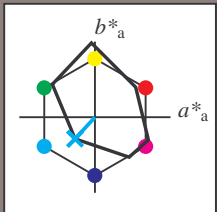
Bunttontexte:

$u^*_d = c00v$ $u^*_e = g60b$

Kontrastreduzierungsfaktor:

$c_R = 0.9$

Dreiecks-Helligkeit i^*



FRS15_90; CIELAB-Daten

u^*_d	$L^*=L^*$	a^*	b^*	C^*_{ab}	h^*_{ab}
O_M	38.8	54.41	35.65	65.05	33
Y_M	82.58	-4.04	92.72	92.8	92
L_M	46.95	-55.83	39.15	68.19	145
C_M	54.62	-25.67	-33.25	42.01	232
V_M	20.01	45.64	-56.27	72.45	309
M_M	40.88	71.17	-34.09	78.92	334
N_M	15.0	0.43	-3.23	3.26	278
W_M	90.0	0.62	-5.76	5.79	276
O_M	39.92	58.74	27.99	65.07	25
Y_M	81.26	-2.89	71.56	71.62	92
L_M	52.23	-42.42	13.6	44.55	162
V_M	30.57	1.41	-46.47	46.49	272

Daten für Maximalfarbe (Ma):

$LAB^*LAB^*_{Ma}$: 55 -26 -29

$LAB^*LCH^*_{Ma}$: 55 39 227

$lab^*olv^*_{Ma}$: 0.0 1.0 1.0

$lab^*rgb^*_{Ma}$: 0.0 0.81 1.0

Dreiecks-Helligkeit i^*

%Umfang

$u^*_{rel} = 88$

%Regularität

$g^*_{H,rel} = 31$

$g^*_{C,rel} = 40$

FRS15_90a; adaptierte CIELAB-Daten

u^*_d	$L^*=L^*$	a^*_a	b^*_a	$C^*_{ab,a}$	$h^*_{ab,a}$	u^*_e
$o00y$	38.8	53.92	39.68	66.95	36	$r16j$
$o25y$	47.46	42.34	51.25	66.48	50	$r37j$
$o50y$	56.54	30.2	63.39	70.22	65	$r58j$
$o75y$	67.39	15.68	77.9	79.47	79	$r79j$
$y00l$	82.58	-4.64	98.22	98.33	93	$j01g$
$y25l$	70.85	-21.66	80.19	83.07	105	$j18g$
$y50l$	61.91	-34.63	66.45	74.93	118	$j36g$
$y75l$	54.24	-45.77	54.66	71.29	130	$j53g$
$l00c$	46.95	-56.34	43.46	71.15	142	$j71g$
$l50c$	51.91	-36.84	-3.21	36.98	185	$g21b$
$c00v$	54.62	-26.2	-28.68	38.85	228	$g60b$
$c50v$	42.22	-0.61	-37.35	37.36	269	$g97b$
$v00m$	20.01	45.2	-52.87	69.56	311	$b34r$
$v50m$	29.93	57.31	-42.0	71.05	324	$b45r$
$m00o$	40.88	70.68	-29.99	76.78	337	$b57r$
$m50o$	39.77	61.72	7.23	62.15	7	$b83r$

LAB^*LAB^*

$i^*=1.00$

$i^*=0.80$

Brillantheit i^*

$i^*=0.60$

$i^*=0.40$

$i^*=0.20$

$i^*=0.00$

relative Buntheit c^*

Ein und Ausgabe: Farbmetrisches Drucker-Reflektiv-System FRS15_90a für relativen CIELAB-Buntton $h^* = lab^*h^* = h_{ab}/360 = 0.747$

Daten für jede Farbe:

lab^*ch^* und lab^*icu^*

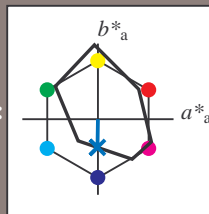
Bunttontexte:

$u^*_d = c50v$ $u^*_e = g97b$

Kontrastreduzierungsfaktor:

$c_R = 0.9$

Dreiecks-Helligkeit i^*



FRS15_90; CIELAB-Daten

u^*_d	$L^*=L^*$	a^*	b^*	C^*_{ab}	h^*_{ab}
O _M	38.8	54.41	35.65	65.05	33
Y _M	82.58	-4.04	92.72	92.8	92
L _M	46.95	-55.83	39.15	68.19	145
C _M	54.62	-25.67	-33.25	42.01	232
V _M	20.01	45.64	-56.27	72.45	309
M _M	40.88	71.17	-34.09	78.92	334
N _M	15.0	0.43	-3.23	3.26	278
W _M	90.0	0.62	-5.76	5.79	276
O _M	39.92	58.74	27.99	65.07	25
Y _M	81.26	-2.89	71.56	71.62	92
L _M	52.23	-42.42	13.6	44.55	162
V _M	30.57	1.41	-46.47	46.49	272

Daten für Maximalfarbe (Ma):

$LAB^*LAB^*Ma: 42 -1 -37$

$LAB^*LCH^*Ma: 42 37 269$

$lab^*olv^*Ma: 0.0 0.5 1.0$

$lab^*rgb^*Ma: 0.0 0.05 1.0$

Dreiecks-Helligkeit i^*

%Umfang

$u^*_{rel} = 88$

%Regularität

$g^*_{H,rel} = 31$

$g^*_{C,rel} = 40$

FRS15_90a; adaptierte CIELAB-Daten

u^*_d	$L^*=L^*$	a^*_a	b^*_a	$C^*_{ab,a}$	$h^*_{ab,a}$	u^*_e
o00y	38.8	53.92	39.68	66.95	36	r16j
o25y	47.46	42.34	51.25	66.48	50	r37j
o50y	56.54	30.2	63.39	70.22	65	r58j
o75y	67.39	15.68	77.9	79.47	79	r79j
y00l	82.58	-4.64	98.22	98.33	93	j01g
y25l	70.85	-21.66	80.19	83.07	105	j18g
y50l	61.91	-34.63	66.45	74.93	118	j36g
y75l	54.24	-45.77	54.66	71.29	130	j53g
l00c	46.95	-56.34	43.46	71.15	142	j71g
l50c	51.91	-36.84	-3.21	36.98	185	g21b
c00v	54.62	-26.2	-28.68	38.85	228	g60b
c50v	42.22	-0.61	-37.35	37.36	269	g97b
v00m	20.01	45.2	-52.87	69.56	311	b34r
v50m	29.93	57.31	-42.0	71.05	324	b45r
m00o	40.88	70.68	-29.99	76.78	337	b57r
m50o	39.77	61.72	7.23	62.15	7	b83r

$u^*_d = c50v$
 LAB^*LAB^*

LAB^*LAB^*

$i^* = 1.00$

Brillantheit i^*

$i^* = 0.80$

$i^* = 0.60$

$i^* = 0.40$

$i^* = 0.20$

$i^* = 0.00$

Ein und Ausgabe: Farbmetrisches Drucker-Reflektiv-System FRS15_90a für relativen CIELAB-Buntton $h^* = lab^*h^* = h_{ab}/360 = 0.863$

Daten für jede Farbe:

lab^*tch^* und lab^*icu^*

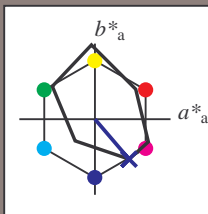
Bunttontexte:

$u^*_d = v00m$ $u^*_e = b34r$

Kontrastreduzierungsfaktor:

$c_R = 0.9$

Dreiecks-Helligkeit t^*



FRS15_90; CIELAB-Daten

u^*_d	$L^*=L^*$	a^*	b^*	C^*_{ab}	h^*_{ab}
O _M	38.8	54.41	35.65	65.05	33
Y _M	82.58	-4.04	92.72	92.8	92
L _M	46.95	-55.83	39.15	68.19	145
C _M	54.62	-25.67	-33.25	42.01	232
V _M	20.01	45.64	-56.27	72.45	309
M _M	40.88	71.17	-34.09	78.92	334
N _M	15.0	0.43	-3.23	3.26	278
W _M	90.0	0.62	-5.76	5.79	276
O _M	39.92	58.74	27.99	65.07	25
Y _M	81.26	-2.89	71.56	71.62	92
L _M	52.23	-42.42	13.6	44.55	162
V _M	30.57	1.41	-46.47	46.49	272

Daten für Maximalfarbe (Ma):

$LAB^*LAB^*_{Ma}$: 20 45 -53

$LAB^*LCH^*_{Ma}$: 20 70 310

$lab^*olv^*_{Ma}$: 0.0 0.0 1.0

$lab^*rgb^*_{Ma}$: 0.68 0.0 1.0

Dreiecks-Helligkeit t^*

%Umfang

$u^*_{rel} = 88$

%Regularität

$g^*_{H,rel} = 31$

$g^*_{C,rel} = 40$

FRS15_90a; adaptierte CIELAB-Daten

u^*_d	$L^*=L^*_a$	a^*_a	b^*_a	$C^*_{ab,a}$	$h^*_{ab,a}$	u^*_e
o00y	38.8	53.92	39.68	66.95	36	r16j
o25y	47.46	42.34	51.25	66.48	50	r37j
o50y	56.54	30.2	63.39	70.22	65	r58j
o75y	67.39	15.68	77.9	79.47	79	r79j
y00l	82.58	-4.64	98.22	98.33	93	j01g
y25l	70.85	-21.66	80.19	83.07	105	j18g
y50l	61.91	-34.63	66.45	74.93	118	j36g
y75l	54.24	-45.77	54.66	71.29	130	j53g
l00c	46.95	-56.34	43.46	71.15	142	j71g
l50c	51.91	-36.84	-3.21	36.98	185	g21b
c00v	54.62	-26.2	-28.68	38.85	228	g60b
c50v	42.22	-0.61	-37.35	37.36	269	g97b
v00m	20.01	45.2	-52.87	69.56	311	b34r
v50m	29.93	57.31	-42.0	71.05	324	b45r
m00o	40.88	70.68	-29.99	76.78	337	b57r
m50o	39.77	61.72	7.23	62.15	7	b83r

$u^*_d = v00m$
 LAB^*LAB^*

LAB^*LAB^*

$i^* = 1.00$

Brillantheit i^*

$i^* = 0.80$

$i^* = 0.60$

$i^* = 0.40$

$i^* = 0.20$

$i^* = 0.00$

relative Buntheit c^*

Ein und Ausgabe: Farbmetrisches Drucker-Reflektiv-System FRS15_90a für relativen CIELAB-Buntton $h^* = lab^*h^* = h_{ab}/360 = 0.899$

Daten für jede Farbe:

lab^*tch^* und lab^*icu^*

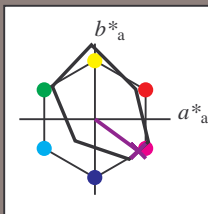
Bunttontexte:

$u^*_d = v50m$ $u^*_e = b45r$

Kontrastreduzierungsfaktor:

$c_R = 0.9$

Dreiecks-Helligkeit i^*



FRS15_90; CIELAB-Daten

u^*_d	$L^*=L^*$	a^*	b^*	C^*_{ab}	h^*_{ab}
O _M	38.8	54.41	35.65	65.05	33
Y _M	82.58	-4.04	92.72	92.8	92
L _M	46.95	-55.83	39.15	68.19	145
C _M	54.62	-25.67	-33.25	42.01	232
V _M	20.01	45.64	-56.27	72.45	309
M _M	40.88	71.17	-34.09	78.92	334
N _M	15.0	0.43	-3.23	3.26	278
W _M	90.0	0.62	-5.76	5.79	276
O _M	39.92	58.74	27.99	65.07	25
Y _M	81.26	-2.89	71.56	71.62	92
L _M	52.23	-42.42	13.6	44.55	162
V _M	30.57	1.41	-46.47	46.49	272

Daten für Maximalfarbe (Ma):

LAB^*LAB^*Ma : 30 57 -42

LAB^*LCH^*Ma : 30 71 323

lab^*olv^*Ma : 0.5 0.0 1.0

lab^*rgb^*Ma : 0.91 0.0 1.0

Dreiecks-Helligkeit i^*

%Umfang

$u^*_{rel} = 88$

%Regularität

$g^*_{H,rel} = 31$

$g^*_{C,rel} = 40$

FRS15_90a; adaptierte CIELAB-Daten

u^*_d	$L^*=L^*$	a^*_a	b^*_a	$C^*_{ab,a}$	$h^*_{ab,a}$	u^*_e
o00y	38.8	53.92	39.68	66.95	36	r16j
o25y	47.46	42.34	51.25	66.48	50	r37j
o50y	56.54	30.2	63.39	70.22	65	r58j
o75y	67.39	15.68	77.9	79.47	79	r79j
y00l	82.58	-4.64	98.22	98.33	93	j01g
y25l	70.85	-21.66	80.19	83.07	105	j18g
y50l	61.91	-34.63	66.45	74.93	118	j36g
y75l	54.24	-45.77	54.66	71.29	130	j53g
l00c	46.95	-56.34	43.46	71.15	142	j71g
l50c	51.91	-36.84	-3.21	36.98	185	g21b
c00v	54.62	-26.2	-28.68	38.85	228	g60b
c50v	42.22	-0.61	-37.35	37.36	269	g97b
v00m	20.01	45.2	-52.87	69.56	311	b34r
v50m	29.93	57.31	-42.0	71.05	324	b45r
m00o	40.88	70.68	-29.99	76.78	337	b57r
m50o	39.77	61.72	7.23	62.15	7	b83r

$u^*_d = v50m$

LAB^*LAB^*

LAB^*LAB^*

$i^*=1.00$

Brillantheit i^*

$i^*=0.80$

$i^*=0.60$

$i^*=0.40$

$i^*=0.20$

$i^*=0.00$

relative Buntheit c^*

relative Buntheit c^*

Ein und Ausgabe: Farbmetrisches Drucker-Reflektiv-System FRS15_90a für relativen CIELAB-Buntton $h^* = lab^*h^* = h_{ab}/360 = 0.936$

Daten für jede Farbe:

lab^*tch^* und lab^*icu^*

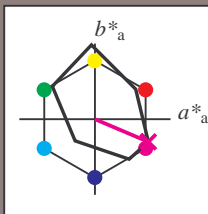
Bunttontexte:

$u^*_d = m00o$ $u^*_e = b57r$

Kontrastreduzierungsfaktor:

$c_R = 0.9$

Dreiecks-Helligkeit t^*



FRS15_90; CIELAB-Daten

u^*_d	$L^*=L^*$	a^*	b^*	C^*_{ab}	h^*_{ab}
O _M	38.8	54.41	35.65	65.05	33
Y _M	82.58	-4.04	92.72	92.8	92
L _M	46.95	-55.83	39.15	68.19	145
C _M	54.62	-25.67	-33.25	42.01	232
V _M	20.01	45.64	-56.27	72.45	309
M _M	40.88	71.17	-34.09	78.92	334
N _M	15.0	0.43	-3.23	3.26	278
W _M	90.0	0.62	-5.76	5.79	276
O _M	39.92	58.74	27.99	65.07	25
Y _M	81.26	-2.89	71.56	71.62	92
L _M	52.23	-42.42	13.6	44.55	162
V _M	30.57	1.41	-46.47	46.49	272

Daten für Maximalfarbe (Ma):

LAB^*LAB^*Ma : 41 71 -30

LAB^*LCH^*Ma : 41 77 337

lab^*olv^*Ma : 1.0 0.0 1.0

lab^*rgb^*Ma : 1.0 0.0 0.85

Dreiecks-Helligkeit t^*

%Umfang

$u^*_{rel} = 88$

%Regularität

$g^*_{H,rel} = 31$

$g^*_{C,rel} = 40$

FRS15_90a; adaptierte CIELAB-Daten

u^*_d	$L^*=L^*$	a^*_a	b^*_a	$C^*_{ab,a}$	$h^*_{ab,a}$	u^*_e
o00y	38.8	53.92	39.68	66.95	36	r16j
o25y	47.46	42.34	51.25	66.48	50	r37j
o50y	56.54	30.2	63.39	70.22	65	r58j
o75y	67.39	15.68	77.9	79.47	79	r79j
y00l	82.58	-4.64	98.22	98.33	93	j01g
y25l	70.85	-21.66	80.19	83.07	105	j18g
y50l	61.91	-34.63	66.45	74.93	118	j36g
y75l	54.24	-45.77	54.66	71.29	130	j53g
l00c	46.95	-56.34	43.46	71.15	142	j71g
l50c	51.91	-36.84	-3.21	36.98	185	g21b
c00v	54.62	-26.2	-28.68	38.85	228	g60b
c50v	42.22	-0.61	-37.35	37.36	269	g97b
v00m	20.01	45.2	-52.87	69.56	311	b34r
v50m	29.93	57.31	-42.0	71.05	324	b45r
m00o	40.88	70.68	-29.99	76.78	337	b57r
m50o	39.77	61.72	7.23	62.15	7	b83r

LAB^*LAB^*

$i^*=1.00$

Brillantheit i^*

$i^*=0.80$

$i^*=0.60$

$i^*=0.40$

$i^*=0.20$

$i^*=0.00$

relative Buntheit c^*

relative Buntheit c^*

Ein und Ausgabe: Farbmetrisches Drucker-Reflektiv-System FRS15_90a für relativen CIELAB-Buntton $h^* = \text{lab}^*h^* = h_{ab}/360 = 0.019$

Daten für jede Farbe:

lab^*ch^* und lab^*icu^*

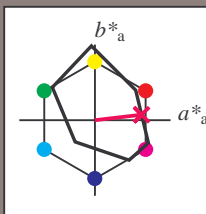
Bunttontexte:

$u^*_d = m50o$ $u^*_e = b83r$

Kontrastreduzierungsfaktor:

$c_R = 0.9$

Dreiecks-Helligkeit i^*



FRS15_90; CIELAB-Daten						
u^*_d	$L^*=L^*_a$	a^*	b^*	C^*_{ab}	h^*_{ab}	
O _M	38.8	54.41	35.65	65.05	33	
Y _M	82.58	-4.04	92.72	92.8	92	
L _M	46.95	-55.83	39.15	68.19	145	
C _M	54.62	-25.67	-33.25	42.01	232	
V _M	20.01	45.64	-56.27	72.45	309	
M _M	40.88	71.17	-34.09	78.92	334	
N _M	15.0	0.43	-3.23	3.26	278	
W _M	90.0	0.62	-5.76	5.79	276	
O _M	39.92	58.74	27.99	65.07	25	
Y _M	81.26	-2.89	71.56	71.62	92	
L _M	52.23	-42.42	13.6	44.55	162	
V _M	30.57	1.41	-46.47	46.49	272	

Daten für Maximalfarbe (Ma):

$\text{LAB}^*\text{LAB}^*_{\text{Ma}}$: 40 62 7

$\text{LAB}^*\text{LCH}^*_{\text{Ma}}$: 40 62 6

$\text{lab}^*\text{olv}^*_{\text{Ma}}$: 1.0 0.0 0.5

$\text{lab}^*\text{rgb}^*_{\text{Ma}}$: 1.0 0.0 0.33

Dreiecks-Helligkeit i^*

%Umfang

$u^*_{\text{rel}} = 88$

%Regularität

$g^*_{H,\text{rel}} = 31$

$g^*_{C,\text{rel}} = 40$

FRS15_90a; adaptierte CIELAB-Daten									
u^*_d	$L^*=L^*_a$	a^*_a	b^*_a	$C^*_{ab,a}$	$h^*_{ab,a}$	u^*_e			
o00y	38.8	53.92	39.68	66.95	36	r16j			
o25y	47.46	42.34	51.25	66.48	50	r37j			
o50y	56.54	30.2	63.39	70.22	65	r58j			
o75y	67.39	15.68	77.9	79.47	79	r79j			
y00l	82.58	-4.64	98.22	98.33	93	j01g			
y25l	70.85	-21.66	80.19	83.07	105	j18g			
y50l	61.91	-34.63	66.45	74.93	118	j36g			
y75l	54.24	-45.77	54.66	71.29	130	j53g			
l00c	46.95	-56.34	43.46	71.15	142	j71g			
l50c	51.91	-36.84	-3.21	36.98	185	g21b			
c00v	54.62	-26.2	-28.68	38.85	228	g60b			
c50v	42.22	-0.61	-37.35	37.36	269	g97b			
v00m	20.01	45.2	-52.87	69.56	311	b34r			
v50m	29.93	57.31	-42.0	71.05	324	b45r			
m00o	40.88	70.68	-29.99	76.78	337	b57r			
m50o	39.77	61.72	7.23	62.15	7	b83r			

LAB^*LAB^*

$i^*=1.00$

Brillantheit i^*

$i^*=0.80$

$i^*=0.60$

$i^*=0.40$

$i^*=0.20$

$i^*=0.00$

relative Buntheit c^*

relative Buntheit c^*

Siehe ähnliche Dateien: <http://www.ps.bam.de/Eg41/>; www.ps.bam.de/Eg41/
Technische Information: [http://www.ps.bam.de/Version 2.1, io=1.1, ColSp=0](http://www.ps.bam.de/Version%202.1,%20io=1.1,%20ColSp=0)

	A	B	C	D	E	F	G	H	I	J	K	L	M	N	O	P	Q	R	S	T	U	V	W	X	Y	Z	a	b	c	d	e	f	g	h	i	j	k	LAB*LAB*																																																																																																																																																																																																																																																																																																																																																																																																																																																																																																																																																																																																																																																																																																																																																																																																																																																																																																																																																																																																																																																																																																											
01	15.0	19.0	23.0	27.0	31.0	35.0	39.0	43.0	47.0	51.0	55.0	59.0	63.0	67.0	71.0	75.0	79.0	83.0	87.0	91.0	95.0	99.0	103.0	107.0	111.0	115.0	119.0	123.0	127.0	131.0	135.0	139.0	143.0	147.0	151.0	155.0	159.0	163.0	167.0	171.0	175.0	179.0	183.0	187.0	191.0	195.0	199.0	203.0	207.0	211.0	215.0	219.0	223.0	227.0	231.0	235.0	239.0	243.0	247.0	251.0	255.0	259.0	263.0	267.0	271.0	275.0	279.0	283.0	287.0	291.0	295.0	299.0	303.0	307.0	311.0	315.0	319.0	323.0	327.0	331.0	335.0	339.0	343.0	347.0	351.0	355.0	359.0	363.0	367.0	371.0	375.0	379.0	383.0	387.0	391.0	395.0	399.0	403.0	407.0	411.0	415.0	419.0	423.0	427.0	431.0	435.0	439.0	443.0	447.0	451.0	455.0	459.0	463.0	467.0	471.0	475.0	479.0	483.0	487.0	491.0	495.0	499.0	503.0	507.0	511.0	515.0	519.0	523.0	527.0	531.0	535.0	539.0	543.0	547.0	551.0	555.0	559.0	563.0	567.0	571.0	575.0	579.0	583.0	587.0	591.0	595.0	599.0	603.0	607.0	611.0	615.0	619.0	623.0	627.0	631.0	635.0	639.0	643.0	647.0	651.0	655.0	659.0	663.0	667.0	671.0	675.0	679.0	683.0	687.0	691.0	695.0	699.0	703.0	707.0	711.0	715.0	719.0	723.0	727.0	731.0	735.0	739.0	743.0	747.0	751.0	755.0	759.0	763.0	767.0	771.0	775.0	779.0	783.0	787.0	791.0	795.0	799.0	803.0	807.0	811.0	815.0	819.0	823.0	827.0	831.0	835.0	839.0	843.0	847.0	851.0	855.0	859.0	863.0	867.0	871.0	875.0	879.0	883.0	887.0	891.0	895.0	899.0	903.0	907.0	911.0	915.0	919.0	923.0	927.0	931.0	935.0	939.0	943.0	947.0	951.0	955.0	959.0	963.0	967.0	971.0	975.0	979.0	983.0	987.0	991.0	995.0	999.0	1003.0	1007.0	1011.0	1015.0	1019.0	1023.0	1027.0	1031.0	1035.0	1039.0	1043.0	1047.0	1051.0	1055.0	1059.0	1063.0	1067.0	1071.0	1075.0	1079.0	1083.0	1087.0	1091.0	1095.0	1099.0	1103.0	1107.0	1111.0	1115.0	1119.0	1123.0	1127.0	1131.0	1135.0	1139.0	1143.0	1147.0	1151.0	1155.0	1159.0	1163.0	1167.0	1171.0	1175.0	1179.0	1183.0	1187.0	1191.0	1195.0	1199.0	1203.0	1207.0	1211.0	1215.0	1219.0	1223.0	1227.0	1231.0	1235.0	1239.0	1243.0	1247.0	1251.0	1255.0	1259.0	1263.0	1267.0	1271.0	1275.0	1279.0	1283.0	1287.0	1291.0	1295.0	1299.0	1303.0	1307.0	1311.0	1315.0	1319.0	1323.0	1327.0	1331.0	1335.0	1339.0	1343.0	1347.0	1351.0	1355.0	1359.0	1363.0	1367.0	1371.0	1375.0	1379.0	1383.0	1387.0	1391.0	1395.0	1399.0	1403.0	1407.0	1411.0	1415.0	1419.0	1423.0	1427.0	1431.0	1435.0	1439.0	1443.0	1447.0	1451.0	1455.0	1459.0	1463.0	1467.0	1471.0	1475.0	1479.0	1483.0	1487.0	1491.0	1495.0	1499.0	1503.0	1507.0	1511.0	1515.0	1519.0	1523.0	1527.0	1531.0	1535.0	1539.0	1543.0	1547.0	1551.0	1555.0	1559.0	1563.0	1567.0	1571.0	1575.0	1579.0	1583.0	1587.0	1591.0	1595.0	1599.0	1603.0	1607.0	1611.0	1615.0	1619.0	1623.0	1627.0	1631.0	1635.0	1639.0	1643.0	1647.0	1651.0	1655.0	1659.0	1663.0	1667.0	1671.0	1675.0	1679.0	1683.0	1687.0	1691.0	1695.0	1699.0	1703.0	1707.0	1711.0	1715.0	1719.0	1723.0	1727.0	1731.0	1735.0	1739.0	1743.0	1747.0	1751.0	1755.0	1759.0	1763.0	1767.0	1771.0	1775.0	1779.0	1783.0	1787.0	1791.0	1795.0	1799.0	1803.0	1807.0	1811.0	1815.0	1819.0	1823.0	1827.0	1831.0	1835.0	1839.0	1843.0	1847.0	1851.0	1855.0	1859.0	1863.0	1867.0	1871.0	1875.0	1879.0	1883.0	1887.0	1891.0	1895.0	1899.0	1903.0	1907.0	1911.0	1915.0	1919.0	1923.0	1927.0	1931.0	1935.0	1939.0	1943.0	1947.0	1951.0	1955.0	1959.0	1963.0	1967.0	1971.0	1975.0	1979.0	1983.0	1987.0	1991.0	1995.0	1999.0	2003.0	2007.0	2011.0	2015.0	2019.0	2023.0	2027.0	2031.0	2035.0	2039.0	2043.0	2047.0	2051.0	2055.0	2059.0	2063.0	2067.0	2071.0	2075.0	2079.0	2083.0	2087.0	2091.0	2095.0	2099.0	2103.0	2107.0	2111.0	2115.0	2119.0	2123.0	2127.0	2131.0	2135.0	2139.0	2143.0	2147.0	2151.0	2155.0	2159.0	2163.0	2167.0	2171.0	2175.0	2179.0	2183.0	2187.0	2191.0	2195.0	2199.0	2203.0	2207.0	2211.0	2215.0	2219.0	2223.0	2227.0	2231.0	2235.0	2239.0	2243.0	2247.0	2251.0	2255.0	2259.0	2263.0	2267.0	2271.0	2275.0	2279.0	2283.0	2287.0	2291.0	2295.0	2299.0	2303.0	2307.0	2311.0	2315.0	2319.0	2323.0	2327.0	2331.0	2335.0	2339.0	2343.0	2347.0	2351.0	2355.0	2359.0	2363.0	2367.0	2371.0	2375.0	2379.0	2383.0	2387.0	2391.0	2395.0	2399.0	2403.0	2407.0	2411.0	2415.0	2419.0	2423.0	2427.0	2431.0	2435.0	2439.0	2443.0	2447.0	2451.0	2455.0	2459.0	2463.0	2467.0	2471.0	2475.0	2479.0	2483.0	2487.0	2491.0	2495.0	2499.0	2503.0	2507.0	2511.0	2515.0	2519.0	2523.0	2527.0	2531.0	2535.0	2539.0	2543.0	2547.0	2551.0	2555.0	2559.0	2563.0	2567.0	2571.0	2575.0	2579.0	2583.0	2587.0	2591.0	2595.0	2599.0	2603.0	2607.0	2611.0	2615.0	2619.0	2623.0	2627.0	2631.0	2635.0	2639.0	2643.0	2647.0	2651.0	2655.0	2659.0	2663.0	2667.0	2671.0	2675.0	2679.0	2683.0	2687.0	2691.0	2695.0	2699.0	2703.0	2707.0	2711.0	2715.0	2719.0	2723.0	2727.0	2731.0	2735.0	2739.0	2743.0	2747.0	2751.0	2755.0	2759.0	2763.0	2767.0	2771.0	2775.0	2779.0	2783.0	2787.0	2791.0	2795.0	2799.0	2803.0	2807.0	2811.0	2815.0	2819.0	2823.0	2827.0	2831.0	2835.0	2839.0	2843.0	2847.0	2851.0	2855.0	2859.0	2863.0	2867.0	2871.0	2875.0	2879.0	2883.0	2887.0	2891.0	2895.0	2899.0	2903.0	2907.0	2911.0	2915.0	2919.0	2923.0	2927.0	2931.0	2935.0	2939.0	2943.0	2947.0	2951.0	2955.0	2959.0	2963.0	2967.0	2971.0	2975.0	2979.0	2983.0	2987.0	2991.0	2995.0	2999.0	3003.0	3007.0	3011.0	3015.0	3019.0	3023.0	3027.0	3031.0	3035.0	3039.0	3043.0	3047.0	3051.0	3055.0	3059.0	3063.0	3067.0	3071.0	3075.0	3079.0	3083.0	3087.0	3091.0	3095.0	3099.0	3103.0	3107.0	3111.0	3115.0	3119.0	3123.0	3127.0	3131.0	3135.0	3139.0	3143.0	3147.0	3151.0	3155.0	3159.0	3163.0	3167.0	3171.0	3175.0	3179.0	3183.0	3187.0	3191.0	3195.0	3199.0	3203.0	3207.0	3211.0	3215.0	3219.0	3223.0	3227.0	3231.0	3235.0	3239.0	3243.0	3247.0	3251.0	3255.0	3259.0	3263.0	3267.0	3271.0	3275.0	3279.0	3283.0	3287.0	3291.0	3295.0	3299.0	3303.0	3307.0	3311.0	3315.0	3319.0	3323.0	3327.0	3331.0	3335.0	3339.0	3343.0	3347.0	3351.0	3355.0	3359.0	3363.0	3367.0	3371.0	3375.0	3379.0	3383.0	3387.0	3391.0	3395.0	3399.0	3403.0	3407.0	3411.0	3415.0	3419.0	3423.0	3427.0	3431.0	3435.0	3439.0	3443.0	3447.0	3451.0	3455.0	3459.0	3463.0	3467.0	3471.0	3475.0	3479.0	3483.0	3487.0	3491.0	3495.0	3499.0	3503.0	3507.0	3511.0	3515.0	3519.0	3523.0	3527.0	3531.0	3535.0	3539.0	3543.0	3547.0	3551.0	3555.0	3559.0	3563.0	3567.0	3571.0	3575.0	3579.0	3583.0	3587.0	3591.0	3595.0	3599.0	3603.0	3607.0	3611.0	3615.0	3619.0	3623.0	3627.0	3631.0	3635.0	3639.0	3643.0	3647.0	3651.0	3655.0	3659.0	3663.0	3667.0	3671.0	3675.0	3679.0	3683.0	3687.0	3691.0	3695.0	3699.0	3703.0	3707.0	3711.0	3715.0	3719.0	3723.0	3727.0	3731.0	3735.0	3739.0	3743.0	3747.0	3751.0	3755.0	3759.0	3763.0	3767.0	3771.0	3775.0	3779.0	3783.0	3787.0	3791.0	3795.0	3799.0	3803.0	3807.0	3811.0	3815.0	3819.0	3823.0	3827.0	3831.0	3835.0	3839.0	3843.0	3847.0	3851.0	3855.0	3859.0	3863.0	3867.0	3871.0	3875.0	3879.0	3883.0	3887.0	3891.0	3895.0	3899.0	3903.0	3907.0	3911.0	3915.0	3919.0	3923.0	3927.0	3931.0	3935.0	3939.0	3943.0	3947.0	3951.0	3955.0	3959.0	3963.0	3967.0	3971.0	3975.0	3979.0	3983.0	3987.0	3991.0	3995.0	3999.0	4003.0	4007.0	4011.0	4015.0	4019.0	4023.0	4027.0	4031.0	4035.0	4039.0	4043.0	4047.0	4051.0	4055.0	4059.0	4063.0	4067.0	4071.0	4075.0	4079.0	4083.0	4087.0	4091.0	4095.0	4099.0	4103.0	4107.0	4111.0	4115.0	4119.0	4123.0	4127.0	4131.0	4135.0	4139.0	4143.0	4147.0	4151.0	4155.0	4159.0	4163.0	4167.0	4171.0	4175.0	4179.0	4183.0	4187.0	4191.0	4195.0	4199.0	4203.0	4207.0	4211.0	4215.0	4219.0	4223.0	4227.0	4231.0	4235.0	4239.0	4243.0	4247.0	4251.0	4255.0	4259.0	4263.0	4267.0	4271.0	4275.0	4279.0	4283.0	4287.0	4291.0	4295.0	4299.0	4303.0	4307.0	4311.0	4315.0	4319.0	4323.0	4327.0	4331.0	4335.0	4339.0	4343.0	4347.0	4351.0	4355.0	4359.0	4363.0	4367.0	4371.0	4375.0	4379.0	4383.0	4387.0	4391.0	4395.0	4399.0	4403.0	4407.0	4411.0	4415.0	4419.0	4423.0	4427.0	4431.0

Ein und Ausgabe:
Farbmetrisches Drucker-Reflektiv-System FRS15_90a
Daten für jede Farbe:

u^*_d und Nummer $Nr.$ = 00 .. 15

Geräte-Bunttontext:

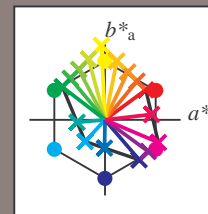
u^*_d = 16 Bunttoene $o00y$, $o25y$, ..., $m50o$

Kontrastreduzierungsfaktor:

$c_R = 0.9$

FRS15_90a; adaptierte CIELAB-Daten

u^*_d	$L^*=L^*_a$	a^*_a	b^*_a	$C^*_{ab,a}$	$h^*_{ab,a}$	u^*_e
$o00y$	38.8	53.92	39.68	66.95	36	$r16j$
$o25y$	47.46	42.34	51.25	66.48	50	$r37j$
$o50y$	56.54	30.2	63.39	70.22	65	$r58j$
$o75y$	67.39	15.68	77.9	79.47	79	$r79j$
$y00l$	82.58	-4.64	98.22	98.33	93	$j01g$
$y25l$	70.85	-21.66	80.19	83.07	105	$j18g$
$y50l$	61.91	-34.63	66.45	74.93	118	$j36g$
$y75l$	54.24	-45.77	54.66	71.29	130	$j53g$
$l00c$	46.95	-56.34	43.46	71.15	142	$j71g$
$l50c$	51.91	-36.84	-3.21	36.98	185	$g21b$
$c00v$	54.62	-26.2	-28.68	38.85	228	$g60b$
$c50v$	42.22	-0.61	-37.35	37.36	269	$g97b$
$v00m$	20.01	45.2	-52.87	69.56	311	$b34r$
$v50m$	29.93	57.31	-42.0	71.05	324	$b45r$
$m00o$	40.88	70.68	-29.99	76.78	337	$b57r$
$m50o$	39.77	61.72	7.23	62.15	7	$b83r$



%Umfang

$u^*_{rel} = 88$

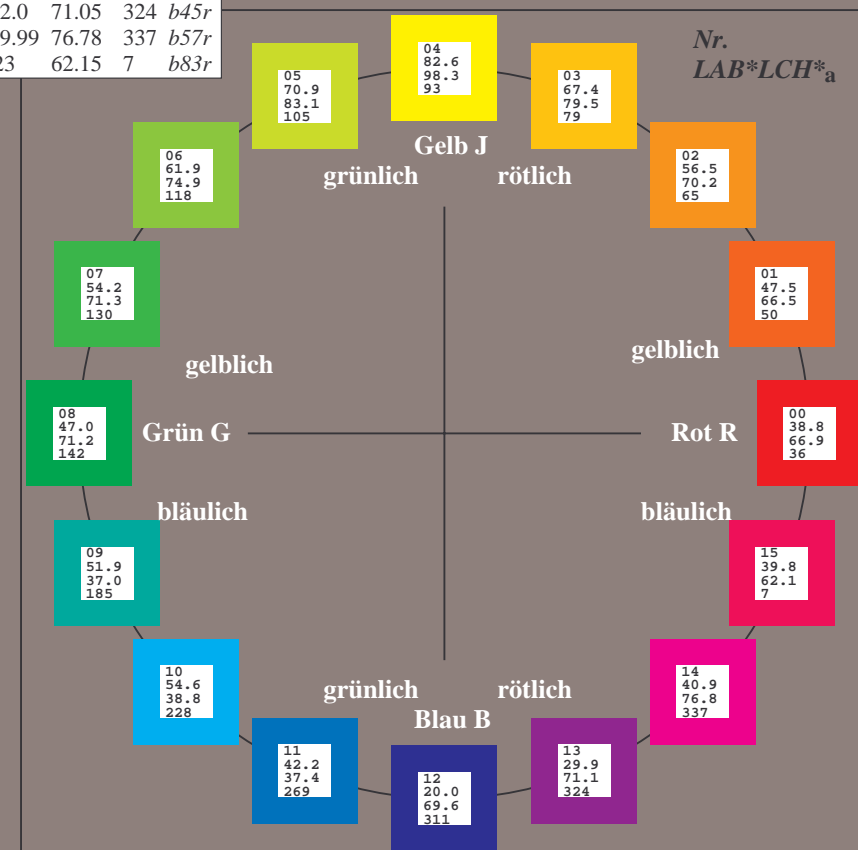
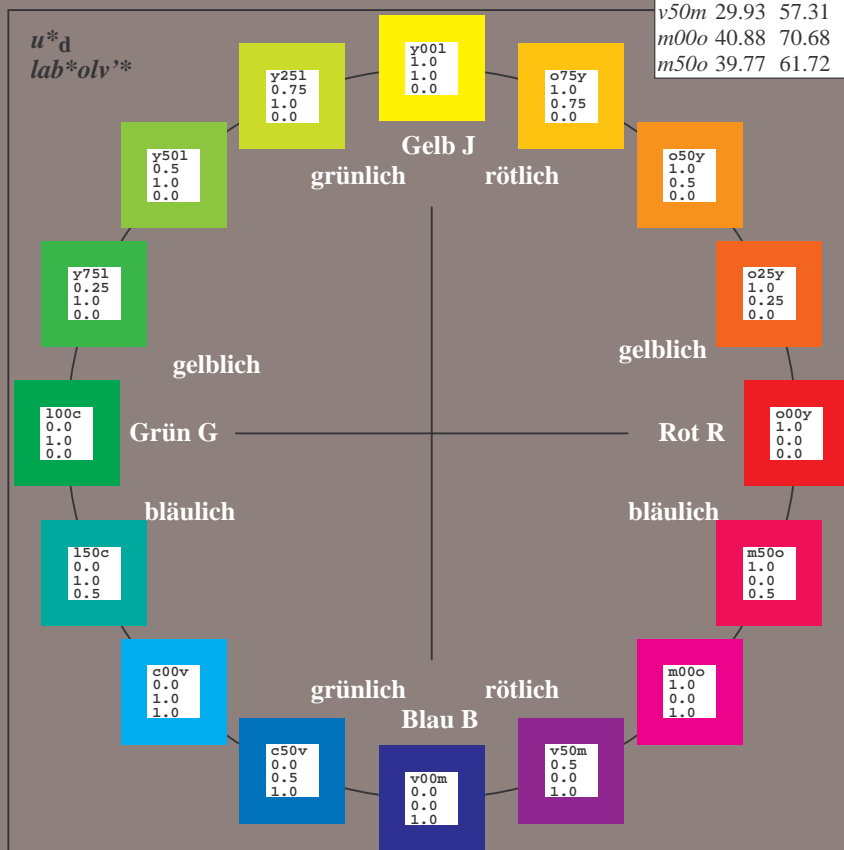
%Regularität

$g^*_{H,rel} = 31$

$g^*_{C,rel} = 40$

FRS15_90a; CIELAB-Daten

Name	$L^*=L^*$	a^*	b^*	C^*_{ab}	h^*_{ab}
O_M	38.8	54.41	35.65	65.05	33
Y_M	82.58	-4.04	92.72	92.8	92
L_M	46.95	-55.83	39.15	68.19	145
C_M	54.62	-25.67	-33.25	42.01	232
V_M	20.01	45.64	-56.27	72.45	309
M_M	40.88	71.17	-34.09	78.92	334
N_M	15.0	0.43	-3.23	3.26	278
W_M	90.0	0.62	-5.76	5.79	276
O_{CIE}	39.92	58.74	27.99	65.07	25
Y_{CIE}	81.26	-2.89	71.56	71.62	92
L_{CIE}	52.23	-42.42	13.6	44.55	162
V_{CIE}	30.57	1.41	-46.47	46.49	272



Ein und Ausgabe: Farbmetrisches Drucker-Reflektiv-System FRS15_90a für relativen CIELAB-Buntton $h^* = lab^*h^* = h_{ab}/360 = 0.101$

Daten für jede Farbe:

lab^*tch^* und lab^*icu^*

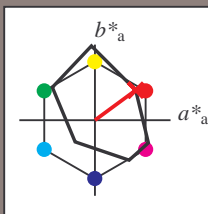
Bunttontexte:

$u^*_d = o00y$ $u^*_e = r16j$

Kontrastreduzierungsfaktor:

$c_R = 0.9$

Dreiecks-Helligkeit i^*



FRS15_90a; CIELAB-Daten

u^*_d	$L^*=L^*_a$	a^*	b^*	C^*_{ab}	h^*_{ab}
O _M	38.8	54.41	35.65	65.05	33
Y _M	82.58	-4.04	92.72	92.8	92
L _M	46.95	-55.83	39.15	68.19	145
C _M	54.62	-25.67	-33.25	42.01	232
V _M	20.01	45.64	-56.27	72.45	309
M _M	40.88	71.17	-34.09	78.92	334
N _M	15.0	0.43	-3.23	3.26	278
W _M	90.0	0.62	-5.76	5.79	276
O _M	39.92	58.74	27.99	65.07	25
Y _M	81.26	-2.89	71.56	71.62	92
L _M	52.23	-42.42	13.6	44.55	162
V _M	30.57	1.41	-46.47	46.49	272

Daten für Maximalfarbe (Ma):

$LAB^*LAB^*_{Ma}$: 39 54 40

$LAB^*LCH^*_{Ma}$: 39 67 36

$lab^*olv^*_{Ma}$: 1.0 0.0 0.0

$lab^*rgb^*_{Ma}$: 1.0 0.16 0.0

Dreiecks-Helligkeit i^*

%Umfang

$u^*_{rel} = 88$

%Regularität

$g^*_{H,rel} = 31$

$g^*_{C,rel} = 40$

FRS15_90a; adaptierte CIELAB-Daten

u^*_d	$L^*=L^*_a$	a^*_a	b^*_a	$C^*_{ab,a}$	$h^*_{ab,a}$	u^*_e
o00y	38.8	53.92	39.68	66.95	36	r16j
o25y	47.46	42.34	51.25	66.48	50	r37j
o50y	56.54	30.2	63.39	70.22	65	r58j
o75y	67.39	15.68	77.9	79.47	79	r79j
y00l	82.58	-4.64	98.22	98.33	93	j01g
y25l	70.85	-21.66	80.19	83.07	105	j18g
y50l	61.91	-34.63	66.45	74.93	118	j36g
y75l	54.24	-45.77	54.66	71.29	130	j53g
l00c	46.95	-56.34	43.46	71.15	142	j71g
l50c	51.91	-36.84	-3.21	36.98	185	g21b
c00v	54.62	-26.2	-28.68	38.85	228	g60b
c50v	42.22	-0.61	-37.35	37.36	269	g97b
v00m	20.01	45.2	-52.87	69.56	311	b34r
v50m	29.93	57.31	-42.0	71.05	324	b45r
m00o	40.88	70.68	-29.99	76.78	337	b57r
m50o	39.77	61.72	7.23	62.15	7	b83r

lab^*olv^*

$i^* = 1.00$

Brillantheit i^*

$i^* = 0.80$

$i^* = 0.60$

$i^* = 0.40$

$i^* = 0.20$

relative Buntheit c^*

relative Buntheit c^*

Ein und Ausgabe: Farbmetrisches Drucker-Reflektiv-System FRS15_90a für relativen CIELAB-Buntton $h^* = lab^*h^* = h_{ab}/360 = 0.14$

Daten für jede Farbe:

lab^*tch^* und lab^*icu^*

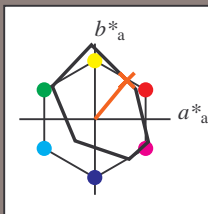
Bunttontexte:

$u^*_d = o25y$ $u^*_e = r37j$

Kontrastreduzierungsfaktor:

$c_R = 0.9$

Dreiecks-Helligkeit t^*



FRS15_90a; CIELAB-Daten

u^*_d	$L^*=L^*$	a^*	b^*	C^*_{ab}	h^*_{ab}
O _M	38.8	54.41	35.65	65.05	33
Y _M	82.58	-4.04	92.72	92.8	92
L _M	46.95	-55.83	39.15	68.19	145
C _M	54.62	-25.67	-33.25	42.01	232
V _M	20.01	45.64	-56.27	72.45	309
M _M	40.88	71.17	-34.09	78.92	334
N _M	15.0	0.43	-3.23	3.26	278
W _M	90.0	0.62	-5.76	5.79	276
O _M	39.92	58.74	27.99	65.07	25
Y _M	81.26	-2.89	71.56	71.62	92
L _M	52.23	-42.42	13.6	44.55	162
V _M	30.57	1.41	-46.47	46.49	272

Daten für Maximalfarbe (Ma):

$LAB^*LAB^*_{Ma}$: 47 42 51

$LAB^*LCH^*_{Ma}$: 47 66 50

$lab^*olv^*_{Ma}$: 1.0 0.25 0.0

$lab^*rgb^*_{Ma}$: 1.0 0.37 0.0

Dreiecks-Helligkeit t^*

%Umfang

$u^*_{rel} = 88$

%Regularität

$g^*_{H,rel} = 31$

$g^*_{C,rel} = 40$

FRS15_90a; adaptierte CIELAB-Daten

u^*_d	$L^*=L^*$	a^*_a	b^*_a	$C^*_{ab,a}$	$h^*_{ab,a}$	u^*_e
o00y	38.8	53.92	39.68	66.95	36	r16j
o25y	47.46	42.34	51.25	66.48	50	r37j
o50y	56.54	30.2	63.39	70.22	65	r58j
o75y	67.39	15.68	77.9	79.47	79	r79j
y00l	82.58	-4.64	98.22	98.33	93	j01g
y25l	70.85	-21.66	80.19	83.07	105	j18g
y50l	61.91	-34.63	66.45	74.93	118	j36g
y75l	54.24	-45.77	54.66	71.29	130	j53g
l00c	46.95	-56.34	43.46	71.15	142	j71g
l50c	51.91	-36.84	-3.21	36.98	185	g21b
c00v	54.62	-26.2	-28.68	38.85	228	g60b
c50v	42.22	-0.61	-37.35	37.36	269	g97b
v00m	20.01	45.2	-52.87	69.56	311	b34r
v50m	29.93	57.31	-42.0	71.05	324	b45r
m00o	40.88	70.68	-29.99	76.78	337	b57r
m50o	39.77	61.72	7.23	62.15	7	b83r

lab^*olv^*

$i^* = 1.00$

Brillantheit i^*

$i^* = 0.80$

$i^* = 0.60$

$i^* = 0.40$

$i^* = 0.20$

$i^* = 0.00$

relative Bunttheit c^*

Ein und Ausgabe: Farbmetrisches Drucker-Reflektiv-System FRS15_90a für relativen CIELAB-Buntton $h^* = lab^*h^* = h_{ab}/360 = 0.179$

Daten für jede Farbe:

lab^*tch^* und lab^*icu^*

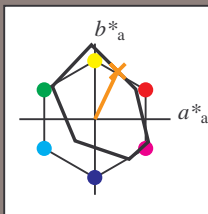
Bunttontexte:

$u^*_d = o50y$ $u^*_e = r58j$

Kontrastreduzierungsfaktor:

$c_R = 0.9$

Dreiecks-Helligkeit i^*



FRS15_90a; CIELAB-Daten						
u^*_d	$L^*=L^*$	a^*	b^*	C^*_{ab}	h^*_{ab}	
O _M	38.8	54.41	35.65	65.05	33	
Y _M	82.58	-4.04	92.72	92.8	92	
L _M	46.95	-55.83	39.15	68.19	145	
C _M	54.62	-25.67	-33.25	42.01	232	
V _M	20.01	45.64	-56.27	72.45	309	
M _M	40.88	71.17	-34.09	78.92	334	
N _M	15.0	0.43	-3.23	3.26	278	
W _M	90.0	0.62	-5.76	5.79	276	
O _M	39.92	58.74	27.99	65.07	25	
Y _M	81.26	-2.89	71.56	71.62	92	
L _M	52.23	-42.42	13.6	44.55	162	
V _M	30.57	1.41	-46.47	46.49	272	

Daten für Maximalfarbe (Ma):

$LAB^*LAB^*_{Ma}$: 57 30 63

$LAB^*LCH^*_{Ma}$: 57 70 64

$lab^*olv^*_{Ma}$: 1.0 0.5 0.0

$lab^*rgb^*_{Ma}$: 1.0 0.58 0.0

Dreiecks-Helligkeit i^*

%Umfang

$u^*_{rel} = 88$

%Regularität

$g^*_{H,rel} = 31$

$g^*_{C,rel} = 40$

FRS15_90a; adaptierte CIELAB-Daten									
u^*_d	$L^*=L^*$	a^*_a	b^*_a	$C^*_{ab,a}$	$h^*_{ab,a}$	u^*_e			
o00y	38.8	53.92	39.68	66.95	36	r16j			
o25y	47.46	42.34	51.25	66.48	50	r37j			
o50y	56.54	30.2	63.39	70.22	65	r58j			
o75y	67.39	15.68	77.9	79.47	79	r79j			
y00l	82.58	-4.64	98.22	98.33	93	j01g			
y25l	70.85	-21.66	80.19	83.07	105	j18g			
y50l	61.91	-34.63	66.45	74.93	118	j36g			
y75l	54.24	-45.77	54.66	71.29	130	j53g			
l00c	46.95	-56.34	43.46	71.15	142	j71g			
l50c	51.91	-36.84	-3.21	36.98	185	g21b			
c00v	54.62	-26.2	-28.68	38.85	228	g60b			
c50v	42.22	-0.61	-37.35	37.36	269	g97b			
v00m	20.01	45.2	-52.87	69.56	311	b34r			
v50m	29.93	57.31	-42.0	71.05	324	b45r			
m00o	40.88	70.68	-29.99	76.78	337	b57r			
m50o	39.77	61.72	7.23	62.15	7	b83r			

lab^*olv^*

$i^* = 1.00$

Brillantheit i^*

$i^* = 0.80$

$i^* = 0.60$

$i^* = 0.40$

$i^* = 0.20$

$i^* = 0.00$

Ein und Ausgabe: Farbmimetrisches Drucker-Reflektiv-System FRS15_90a für relativen CIELAB-Buntton $h^* = lab^*h^* = h_{ab}/360 = 0.218$

Daten für jede Farbe:

lab^*tch^* und lab^*icu^*

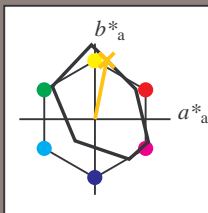
Bunttontexte:

$u^*_d = 0.75y$ $u^*_e = r79j$

Kontrastreduzierungsfaktor:

$c_R = 0.9$

Dreiecks-Helligkeit i^*



FRS15_90a; CIELAB-Daten

u^*_d	$L^*=L^*$	a^*	b^*	C^*_{ab}	h^*_{ab}
O _M	38.8	54.41	35.65	65.05	33
Y _M	82.58	-4.04	92.72	92.8	92
L _M	46.95	-55.83	39.15	68.19	145
C _M	54.62	-25.67	-33.25	42.01	232
V _M	20.01	45.64	-56.27	72.45	309
M _M	40.88	71.17	-34.09	78.92	334
N _M	15.0	0.43	-3.23	3.26	278
W _M	90.0	0.62	-5.76	5.79	276
O _M	39.92	58.74	27.99	65.07	25
Y _M	81.26	-2.89	71.56	71.62	92
L _M	52.23	-42.42	13.6	44.55	162
V _M	30.57	1.41	-46.47	46.49	272

Daten für Maximalfarbe (Ma):

$LAB^*LAB^*_{Ma}$: 67 16 78

$LAB^*LCH^*_{Ma}$: 67 79 78

$lab^*olv^*_{Ma}$: 1.0 0.75 0.0

$lab^*rgb^*_{Ma}$: 1.0 0.8 0.0

Dreiecks-Helligkeit i^*

%Umfang

$u^*_{rel} = 88$

%Regularität

$g^*_{H,rel} = 31$

$g^*_{C,rel} = 40$

FRS15_90a; adaptierte CIELAB-Daten

u^*_d	$L^*=L^*$	a^*_a	b^*_a	$C^*_{ab,a}$	$h^*_{ab,a}$	u^*_e
o00y	38.8	53.92	39.68	66.95	36	r16j
o25y	47.46	42.34	51.25	66.48	50	r37j
o50y	56.54	30.2	63.39	70.22	65	r58j
o75y	67.39	15.68	77.9	79.47	79	r79j
y00l	82.58	-4.64	98.22	98.33	93	j01g
y25l	70.85	-21.66	80.19	83.07	105	j18g
y50l	61.91	-34.63	66.45	74.93	118	j36g
y75l	54.24	-45.77	54.66	71.29	130	j53g
l00c	46.95	-56.34	43.46	71.15	142	j71g
l50c	51.91	-36.84	-3.21	36.98	185	g21b
c00v	54.62	-26.2	-28.68	38.85	228	g60b
c50v	42.22	-0.61	-37.35	37.36	269	g97b
v00m	20.01	45.2	-52.87	69.56	311	b34r
v50m	29.93	57.31	-42.0	71.05	324	b45r
m00o	40.88	70.68	-29.99	76.78	337	b57r
m50o	39.77	61.72	7.23	62.15	7	b83r

lab^*olv^*

$i^* = 1.00$

Brillantheit i^*

$i^* = 0.80$

$i^* = 0.60$

$i^* = 0.40$

$i^* = 0.20$

$i^* = 0.00$

Ein und Ausgabe: Farbmetrisches Drucker-Reflektiv-System FRS15_90a für relativen CIELAB-Buntton $h^* = lab^*h^* = h_{ab}/360 = 0.258$

Daten für jede Farbe:

lab^*tch^* und lab^*icu^*

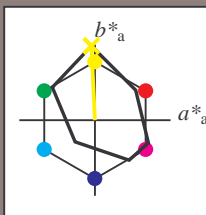
Bunttontexte:

$u^*_d = y00l$ $u^*_e = j0l1g$

Kontrastreduzierungsfaktor:

$c_R = 0.9$

Dreiecks-Helligkeit t^*



FRS15_90a; CIELAB-Daten						
u^*_d	$L^*=L^*$	a^*	b^*	C^*_{ab}	h^*_{ab}	
O _M	38.8	54.41	35.65	65.05	33	
Y _M	82.58	-4.04	92.72	92.8	92	
L _M	46.95	-55.83	39.15	68.19	145	
C _M	54.62	-25.67	-33.25	42.01	232	
V _M	20.01	45.64	-56.27	72.45	309	
M _M	40.88	71.17	-34.09	78.92	334	
N _M	15.0	0.43	-3.23	3.26	278	
W _M	90.0	0.62	-5.76	5.79	276	
O _M	39.92	58.74	27.99	65.07	25	
Y _M	81.26	-2.89	71.56	71.62	92	
L _M	52.23	-42.42	13.6	44.55	162	
V _M	30.57	1.41	-46.47	46.49	272	

Daten für Maximalfarbe (Ma):

$LAB^*LAB^*_{Ma}$: 83 -5 98

$LAB^*LCH^*_{Ma}$: 83 98 92

$lab^*olv^*_{Ma}$: 1.0 1.0 0.0

$lab^*rgb^*_{Ma}$: 0.99 1.0 0.0

Dreiecks-Helligkeit t^*

%Umfang

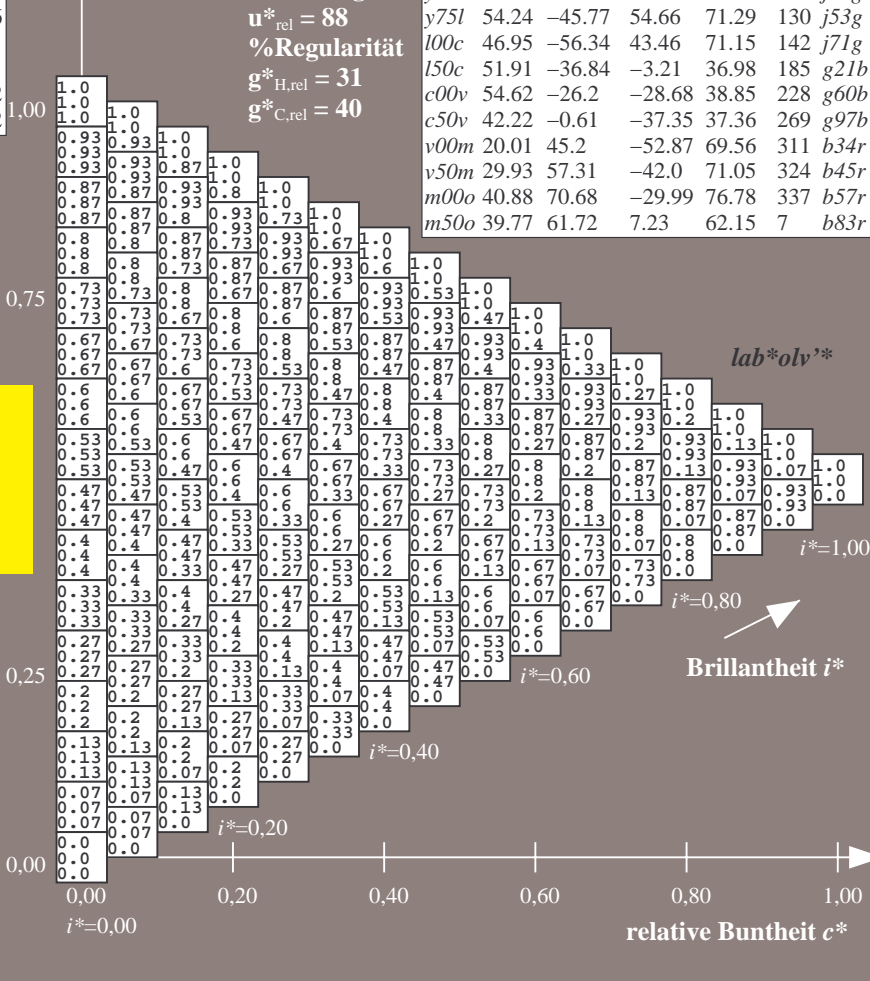
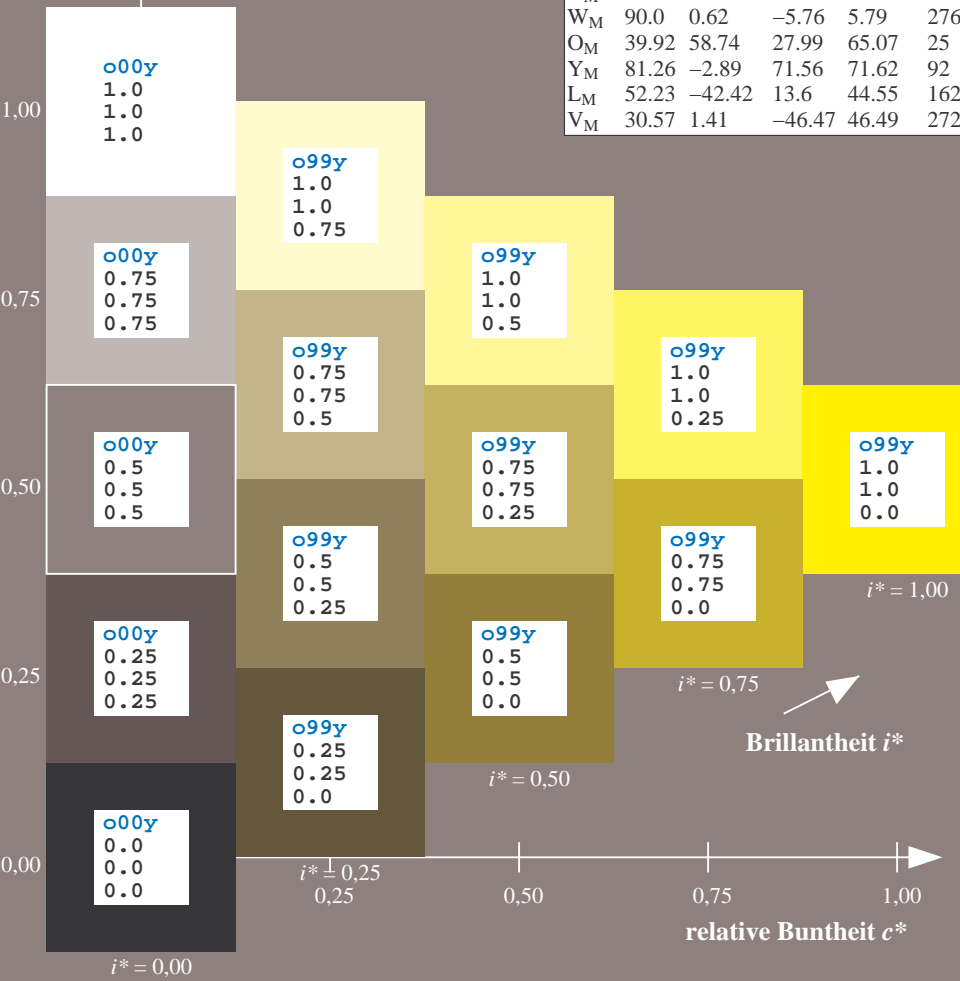
$u^*_{rel} = 88$

%Regularität

$g^*_{H,rel} = 31$

$g^*_{C,rel} = 40$

FRS15_90a; adaptierte CIELAB-Daten									
u^*_d	$L^*=L^*$	a^*	b^*	$C^*_{ab,a}$	$h^*_{ab,a}$	u^*_e			
o00y	38.8	53.92	39.68	66.95	36	r16j			
o25y	47.46	42.34	51.25	66.48	50	r37j			
o50y	56.54	30.2	63.39	70.22	65	r58j			
o75y	67.39	15.68	77.9	79.47	79	r79j			
y00l	82.58	-4.64	98.22	98.33	93	j01g			
y25l	70.85	-21.66	80.19	83.07	105	j18g			
y50l	61.91	-34.63	66.45	74.93	118	j36g			
y75l	54.24	-45.77	54.66	71.29	130	j53g			
l00c	46.95	-56.34	43.46	71.15	142	j71g			
l50c	51.91	-36.84	-3.21	36.98	185	g21b			
c00v	54.62	-26.2	-28.68	38.85	228	g60b			
c50v	42.22	-0.61	-37.35	37.36	269	g97b			
v00m	20.01	45.2	-52.87	69.56	311	b34r			
v50m	29.93	57.31	-42.0	71.05	324	b45r			
m00o	40.88	70.68	-29.99	76.78	337	b57r			
m50o	39.77	61.72	7.23	62.15	7	b83r			



Ein und Ausgabe: Farbmétrisches Drucker-Reflektiv-System FRS15_90a für relativen CIELAB-Buntton $h^* = lab^*h^* = h_{ab}/360 = 0.292$

Daten für jede Farbe:

*lab*tch** und *lab*icu**

Bunttexte:

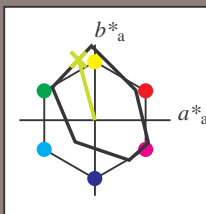
$$u_d^* = y25l \quad u_e^* = j18g$$

Kontrastreduzierungsfaktor:

 $c_D = 0.9$

K Dreiecks-Helligkeit t^*

Dricks-Hemigken



FRS15_90a; CIELAB-Daten						
u^*_d	$L^*=L^*$	a^*	b^*	C^*_{ab}	h^*_{ab}	
O _M	38.8	54.41	35.65	65.05	33	
Y _M	82.58	-4.04	92.72	92.8	92	
L _M	46.95	-55.83	39.15	68.19	143	
C _M	54.62	-25.67	-33.25	42.01	233	
V _M	20.01	45.64	-56.27	72.45	309	
M _M	40.88	71.17	-34.09	78.92	334	
N _M	15.0	0.43	-3.23	3.26	278	
W _M	90.0	0.62	-5.76	5.79	270	
O _M	39.92	58.74	27.99	65.07	25	
Y _M	81.26	-2.89	71.56	71.62	92	
L _M	52.23	-42.42	13.6	44.55	163	
V _M	30.57	1.41	-46.47	46.49	277	

Daten für Maximalfarbe (Ma):

LAB*LAB*Me: 71 -22 80

LAD*LGII* 71 22 105

LAB*LCH*Ma: 71 83 10

*lab*olv**Ma: 0.75 1.0 0.0

*lab*rgb**M_a: 0.82 1.0 0.0

Dreiecks-Helligkeit t^*

%Umfang

$$\mathbf{u}_{\text{rel}}^* = 88$$

%Regular

$$g^*_{H,rel} = 31$$
$$g^*_{C,rel} = 40$$

FRS15_90a; adaptierte CIELAB-Daten							
u^*_d	$L^*=L^*_a$	a^*_a	b^*_a	$C^*_{ab,a}$	$h^*_{ab,a}$	u^*_e	
<i>o00y</i>	38.8	53.92	39.68	66.95	36	<i>r16j</i>	
<i>o25y</i>	47.46	42.34	51.25	66.48	50	<i>r37j</i>	
<i>o50y</i>	56.54	30.2	63.39	70.22	65	<i>r58j</i>	
<i>o75y</i>	67.39	15.68	77.9	79.47	79	<i>r79j</i>	
<i>y00l</i>	82.58	-4.64	98.22	98.33	93	<i>j01g</i>	
<i>y25l</i>	70.85	-21.66	80.19	83.07	105	<i>j18g</i>	
<i>y50l</i>	61.91	-34.63	66.45	74.93	118	<i>j36g</i>	
<i>y75l</i>	54.24	-45.77	54.66	71.29	130	<i>j53g</i>	
<i>l00c</i>	46.95	-56.34	43.46	71.15	142	<i>j71g</i>	
<i>l50c</i>	51.91	-36.84	-3.21	36.98	185	<i>g21l</i>	
<i>c00v</i>	54.62	-26.2	-28.68	38.85	228	<i>g60l</i>	
<i>c50v</i>	42.22	-0.61	-37.35	37.36	269	<i>g97l</i>	
<i>v00m</i>	20.01	45.2	-52.87	69.56	311	<i>b34a</i>	
<i>v50m</i>	29.93	57.31	-42.0	71.05	324	<i>b45a</i>	
<i>m00o</i>	40.88	70.68	-29.99	76.78	337	<i>b57a</i>	
<i>m50o</i>	39.77	61.72	7.23	62.15	7	<i>b83a</i>	

*lab*olv***

 $i^* = 1.00$

Brillantheit i*

BAM-Prüfvorlage Eg41; Farbmatrik-Systeme, Seite 241/270 Eingabe: 000n / w / nnn0 / www set...
3 Separationen, 9 Datentabellen für 16 Bunttöne o00y bis m75aAusgabe: ->cmY0* setcmykcolor

Ein und Ausgabe: Farbmetrisches Drucker-Reflektiv-System FRS15_90a für relativen CIELAB-Buntton $h^* = lab^*h^* = h_{ab}/360 = 0.326$

Daten für jede Farbe:

lab^*tch^* und lab^*icu^*

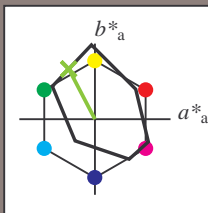
Bunttontexte:

$u^*_d = y50l$ $u^*_e = j36g$

Kontrastreduzierungsfaktor:

$c_R = 0.9$

Dreiecks-Helligkeit i^*



FRS15_90a; CIELAB-Daten						
u^*_d	$L^*=L^*_a$	a^*	b^*	C^*_{ab}	h^*_{ab}	
O _M	38.8	54.41	35.65	65.05	33	
Y _M	82.58	-4.04	92.72	92.8	92	
L _M	46.95	-55.83	39.15	68.19	145	
C _M	54.62	-25.67	-33.25	42.01	232	
V _M	20.01	45.64	-56.27	72.45	309	
M _M	40.88	71.17	-34.09	78.92	334	
N _M	15.0	0.43	-3.23	3.26	278	
W _M	90.0	0.62	-5.76	5.79	276	
O _M	39.92	58.74	27.99	65.07	25	
Y _M	81.26	-2.89	71.56	71.62	92	
L _M	52.23	-42.42	13.6	44.55	162	
V _M	30.57	1.41	-46.47	46.49	272	

Daten für Maximalfarbe (Ma):

$LAB^*LAB^*_{Ma}$: 62 -35 66

$LAB^*LCH^*_{Ma}$: 62 75 117

$lab^*olv^*_{Ma}$: 0.5 1.0 0.0

$lab^*rgb^*_{Ma}$: 0.64 1.0 0.0

Dreiecks-Helligkeit i^*

%Umfang

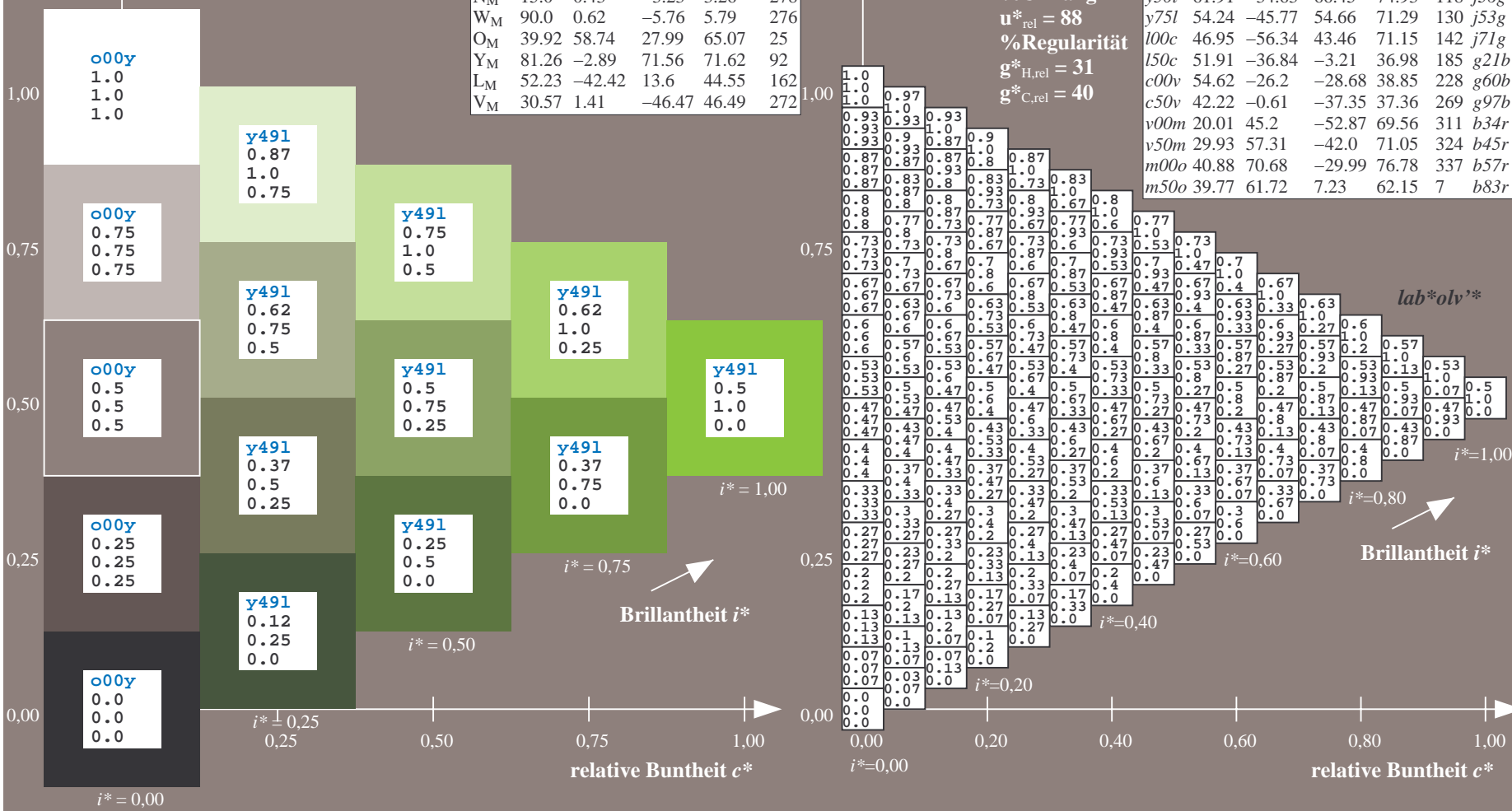
$u^*_{rel} = 88$

%Regularität

$g^*_{H,rel} = 31$

$g^*_{C,rel} = 40$

FRS15_90a; adaptierte CIELAB-Daten									
u^*_d	$L^*=L^*_a$	a^*_a	b^*_a	$C^*_{ab,a}$	$h^*_{ab,a}$	u^*_e			
o00y	38.8	53.92	39.68	66.95	36	r16j			
o25y	47.46	42.34	51.25	66.48	50	r37j			
o50y	56.54	30.2	63.39	70.22	65	r58j			
o75y	67.39	15.68	77.9	79.47	79	r79j			
y00l	82.58	-4.64	98.22	98.33	93	j01g			
y25l	70.85	-21.66	80.19	83.07	105	j18g			
y50l	61.91	-34.63	66.45	74.93	118	j36g			
y75l	54.24	-45.77	54.66	71.29	130	j53g			
l00c	46.95	-56.34	43.46	71.15	142	j71g			
l50c	51.91	-36.84	-3.21	36.98	185	g21b			
c00v	54.62	-26.2	-28.68	38.85	228	g60b			
c50v	42.22	-0.61	-37.35	37.36	269	g97b			
v00m	20.01	45.2	-52.87	69.56	311	b34r			
v50m	29.93	57.31	-42.0	71.05	324	b45r			
m00o	40.88	70.68	-29.99	76.78	337	b57r			
m50o	39.77	61.72	7.23	62.15	7	b83r			



Ein und Ausgabe: Farbmetrisches Drucker-Reflektiv-System FRS15_90a für relativen CIELAB-Buntton $h^* = lab^*h^* = h_{ab}/360 = 0.361$

Daten für jede Farbe:

lab^*ch^* und lab^*icu^*

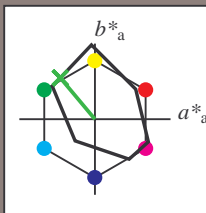
Bunttontexte:

$u^*_d = y75l$ $u^*_e = j53g$

Kontrastreduzierungsfaktor:

$c_R = 0.9$

Dreiecks-Helligkeit i^*



FRS15_90a; CIELAB-Daten

u^*_d	$L^*=L^*_a$	a^*	b^*	C^*_{ab}	h^*_{ab}
O _M	38.8	54.41	35.65	65.05	33
Y _M	82.58	-4.04	92.72	92.8	92
L _M	46.95	-55.83	39.15	68.19	145
C _M	54.62	-25.67	-33.25	42.01	232
V _M	20.01	45.64	-56.27	72.45	309
M _M	40.88	71.17	-34.09	78.92	334
N _M	15.0	0.43	-3.23	3.26	278
W _M	90.0	0.62	-5.76	5.79	276
O _M	39.92	58.74	27.99	65.07	25
Y _M	81.26	-2.89	71.56	71.62	92
L _M	52.23	-42.42	13.6	44.55	162
V _M	30.57	1.41	-46.47	46.49	272

Daten für Maximalfarbe (Ma):

$LAB^*LAB^*_{Ma}$: 54 -46 55

$LAB^*LCH^*_{Ma}$: 54 71 129

$lab^*olv^*_{Ma}$: 0.25 1.0 0.0

$lab^*rgb^*_{Ma}$: 0.46 1.0 0.0

Dreiecks-Helligkeit i^*

%Umfang

$u^*_{rel} = 88$

%Regularität

$g^*_{H,rel} = 31$

$g^*_{C,rel} = 40$

FRS15_90a; adaptierte CIELAB-Daten

u^*_d	$L^*=L^*_a$	a^*_a	b^*_a	$C^*_{ab,a}$	$h^*_{ab,a}$	u^*_e
o00y	38.8	53.92	39.68	66.95	36	r16j
o25y	47.46	42.34	51.25	66.48	50	r37j
o50y	56.54	30.2	63.39	70.22	65	r58j
o75y	67.39	15.68	77.9	79.47	79	r79j
y00l	82.58	-4.64	98.22	98.33	93	j01g
y25l	70.85	-21.66	80.19	83.07	105	j18g
y50l	61.91	-34.63	66.45	74.93	118	j36g
y75l	54.24	-45.77	54.66	71.29	130	j53g
l00c	46.95	-56.34	43.46	71.15	142	j71g
l50c	51.91	-36.84	-3.21	36.98	185	g21b
c00v	54.62	-26.2	-28.68	38.85	228	g60b
c50v	42.22	-0.61	-37.35	37.36	269	g97b
v00m	20.01	45.2	-52.87	69.56	311	b34r
v50m	29.93	57.31	-42.0	71.05	324	b45r
m00o	40.88	70.68	-29.99	76.78	337	b57r
m50o	39.77	61.72	7.23	62.15	7	b83r

lab^*olv^*

$i^* = 1.00$

Brillantheit i^*

$i^* = 0.80$

$i^* = 0.60$

$i^* = 0.40$

$i^* = 0.20$

$i^* = 0.00$

Ein und Ausgabe: Farbmetrisches Drucker-Reflektiv-System FRS15_90a für relativen CIELAB-Buntton $h^* = lab^*h^* = h_{ab}/360 = 0.395$

Daten für jede Farbe:

lab^*tch^* und lab^*icu^*

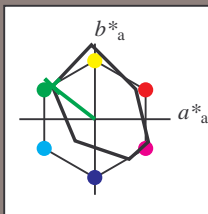
Bunttontexte:

$u^*_d = 100c$ $u^*_e = j71g$

Kontrastreduzierungsfaktor:

$c_R = 0.9$

Dreiecks-Helligkeit i^*



FRS15_90a; CIELAB-Daten

u^*_d	$L^*=L^*$	a^*	b^*	C^*_{ab}	h^*_{ab}
O _M	38.8	54.41	35.65	65.05	33
Y _M	82.58	-4.04	92.72	92.8	92
L _M	46.95	-55.83	39.15	68.19	145
C _M	54.62	-25.67	-33.25	42.01	232
V _M	20.01	45.64	-56.27	72.45	309
M _M	40.88	71.17	-34.09	78.92	334
N _M	15.0	0.43	-3.23	3.26	278
W _M	90.0	0.62	-5.76	5.79	276
O _M	39.92	58.74	27.99	65.07	25
Y _M	81.26	-2.89	71.56	71.62	92
L _M	52.23	-42.42	13.6	44.55	162
V _M	30.57	1.41	-46.47	46.49	272

Daten für Maximalfarbe (Ma):

$LAB^*LAB^*_{Ma}$: 47 -56 43

$LAB^*LCH^*_{Ma}$: 47 71 142

$lab^*olv^*_{Ma}$: 0.0 1.0 0.0

$lab^*rgb^*_{Ma}$: 0.28 1.0 0.0

Dreiecks-Helligkeit i^*

%Umfang

$u^*_{rel} = 88$

%Regularität

$g^*_{H,rel} = 31$

$g^*_{C,rel} = 40$

FRS15_90a; adaptierte CIELAB-Daten

u^*_d	$L^*=L^*$	a^*_a	b^*_a	$C^*_{ab,a}$	$h^*_{ab,a}$	u^*_e
o00y	38.8	53.92	39.68	66.95	36	r16j
o25y	47.46	42.34	51.25	66.48	50	r37j
o50y	56.54	30.2	63.39	70.22	65	r58j
o75y	67.39	15.68	77.9	79.47	79	r79j
y00l	82.58	-4.64	98.22	98.33	93	j01g
y25l	70.85	-21.66	80.19	83.07	105	j18g
y50l	61.91	-34.63	66.45	74.93	118	j36g
y75l	54.24	-45.77	54.66	71.29	130	j53g
l00c	46.95	-56.34	43.46	71.15	142	j71g
l50c	51.91	-36.84	-3.21	36.98	185	g21b
c00v	54.62	-26.2	-28.68	38.85	228	g60b
c50v	42.22	-0.61	-37.35	37.36	269	g97b
v00m	20.01	45.2	-52.87	69.56	311	b34r
v50m	29.93	57.31	-42.0	71.05	324	b45r
m00o	40.88	70.68	-29.99	76.78	337	b57r
m50o	39.77	61.72	7.23	62.15	7	b83r

lab^*olv^*

$i^* = 1.00$

Brillantheit i^*

$i^* = 0.80$

$i^* = 0.60$

$i^* = 0.40$

$i^* = 0.20$

$i^* = 0.00$

Ein und Ausgabe: Farbmetrisches Drucker-Reflektiv-System FRS15_90a für relativen CIELAB-Buntton $h^* = lab^*h^* = h_{ab}/360 = 0.514$

Daten für jede Farbe:

lab^*tch^* und lab^*icu^*

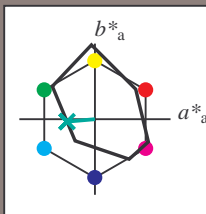
Bunttontexte:

$u^*_d = l50c$ $u^*_e = g21b$

Kontrastreduzierungsfaktor:

$c_R = 0.9$

Dreiecks-Helligkeit i^*



FRS15_90a; CIELAB-Daten

u^*_d	$L^*=L^*_a$	a^*	b^*	C^*_{ab}	h^*_{ab}
O _M	38.8	54.41	35.65	65.05	33
Y _M	82.58	-4.04	92.72	92.8	92
L _M	46.95	-55.83	39.15	68.19	145
C _M	54.62	-25.67	-33.25	42.01	232
V _M	20.01	45.64	-56.27	72.45	309
M _M	40.88	71.17	-34.09	78.92	334
N _M	15.0	0.43	-3.23	3.26	278
W _M	90.0	0.62	-5.76	5.79	276
O _M	39.92	58.74	27.99	65.07	25
Y _M	81.26	-2.89	71.56	71.62	92
L _M	52.23	-42.42	13.6	44.55	162
V _M	30.57	1.41	-46.47	46.49	272

Daten für Maximalfarbe (Ma):

$LAB^*LAB^*_{Ma}$: 52 -37 -3

$LAB^*LCH^*_{Ma}$: 52 37 184

$lab^*olv^*_{Ma}$: 0.0 1.0 0.5

$lab^*rgb^*_{Ma}$: 0.0 1.0 0.42

Dreiecks-Helligkeit i^*

%Umfang

$u^*_{rel} = 88$

%Regularität

$g^*_{H,rel} = 31$

$g^*_{C,rel} = 40$

FRS15_90a; adaptierte CIELAB-Daten

u^*_d	$L^*=L^*_a$	a^*_a	b^*_a	$C^*_{ab,a}$	$h^*_{ab,a}$	u^*_e
o00y	38.8	53.92	39.68	66.95	36	r16j
o25y	47.46	42.34	51.25	66.48	50	r37j
o50y	56.54	30.2	63.39	70.22	65	r58j
o75y	67.39	15.68	77.9	79.47	79	r79j
y00l	82.58	-4.64	98.22	98.33	93	j01g
y25l	70.85	-21.66	80.19	83.07	105	j18g
y50l	61.91	-34.63	66.45	74.93	118	j36g
y75l	54.24	-45.77	54.66	71.29	130	j53g
l00c	46.95	-56.34	43.46	71.15	142	j71g
l50c	51.91	-36.84	-3.21	36.98	185	g21b
c00v	54.62	-26.2	-28.68	38.85	228	g60b
c50v	42.22	-0.61	-37.35	37.36	269	g97b
v00m	20.01	45.2	-52.87	69.56	311	b34r
v50m	29.93	57.31	-42.0	71.05	324	b45r
m00o	40.88	70.68	-29.99	76.78	337	b57r
m50o	39.77	61.72	7.23	62.15	7	b83r

lab^*olv^*

$i^* = 1.00$

Brillantheit i^*

$i^* = 0.80$

$i^* = 0.60$

$i^* = 0.40$

$i^* = 0.20$

$i^* = 0.00$

relative Buntheit c^*

Ein und Ausgabe: Farbmetrisches Drucker-Reflektiv-System FRS15_90a für relativen CIELAB-Buntton $h^* = lab^*h^* = h_{ab}/360 = 0.632$

Daten für jede Farbe:

lab^*tch^* und lab^*icu^*

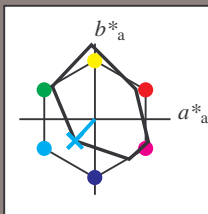
Bunttontexte:

$u^*_d = c00v$ $u^*_e = g60b$

Kontrastreduzierungsfaktor:

$c_R = 0.9$

Dreiecks-Helligkeit i^*



FRS15_90a; CIELAB-Daten

u^*_d	$L^*=L^*_a$	a^*	b^*	C^*_{ab}	h^*_{ab}
O _M	38.8	54.41	35.65	65.05	33
Y _M	82.58	-4.04	92.72	92.8	92
L _M	46.95	-55.83	39.15	68.19	145
C _M	54.62	-25.67	-33.25	42.01	232
V _M	20.01	45.64	-56.27	72.45	309
M _M	40.88	71.17	-34.09	78.92	334
N _M	15.0	0.43	-3.23	3.26	278
W _M	90.0	0.62	-5.76	5.79	276
O _M	39.92	58.74	27.99	65.07	25
Y _M	81.26	-2.89	71.56	71.62	92
L _M	52.23	-42.42	13.6	44.55	162
V _M	30.57	1.41	-46.47	46.49	272

Daten für Maximalfarbe (Ma):

$LAB^*LAB^*_{Ma}$: 55 -26 -29

$LAB^*LCH^*_{Ma}$: 55 39 227

$lab^*olv^*_{Ma}$: 0.0 1.0 1.0

$lab^*rgb^*_{Ma}$: 0.0 0.81 1.0

Dreiecks-Helligkeit i^*

%Umfang

$u^*_{rel} = 88$

%Regularität

$g^*_{H,rel} = 31$

$g^*_{C,rel} = 40$

FRS15_90a; adaptierte CIELAB-Daten

u^*_d	$L^*=L^*_a$	a^*_a	b^*_a	$C^*_{ab,a}$	$h^*_{ab,a}$	u^*_e
o00y	38.8	53.92	39.68	66.95	36	r16j
o25y	47.46	42.34	51.25	66.48	50	r37j
o50y	56.54	30.2	63.39	70.22	65	r58j
o75y	67.39	15.68	77.9	79.47	79	r79j
y00l	82.58	-4.64	98.22	98.33	93	j01g
y25l	70.85	-21.66	80.19	83.07	105	j18g
y50l	61.91	-34.63	66.45	74.93	118	j36g
y75l	54.24	-45.77	54.66	71.29	130	j53g
l00c	46.95	-56.34	43.46	71.15	142	j71g
l50c	51.91	-36.84	-3.21	36.98	185	g21b
c00v	54.62	-26.2	-28.68	38.85	228	g60b
c50v	42.22	-0.61	-37.35	37.36	269	g97b
v00m	20.01	45.2	-52.87	69.56	311	b34r
v50m	29.93	57.31	-42.0	71.05	324	b45r
m00o	40.88	70.68	-29.99	76.78	337	b57r
m50o	39.77	61.72	7.23	62.15	7	b83r

lab^*olv^*

$i^* = 1.00$

Brillantheit i^*

$i^* = 0.80$

$i^* = 0.60$

$i^* = 0.40$

$i^* = 0.20$

$i^* = 0.00$

Ein und Ausgabe: Farbmetrisches Drucker-Reflektiv-System FRS15_90a für relativen CIELAB-Buntton $h^* = lab^*h^* = h_{ab}/360 = 0.747$

Daten für jede Farbe:

lab^*tch^* und lab^*icu^*

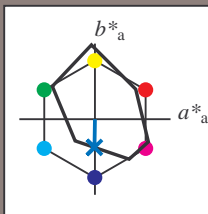
Bunttontexte:

$u^*_d = c50v$ $u^*_e = g97b$

Kontrastreduzierungsfaktor:

$c_R = 0.9$

Dreiecks-Helligkeit i^*



FRS15_90a; CIELAB-Daten						
u^*_d	$L^*=L^*_a$	a^*_a	b^*_a	C^*_{ab}	h^*_{ab}	
O _M	38.8	54.41	35.65	65.05	33	
Y _M	82.58	-4.04	92.72	92.8	92	
L _M	46.95	-55.83	39.15	68.19	145	
C _M	54.62	-25.67	-33.25	42.01	232	
V _M	20.01	45.64	-56.27	72.45	309	
M _M	40.88	71.17	-34.09	78.92	334	
N _M	15.0	0.43	-3.23	3.26	278	
W _M	90.0	0.62	-5.76	5.79	276	
O _M	39.92	58.74	27.99	65.07	25	
Y _M	81.26	-2.89	71.56	71.62	92	
L _M	52.23	-42.42	13.6	44.55	162	
V _M	30.57	1.41	-46.47	46.49	272	

Daten für Maximalfarbe (Ma):

$LAB^*LAB^*_{Ma}$: 42 -1 -37

$LAB^*LCH^*_{Ma}$: 42 37 269

$lab^*olv^*_{Ma}$: 0.0 0.5 1.0

$lab^*rgb^*_{Ma}$: 0.0 0.05 1.0

Dreiecks-Helligkeit i^*

%Umfang

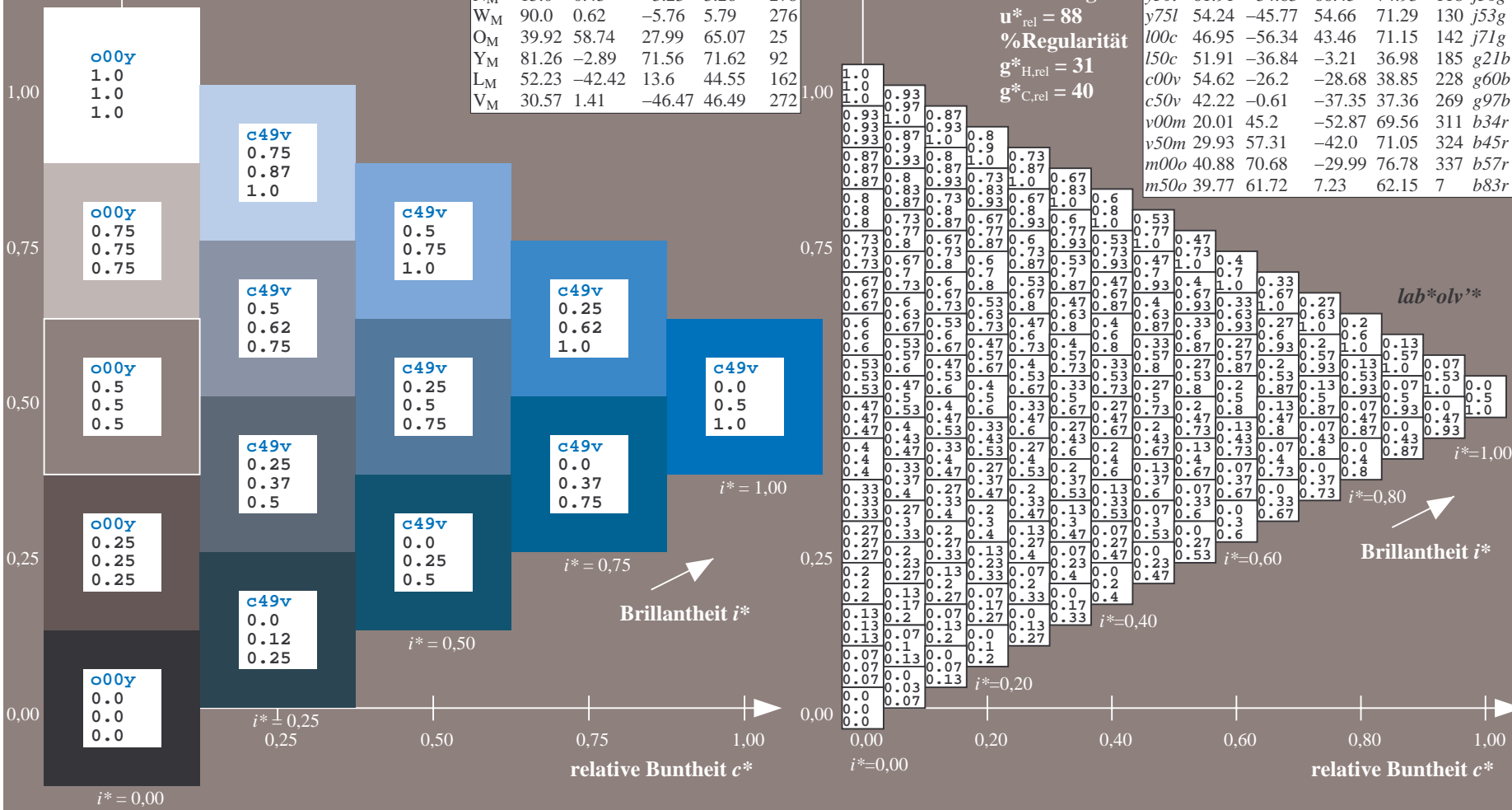
$u^*_{rel} = 88$

%Regularität

$g^*_{H,rel} = 31$

$g^*_{C,rel} = 40$

FRS15_90a; adaptierte CIELAB-Daten									
u^*_d	$L^*=L^*_a$	a^*_a	b^*_a	$C^*_{ab,a}$	$h^*_{ab,a}$	u^*_e			
o00y	38.8	53.92	39.68	66.95	36	r16j			
o25y	47.46	42.34	51.25	66.48	50	r37j			
o50y	56.54	30.2	63.39	70.22	65	r58j			
o75y	67.39	15.68	77.9	79.47	79	r79j			
y00l	82.58	-4.64	98.22	98.33	93	j01g			
y25l	70.85	-21.66	80.19	83.07	105	j18g			
y50l	61.91	-34.63	66.45	74.93	118	j36g			
y75l	54.24	-45.77	54.66	71.29	130	j53g			
l00c	46.95	-56.34	43.46	71.15	142	j71g			
l50c	51.91	-36.84	-3.21	36.98	185	g21b			
c00v	54.62	-26.2	-28.68	38.85	228	g60b			
c50v	42.22	-0.61	-37.35	37.36	269	g97b			
v00m	20.01	45.2	-52.87	69.56	311	b34r			
v50m	29.93	57.31	-42.0	71.05	324	b45r			
m00o	40.88	70.68	-29.99	76.78	337	b57r			
m50o	39.77	61.72	7.23	62.15	7	b83r			



Ein und Ausgabe: Farbmimetrisches Drucker-Reflektiv-System FRS15_90a für relativen CIELAB-Buntton $h^* = lab^*h^* = h_{ab}/360 = 0.863$

Daten für jede Farbe:

lab^*tch^* und lab^*icu^*

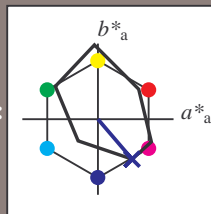
Bunttontexte:

$u^*_d = v00m$ $u^*_e = b34r$

Kontrastreduzierungsfaktor:

$c_R = 0.9$

Dreiecks-Helligkeit i^*



FRS15_90a; CIELAB-Daten						
u^*_d	$L^*=L^*_a$	a^*	b^*	C^*_{ab}	h^*_{ab}	
O _M	38.8	54.41	35.65	65.05	33	
Y _M	82.58	-4.04	92.72	92.8	92	
L _M	46.95	-55.83	39.15	68.19	145	
C _M	54.62	-25.67	-33.25	42.01	232	
V _M	20.01	45.64	-56.27	72.45	309	
M _M	40.88	71.17	-34.09	78.92	334	
N _M	15.0	0.43	-3.23	3.26	278	
W _M	90.0	0.62	-5.76	5.79	276	
O _M	39.92	58.74	27.99	65.07	25	
Y _M	81.26	-2.89	71.56	71.62	92	
L _M	52.23	-42.42	13.6	44.55	162	
V _M	30.57	1.41	-46.47	46.49	272	

Daten für Maximalfarbe (Ma):

$LAB^*LAB^*_{Ma}$: 20 45 -53

$LAB^*LCH^*_{Ma}$: 20 70 310

$lab^*olv^*_{Ma}$: 0.0 0.0 1.0

$lab^*rgb^*_{Ma}$: 0.68 0.0 1.0

Dreiecks-Helligkeit i^*

%Umfang

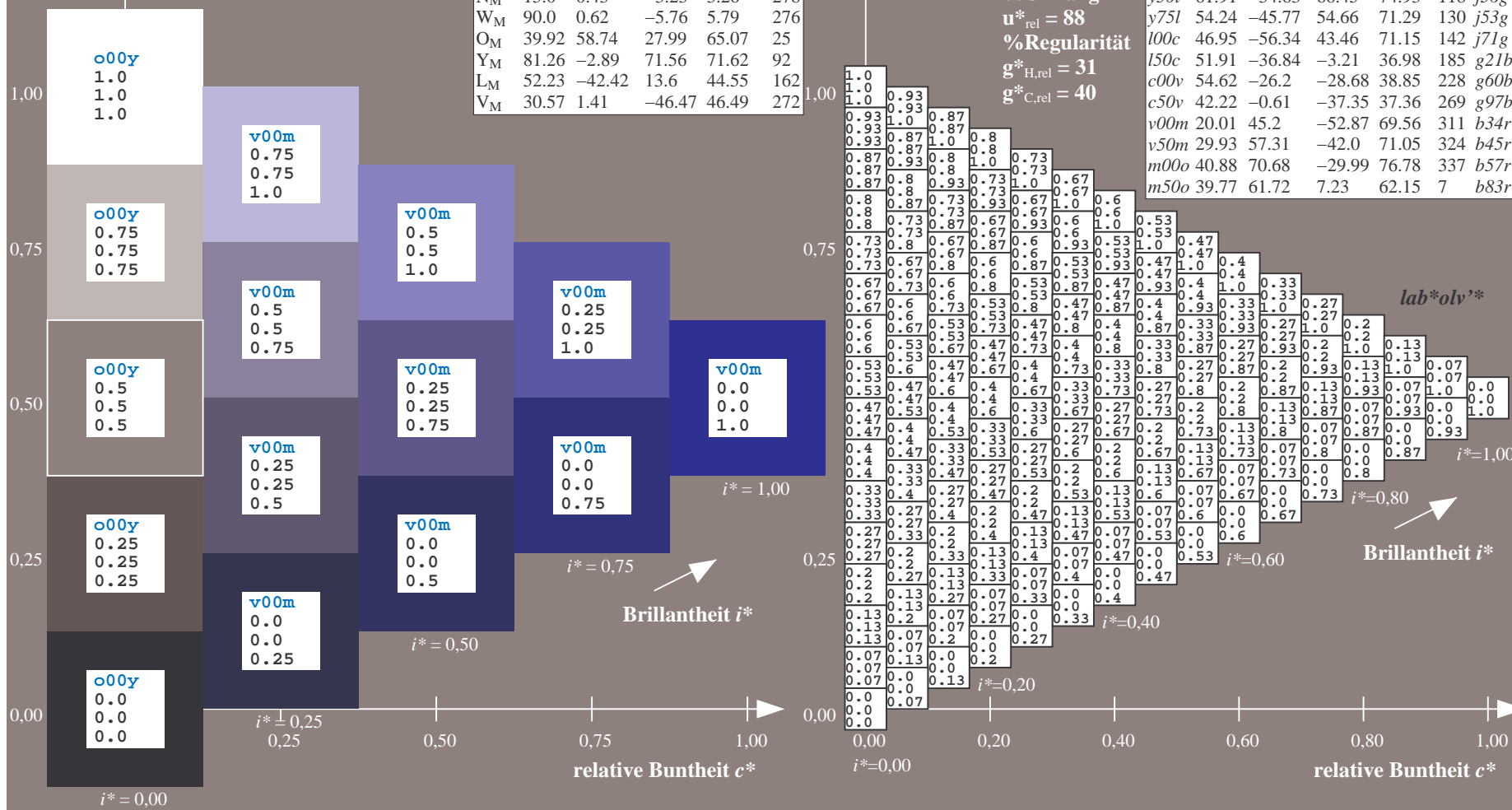
$u^*_{rel} = 88$

%Regularität

$g^*_{H,rel} = 31$

$g^*_{C,rel} = 40$

FRS15_90a; adaptierte CIELAB-Daten									
u^*_d	$L^*=L^*_a$	a^*_a	b^*_a	$C^*_{ab,a}$	$h^*_{ab,a}$	u^*_e			
o00y	38.8	53.92	39.68	66.95	36	r16j			
o25y	47.46	42.34	51.25	66.48	50	r37j			
o50y	56.54	30.2	63.39	70.22	65	r58j			
o75y	67.39	15.68	77.9	79.47	79	r79j			
y00l	82.58	-4.64	98.22	98.33	93	j01g			
y25l	70.85	-21.66	80.19	83.07	105	j18g			
y50l	61.91	-34.63	66.45	74.93	118	j36g			
y75l	54.24	-45.77	54.66	71.29	130	j53g			
l00c	46.95	-56.34	43.46	71.15	142	j71g			
l50c	51.91	-36.84	-3.21	36.98	185	g21b			
c00v	54.62	-26.2	-28.68	38.85	228	g60b			
c50v	42.22	-0.61	-37.35	37.36	269	g97b			
v00m	20.01	45.2	-52.87	69.56	311	b34r			
v50m	29.93	57.31	-42.0	71.05	324	b45r			
m00o	40.88	70.68	-29.99	76.78	337	b57r			
m50o	39.77	61.72	7.23	62.15	7	b83r			



Ein und Ausgabe: Farbmetrisches Drucker-Reflektiv-System FRS15_90a für relativen CIELAB-Buntton $h^* = lab^*h^* = h_{ab}/360 = 0.899$

Daten für jede Farbe:

lab^*tch^* und lab^*icu^*

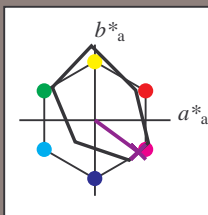
Bunttontexte:

$u^*_d = v50m$ $u^*_e = b45r$

Kontrastreduzierungsfaktor:

$c_R = 0.9$

Dreiecks-Helligkeit i^*



FRS15_90a; CIELAB-Daten						
u^*_d	$L^*=L^*_a$	a^*	b^*	C^*_{ab}	h^*_{ab}	
O _M	38.8	54.41	35.65	65.05	33	
Y _M	82.58	-4.04	92.72	92.8	92	
L _M	46.95	-55.83	39.15	68.19	145	
C _M	54.62	-25.67	-33.25	42.01	232	
V _M	20.01	45.64	-56.27	72.45	309	
M _M	40.88	71.17	-34.09	78.92	334	
N _M	15.0	0.43	-3.23	3.26	278	
W _M	90.0	0.62	-5.76	5.79	276	
O _M	39.92	58.74	27.99	65.07	25	
Y _M	81.26	-2.89	71.56	71.62	92	
L _M	52.23	-42.42	13.6	44.55	162	
V _M	30.57	1.41	-46.47	46.49	272	

Daten für Maximalfarbe (Ma):

$LAB^*LAB^*_{Ma}$: 30 57 -42

$LAB^*LCH^*_{Ma}$: 30 71 323

$lab^*olv^*_{Ma}$: 0.5 0.0 1.0

$lab^*rgb^*_{Ma}$: 0.91 0.0 1.0

Dreiecks-Helligkeit i^*

%Umfang

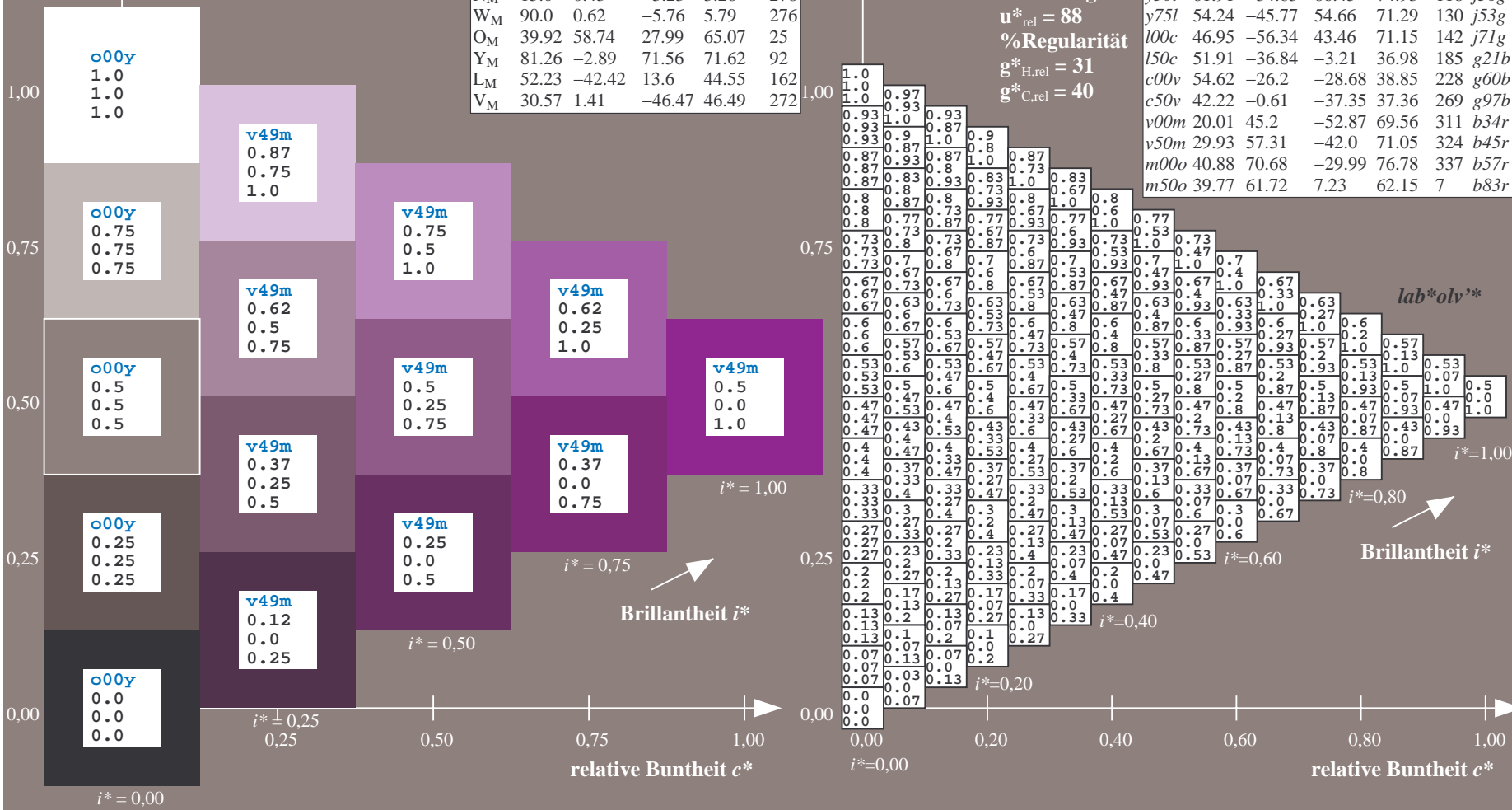
$u^*_{rel} = 88$

%Regularität

$g^*_{H,rel} = 31$

$g^*_{C,rel} = 40$

FRS15_90a; adaptierte CIELAB-Daten									
u^*_d	$L^*=L^*_a$	a^*_a	b^*_a	$C^*_{ab,a}$	$h^*_{ab,a}$	u^*_e			
o00y	38.8	53.92	39.68	66.95	36	r16j			
o25y	47.46	42.34	51.25	66.48	50	r37j			
o50y	56.54	30.2	63.39	70.22	65	r58j			
o75y	67.39	15.68	77.9	79.47	79	r79j			
y00l	82.58	-4.64	98.22	98.33	93	j01g			
y25l	70.85	-21.66	80.19	83.07	105	j18g			
y50l	61.91	-34.63	66.45	74.93	118	j36g			
y75l	54.24	-45.77	54.66	71.29	130	j53g			
l00c	46.95	-56.34	43.46	71.15	142	j71g			
l50c	51.91	-36.84	-3.21	36.98	185	g21b			
c00v	54.62	-26.2	-28.68	38.85	228	g60b			
c50v	42.22	-0.61	-37.35	37.36	269	g97b			
v00m	20.01	45.2	-52.87	69.56	311	b34r			
v50m	29.93	57.31	-42.0	71.05	324	b45r			
m00o	40.88	70.68	-29.99	76.78	337	b57r			
m50o	39.77	61.72	7.23	62.15	7	b83r			



Ein und Ausgabe: Farbmetrisches Drucker-Reflektiv-System FRS15_90a für relativen CIELAB-Buntton $h^* = lab^*h^* = h_{ab}/360 = 0.936$

Daten für jede Farbe:

lab^*tch^* und lab^*icu^*

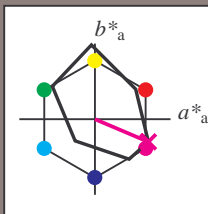
Bunttontexte:

$u^*_d = m00o$ $u^*_e = b57r$

Kontrastreduzierungsfaktor:

$c_R = 0.9$

Dreiecks-Helligkeit i^*



FRS15_90a; CIELAB-Daten

u^*_d	$L^*=L^*_a$	a^*	b^*	C^*_{ab}	h^*_{ab}
O _M	38.8	54.41	35.65	65.05	33
Y _M	82.58	-4.04	92.72	92.8	92
L _M	46.95	-55.83	39.15	68.19	145
C _M	54.62	-25.67	-33.25	42.01	232
V _M	20.01	45.64	-56.27	72.45	309
M _M	40.88	71.17	-34.09	78.92	334
N _M	15.0	0.43	-3.23	3.26	278
W _M	90.0	0.62	-5.76	5.79	276
O _M	39.92	58.74	27.99	65.07	25
Y _M	81.26	-2.89	71.56	71.62	92
L _M	52.23	-42.42	13.6	44.55	162
V _M	30.57	1.41	-46.47	46.49	272

Daten für Maximalfarbe (Ma):

$LAB^*LAB^*_{Ma}$: 41 71 -30

$LAB^*LCH^*_{Ma}$: 41 77 337

$lab^*olv^*_{Ma}$: 1.0 0.0 1.0

$lab^*rgb^*_{Ma}$: 1.0 0.0 0.85

Dreiecks-Helligkeit i^*

%Umfang

$u^*_{rel} = 88$

%Regularität

$g^*_{H,rel} = 31$

$g^*_{C,rel} = 40$

FRS15_90a; adaptierte CIELAB-Daten

u^*_d	$L^*=L^*_a$	a^*_a	b^*_a	$C^*_{ab,a}$	$h^*_{ab,a}$	u^*_e
o00y	38.8	53.92	39.68	66.95	36	r16j
o25y	47.46	42.34	51.25	66.48	50	r37j
o50y	56.54	30.2	63.39	70.22	65	r58j
o75y	67.39	15.68	77.9	79.47	79	r79j
y00l	82.58	-4.64	98.22	98.33	93	j01g
y25l	70.85	-21.66	80.19	83.07	105	j18g
y50l	61.91	-34.63	66.45	74.93	118	j36g
y75l	54.24	-45.77	54.66	71.29	130	j53g
l00c	46.95	-56.34	43.46	71.15	142	j71g
l50c	51.91	-36.84	-3.21	36.98	185	g21b
c00v	54.62	-26.2	-28.68	38.85	228	g60b
c50v	42.22	-0.61	-37.35	37.36	269	g97b
v00m	20.01	45.2	-52.87	69.56	311	b34r
v50m	29.93	57.31	-42.0	71.05	324	b45r
m00o	40.88	70.68	-29.99	76.78	337	b57r
m50o	39.77	61.72	7.23	62.15	7	b83r

lab^*olv^*

$i^* = 1.00$

Brillantheit i^*

$i^* = 0.80$

$i^* = 0.60$

$i^* = 0.40$

$i^* = 0.20$

$i^* = 0.00$

relative Bunttheit c^*

relative Bunttheit c^*

Ein und Ausgabe: Farbmetrisches Drucker-Reflektiv-System FRS15_90a für relativen CIELAB-Buntton $h^* = lab^*h^* = h_{ab}/360 = 0.019$

Daten für jede Farbe:

lab^*ch^* und lab^*icu^*

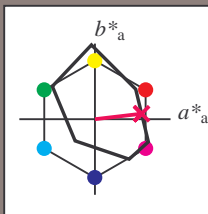
Bunttontexte:

$u^*_d = m50o$ $u^*_e = b83r$

Kontrastreduzierungsfaktor:

$c_R = 0.9$

Dreiecks-Helligkeit i^*



FRS15_90a; CIELAB-Daten						
u^*_d	$L^*=L^*_a$	a^*	b^*	C^*_{ab}	h^*_{ab}	
O _M	38.8	54.41	35.65	65.05	33	
Y _M	82.58	-4.04	92.72	92.8	92	
L _M	46.95	-55.83	39.15	68.19	145	
C _M	54.62	-25.67	-33.25	42.01	232	
V _M	20.01	45.64	-56.27	72.45	309	
M _M	40.88	71.17	-34.09	78.92	334	
N _M	15.0	0.43	-3.23	3.26	278	
W _M	90.0	0.62	-5.76	5.79	276	
O _M	39.92	58.74	27.99	65.07	25	
Y _M	81.26	-2.89	71.56	71.62	92	
L _M	52.23	-42.42	13.6	44.55	162	
V _M	30.57	1.41	-46.47	46.49	272	

Daten für Maximalfarbe (Ma):

$LAB^*LAB^*_{Ma}$: 40 62 7

$LAB^*LCH^*_{Ma}$: 40 62 6

$lab^*olv^*_{Ma}$: 1.0 0.0 0.5

$lab^*rgb^*_{Ma}$: 1.0 0.0 0.33

Dreiecks-Helligkeit i^*

%Umfang

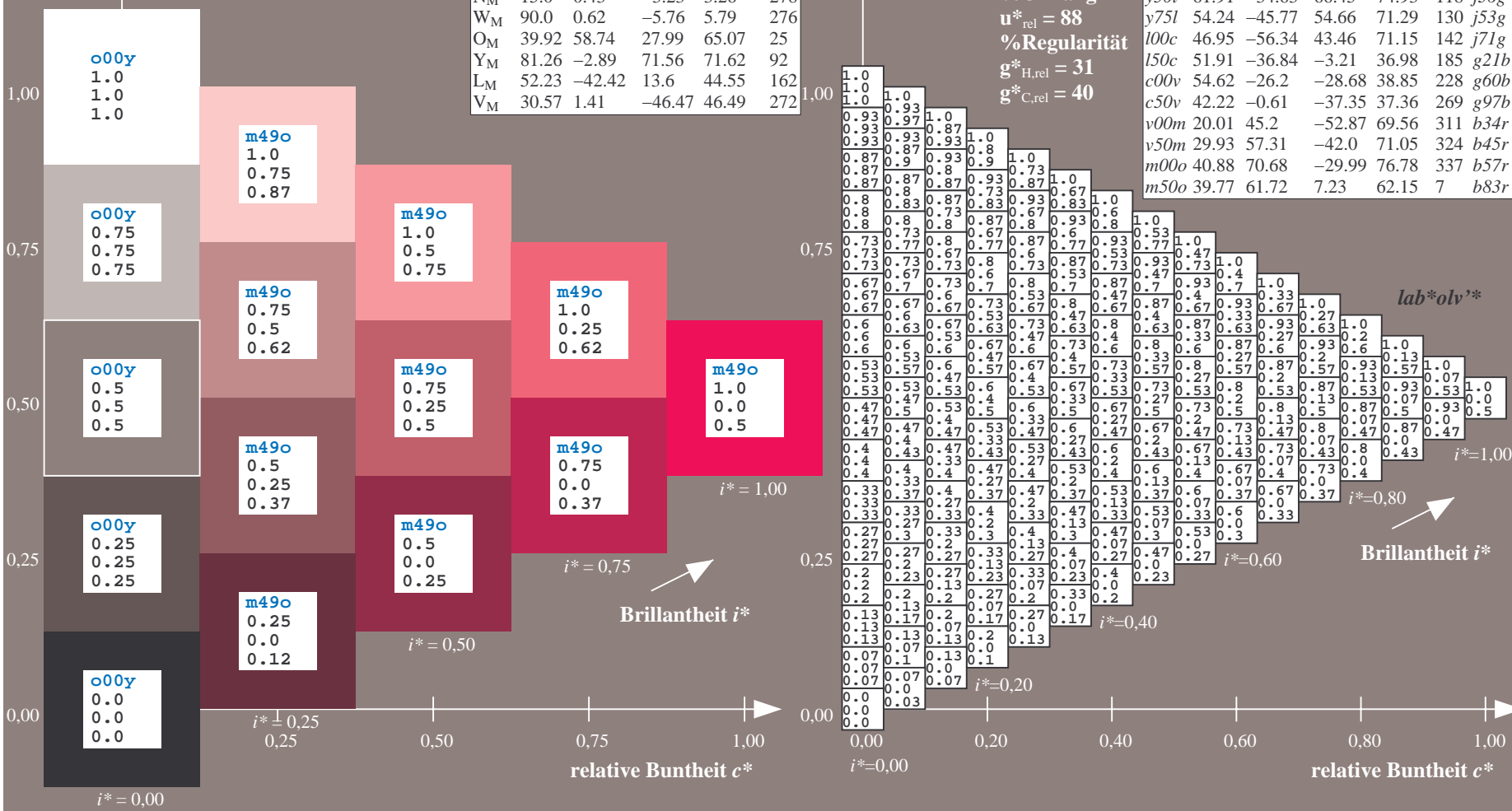
$u^*_{rel} = 88$

%Regularität

$g^*_{H,rel} = 31$

$g^*_{C,rel} = 40$

FRS15_90a; adaptierte CIELAB-Daten										
u^*_d	$L^*=L^*_a$	a^*_a	b^*_a	$C^*_{ab,a}$	$h^*_{ab,a}$	u^*_e				
o00y	38.8	53.92	39.68	66.95	36	r16j				
o25y	47.46	42.34	51.25	66.48	50	r37j				
o50y	56.54	30.2	63.39	70.22	65	r58j				
o75y	67.39	15.68	77.9	79.47	79	r79j				
y00l	82.58	-4.64	98.22	98.33	93	j01g				
y25l	70.85	-21.66	80.19	83.07	105	j18g				
y50l	61.91	-34.63	66.45	74.93	118	j36g				
y75l	54.24	-45.77	54.66	71.29	130	j53g				
l00c	46.95	-56.34	43.46	71.15	142	j71g				
l50c	51.91	-36.84	-3.21	36.98	185	g21b				
c00v	54.62	-26.2	-28.68	38.85	228	g60b				
c50v	42.22	-0.61	-37.35	37.36	269	g97b				
v00m	20.01	45.2	-52.87	69.56	311	b34r				
v50m	29.93	57.31	-42.0	71.05	324	b45r				
m00o	40.88	70.68	-29.99	76.78	337	b57r				
m50o	39.77	61.72	7.23	62.15	7	b83r				



Siehe ähnliche Dateien: <http://www.ps.bam.de/Eg41/>; www.ps.bam.de/Eg41/10L/L41G00NA.PS/.TXT BAM-Material: Code=th4ta
Technische Information: <http://www.ps.bam.de> Version 2.1, io=1,1, ColSp=0

	A	B	C	D	E	F	G	H	I	J	K	L	M	N	O	P	Q	R	S	T	U	V	W	X	Y	Z	a	b	c	d	e	f	g	h	i	j	k	lab*oly*					
01	0.0	0.0	0.0	0.0	0.0	0.0	0.0	0.0	0.0	0.0	0.13	0.12	0.12	0.12	0.12	0.12	0.12	0.12	0.25	0.25	0.25	0.25	0.25	0.25	0.25	0.25	0.25	0.25	1.0	1.0	1.0	1.0	1.0	1.0	1.0	1.0	1.0	1.0	0.0	0.0	0.0	0.0	
	0.0	0.13	0.25	0.38	0.5	0.63	0.75	0.88	1.0	0.0	0.0	0.13	0.25	0.38	0.5	0.63	0.75	0.88	1.0	0.0	0.12	0.25	0.38	0.5	0.63	0.75	0.88	1.0	1.0	0.88	0.75	0.63	0.5	0.38	0.25	0.13	0.0	0.0	0.0	0.0	0.0	0.0	
	0.0	0.0	0.0	0.0	0.0	0.0	0.0	0.0	0.0	0.0	0.0	0.0	0.0	0.0	0.0	0.0	0.0	0.0	0.0	0.0	0.0	0.0	0.0	0.0	0.0	0.0	0.0	0.0	1.0	1.0	0.88	0.75	0.63	0.5	0.38	0.25	0.13	0.0	0.0	0.0	0.0	0.0	0.0
02	0.0	0.0	0.0	0.0	0.0	0.0	0.0	0.0	0.0	0.0	0.12	0.13	0.13	0.13	0.13	0.13	0.13	0.13	0.25	0.25	0.25	0.25	0.25	0.25	0.25	0.25	0.25	0.25	0.88	0.88	0.88	0.88	0.88	0.88	0.88	0.88	0.88	0.88	0.13	0.13	0.13	0.13	0.13
	0.13	0.13	0.12	0.12	0.12	0.12	0.12	0.12	0.12	0.12	0.13	0.13	0.13	0.13	0.13	0.13	0.13	0.13	0.12	0.13	0.13	0.13	0.13	0.13	0.13	0.13	0.13	0.13	1.0	1.0	0.88	0.75	0.63	0.5	0.38	0.25	0.13	0.0	0.13	0.13	0.13	0.13	0.13
	0.0	0.0	0.0	0.0	0.0	0.0	0.0	0.0	0.0	0.0	0.12	0.13	0.13	0.13	0.13	0.13	0.13	0.13	0.25	0.25	0.25	0.25	0.25	0.25	0.25	0.25	0.25	0.75	0.75	0.75	0.75	0.75	0.75	0.75	0.75	0.75	0.75	0.25	0.25	0.25	0.25	0.25	0.25
03	0.0	0.12	0.25	0.38	0.5	0.63	0.75	0.88	1.0	0.0	0.13	0.25	0.38	0.5	0.63	0.75	0.88	1.0	0.0	0.13	0.25	0.38	0.5	0.63	0.75	0.88	1.0	1.0	0.87	0.75	0.63	0.5	0.38	0.25	0.13	0.0	0.25	0.25	0.25	0.25	0.25	0.25	
	0.25	0.25	0.25	0.25	0.25	0.25	0.25	0.25	0.25	0.25	0.25	0.25	0.25	0.25	0.25	0.25	0.25	0.25	0.25	0.25	0.25	0.25	0.25	0.25	0.25	0.25	0.25	1.0	1.0	0.88	0.75	0.63	0.5	0.38	0.25	0.13	0.0	0.25	0.25	0.25	0.25	0.25	0.25
	0.0	0.0	0.0	0.0	0.0	0.0	0.0	0.0	0.0	0.0	0.12	0.13	0.13	0.13	0.13	0.13	0.13	0.13	0.25	0.25	0.25	0.25	0.25	0.25	0.25	0.25	0.25	0.63	0.63	0.63	0.63	0.63	0.63	0.63	0.63	0.63	0.63	0.38	0.38	0.38	0.38	0.38	0.38
04	0.0	0.12	0.25	0.37	0.5	0.63	0.75	0.88	1.0	0.0	0.13	0.25	0.37	0.5	0.63	0.75	0.88	1.0	0.0	0.13	0.25	0.37	0.5	0.63	0.75	0.88	1.0	1.0	0.87	0.75	0.63	0.5	0.38	0.25	0.13	0.0	0.38	0.38	0.38	0.38	0.38	0.38	
	0.38	0.38	0.38	0.38	0.37	0.37	0.37	0.37	0.37	0.37	0.38	0.38	0.38	0.37	0.37	0.37	0.37	0.37	0.38	0.38	0.38	0.37	0.37	0.37	0.37	0.37	0.37	1.0	1.0	0.88	0.75	0.63	0.5	0.38	0.25	0.13	0.0	0.38	0.38	0.38	0.38	0.38	0.38
	0.0	0.12	0.25	0.37	0.5	0.63	0.75	0.88	1.0	0.0	0.13	0.25	0.37	0.5	0.63	0.75	0.88	1.0	0.0	0.13	0.25	0.37	0.5	0.63	0.75	0.88	1.0	0.0	0.87	0.75	0.62	0.5	0.38	0.25	0.13	0.0	0.5	0.5	0.5	0.5	0.5	0.5	
05	0.5	0.5	0.5	0.5	0.5	0.5	0.5	0.5	0.5	0.5	0.5	0.5	0.5	0.5	0.5	0.5	0.5	0.5	0.5	0.5	0.5	0.5	0.5	0.5	0.5	0.5	0.5	1.0	1.0	0.88	0.75	0.63	0.5	0.38	0.25	0.13	0.0	0.5	0.5	0.5	0.5	0.5	0.5
	0.0	0.0	0.0	0.0	0.0	0.0	0.0	0.0	0.0	0.12	0.13	0.13	0.13	0.13	0.13	0.13	0.13	0.13	0.25	0.25	0.25	0.25	0.25	0.25	0.25	0.25	0.25	0.38	0.38	0.38	0.38	0.38	0.38	0.38	0.38	0.38	0.38	0.63	0.63	0.63	0.63		
06	0.0	0.12	0.25	0.37	0.5	0.62	0.75	0.88	1.0	0.0	0.13	0.25	0.37	0.5	0.62	0.75	0.88	1.0	0.0	0.13	0.25	0.37	0.5	0.62	0.75	0.88	1.0	1.0	0.87	0.75	0.62	0.5	0.38	0.25	0.13	0.0	0.63	0.63	0.63	0.63	0.63	0.63	
	0.63	0.63	0.63	0.63	0.63	0.63	0.62	0.62	0.62	0.63	0.63	0.63	0.63	0.63	0.63	0.62	0.62	0.62	0.63	0.63	0.63	0.63	0.63	0.63	0.63	0.62	0.62	1.0	1.0	0.88	0.75	0.63	0.5	0.38	0.25	0.13	0.0	0.63	0.63	0.63	0.63	0.63	0.63
	0.0	0.0	0.0	0.0	0.0	0.0	0.0	0.0	0.0	0.12	0.13	0.13	0.13	0.13	0.13	0.13	0.13	0.13	0.25	0.25	0.25	0.25	0.25	0.25	0.25	0.25	0.25	0.25	0.25	0.25	0.25	0.25	0.25	0.25	0.25	0.25	0.25	0.75	0.75	0.75	0.75		
07	0.0	0.12	0.25	0.37	0.5	0.62	0.75	0.88	1.0	0.0	0.13	0.25	0.37	0.5	0.62	0.75	0.88	1.0	0.0	0.13	0.25	0.37	0.5	0.62	0.75	0.88	1.0	1.0	0.87	0.75	0.62	0.5	0.37	0.25	0.13	0.0	0.75	0.75	0.75	0.75	0.75	0.75	
	0.75	0.75	0.75	0.75	0.75	0.75	0.75	0.75	0.75	0.75	0.75	0.75	0.75	0.75	0.75	0.75	0.75	0.75	0.75	0.75	0.75	0.75	0.75	0.75	0.75	0.75	0.75	1.0	1.0	0.88	0.75	0.63	0.5	0.38	0.25	0.13	0.0	0.75	0.75	0.75	0.75	0.75	0.75
	0.0	0.0	0.0	0.0	0.0	0.0	0.0	0.0	0.0	0.12	0.13	0.13	0.13	0.13	0.13	0.13	0.13	0.13	0.25	0.25	0.25	0.25	0.25	0.25	0.25	0.25	0.25	0.13	0.13	0.13	0.13	0.13	0.13	0.13	0.13	0.13	0.13	0.88	0.88	0.88	0.88		
08	0.0	0.12	0.25	0.37	0.5	0.62	0.75	0.87	1.0	0.0	0.13	0.25	0.37	0.5	0.62	0.75	0.87	1.0	0.0	0.13	0.25	0.37	0.5	0.62	0.75	0.87	1.0	1.0	0.87	0.75	0.62	0.5	0.37	0.25	0.13	0.0	0.88	0.88	0.88	0.88	0.88	0.88	
	0.88	0.88	0.88	0.88	0.88	0.88	0.88	0.88	0.87	0.88	0.88	0.88	0.88	0.88	0.88	0.88	0.88	0.87	0.88	0.88	0.88	0.88	0.88	0.88	0.88	0.88	0.87	1.0	1.0	0.88	0.75	0.63	0.5	0.38	0.25	0.13	0.0	0.88	0.88	0.88	0.88	0.88	0.88
	0.0	0.0	0.0	0.0	0.0	0.0	0.0	0.0	0.0	0.12	0.13	0.13	0.13	0.13	0.13	0.13	0.13	0.13	0.25	0.25	0.25	0.25	0.25	0.25	0.25	0.25	0.25	0.13	0.13	0.13	0.13	0.13	0.13	0.13	0.13	0.13	0.13	0.88	0.88	0.88	0.88		
09	0.0	0.12	0.25	0.37	0.5	0.62	0.75	0.87	1.0	0.0	0.13	0.25	0.37	0.5	0.62	0.75	0.87	1.0	0.0	0.13	0.25	0.37	0.5	0.62	0.75	0.87	1.0	1.0	0.87	0.75	0.62	0.5	0.37	0.25	0.13	0.0	1.0	1.0	1.0	1.0	1.0	1.0	
	1.0	1.0	1.0	1.0	1.0	1.0	1.0	1.0	1.0	1.0	1.0	1.0	1.0	1.0	1.0	1.0	1.0	1.0	1.0	1.0	1.0	1.0	1.0	1.0	1.0	1.0	1.0	1.0	1.0	0.88	0.75	0.63	0.5	0.38	0.25	0.13	0.0	1.0	1.0	1.0	1.0		
10	0.38	0.38	0.38	0.37	0.37	0.37	0.37	0.37	0.37	0.37	0.5	0.5	0.5	0.5	0.5	0.5	0.5	0.5	0.63	0.63	0.63	0.63	0.62	0.62	0.62	0.62	0.62	1.0	1.0	1.0	1.0	1.0	1.0	1.0	1.0	1.0	1.0	0.0	0.0	0.0	0.0		
	0.0	0.12	0.25	0.38	0.5	0.63	0.75	0.88	1.0	0.0	0.12	0.25	0.37	0.5	0.63	0.75	0.88	1.0	0.0	0.12	0.25	0.37	0.5	0.63	0.75	0.88	1.0	1.0	0.88	0.75	0.63	0.5	0.38	0.25	0.13	0.0	0.0	0.0	0.0	0.0	0.0	0.0	
	0.38	0.38	0.38	0.37	0.37	0.37	0.37	0.37	0.37	0.37	0.5	0.5	0.5	0.5	0.5	0.5	0.5	0.5	0.63	0.63	0.63	0.63	0.62	0.62	0.62	0.62	0.62	0.88	0.88	0.87	0.87	0.87	0.87	0.87	0.87	0.87	0.87	0.07	0.07	0.07	0.07		
11	0.0	0.13	0.25	0.38	0.5	0.63	0.75	0.88	1.0	0.0	0.13	0.25	0.37	0.5	0.63	0.75	0.88	1.0	0.0	0.13	0.25	0.37	0.5	0.63	0.75	0.88	1.0	0.88	0.88	0.88	0.88	0.88	0.88	0.88	0.88	0.88	0.07	0.07	0.07	0.07	0.07	0.07	
	0.12	0.13	0.13	0.13	0.13	0.13	0.13	0.13	0.13	0.12	0.13	0.13	0.13	0.13	0.13	0.13	0.13	0.13	0.12	0.13	0.13	0.13	0.13	0.13	0.13	0.13	0.13	1.0	1.0	0.88	0.75	0.63	0.5	0.38	0.25	0.13	0.0	0.07	0.07	0.07	0.07		
12	0.38	0.38	0.38	0.37	0.37	0.37	0.37	0.37	0.37	0.37	0.5	0.5	0.5	0.5	0.5	0.5	0.5	0.5	0.63	0.63	0.63	0.63	0.62	0.62	0.62	0.62	0.62	0.75	0.75	0.75	0.75	0.75	0.75	0.75	0.75	0.75	0.75	0.13	0.13	0.13	0.13		
	0.25	0.25	0.25	0.25	0.25	0.25	0.25	0.25	0.25	0.25	0.25	0.25	0.25	0.25	0.25	0.25	0.25	0.25	0.25	0.25	0.25	0.25	0.25	0.25	0.25	0.25	0.25	1.0	1.0	0.88	0.75	0.63	0.5	0.38	0.25	0.13	0.0	0.13	0.13	0.13	0.13		
	0.37	0.37	0.37	0.38	0.38	0.38	0.38	0.38	0.38	0.38	0.5	0.5	0.5	0.5	0.5	0.5	0.5	0.5	0.63	0.63	0.63																						

Ein und Ausgabe:
Farbmetrisches Drucker-Reflektiv-System FRS15_90a
Daten für jede Farbe:

u^*_d und Nummer $Nr.$ = 00 .. 15

Geräte-Bunttontext:

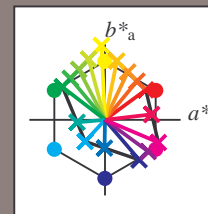
u^*_d = 16 Bunttoene $o00y$, $o25y$, ..., $m50o$

Kontrastreduzierungsfaktor:

$c_R = 0.9$

FRS15_90a; adaptierte CIELAB-Daten

u^*_d	$L^*=L^*_a$	a^*_a	b^*_a	$C^*_{ab,a}$	$h^*_{ab,a}$	u^*_e
$o00y$	38.8	53.92	39.68	66.95	36	$r16j$
$o25y$	47.46	42.34	51.25	66.48	50	$r37j$
$o50y$	56.54	30.2	63.39	70.22	65	$r58j$
$o75y$	67.39	15.68	77.9	79.47	79	$r79j$
$y00l$	82.58	-4.64	98.22	98.33	93	$j01g$
$y25l$	70.85	-21.66	80.19	83.07	105	$j18g$
$y50l$	61.91	-34.63	66.45	74.93	118	$j36g$
$y75l$	54.24	-45.77	54.66	71.29	130	$j53g$
$l00c$	46.95	-56.34	43.46	71.15	142	$j71g$
$l50c$	51.91	-36.84	-3.21	36.98	185	$g21b$
$c00v$	54.62	-26.2	-28.68	38.85	228	$g60b$
$c50v$	42.22	-0.61	-37.35	37.36	269	$g97b$
$v00m$	20.01	45.2	-52.87	69.56	311	$b34r$
$v50m$	29.93	57.31	-42.0	71.05	324	$b45r$
$m00o$	40.88	70.68	-29.99	76.78	337	$b57r$
$m50o$	39.77	61.72	7.23	62.15	7	$b83r$



%Umfang

$u^*_{rel} = 88$

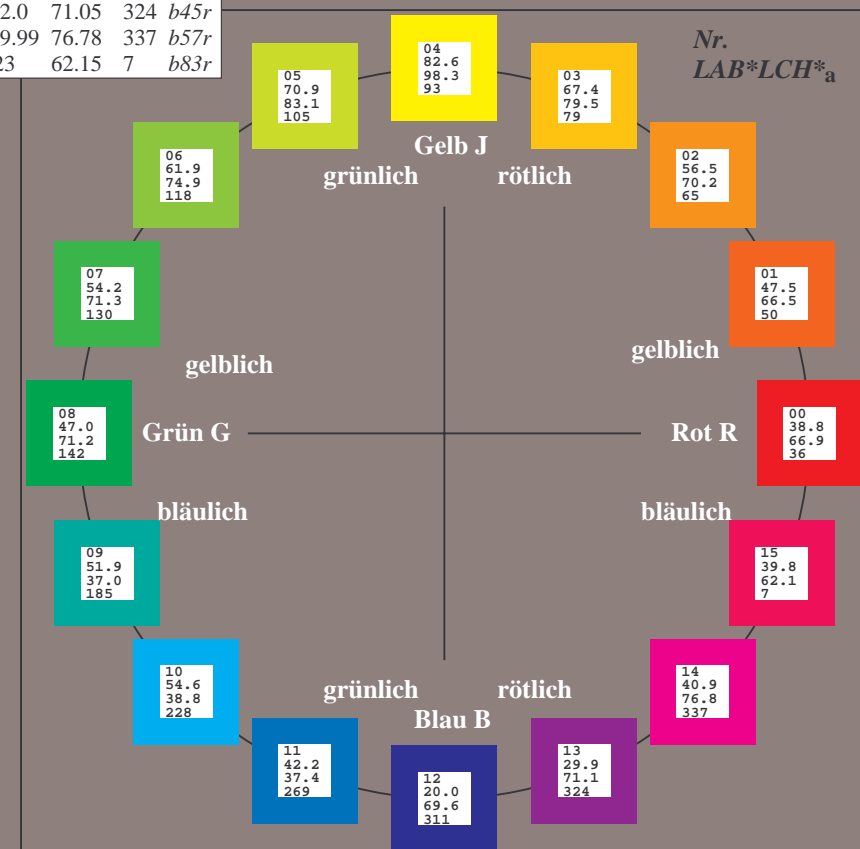
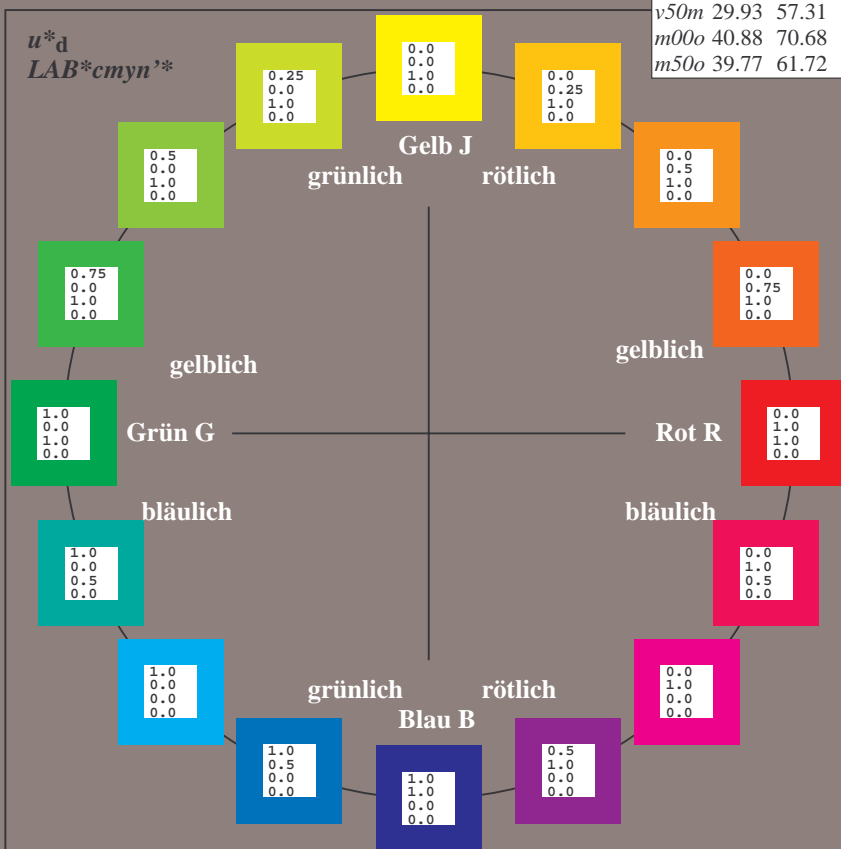
%Regularität

$g^*_{H,rel} = 31$

$g^*_{C,rel} = 40$

FRS15_90a; CIELAB-Daten

Name	$L^*=L^*$	a^*	b^*	C^*_{ab}	h^*_{ab}
O_M	38.8	54.41	35.65	65.05	33
Y_M	82.58	-4.04	92.72	92.8	92
L_M	46.95	-55.83	39.15	68.19	145
C_M	54.62	-25.67	-33.25	42.01	232
V_M	20.01	45.64	-56.27	72.45	309
M_M	40.88	71.17	-34.09	78.92	334
N_M	15.0	0.43	-3.23	3.26	278
W_M	90.0	0.62	-5.76	5.79	276
O_{CIE}	39.92	58.74	27.99	65.07	25
Y_{CIE}	81.26	-2.89	71.56	71.62	92
L_{CIE}	52.23	-42.42	13.6	44.55	162
V_{CIE}	30.57	1.41	-46.47	46.49	272



Ein und Ausgabe: Farbmetrisches Drucker-Reflektiv-System FRS15_90a für relativen CIELAB-Buntton $h^* = lab^*h^* = h_{ab}/360 = 0.101$

Daten für jede Farbe:

lab^*ch^* und lab^*icu^*

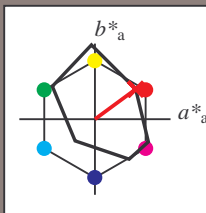
Bunttontexte:

$u^*_d = o00y$ $u^*_e = r16j$

Kontrastreduzierungsfaktor:

$c_R = 0.9$

Dreiecks-Helligkeit i^*



FRS15_90a; CIELAB-Daten					
u^*_d	$L^*=L^*_a$	a^*	b^*	C^*_{ab}	h^*_{ab}
O _M	38.8	54.41	35.65	65.05	33
Y _M	82.58	-4.04	92.72	92.8	92
L _M	46.95	-55.83	39.15	68.19	145
C _M	54.62	-25.67	-33.25	42.01	232
V _M	20.01	45.64	-56.27	72.45	309
M _M	40.88	71.17	-34.09	78.92	334
N _M	15.0	0.43	-3.23	3.26	278
W _M	90.0	0.62	-5.76	5.79	276
O _M	39.92	58.74	27.99	65.07	25
Y _M	81.26	-2.89	71.56	71.62	92
L _M	52.23	-42.42	13.6	44.55	162
V _M	30.57	1.41	-46.47	46.49	272

Daten für Maximalfarbe (Ma):

$LAB^*LAB^*_{Ma}$: 39 54 40

$LAB^*LCH^*_{Ma}$: 39 67 36

$lab^*olv^*_{Ma}$: 1.0 0.0 0.0

$lab^*rgb^*_{Ma}$: 1.0 0.16 0.0

Dreiecks-Helligkeit i^*

%Umfang

$u^*_{rel} = 88$

%Regularität

$g^*_{H,rel} = 31$

$g^*_{C,rel} = 40$

FRS15_90a; adaptierte CIELAB-Daten							
u^*_d	$L^*=L^*_a$	a^*_a	b^*_a	$C^*_{ab,a}$	$h^*_{ab,a}$	u^*_e	
<i>o00y</i>	38.8	53.92	39.68	66.95	36	<i>r16j</i>	
<i>o25y</i>	47.46	42.34	51.25	66.48	50	<i>r37j</i>	
<i>o50y</i>	56.54	30.2	63.39	70.22	65	<i>r58j</i>	
<i>o75y</i>	67.39	15.68	77.9	79.47	79	<i>r79j</i>	
<i>y00l</i>	82.58	-4.64	98.22	98.33	93	<i>j01g</i>	
<i>y25l</i>	70.85	-21.66	80.19	83.07	105	<i>j18g</i>	
<i>y50l</i>	61.91	-34.63	66.45	74.93	118	<i>j36g</i>	
<i>y75l</i>	54.24	-45.77	54.66	71.29	130	<i>j53g</i>	
<i>l00c</i>	46.95	-56.34	43.46	71.15	142	<i>j71g</i>	
<i>l50c</i>	51.91	-36.84	-3.21	36.98	185	<i>g21b</i>	
<i>c00v</i>	54.62	-26.2	-28.68	38.85	228	<i>g60b</i>	
<i>c50v</i>	42.22	-0.61	-37.35	37.36	269	<i>g97b</i>	
<i>v00m</i>	20.01	45.2	-52.87	69.56	311	<i>b34r</i>	
<i>v50m</i>	29.93	57.31	-42.0	71.05	324	<i>b45r</i>	
<i>m00o</i>	40.88	70.68	-29.99	76.78	337	<i>b57r</i>	
<i>m50o</i>	39.77	61.72	7.23	62.15	7	<i>b83r</i>	

LAB^*cmyn^*

$i^* = 1.00$

Brillantheit i^*

$i^* = 0.80$

$i^* = 0.60$

$i^* = 0.40$

$i^* = 0.20$

$i^* = 0.00$

relative Buntheit c^*

relative Buntheit c^*

Ein und Ausgabe: Farbmimetrisches Drucker-Reflektiv-System FRS15_90a für relativen CIELAB-Buntton $h^* = \text{lab}^*h^* = h_{ab}/360 = 0.14$

Daten für jede Farbe:

lab^*tch^* und lab^*icu^*

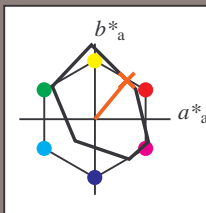
Bunttontexte:

$u^*_d = o25y$ $u^*_e = r37j$

Kontrastreduzierungsfaktor:

$c_R = 0.9$

Dreiecks-Helligkeit i^*



FRS15_90a; CIELAB-Daten					
u^*_d	$L^*=L^*_a$	a^*	b^*	C^*_{ab}	h^*_{ab}
O _M	38.8	54.41	35.65	65.05	33
Y _M	82.58	-4.04	92.72	92.8	92
L _M	46.95	-55.83	39.15	68.19	145
C _M	54.62	-25.67	-33.25	42.01	232
V _M	20.01	45.64	-56.27	72.45	309
M _M	40.88	71.17	-34.09	78.92	334
N _M	15.0	0.43	-3.23	3.26	278
W _M	90.0	0.62	-5.76	5.79	276
O _M	39.92	58.74	27.99	65.07	25
Y _M	81.26	-2.89	71.56	71.62	92
L _M	52.23	-42.42	13.6	44.55	162
V _M	30.57	1.41	-46.47	46.49	272

Daten für Maximalfarbe (Ma):

$\text{LAB}^*\text{LAB}^*_{Ma}$: 47 42 51

$\text{LAB}^*\text{LCH}^*_{Ma}$: 47 66 50

$\text{lab}^*\text{olv}^*_{Ma}$: 1.0 0.25 0.0

$\text{lab}^*\text{rgb}^*_{Ma}$: 1.0 0.37 0.0

Dreiecks-Helligkeit i^*

%Umfang

$u^*_{rel} = 88$

%Regularität

$g^*_{H,rel} = 31$

$g^*_{C,rel} = 40$

FRS15_90a; adaptierte CIELAB-Daten							
u^*_d	$L^*=L^*_a$	a^*_a	b^*_a	$C^*_{ab,a}$	$h^*_{ab,a}$	u^*_e	
o00y	38.8	53.92	39.68	66.95	36	r16j	
o25y	47.46	42.34	51.25	66.48	50	r37j	
o50y	56.54	30.2	63.39	70.22	65	r58j	
o75y	67.39	15.68	77.9	79.47	79	r79j	
y00l	82.58	-4.64	98.22	98.33	93	j01g	
y25l	70.85	-21.66	80.19	83.07	105	j18g	
y50l	61.91	-34.63	66.45	74.93	118	j36g	
y75l	54.24	-45.77	54.66	71.29	130	j53g	
l00c	46.95	-56.34	43.46	71.15	142	j71g	
l50c	51.91	-36.84	-3.21	36.98	185	g21b	
c00v	54.62	-26.2	-28.68	38.85	228	g60b	
c50v	42.22	-0.61	-37.35	37.36	269	g97b	
v00m	20.01	45.2	-52.87	69.56	311	b34r	
v50m	29.93	57.31	-42.0	71.05	324	b45r	
m00o	40.88	70.68	-29.99	76.78	337	b57r	
m50o	39.77	61.72	7.23	62.15	7	b83r	

$\text{LAB}^*\text{cmyn}^*$

$i^* = 1.00$

Brillantheit i^*

$i^* = 0.80$

$i^* = 0.60$

$i^* = 0.40$

$i^* = 0.20$

$i^* = 0.00$

relative Buntheit c^*

relative Buntheit c^*

Ein und Ausgabe: Farbmetrisches Drucker-Reflektiv-System FRS15_90a für relativen CIELAB-Buntton $h^* = lab^*h^* = h_{ab}/360 = 0.179$

Daten für jede Farbe:

lab^*tch^* und lab^*icu^*

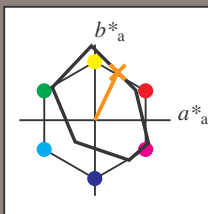
Bunttontexte:

$u^*_d = o50y$ $u^*_e = r58j$

Kontrastreduzierungsfaktor:

$c_R = 0.9$

Dreiecks-Helligkeit i^*



FRS15_90a; CIELAB-Daten					
u^*_d	$L^*=L^*$	a^*	b^*	C^*_{ab}	h^*_{ab}
O _M	38.8	54.41	35.65	65.05	33
Y _M	82.58	-4.04	92.72	92.8	92
L _M	46.95	-55.83	39.15	68.19	145
C _M	54.62	-25.67	-33.25	42.01	232
V _M	20.01	45.64	-56.27	72.45	309
M _M	40.88	71.17	-34.09	78.92	334
N _M	15.0	0.43	-3.23	3.26	278
W _M	90.0	0.62	-5.76	5.79	276
O _M	39.92	58.74	27.99	65.07	25
Y _M	81.26	-2.89	71.56	71.62	92
L _M	52.23	-42.42	13.6	44.55	162
V _M	30.57	1.41	-46.47	46.49	272

Daten für Maximalfarbe (Ma):

$LAB^*LAB^*_{Ma}$: 57 30 63

$LAB^*LCH^*_{Ma}$: 57 70 64

$lab^*olv^*_{Ma}$: 1.0 0.5 0.0

$lab^*rgb^*_{Ma}$: 1.0 0.58 0.0

Dreiecks-Helligkeit i^*

%Umfang

$u^*_{rel} = 88$

%Regularität

$g^*_{H,rel} = 31$

$g^*_{C,rel} = 40$

FRS15_90a; adaptierte CIELAB-Daten							
u^*_d	$L^*=L^*$	a^*_a	b^*_a	$C^*_{ab,a}$	$h^*_{ab,a}$	u^*_e	
o00y	38.8	53.92	39.68	66.95	36	r16j	
o25y	47.46	42.34	51.25	66.48	50	r37j	
o50y	56.54	30.2	63.39	70.22	65	r58j	
o75y	67.39	15.68	77.9	79.47	79	r79j	
y00l	82.58	-4.64	98.22	98.33	93	j01g	
y25l	70.85	-21.66	80.19	83.07	105	j18g	
y50l	61.91	-34.63	66.45	74.93	118	j36g	
y75l	54.24	-45.77	54.66	71.29	130	j53g	
l00c	46.95	-56.34	43.46	71.15	142	j71g	
l50c	51.91	-36.84	-3.21	36.98	185	g21b	
c00v	54.62	-26.2	-28.68	38.85	228	g60b	
c50v	42.22	-0.61	-37.35	37.36	269	g97b	
v00m	20.01	45.2	-52.87	69.56	311	b34r	
v50m	29.93	57.31	-42.0	71.05	324	b45r	
m00o	40.88	70.68	-29.99	76.78	337	b57r	
m50o	39.77	61.72	7.23	62.15	7	b83r	

$LAB^*cmy^n^*$

$i^* = 1.00$

Brillantheit i^*

$i^* = 0.80$

$i^* = 0.60$

$i^* = 0.40$

$i^* = 0.20$

$i^* = 0.00$

Ein und Ausgabe: Farbmetrisches Drucker-Reflektiv-System FRS15_90a für relativen CIELAB-Buntton $h^* = lab^*h^* = h_{ab}/360 = 0.218$

Daten für jede Farbe:

lab^*ch^* und lab^*icu^*

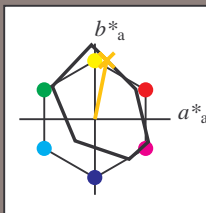
Bunttontexte:

$u^*_d = o75y$ $u^*_e = r79j$

Kontrastreduzierungsfaktor:

$c_R = 0.9$

Dreiecks-Helligkeit i^*



FRS15_90a; CIELAB-Daten						
u^*_d	$L^*=L^*$	a^*	b^*	C^*_{ab}	h^*_{ab}	
O _M	38.8	54.41	35.65	65.05	33	
Y _M	82.58	-4.04	92.72	92.8	92	
L _M	46.95	-55.83	39.15	68.19	145	
C _M	54.62	-25.67	-33.25	42.01	232	
V _M	20.01	45.64	-56.27	72.45	309	
M _M	40.88	71.17	-34.09	78.92	334	
N _M	15.0	0.43	-3.23	3.26	278	
W _M	90.0	0.62	-5.76	5.79	276	
O _M	39.92	58.74	27.99	65.07	25	
Y _M	81.26	-2.89	71.56	71.62	92	
L _M	52.23	-42.42	13.6	44.55	162	
V _M	30.57	1.41	-46.47	46.49	272	

Daten für Maximalfarbe (Ma):

$LAB^*LAB^*_{Ma}$: 67 16 78

$LAB^*LCH^*_{Ma}$: 67 79 78

$lab^*olv^*_{Ma}$: 1.0 0.75 0.0

$lab^*rgb^*_{Ma}$: 1.0 0.8 0.0

Dreiecks-Helligkeit i^*

%Umfang

$u^*_{rel} = 88$

%Regularität

$g^*_{H,rel} = 31$

$g^*_{C,rel} = 40$

FRS15_90a; adaptierte CIELAB-Daten									
u^*_d	$L^*=L^*$	a^*	b^*	$C^*_{ab,a}$	$h^*_{ab,a}$	u^*_e			
o00y	38.8	53.92	39.68	66.95	36	r16j			
o25y	47.46	42.34	51.25	66.48	50	r37j			
o50y	56.54	30.2	63.39	70.22	65	r58j			
o75y	67.39	15.68	77.9	79.47	79	r79j			
y00l	82.58	-4.64	98.22	98.33	93	j01g			
y25l	70.85	-21.66	80.19	83.07	105	j18g			
y50l	61.91	-34.63	66.45	74.93	118	j36g			
y75l	54.24	-45.77	54.66	71.29	130	j53g			
l00c	46.95	-56.34	43.46	71.15	142	j71g			
l50c	51.91	-36.84	-3.21	36.98	185	g21b			
c00v	54.62	-26.2	-28.68	38.85	228	g60b			
c50v	42.22	-0.61	-37.35	37.36	269	g97b			
v00m	20.01	45.2	-52.87	69.56	311	b34r			
v50m	29.93	57.31	-42.0	71.05	324	b45r			
m00o	40.88	70.68	-29.99	76.78	337	b57r			
m50o	39.77	61.72	7.23	62.15	7	b83r			

LAB^*cmyn^*

$i^*=1.00$

Brillantheit i^*

$i^*=0.80$

$i^*=0.60$

$i^*=0.40$

$i^*=0.20$

$i^*=0.00$

relative Buntheit c^*

relative Buntheit c^*

Ein und Ausgabe: Farbmetrisches Drucker-Reflektiv-System FRS15_90a für relativen CIELAB-Buntton $h^* = lab^*h^* = h_{ab}/360 = 0.258$

Daten für jede Farbe:

lab^*ch^* und lab^*icu^*

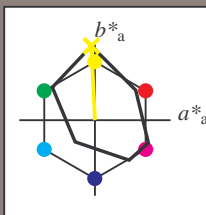
Bunttontexte:

$u^*_d = y00l$ $u^*_e = j01g$

Kontrastreduzierungsfaktor:

$c_R = 0.9$

Dreiecks-Helligkeit i^*



FRS15_90a; CIELAB-Daten					
u^*_d	$L^*=L^*_a$	a^*	b^*	C^*_{ab}	h^*_{ab}
O _M	38.8	54.41	35.65	65.05	33
Y _M	82.58	-4.04	92.72	92.8	92
L _M	46.95	-55.83	39.15	68.19	145
C _M	54.62	-25.67	-33.25	42.01	232
V _M	20.01	45.64	-56.27	72.45	309
M _M	40.88	71.17	-34.09	78.92	334
N _M	15.0	0.43	-3.23	3.26	278
W _M	90.0	0.62	-5.76	5.79	276
O _M	39.92	58.74	27.99	65.07	25
Y _M	81.26	-2.89	71.56	71.62	92
L _M	52.23	-42.42	13.6	44.55	162
V _M	30.57	1.41	-46.47	46.49	272

Daten für Maximalfarbe (Ma):

$LAB^*LAB^*_{Ma}$: 83 -5 98

$LAB^*LCH^*_{Ma}$: 83 98 92

$lab^*olv^*_{Ma}$: 1.0 1.0 0.0

$lab^*rgb^*_{Ma}$: 0.99 1.0 0.0

Dreiecks-Helligkeit i^*

%Umfang

$u^*_{rel} = 88$

%Regularität

$g^*_{H,rel} = 31$

$g^*_{C,rel} = 40$

FRS15_90a; adaptierte CIELAB-Daten							
u^*_d	$L^*=L^*_a$	a^*_a	b^*_a	$C^*_{ab,a}$	$h^*_{ab,a}$	u^*_e	
o00y	38.8	53.92	39.68	66.95	36	r16j	
o25y	47.46	42.34	51.25	66.48	50	r37j	
o50y	56.54	30.2	63.39	70.22	65	r58j	
o75y	67.39	15.68	77.9	79.47	79	r79j	
y00l	82.58	-4.64	98.22	98.33	93	j01g	
y25l	70.85	-21.66	80.19	83.07	105	j18g	
y50l	61.91	-34.63	66.45	74.93	118	j36g	
y75l	54.24	-45.77	54.66	71.29	130	j53g	
l00c	46.95	-56.34	43.46	71.15	142	j71g	
l50c	51.91	-36.84	-3.21	36.98	185	g21b	
c00v	54.62	-26.2	-28.68	38.85	228	g60b	
c50v	42.22	-0.61	-37.35	37.36	269	g97b	
v00m	20.01	45.2	-52.87	69.56	311	b34r	
v50m	29.93	57.31	-42.0	71.05	324	b45r	
m00o	40.88	70.68	-29.99	76.78	337	b57r	
m50o	39.77	61.72	7.23	62.15	7	b83r	

LAB^*cmyn^*

$i^* = 1.00$

Brillantheit i^*

$i^* = 0.80$

$i^* = 0.60$

$i^* = 0.40$

$i^* = 0.20$

$i^* = 0.00$

relative Bunttheit c^*

relative Bunttheit c^*

Ein und Ausgabe: Farbmetrisches Drucker-Reflektiv-System FRS15_90a für relativen CIELAB-Buntton $h^* = lab^*h^* = h_{ab}/360 = 0.292$

Daten für jede Farbe:

lab^*ch^* und lab^*icu^*

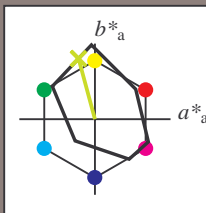
Bunttontexte:

$u^*_d = y25l$ $u^*_e = j18g$

Kontrastreduzierungsfaktor:

$c_R = 0.9$

Dreiecks-Helligkeit i^*



FRS15_90a; CIELAB-Daten

u^*_d	$L^*=L^*_a$	a^*	b^*	C^*_{ab}	h^*_{ab}
O _M	38.8	54.41	35.65	65.05	33
Y _M	82.58	-4.04	92.72	92.8	92
L _M	46.95	-55.83	39.15	68.19	145
C _M	54.62	-25.67	-33.25	42.01	232
V _M	20.01	45.64	-56.27	72.45	309
M _M	40.88	71.17	-34.09	78.92	334
N _M	15.0	0.43	-3.23	3.26	278
W _M	90.0	0.62	-5.76	5.79	276
O _M	39.92	58.74	27.99	65.07	25
Y _M	81.26	-2.89	71.56	71.62	92
L _M	52.23	-42.42	13.6	44.55	162
V _M	30.57	1.41	-46.47	46.49	272

Daten für Maximalfarbe (Ma):

$LAB^*LAB^*_{Ma}$: 71 -22 80

$LAB^*LCH^*_{Ma}$: 71 83 105

$lab^*olv^*_{Ma}$: 0.75 1.0 0.0

$lab^*rgb^*_{Ma}$: 0.82 1.0 0.0

Dreiecks-Helligkeit i^*

%Umfang

$u^*_{rel} = 88$

%Regularität

$g^*_{H,rel} = 31$

$g^*_{C,rel} = 40$

FRS15_90a; adaptierte CIELAB-Daten

u^*_d	$L^*=L^*_a$	a^*_a	b^*_a	$C^*_{ab,a}$	$h^*_{ab,a}$	u^*_e
o00y	38.8	53.92	39.68	66.95	36	r16j
o25y	47.46	42.34	51.25	66.48	50	r37j
o50y	56.54	30.2	63.39	70.22	65	r58j
o75y	67.39	15.68	77.9	79.47	79	r79j
y00l	82.58	-4.64	98.22	98.33	93	j01g
y25l	70.85	-21.66	80.19	83.07	105	j18g
y50l	61.91	-34.63	66.45	74.93	118	j36g
y75l	54.24	-45.77	54.66	71.29	130	j53g
l00c	46.95	-56.34	43.46	71.15	142	j71g
l50c	51.91	-36.84	-3.21	36.98	185	g21b
c00v	54.62	-26.2	-28.68	38.85	228	g60b
c50v	42.22	-0.61	-37.35	37.36	269	g97b
v00m	20.01	45.2	-52.87	69.56	311	b34r
v50m	29.93	57.31	-42.0	71.05	324	b45r
m00o	40.88	70.68	-29.99	76.78	337	b57r
m50o	39.77	61.72	7.23	62.15	7	b83r

LAB^*cmyn^*

$i^*=1.00$

Brillantheit i^*

$i^*=0.80$

$i^*=0.60$

$i^*=0.40$

$i^*=0.20$

$i^*=0.00$

Ein und Ausgabe: Farbmetrisches Drucker-Reflektiv-System FRS15_90a für relativen CIELAB-Buntton $h^* = lab^*h^* = h_{ab}/360 = 0.326$

Daten für jede Farbe:

lab^*ch^* und lab^*icu^*

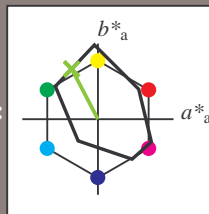
Bunttontexte:

$u^*_d = y50l$ $u^*_e = j36g$

Kontrastreduzierungsfaktor:

$c_R = 0.9$

Dreiecks-Helligkeit i^*



FRS15_90a; CIELAB-Daten

u^*_d	$L^*=L^*$	a^*	b^*	C^*_{ab}	h^*_{ab}
O _M	38.8	54.41	35.65	65.05	33
Y _M	82.58	-4.04	92.72	92.8	92
L _M	46.95	-55.83	39.15	68.19	145
C _M	54.62	-25.67	-33.25	42.01	232
V _M	20.01	45.64	-56.27	72.45	309
M _M	40.88	71.17	-34.09	78.92	334
N _M	15.0	0.43	-3.23	3.26	278
W _M	90.0	0.62	-5.76	5.79	276
O _M	39.92	58.74	27.99	65.07	25
Y _M	81.26	-2.89	71.56	71.62	92
L _M	52.23	-42.42	13.6	44.55	162
V _M	30.57	1.41	-46.47	46.49	272

Daten für Maximalfarbe (Ma):

$LAB^*LAB^*_{Ma}$: 62 -35 66

$LAB^*LCH^*_{Ma}$: 62 75 117

$lab^*olv^*_{Ma}$: 0.5 1.0 0.0

$lab^*rgb^*_{Ma}$: 0.64 1.0 0.0

Dreiecks-Helligkeit i^*

%Umfang

$u^*_{rel} = 88$

%Regularität

$g^*_{H,rel} = 31$

$g^*_{C,rel} = 40$

FRS15_90a; adaptierte CIELAB-Daten

u^*_d	$L^*=L^*$	a^*_a	b^*_a	$C^*_{ab,a}$	$h^*_{ab,a}$	u^*_e
o00y	38.8	53.92	39.68	66.95	36	r16j
o25y	47.46	42.34	51.25	66.48	50	r37j
o50y	56.54	30.2	63.39	70.22	65	r58j
o75y	67.39	15.68	77.9	79.47	79	r79j
y00l	82.58	-4.64	98.22	98.33	93	j01g
y25l	70.85	-21.66	80.19	83.07	105	j18g
y50l	61.91	-34.63	66.45	74.93	118	j36g
y75l	54.24	-45.77	54.66	71.29	130	j53g
l00c	46.95	-56.34	43.46	71.15	142	j71g
l50c	51.91	-36.84	-3.21	36.98	185	g21b
c00v	54.62	-26.2	-28.68	38.85	228	g60b
c50v	42.22	-0.61	-37.35	37.36	269	g97b
v00m	20.01	45.2	-52.87	69.56	311	b34r
v50m	29.93	57.31	-42.0	71.05	324	b45r
m00o	40.88	70.68	-29.99	76.78	337	b57r
m50o	39.77	61.72	7.23	62.15	7	b83r

LAB^*cmyn^*

$i^*=1.00$

Brillantheit i^*

$i^*=0.80$

$i^*=0.60$

$i^*=0.40$

$i^*=0.20$

$i^*=0.00$

relative Bunttheit c^*

relative Bunttheit c^*

Ein und Ausgabe: Farbmetrisches Drucker-Reflektiv-System FRS15_90a für relativen CIELAB-Buntton $h^* = lab^*h^* = h_{ab}/360 = 0.361$

Daten für jede Farbe:

lab^*ch^* und lab^*icu^*

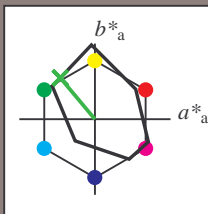
Bunttontexte:

$u^*_d = y75l$ $u^*_e = j53g$

Kontrastreduzierungsfaktor:

$c_R = 0.9$

Dreiecks-Helligkeit i^*



FRS15_90a; CIELAB-Daten						
u^*_d	$L^*=L^*_a$	a^*	b^*	C^*_{ab}	h^*_{ab}	
O _M	38.8	54.41	35.65	65.05	33	
Y _M	82.58	-4.04	92.72	92.8	92	
L _M	46.95	-55.83	39.15	68.19	145	
C _M	54.62	-25.67	-33.25	42.01	232	
V _M	20.01	45.64	-56.27	72.45	309	
M _M	40.88	71.17	-34.09	78.92	334	
N _M	15.0	0.43	-3.23	3.26	278	
W _M	90.0	0.62	-5.76	5.79	276	
O _M	39.92	58.74	27.99	65.07	25	
Y _M	81.26	-2.89	71.56	71.62	92	
L _M	52.23	-42.42	13.6	44.55	162	
V _M	30.57	1.41	-46.47	46.49	272	

Daten für Maximalfarbe (Ma):

$LAB^*LAB^*_{Ma}$: 54 -46 55

$LAB^*LCH^*_{Ma}$: 54 71 129

$lab^*olv^*_{Ma}$: 0.25 1.0 0.0

$lab^*rgb^*_{Ma}$: 0.46 1.0 0.0

Dreiecks-Helligkeit i^*

%Umfang

$u^*_{rel} = 88$

%Regularität

$g^*_{H,rel} = 31$

$g^*_{C,rel} = 40$

FRS15_90a; adaptierte CIELAB-Daten									
u^*_d	$L^*=L^*_a$	a^*_a	b^*_a	$C^*_{ab,a}$	$h^*_{ab,a}$	u^*_e			
o00y	38.8	53.92	39.68	66.95	36	r16j			
o25y	47.46	42.34	51.25	66.48	50	r37j			
o50y	56.54	30.2	63.39	70.22	65	r58j			
o75y	67.39	15.68	77.9	79.47	79	r79j			
y00l	82.58	-4.64	98.22	98.33	93	j01g			
y25l	70.85	-21.66	80.19	83.07	105	j18g			
y50l	61.91	-34.63	66.45	74.93	118	j36g			
y75l	54.24	-45.77	54.66	71.29	130	j53g			
l00c	46.95	-56.34	43.46	71.15	142	j71g			
l50c	51.91	-36.84	-3.21	36.98	185	g21b			
c00v	54.62	-26.2	-28.68	38.85	228	g60b			
c50v	42.22	-0.61	-37.35	37.36	269	g97b			
v00m	20.01	45.2	-52.87	69.56	311	b34r			
v50m	29.93	57.31	-42.0	71.05	324	b45r			
m00o	40.88	70.68	-29.99	76.78	337	b57r			
m50o	39.77	61.72	7.23	62.15	7	b83r			

LAB^*cmyn^*

$i^* = 1.00$

Brillantheit i^*

$i^* = 0.80$

$i^* = 0.60$

$i^* = 0.40$

$i^* = 0.20$

$i^* = 0.00$

relative Buntheit c^*

Ein und Ausgabe: Farbmetrisches Drucker-Reflektiv-System FRS15_90a für relativen CIELAB-Buntton $h^* = \text{lab}^*h^* = h_{ab}/360 = 0.395$

Daten für jede Farbe:

lab^*tch^* und lab^*icu^*

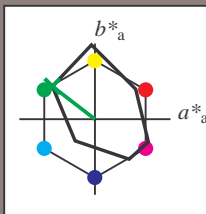
Bunttontexte:

$u^*_d = 100c$ $u^*_e = j71g$

Kontrastreduzierungsfaktor:

$c_R = 0.9$

Dreiecks-Helligkeit i^*



FRS15_90a; CIELAB-Daten

u^*_d	$L^*=L^*$	a^*	b^*	C^*_{ab}	h^*_{ab}
O _M	38.8	54.41	35.65	65.05	33
Y _M	82.58	-4.04	92.72	92.8	92
L _M	46.95	-55.83	39.15	68.19	145
C _M	54.62	-25.67	-33.25	42.01	232
V _M	20.01	45.64	-56.27	72.45	309
M _M	40.88	71.17	-34.09	78.92	334
N _M	15.0	0.43	-3.23	3.26	278
W _M	90.0	0.62	-5.76	5.79	276
O _M	39.92	58.74	27.99	65.07	25
Y _M	81.26	-2.89	71.56	71.62	92
L _M	52.23	-42.42	13.6	44.55	162
V _M	30.57	1.41	-46.47	46.49	272

Daten für Maximalfarbe (Ma):

$\text{LAB}^*\text{LAB}^*_{\text{Ma}}$: 47 -56 43

$\text{LAB}^*\text{LCH}^*_{\text{Ma}}$: 47 71 142

$\text{lab}^*\text{olv}^*_{\text{Ma}}$: 0.0 1.0 0.0

$\text{lab}^*\text{rgb}^*_{\text{Ma}}$: 0.28 1.0 0.0

Dreiecks-Helligkeit i^*

%Umfang

$u^*_{\text{rel}} = 88$

%Regularität

$g^*_{H,\text{rel}} = 31$

$g^*_{C,\text{rel}} = 40$

FRS15_90a; adaptierte CIELAB-Daten

u^*_d	$L^*=L^*$	a^*_a	b^*_a	$C^*_{ab,a}$	$h^*_{ab,a}$	u^*_e
o00y	38.8	53.92	39.68	66.95	36	r16j
o25y	47.46	42.34	51.25	66.48	50	r37j
o50y	56.54	30.2	63.39	70.22	65	r58j
o75y	67.39	15.68	77.9	79.47	79	r79j
y00l	82.58	-4.64	98.22	98.33	93	j01g
y25l	70.85	-21.66	80.19	83.07	105	j18g
y50l	61.91	-34.63	66.45	74.93	118	j36g
y75l	54.24	-45.77	54.66	71.29	130	j53g
l00c	46.95	-56.34	43.46	71.15	142	j71g
l50c	51.91	-36.84	-3.21	36.98	185	g21b
c00v	54.62	-26.2	-28.68	38.85	228	g60b
c50v	42.22	-0.61	-37.35	37.36	269	g97b
v00m	20.01	45.2	-52.87	69.56	311	b34r
v50m	29.93	57.31	-42.0	71.05	324	b45r
m00o	40.88	70.68	-29.99	76.78	337	b57r
m50o	39.77	61.72	7.23	62.15	7	b83r

$\text{LAB}^*\text{cmyn}^*$

$i^* = 1.00$

Brillantheit i^*

$i^* = 0.80$

$i^* = 0.60$

$i^* = 0.40$

$i^* = 0.20$

$i^* = 0.00$

relative Bunttheit c^*

relative Bunttheit c^*

Ein und Ausgabe: Farbmetrisches Drucker-Reflektiv-System FRS15_90a für relativen CIELAB-Buntton $h^* = \text{lab}^*h^* = h_{ab}/360 = 0.514$

Daten für jede Farbe:

lab^*tch^* und lab^*icu^*

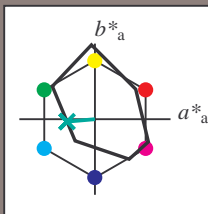
Bunttontexte:

$u^*_d = 150c$ $u^*_e = g21b$

Kontrastreduzierungsfaktor:

$c_R = 0.9$

Dreiecks-Helligkeit t^*



FRS15_90a; CIELAB-Daten						
u^*_d	$L^*=L^*_a$	a^*	b^*	C^*_{ab}	h^*_{ab}	
O _M	38.8	54.41	35.65	65.05	33	
Y _M	82.58	-4.04	92.72	92.8	92	
L _M	46.95	-55.83	39.15	68.19	145	
C _M	54.62	-25.67	-33.25	42.01	232	
V _M	20.01	45.64	-56.27	72.45	309	
M _M	40.88	71.17	-34.09	78.92	334	
N _M	15.0	0.43	-3.23	3.26	278	
W _M	90.0	0.62	-5.76	5.79	276	
O _M	39.92	58.74	27.99	65.07	25	
Y _M	81.26	-2.89	71.56	71.62	92	
L _M	52.23	-42.42	13.6	44.55	162	
V _M	30.57	1.41	-46.47	46.49	272	

Daten für Maximalfarbe (Ma):

$\text{LAB}^*\text{LAB}^*_{\text{Ma}}$: 52 -37 -3

$\text{LAB}^*\text{LCH}^*_{\text{Ma}}$: 52 37 184

$\text{lab}^*\text{olv}^*_{\text{Ma}}$: 0.0 1.0 0.5

$\text{lab}^*\text{rgb}^*_{\text{Ma}}$: 0.0 1.0 0.42

Dreiecks-Helligkeit t^*

%Umfang

$u^*_{\text{rel}} = 88$

%Regularität

$g^*_{H,\text{rel}} = 31$

$g^*_{C,\text{rel}} = 40$

FRS15_90a; adaptierte CIELAB-Daten										
u^*_d	$L^*=L^*_a$	a^*_a	b^*_a	$C^*_{ab,a}$	$h^*_{ab,a}$	u^*_e				
o00y	38.8	53.92	39.68	66.95	36	r16j				
o25y	47.46	42.34	51.25	66.48	50	r37j				
o50y	56.54	30.2	63.39	70.22	65	r58j				
o75y	67.39	15.68	77.9	79.47	79	r79j				
y00l	82.58	-4.64	98.22	98.33	93	j01g				
y25l	70.85	-21.66	80.19	83.07	105	j18g				
y50l	61.91	-34.63	66.45	74.93	118	j36g				
y75l	54.24	-45.77	54.66	71.29	130	j53g				
l00c	46.95	-56.34	43.46	71.15	142	j71g				
l50c	51.91	-36.84	-3.21	36.98	185	g21b				
c00v	54.62	-26.2	-28.68	38.85	228	g60b				
c50v	42.22	-0.61	-37.35	37.36	269	g97b				
v00m	20.01	45.2	-52.87	69.56	311	b34r				
v50m	29.93	57.31	-42.0	71.05	324	b45r				
m00o	40.88	70.68	-29.99	76.78	337	b57r				
m50o	39.77	61.72	7.23	62.15	7	b83r				

$\text{LAB}^*\text{cmyn}^*$

$i^* = 1.00$

Brillantheit i^*

$i^* = 0.80$

$i^* = 0.60$

$i^* = 0.40$

$i^* = 0.20$

$i^* = 0.00$

relative Buntheit c^*

relative Buntheit c^*

Ein und Ausgabe: Farbmetrisches Drucker-Reflektiv-System FRS15_90a für relativen CIELAB-Buntton $h^* = lab^*h^* = h_{ab}/360 = 0.632$

Daten für jede Farbe:

lab^*ch^* und lab^*icu^*

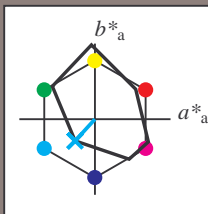
Bunttontexte:

$u^*_d = c00v$ $u^*_e = g60b$

Kontrastreduzierungsfaktor:

$c_R = 0.9$

Dreiecks-Helligkeit i^*



FRS15_90a; CIELAB-Daten

u^*_d	$L^*=L^*$	a^*	b^*	C^*_{ab}	h^*_{ab}
O _M	38.8	54.41	35.65	65.05	33
Y _M	82.58	-4.04	92.72	92.8	92
L _M	46.95	-55.83	39.15	68.19	145
C _M	54.62	-25.67	-33.25	42.01	232
V _M	20.01	45.64	-56.27	72.45	309
M _M	40.88	71.17	-34.09	78.92	334
N _M	15.0	0.43	-3.23	3.26	278
W _M	90.0	0.62	-5.76	5.79	276
O _M	39.92	58.74	27.99	65.07	25
Y _M	81.26	-2.89	71.56	71.62	92
L _M	52.23	-42.42	13.6	44.55	162
V _M	30.57	1.41	-46.47	46.49	272

Daten für Maximalfarbe (Ma):

$LAB^*LAB^*_{Ma}$: 55 -26 -29

$LAB^*LCH^*_{Ma}$: 55 39 227

$lab^*olv^*_{Ma}$: 0.0 1.0 1.0

$lab^*rgb^*_{Ma}$: 0.0 0.81 1.0

Dreiecks-Helligkeit i^*

%Umfang

$u^*_{rel} = 88$

%Regularität

$g^*_{H,rel} = 31$

$g^*_{C,rel} = 40$

FRS15_90a; adaptierte CIELAB-Daten

u^*_d	$L^*=L^*$	a^*_a	b^*_a	$C^*_{ab,a}$	$h^*_{ab,a}$	u^*_e
o00y	38.8	53.92	39.68	66.95	36	r16j
o25y	47.46	42.34	51.25	66.48	50	r37j
o50y	56.54	30.2	63.39	70.22	65	r58j
o75y	67.39	15.68	77.9	79.47	79	r79j
y00l	82.58	-4.64	98.22	98.33	93	j01g
y25l	70.85	-21.66	80.19	83.07	105	j18g
y50l	61.91	-34.63	66.45	74.93	118	j36g
y75l	54.24	-45.77	54.66	71.29	130	j53g
l00c	46.95	-56.34	43.46	71.15	142	j71g
l50c	51.91	-36.84	-3.21	36.98	185	g21b
c00v	54.62	-26.2	-28.68	38.85	228	g60b
c50v	42.22	-0.61	-37.35	37.36	269	g97b
v00m	20.01	45.2	-52.87	69.56	311	b34r
v50m	29.93	57.31	-42.0	71.05	324	b45r
m00o	40.88	70.68	-29.99	76.78	337	b57r
m50o	39.77	61.72	7.23	62.15	7	b83r

LAB^*cmyn^*

$i^* = 1.00$

Brillantheit i^*

$i^* = 0.80$

$i^* = 0.60$

$i^* = 0.40$

$i^* = 0.20$

$i^* = 0.00$

relative Buntheit c^*

relative Buntheit c^*

Ein und Ausgabe: Farbmetrisches Drucker-Reflektiv-System FRS15_90a für relativen CIELAB-Buntton $h^* = \text{lab}^*h^* = h_{ab}/360 = 0.747$

Daten für jede Farbe:

lab^*tch^* und lab^*icu^*

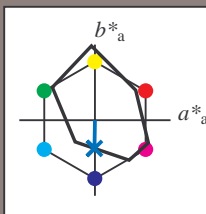
Bunttontexte:

$u^*_d = c50v$ $u^*_e = g97b$

Kontrastreduzierungsfaktor:

$c_R = 0.9$

Dreiecks-Helligkeit i^*



FRS15_90a; CIELAB-Daten

u^*_d	$L^*=L^*_a$	a^*	b^*	C^*_{ab}	h^*_{ab}
O _M	38.8	54.41	35.65	65.05	33
Y _M	82.58	-4.04	92.72	92.8	92
L _M	46.95	-55.83	39.15	68.19	145
C _M	54.62	-25.67	-33.25	42.01	232
V _M	20.01	45.64	-56.27	72.45	309
M _M	40.88	71.17	-34.09	78.92	334
N _M	15.0	0.43	-3.23	3.26	278
W _M	90.0	0.62	-5.76	5.79	276
O _M	39.92	58.74	27.99	65.07	25
Y _M	81.26	-2.89	71.56	71.62	92
L _M	52.23	-42.42	13.6	44.55	162
V _M	30.57	1.41	-46.47	46.49	272

Daten für Maximalfarbe (Ma):

$\text{LAB}^*\text{LAB}^*_{\text{Ma}}$: 42 -1 -37

$\text{LAB}^*\text{LCH}^*_{\text{Ma}}$: 42 37 269

$\text{lab}^*\text{olv}^*_{\text{Ma}}$: 0.0 0.5 1.0

$\text{lab}^*\text{rgb}^*_{\text{Ma}}$: 0.0 0.05 1.0

Dreiecks-Helligkeit i^*

%Umfang

$u^*_{\text{rel}} = 88$

%Regularität

$g^*_{H,\text{rel}} = 31$

$g^*_{C,\text{rel}} = 40$

FRS15_90a; adaptierte CIELAB-Daten

u^*_d	$L^*=L^*_a$	a^*_a	b^*_a	$C^*_{ab,a}$	$h^*_{ab,a}$	u^*_e
o00y	38.8	53.92	39.68	66.95	36	r16j
o25y	47.46	42.34	51.25	66.48	50	r37j
o50y	56.54	30.2	63.39	70.22	65	r58j
o75y	67.39	15.68	77.9	79.47	79	r79j
y00l	82.58	-4.64	98.22	98.33	93	j01g
y25l	70.85	-21.66	80.19	83.07	105	j18g
y50l	61.91	-34.63	66.45	74.93	118	j36g
y75l	54.24	-45.77	54.66	71.29	130	j53g
l00c	46.95	-56.34	43.46	71.15	142	j71g
l50c	51.91	-36.84	-3.21	36.98	185	g21b
c00v	54.62	-26.2	-28.68	38.85	228	g60b
c50v	42.22	-0.61	-37.35	37.36	269	g97b
v00m	20.01	45.2	-52.87	69.56	311	b34r
v50m	29.93	57.31	-42.0	71.05	324	b45r
m00o	40.88	70.68	-29.99	76.78	337	b57r
m50o	39.77	61.72	7.23	62.15	7	b83r

$\text{LAB}^*\text{cmyn}^*$

$i^* = 1.00$

Brillantheit i^*

$i^* = 0.80$

$i^* = 0.60$

$i^* = 0.40$

$i^* = 0.20$

$i^* = 0.00$

relative Buntheit c^*

relative Buntheit c^*

Ein und Ausgabe: Farbmetrisches Drucker-Reflektiv-System FRS15_90a für relativen CIELAB-Buntton $h^* = lab^*h^* = h_{ab}/360 = 0.863$

Daten für jede Farbe:

lab^*ch^* und lab^*icu^*

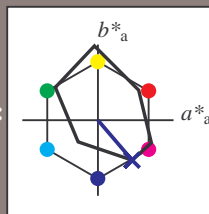
Bunttontexte:

$u^*_d = v00m$ $u^*_e = b34r$

Kontrastreduzierungsfaktor:

$c_R = 0.9$

Dreiecks-Helligkeit i^*



FRS15_90a; CIELAB-Daten

u^*_d	$L^*=L^*$	a^*	b^*	C^*_{ab}	h^*_{ab}
O _M	38.8	54.41	35.65	65.05	33
Y _M	82.58	-4.04	92.72	92.8	92
L _M	46.95	-55.83	39.15	68.19	145
C _M	54.62	-25.67	-33.25	42.01	232
V _M	20.01	45.64	-56.27	72.45	309
M _M	40.88	71.17	-34.09	78.92	334
N _M	15.0	0.43	-3.23	3.26	278
W _M	90.0	0.62	-5.76	5.79	276
O _M	39.92	58.74	27.99	65.07	25
Y _M	81.26	-2.89	71.56	71.62	92
L _M	52.23	-42.42	13.6	44.55	162
V _M	30.57	1.41	-46.47	46.49	272

Daten für Maximalfarbe (Ma):

$LAB^*LAB^*_{Ma}$: 20 45 -53

$LAB^*LCH^*_{Ma}$: 20 70 310

$lab^*olv^*_{Ma}$: 0.0 0.0 1.0

$lab^*rgb^*_{Ma}$: 0.68 0.0 1.0

Dreiecks-Helligkeit i^*

%Umfang

$u^*_{rel} = 88$

%Regularität

$g^*_{H,rel} = 31$

$g^*_{C,rel} = 40$

FRS15_90a; adaptierte CIELAB-Daten

u^*_d	$L^*=L^*$	a^*_a	b^*_a	$C^*_{ab,a}$	$h^*_{ab,a}$	u^*_e
o00y	38.8	53.92	39.68	66.95	36	r16j
o25y	47.46	42.34	51.25	66.48	50	r37j
o50y	56.54	30.2	63.39	70.22	65	r58j
o75y	67.39	15.68	77.9	79.47	79	r79j
y00l	82.58	-4.64	98.22	98.33	93	j01g
y25l	70.85	-21.66	80.19	83.07	105	j18g
y50l	61.91	-34.63	66.45	74.93	118	j36g
y75l	54.24	-45.77	54.66	71.29	130	j53g
l00c	46.95	-56.34	43.46	71.15	142	j71g
l50c	51.91	-36.84	-3.21	36.98	185	g21b
c00v	54.62	-26.2	-28.68	38.85	228	g60b
c50v	42.22	-0.61	-37.35	37.36	269	g97b
v00m	20.01	45.2	-52.87	69.56	311	b34r
v50m	29.93	57.31	-42.0	71.05	324	b45r
m00o	40.88	70.68	-29.99	76.78	337	b57r
m50o	39.77	61.72	7.23	62.15	7	b83r

LAB^*cmyn^*

$i^* = 1.00$

Brillantheit i^*

$i^* = 0.80$

$i^* = 0.60$

$i^* = 0.40$

$i^* = 0.20$

$i^* = 0.00$

relative Buntheit c^*

relative Buntheit c^*

Ein und Ausgabe: Farbmetrisches Drucker-Reflektiv-System FRS15_90a für relativen CIELAB-Buntton $h^* = \text{lab}^*h^* = h_{ab}/360 = 0.899$

Daten für jede Farbe:

lab^*tch^* und lab^*icu^*

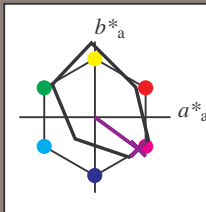
Bunttontexte:

$u^*_d = v50m$ $u^*_e = b45r$

Kontrastreduzierungsfaktor:

$c_R = 0.9$

Dreiecks-Helligkeit i^*



FRS15_90a; CIELAB-Daten						
u^*_d	$L^*=L^*_a$	a^*	b^*	C^*_{ab}	h^*_{ab}	
O _M	38.8	54.41	35.65	65.05	33	
Y _M	82.58	-4.04	92.72	92.8	92	
L _M	46.95	-55.83	39.15	68.19	145	
C _M	54.62	-25.67	-33.25	42.01	232	
V _M	20.01	45.64	-56.27	72.45	309	
M _M	40.88	71.17	-34.09	78.92	334	
N _M	15.0	0.43	-3.23	3.26	278	
W _M	90.0	0.62	-5.76	5.79	276	
O _M	39.92	58.74	27.99	65.07	25	
Y _M	81.26	-2.89	71.56	71.62	92	
L _M	52.23	-42.42	13.6	44.55	162	
V _M	30.57	1.41	-46.47	46.49	272	

Daten für Maximalfarbe (Ma):

$\text{LAB}^*\text{LAB}^*_{\text{Ma}}$: 30 57 -42

$\text{LAB}^*\text{LCH}^*_{\text{Ma}}$: 30 71 323

$\text{lab}^*\text{olv}^*_{\text{Ma}}$: 0.5 0.0 1.0

$\text{lab}^*\text{rgb}^*_{\text{Ma}}$: 0.91 0.0 1.0

Dreiecks-Helligkeit i^*

%Umfang

$u^*_{\text{rel}} = 88$

%Regularität

$g^*_{H,\text{rel}} = 31$

$g^*_{C,\text{rel}} = 40$

FRS15_90a; adaptierte CIELAB-Daten									
u^*_d	$L^*=L^*_a$	a^*_a	b^*_a	$C^*_{ab,a}$	$h^*_{ab,a}$	u^*_e			
o00y	38.8	53.92	39.68	66.95	36	r16j			
o25y	47.46	42.34	51.25	66.48	50	r37j			
o50y	56.54	30.2	63.39	70.22	65	r58j			
o75y	67.39	15.68	77.9	79.47	79	r79j			
y00l	82.58	-4.64	98.22	98.33	93	j01g			
y25l	70.85	-21.66	80.19	83.07	105	j18g			
y50l	61.91	-34.63	66.45	74.93	118	j36g			
y75l	54.24	-45.77	54.66	71.29	130	j53g			
l00c	46.95	-56.34	43.46	71.15	142	j71g			
l50c	51.91	-36.84	-3.21	36.98	185	g21b			
c00v	54.62	-26.2	-28.68	38.85	228	g60b			
c50v	42.22	-0.61	-37.35	37.36	269	g97b			
v00m	20.01	45.2	-52.87	69.56	311	b34r			
v50m	29.93	57.31	-42.0	71.05	324	b45r			
m00o	40.88	70.68	-29.99	76.78	337	b57r			
m50o	39.77	61.72	7.23	62.15	7	b83r			

$\text{LAB}^*\text{cmyn}^*$

$i^* = 1.00$

Brillantheit i^*

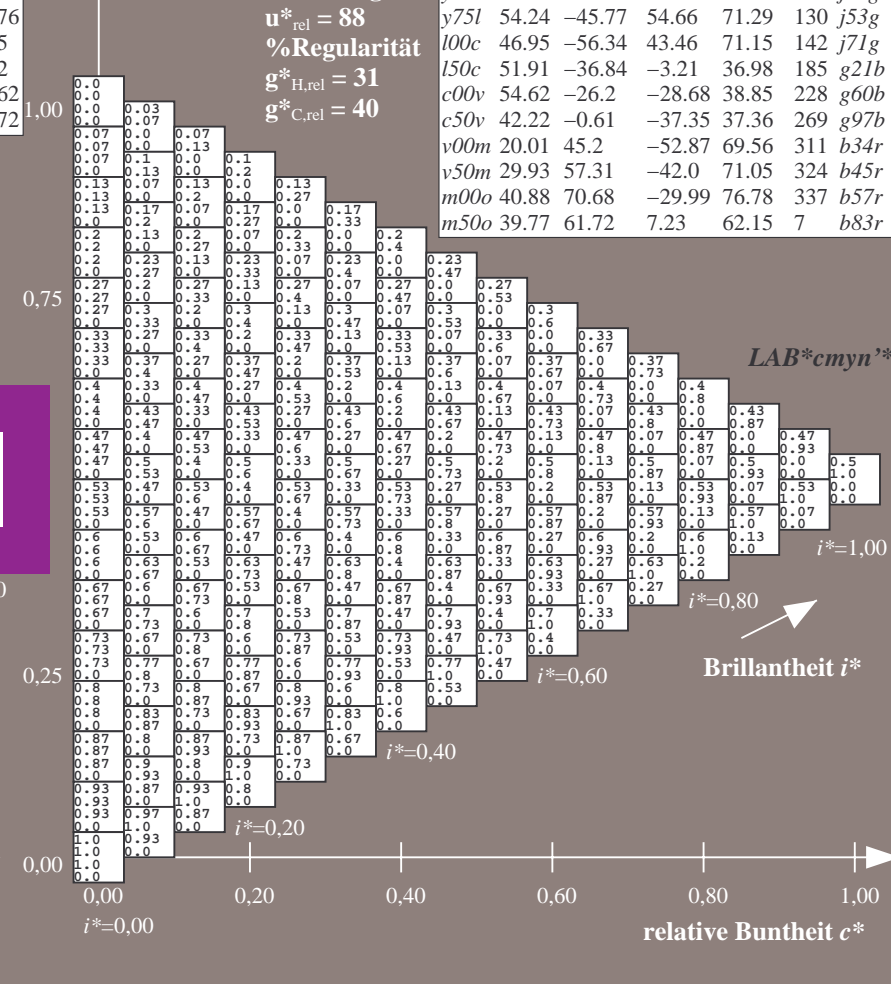
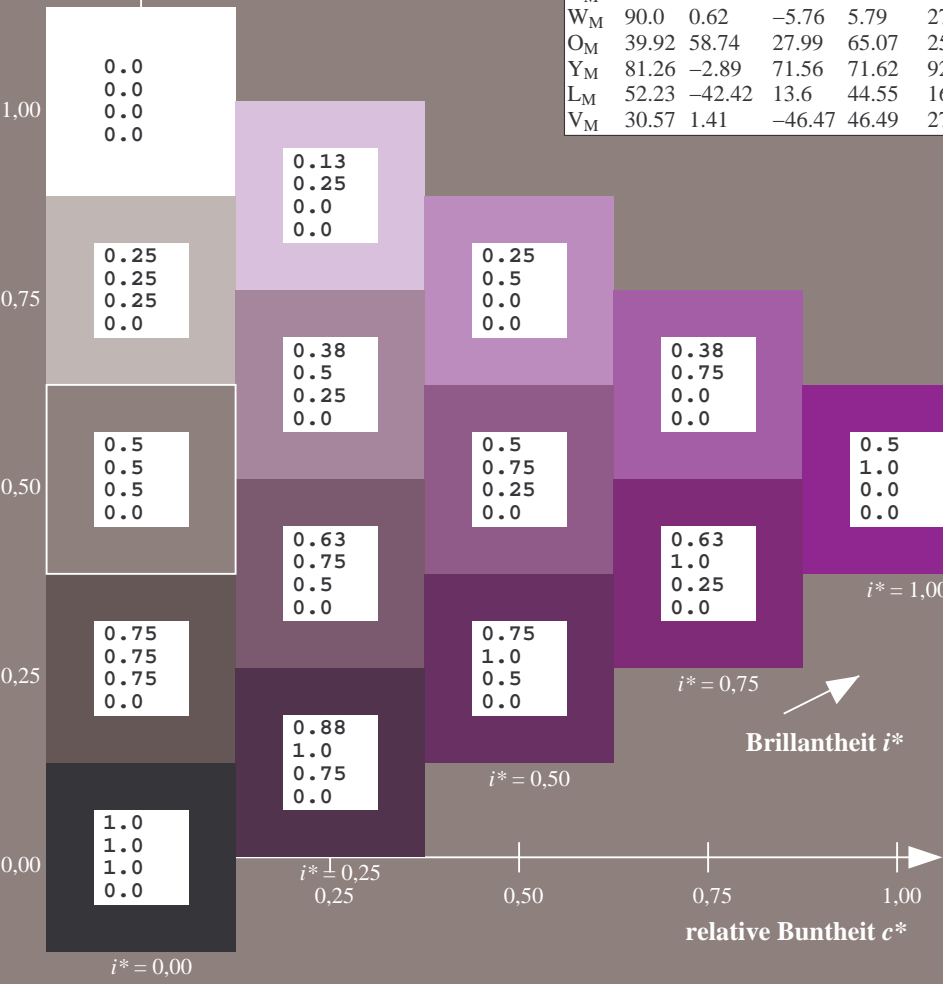
$i^* = 0.80$

$i^* = 0.60$

$i^* = 0.40$

$i^* = 0.20$

$i^* = 0.00$



Ein und Ausgabe: Farbmetrisches Drucker-Reflektiv-System FRS15_90a für relativen CIELAB-Buntton $h^* = \text{lab}^*h^* = h_{ab}/360 = 0.936$

Daten für jede Farbe:

lab^*tch^* und lab^*icu^*

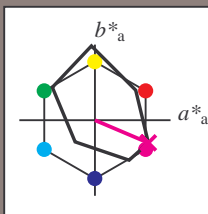
Bunttontexte:

$u^*_d = m00o$ $u^*_e = b57r$

Kontrastreduzierungsfaktor:

$c_R = 0.9$

Dreiecks-Helligkeit i^*



FRS15_90a; CIELAB-Daten						
u^*_d	$L^*=L^*_a$	a^*	b^*	C^*_{ab}	h^*_{ab}	
O _M	38.8	54.41	35.65	65.05	33	
Y _M	82.58	-4.04	92.72	92.8	92	
L _M	46.95	-55.83	39.15	68.19	145	
C _M	54.62	-25.67	-33.25	42.01	232	
V _M	20.01	45.64	-56.27	72.45	309	
M _M	40.88	71.17	-34.09	78.92	334	
N _M	15.0	0.43	-3.23	3.26	278	
W _M	90.0	0.62	-5.76	5.79	276	
O _M	39.92	58.74	27.99	65.07	25	
Y _M	81.26	-2.89	71.56	71.62	92	
L _M	52.23	-42.42	13.6	44.55	162	
V _M	30.57	1.41	-46.47	46.49	272	

Daten für Maximalfarbe (Ma):

$\text{LAB}^*\text{LAB}^*_{\text{Ma}}$: 41 71 -30

$\text{LAB}^*\text{LCH}^*_{\text{Ma}}$: 41 77 337

$\text{lab}^*\text{olv}^*_{\text{Ma}}$: 1.0 0.0 1.0

$\text{lab}^*\text{rgb}^*_{\text{Ma}}$: 1.0 0.0 0.85

Dreiecks-Helligkeit i^*

%Umfang

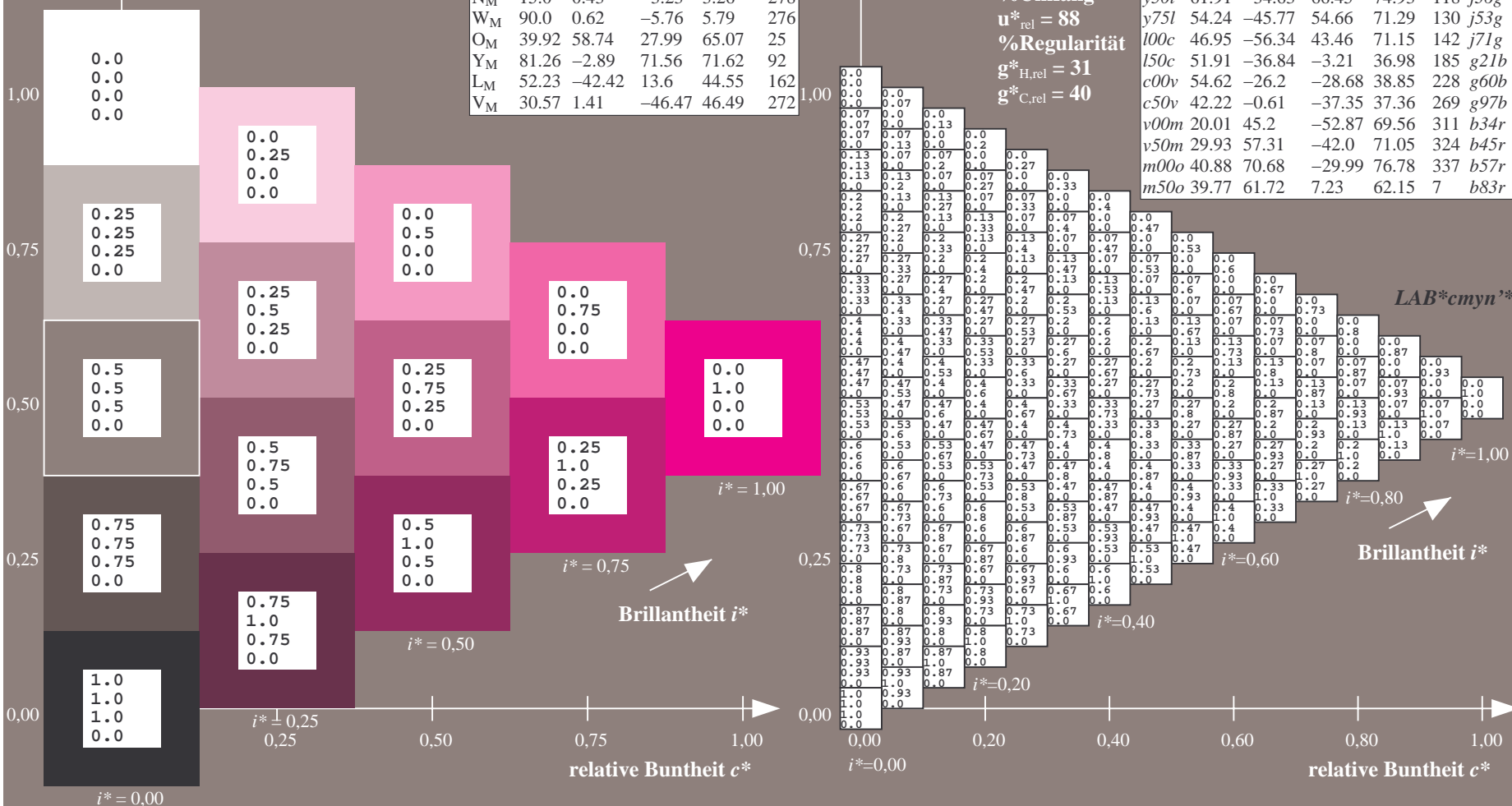
$u^*_{\text{rel}} = 88$

%Regularität

$g^*_{H,\text{rel}} = 31$

$g^*_{C,\text{rel}} = 40$

FRS15_90a; adaptierte CIELAB-Daten									
u^*_d	$L^*=L^*_a$	a^*_a	b^*_a	$C^*_{ab,a}$	$h^*_{ab,a}$	u^*_e			
o00y	38.8	53.92	39.68	66.95	36	r16j			
o25y	47.46	42.34	51.25	66.48	50	r37j			
o50y	56.54	30.2	63.39	70.22	65	r58j			
o75y	67.39	15.68	77.9	79.47	79	r79j			
y00l	82.58	-4.64	98.22	98.33	93	j01g			
y25l	70.85	-21.66	80.19	83.07	105	j18g			
y50l	61.91	-34.63	66.45	74.93	118	j36g			
y75l	54.24	-45.77	54.66	71.29	130	j53g			
l00c	46.95	-56.34	43.46	71.15	142	j71g			
l50c	51.91	-36.84	-3.21	36.98	185	g21b			
c00v	54.62	-26.2	-28.68	38.85	228	g60b			
c50v	42.22	-0.61	-37.35	37.36	269	g97b			
v00m	20.01	45.2	-52.87	69.56	311	b34r			
v50m	29.93	57.31	-42.0	71.05	324	b45r			
m00o	40.88	70.68	-29.99	76.78	337	b57r			
m50o	39.77	61.72	7.23	62.15	7	b83r			



Ein und Ausgabe: Farbmetrisches Drucker-Reflektiv-System FRS15_90a für relativen CIELAB-Buntton $h^* = \text{lab}^*h^* = h_{ab}/360 = 0.019$

Daten für jede Farbe:

lab^*tch^* und lab^*icu^*

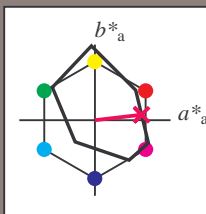
Bunttontexte:

$u^*_d = m50o$ $u^*_e = b83r$

Kontrastreduzierungsfaktor:

$c_R = 0.9$

Dreiecks-Helligkeit i^*



FRS15_90a; CIELAB-Daten						
u^*_d	$L^*=L^*_a$	a^*	b^*	C^*_{ab}	h^*_{ab}	
O _M	38.8	54.41	35.65	65.05	33	
Y _M	82.58	-4.04	92.72	92.8	92	
L _M	46.95	-55.83	39.15	68.19	145	
C _M	54.62	-25.67	-33.25	42.01	232	
V _M	20.01	45.64	-56.27	72.45	309	
M _M	40.88	71.17	-34.09	78.92	334	
N _M	15.0	0.43	-3.23	3.26	278	
W _M	90.0	0.62	-5.76	5.79	276	
O _M	39.92	58.74	27.99	65.07	25	
Y _M	81.26	-2.89	71.56	71.62	92	
L _M	52.23	-42.42	13.6	44.55	162	
V _M	30.57	1.41	-46.47	46.49	272	

Daten für Maximalfarbe (Ma):

$\text{LAB}^*\text{LAB}^*_{\text{Ma}}$: 40 62 7

$\text{LAB}^*\text{LCH}^*_{\text{Ma}}$: 40 62 6

$\text{lab}^*\text{olv}^*_{\text{Ma}}$: 1.0 0.0 0.5

$\text{lab}^*\text{rgb}^*_{\text{Ma}}$: 1.0 0.0 0.33

Dreiecks-Helligkeit i^*

%Umfang

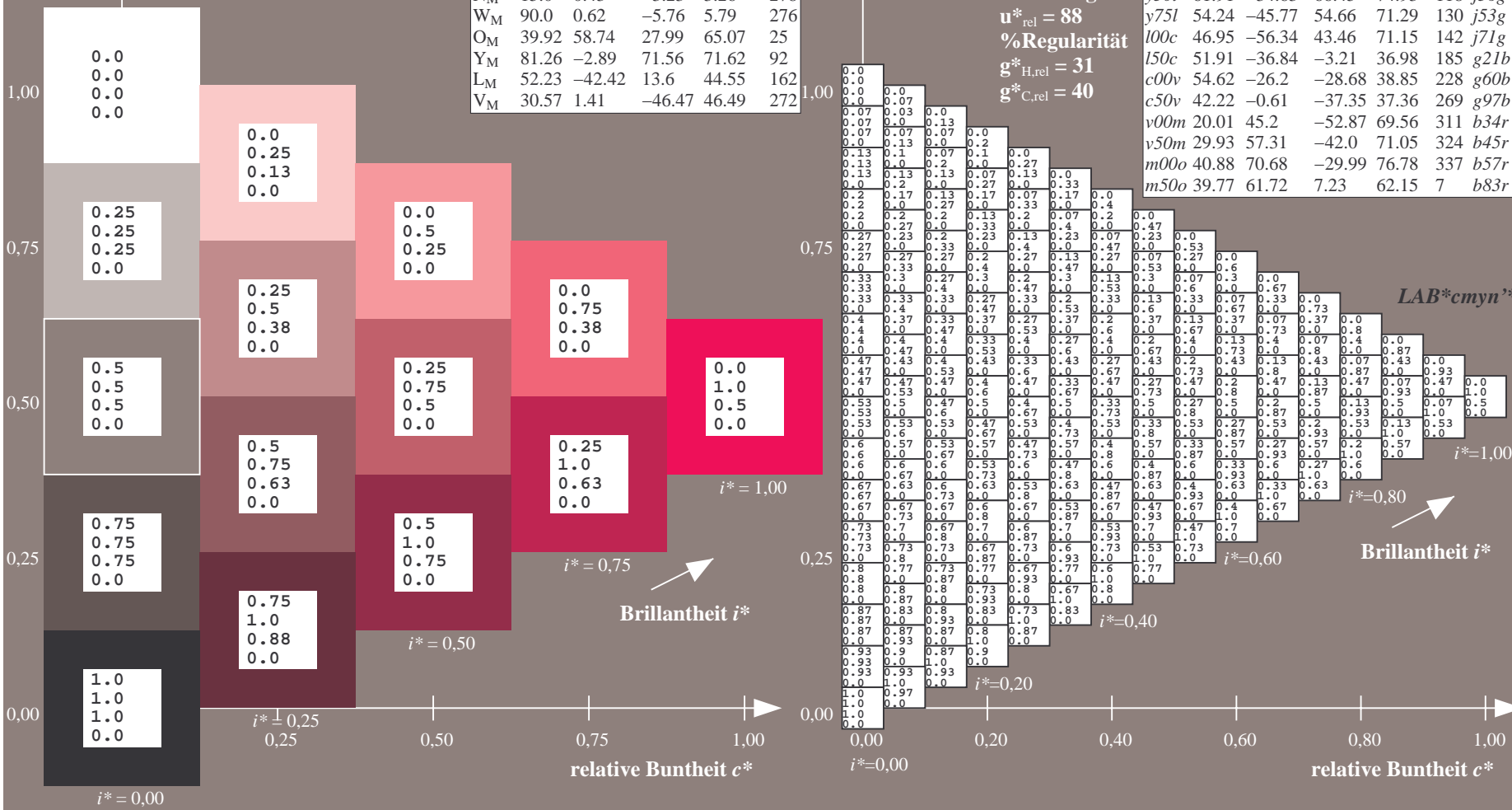
$u^*_{\text{rel}} = 88$

%Regularität

$g^*_{H,\text{rel}} = 31$

$g^*_{C,\text{rel}} = 40$

FRS15_90a; adaptierte CIELAB-Daten									
u^*_d	$L^*=L^*_a$	a^*_a	b^*_a	$C^*_{ab,a}$	$h^*_{ab,a}$	u^*_e			
o00y	38.8	53.92	39.68	66.95	36	r16j			
o25y	47.46	42.34	51.25	66.48	50	r37j			
o50y	56.54	30.2	63.39	70.22	65	r58j			
o75y	67.39	15.68	77.9	79.47	79	r79j			
y00l	82.58	-4.64	98.22	98.33	93	j01g			
y25l	70.85	-21.66	80.19	83.07	105	j18g			
y50l	61.91	-34.63	66.45	74.93	118	j36g			
y75l	54.24	-45.77	54.66	71.29	130	j53g			
l00c	46.95	-56.34	43.46	71.15	142	j71g			
l50c	51.91	-36.84	-3.21	36.98	185	g21b			
c00v	54.62	-26.2	-28.68	38.85	228	g60b			
c50v	42.22	-0.61	-37.35	37.36	269	g97b			
v00m	20.01	45.2	-52.87	69.56	311	b34r			
v50m	29.93	57.31	-42.0	71.05	324	b45r			
m00o	40.88	70.68	-29.99	76.78	337	b57r			
m50o	39.77	61.72	7.23	62.15	7	b83r			



[illegible]